MONTPELLIER SUPAGRO

THESE

Pour obtenir le grade de

DOCTEUR DU CENTRE INTERNATIONAL D'ETUDES SUPERIEURES EN SCIENCES AGRONOMIQUES DE MONTPELLIER

ECOLE DOCTORALE : Systèmes Intégrés en Biologie, Agronomie, Géosciences, Hydrosciences, Environnement

Spécialité : Biologie Intégrative des plantes

Présentée et soutenue publiquement par

Elsa BALLINI

Le 17 Décembre 2007

Etude des interactions riz-Magnaporthe oryzae. Diversité, origine et évolution du locus du gène de résistance *Pi33*.

JURY

M. Jean-Loup NOTTEGHEM (Professeur à SupAgro.M), Directeur de thèse

Mme Catherine FEUILLET (Directeur de Recherche à l'INRA de Clermont-Ferrand), Rapporteur

M. Thierry ROUXEL (Directeur de Recherche à l'INRA de Versailles), Rapporteur

Mme Valérie GEFFROY (Chargée de Recherche à l'INRA d'Orsay), Examinateur

M. Jean-Benoît MOREL (Chargé de Recherche à l'INRA de Montpellier), Examinateur

M. Didier THARREAU (Chercheur au CIRAD de Montpellier), Co-Directeur de thèse

Doctorat réalisé au sein de l'équipe interactions riz-parasites de l'UMR Biologie et Génétique des Interactions Plantes-Parasites, TA A54/K, 34398 Montpellier CEDEX 05, France.

MONTPELLIER SUPAGRO

THESE

Pour obtenir le grade de

DOCTEUR DU CENTRE INTERNATIONAL D'ETUDES SUPERIEURES EN SCIENCES AGRONOMIQUES DE MONTPELLIER

ECOLE DOCTORALE : Systèmes Intégrés en Biologie, Agronomie, Géosciences, Hydrosciences, Environnement

Spécialité : Biologie Intégrative des plantes

Présentée et soutenue publiquement par

Elsa BALLINI

Le 17 Décembre 2007

Etude des interactions riz-*Magnaporthe oryzae*. Diversité, origine et évolution du locus du gène de résistance *Pi33*.

JURY

M. Jean-Loup NOTTEGHEM (Professeur à SupAgro.M), Directeur de thèse

Mme Catherine FEUILLET (Directeur de Recherche à l'INRA de Clermont-Ferrand), Rapporteur

M. Thierry ROUXEL (Directeur de Recherche à l'INRA de Versailles), Rapporteur

Mme Valérie GEFFROY (Chargée de Recherche à l'INRA d'Orsay), Examinateur

M. Jean-Benoît MOREL (Chargé de Recherche à l'INRA de Montpellier), Examinateur

M. Didier THARREAU (Chercheur au CIRAD de Montpellier), Co-Directeur de thèse

« La promenade..., entre les rizières du plus pur émeraude, entre les aréquiers, muets et graves comme des colonnes d'un temple, et parmi les bambous géants du Jardin, où rugissent les panthères noires, les panthères tachetées et les tigres. »

Claude Farrère (1876-1957)

Remerciements

Je souhaite ici remercier tous ceux qui ont participé de près ou de loin à l'élaboration de cette thèse.

Je pense d'abord bien sûr à mes deux directeurs de thèse : Jean-Loup Notteghem et Didier Tharreau (dans mon cœur tu as ton HDR). Je les remercie de m'avoir tout d'abord acceptée au sein de cette équipe et ensuite de m'avoir consacré tout leur temps, pour permettre ainsi ma formation.

Je souhaite également remercier le comité de thèse qui s'est réuni à deux reprises au cours de cette thèse : Véronique Lefebvre, Olivier Panaud, Marc-Henri Lebrun et Jean-Benoît Morel. Leurs conseils ont permis non seulement de m'encourager mais surtout d'ouvrir de nombreuses pistes de réflexion.

Au jour le jour, de nombreux membres de l'équipe m'ont conseillée et aidée dans mes différentes activités :

Emilie Vergne et Jean-Benoît Morel, sans leur collaboration étroite, cette thèse n'aurait certainement pas été ce qu'elle est aujourd'hui.

Elisabeth Fournier, Judith Hirsch, Nabila Yahiaoui, Thomas Kroj et Jerôme Collemare (Bayer-Lyon) qui ont participé à la relecture du manuscrit. Odile Faivre-rampant et Lucie Miché qui m'ont également donné de précieux conseils.

Tout le personnel technique permanent dont l'aide a été plus que précieuse tout au long de cette thèse et qui ont participé à l'obtention des résultats : Henri Adreit, Véronique Chalvon, Julien Frouin, Corinne Michel, Joëlle Milazzo.

Je souhaite faire ici une mention spéciale aux serristes, Henri Adreit, Christophe Tertois et Loïc Fontaine sans qui l'idée même d'expérimentation ne serait plus possible. Je souhaite remercier tout particulièrement Loïc d'avoir patiemment multiplié des riz sauvages plus que récalcitrants.

Je souhaite également remercier tous les stagiaires et CDD qui ont ajouté leur pierre à l'édifice : Marc Galland, Sabrina Marques (merci pour les corrections!), Belkacem Sidi-Mammar, Chloé Fallet, Cyrille Zini, Mélodie Bousquet, Sylvie Vancoppenolle et Véronique Lantheaume.

Je remercie Daniel Gargani pour m'avoir initiée à la microscopie électronique. Je souhaite également remercier Alain Ghesquière et Romain Guyot pour m'avoir accueillie à l'IRD et donnée accès à la banque BAC IR64 et Gérard Second, pour m'avoir fournie un échantillon important de riz sauvages. Merci à l'équipe d'Emmanuel Guiderdoni qui a participé activement aux expériences de complémentation. Merci aux bioinformaticiens du CIRAD et notamment à Gaétan Droc pour son aide dans l'élaboration de la base de donnée ARCHIPELAGO.

Merci aux non permanents de l'UMR pour nos réunions socialo-scientifiques du mercredi!

Cette thèse s'est effectuée en parallèle à une activité de monitorat au sein de l'UFR Sciences de l'Université de Montpellier II. Il serait trop long de citer tous ceux que j'ai croisés pendant ces trois ans et qui m'ont beaucoup appris et surtout donné le goût de l'enseignement, mais je pense tout particulièrement aux préparateurs des salles et aux organisateurs des modules. Je remercie tout spécialement Sylvain Glémin, Marc-André Sélosse, Agnès Mignot et Christine Heinz.

Enfin, je pense bien sûr à mes amis, à ma famille... et à Eric pour tout le reste et bien plus encore...

Abréviations:

ACE1 = Avirulence Conferring Enzyme 1

ARC = Domaine présent dans les protéines Apaf-1, R et CED-4

Gène AVR = gène d'avirulence de l'agent pathogène

CC = Coil-Coiled domain

ETI = Effector-Triggered Immunity

Gène R = gène de résistance spécifique des plantes

HR = Réponse Hypersensible

IRRI = International Rice Research Institute

LRR = Leucine Rich Repeat domain

NBS = Nucleotide Binding Site

NRPS = Peptide Synthétase Non Ribosomale

PAMP = Pathogen Associated Molecular Pattern

PKS = Polycétide Synthase

PR = Protéine de Résistance

PRR = Pattern Recognition Receptor

PTI = PAMP-Triggered Immunity

RGA = Resistance Gene Analogue

TIR = Toll-InterLeukine

Table des Matières

Remerciem	ents	4
Abréviation	s	6
Table des M	1 atières	7
Table des F	igures	11
Table des ta	ableaux	13
I Introducti	on	15
I.1 Les int	eractions des plantes avec les agents pathogènes	15
I.1.1	Quelques définitions	15
I.1.2	La relation gène-pour-gène	17
a	Enoncé de la théorie gène-pour-gène	17
Ь	Interprétation biochimique de la théorie gène-pour-gène	19
c	Intégration de la reconnaissance spécifique dans le système de défense	23
I.2 Présent	ation du pathosystème	25
I.2.1	Le riz, plante agronomiquement importante	25
I.2.2	Magnaporthe oryzae agent causal de la pyriculariose	27
a	Symptômes et dégâts	27
b	Biologie de Magnaporthe oryzae	27
С	Lutte contre la pyriculariose	29
I.2.3	Une revue des gènes et QTLs de résistance à Magnaporthe oryzae.	32
I.2.4	Les gènes de résistance à la pyriculariose clonés	79
I.2.5	Le pathosystème O. sativa/M. oryzae, modèle d'étude des interactions céréales/champignons	
phytop	pathogènes.	81
I 3 I 'inter	action ACE1/Pi33	83
I.3.1	Le gène d'avirulence ACE1	83
I.3.2	Cartographie génétique de <i>Pi33</i>	85
I.3.3	Originalités de l'interaction ACE1/Pi33.	87
	fs de la thèse	88
II Chanitra	1. Origina da <i>Bi33</i>	91
II.1 Introd	1: Origine de <i>Pi33</i>	93
		93
II.1.1	Une origine ancienne des gènes de résistance	95 95
a b	La course à l'armement	96
c	La guerre des tranchées Limites des interprétations d'analyse moléculaires et hypothèses alternatives de co-évolution	98
d	Distribution des gènes de résistance chez les espèces domestiquées et leur ancêtres sauvages,	70
	lques exemples	98
II.1.2	Structuration du genre <i>Oryza</i>	102
II.1.3	Résultats préliminaires	104
II.1.4	Objectifs	106
	, e 2: Modern elite rice varieties of the 'Green Revolution' have retained a large introgression from wild rice around th sistance locus.	be Pi33 107
II.3 Distri	bution et Origine de Pi33	121
II.3.1	Résultats	121
a	Sources de <i>Pi33</i> dans les variétés améliorées.	121
b	Distribution de <i>Pi33</i> au sein de l'espèce <i>Oryza sativa</i>	123
c	Distribution de <i>Pi33</i> au sein des autres espèces du genre <i>Oryza</i> .	125
II.3.2	Discussion	127
a	Plusieurs sources de résistance <i>Pi33</i> dans les variétés améliorées	127
b	Distribution de <i>Pi33</i> au sein des espèces cultivées et sauvages du genre <i>Oryza</i>	129
	b.1 Un échantillonnage limité par le niveau de virulence des souches de M. oryzae	129

	b.2 Possibilité d'allofécondation entre espèces sauvages et cultivées	131
	b.3 Une convergence évolutive à l'origine des reconnaissances de ACE1 dans les espèc	
	b.4 Une origine ancienne de Pi33 Une co-évolution ancienne entre <i>ACE1</i> et <i>Pi33</i> ?	133 135
С		
	riels et Méthodes	137
II.4.1 II.4.2	0 1	137 137
II.4.2 II.4.3	8	138
III Chapitre	re 2 : Cartographie et clonage de <i>Pi33</i>	139
III.1 Intro	oduction	141
III.1.1	, 8 1	141
a	Les différents types de gènes de résistance	141
	a.1 Les récepteurs membranaires	141 142
b	a.2 Les protéines de résistance cytoplasmiques La fonction des différents domaines des gènes de résistance	142
c	L'organisation des gènes de résistance dans le génome	148
III.1.2		150
III.1.3	3 Objectifs	153
III.2 Résu	ultats	155
III.2.1	Cartographie physique de <i>Pi33</i>	155
III.2.2		161
a	Polymorphisme structurale au sein du cluster	163
	 a.1 Diversité au sein du cluster de LRR-kinases a.2 Diversité au sein du cluster de NBS-LRR 	163 165
	a.3 Comparaison de la structure du locus dans différents fonds génétiques	165
b	Polymorphisme allélique des membres du cluster	167
С	Polymorphisme d'expression des membres du cluster	169
III.2.3	8	171
a	Clonage de <i>Pi33</i> par analyse de mutants	171
	a.1 Criblage d'une banque de mutants d'IR64 par TILLING	171 173
Ь	a.2 Criblage phénotypique d'une banque de mutants de C101LAC Clonage de <i>Pi33</i> par complémentation	175
III.3 Disci III.3.1		176 176
a a	De légères déviations de la colinéarité	176
b	Un cluster ancien régi par le modèle « birth and death »	176
c	Des domaines LRR conservés	178
III.3.2	8	180
a 1	Identification de gènes candidats pour <i>Pi33</i>	180
b c	Clonage de <i>Pi33</i> par analyse de mutants Clonage de <i>Pi33</i> par complémentation	181 181
		182
	clusion et perspectives	
111.5 Mate 111.5.1	ériels et Méthodes	183 183
a a	Cartographie de <i>Pi33</i> et caractérisation du cluster Matériel végétal	183
b	Données génomiques	183
c	Criblage des banques BAC	184
d	Séquençage, assemblage et annotation des clones BAC	184
e	Séquençage des gènes candidats	185
f	Données d'expression des gènes	185
III.5.2 a	2 Criblage de banques de mutants Matériel végétal et culture du riz	187 187
a b	Criblage des banques de mutants	188
c	Caractérisation des mutants, données moléculaires	188
III.5.3		190
IV Chapitre	e 3 : Tranduction du signal <i>Pi33</i>	192

IV.1 Introduction	194
IV.1.1 Les réactions de défense chez les plantes	194
a La reconnaissance b La régulation	194 194
c La transduction du signal	196
d Les mécanismes de défense	198
IV.1.2 Les réactions de défense chez le riz	200
 IV.1.3 Quelles similitudes entre les réactions de défense induites par différents types d'interactions IV.1.4 Objectifs 	204 205
IV.2 Early and specific gene expression triggered by rice resistance gene Pi33 in response to infection by ACE1 avirulent bla.	st fungus
IV.3 Influence de Pi33 sur les réactions de défense	222
IV.3.1 Résultats a Création d'un jeu de gènes spécifiques des réactions de défense	222 222
b Validation du jeu de données par RT-PCR Quantitative (QPCR)	226
c Comparaison de l'expression de gènes de défense dans le cadre de différentes interactions	227
c.1 Comparaison des expressions entre les conditions compatibles et incompatibles	227
 c.2 Comparaison des expressions entre plusieurs conditions incompatibles c.2.1 Expériences préliminaires 	228 229
c.2.1 Expériences préliminaires c.2.2 Contraintes expérimentales	229
c.2.3 Influence du gène de résistance et du fond génétique sur l'expression des gènes de dé	
IV.3.2 Discussion et conclusion	236
a Originalité de la voie de défense contrôlée par <i>Pi33</i>	236
b Influence du fond génétique sur le système de défense IV.3.3 Matériels et Méthodes	238 239
a Matériel végétal et fongique	239
b Données moléculaires	239
V Conclusion générale	242
V .1 Création d'une base de données Riz/M . oryzae	243
V.2 Une origine ancienne de Pi33	244
V.3 Une cartographie physique de Pi33	245
V.4 Influence de Pi33 sur les voies de défense	245
V.5 Perspectives à moyen terme : après le clonage	246
VI Bibliographie	248
VII Annexes	282
VII.1 Annexe 1: préparation d'inoculum et inoculation avec Magnaporthe oryzae	283
VII.1.1 Culture de <i>M. oryzae</i> VII.1.2 Préparation de l'inoculum et inoculation	283 283
	284
VII.2 Annexe 2 : Culture du riz en serre VII.2.1 Semis	284
VII.2.2 Condition de culture	284
VII.3 Annexe 3 : Phénotypes des variétés de riz cultivés O. sativa	285
VII.4 Annexe 4 : Phénotypes des accessions de riz sauvages	287
VII.5 Annexe 5 : Génotypage de l'introgression au locus Pi33	289
VII.6 Annexe 6 : Annotation des gènes du Cluster	290
VII.6.1 Annotation du cluster chez Nipponbare	290
VII.6.2 Annotation du cluster chez 93-11	290
VII.6.3 Annotation du cluster chez IR64	291 292
VII.7 Annexe 7 : Bilan de l'assemblage des clones BAC IR64 VII.8 Annexes 8 : Homologies de séquences	292
VII.9 Annexe 9 : Liste des amorces utilisées	294

VII.9.1 A	Amorces pour le génotypage de variétés sur l'ensemble du génome et au locus Pi33	294
	Amorces pour le génotypage de variétés sur l'ensemble du chromosome 8	294
	Amorces pour le séquençage des gènes candidats	295
	Amorces utilisées pour les PCR long-range encadrant les gène NB11-3,5 et NB11-4,5	296
	Amorces pour l'analyse d'expression par Q-PCR au locus <i>Pi33</i>	296
	Amorce pour criblage par Tilling sur les mutants IR64	296
	Amorces pour séquençage des mutants C101LAC	296
	Amorce pour la validation par RT-PCR Quantitative des gènes de puces	297
VII.10 Annexe 10	0 : Amplification par PCR	298
VII.11 Annexe 1	1 : Criblage des banques BAC	299
VII.11.1 E	Banques BAC disponibles	299
VII.11.2	Clones BAC séquencés ou en cours de séquençage	299
VII.11.3	Criblage par hybridation	299
a Prép	paration de la sonde	299
b Pré-	hybridation et hybridation des membranes	299
c Lava	age des membranes	300
d Con	nposition des Tampons	300
VII.11.4	Criblage par PCR	300
VII.11.5 A	Amorces pour criblage de la banque BAC IR64	301
VII.12 Annexe 12	2 : Transformation des bactéries	302
	Fransformation bactérienne par choc thermique	302
	Transformation bactérienne par électroporation	302
VII.13 Annexe 1	3 : Extraction d'ADN plasmidique	303
	Milieu de culture	303
	Extraction d'ADN plasmidique des clones BAC	303
	Extraction d'ADN de vecteur	303
VII.14 Annexe 14	4 : Clonage	305
	Digestion	305
	Purification Phénol / Chloroforme	305
	igation	305
	Vérification des clones	305
	Amorces pour vérification du clonage	306
VII.15 Annexe 1	5 : Carte de restrictions des vecteurs	307
	BeloBAC 11 (7.5 kb)	307
1	CAMBIA 5300 (9.8 kb)	307
1	CAMBIA2300 OverExp (11,2 kb)	308
	TAC37 (24,7 kb)	308
	(2.3, 10)	500

Table des Figures

Figure 1.1. Illustration des symptômes de résistance complète, partielle et sensibi	lité. 14
Figure 1.2. Schématisation de la relation gène-pour-gène définie par Flor (1973).	16
Figure 1.3. Modèles biochimiques de la relation gène-pour-gène.	18
Figure 1.4. Reconnaissance spécifique des plantes par leurs protéines de résistance	ce R, via l'interaction avec
une troisième protéine cible de la protéine d'avirulence AVR.	20
Figure 1.5. Schéma des différentes phases du système de défense de la plante.	2Erreur! Signet non défini.
Figure 1.6. Schéma de co-évolution entre résistance des plantes et pathogénie des	s agents pathogènes.
	2Erreur! Signet non défini.
Figure 1.7. Symptômes et dégâts provoqués par Magnaporthe oryzea sur la cultur	re de riz. 26
Figure 1.8. Cycle infectieux de Magnaporthe oryzea.	28
Figure 1.9. Synténie entre les génomes de céréales.	8Erreur! Signet non défini.
Figure 1.10. Fonction moléculaire de ACE1.	84
Figure 1.11. Modèle d'interaction entre Magnaporthe oryzea (ACE1) et le riz (Pi3	3). 86
Figure 1.12. Cartographie composite des gènes Pi-11(t), Pi-29(t), Pi33.	86
Figure 2.1. Contournement de la résistance dans les variétés modernes d'Amérique	ie latine de 1969 à 1982.
	9Erreur! Signet non défini.
Figure 2.2. Hypothèses de co-évolution entre la plante et le pathogène.	97
Figure 2.3. Évolution des gènes de résistance, les trois modèles d'évolution en po	pulation. 99
Figure 2.4. Structure des <i>Oryzae</i> et flux de gènes entre génomes.	103
Figure 2.5. Structure des Oryza sativa.	10 Erreur! Signet non défini.
Figure 2.6. Diversité moléculaire au niveau de la zone de Pi33, données de Roma	in Berruyer (2003). 105
Figure 2.7. Résultats du génotypage de 21 variétés à l'aide de marqueurs SSR.	120
Figure 2.8. Résultats du génotypage de 20 variétés à l'aide de marqueurs SSR.	120
Figure 2.9. Origine du bras court du chromosome 8 dans quatre variétés de riz.	122
Figure 2.10. Arbre de répartition des données de la core-collection d'Oryza sativa	. 122
Figure 2.11. Distribution de Pi33 au sein des espèces sauvages.	124
Figure 2.12. Symptômes sur <i>Oryza rufipogon</i> IRGC101508.	126
Figure 2.13. Oryza rufipogon.	126
Figure 2.14. Symptômes sur <i>Oryza latifolia</i> W1184.	126
Figure 2.15. Oryza latifolia W1184.	126
Figure 2.16. Distribution des différents allèles ACE1 au niveau mondial.	134
Figure 2.17. Échelle de notation.	136
Figure 2.18. Exemples de résultats issus des tests de résistance.	136
Figure 3.1. Les grandes classes de protéines codées par les gènes de résistance de	es plantes. 140
Figure 3.2. Modèle d'activation des NBS-LRR.	145
Figure 3.3. Répartitions des RGA sur de chromosome du Riz.	147
Figure 3.4. Évolution des gènes de résistance organisés en cluster.	149
Figure 3.5. Modèle d'évolution du cluster Xa21.	151
Figure 3.6. Analyse comparative du locus Pi2/9 dans cinq variétés.	151

Figure 3.7. Cartographie physique chez IR64.	154
Figure 3.8. Annotation du locus <i>Pi33</i> dans la variété japonica Nipponbare.	157
Figure 3.9. Structure comparative du locus <i>Pi33</i> dans trois variétés.	157
Figure 3.10. Profil de restriction des clones BAC identifiés au niveau du cluster Pi33.	158
Figure 3.11. Cartographie du locus Pi33 à partir des différentes banques BAC.	158
Figure 3.12. Annotation de la fin du locus <i>Pi33</i> .	160
Figure 3.13. Similarité des LRR-kinases candidates au cluster Pi33.	162
Figure 3.14. Pourcentage d'homologie de séquence entre les LRR-Kinases.	162
Figure 3.15. Similarité des NBS-LRR candidates au cluster Pi33.	164
Figure 3.16. Pourcentage d'homologie de séquence entre les NBS-LRR.	164
Figure 3.17. Structure comparative du locus Pi33 dans différentes variétés.	166
Figure 3.18. Résultats des amplifications par long-range PCR pour le gène NB11-3,5.	166
Figure 3.20. Phénotypes des mutants de la population de Tilling IR64.	169
Figure 3.21. Phénotypes observés lors du crible de la banque de mutants C101LAC.	172
Figure 3.22. Bilan du criblage de la banque de mutants C101LAC	172
Figure 3.23. Polymorphisme de séquence dans le mutant 5426	172
Figure 3.24. Hypothèse d'évolution des analogues de gène de résistance du locus Pi33.	177
Figure 3.25. Schéma de la sélection phénotypique des mutants C101LAC.	186
Figure 3.26. Plan de sous-clonage des clones BAC 33B02 et 44H23.	189
Figure 4.1. Schéma des réactions de défense.	193
Figure 4.2. Les différents types de réponses induites par le système de défense des plantes.	197
Figure 4.3. Points communs entre le système de défense basal et la HR.	203
Figure 4.4. Annotation des gènes différentiellement exprimés lors de l'interaction gène-pour-gène	
Pi33/ACE1.	223
Figure 4.5. Cinétique d'expression pour les sept gènes issus de l'expérience « B8 »	228
Figure 4.6. Arbre des cinétiques d'expression	235
Figure 4.7. Symptômes obtenus sur les variétés utilisées.	235
Figure 4.8. Hybridations sur puces à ADN.	239

Table des tableaux

Tableau 1.1. Gènes d'avirulence fongiques clonés.	30
Tableau 1.2. Gènes de résistance à la pyriculariose clonés.	78
Tableau 2.1. Diversité nucléotidique et Ka/Ks de quelques gènes de résistance.	97
Tableau 2.2. Résultats des tests de Résistance.	124
Tableau 2.3. Résultats des expériences de Rose et al., 2005.	130
Tableau 3.1. Quelques exemples de gènes organisés en Cluster.	147
Tableau 3.2. Polymorphisme de séquence (codant + non-codant) au sein des différents gènes candidat	s.168
Tableau 3.3. Polymorphisme de séquence (codant + non-codant) au sein des différents gènes candidat	s
entre les deux variétés de référence Nipponbare et 93-11.	168
Tableau 3.4. Expression des gènes candidats au cours de l'infection.	169
Tableau 3.5. Bilan des complémentations de clones BAC entiers.	173
Tableau 3.6. Bilan sur la sélection de gènes candidats pour Pi33.	179
Tableau 4.1. Les protéines PR chez le riz.	199
Tableau Supplementaire S1 Origin of the 14 knon and putative rice genes required for disease resistance	e. 209
Tableau Supplémentaire S2 Origin of the rice defence gene list.	209
Tableau Supplémentaire S3 QPCR primers.	211
Tableau 4.2. Schéma récapitulatif des conditions expérimentales et des différentes comparaisons.	221
Tableau 4.3. Bilan des gènes identifiés dans la littérature et par analyse de transcriptome.	221
Tableau 4.4 : Bilan des 47 gènes différentiellement exprimés dans l'expérience « B8 » et sélection des 2	1
gènes dont le profil d'expression doit être validé en QPCR.	225
Tableau 4.5. Profil d'expression des 34 gènes sélectionnés.	228
Tableau 4.6. Sélection de sept gènes pour une comparaison des profils d'expression dans différentes	
conditions incompatibles.	231
Tableau 4.7. Profil d'expression de sept gènes lors de différentes interactions incompatibles.	233
Tableau 4.8. Influence de l'inoculum sur l'expression de gènes de défense.	233
Tableau 4.9. Pourcentage d'homologie entre les profils d'expression.	235

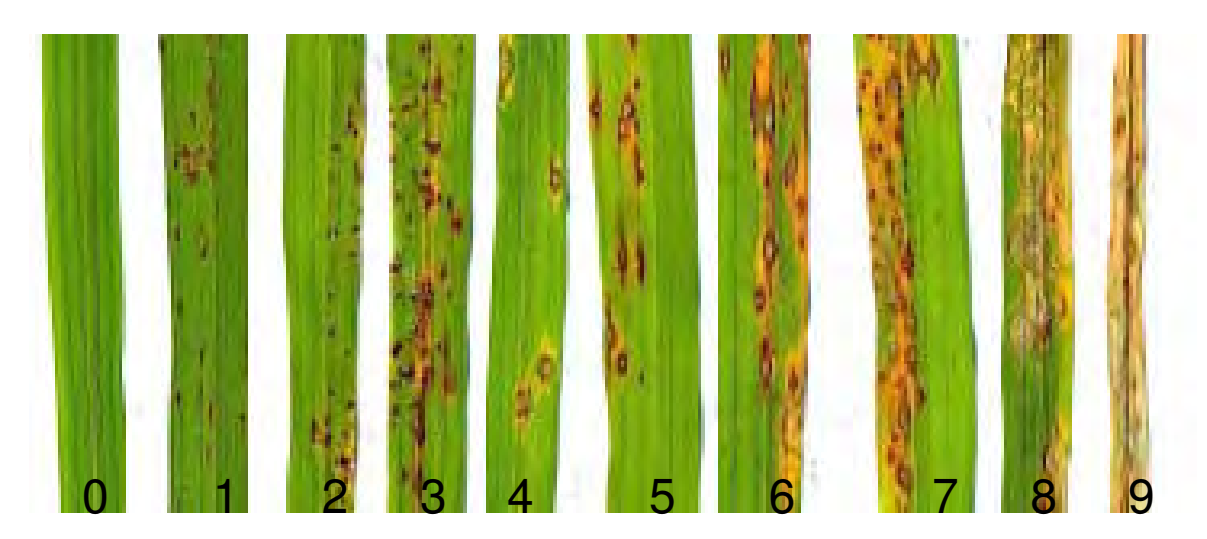


Figure 1.1. Illustration des symptômes de résistance complète, partielle et sensibilité.

Échelle de notation adaptée de l'IRRI (International Rice Research Institute). 0 = plante résistante, 1-2 = symptôme de HR sur plante résistante, 3 à 8 = différents niveaux de résistance partielle, 9 = sensibilité maximale et mort de la plante.

I Introduction

I.1 Les interactions des plantes avec les agents pathogènes

I.1.1 Quelques définitions

Certains termes relatifs à la pathologie végétale entraînent souvent des confusions. Ainsi, il peut être nécessaire dans un premier temps de revenir sur quelques définitions simples qui seront celles que nous utiliserons dans la suite de ce document.

Les interactions non hôtes concernent les cas où une espèce pathogène est incapable d'infecter une espèce de plante. La résistance non hôte se traduit par la mise en œuvre de mécanismes tels que les défenses de base des plantes (dépôts de callose, saponines...), mais aussi la reconnaissance d'éliciteurs généraux comme la flagelline des bactéries (Mysore et Ryu, 2004). Les phénotypes peuvent être une absence totale de lésion ou des petites lésions nécrotiques de type Réponse Hypersensible (HR).

Les interactions hôtes, sont celles où certains individus d'une espèce pathogène sont capables d'infecter au moins certains individus d'une espèce de plante. Dans ce cas, on distingue les interactions compatibles des interactions incompatibles. Lors d'une interaction compatible, des symptômes caractéristiques de la maladie se développent car la plante détecte trop tardivement l'infection pour pouvoir la stopper. La plante dans ce cas est plus ou moins sensible (Figure 1.1). Dans certains cas, des mécanismes de défenses de base des plantes peuvent être mis en place et entraîner une résistance partielle de la plante (Parleviet et Ommeren, 1975). Au contraire, les interactions incompatibles impliquent une reconnaissance précoce de l'agent pathogène par la plante qui arrive ainsi à stopper l'invasion de l'agent pathogène en activant ses réactions de défense. La plante présente alors une résistance complète.

La virulence est un terme qualitatif qui rend compte de la capacité d'un agent pathogène à attaquer un hôte. L'avirulence est un terme utilisé pour désigner les agents pathogènes qui ne peuvent infecter une plante du fait de leur reconnaissance précoce par la plante. Nous utiliserons les termes virulence et avirulence dans un cadre plus étroit qui est celui de la théorie gène-pourgène.

L'agressivité est un terme utilisé pour désigné de manière quantitative l'efficacité avec laquelle un agent pathogène peut provoquer des dommages plus ou moins importants.

Une résistance peut être qualifiée de **spécifique** lorsqu'elle permet la résistance à certaines souches de l'agent pathogène mais pas à toutes. Au contraire, la **résistance non spécifique** est efficace vis-à-vis de toutes les souches (Jorgensen, 1987).

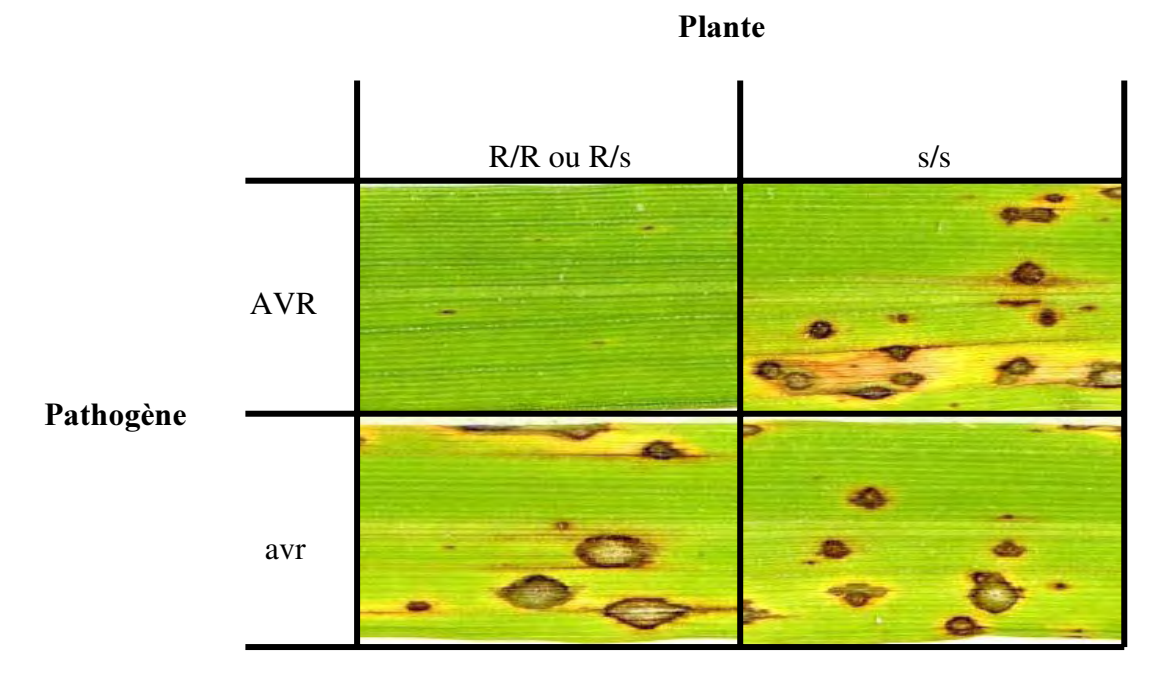


Figure 1.2. Schématisation de la relation gène-pour-gène définie par Flor (1973). En présence des deux allèles dominants d'avirulence AVR et de résistance R, l'interaction est incompatible et entraîne un phénotype de résistance de la plante. Si au moins un des deux gènes est l'allèle récessif avr ou s, l'interaction est compatible et le phénotype de la plante sensible.

Les plantes sont soumises à de nombreux stress abiotiques et biotiques. Pour se défendre contre ces agresseurs, elles ont développées des systèmes de défense complexes. Elles ont ainsi acquis des résistances à des agents pathogènes très divers : virus, bactéries, champignons, nématodes, insectes. A l'instar du système immunitaire des animaux, elles ont acquis la capacité de reconnaître spécifiquement leurs agresseurs et de fournir une réponse ciblée et adaptée.

I.1.2 La relation gène-pour-gène

a Enoncé de la théorie gène-pour-gène

La théorie gène-pour-gène a été énoncée par Flor en 1956. Elle est basée sur la démonstration de l'existence de résistances spécifiques, monogéniques et dominantes dans l'interaction entre le lin et le basidiomycète *Melampsora lini*. Selon cette théorie, les résistances spécifiques sont dues à des gènes de résistance (gènes R), auxquels correspondent des gènes d'avirulence chez l'agent pathogène (Figure 1.2). Lorsqu'un organisme pathogène avirulent (Avr) infecte une plante résistante (R), la réaction est dite incompatible, et l'organisme pathogène ne se développe pas. Si l'un ou l'autre de ces gènes ou les deux gènes sont absents, l'agent pathogène peut se développer, et les symptômes de la maladie sont observés. Cette théorie sera ensuite étendue à de nombreuses autres interactions plante/agent pathogène (Flor, 1971; Day, 1974; Thompson et Burdon, 1992; Keen, 1990; De Witt, 1992) dont l'interaction riz/*Magnaporthe oryzae* (Silué *et al.*, 1992)

Bien que cette théorie semble être la règle dans la plupart des interactions, la mise en évidence d'interactions plus complexes a entraîné dans certains cas une adaptation de la théorie gène-pour-gène. Ainsi, certains produits de gènes d'avirulence peuvent être reconnus par plusieurs gènes de résistance. C'est le cas de *AvrB* qui est reconnu par *RPM1* chez *Arabidopsis thaliana* et *RPG1-b* chez le soja (Ashfield *et al.*, 2004). Dans d'autres cas, des gènes de résistance reconnaissent deux gènes d'avirulence. Ainsi, *RPM1* reconnaît non seulement *AvrRPM1* mais aussi *AvrB* (Debener *et al.*, 1991; Bisgrove *et al.*, 1994), et *Pto* reconnaît *AvrPto* et *AvrPtoB* (Kim *et al.*, 2002). Ces résultats sont en accord avec le fait que les plantes, bien que présentant un nombre limité de gènes de résistance, sont capables de reconnaître un grand nombre d'agents pathogènes. Par ailleurs, bien que les études génétiques réalisées aient fréquemment montré le caractère dominant du gène de résistance, certains gènes de résistance sont récessifs comme par exemple *xa5* (Iyer et McCouch, 2004), *xa13* (Chu *et al.*, 2006) et *rrs1R* (Deslandes *et al.*, 2002). Si dans le cas de *rrs1R* une interaction classique gène-pour-gène a été démontrée (Deslandes *et al.*, 2003), les mécanismes des interactions impliquant *xa5* et *xa13* seraient plus complexes (Kottapalli *et al.*, 2007).

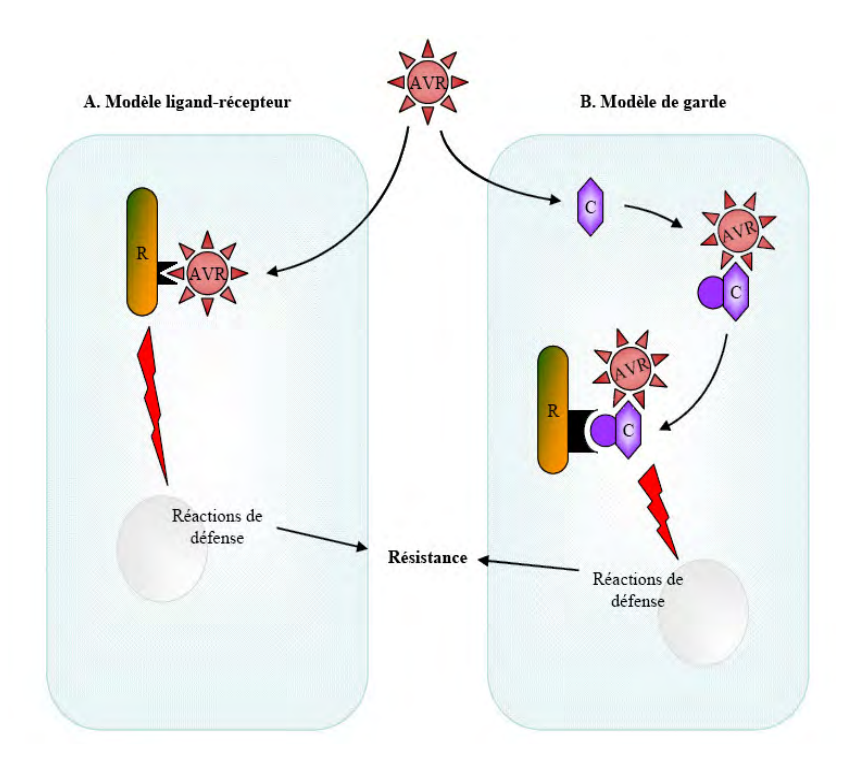


Figure 1.3. Modèles biochimiques de la relation gène-pour-gène.

Schéma fournis par J. Collemare.

A. La protéine de résistance R est un récepteur sur lequel se fixe la protéine d'avirulence AVR. L'interaction déclenche une cascade de signalisation aboutissant à l'activation des réactions de défense.

B. La protéine AVR se fixe sur une protéine cible C, interaction qui peut induire un changement de conformation et la reconnaissance consécutive par le récepteur R. Cette interaction *via* la protéine C conduit à l'activation des réactions de défense.

Toutes ces exceptions pourraient être le signe que la théorie gène-pour-gène est trop simple pour rendre complètement compte d'une réalité qui est probablement plus complexe. D'autres formes d'interactions ne sont donc pas exclues. Sur la base de la démonstration de la théorie gène-pour-gène, une cinquantaine de gènes R et plusieurs gènes AVR ont été clonés (Martin et al., 2003). Les différents types de gènes R seront détaillés dans le chapitre 2 (Paragraphe III-1-1-a). A partir de la caractérisation des protéines issues de ces gènes clonés (Holub, 2001; Dangl et Jones, 2001; Nimchuk et al., 2003), deux grands types de gènes de résistance peuvent être identifiés en fonction de leur localisation cellulaire : les protéines membranaires (parmi lesquelles les LRR-kinases) et les protéines cytoplasmiques (parmi lesquelles les protéines à Nucleotide Binding Site-Leucine Rich Repeat ou NBS-LRR).

b Interprétation biochimique de la théorie gène-pour-gène

Suite à l'énoncé de la théorie gène-pour-gène, plusieurs interprétations biochimiques ont été proposées. La première interprétation, la plus simple, propose une interaction directe entre un récepteur codé par le gène R et son ligand codé par le gène AVR (Figure 1.3) (Keen, 1982 ; Garbriel et Rolfe, 1990). La fixation du produit du gène AVR sur le produit du gène R initierait une cascade de signalisation conduisant à l'activation des réactions de défense et l'induction d'une mort cellulaire programmée (HR). Ce modèle a été proposé à partir de l'observation de domaines d'interaction protéine-protéine dans les produits des gènes de résistance. Il implique une colocalisation des produits des gènes de résistance et d'avirulence. Par exemple, Cladosporium fulvum est un champignon qui croît dans l'apoplasme des tissus végétaux où il sécrète des signaux d'avirulence. Les protéines de résistance correspondantes, codées par les gènes Cf, sont ancrées dans la membrane plasmique, ce qui suggère qu'une interaction directe avec la protéine d'avirulence serait possible. Cependant, une interaction directe entre les produits des gènes de R et d'AVR n'a pu être mise en évidence que dans cinq cas. Dans le pathosystème riz/M. oryzae, le produit du gène AvrPita de M. oryzae est reconnu directement par le récepteur NBS-LRR Pita du riz en interagissant avec son domaine LRR (Jia et al., 2000). Dans le pathosystème lin/M. lini, le gène d'avirulence polymorphe AVRL567 produit un peptide reconnu dans la plante directement par les produits des gènes de résistance de type NBS-LRR L5, L6 et L7 (allèles du gène L) (Dodds et al., 2006). Dans le pathosystème tabac/TMV le gène de résistance N de type TIR-NBS-LRR reconnaît de manière spécifique la protéine p50 du domaine hélicase du virus (Burch-Smith et al., 2007). Dans le pathosystème tomate/Pseudomonas syringae une interaction directe entre la kinase Pto et le produit du gène d'avirulence AvrPto a également été démontrée (Tang et al., 1996). Enfin chez les bactéries, la cystéine protéase PopP2 de Ralstonia solanacearum se fixe sur le récepteur TIR-NBS-LRR-WRKY codé par le gène de résistance récessif RRS1-R d'A. thaliana

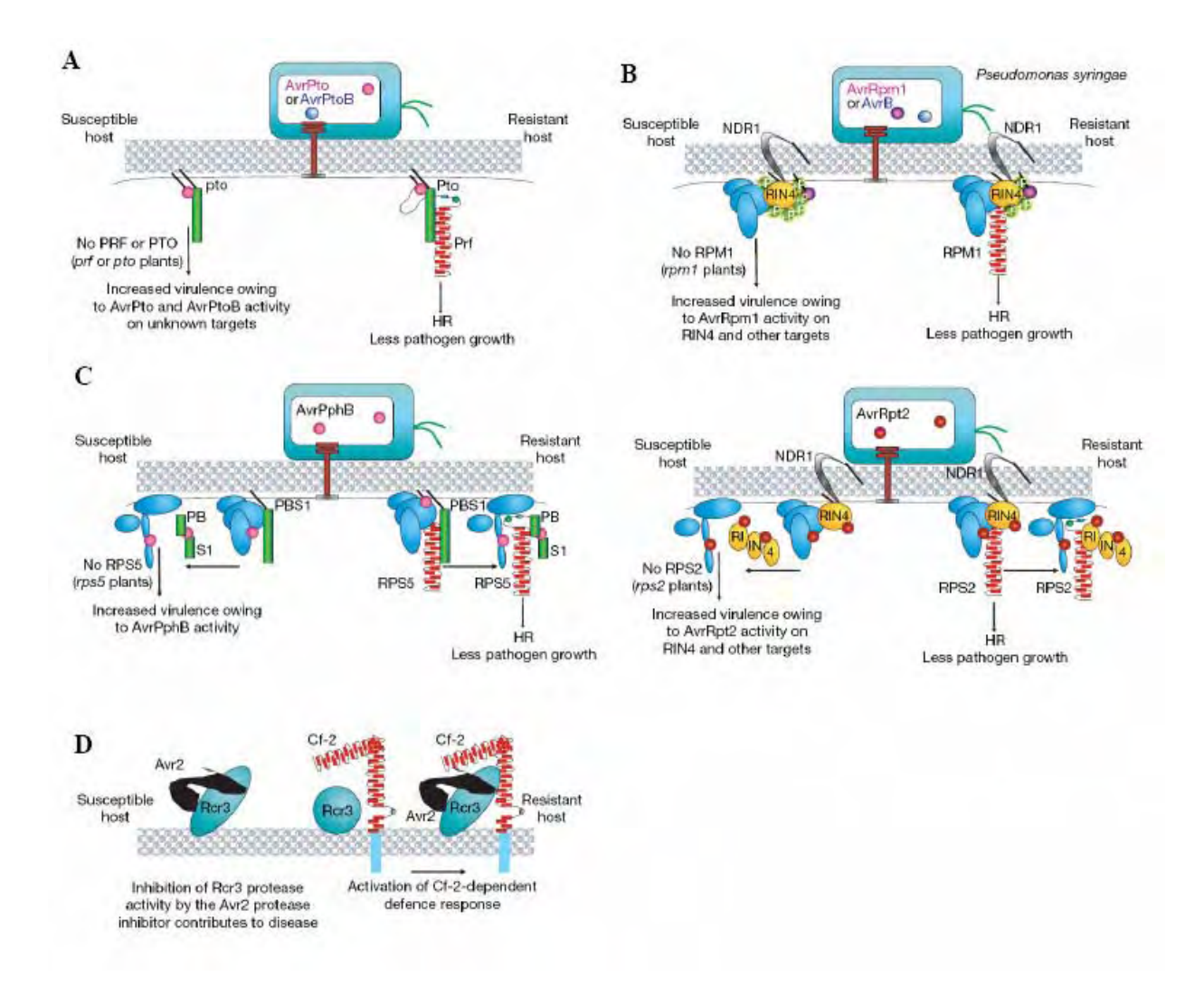


Figure 1.4. Reconnaissance spécifique des plantes par leurs protéines de résistance R, via l'interaction avec une troisième protéine cible de la protéine d'avirulence AVR. (d'après Jones et Dangl, 2006)

- A. Pto est une sérine-thréonine kinase de la tomate, cible de deux effecteurs de *Pseudomononas syringae* non apparentés AvrPto et AvrPtoB qui contribuent à la pathogénie de la bactérie. La kinase Pto est gardée par la protéine NBS-LRR Prf.
- B. RIN4 chez *Arabidopsis thaliana* est la cible de plusieurs effecteurs de *P. syringae* : AvrRpm1, AvrB et AvrRpt2. L'intégrité de RIN4 est gardée par deux protéines NBS-LRR, RPM1 et RPS2. RPM1 est activé en réponse à la phosphorylation de RIN4, alors que RPS2 est activé par la dégradation de RIN4 par AvrRpt2, une cystéine protéase.
- C. PBS1 est une sérine-thréonine kinase d'*A. thaliana* qui est clivée par la cystéine protéase AvrPphB de *P. syringae*. Cette dégradation est détectée par la protéine NBS-LRR RPS5 localisée au niveau de la membrane. L'activité catalytique de PBS1 clivée est indispensable à l'activation de RPS5.
- D. La protéine R Cf-2 de tomate garde la cystéine protéase extracellulaire Rcr3. Avr2, produite par *Cladosporium fulvum*, est une protéine inhibitrice des cystéine protéases qui empêche le bon fonctionnement de Rcr3. Des mutations dans Rcr3 conduisent à l'absence de reconnaissance par Cf-2. Cette protéine reconnaît le complexe Avr2-Rcr3 où Rcr3 a subit un changement.

(Deslandes *et al.*, 2003). De manière surprenante, ce n'est donc que dans le cas d'interaction intracellulaire qu'une interaction directe a pu être démontrée. En effet, les tentatives pour démontrer le modèle ligand-récepteur dans les autres cas n'ont pas abouti, notamment dans le cas de l'interaction tomate/*C. fulvum*, *Cf-9/Avr9* (Luderer *et al.*, 2001).

Une interprétation biochimique alternative ne faisant pas intervenir d'interaction directe avec le ligand a été proposée au travers de l'hypothèse de garde (Van der Biezen et Jones, 1998; Dangl et Jones, 2001). Cette hypothèse permet d'expliquer pourquoi la protéine kinase Pto a besoin de la présence de la protéine NBS-LRR Prf pour activer la réaction de défense en présence d'AvrPto. Selon ce modèle, Pto est une composante générale de la réaction de défense de l'hôte. L'effecteur bactérien AvrPto aurait pris pour cible Pto afin de supprimer cette voie de défense non spécifique. Prf serait alors une protéine NBS-LRR qui «garderait» Pto, c'est-à-dire qui détecterait son blocage par AvrPto et activerait alors une réaction de défense de type HR. Cette théorie dite « de garde » a été démontrée dans plusieurs cas, et notamment dans le pathosystème A. thaliana/P. syringae où les gènes d'avirulence AvrRpm1, AvrB et AvrRpt2 ont pour cible, entre autres la protéine RIN4 (Mackey et al., 2002 ; Mackey et al., 2003 ; Belkhadir et al., 2004) qui interagit avec les gènes de résistance Rpm1 et Rps2. RIN4 régule négativement ces deux récepteurs, et aurait également un rôle dans le système de défense basal de la plante (Kim et al., 2005). Ainsi, RIN4 est gardée par deux récepteurs différents : RPM1 détecte sa phosphorylation (Mackey et al., 2002) et RPS2 détecte sa dégradation (Mackey et al., 2003) (Figure 1.4). D'autres démonstrations de l'hypothèse de garde ont été proposées (Figure 1.4) toujours dans le pathosystème A. thaliana/P. syringae avec le couple Rps5/AvrPhpB et la protéine cible impliquée dans les voies de défense PBS1 (Shao et al., 2003), ainsi que dans le pathosystème tomate/C. fulvum et les couple Cf2/Avr2 avec la protéine cible RCR3 (Rooney et al., 2005) et Cf4/Avr4 et la NBS-LRR NRC1 (Gabriëls et al., 2007). Une généralisation de ce modèle serait que les protéines R interagiraient physiquement avec les cibles des effecteurs de l'agent pathogène. Ces cibles peuvent être des composants de la résistance, ou bien des protéines de la plante dont la fonction serait modifiée pour permettre à l'agent pathogène d'envahir son hôte. En interagissant avec cette cible, l'effecteur pathogène provoquerait des modifications conformationnelles qui seraient détectées par la protéine de résistance et induirait ainsi son activation (figure 1.4). En l'absence de la protéine de résistance, l'interaction entre la protéine cible et l'effecteur ne serait pas détectée, et la maladie s'installerait.

Suite à ces observations, différentes adaptations de la théorie de garde sont possibles (Martin *et al.*, 2003). Dans un premier scénario, la protéine R serait constitutivement liée à «sa protégée», et s'en séparerait après liaison à un effecteur qui provoquerait alors son activation. Ce

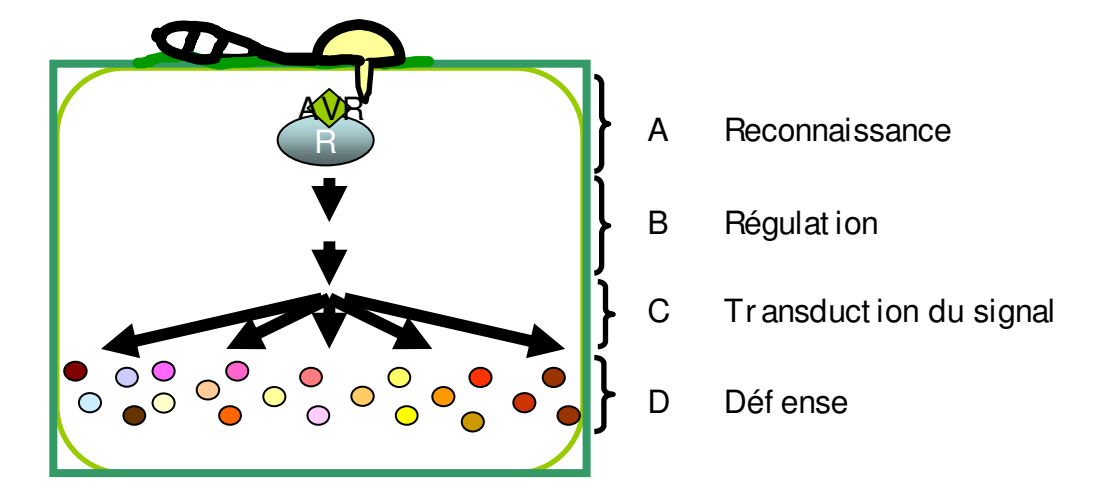


Figure 1.5. Schéma des différentes phases du système de défense de la plante.

A = phase de reconnaissance (spécifique par les gènes de résistance ou non spécifique par les récepteurs membranaires). B = phase de régulation comportant quelques régulateurs clefs (SA, JA, ET, ...) C phase de transduction par différents effecteurs. C = Déclenchement des défenses de la plante (Protéines de défense, mort cellulaire, ...).

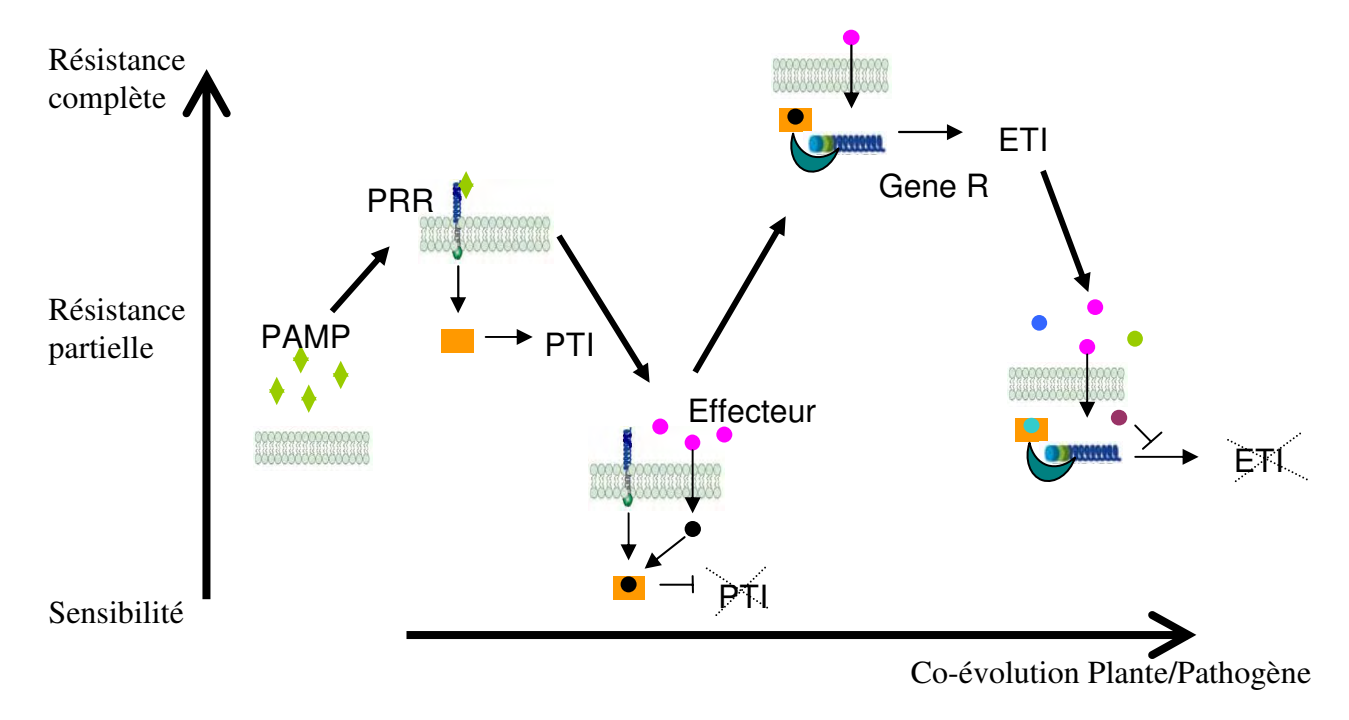


Figure 1.6. Schéma de co-évolution entre résistance des plantes et pathogénie des agents pathogènes.

(Adapté de Jones et Dangl., 2006 et Bent et Mackey, 2007)

Au début, la plante détecte des éliciteurs généraux PAMP (Pathogen Associated Molecular Pattern) via des récepteurs PRR (Pattern Recognition Receptor) pour conférer la résistance basale PTI (PAMP-Triggered Immunity). Ensuite, certains agents pathogènes sont capables d'injecter des effecteurs dont certains interfèrent avec la PTI, conduisant à la sensibilité. Un de ces effecteurs est alors reconnu indirectement ou non par un gène R de résistance, activant une réaction de défense amplifiée ETI (Effector-Triggered Immunity) qui induit une résistance complète. L'agent pathogène peut de nouveau provoquer la maladie en perdant l'effecteur reconnu et/ou en acquérant de nouveaux effecteurs qui peuvent interférer avec l'ETI. De nouvelles reconnaissances seront ensuite favorisées pour la résistance de la plante.

scénario implique une inhibition, par la « protégée », de la protéine de résistance elle-même et de la voie de signalisation qui la suit. Dans ce cas, la surexpression de la protéine de résistance conduit à une résistance constitutive. Dans un autre scénario, la protéine R est libre et l'action de l'effecteur sur la protégée entraîne une modification de sa conformation que la protéine R reconnaît. La liaison de cette dernière avec le complexe activerait la réaction de défense.

c Intégration de la reconnaissance spécifique dans le système de défense

La reconnaissance spécifique par l'intermédiaire des gènes de résistance n'est qu'une composante du système de défense des plantes contre les agents pathogènes. Ce système se compose de quatre niveaux (Figure 1.5). Un premier niveau de reconnaissance dont font partie les gènes de résistance, un deuxième niveau de régulation, un troisième niveau de transduction du signal et enfin un dernier niveau où les gènes de défense à proprement parler s'expriment. Ces différents niveaux du système de défense vont être déclenchés quelque soit l'agent pathogène de manière généraliste ou spécifique (voir Chapitre IV-1-1).

Un modèle a été proposé pour illustrer la co-évolution entre les systèmes de virulence d'un agent pathogène et le système de défense de la plante : le modèle en zigzag (Jones et Dangl, 2006) (Figure 1.6). Lors d'une attaque, un premier système de reconnaissance des plantes par l'intermédiaire des PRR (Pattern Recognition Receptor) conduit à la reconnaissance de composés spécifiques des grandes classes de microorganismes : bactéries, champignons. Ces éliciteurs généraux appelés PAMP (Pathogen Associated Molecular Pattern) vont avoir différentes fonctions, dont un rôle dans le pouvoir pathogène. Ils ne sont pas spécifiques d'une espèce ou d'un individu. Les PRR sont capables de reconnaître les PAMP de manière spécifique et induisent la résistance basale appelée PTI (PAMP-Triggered Immunity). L'agent pathogène sécrète alors des effecteurs spécifiques dont certains vont avoir pour fonction de supprimer le système de défense basal de la plante. Dans un second temps, le deuxième niveau de reconnaissance se met en place via les gènes de résistance. Des gènes de résistance sont capables de reconnaître directement ou non les effecteurs de l'agent pathogène ou le disfonctionnement du système de résistance basale. Ils vont alors induire une ETI (Effector-Triggered Immunity). Dans les deux cas, la PTI et l'ETI vont induire des régulateurs qui eux-mêmes vont enclencher une cascade d'activation qui aboutira au déclenchement de la résistance, sauf si l'agent pathogène a déjoué ce système de défense.

Ce modèle est illustré dans l'interaction entre la tomate et *P. syringae* (Martin *et al.*, 2007). Dans ce pathosystème, un éliciteur PAMP serait produit par la bactérie et serait ensuite reconnu par une PRR qui induirait une résistance basale de type PTI. Un premier effecteur, AvrPto, serait apparu pour inhiber la défense basale. La plante aurait alors mis en place une protéine de garde

RsB (probablement produite par le gène Fen) qui induit une résistance complète par ETI. Le gène RsB est d'ailleurs relativement fréquent chez les espèces de tomate sauvage (57%) ce qui pourrait confirmer son origine ancienne. La bactérie aurait contourné cette première résistance en mettant en place un deuxième éliciteur AvrPtoB qui prendrait RsB comme cible. Mais le gène de résistance Pto de la tomate serait capable de détecter les modifications induites par AvrPtoB sans être neutralisé et déclencher ainsi une HR. Ainsi, Pto serait plus récent que Rsb, et n'est d'ailleurs présent qu'à 22% dans les populations de tomate sauvage. On a donc un exemple de coévolution au cours de laquelle l'agent pathogène doit acquérir de nouvelles fonctions enzymatiques pour pouvoir contourner ou neutraliser le système de défense de la plante.

Le système de défense des plantes est particulièrement étudié car il soulève de nombreux enjeux scientifiques et économiques. Dans ce cadre, plusieurs interactions se sont distinguées comme modèles des interactions plante/agent pathogène. On peut citer, par exemple, les modèles *A. thaliana/P. syringae* et tomate/*C. fulvum*. Mais ces deux modèles très étudiés impliquent des dicotylédones. Chez les monocotylédones, le pathosystème riz/*M. oryzae* est le modèle d'interaction (Veneault-Fourrey et Talbot 2005).

I.2 Présentation du pathosystème

I.2.1 Le riz, plante agronomiquement importante

Le riz (*Oryza sativa* L.), au même titre que le blé, est une culture ancienne. Le riz est essentiellement cultivé dans des pays au climat chaud et humide mais son aire de culture s'étend entre 40° de latitude sud et 53° de latitude nord. Il se développe dans un très large éventail de milieux en termes de topographie, type de sol, régime hydrique, altitude et facteurs climatiques. Les conditions d'environnement dans lesquelles le riz est cultivé sont généralement classées en fonction du régime hydrique. La riziculture est dite irriguée lorsqu'il y a submersion avec contrôle de l'eau, et inondée dans le cas contraire. Lorsqu'il n'y a pas submersion pendant la culture, la riziculture peut être strictement pluviale (Arraudeau, 1998).

Si la production en France reste anecdotique avec 102 000 tonnes pour 23 000 ha cultivés principalement en Camargue et en Guyane, le riz compose l'alimentation de base de plus de trois milliards d'être humains, principalement en Asie où 90% de la production est réalisée. La production de riz atteignait 602 millions de tonnes en 2006 pour une surface cultivée de 152 millions d'hectares (sources Rice Facts, IRRI). Le riz est donc d'une très grande importance alimentaire, mais aussi économique.





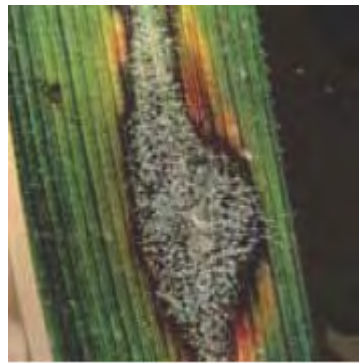


Figure 1.7. Symptômes et dégâts provoqués par *Magnaporthe oryzea* **sur la culture de riz.** Symptômes sur panicules et dégâts au champ en Camargue. Photos : D. Tharreau

I.2.2 Magnaporthe oryzae agent causal de la pyriculariose

a Symptômes et dégâts

La pyriculariose est une maladie des organes aériens du riz (feuilles, tiges et panicules). Les symptômes foliaires débutent par l'apparition de lésions blanchâtres qui évoluent vers des lésions nécrotiques en forme de losange dont le centre est grisâtre et les bords bruns (Figure 1.7). Dans le cas d'attaques sévères sur des individus très sensibles, les lésions peuvent fusionner et provoquer la mort de la feuille (Figure 1.7). Ces lésions entraînent la diminution de l'activité photosynthétique des feuilles, ce qui a pour conséquence une baisse du tallage, de la hauteur des plantes, puis finalement du nombre de grains et de leur poids, et donc conduit à une baisse importante du rendement (Bastiaans, 1991, Goto, 1965, Prabhu & De Faria, 1982) (Figure 1.7). Les nœuds, la tige, les semences et la panicule peuvent également être attaqués. Cette dernière forme de la maladie est la plus dommageable pour les cultures car elle empêche le remplissage des grains, ce qui a des conséquences directes sur le rendement, mais aussi sur la qualité de la récolte (Katsube & Koshimizu, 1970).

La pyriculariose du riz est présente dans toutes les zones où cette plante est cultivée (Ou, 1985). Cette maladie peut être particulièrement destructrice dans certaines conditions. Une culture en situation irriguée avec de forts intrants azotés est notamment favorable à son développement (Teng et al., 1991; Bastiaans, 1991). Les riz en culture pluviale sont particulièrement sensibles à la maladie. En revanche, les riz irrigués en conditions tempérées et les riz cultivés en altitude sont moins sujets à cette maladie. Les pertes de rendement provoquées par la pyriculariose sont très variables en fonction des agrosystèmes. Elles peuvent atteindre 100% dans certaines conditions environnementales et pratiques culturales (Khush, 1989; Vera Cruz et al., 2007).

b Biologie de Magnaporthe oryzae

L'agent responsable de la pyriculariose est un champignon filamenteux Ascomycète de type pyrénomycète. C'est sous sa forme asexuée (*Pyricularia oryzae* Cavara) qu'il a été décrit pour la première fois en 1891. La forme sexuée (*Magnaporthe oryzae* (Hebert, Barr)) n'a jamais été observée dans la nature. Elle a été obtenue pour la première fois au laboratoire en croisant deux isolats de *Pyricularia grisea* pathogènes de *Digitaria sanguinalis* (Hebert, 1971). Les espèces du genre *Magnaporthe* sont capables de provoquer des lésions sur au moins 65 espèces de 33 genres de monocotylédones différents (Nukina, 1998).

Ce champignon présente sur milieu de culture un mycélium constitué de filaments cloisonnés dont les articles possèdent un seul noyau haploïde. Ce mycélium peut produire des

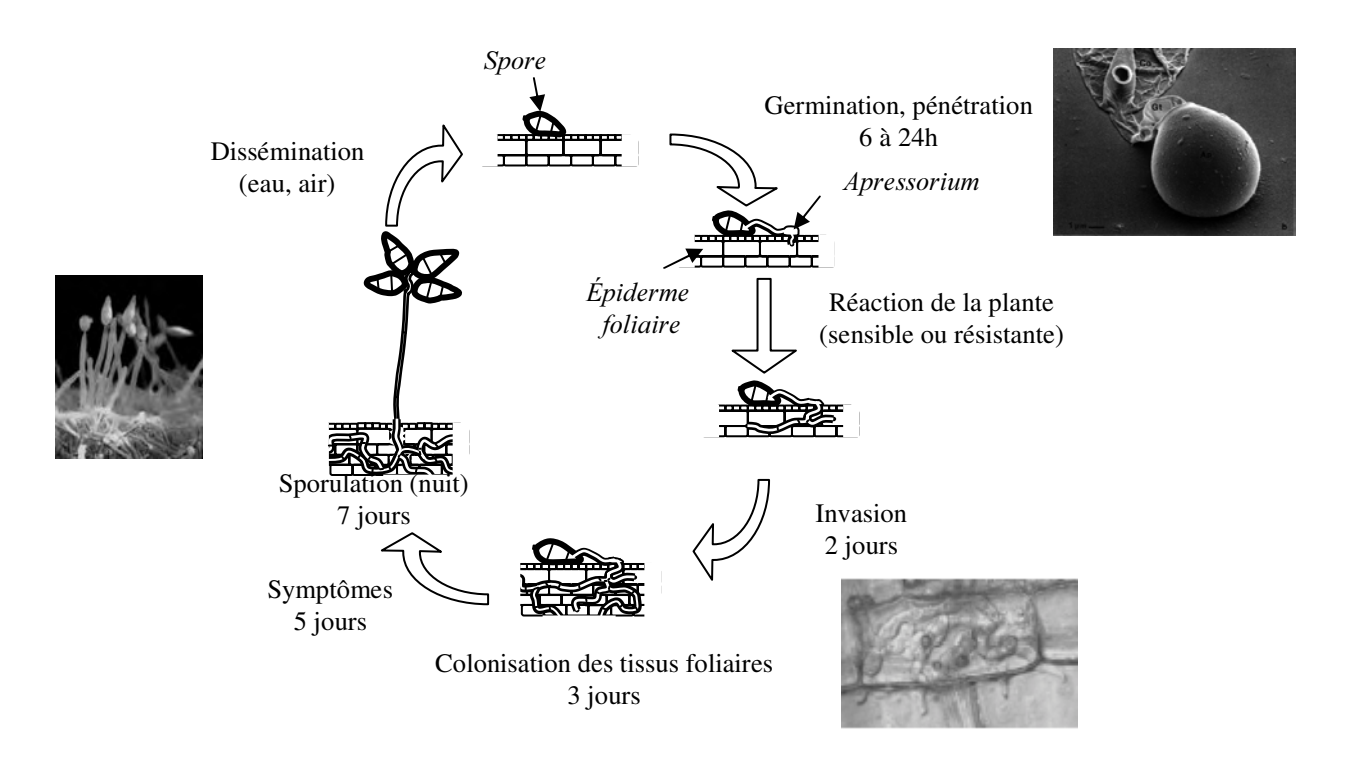


Figure 1.8. Cycle infectieux de Magnaporthe oryzæ.

(D'après R. Berruyer)

L'adhésion des spores à la surface hydrophobe des feuilles est réalisé par un mucilage riche en glycoprotéines. La spore germe rapidement et différencie une structure spécialisée dans la pénétration, l'appressorium. Celui-ci accumule une forte pression osmotique permettant la pénétration mécanique des tissus végétaux. Les hyphes secondaires colonisent ensuite les tissus durant une phase de biotrophie. Vers 5 jours après le début de l'infection, des lésions apparaissent correspondant au passage du champignon à une vie nécrotrophe. Les lésions deviennent sporulantes et les conidies sont dispersées, à l'origine des cycles secondaires de la maladie.

conidiophores portant des bouquets de conidies, les organes de multiplication asexuée du champignon. Lorsque ces conidies sont libérées, elles peuvent se fixer sur des surfaces hydrophobes (dans la nature, des cuticules de feuilles) grâce à un mucilage glycoprotéique adhésif (Hamer et al., 1988). Dans les conditions environnementales favorables, la spore produit un tube germinatif qui arrête rapidement sa croissance (2h) pour se différencier en une cellule spécialisée dans la pénétration, l'appressorium (6h) (Wang et al., 2005) (Figure 1.8). Commence alors une phase de maturation (8h) durant laquelle l'appressorium est rendu imperméable aux solutés tout en restant perméable à l'eau grâce à la mélanisation de sa paroi ; le cytosquelette quand à lui se réorganise (Park et al., 2004). La pénétration mécanique directement à travers la cuticule et la paroi des cellules végétales (8-12 h) est réalisée par la formation d'un hyphe de pénétration et grâce à la forte pression osmotique développée dans l'appressorium. Le champignon colonise ensuite rapidement les tissus végétaux dans une phase de biotrophie en différenciant des hyphes secondaires globuleux qui semblent passer d'une cellule à l'autre par les plasmodesmes (Kankanala et al., 2007). La phase de nécrotrophie ne débute que quelques jours plus tard, concomitante avec l'apparition des premières lésions (5 jours). Le maximum de sporulation (2 000 à 6 000 spores par lésion et par jour) est atteint 7 à 10 jours après le début de l'infection (Kato, 1974), mais les lésions continuent de produire des spores pendant au moins 15 jours. Les spores sont dispersées par la pluie et le vent, en majorité sur des distances inférieures à 3 mètres (Suzuki, 1975; Notteghem et al., 1977; Ou, 1985). Un cycle infectieux foliaire peut être réalisé en moins de 7 jours dans les conditions les plus favorables (Figure 1.8).

c Lutte contre la pyriculariose

Du fait du coût élevé des traitements, la lutte chimique contre *M. oryzae* n'est rentable que dans les zones de production où le riz est cultivé sur de grandes surfaces (Amérique du Nord et du Sud) et dans les pays où cette céréale présente une forte valeur ajoutée (Japon, Corée du Sud, Chine). Le marché des fongicides sur le riz, représentait en 2001, 10% du marché mondial (600 millions US\$ sur 6 000 millions US\$), dont la moitié concernait uniquement le marché japonais (Watkins, 2003). Les fongicides les plus utilisés sont des inhibiteurs de la voie de biosynthèse de la mélanine tels que le carpropamide et le tricyclazole qui rendent les appressoria non fonctionnels. Malgré, l'utilisation intensive de ces produits depuis 20 ans l'apparition de souches résistantes reste rare (Woloshuk *et al.*, 1983; Howard et Ferrari, 1989, Shigyo *et al.*, 2002). Au Japon, une alternative utilisée est l'induction des défenses du riz par l'application de probenazole qui possède une activité élicitrice (Shimono *et al.*, 2003).

Les effets de diverses pratiques culturales sur la sensibilité du riz à la pyriculariose sont décrits dans la littérature. Cependant, les mécanismes qui induisent cette variation de la sensibilité

Champignon	Gène d'avirulence	Fonction protéique	Taille (nombre d'acides aminés)	Références
Cladosporium fulvum	AVR2	Eliciteur sécrété Inhibiteur de protéase	78	luderer et al., 2002 rooney et al., 2005
	AVR4	Eliciteur sécrété Protection contre les chitinases	105	joosten <i>et al.</i> , 1994 van den burg <i>et al.</i> , 2004
	AVR9	Eliciteur sécrété	28	van kan <i>et al.</i> , 1991 van den ackerveken <i>et al.</i> , 1992
	ECP2	Eliciteur sécrété Facteur de pathogénie	200	lauge <i>et al.</i> , 1998
	PWL1	Eliciteur sécrété ?	147	kang et al., 1995
	PWL2	Eliciteur sécrété ?	145	kang et al., 1995
Magnaporthe	AVR1-CO39	Eliciteur sécrété ?	30	farman et leong, 1998
grisea	AVR-PITA	Eliciteur sécrété Métalloprotéase	223	orbach et al., 2000
	ACE1	Polycétide synthase- peptide synthétase non ribosomale	4035	bohnert et al., 2004
Rhynchosporiu m secalis	NIP1	Eliciteur sécrété Phytotoxine	60	hahn <i>et al.</i> , 1993 rohe <i>et al.</i> , 1995
Fusarium oxysporum	SIX1	Eliciteur sécrété Facteur de pathogénie	284	rep <i>et al.</i> , 2004 rep <i>et al.</i> , 2005
	AvrL567	Eliciteur sécrété	150	dodds et al., 2004
	AvrM	Eliciteur sécrété	343-377	catanzariti <i>et al.</i> , 2006
Melampsora lini	AvrP4	Eliciteur sécrété	95	catanzariti <i>et al.</i> , 2006
	AvrP123	Eliciteur sécrété Inhibiteur de protéase ?	117	catanzariti et al., 2006
Leptosphaeria	AvrLm1	Eliciteur sécrété ?	160	gout <i>et al.</i> , 2006
maculans	AvrLm6	Eliciteur sécrété ?	222	fudal <i>et al.</i> , 2007
Blumeria	AVR _{K1}	Eliciteur sécrété Augmente la sensibilité	177	ridout et al., 2006
graminis f. sp. hordei	AVR _{a10}	Eliciteur sécrété Augmente la sensibilité	286	ridout <i>et al.</i> , 2006

Tableau 1.1. Gènes d'avirulence fongiques clonés.

Informations fournies par J. Collemare

demeurent mal connus. De nombreuses études ont montré que la sensibilité du riz à *M. oryzae* est augmentée lors d'apports de fortes doses d'azote (Mohanty et Gangopadhyay, 1982), de phosphore (Kozaka, 1965; Tokunaga *et al.*, 1965) et diminuée avec l'apport de silice (Rodrigues *et al.*, 2003; Hayasaka *et al.*, 2005). La sensibilité du riz à la pyriculariose augmente lorsque les plantes sont soumises à des déficits hydriques (Kahn & Libby, 1958). Une adaptation de la date de semis en fonction des périodes défavorables au développement de la maladie permet de limiter l'influence de la pyriculariose. Enfin, l'enfouissement ou la destruction des pailles peuvent se révéler importants pour détruire l'inoculum primaire dans les zones où une conservation est possible dans les débris de récolte (Kozaka, 1965).

L'utilisation de cultivars résistants s'est présentée comme une alternative efficace dès 1904. Les premiers programmes d'amélioration de la résistance variétale furent initiés au Japon (Ezuka, 1979). La sélection a d'abord été basée sur le choix de lignées ayant un niveau de résistance modéré. Sans posséder une résistance totale, ces lignées réduisent les pertes. Cependant, avec l'augmentation de l'emploi de fertilisants azotés, ces résistances partielles ont été jugées insuffisantes. Dans le cadre de la révolution verte, des programmes de sélection basés sur l'introgression de gènes de résistance découverts dans des cultivars étrangers ont permis d'aboutir à des variétés présentant une résistance totale à *M. oryzae* (Takahashi, 1965). Depuis, de nombreux gènes de résistance du riz à la pyriculariose ont été recherchés dans différentes variétés. Parallèlement, plusieurs gènes d'avirulence ont été caractérisés et clonés, non seulement chez M. oryzae mais également chez d'autres agents pathogènes fongiques (Tableau 1.1)

De nombreux gènes de résistance à la pyriculariose ont déjà été caractérisés et cartographiés (Ballini et al., soumis), mais seulement sept d'entre eux ont été clonés (Paragraphe I.2.4). De même, seulement cinq gènes d'avirulence de M. oryque ont été clonés dont un seul correspond à un gène de résistance cloné (Pita). La connaissance moléculaire des interactions gène pour gène est donc limitée. En conditions naturelles, des souches virulentes apparaissent régulièrement, 2 à 6 ans après l'introduction des cultivars résistants (Kiyosawa, 1989; Bonman et al., 1992). C'est pourquoi différentes stratégies permettant d'obtenir des résistances durables ont été proposées comme l'accumulation de gènes de résistance spécifiques (pyramiding; Bonman et al., 1992) ou encore l'accumulation de résistances partielles contrôlées par des QTL (Ramalingam et al., 2003), voire l'accumulation des deux types de résistance (Bonman et al., 1992). D'autres stratégies préconisent l'emploi de mélanges variétaux résistants et sensibles (Abe, 2004; Zhu et al., 2000) et la prise en compte des populations de l'agent pathogène (lineage exclusion; Zeigler et al., 1994). Comment expliquer les faillites toujours nombreuses de la résistance ? Les populations de l'agent pathogène pourraient avoir une évolution trop rapide par rapport à la mise en place de

nouvelles résistances par les sélectionneurs. De plus, les dispositifs d'évaluation de la résistance à la pyriculariose ne permettent pas toujours de détecter de manière précoce le contournement de la résistance. Enfin, la mauvaise connaissance de la génétique de la résistance est un facteur majeur de l'échec du déploiement de certaines variétés supposées résistantes (Ou, 1985).

De nombreuses études de génétique de la résistance à la pyriculariose ont été conduites mais aucune synthèse n'était disponible. Avant d'entamer la caractérisation d'un locus de résistance, il nous a paru nécessaire de faire une revue de la littérature existante sur les gènes et QTL de résistance identifiés et cartographiés. Cette synthèse correspond au paragraphe II de l'article suivant (soumis au journal MPMI pour publication).

I.2.3 Une revue des gènes et QTLs de résistance du riz à Magnaporthe oryzae.

- A genome-wide meta-analysis of rice blast resistance genes and QTLs
- 2 provides new insights into partial and complete resistance.

- 4 Elsa Ballini¹, Jean-Benoît Morel¹, Gaétan Droc², Adam Price³, Brigitte Courtois², Jean-Loup
- 5 Notteghem¹, Didier Tharreau^{1*}

- ¹UMR BGPI, CIRAD-INRA-SupAgro.M, TA A54/K, 34398 Montpellier Cedex, France
- 8 ²UMR DAP, CIRAD-INRA-UM2, TA A96/03, 34398 Montpellier Cedex, France
- ³School of Biological Sciences, University of Aberdeen, Aberdeen, AB24 3UU, UK

- 11 *Corresponding Author:
- 12 Didier Tharreau
- 13 UMR BGPI, CIRAD-INRA-SupAgro.M
- 14 TA A54/K, 34398 Montpellier Cedex, France
- 15 Tel: 33 4 99 62 48 39; Fax: 33 4 99 62 48 48; email: tharreau@cirad.fr

Ballini - MPMI

Abstract:

The completion of the genome sequences of both rice and *Magnaporthe oryzae* has strengthened the position of rice blast disease as a model to study plant–pathogen interactions in monocotyledons. Genetic studies of blast resistance in rice were established in Japan as early as 1917. Despite such long-term study, examples of varieties with durable resistance are rare, partly due to our limited knowledge of resistance mechanisms. A rising number of blast resistance genes and quantitative trait loci (QTLs) have been genetically described, and some have been characterized during the last 20 years. Using the rice genome sequence, can we go now a step further towards a better understanding of the genetics of blast resistance by combining all these results? Is such knowledge appropriate and sufficient to improve breeding for durable resistance? A review of bibliographic references identified 85 blast resistance genes and *ca.* 350 QTLs, which we mapped on the rice genome. These data provide a useful update on blast resistance genes as well as new insights to help formulate hypotheses about the molecular function of blast QTLs, with special emphasis on QTLs for partial resistance. All these data are available from the OrygenesDB database (http://orygenesdb.cirad.fr/index fr.htm).

196 words

Keywords: colocalization, defense, MetaQTLs, Oryza sativa.

Ballini - MPMI

Definitions:

Many different terms have been used to describe resistance. Moreover, the same term can sometimes have different meanings and interpretations. In order to be consistent, and to limit any misinterpretation of our results, we will first provide the definitions used in this review to describe different forms of resistance:

- (1) Complete and partial resistance are defined phenotypically. Pathogen reproduction is fully inhibited for a genotype with complete resistance. A partial resistance genotype allows limited pathogen reproduction, but significantly reduced when compared to a susceptible genotype.
- (2) A resistance spectrum is defined according to interaction with pathogen strains. A specific resistance is effective against only some strains of the pathogen. A broad spectrum resistance is efficient against a large number, but not all, strains of the pathogen. Since we will focus only on resistance to blast, in this review we will not use broad spectrum in the sense of efficient resistance against different types of pathogens. A general resistance is effective against all strains of the pathogen. Because it is almost impossible to demonstrate that a resistance is general, it can be used as a concept but not as a measurable trait.
- (3) Durable resistance is defined *sensu* Johnson (1981), i.e. "resistance that remains effective while a cultivar possessing it is widely cultivated".

Introduction

Rice (*Oryza sativa* L.) is the staple food of half of the world's human population (Khush, 2005). Rice blast disease, caused by the fungus *Magnaporthe oryzae* (Hebert) Barr, is one of the most serious diseases of this crop. Its importance can be measured using several different parameters. First, its geographic distribution is wide; rice blast is present in all rice-growing areas worldwide (CAB International, 1981). Second, yield losses can be very large; in upland conditions, complete yield loss is frequently observed, with dramatic impact on populations fed mainly on rice.

Third, fungicides are often used to control rice blast and this generates additional costs in rice production. The sales of anti-blast fungicides in Japan in 2000 were estimated at 26 billion Yen (160 million Euro; Yamaguchi, 2004). In China, from 1980 to 1990, the area treated with fungicides to prevent blast increased from 2.4 to 8.9 million ha (Shen and Lin, 1994). As a consequence, independently of the rice growing system or area, breeding for resistance to blast is needed to control the disease despite the availability of effective fungicides.

With the completion of the rice (Goff et al., 2002) and M. oryzae (Dean et al., 2005) genome sequences, rice blast disease has strengthened its position as a model for plantpathogen interactions in monocotyledons (Valent 1990, Veneault-Fourrey and Talbot, 2005; Ribot et al., 2007). Despite the relatively long history of genetic studies on rice resistance to blast (Takahashi, 1965), examples of varieties with durable resistance are very few (Ou, 1985), and resistance breakdown shortly after cultivation of newly released varieties is the rule. This phenomenon is due, in part, to pathogen evolution toward virulence. Reviewing breeding for resistance to blast, Ou (1985) concludes: "Some cultivars show breakdown in resistance after a few years, and others become susceptible in other geographic areas. The problem arises because of the variability in pathogenicity of the fungus, a factor which in the past has been underestimated by workers in this field." Different strategies to breed durable resistance have been proposed to counter blast evolution. Some strategies, such as pyramiding (Bonman et al., 1992), lineage exclusion (Zeigler et al., 1994), multilines (Abe, 2004), and mixtures (Zhu et al., 2000), are based on the use of complete and specific resistance genes. Others are based on the accumulation of partial resistance (Bonman et al., 1992), a strategy thought to be more durable because it is assumed to be more general. Lastly, based on the observation that some durably resistant cultivars display complete and partial resistance (Wang et al., 1994), a strategy combining both types of resistance was proposed (Bonman et al., 1992).

Since the first publication of a quantitative trait loci (QTL) analysis of rice resistance to blast (Wang et al., 1994), many such studies have been published (Table 1). The attraction of QTL research can be explained by the fact that partial resistance implies more general mechanisms and, consequently, is thought to be more durable. But, is this assumption valid? Several studies have shown that partial resistance can be specific (Bonman et al., 1989; Roumen, 1992; Talukder et al., 2004; Lopez-Gerena, 2006). Moreover, four partial resistance genes have been identified and have been described as specific: Pif (Yunoki et al., 1970), pi21 (Fukuoka and Okuno, 1997), Pb1 (Fuji et al., 1995) and Pi34 (Zenbayashi-Sawata et al., 2002; Zenbayashi-Sawata et al., 2005). An avirulence gene corresponding to Pi34 (AvrPi34) was identified, similar to the case for complete resistance genes (Zenbayashi-Sawata et al., 2005). All these results suggest that partial resistance is sometimes specific and does not necessarily have a broader resistance spectrum than complete resistance. However, is this a general feature of partial resistance? Does this mean that partial resistance is controlled by the same genes as complete resistance? The first cloning of a gene for partial resistance to blast, pi21, has recently been achieved. pi21 encodes a protein with heavy-metal-binding and proline-rich domains, but has no similarity to proteins of known function (Fukuoka et al., 2007). Thus, pi21 does not support the hypothesis that classical resistance genes are responsible for partial resistance.

Despite the example provided by *pi21*, the question that underlies recent publications on partial resistance to rice blast remains: which types of genes are under a QTL? Some publications have demonstrated a relationship between QTLs and different types of candidate genes: biotic stress expressed sequence tags (ESTs; Wang et al., 2001), defense genes (Ramalingam et al., 2003; Wen et al., 2003), and resistance gene analogues (RGA; Wisser et al., 2005). However, in our opinion, these analyses suffer from two limitations: 1) these publications use only a limited subset of the QTL data and/or candidate genes available, 2) some of these papers considered that all QTLs detected governed partial resistance. However, as previously shown for blast

(Sallaud et al., 2003), QTL mapping can be used to efficiently detect complete resistance. Thus, using a QTL mapping strategy does not guarantee the identification of partial resistance.

To address these problems, we first attempted to compile an exhaustive list of QTLs, and then focused our analyses on partial resistance. In particular, we addressed the following two important questions: 1) Is partial resistance general (non specific)? 2) Is partial resistance caused by defeated complete resistance genes?

The objectives of this review are to:

- 1) Extensively review the information available on blast resistance genes and QTLs.
- 2) Provide accurate QTL data by a meta-analysis, and analyze the colocalization of the blast gene and QTL with candidate genes, using the rice genome sequence.
 - 3) Formulate hypotheses regarding the molecular function of some partial resistance QTLs.
 - 4) Draw conclusions for breeding of durably resistant rice cultivars.

A review of rice blast resistance genes and QTLs

A large amount of information is available on rice blast resistance. With a view to comparing partial and complete resistance, we first assembled this information by conducting a systematic survey of the literature.

Complete rice blast resistance genes

Rice blast disease resistance genes were first described by Sasaki in 1923. An important contribution was then made by Kiyosawa (1984). In 1995, the Rice Genetic Newsletter (RGN) published a report including a list of 26 blast resistance genes and since then has published the registration of 15 additional genes. Resistance genes are described in databases such as Gramene (http://www.gramene.org/) and Oryzabase (http://www.shigen.nig.ac.jp/rice/oryzabase/top/top.jsp). Genetic maps of rice blast resistance

genes have been proposed in recent papers (Sallaud et al., 2003; Monosi et al., 2004). However, with the increasing number of newly mapped blast resistance genes, data from all these sources turned out to be incomplete. Starting from the data available in the RGN publication of 1995 and in the Gramene and Oryzabase databases, we updated this list of genes by searching the literature for publications on blast resistance genes. Unpublished data were also kindly provided by colleagues (referenced in Supplemental Table 1).

Despite the fact that they were identified after 1994, 18 genes were named without following the nomenclature of the Committee on Gene Symbolization (Kinoshita et al., 1994). More problematic, in some cases the same gene name was given to different genes, and nine redundant gene symbols are used (see Supplemental Table 2). It is thus necessary to clarify the identity of these different genes and, possibly, to rename some of them. In the future, the rice blast research community should try to apply the existing nomenclature rules.

We identified a total of 73 complete resistance genes (Supplemental Table 1), i.e. twice the number reported in recent publications (Sallaud et al., 2003; Monosi et al., 2004). As illustrated in Figure 1, we have physically mapped these genes on the genome of Nipponbare, using the position of the flanking markers given in the Gramene database. When the position of a marker was not available, the next flanking marker was used. The physical position of the resistance genes and their references are available from the OryGenesDB database (http://orygenesdb.cines.fr/cgi-bin/gbrowse/orygenesdb/).

As observed previously (Monosi et al., 2004), most of the resistance genes are concentrated in certain genomic regions, particularly on chromosomes 6, 11, and 12. More than 80% of the genes described colocalize on the genome (i.e. are anchored in overlapping intervals) with another mapped resistance gene (Figure 1). However, this apparent colocalization could be the result of several unrelated processes: the description of the same gene in different studies; the description of alleles of the same gene in different varieties; the real clustering of resistance

genes; or poor mapping resolution, which can generate colocalization by chance. Fifteen of these genes are finely mapped (to less than 500 kb) (Table 2) and the cloning of most of them is in progress. For the others, a more precise description is needed.

As expected, in Nipponbare, 80% of these complete resistance genes colocalize with nucleotide binding site-leucine rich repeat (NBS-LRR) candidates, the most frequent type of RGA in rice. Eight complete resistance genes to blast have been cloned so far: *Pib* (Wang et al., 1999), *Pita* (Bryan et al., 2000), *Pikh* (Sharma et al., 2005), *Pi9* (Qu et al., 2006), *Pi2/Piz*t (Zhou et al., 2006), *Pid2* (Chen et al., 2006), *Pi36* (Liu et al., 2007), and *Pi37* (Lin et al., 2007) (Table 3). Apart from *Pid2*, which encodes a serine/threonine-kinase membrane-spanning protein, all these genes belong to the NBS-LRR resistance gene family.

Partial rice blast resistance genes.

Apart from 11 examples of partial resistance that segregated as monogenic traits (Table 4), most of the partial rice blast resistance genes were described in QTL mapping studies. We created a database containing all available information on rice blast resistance QTLs. We searched the literature for publications on QTLs for resistance to *M. oryzae*. Eighteen studies were analyzed, including two studies published for the first time in this paper (Table 1). All the identified QTLs were anchored to the rice genome, as described above for resistance genes. The physical position of the resistance genes and QTLs and their references are available from the OryGenesDB database (http://orygenesdb.cines.fr/cgi-bin/gbrowse/orygenesdb/).

Altogether, we counted 347 QTLs over the 12 chromosomes, i.e., on average, 28 QTLs were reported per chromosome. Each QTL has a mean physical length of 4.9 Mbp. These QTLs are inherited from 28 different parents used in crosses, mostly between one indica and one japonica parent. The position of these QTLs is available in Supplemental Table S3.

Because the information generated by different studies was likely to be redundant, but also because further analysis could not be done on such a large number of QTLs, and in order to refine their positions, we decided to summarize the information by conducting a meta-analysis. Having QTLs from different populations and using different traits to measure resistance, a meta-analysis allows statistical estimation of whether some QTLs in fact correspond to one single QTL, and provides an estimation of the position of this MetaQTL (Goffinet and Gerber, 2000). This technique has been successfully applied, for example, to dissection of the genetic basis of flowering time in maize (Chardon et al., 2004), fibre development in cotton (Rong et al., 2007) and earliness in bread wheat (Hanocq et al., 2007).

The meta-analysis allowed detection of 165 MetaQTLs, thus reducing significantly the initial dataset of 347 QTLs. These data are available in supplemental Table S4 and on the OryGenesDB database (http://orygenesdb.cines.fr/cgi-bin/gbrowse/orygenesdb/) by activating the "All Rice MetaQTL" annotation layer in the genome browser. A graphical overview of the position of these MetaQTLs is presented in Figure 1. The average size of a MetaQTL is 3.3 Mbp, and, on average, there are 13 MetaQTLs per chromosome. Eleven percent of the MetaQTLs are finely mapped (< 500 kb) and 5% are large (>12 Mbp). On average, a MetaQTL is the consensus of 1.9 initial QTLs - only 10% come from four QTLs or more.

We then addressed the problem of identifying partial resistance among QTLs. As pointed out by Sallaud et al. (2003), QTL mapping can be used to efficiently detect complete resistance to blast. In fact, most QTL studies reveal loci for partial resistance and loci for complete resistance. We assumed that if one of the parents was completely resistant to the strain used then at least one complete resistance gene will segregate in the mapping population. In such cases, for the identification of partial resistance QTLs, completely resistant descendants should be excluded from the analysis or a detailed phenotype of the resistance of QTLs should be available (as in the case of *pi21*; Fukuoka et al., 2001). Because this information is rarely provided in the literature, we

decided to consider the QTLs detected in such studies as a mixture of partial and complete resistance (Table 1). Similarly, field studies without control of strains are likely to detect both partial and complete resistance QTLs. These studies rely on natural inocula, which are mixtures of races of differing virulence spectrum. Such mixtures can mimic partial resistance. Therefore, in our analysis, we decided to separate QTLs obtained in the field from QTLs obtained in the greenhouse where the rice blast strains used for inoculation were controlled. This approach allowed us to identify a total of 49 MetaQTLs (Supplemental Table 4) as partial resistance MetaQTLs. For the other MetaQTLs, the nature (partial or complete) was considered undetermined, either because of insufficient information or because they are likely to mix both types of resistance.

Is partial resistance different from complete resistance?

To date, all described rice genes for complete resistance to blast are specific. On the contrary, partial resistance is thought to be general. Nevertheless, some publications provide examples of specific partial resistance (Yunoki et al., 1970; Bonman et al., 1989; Roumen, 1992; Fuji et al., 1995; Fukuoka and Okuno, 1997; Zenbayashi et al., 2002; Talukder et al., 2004; Lopez-Gerena, 2006). The only gene for partial resistance to blast cloned so far does not encode a classical NBS-LRR (see above). Thus, the functions of genes controlling partial resistance remain unknown. The 49 QTLs for partial resistance to blast assembled here provide an opportunity to test, on a relatively large sample, the specificity of these QTLs and genes, as well as colocalization with candidate genes.

Is partial resistance specific or general?

Direct comparison of the resistance spectrum of partial resistance MetaQTLs with that of complete resistance genes is difficult to realize because resistance spectrum evaluation differs (in

 particular regarding numbers of blast strains and choice of strains) between the two types of data. Therefore, the resistance spectra of the 49 MetaQTLs of partial resistance and the 116 MetaQTLs of unknown resistance were compared. If partial resistance is general, then the resistance detected by partial resistance MetaQTLs should be effective against more races than that of the "other MetaQTLs". We developed an index, named BSR for broad-spectrum resistance (Supplemental Table 3). When several strains were tested, no partial resistance MetaQTL was effective against all strains. Only three partial resistance MetaQTLs and two "other MetaQTLs" are associated with broad-spectrum resistance (BSR ratio >50%). The distributions of the BSR scores of these two types of MetaQTLs are not significantly different based on a chi square test (p-value = 0.06). Thus, there is no significant difference between the resistance spectrum of MetaQTLs selected as being associated with partial resistance and other MetaQTLs.

Which genes control partial resistance?

It has been proposed that partial and complete resistance could be governed by different types of genes. Several complete resistance genes to blast have been cloned: most of them (7/8) are members of the NBS-LRR family (see above). Genes controlling partial resistance to blast remain poorly documented. The only quantitative resistance gene cloned, *pi21*, is recessive (Fukuoka and Okuno, 2001) and is not a classical RGA (see above). It has also been proposed that specific partial resistance could be controlled by defeated complete resistance genes (Talukder et al., 2004). This mechanism was demonstrated for the rice complete resistance gene to bacterial blight *Xa4*. This gene shows residual resistance against virulent strains (Li et al., 1999). An alternative hypothesis could be that partial resistance is governed by defense genes. This hypothesis is supported by recent experiments showing the successful use of defense-gene-derived markers to improve selection for quantitative resistance to blast (Liu et al., 2004, Wu et al., 2004).

If partial resistance is controlled either by defeated complete resistance genes or by defense genes, then MetaQTLs for partial resistance would be expected to co-localize with one these gene categories. The colocalization of QTLs of resistance to rice diseases and genes of the NBS-LRR family has already been attested (Wisser et al., 2005). However, this latter analysis did not differentiate between partial and complete resistance, putatively introducing a bias towards colocalization between QTLs and RGAs. Colocalization between QTLs and defense genes or defense regulators was also investigated (Wen et al., 2003; Wisser et al., 2005), but the number of genes tested was limited. We mapped RGAs in the genome of the japonica variety Nipponbare (see Table 5 for methods). We constructed an RGA map (available on the OryGenesDB database: Annotation layer "All RGA"). A map of *ca.* 4,100 defense genes compiled by Vergne et al. (this issue) is also available on the OryGenesDB database (http://orygenesdb.cines.fr/cgibin/gbrowse/orygenesdb/; Annotation layer "All rice defense genes").

We next compared the localization on the genome of the complete resistance genes mapped, the 49 selected MetaQTLs for partial resistance, and the other MetaQTLs with the localization of RGAs and defense genes (Table 5).

We first tested the colocalization between MetaQTLs and mapped resistance genes. These results show no significant differences between partial resistance MetaQTLs and other MetaQTLs (Table 5A). Despite a tendency of the MetaQTLs to colocalize with mapped resistance genes (61.2% and 57.8 % for partial resistance MetaQTLs and other MetaQTLs, respectively; Table 5B), this differs significantly from the proportion of mapped resistance genes that colocalize with other mapped resistance genes (83.9%). Colocalization between resistance genes is expected because resistance genes are clustered. Redundancy in the mapped resistance genes, some of which are probably identical or allelic, also contributes to colocalization.

We then tested possible colocalizations with RGA or defense genes. Most of the mapped resistance genes and MetaQTLs colocalized with an RGA or a defense gene (Table 5A). Based

on the number of RGAs and the size of the genome, the distribution of RGAs can be estimated at ca. 9 RGAs per 3.3 Mbp (i.e. the average size of MetaQTLs we identified). Thus, any QTL or resistance gene mapped within an interval of 3.3 Mb will colocalize with RGAs purely by chance. To try to detect significant differences, we compared colocalization of MetaQTLs and genes with colocalization of a set of 2.000 random positions (with an average size similar to QTLs and genes) with candidate genes. As expected, the frequency of RGAs is significantly greater at the positions of mapped complete resistance genes than for the random set of genes (Table 5B). In contrast, the frequency of RGAs is not significantly greater at the positions of partial resistance MetaQTLs. These results show significant differences between partial resistance MetaQTLs and mapped complete resistance genes with regards to colocalization with RGAs. The frequency of defense genes does not seem to correlate with either the position of mapped resistance genes or the position of partial resistance MetaQTLs (Table 5B). These results do not support the hypotheses that partial resistance to blast is controlled by defeated resistance genes or by classical defense genes. In contrast, like mapped resistance genes, the "other MetaQTLs" colocalize with RGAs. This result supports the idea that "other MetaQTLs" are mainly correspond to complete resistance genes detected by a QTL method.

Conclusion

The lack of durably resistant varieties is due in part to pathogen evolution toward virulence. But it is also due to our limited knowledge of resistance mechanisms. In 1985, Ou stated: "The genetics of resistance are insufficiently known and are often oversimplified". In the 20 years since then, the molecular function of some blast resistance genes has been described, and many QTLs for resistance to blast have been mapped. Moreover, relations between QTLs and ESTs (Wang et al., 2001), defense genes (Wen et al., 2003; Liu et al., 2004) and RGAs (Wisser et al., 2005) have

been tested. But what do we really know of the genetics of resistance to blast? And is this knowledge appropriate and sufficient to improve breeding for durable resistance?

This review provides an updated overview of the mapped resistance genes and QTLs for resistance to rice blast. This information was used to try to clarify relationships between previously described resistance genes and QTLs. Extensive and curated analyses of published QTL data do not support the idea that partial resistance is more general than complete resistance. Our analyses confirm previous published results obtained on smaller scales (Bonman et al., 1989; Roumen, 1992; Talukder et al., 2004; Lopez-Gerena, 2006). The results suggest that differences in pathogenicity can be selected, and that partial resistance is likely to be overcome. Hence, partial resistance could turn out not to be durable. Our analyses do not support either of the following hypotheses: that partial resistance is controlled by defeated complete resistance genes or that it is controlled by classical defense genes. The first resistance gene for partial resistance to blast to be cloned, pi21, is neither an RGA nor a classical defense gene. Since it is not an RGA, it is surprising that pi21 is specific. Defense mechanisms following recognition of the pathogen by the plant are likely to be triggered via different signaling pathways (Jones and Dangl, 2007). Some of these pathways might be specific to some complete resistance gene families. Thus, if pi21 is one effecter or regulator of one such specific pathway, it will appear to be specific. Further characterization of pi21 function will allow testing of this hypothesis. Moreover, further characterization of partial resistance is likely to reveal new functions in plant defenses. This will first require a finer mapping of QTLs for partial resistance.

No method of simplifying breeding for durable resistance emerges directly from this global analysis. If partial resistance is targeted (alone or in combination), the large number and wide distribution of QTLs controlling this trait are major constraints to the maintenance of favorable alleles for this character and to the incorporation of other favorable characters (yield, grain quality, abiotic stress tolerance, etc). However, the global analysis presented here allows us to identify a

limited number (less than 10) of partial resistance QTLs with desirable characteristics: efficiency against most of the strains tested, identification in several independent experiments, and significant impact on resistance. These QTLs are, in our opinion, interesting targets for future breeding programs.

Acknowledgements

We are grateful to Prof. Qinghua Pan and Dr. Kazutoshi Okuno for providing us with unpublished results. E.B. was supported by grants from the French Ministry of Research and CIRAD. Part of this work was supported by a Genoplante grant (B8).

Literature cited

- Abe, S. 2004. Breeding of a blast resistant multiline variety of rice, Sasanishiki BL. Jap. Agricul.

 Res. Quarterly. 38:149-154.
- Ahn, S., Kim, N.Y.K., Hong, H.C., Han, S.S., Choi, H.C., Moon, H.P., and McCouch, S.R. 1997.

 Molecular mapping of genes for resistance to Korean isolates of rice blast, Harmonizing
 agricultural productivity and conservation of biodiversity. Breeding and ecology. 8th

 SABRAO Congress and Annual Meeting of Korean Breed. Soc. pp. 435-436.
 - Bagali, P.G., Hittalmani, S., Shashidhar, S.Y., and Shashidhar, H.E. 2000. Identification of DNA markers linked to partial resistance for blast disease in rice across locations. Advances in Rice Blast Research. D. Tharreau, M.H. Lebrun, N.J. Talbot, and J.L. Notteghem, Eds. Kluwer Academic Publishers, Dordrecht, The Netherlands, pp. 34-42.
 - Berruyer, R., Adreit, H., Milazzo, J., Gaillard, S., Berger, A., Dioh, W., Lebrun, M.H., and Tharreau, D. 2003. Identification and fine mapping of *Pi33*, the rice resistance gene corresponding to the *Magnaporthe grisea* avirulence gene ACE1. Theor. Appl. Genet. 107:1139-1147.

- Bonman, J.M., Bandong, J.M., Lee, Y.H., and Lee, E.J. 1989. Race-specific partial resistance to blast in temperate japonica rice cultivars. Plant Disease, 73:496-499.
- Bonman, J.M., Khush, G.S., and Nelson, R.J. 1992. Breeding rice for resistance to pests. Annu.
- 360 Rev. Phytopathol. 30:507-528.
- Bryan, G.T., Wu, K., Farrall, L., Jia, Y., Hershey, H.P., McAdams, S.A., Faulk, K.N., Donaldson,
- 362 G.K., Tarchini, R., and Valent, B. 2000. A single amino acid difference distinguishes
- 363 resistant and susceptible alleles of the rice blast resistance gene Pi-ta. Plant Cell 12:2033-
- 364 2045.
- 365 CAB. 1981. Distribution Maps of Plant Diseases Map 51, Edition 6.
- Causse, M.A., Fulton, T.M., Cho, Y.G., Ahn, S.N., Chunwongse, J., Wu, K.S., Xiao, J.H., Yu, Z.H.,
- Ronald, P.C., Harrington, S.E., Second, G., McCouch, S.R., and Tanksley, S.D. 1994.
- 368 Saturated molecular map of the rice genome based on an interspecific backcross
- population. Genetics 138:1251-1274.
- Chardon, F., Virlon, B., Moreau, L., Falque, M., Joets, J., Decousset, L., Murigneux, A., and
- Charcosset, A. 2004. Genetic architecture of flowering time in maize as inferred from
- guantitative trait loci meta-analysis and synteny conservation with the rice genome.
- 373 Genetics 168:2169-2185.
- Chen, H., Wang, S., Xing, Y., Xu, C., Hayes, P.M., and Zhang, Q. 2003. Comparative analyses of
- genomic locations and race specificities of loci for quantitative resistance to *Pyricularia*
- 376 grisea in rice and barley. Proc. Natl. Acad. Sci. U.S.A 100:2544-2549.
- Chen, S., Wang, L., Que, Z., Pan, R., and Pan, Q. 2005. Genetic and physical mapping of *Pi37*(t),
- a new gene conferring resistance to rice blast in the famous cultivar St. No. 1. Theor. Appl.
- 379 Genet. 111:1563-1570.
- 380 Chen, X., Shang, J., Chen, D., Lei, C., Zou, Y., Zhai, W., Liu, G., Xu, J., Ling, Z., Cao, G., Ma, B.,
- Wang, Y., Zhao, X., Li, S., and Zhu, L. 2006. A B-lectin receptor kinase gene conferring rice

- 382 blast resistance. Plant J. 46:794-804.
- 383 Chen, X.W., Li, S.G., Xu, J.C., Zhai, W.X., Ling, Z.Z., Ma, B.T., Wang, Y.P., Wang, W.M., Cao, G.,
- Ma, Y.Q., Shang, J.J., Zhao, X.F., Zhou, K.D., and Zhu, L.H. 2004. Identification of two
- 385 blast resistance genes in a rice variety, Digu. J. Phytopath. 152:77-85.
- Dardick, C., and Ronald, P. 2006. Plant and animal pathogen recognition receptors signal
- through non-RD kinases. PLoS Pathog. 2(1):e2.
- Dean, R.A., Talbot, N.J., Ebbole, D.J., Farman, M.L., Mitchell, T.K., Orbach, M.J., Thon, M.,
- Kulkarni, R., Xu, J.R., Pan, H., Read, N.D., Lee, Y.H., Carbone, I., Brown, D., Oh, Y.Y.,
- Donofrio, N., Jeong, J.S., Soanes, D.M., Djonovic, S., Kolomiets, E., Rehmeyer, C., Li, W.,
- Harding, M., Kim, S., Lebrun, M.H., Bohnert, H., Coughlan, S., Butler, J., Calvo, S., Ma,
- L.J., Nicol, R., Purcell, S., Nusbaum, C., Galagan, J.E., Birren, B.W. 2005. The genome
- sequence of the rice blast fungus *Magnaporthe grisea*. Nature 434:980-986.
- Deng, Y., Zhu, X., Shen, Y., and He, Z. 2006. Genetic characterization and fine mapping of the
- 395 blast resistance locus Pigm(t) tightly linked to Pi2 and Pi9 in a broad-spectrum resistant
- 396 Chinese variety. Theor. Appl. Genet.113:705-713.
- Fujii, K., Hayano-Saito, Y., Shumiya, A., and Inoue, M. 1995. Genetical mapping based on the
- 398 RFLP analysis for the panicle blast resistance derived from a rice parental line St.No.1.
- 399 Breed. Sci. 45:209 (In Japanese).
- 400 Fukuoka, S., and Okuno, K. 1997. QTL analysis for Field resistance to rice blast using RFLP
- 401 markers. Rice Genet. Newsl. 14:99.
- 402 Fukuoka, S., and Okuno, K. 2001. QTL analysis and mapping of pi21, a recessive gene for field
- resistance to rice blast in Japanese upland rice. Theor. Appl. Genet.103:185-190.
- 404 Fukuoka, S., Okuno, K., and Kawase, M. 2007. Rice blast disease gene Pi21, resistance gene
- 405 pi21 and utilization thereof. Patent WO/2007/000880
- 406 Goff, S.A., Ricke, D., Lan, T.H., Presting, G., Wang, R., Dunn, M., Glazebrook, J., Sessions, A.,

- Oeller, P., Varma, H., Hadley, D., Hutchison, D., Martin, C., Katagiri, F., Lange, B.M.,
- Moughamer, T., Xia, Y., Budworth, P., Zhong, J.P., Miguel, T., Paszkowski, U., Zhang, S.,
- Colbert, M., Sun, W.L., Chen, L. and Cooper, B, et al. 2002. A draft sequence of the rice
- genome (*Oryza sativa* L. ssp. *japonica*). Science 296:92-100.
- Goffinet, B., and Gerber, S. 2000. Quantitative Trait Loci: A Meta-analysis. Genetics 155:463-473.
- Goto, I. 1970. Genetic studies on the resistance of rice plant to the blast fungus. I. Inheritance of
- 413 resistance in crosses Sensho X H-79 and Imochi-shirazu X H-79. Ann. Phytopath. Soc.
- 414 Jap. 36:304-312.
- 415 Goto, I. 1988. Genetic studies on resistance of rice plant to blast fungus (VII). Blast resistance
- genes of Kuroka. Ann. Phytopath. Soc. Jap. 54:460-465. (In Japanese, English abstract).
- Hanocq, E., Laperche, A., Jaminon, O., Laine, A.L., and Le Gouis, J. 2007. Most significant
- genome regions involved in the control of earliness traits in bread wheat, as revealed by
- 419 QTL meta-analysis. Theor Appl Genet. 114:569-584.
- Huang, H.J., Tseng, C.S., and Lai, M.H. 2004. Identification and Mapping of the QTL Controlling
- Resistance to Blast (*Magnaporthe grisea*) Disease in Rice. J. Genet. Mol. Biol. 15:96-107
- 422 (In Chinese, English abstract)...
- 423 Jeon, J.S., Chen, D., Yi, G.H., Wang, G.L., and Ronald, P.C. 2003. Genetic and physical mapping
- of Pi5(t), a locus associated with broad-spectrum resistance to rice blast. Mol. Genet.
- 425 Geno. 269:280-289.
- 426 Johnson, R. 1981. Durable resistance: definition of, genetic control, and attainment in plant
- breeding. Phytopathology 71:567-568.
- 428 Jones, J.D., and Dangl, J.L. 2006 The plant immune system. Nature 444:323-329.
- Khush, G.S. 2005. What it will take to feed 5.0 billion rice consumers in 2030. Plant Mol. Biol.
- 430 59:1-6.
- 431 Kinoshita, T., Inukai, T., and Toriyama, K. 1994. Reports from coordinators; Gene symbols for

- blast resistance newly revised. Rice Genet. Newslet. 11:16-17.
- 433 Kiyosawa, S. 1970. Inheritance of a particular sensitivity of the variety Sekiguchi Asahi to
- pathogens and chemicals and linkage relationship with blast resistance genes. Bull. Nat.
- 435 Inst. Agricult. Sci. 21:61-71.
- 436 Kiyosawa, S., and Ling, Z.Z. 1984. Identification of genes for rice blast resistance in Chinese
- differential varieties with Japanese fungus strains. Scientia Sinica 27:273-283.
- 438 Lei, C.L., Huang, D.Y., Li, W., Wang, J.L., Liu, Z.L., Wang, X.T., Shi, K., Cheng, Z.J., Zhang, X.,
- Ling, Z.Z., and Wan, J.M. 2005. Molecular mapping of a blast resistance gene in an indica
- rice cultivar Yanxian No. 1. Rice Genet. Newslet. 22:76-77.
- Li, Z.K., Luo, L.J., Mei, H.W., Paterson, A.H., Zhao, X.H., Zhong, D.B., Wang, Y.P., Yu, X.Q., Zhu,
- L., Tabien, R., Stansel, J.W., and Ying, C.S. 1999. A "defeated" rice resistance gene acts
- as a QTL against a virulent strain of Xanthomonas oryzae pv. oryzae. Mol. Gen. Genet.
- 444 261:58-63.
- Lin, F., Liu, Y., Wang, L., Liu, X., and Pan, Q. 2007. A high-resolution map of the rice blast
- resistance gene Pi15 constructed by sequence-ready markers. Plant Breeding 126:287-
- 447 290.
- 448 Liu, B., Zhang, S., Zhu, X., Yang, Q., Wu, S., Mei, M., Mauleon, R., Leach, J., Mew, T., and
- Leung, H. 2004. Candidate defence genes as predictors of quantitative blast resistance in
- rice. Mol. Plant-Microbe Interact. 17:1146-1152.
- 451 Liu, X., Lin, F., Wang, L., and Pan, Q. 2007. The in silico map-based cloning of Pi36, a rice CC-
- 452 NBS-LRR gene which confers race-specific resistance to the blast fungus. Genetics
- 453 176:2541-2549.
- 454 Loan, L.C., Du, P.V.., and Li Z.K.. 2003. Identification of genes conferring resistance to some
- 455 Philippine and Vietnamese races of blast. Omonrice 11: 49-62.

- Lopez-Gerena, J. 2006. Mapping QTL controlling durable resistance torice blast in the cultivar

 Oryzica Llanos 5. PhD Thesis, Universidad del Valle, Plant Pathology College of

 Agriculture, Cali, Colombia and Kansas State University, USA. 142 pp.
- Miyamoto, M., and Hirasawa, H. 2003. Relationship between RFLP loci with different alleles on chromosome 4 and the levels of blast field resistance in Japanese upland rice varieties. Breed. Sci. 53:1-5.
- Miyamoto, M., Yano, M., and Hirasawa, H. 2001. Mapping of quantitative trait loci conferring blast field resistance in the Japanese upland rice variety Kahei. Breed. Sci. 51:257-261.
- Monosi, B., Wisser, R.J., Pennill, L., and Hulbert, S.H. 2004. Full-genome analysis of resistance gene homologues in rice. Theor. Appl. Genet. 109:1434-1447.
- Nguyen, T.T.T., Koizumi, S., La, T.N., Zenbayashi, K.S., Ashizawa, T., Yasuda, N., Imazaki, I., and Miyasaka, A. 2006. *Pi35*(t), a new gene conferring partial resistance to leaf blast in the rice cultivar Hokkai 188. Theor. Appl. Genet. 113:697-704.
- Okuno, K., and Fukuoka, S.. 2002. An Enhancement Strategy for Rice Germplasm: DNA Markerassisted Identification of Beneficial QTL for Resistance to Rice Blast. Managing Plant
 Genetic Diversity. J.M.M. Engels, V. Ramanatha Rao, A.H.D. Brown, and M.T. Jackson,
 Eds. IPGRI.
- Ou, S.H. 1985. Blast, Rice Diseases. 2nd edition. Commonwealth Agricultural Bureaux., Slough,
 UK, pp. 109-201.
- Pan, Q.-H., Hu, Z.-D., Takatoshi, T., and Wang, L. 2003. Fine Mapping of the Blast Resistance

 Gene *Pi15*, Linked to *Pii*, on Rice Chromosome 9. Acta Botanica Sinica 45:871-877.
- Qu, S., Liu, G., Zhou, B., Bellizzi, M., Zeng, L., Dai, L., Han, B., and Wang, G.-L. 2006. The
 Broad-Spectrum Blast Resistance Gene *Pi9* Encodes a Nucleotide-Binding Site-LeucineRich Repeat Protein and Is a Member of a Multigene Family in Rice. Genetics 172:19011914.

- Ramalingam, J., Vera Cruz, C.M., Kukreja, K., Chittoor, J.M., Wu, J.L., Lee, S.W., Baraoidan, M.,
- 482 George, M.L., Cohen, M.B., Hulbert, S.H., Leach, J.E., and Leung H. 2003. Candidate
- defence genes from rice, barley, and maize and their association with qualitative and
- quantitative resistance in rice. Mol. Plant Microbe Interact. 16:14-24.
- Ribot, C., Hirsch, J., Balzergue, S., Tharreau, D., Nottéghem, J.L., Lebrun, M.H., and Morel, J.B.
- 486 2007. Susceptibility of rice to the blast fungus, Magnaporthe grisea. Journal of Plant
- 487 Physiology. In press. doi:10.1016/j.jplph.2007.06.013
- Rong, J., Feltus, F.A., Waghmare, V.N., Pierce, G.J., Chee, P.W., Draye, X., Saranga, Y., Wright,
- 489 R.J., Wilkins, T.A., May, O.L., Smith, C.W., Gannaway, J.R., Wendel, J.F., and Paterson,
- 490 A.H. 2007. Meta-analysis of polyploid cotton QTL shows unequal contributions of
- subgenomes to a complex network of genes and gene clusters implicated in lint fiber
- 492 development. Genetics 176:2577-2588.
- Roumen, E.C. 1992. Small differential interactions for partial resistance in rice cultivars to virulent
- isolates of the blast pathogen. Euphytica 64:143-148.
- Sallaud, C., Lorieux, M., Roumen, E., Tharreau, D., Berruyer, R., Svestasrani, P., Garsmeur, O.,
- Ghesquiere, A., and Notteghem, J.L. 2003. Identification of five new blast resistance genes
- in the highly blast-resistant rice variety IR64 using a QTL mapping strategy. Theor. Appl.
- 498 Genet. 106:794-803.
- 499 Sasaki, R. 1923. Existence of strains in rice blast fungus II. Journal of Plant Protection 10:1-10. (In
- 500 Japanese).
- Sato, H., Takeuchi, Y., Hirabayashi, H., Nemoto, H., Hirayama, M., Kato, H., Imbe, T., and Ando,
- I. 2006. Mapping QTLs for field resistance to rice blast in the Japanese upland rice variety
- 503 Norin 12. Breed. Sci. 56:415-418.
- 504 Sharma, T.R., Shanker, P., Singh, B.K., Jana, T.K., Madhav, M.S., Gaikwad, K., Singh, N.K.,
- Plaha, P., and Rathour, R. 2005. Molecular mapping of rice blast resistance gene *Pi-kh* in

506	the rice variety	etep. J. Plant Biochem	i. Biotec. 14:127-133.

- 507 Shen, M.G., and Lin, J.Y. 1994. The economic impact of rice blast disease in China, Rice Blast
- Disease. R.S. Zeigler, S.A. Leong, and P.S. Teng, Eds. CAB International/IRRI,
- 509 Wallingford, UK, pp. 321-331.
- 510 Shinoda, H., Toriyama, K., Yunoki, T., Ezuka, A., and Sakurai, Y. 1971. Studies on the varietal
- resistance of rice to blast. 6. Linkage relationship of blast resistance genes. Bull. Chugoku
- 512 Natl. Agric.. Exp. Sta. A20:21-25. (In Japanese)
- 513 Sirithunya, P., Tragoonrung, S., Vanavichit, A., Pa-In, N., Vongsaprom, C., and Toojinda, T. 2002.
- Quantitative Trait Loci Associated with Leaf and Neck Blast Resistance in Recombinant
- Inbred Line Population of Rice (*Oryza sativa*). DNA Research 9:79-88.
- Tabien, R.E., Li, Z., Paterson, A.H., Marchetti, M.A., Stansel, J.W., and Pinson, S.R.M. 2002.
- Mapping QTLs for field resistance to the rice blast pathogen and evaluating their individual
- and combined utility in improved varieties. Theor. Appl. Genet. 105:313-324.
- Takahashi, Y. 1965. Genetics of resistance to the rice blast disease. The Rice Blast Disease. The
- Johns Hopkins Press, Baltimore, Maryland, pp. 303-329.
- 521 Talukder, Z.I., McDonald, A.J.S., and Price, A.H. 2005. Loci controlling partial resistance to rice
- 522 blast do not show marked QTL x environment interaction when plant nitrogen status alters
- disease severity. New Phytologist 168:455-464.
- 524 Talukder, Z.I., Tharreau, D., and Price, A.H. 2004. Quantitative trait loci analysis suggests that
- 525 partial resistance to rice blast is mostly determined by race-specific interactions. New
- 526 Phytologist 162:197-209.
- 527 Valent, B. 1990. Rice blast as a model system for plant pathology. Phytopathology 80:33-36.
- 528 Veneault-Fourrey, C., and Talbot, N.J. 2005. Moving toward a systems biology approach to the
- study of fungal pathogenesis in the rice blast fungus *Magnaporthe grisea*. Advanced Appl.
- 530 Microbiol. 57:177-215.

- Wang, G.L., Mackill, D.J., Bonman, J.M., McCouch, S.R., Champoux, M.C., and Nelson, R.J.
- 532 1994. RFLP mapping of genes conferring complete and partial resistance to blast in a
- 533 durably resistant rice cultivar. Genetics 136:1421-1434.
- Wang, Z., Yamanouchi, U., Katayose, Y., Sasaki, T., and Yano, M. 2001. Expression of the Pib
- rice-blast-resistance gene family is up-regulated by environmental conditions favouring
- infection and by chemical signals that trigger secondary plant defences. Plant Mol. Biol.
- 537 47:653-661.
- Wang, Z., Yano, M., Yamanouchi, U., Iwamoto, M., Monna, L., Hayasaka, H., Katayose, Y., and
- 539 Sasaki, T. 1999. The *Pib* gene for rice blast resistance belongs to the nucleotide binding
- and leucine-rich repeat class of plant disease resistance genes. Plant Journal 19:55-64.
- Wen, N., Chu, Z., and Wang, S. 2003. Three types of defence-responsive genes are involved in
- resistance to bacterial blight and fungal blast diseases in rice. Mol. Genet. Geno. 269:331-
- 543 339.
- 544 Wisser, R.J., Sun, Q., Hulbert, S.H., Kresovich, S., and Nelson, R.J. 2005. Identification and
- Characterization of Regions of the Rice Genome Associated With Broad-Spectrum,
- 546 Quantitative Disease Resistance. Genetics 169:2277-2293.
- 547 Wu, J.L., Fan, Y.Y., Li, D.B., Zheng, K.L., Leung, H., and Zhuang, J.Y. 2005. Genetic control of
- rice blast resistance in the durably resistant cultivar Gumei 2 against multiple isolates.
- 549 Theor. Appl. Genet. 111:50-56.
- Wu, J.L., Sinha, P.K., Variar, M., Zheng, K.L., Leach, J.E., Courtois, B., and Leung, H. 2004.
- Association between molecular markers and blast resistance in an advanced backcross
- population of rice. Theor. Appl. Genet. 108:1024-32.
- Xu, J., Wang, J., Ling, Z. and Zhu, L. 2004. Analysis of rice blast resistance genes by QTL
- 555 mapping. Chinese Sci. Bull. 49:337-342.
- 556 Yamaguchi, I. 2004. Overview on the chemical control of rice blast disease, Rice blast:interaction

- with rice and control. S. Kawasaki, Ed. Kluwer Academic Press, Dordrecht, The Netherlands. pp. 1-13.
- Yunoki, T., Ezuka, A., Sakurai, Y., Shinoda, H., and Toriyama, K. 1970. Studies on the varietal resistance to rice blast. 3. Testing methods for field resistance on young seedling grown in greenhouse. Bull. Chugoku Natl. Agr. Exp. Sta. E6:1-19.
- Zeigler, R.S., Tohme, J., Nelson, R., Levy, M., and Correa-Victoria, F.J. 1994. Lineage exclusion a proposal for linking blast population analysis to resistance breeding. Rice Blast Disease.
- CAB International/IRRI, Wallingford, UK, pp. 267-292.
- Zenbayashi, K., Ashizawa, T., Tani, T., and Koizumi, S. 2002. Mapping of the QTL (quantitative trait locus) conferring partial resistance to leaf blast in rice cultivar Chubu 32. Theor.
- Appl.Genet. 104:547-552.
- Zenbayashi-Sawata, K., Ashizawa, T., and Koizumi, S. 2005. Pi34-AVRPi34:a new gene-for-gene interaction for partial resistance in rice to blast caused by Magnaporthe grisea. J. Gen.Plant Pathol. 71:395-401.
- Zhou, B., Qu, S.H., Liu, G.F., Dolan, M., Sakai, H., Lu, G.D., Bellizzi, M., and Wang, G. 2006. The eight amino-acid differences within three leucine-rich repeats between Pi2 and Piz-t resistance proteins determine the resistance specificity to Magnaporthe grisea. Mol. Plant-Microbe Interac. 19:1216-1228.
- Zhu, Y., Chen, H., Fan, J., Wang, Y., Li, Y., Chen, J., Fan, J., Yang, S., Hu, L., Loung, H., Mow, T.W., Teng, P.S., Wang, Z., and Mundt, C.C. 2000. Genetic diversity and disease control in rice. Nature 406:718-722.

Table 1: Literature sources used in the meta-analysis of QTLs for resistance to

rice blast

References	Population	Environment	Complete resistance mapping allowed	Descendants used	Partial Resistance
Sirithunya et al., 2002	CT9993-5-10-1-m × KDML105	Greenhouse and Field	Yes	All	Nd
Bagali et al., 2000	IR64 x Azucena	Greenhouse and Field	Yes	All	No
Fukuoka and Okuno, 2001;	Nipponbare x	Field	Yes	All	No
Okuno and Fukuoka, 2002	Owarihatamochi				
Miyamoto, et al. 2001; Miyamoto et al., 2003	Kahei x Koshihikari	Field	Yes	All	No
Sallaud et al., 2003	IR64 x Azucena	Greenhouse	Yes	All	No
Chen et al., 2003	Zhenshan 97 x Minghui 63	Greenhouse	Yes	All	No
Huang et al., 2004	Tainung 69 x Koshihikari	Greenhouse and Field	Yes	All	No
Xu et al., 2004	ZYQ8 x JX17	Greenhouse	Yes	All	No
Sato et al., 2006	URN12 x Koshihikari	Field	No	All	No
Wang et al., 1994	Moroberekan x Co39	Greenhouse and Field	Yes	Resistant and Susceptible separately	Yes
Tabien et al., 2002	Lemont x Teqing	Greenhouse and Field	Yes	All	No
Zenbayashi et al., 2002.	Norin29 x Chubu32	Field	No	Susceptible	Yes
Loan et al., 2003	Lemont x Teqing	Greenhouse	Yes	Resistant and Susceptible separately	Yes
Talukder et al., 2004 and 2005.	Bala x Azucena	Greenhouse	No	All	Yes
Wu et al., 2005	Zhong 156 x Gumei 2	Greenhouse and Field	Yes	Resistant and Susceptible separately	Yes
Lopez-Gerena, 2006	Oryzica Llanos 5 x Fanny	Greenhouse	Yes	All	Yes
A. Price, unpublished	Bala x Azucena	Greenhouse	Yes	All	Yes
D. Tharreau and J.B. Morel, unpublished	IR64 x Azucena	Greenhouse	No	All	Yes

Table 2: Finely mapped resistance genes (<500 kb)

Gene	Chromosome	Size (kbp)	Synonyms	Genotype	Candidate genes in Nipponbare	Reference
symbol Pi	12	292.1	Rmg56, IPi(t)*	nd	1 RPM1-like	Causse et al., 1994
Pi3	12	292.1	Rmg57, IPi3(t)*	nd	1 RPM1-like	Causse et al., 1994
Pb1	11	349.7	RMg58, Pbst	Modan		Fujii et al., 1995
Pi15	9	44.6	Pi15(t), Pi14, RMg34	GA25	2 RPM1-like	Pan et al., 2003; Lin et
Pi24	1	313.7	RMg61	Azucena	1 non RD kinase	Sallaud et al., 2003
Pi25(t)	2	263.3	RMg62	IR64		Sallaud et al., 2003
Pi33	8	237.0	Pi33(t), RMg70	IR64	3 RPM1-like	Berruyer et al., 2003
Pi34	11	67.0	RMg71	Chubu 32	5 RPM1-like and 1 Xa21-like	Zenbayashi et al., 2002
Pi39	12	37.7		Q15	1 RPM1-like and 1 Pto-like	Liu et al., 2007
Pi42	9	105.6		nd	2 RPM1-like	Pan, unpublished
Pi5	0	168.6	DMa22 Dis/N Di2 DMa24	C104PKT		Wang et al., 1994; J
215	9	168.6	RMg22, Pi5(t), Pi3, RMg21	C104PK1	3 RPM1-like	2003
Pigm(t)	6	53.8		Gumei4	4 RPM1-like	Deng et al., 2006
Pik	11	218.0	RMg8, Pik-s, Pik-p, Pik-m (Pi m), Pik-h, Pi	K60		Kiyosawa, 1970
- IK	11	210.0	k-g	ROU	5 RPM1-like	Nyosawa, 1970
Pi-x(t)	2	336.0		nd	1 RPG1-like	Huang, unpublished
Pi-y1(t)	2	110.4		Yanxian		Lei et al., 2005
<i>i</i> -y <i>i</i> (<i>i</i>)	<u> </u>	110.4		1		Loi ot al., 2000
Pi-y2(t)	2	110.4		Yanxian		Lei et al., 2005
<i>i-y∠(t)</i>	4	110.4		1		LGI GI AI., 2000

Table 3: Summary of information on cloned resistance genes

Gene symbol	Chromosome	Accession	Avr cloned	Direct interaction	RGA Type	References
Pib	2	AB013448	No	ND	NBS-LRR	Wang et al.,
7 10	_	ABOTOTTO	140	ND	NDO EITT	1999
D''	10	A F0070 40	Matallanustassa	V	NDC LDD	Bryan et al.,
Pita	12	AF207842	Metalloprotease	Yes	NBS-LRR	2000
D'' /	44	AV(04.4077	N-	ND	NDC LDD	Sharma et
Pikh	11	AY914077	No	ND	NBS-LRR	al., 2005
D'O.		ADDOOSE	N	ND	NDO LDD	Qu et al.,
Pi9	6	ABB88855	No	ND	NBS-LRR	2006
Die/Di		AD004500/D0050040		NB	NDO LDD	Zhou et al.,
Pi2/Pizt	6	ABC94599/DQ352040	No	ND	NBS-LRR	2006
				NB	B	Chen et al.,
Pid2	6		No	ND	B lectin receptor Ser/Thr kinase	2006
				NB	NDO LDD	Liu et al.,
Pi36	8	DQ900896	No	ND	NBS-LRR	2007
Dio.		B0000404		NB	NDO LDD	Lin et al.,
Pi37	1	<u>DQ923494</u>	No	ND	NBS-LRR	2007

Gene symbol	Length	Localization	Expression	Locus structure	Alleles	Origin
Pib	1,251 aa	ND	circadian, inducible by stress	2 genes	3 susceptible mutants	indica
Pita	928 aa	Cytoplasm	Constitutive	2 genes	1 aa with susceptible indica, 5 aa with susceptible japonica	indica
Pikh	330 aa	ND	inducible, difference Resistant/Susceptible	6 genes	1 substitution in the promotor	indica
Pi9	1,032 aa	ND	Constitutive	9 genes		Oryza minuta
Pi2/Pizt	1,032-1,033 aa	ND	Constitutive	9 genes	8 aa between Pi2 and Pizt	indica
Pid2	825 aa	Membrane	Constitutive	Simple	1 aa in TM with susceptible	indica
Pi36	1,056 aa	ND	Constitutive	Simple	1 aa	indica
Pi37	1,290 aa	Cytoplasm	Constitutive	4 genes	6 aa with susceptible	japonica

Table 4: Monogenic resistance genes mapped for partial resistance.

Gene symbol	Synonyms	Chromosome	Gramene Accession	Genotype	Reference
Pb1	RMg58, Pbst	11	GR:0060596	Modan	Fujii et al., 1995
pi21	rMg40	4	GR:0060650	Owarihatamochi	Fukuoka and Okuno, 1997
Pi21	RMg41	12	GR:0060651	Suweon 365	Ahn et al., 1997
Pi22	RMg42,	6	GR:0060652	Suweon 365	Ahn et al., 1997
Pi23	RMg43	5	GR:0060653	Suweon 365	Ahn et al., 1997
Pi34	RMg71	11	GR:0061457	Chubu 32	Zenbayashi et al., 2002
Pi35(t)		1		Hokkai 188	Nguyen et al., 2006
Pif	RMg3	11	GR:0060614	St No.1	Yunoki et al., 1970
Pikur1	RMg9	4	GR:0060620	Kuroka	Shinoda et al., 1971
Pikur2	RMg10,	11	GR:0060621	Kuroka	Goto, 1988
Pise1	RMg11, Rb1	11	GR:0060622	Sensho	Goto, 1970

Table 5: Colocalization of resistance genes, MetaQTLs and candidate genes.

To test the colocalization of resistance genes or MetaQTLs with RGAs, we considered six RGA types: NBS-LRR (e.g. RPM1), LRR-kinase XII (e.g. Xa21), LRR-kinase LRK10L-2 (e.g. RLK10), Waka kinase (e.g. RPG1), Sd2b kinase (e.g. Pid2) and CrRLK1L-1 RD-kinase (e.g. Pto). These different families were established thanks to additional data on non-RD kinase (Dardick and Ronald, 2006) and using the tools domain search in the OryGenesDB (http://orygenesdb.cirad.fr/index.htm) for the Pfam domain NB-ARC. We also mapped other non-RD and RD kinases for which no proof of implication in resistance exists at present.

To test the colocalization of resistance genes or MetaQTLs with defense genes, we used the map of 4,100 defense genes compiled by Vergne et al. (this issue), which is available on the OryGenesDB database.

A Frequency of mapped resistance genes or MetaQTLs that colocalize with at least one other mapped resistance gene or with one or morecandidate gene.

B Frequency of candidate genes located in a position where Mapped blast R genes, partial resistance MetaQTLs, Other Meta QTLs, specific MetaQTLs or Broad spectrum MetaQLs were mapped. A random set of 2,000 cDNAs was generated and their colocalization with resistance genes and MetaQTLs was tested. Frequencies of colocalizations with these random cDNA were compared to frequencies of colocalization with RGAs and defense genes using a Chi² test. p-values are indicated as follows < 0.001 ***, 0.001<p<0.01 **, 0.01<p<0.05 *.

A

	Mean Length	Number	Mapped blast R genes	RGA	Defense gene
Mapped blast R genes	4.42 Mbp	88	83.91%	86.21%	88.51%
Partial Resistance MetaQTLs	4.48 Mbp	48	61.22%	83.67%	97.96%
Other MetaQTLs	2.85 Mbp	117	57.76%	78.45%	98.28%

B

	Number	Mapped blast R genes	Partial resistance MetaQTLs	Other MetaQTL	specific MetaQTLs	Broad spectrum MetaQTLs
RGA	959	59.4%***	42.20%	61.2%***	37.50%	9.49%
Defense gene	4100	36.22%	45.20%	52.59%	nd	nd
Random cDNA	2000	38.43%	43.69%	53.48%	34.67%	10.92%

Supplemental Table 1: A list of rice blast resistance genes

We searched the literature for publications on resistance genes to *M. oryzae*. All the genes thus identified were anchored to the rice genome using the position of the flanking markers in the Gramene database. When the position of a marker was not available, the next flanking marker was used.



Gene symbol	Synonyms	Gramene Accession	Genotype	Chr		Position (bp)	Reference
Pit Pitp(t)*	RMg15 Rmg72	GR:0060626 GR:0061458	K 59, BL10, Tjina Tetep	1	t311-t8042 RM34-RM443	2270216-3043185 25135400-28667306	Kiyosawa, 1972 Barman et al, 2004
Pi35(t)	Milgrz	GIX.0001430	Hokkai 188	1	RM1216-RM1003	32435126-33803800	Nguyen et al., 2006
Pi37(t)			St N°1	1	RM543-FPSM1	33110281-33489931	Chen et al., 2005
Pi41			Nipponbare	1	RM543-RM319	33110281-34005652	Lin et al., unpublished
Pish	RMg14	GR:0060625	Shin 2, Nipponbare, Pi No.4, Fukunishiki, Norin 22, Kusabue, BL1	1	RM212-RM486	33381385-35283446	Imbe and Matsumoto, 1985
pi25(t)		1007004	Sanbangqishiluo	1	RM226-RM5448	34360810-37725160	Yang, 2001, Bin Liang, 2002
Pi24 Pi27	RMg61	AQCT001	Azucena Q14	1	RM522-RM151 RM151-RM259	5242654-5556378 5556378-7443429	Sallaud et al., 2003 Zhu et al., 2004
Pi14	RMg33, Pi14(t)	GR:0060643	Maowangu	2	0-RZ476	1-6725831	Pan et al., 1996
Pi16	RMg35, Pi16(t)	GR:0060645	Aus373	2	0-RZ476	1-6725831	Pan et al., 1997
Pi-d(t)1	9		Digu	2	S2068-G45	20143072-22595831	Chen et al., 2004
Pi-g(t)			Guangchangzhan	2	RM166-RM208	34346727-35135783	Zhou et al., 2004
Pitq5	Pitq5*, RMg54	GR:0060664	teqing	2	RZ446-RG520	34614264-35662091	Tabien et al., 2000
Pi-x(t)			Yanxian 1	2	RM3535-RM3248 RM3248-RM208	34689397-35025372	Huang, not published Lei et al., 2005
Pi-y1(t) Pi-y2(t)			Yanxian 1	2	RM3248-RM208	35025372-35135783 35025372-35135783	Lei et al., 2005
Pib	Pis, RMg2, Pi-hy	GR:0060613	BL1-1, Tjina	2	Os02g57310	35107768-35112900	Wang et al, 1999
Pi25(t)	RMg62	GR:0061348, AQCT002	IR64	2	RG520-end	35662091-35925388	Sallaud et al., 2003
Pitq2	Piq2*, RMg51, Pitq2*	GR:0060661	teqing	2			Tabien et al., 1996
Pitq3	Pitq3*, RMg52, Piq3*	GR:0060662	teqing	3			Tabien et al., 1996
pi21	rMg40	GR:0060650	Owarihatamochi	4	G271-E60696S	20157353-21802232	Fukuoka and Okuno, 1997
Pi-?(t) Pikur1	Pikur1*, RMg9	GR:0060620	IR64 Kuroka	4	RM518-RG190 E50720S-S12653S	2021675-8595185 24611955-33558479	sallaud et al, 2003 Shinoda et al. 1971
Pi(t)	Pi(t)*, RMg19	GR:0060629	P167	4	RG190-RM185	8595185-18564328	Hsieh, 1976
Pitq4	RMg53, Pitq4*, Piq4*	GR:0060663	teging	4	11010011111100	0000100 10001020	Tabien et al., 1996
Pi23	Pi23(t)*, RMg43	GR:0060653	Suweon 365	5	RM164-RM249	10755867-19175845	Ahn et al, 1997
Pi10	RMg27, Pi10(t)*	GR:0060637	Tongil	5	P37-RG13	14521809-18854305	Causse et al, 1994
Pi26(t)	Rmg63	GR:0061349	Azucena	5	RZ556-RG313	2069318-2760202	Sallaud et al, 2003
Piz Piam(t)	RMg17, Pi2	GR:0060628	Toride 1, Fukei 67, C101A51, Fukunishiki-1, 5173, Zenith	6	z4792-z5765	10155975-10517612 10367751-10421545	Zhou et al., 2006 Deng et al., 2006
Pigm(t) Pi9	RMg26, Pi9(t)*	GR:0060636	Gumei4 WHD75-1-127, Oryza minuta	6	C5483-C0428 Os06g17900	10367751-10421545	Deng et al., 2006 Qu et al., 2006
Pi13	RMg32, Pi3*, Pi13(t)*	GR:0060642	Kasalath	6	R538-R1960	12456009-16303608	Hayasaka et al., 1995
Pi-d(t)2			Digu	6	Os06g29810	17159337-17163868	Chen et al., 2004
Pi25	Pi25(t), RMg60 , RMg62	GR:0061186	Gumei 2	6	R3902-R2140S	18080056-19257588	Zhuang, et al. 2001
Pi13(t)	RMg31, Pi13(t)	GR:0060641	Maowangu	6	RM587-RG648	2291804-19337620	Pan et al, 1996
Pii1	Pii, RMg4	GR:0060615	Ishikari Shiroke, Fujisaka5	6	RM587-RM400	2291804-28431560	Yamasaki and Kiyosawa, 1966
Pitq1 Pi22	Pitq1*, Piq1*, RMg50 RMq42, Pi22(t)*	GR:0060660 GR:0060652	teqing Suweon 365	6	RM340-RM412 RZ588-RG138	28599181-30327854 4897048-6023472	Tabien et al., 1996 Ahn et al. 1997
Pi27(t)	Rmg64	GR.0000052	IR64	6	RM276-RM549	6230045-6976491	Sallaud et al, 2003
Pi8	RMg25	GR:0060635	Kasalath	6	RM276-RM136	6230045-8751256	Pan et al, 1995
Pi26	·		Gumei2	6	RM136-R2123	8751256-11676579	Wu et al., 2005
Pi17	Pi17(t), RMg36	GR:0060646	DJ123	7	R1357-S13453	22250443-24995083	Pan et al., 1996
Pi36			Q61	8	Os08g05440	2870061-2884353	Liu et al., 2005
Pizh	Pi11(t)*, RMg28	GR:0060638	Zhai-Ye-Qing 8	8	RM25-RM284	4372113-21012219	Tanksley et al., 1993
Pi33 Pi29(t)	Pi33(t), RMg70 RMq66, Pi29(t)*	GR:0061352	IR64, TYC, O. rufipogon, ZYQ8 IR64	8	Pi33-RM3507 AF159886-RG1034	5915858-6152906 9664057-16241105	Berruyer et al., 2003 Sallaud et al., 2003
non nommé	1(WQ00, F125(t)	GIV.0001332	11/04	8	AI 103000-1CG 1004	9004037-10241103	Sharma et al., unpublished
Pi-GD-1			Shanhuangzhan	8			Liu et al., 2004
Pii2	Pii2*, RMg5	GR:0060616	Ishikari Shiroke	9	RM316-RZ698	1022662-7222779	Kinoshita and Kiyosawa, 1997
Pi42				9	RM107-RM201	20068688-20174289	Pan, not published
Pi5	RMg22, Pi5(t), Pi3, RMg21	GR:0060631/GR:00606	C104PKT	9	C1454-S04G03	9630818-9799398	Wang et al, 1994; Jeon et al., 2003
	RMg22, Pi5(t), Pi3, RMg21	32					Wang et al. 1994; Jeon et al., 2003
Pi15	Pi15(t), Pi14, RMg34	32 GR:0060644	GA25	9	CRG5-CRG2	9641358-9685993	Pan et al., 2003; Lin et al., 2007
Pi15 Pi28(t)		32	GA25 Azucena				Pan et al., 2003; Lin et al., 2007 Sallaud et al, 2003
Pi15	Pi15(t), Pi14, RMg34	32 GR:0060644	GA25	9	CRG5-CRG2	9641358-9685993	Pan et al., 2003; Lin et al., 2007
Pi15 Pi28(t) Pi-GD-2 Pi-Im2 Pbst*	Pi15(t), Pi14, RMg34	32 GR:0060644 GR:0061351	GA25 Azucena Shanhuangzhan	9 10 10 11 11	CRG5-CRG2 RG134-C223 L457b-RZ536X G257-S723	9641358-9685993 19565132-22667948 13635033-28377565 17317267-21361768	Pan et al., 2003; Lin et al., 2007 Sallaud et al, 2003 Liu et al., 2004 Tabien et al., 2000. Fujii et al. 1995
Pi15 Pi28(t) Pi-GD-2 Pi-Im2 Pbst* PBR*	Pi15(t), Pi14, RMg34	32 GR:0060644 GR:0061351	GA25 Azucena Shanhuangzhan Lemont	9 10 10 11 11 11	CRG5-CRG2 RG134-C223 L457b-RZ536X G257-S723 E11749-E10310S	9641358-9685993 19565132-22667948 13635033-28377565 17317267-21361768 18593380-23669599	Pan et al., 2003; Lin et al., 2007 Sallaud et al, 2003 Liu et al., 2004 Tabien et al., 2000. Fujii et al. 1995 Fujii et al. 1995
Pi15 Pi28(t) Pi-GD-2 Pi-Im2 Pbst* PBR* Pi38	Pi15(t), Pi14, RMg34 Rmg65	32 GR:0060644 GR:0061351 AQAQ017	GA25 Azucena Shanhuangzhan Lemont	9 10 10 11 11 11 11	CRG5-CRG2 RG134-C223 L457b-RZ536X G257-S723 E11749-E10310S RM21-RM206	9641358-9685993 19565132-22667948 13635033-28377565 17317267-21361768 18593380-23669599 19137900-21979485	Pan et al., 2003; Lin et al., 2007 Sallaud et al., 2003 Liu et al., 2004 Tabien et al., 2000. Fujii et al., 1995 Gowda et al., 2006
Pi15 Pi28(t) Pi-GD-2 Pi-Im2 Pbst* PBR* Pi38 Pi34	Pi15(t), Pi14, RMg34 Rmg65 RMg71	32 GR:0060644 GR:0061351 AQAQ017 GR:0061457	GA25 Azucena Shanhuangzhan Lemont Tadukan Chubu 32	9 10 10 11 11 11 11 11	CRG5-CRG2 RG134-C223 L457b-RZ536X G257-S723 E11749-E10310S RM21-RM206 E1126-C1172	9641358-9685993 19565132-22667948 13635033-28377565 17317267-21361768 18593380-23669599 19137900-21979485 19423000-19490000	Pan et al., 2003; Lin et al., 2007 Sallaud et al, 2003 Liu et al., 2004 Tabien et al., 2000. Fujii et al. 1995 Fujii et al. 1995 Gowda et al., 2006 Zenbayashi et al., 2002
Pi15 Pi28(t) Pi-GD-2 Pi-Im2 Pbst* PBR* Pi38	Pi15(t), Pi14, RMg34 Rmg65 RMg71 RMg44, Pi44(t)*	32 GR:0060644 GR:0061351 AQAQ017	GA25 Azucena Shanhuangzhan Lemont	9 10 10 11 11 11 11	CRG5-CRG2 RG134-C223 L457b-RZ536X G257-S723 E11749-E10310S RM21-RM206 E1126-C1172 C1172-RZ424	9641358-9685993 19565132-22667948 13635033-28377565 17317267-21361768 18593380-2369599 19137900-21979485 19423000-19490000 20549800-26004823	Pan et al., 2003; Lin et al., 2007 Sallaud et al., 2003 Liu et al., 2004 Tabien et al., 2000. Fujii et al., 1995 Gowda et al., 2006
Pi15 Pi28(t) Pi-GD-2 Pi-Im2 Pbst* PBR* Pi38 Pi34 Pi44	Pi15(t), Pi14, RMg34 Rmg65 RMg71	32 GR:0060644 GR:0061351 AQAQ017 GR:0061457 GR:0060654 GR:0060596 GR:0060614	GA25 Azucena Shanhuangzhan Lemont Tadukan Chubu 32 RIL276, Moroberekan	9 10 10 11 11 11 11 11	CRG5-CRG2 RG134-C223 L457b-RZ536X G257-S723 E11749-E10310S RM21-RM206 E1126-C1172	9641358-9685993 19565132-22667948 13635033-28377565 17317267-21361768 18593380-23669599 19137900-21979485 19423000-1949000 20549800-26004823 21711437-21361768 24695583-28462103	Pan et al., 2003; Lin et al., 2007 Sallaud et al., 2003 Liu et al., 2004 Tabien et al., 2000. Fujii et al., 1995 Fujii et al., 1995 Gowda et al., 2006 Zenbayashi et al., 2002 Chen et al., 1999 Fujii et al., 1999
Pi15 Pi28(t) Pi-GD-2 Pi-Im2 Pbst* PBR* Pi38 Pi34 Pi44 Pb1 Pif Pikh	Pi15(t), Pi14, RMg34 Rmg65 RMg71 RMg44, Pi44(t)* RMg58, Pbst RMg3	32 GR:0060644 GR:0061351 AQAQ017 GR:0061457 GR:006054 GR:0060596 GR:0060614 AAY33493	GA25 Azucena Shanhuangzhan Lemont Tadukan Chubu 32 RIL276, Moroberekan Modan St No.1, Chugoku 31-1 Tetep	9 10 10 11 11 11 11 11 11 11 11	CRG5-CRG2 RG134-C223 L457b-RZ536X G257-S723 E11749-E10310S RM21-RM206 E1128-C1172 C1172-R2424 C188-S723 C53951S-end Os11942010	9641358-9685993 19565132-22667948 13635033-28377565 17317267-21361768 18593380-23669599 19137900-21979485 19423000-1949000 20549800-26004823 21711437-21361768 24695583-2846210	Pan et al., 2003; Lin et al., 2007 Sallaud et al., 2003 Liu et al., 2004 Tabien et al., 2000. Fujii et al., 1995 Gowda et al., 2006 Zenbayashi et al., 2006 Zenbayashi et al., 2005 Chen et al., 1999 Fujii et al. 1995 Yunoki et al., 1970 Sharma et al., 2005
Pi15 Pi28(t) Pi-GD-2 Pi-Im2 Pbst* PBR* Pi38 Pi34 Pi44 Pb1 Pif Pikh Pit1	Pi15(t), Pi14, RMg34 Rmg65 RMg71 RMg44, Pi44(t)* RMg58, Pbst RMg3 RMg20, Pi7(t), RMg24	32 GR:0060644 GR:0061351 AQAQ017 GR:0061457 GR:0060654 GR:0060654 GR:0060614 AAY33493 GR:0060630	GA25 Azucena Shanhuangzhan Lemont Tadukan Chubu 32 RIL276, Moroberekan Modan St No.1, Chugoku 31-1 Tetep LAC23, C101LAC	9 10 10 11 11 11 11 11 11 11 11	CRG5-CRG2 RG134-C223 L457b-RZ536X G257-S723 E11749-E10310S RM21-RM206 E1126-C1172 C1172-RZ424 C189-S723 G339515-end Os11g42010 RM123-RM6094	9641358-9685993 19565132-22667948 13635033-28377565 17317267-21361768 18593380-23669599 19137900-21979485 19423000-19490000 20549800-26004823 21711437-21361768 24695583-28462103 24761902-24762922 26498854-26374448	Pan et al., 2003; Lin et al., 2007 Sallaud et al., 2003 Liu et al., 2004 Tabien et al., 2000. Fujii et al., 1995 Gowda et al., 2006 Zenbayashi et al., 2002 Chen et al., 1999 Fujii et al., 1999 Yunoki et al., 1995 Sharma et al., 2005 Mackill and Bomman, 1992
Pi15 Pi28(t) Pi-GD-2 Pi-Im2 Pbst* PBR* Pi38 Pi34 Pi44 Pb1 Pif Pikh	Pi15(t), Pi14, RMg34 Rmg65 RMg71 RMg44, Pi44(t)* RMg58, Pbst RMg3 RMg20, Pi7(t), RMg24 Pi18(t), RMg37, Pi18(t)*	32 GR:0060644 GR:0061351 AQAQ017 GR:0061457 GR:006054 GR:0060596 GR:0060614 AAY33493	GA25 Azucena Shanhuangzhan Lemont Tadukan Chubu 32 RIL276, Moroberekan Modan St No.1, Chugoku 31-1 Tetep	9 10 10 11 11 11 11 11 11 11 11	CRG5-CRG2 RG134-C223 L457b-RZ536X G257-S723 E11749-E10310S RM21-RM206 E1128-C1172 C1172-R2424 C188-S723 C53951S-end Os11942010	9641358-9685993 19565132-22667948 13635033-28377565 17317267-21361768 18593380-23669599 19137900-21979485 19423000-1949000 20549800-26004823 21711437-21361768 24695583-2846210	Pan et al., 2003; Lin et al., 2007 Sallaud et al., 2003 Liu et al., 2004 Tabien et al., 2000. Fujii et al., 1995 Fujii et al., 1995 Gowda et al., 2006 Zenbayashi et al., 2002 Chen et al., 1999 Fujii et al. 1995 Yunoki et al., 1970 Sharma et al., 2005
Pi15 Pi28(t) Pi-GD-2 Pi-Im2 Pbst* PBR* Pi38 Pi34 Pi44 Pb1 Pif Pikh	Pi15(t), Pi14, RMg34 Rmg65 RMg71 RMg44, Pi44(t)* RMg58, Pbst RMg3 RMg20, Pi7(t), RMg24 Pi18(t), RMg37, Pi18(t)* RMg49, Pilm2, Magnaporthe grisea resistance from	32 GR:0060644 GR:0061351 AQAQ017 GR:0061457 GR:0060654 GR:0060654 GR:0060614 AAY33493 GR:0060630	GA25 Azucena Shanhuangzhan Lemont Tadukan Chubu 32 RIL276, Moroberekan Modan St No.1, Chugoku 31-1 Tetep LAC23, C101LAC	9 10 10 11 11 11 11 11 11 11 11	CRG5-CRG2 RG134-C223 L457b-RZ536X G257-S723 E11749-E10310S RM21-RM206 E1126-C1172 C1172-RZ424 C189-S723 G339515-end Os11g42010 RM123-RM6094	9641358-9685993 19565132-22667948 13635033-28377565 17317267-21361768 18593380-23669599 19137900-21979485 19423000-19490000 20549800-26004823 21711437-21361768 24695583-28462103 24761902-24762922 26498854-26374448	Pan et al., 2003; Lin et al., 2007 Sallaud et al., 2003 Liu et al., 2004 Tabien et al., 2000. Fujii et al., 1995 Gowda et al., 2006 Zenbayashi et al., 2002 Chen et al., 1999 Fujii et al., 1999 Yunoki et al., 1995 Sharma et al., 2005 Mackill and Bomman, 1992
Pi15 Pi28(t) Pi-GD-2 Pi-Im2 Pbst* PBR* Pi38 Pi34 Pi44 Pb1 Pif Pif Pikh Pi1	Pi15(t), Pi14, RMg34 Rmg65 RMg71 RMg44, Pi44(t)* RMg58, Pbst RMg3 RMg20, Pi7(t), RMg24 Pi18(t), RMg37, Pi18(t)*	32 GR:0060644 GR:0061351 AQAQ017 GR:0061457 GR:0060654 GR:0060654 GR:0060614 AAY33493 GR:0060630 GR:0060647	GA25 Azucena Shanhuangzhan Lemont Lemont Tadukan Chubu 32 RIL276, Moroberekan Modan St No.1, Chugoku 31-1 Tetep LAC23, C101LAC Suweon 365	9 10 10 11 11 11 11 11 11 11 11 11	CRG5-CRG2 RG134-C223 L457b-RZ536X G257-S723 E11749-E10310S RM21-RM206 E1126-C1172 C1172-RZ424 C189-S723 G33951S-end Os11g42010 RM1233-RM6094 RM224-RZ536	9641358-9685993 19565132-22667948 13635033-28377565 17317267-21361768 18593380-23669599 19137900-21979485 19423000-19490000 20549800-26004823 21711437-21361768 24695583-28462103 24761902-24762922 26498854-26374448 26796917-28376959	Pan et al., 2003; Lin et al., 2007 Sallaud et al., 2003 Liu et al., 2004 Tabien et al., 2000. Fujii et al., 1995 Gowda et al., 2006 Zenbayashi et al., 2002 Chen et al., 1999 Fujii et al. 1995 Yunoki et al., 1970 Sharma et al., 2005 Mackill and Bomman, 1992 Ahn et al., 1996
Pi15 Pi28(t) Pi-GD-2 Pi-Im2 Pbst* PBr* Pi38 Pi34 Pi44 Pb1 Pif Pi8h Pi18 Pib2 Pik Pikur2	Pi15(t), Pi14, RMg34 Rmg65 RMg71 RMg44, Pi44(t)* RMg58, Pbst RMg3 RMg20, Pi7(t), RMg24 Pi18(t), RMg37, Pi18(t)* RMg49, Pilm2, Magnaporthe grisea resistance from Lemont RMg8, Pik-s, Pik-p, Pik-m (Pi m), Pik-h, Pi k-g RMg10, Pikur2*	32 GR:0060644 GR:0061351 AQAQ017 GR:0061457 GR:0060656 GR:0060659 GR:0060630 GR:0060647 GR:0060659 GR:0060659 GR:0060659	GA25 Azucena Shanhuangzhan Lemont Tadukan Chubu 32 RIL276, Moroberekan Modan St No.1, Chugoku 31-1 Tetep LAC23, C101LAC Suweon 365 Lemont K60, Chugoku 31, Shin 2-1, K2, K3, Fuji 120, Kanto 51, LAC23 Kuroka	9 10 10 11 11 11 11 11 11 11 11 11 11 11	CRG5-CRG2 RG134-C223 L457b-RZ536X G257-S723 E11749-E10310S RM21-RM206 E1126-C1172 C1172-RZ424 C189-S723 C539515-end Os11942010 RM1233-RM6094 RM224-RZ536 RM224-RZ536 RM323-RM229	9641358-9685993 19565132-22667948 13635033-28377565 17317267-21361768 18593380-23669599 19137900-21979485 19423000-19490000 20548900-26004823 21711437-21361768 24695583-28462103 24761902-24763922 26498854-28374448 26796917-28376959 26796917-28376959 27314916-27532928 2840211-18372685	Pan et al., 2003; Lin et al., 2007 Sallaud et al., 2003 Liu et al., 2004 Tabien et al., 2000. Fujii et al. 1995 Gowda et al., 2006 Zenbayashi et al., 2002 Chen et al., 1999 Fujii et al. 1995 Yunoki et al., 1970 Sharma et al., 2005 Mackill and Bonman, 1992 Ahn et al., 1996 Tabien et al., 1996 Kiyosawa, 1970 Goto, 1988
Pi15 Pi28(t) Pi-GD-2 Pi-Im2 Pbst* PBR* Pi38 Pi34 Pb14 Pb1 Pith Pith Pith Pith Pith Pith Pith Pith	Pi15(t), Pi14, RMg34 Rmg65 RMg71 RMg44, Pi44(t)* RMg58, Pbst RMg3 RMg20, Pi7(t), RMg24 Pi18(t), RMg37, Pi18(t)* RMg49, Pilm2, Magnaporthe grisea resistance from Lemont RMg8, Pik-s, Pik-p, Pik-m (Pi m), Pik-h, Pi k-g RMg10, Pikut2* Rb4, Rmg6	32 GR:0060644 GR:0061351 AQAQ017 GR:0061457 GR:0060654 GR:0060596 GR:0060611 AAY33493 GR:0060647 GR:0060647 GR:0060659 GR:0060619 GR:0060611 GR:0060611	GA25 Azucena Shanhuangzhan Lemont Tadukan Chubu 32 RIL276, Moroberekan Modan St No.1, Chugoku 31-1 Tetep LAC23, C101LAC Suweon 365 Lemont K60, Chugoku 31, Shin 2-1, KZ, K3, Fuji 120, Kanto 51, LAC23 Kuroka Imochi-shirazu	9 10 10 11 11 11 11 11 11 11 11 11 11 11	CRG5-CRG2 RG134-C223 L457b-RZ536X G257-S723 E11749-E10310S RM21-RM206 C1172-C1172-R2424 C189-S723 C539515-end Os11g42010 RM1233-RM6094 RM224-RZ536 RM224-RZ536 RM24-RZ536 RM41-k8823 RM332-RM229 RM332-RM429	9641358-9685993 19565132-22667948 13635033-28377565 17317267-21361768 18593380-23669599 19137900-21979485 19423000-19490000 20549800-26004823 21711437-21361768 24695583-24862103 24761902-24762922 26498554-28374448 26796917-28376959 26796917-28376959 27314916-27532928 2840211-18372685	Pan et al., 2003; Lin et al., 2007 Sallaud et al., 2003 Liu et al., 2004 Tabien et al., 2004 Tabien et al., 2000. Fujii et al. 1995 Gowda et al., 2006 Zenbayashi et al., 2002 Chen et al., 2002 Chen et al., 1999 Fujii et al. 1999 Fujii et al. 1999 Sharma et al., 2005 Mackill and Bonman, 1992 Ahn et al., 1996 Tabien et al., 1996 Kiyosawa, 1970 Goto, 1988 Goto, 1970
Pi15 Pi28(t) Pi-GD-2 Pi-Im2 Pbst* Pi38 Pi34 Pi44 Pb1 Pif Pikh Pi1 Pi18 Pib2 Pikcur2 Pikcur2 Pis1 MPiz	Pi15(t), Pi14, RMg34 Rmg65 RMg71 RMg44, Pi44(t)* RMg58, Pbst RMg3 RMg20, Pj7(t), RMg24 Pi18(t), RMg37, Pi18(t)* RMg49, Pilm2, Magnaporthe grisea resistance from Lemont Lemont RMg8, Pik-s, Pik-p, Pik-m (Pi m), Pik-h, Pi k-g RMg10, Pikur; Rb4, Rmg6 RMg18, Rb6	32 GR:0060644 GR:0061351 AQAQ017 GR:0061457 GR:0060654 GR:0060659 GR:0060614 AAY33493 GR:0060630 GR:0060647 GR:0060659 GR:0060619 GR:0060621 GR:0060617 GR:0060617 GR:0060617	GA25 Azucena Shanhuangzhan Lemont Tadukan Chubu 32 RIL276, Moroberekan Modan St No.1, Chugoku 31-1 Tetep LAC23, C101LAC Suweon 365 Lemont K60, Chugoku 31, Shin 2-1, K2, K3, Fuji 120, Kanto 51, LAC23 Kuroka Imochi-shirazu zenith	9 10 10 11 11 11 11 11 11 11 11 11 11 11	CRG5-CRG2 RG134-C223 L457b-RZ536X G257-S723 E11749-E10310S RM21-RM206 E1128-C1172 C1172-RZ424 C189-S723 C1172-RZ424 C189-S723 C1172-RZ424 RM224-RZ536 RM224-RZ536 RM224-RZ536 RM232-RM332-RM332-RM457 RM167-RM287	9641358-9685993 19565132-22667948 13635033-28377565 17317267-21361768 85893380-23669599 19137900-21979485 19423000-1949000-200040823 21711437-21361768 24695583-2846210 24761902-2476292 24761902-2476292 24699864-28374448 26796917-28376959 27314916-27532928 2840211-18372685 2840211-19029573	Pan et al., 2003; Lin et al., 2007 Sallaud et al., 2003 Liu et al., 2004 Tabien et al., 2000. Fujii et al., 1995 Gowda et al., 2006 Zenbayashi et al., 2002 Chen et al., 1999 Fujii et al., 1999 Fujii et al., 1999 Sunosi et al., 2005 Mackili and Bomman, 1992 Ahn et al., 1996 Tabien et al., 1996 Kiyosawa, 1970 Goto, 1988 Goto, 1970 Goto, 1976
Pi15 Pi28(t) Pi-GD-2 Pi-Im2 Pi-GD-2 Pi-Im2 Pi-St-2 Pi-Im2 Pi-St-2 Pi-Im2 Pi-St-2 Pi-Im2 Pi-St-2 Pi-St-	Pi15(t), Pi14, RMg34 Rmg65 RMg71 RMg44, Pi44(t)* RMg48, Pi44(t)* RMg58, Pbst RMg3 RMg20, Pi7(t), RMg24 Pi18(t), RMg37, Pi18(t)* RMg49, Pim2, Mgapaporthe grisea resistance from Lemont RMg8, Pik-s, Pik-p, Pik-m (Pi m), Pik-h, Pi k-g RMg10, PiMg18, RMg6 RMg11, RMg6 RMg11, RMg6 RMg11	32 GR:0060644 GR:0061351 AQAQ017 GR:0061457 GR:0060654 GR:0060654 GR:0060659 GR:0060630 GR:0060669 GR:0060669 GR:0060619 GR:0060611 GR:0060633 GR:0060633 GR:0060633 GR:0060653 GR:0060653	GA25 Azucena Shanhuangzhan Lemont Tadukan Chubu 32 RIL276, Moroberekan Modan St No.1, Chugoku 31-1 Tetep LAC23, C101LAC Suweon 365 Lemont K60, Chugoku 31, Shin 2-1, K2, K3, Fuji 120, Kanto 51, LAC23 Kuroka Imochi-shirazu zenith Aichi Asachi	9 10 10 11 11 11 11 11 11 11 11 11 11 11	CRG5-CRG2 RG134-C223 L457b-R2536X G257-S723 E11749-E10310S RM21-RM206 E1126-C1172 C1172-RZ424 C189-S723 C539515-end Os11g42010 RM1233-RM694 RM224-RZ536 RM224-RZ536 RM224-RZ536 RM224-RZ536 RM224-RZ536 RM2133-RM457 RM167-RM287 RM167-RM287	9641358-9685993 19565132-22667948 13635033-28377565 17317267-2131671 815593380-23669599 19137900-21979485 19423000-1949000 20549800-26004823 21711437-21361794 24695583-28462103 24761902-24762922 247699917-28376959 26796917-28376959 27314916-2753295 2840211-18372685 2840211-18372685 2840211-18372685 2840211-18372685	Pan et al., 2003; Lin et al., 2007 Sallaud et al., 2003 Liu et al., 2004 Tabien et al., 2004 Tabien et al., 2000. Fujii et al., 1995 Fujii et al., 1995 Gowda et al., 2006 Zenbayashi et al., 2002 Chen et al., 2009 Chen et al., 1999 Fujii et al., 1999 Fujii et al., 1999 Yunoki et al., 1970 Sharma et al., 2005 Mackilla di Bomman, 1992 Ahn et al., 1996 Tabien et al., 1996 Kiyosawa, 1970 Goto, 1988 Goto, 1976 Shinoda et al., 1971
Pi15 Pi28(t) Pi-GD-2 Pi-Im2 Pbst* PBR* Pi38 Pi34 Pb14 Pb1 Pif Pikh Pi1 Pisb Pib2 Pik Pikur2 Pis1 Pia Pi39 Pi39 Pi39 Pi39 Pi44 Pb1 Pi1 Pi18 Pi20 Pi8	Pi15(t), Pi14, RMg34 Rmg65 RMg71 RMg44, Pi44(t)* RMg58, Pbst RMg3 RMg20, Pi7(t), RMg24 Pi18(t), RMg37, Pi18(t)* RMg49, Pilm2, Magnaporthe grisea resistance from Lemont RMg8, Pik-s, Pik-p, Pik-m (Pi m), Pik-h, Pi k-g RMg10, Pikur2* Rb4, Rmg6 RMg10, Rikuf2* Rb4, Rmg6 RMg18, Rb6 RMg11 RMg67, Pi30(t)*	32 GR:0060644 GR:0061351 AQAQ017 GR:0061457 GR:0060654 GR:0060659 GR:0060614 AAY33493 GR:0060647 GR:0060659 GR:0060619 GR:0060617 GR:0060617 GR:0060617 GR:0060617 GR:0060617 GR:0060617 GR:0060617 GR:0060617 GR:0060617 GR:0060617	GA25 Azucena Shanhuangzhan Lemont Tadukan Chubu 32 RIL276, Moroberekan Modan St No.1, Chugoku 31-1 Tetep LAC23, C101LAC Suweon 365 Lemont K60, Chugoku 31, Shin 2-1, K2, K3, Fuji 120, Kanto 51, LAC23 Kuroka Imochi-shirazu zenith Aichi Asachi IR64	9 10 10 11 11 11 11 11 11 11 11 11 11 11	CRG5-CRG2 RG134-C223 L457b-RZ536X G257-S723 E11749-E10310S RM21-RM206 E1126-C1172 C1172-RZ424 C189-S723 C539515-end Os11g42010 RM1233-RM6094 RM224-RZ536 RM224-RZ536 RM24-RZ536 RM218-RM257 RM167-RM287 RM167-RM287 RM167-RM287 RM167-RM287	9641358-9685993 19565132-22667948 13635033-28377565 17317267-21361768 18593380-23689599 19137900-21979485 19423000-19490000 20549800-26004823 21711437-21361768 24695583-28462103 24761902-24762922 24695583-28462103 24761902-24762922 26498854-28374448 26796917-28376959 27314916-27532928 2840211-18372685 27314916-27532928 2840211-19029673 4073024-16730739 4073024-16730739	Pan et al., 2003; Lin et al., 2007 Sallaud et al., 2003 Liu et al., 2004 Tablen et al., 2000 Fujii et al., 1995 Gowda et al., 2006 Zenbayashi et al., 2002 Chen et al., 2002 Chen et al., 2002 Chen et al., 1999 Fujii et al. 1995 Yunoki et al., 1970 Sharma et al., 2005 Mackilli and Bomman, 1992 Ahn et al., 1996 Tablen et al., 1996 Kiyosawa, 1970 Goto, 1988 Goto, 1970 Goto, 1976 Shinoda et al., 1971 Sallaud et al., 1971 Sallaud et al., 1971
Pi15 Pi28(t) Pi-GD-2 Pi-Im2 Pbst* Pi38 Pi34 Pi44 Pb1 Pif Pi81 Pi18 Pi18 Pise Pise1 Pise1	Pi15(t), Pi14, RMg34 Rmg65 RMg71 RMg44, Pi44(t)* RMg48, Pi44(t)* RMg58, Pbst RMg3 RMg20, Pi7(t), RMg24 Pi18(t), RMg37, Pi18(t)* RMg49, Pim2, Mgapaporthe grisea resistance from Lemont RMg8, Pik-s, Pik-p, Pik-m (Pi m), Pik-h, Pi k-g RMg10, PiMg18, RMg6 RMg11, RMg6 RMg11, RMg6 RMg11	32 GR:0060644 GR:0061351 AQAQ017 GR:0061457 GR:0060654 GR:0060654 GR:0060659 GR:0060630 GR:0060669 GR:0060669 GR:0060619 GR:0060611 GR:0060633 GR:0060633 GR:0060633 GR:0060653 GR:0060653	GA25 Azucena Shanhuangzhan Lemont Tadukan Chubu 32 RIL276, Moroberekan Modan St No.1, Chugoku 31-1 Tetep LAC23, C101LAC Suweon 365 Lemont K60, Chugoku 31, Shin 2-1, K2, K3, Fuji 120, Kanto 51, LAC23 Kuroka Imochi-shirazu zenith Aichi Asachi IR64 Sensho	9 10 10 11 11 11 11 11 11 11 11 11 11 11	CRG5-CRG2 RG134-C223 L457b-RZ536X G257-S723 E11749-E10310S RM21-RM206 E1126-C1172 C1172-R2424 C189-S723 C53951S-end Os11942010 RM1233-RM6094 RM224-RZ536 RM224-RZ536 k6441-k8823 RM332-RM457 RM167-RM267 RM167-E30537S RG118-AF074889 RM116-RM287	9641358-9685993 19565132-22667948 13635033-28377565 17317267-21361768 85593380-23669599 19137900-21979485 19423000-19490004 20549800-2590004823 21711437-21361768 24955583-284621 24761902-2476292 24761902-2476292 24698854-28374448 26796917-28376959 27314916-27532928 2840211-18372685 2840211-18029573 4073024-16730739 4073024-16730739	Pan et al., 2003; Lin et al., 2007 Sallaud et al., 2003 Liu et al., 2004 Tabien et al., 2000. Fujii et al., 1995 Gowda et al., 2006 Zenbayashi et al., 2002 Chen et al., 1999 Fujii et al. 1995 Yunoki et al., 1970 Sharma et al., 2005 Mackill and Bonman, 1992 Ahn et al., 1996 Tabien et al., 1996 Kiyosawa, 1970 Goto, 1988 Goto, 1970 Goto, 1976 Shinoda et al., 1971 Sallaud et al., 2003
Pi15 Pi28(t) Pi-GD-2 Pi-Im2 Pbst* PBR* Pi38 Pi34 Pb14 Pb1 Pif Pikh Pi1 Pils Pib2 Pik Pikur2 Pis1 MPiz Pia Pi30(t)	Pi15(t), Pi14, RMg34 Rmg65 RMg71 RMg44, Pi44(t)* RMg58, Pbst RMg3 RMg20, Pi7(t), RMg24 Pi18(t), RMg37, Pi18(t)* RMg49, Pilm2, Magnaporthe grisea resistance from Lemont RMg8, Pik-s, Pik-p, Pik-m (Pi m), Pik-h, Pi k-g RMg10, Pikur2* Rb4, Rmg6 RMg10, Rikuf2* Rb4, Rmg6 RMg18, Rb6 RMg11 RMg67, Pi30(t)*	32 GR:0060644 GR:0061351 AQAQ017 GR:0061457 GR:0060654 GR:0060659 GR:0060614 AAY33493 GR:0060647 GR:0060659 GR:0060619 GR:0060617 GR:0060617 GR:0060617 GR:0060617 GR:0060617 GR:0060617 GR:0060617 GR:0060617 GR:0060617 GR:0060617	GA25 Azucena Shanhuangzhan Lemont Tadukan Chubu 32 RIL276, Moroberekan Modan St No.1, Chugoku 31-1 Tetep LAC23, C101LAC Suweon 365 Lemont K60, Chugoku 31, Shin 2-1, K2, K3, Fuji 120, Kanto 51, LAC23 Kuroka Imochi-shirazu zenith Aichi Asachi IR64	9 10 10 11 11 11 11 11 11 11 11 11 11 11	CRG5-CRG2 RG134-C223 L457b-RZ536X G257-S723 E11749-E10310S RM21-RM206 E1126-C1172 C1172-RZ424 C189-S723 C539515-end Os11g42010 RM1233-RM6094 RM224-RZ536 RM224-RZ536 RM24-RZ536 RM218-RM257 RM167-RM287 RM167-RM287 RM167-RM287 RM167-RM287	9641358-9685993 19565132-22667948 13635033-28377565 17317267-21361768 18593380-23689599 19137900-21979485 19423000-19490000 20549800-26004823 21711437-21361768 24695583-28462103 24761902-24762922 24695583-28462103 24761902-24762922 26498854-28374448 26796917-28376959 27314916-27532928 2840211-18372685 27314916-27532928 2840211-19029673 4073024-16730739 4073024-16730739	Pan et al., 2003; Lin et al., 2007 Sallaud et al., 2003 Liu et al., 2004 Tablen et al., 2000 Fujii et al., 1995 Gowda et al., 2006 Zenbayashi et al., 2002 Chen et al., 2002 Chen et al., 2002 Chen et al., 1999 Fujii et al. 1995 Yunoki et al., 1970 Sharma et al., 2005 Mackilli and Bomman, 1992 Ahn et al., 1996 Tablen et al., 1996 Kiyosawa, 1970 Goto, 1988 Goto, 1970 Goto, 1976 Shinoda et al., 1971 Sallaud et al., 1971 Sallaud et al., 1971
Pi15 Pi28(t) Pi-GD-2 Pi-Im2 Pi-GD-2 Pi-Im2 Pi-GD-2 Pi-Im2 Pist Pi38 Pi34 Pi44 Pi41 Pi17 Pi18 Pi18 Pi18 Pi19 Pi18 Pi19 Pi19 Pi19 Pi19 Pi19 Pi19 Pi19 Pi19	Pi15(t), Pi14, RMg34 Rmg65 RMg71 RMg44, Pi44(t)* RMg58, Pbst RMg3 RMg20, Pi7(t), RMg24 Pi18(t), RMg37, Pi18(t)* RMg49, Pilm2, Magnaporthe grisea resistance from Lemont RMg8, Pik-s, Pik-p, Pik-m (Pi m), Pik-h, Pi k-g RMg10, Pikur2* Rb4, Rmg6 RMg10, Rikuf2* Rb4, Rmg6 RMg18, Rb6 RMg11 RMg67, Pi30(t)*	32 GR:0060644 GR:0061351 AQAQ017 GR:0061457 GR:0060654 GR:0060659 GR:0060614 AAY33493 GR:0060647 GR:0060659 GR:0060619 GR:0060617 GR:0060617 GR:0060617 GR:0060617 GR:0060617 GR:0060617 GR:0060617 GR:0060617 GR:0060617 GR:0060617	GA25 Azucena Shanhuangzhan Lemont Tadukan Chubu 32 RIL276, Moroberekan Modan St No.1, Chugoku 31-1 Tetep LAC23, C101LAC Suweon 365 Lemont K60, Chugoku 31, Shin 2-1, K2, K3, Fuji 120, Kanto 51, LAC23 Kuroka Imochi-shirazu zenith Aichi Asachi IR64 Sensho Co39 Katy Pi No. 1, Pi No. 4, Yashiro-mochi, Tadukan-1, K1, Nakei 212	9 10 10 11 11 11 11 11 11 11 11 11 11 11	CRG5-CRG2 RG134-C223 L457b-R2536X G257-5723 E11749-E10310S RM21-RM206 E1126-C1172 C1172-RZ424 C189-5723 C539615-end Os11942010 RM1223-RM694 RM224-RZ536 RM224-RZ536 RM224-RZ536 RM224-RZ536 RM322-RM457 RM167-RM267 RM167-RM267 RM167-RM267 RM167-RM267 RM167-RM27 RM16	9641358-9685993 19565132-22667948 13635033-28377565 17317267-21361768 15593380-23669599 19137900-21979485 19423000-1949000 20549800-26004823 21711437-21361768 24695583-2462103 24761902-24762922 24761902-24762922 24761902-24762922 247699583-2687468 2699583-2687468 2699583-2687468 26996917-28376959 27314916-27532928 2480211-19029573 4073024-16730739 4073024-16730739 36304007-6888870 10078620-13211331	Pan et al., 2003; Lin et al., 2007 Sallaud et al., 2003 Liu et al., 2004 Tabien et al., 2003 Liu et al., 2004 Tabien et al., 2000. Fujii et al. 1995 Gowda et al., 2006 Zenbayashi et al., 2002 Chen et al., 1999 Fujii et al. 1995 Yunoki et al., 1990 Mackill and Bomman, 1992 Ahn et al., 2006 Tabien et al., 2006 Goto, 1988 Goto, 1970 Goto, 1976 Shinoda et al., 1971 Sallaud et al., 2070 Chauhan et al., 2070 Chauhan et al., 2070 Chauhan et al., 2070 Bryan et al., 2070 Chauhan et al., 2070 Chauhan et al., 2070 Bryan et al., 2000
Pi15 Pi28(t) Pi-G0-2 Pi-Im2 Pbst* PBR* Pi38 Pi34 Pb14 Pb1 Pi44 Pb1 Pith Pi18 Pib2 Pik Pikur2 Pis1 MPiz Pi30(t) Pise1 Pi30(t) Pise1 Pi-Co39 Pita2 Pita2 Pita1	Pi15(t), Pi14, RMg34 Rmg65 RMg71 RMg44, Pi44(t)* RMg58, Pbst RMg3 RMg20, Pi7(t), RMg24 Pi18(t), RMg37, Pi18(t)* RMg49, Pilm2, Magnaporthe grisea resistance from Lemont RMg8, Pik-s, Pik-p, Pik-m (Pi m), Pik-h, Pi k-g RMg10, Pikur2* Rb4, Rmg6 RMg10, Rib6 RMg1 RMg1, Rb6 RMg1 RMg67, Pi30(t)* RMg11, Rb1	32 GR:0060644 GR:0061351 AQAQ017 GR:0061457 GR:0060654 GR:0060654 GR:00606614 AAY33493 GR:0060659 GR:0060619 GR:0060619 GR:0060617 GR:0060621 GR:0060612 GR:0060612 GR:0060622	GA25 Azucena Shanhuangzhan Lemont Tadukan Chubu 32 RIL276, Moroberekan Modan St No.1, Chugoku 31-1 Tetep LAC23, C101LAC Suweon 365 Lemont K60, Chugoku 31, Shin 2-1, K2, K3, Fuji 120, Kanto 51, LAC23 Kuroka Imochi-shirazu zenith Alchi Asachi IR64 Sensho Co39 Katy Pi No. 1, Pi No. 4, Yashiro-mochi, Tadukan-1, K1, Nakei 212 Q15	9 10 10 11 11 11 11 11 11 11 11 11 11 11	CRG5-CRG2 RG134-C223 L457b-RZ536X G257-S723 E11749-E10310S RM21-RM206 E1126-C1172 C1172-RZ424 C189-S723 C539515-end Os11g42010 RM1233-RM6094 RM224-RZ536 RM224-RZ536 RM224-RZ536 k6441-k8823 RM332-RM229 RM332-RM229 RM332-RM57 RM167-RM287	9641358-9685993 19565132-22667948 13635033-28377565 17317267-21361768 18593380-23686959 19137900-21979485 19423000-19490000 20549800-26004823 21711437-21361768 24695583-28462103 24761902-24762922 26498554-2837492 26796917-28376959 26796917-28376959 27314916-27532928 2840211-18372695 4073024-16730739 4073024-16730739 4073024-16730739 4073024-16730739 4073024-16730739 4073027-2160393 4073027-216039 4073027-216039 4073027-21603 4073027-21603 407	Pan et al., 2003; Lin et al., 2007 Sallaud et al., 2003 Liu et al., 2004 Tabien et al., 2000 Fujii et al., 1995 Gowda et al., 2006 Zenbayashi et al., 2002 Chen et al., 2002 Chen et al., 1999 Fujii et al. 1999 Fujii et al. 1999 Fujii et al., 1999 Sharma et al., 2005 Mackill and Bomman, 1992 Ahn et al., 1996 Tabien et al., 1996 Kiyosawa, 1970 Goto, 1988 Goto, 1970 Goto, 1976 Shinoda et al., 1971 Sallaud et al., 2003 Goto, 1970 Chauhan et al., 2002 nakamura et al., 2002
Pi15 Pi28(t) Pi-GD-2 Pi-Im2 Pbst* Pi38 Pi34 Pi44 Pb1 Pif Pikh Pi1 Pi18 Pib2 Pikc Pikur2 Pis1 MPiz Pia Pi39 Pi30(t) Pis2 Pita Pi10 Pi39 Pi32(t)*	Pi15(t), Pi14, RMg34 Rmg65 RMg71 RMg44, Pi44(t)* RMg58, Pbst RMg3 RMg20, Pi7(t), RMg24 Pi18(t), RMg37, Pi18(t)* RMg49, Pilm2, Magnaporthe grisea resistance from Lemont Lemont RMg8, Pik-s, Pik-p, Pik-m (Pi m), Pik-h, Pi k-g RMg10, Pikur2* Rb4, Rmg6 RMg10, Pikur2* Rb4, Rmg6 RMg11, Rb6 RMg11 RMg67, Pi30(t)* RMg11, RMg11 RMg67, Pi30(t)*	32 GR:0060644 GR:0061351 AQAQ017 GR:0060654 GR:0060654 GR:0060659 GR:0060614 AAY33493 GR:0060630 GR:0060647 GR:0060619 GR:0060619 GR:0060617 GR:0060617 GR:006061353 GR:0060612 GR:0060612 GR:006061353 GR:0060622	GA25 Azucena Shanhuangzhan Lemont Tadukan Chubu 32 RIL276, Moroberekan Modan St No.1, Chugoku 31-1 Tetep LAC23, C101LAC Suweon 365 Lemont K60, Chugoku 31, Shin 2-1, K2, K3, Fuji 120, Kanto 51, LAC23 Kuroka Imochi-shirazu zenith Aichi Asachi IR64 Sensho Co39 Katy Pi No. 1, Pi No. 4, Yashiro-mochi, Tadukan-1, K1, Nakei 212 Q15 IR64	9 10 11 11 11 11 11 11 11 11 11 11 11 11	CRG5-CRG2 RG134-C223 L457b-RZ536X G257-S723 E11749-E10310S RM21-RM206 E1128-C1172-C1128-C1172-R244 C189-S723 C53951S-end Os11942010 RM1233-RM6094 RM224-RZ536 RM224-RZ536 RM224-RZ536 RM24-RZ536 RM24-RZ536 RM24-RZ536 RM167-RM287 RM167-RM287 RM167-RM287 RM167-RM287 RM167-RM287 RR116-RM287 RR116-RM287 RR116-RM287 RR115-RM102 Os12g18360 39M11-39M22 CSU70-G2140	9641358-9685993 19565132-22667948 13635033-28377565 17317267-21361768 85893380-23669599 19137900-21979485 19423000-1494900 20549800-26004623 21711437-21361768 24695583-28462103 24761902-2476292 26499854-28374448 26796917-28376959 27314916-27532928 2840211-18372685 2840211-19029573 4073024-8078510 4073024-16730739 4073024-16730739 4073024-16730739 534007-688875 5740642-16730739 10078620-13211331 10663772-106093304 13130303-18867450	Pan et al., 2003; Lin et al., 2007 Sallaud et al., 2003 Liu et al., 2004 Tabien et al., 2000. Fujii et al., 1995 Gowda et al., 2006 Zenbayashi et al., 2002 Chen et al., 1999 Fujii et al. 1999 Fujii et al., 1999 Fujii et al., 1999 Sharma et al., 2005 Mackill and Bonman, 1992 Ahn et al., 1996 Tabien et al., 1996 Kiyosawa, 1970 Goto, 1988 Goto, 1970 Goto, 1970 Goto, 1970 Shinoda et al., 1971 Sallaud et al., 2003 Goto, 1970 Chauhan et al., 2003 Remura et al., 2003 Bryan et al., 2000 Liu et al., 2000 Liu et al., 2000 Liu et al., 2000 Sallaud et al., 2000
Pi15 Pi28(t) Pi-GD-2 Pi-Im2 Pbst* PBR* Pi38 Pi34 Pb14 Pb1 Pif Pikh Pit Pils Pis2 Pik Pikn Pis1 Pis2 Pis2 Pis1 MPiz Pis9 Pis9 Pis9 Pis9 Pis9 Pis9 Pis9 Pis9	Pi15(t), Pi14, RMg34 Rmg65 RMg71 RMg44, Pi44(t)* RMg58, Pbst RMg3 RMg20, Pi7(t), RMg24 Pi18(t), RMg37, Pi18(t)* RMg49, Pilm2, Magnaporthe grisea resistance from Lemont RMg8, Pik-s, Pik-p, Pik-m (Pi m), Pik-h, Pi k-g RMg10, Pikur2* Rb4, Rmg6 RMg18, Rb6 RMg18, Rb6 RMg11 RMg67, Pi30(t)* RMg11, Rb1	32 GR:0060644 GR:0061351 AQAQ017 GR:0061457 GR:0060654 GR:006059 GR:0060614 AAY33493 GR:0060630 GR:0060619 GR:0060619 GR:0060619 GR:0060619 GR:0060621 GR:0060621 GR:0060621 GR:0060622 GR:0060622 GR:0060622	GA25 Azucena Shanhuangzhan Lemont Tadukan Chubu 32 RIL276, Moroberekan Modan St No.1. Chugoku 31-1 Tetep LAC23, C101LAC Suweon 365 Lemont K60, Chugoku 31, Shin 2-1, K2, K3, Fuji 120, Kanto 51, LAC23 Kuroka Imochi-shirazu zenith Aichi Asachi IR64 Sensho Co39 Katy Pi No. 1, Pi No. 4, Yashiro-mochi, Tadukan-1, K1, Nakei 212 Q15 IR64 93-11	9 10 10 11 11 11 11 11 11 11 11 11 11 11	CRG5-CRG2 RG134-C223 L457b-RZ536X G257-5723 E11779-E10310S RM21-RM206 E1128-C1172 C1172-RZ424 C189-S723 C539515-end Os11g42010 RM1233-RM6094 RM224-RZ536 RM224-RZ536 RM224-RZ536 RM224-RZ536 RM218-RM207 RM167-RM287 RM167-RM287 RM167-RM287 RM167-RM287 RM167-RM287 RM167-RM287 RM167-RM287 RM167-RM280 RM116-RM287 CRM16-RM281 RM167-RM280 RM116-RM280 RM116-RM281 RM167-RM290 C812g18360 39M11-39M22 C812g18360 39M11-39M22 C812g18360 39M11-39M22	9641358-9685993 19565132-22667948 13635033-28377565 17317267-21361768 18593380-23669599 19137900-21979485 19423000-19490000 20549800-26004823 21711437-21361768 24695583-24462103 24761902-24762922 24695583-24862103 24761902-24762922 26498584-28374448 26796917-28376959 26796917-28376959 27314916-27532928 2840211-189729573 4073024-16730739 4073024-16730739 5304007-6888870 10076820-13211331 106633772-10690330 10614346-10652094 13103039-18867450	Pan et al., 2003; Lin et al., 2007 Sallaud et al., 2003 Liu et al., 2004 Tabien et al., 2004 Tabien et al., 2000 Fujii et al. 1995 Gowda et al., 2006 Zenbayashi et al., 2002 Chen et al., 1999 Fujii et al. 1995 Yunoki et al., 1999 Sharma et al., 2005 Mackill and Bonman, 1992 Ahn et al., 1996 Tabien et al., 1996 Kiyosawa, 1970 Goto, 1988 Goto, 1970 Goto, 1976 Shinoda et al., 1971 Sallaud et al., 2003 Goto, 1970 Chauhan et al., 2002 nakamura et al., 2002 nakamura et al., 2000 Liu et al., 2007 Sallaud et al., 2007
Pi15 Pi28(t) Pi-GD-2 Pi-Im2 Pbst* PBR* Pi38 Pi34 Pb14 Pb1 Pif Pikh Pi1 Pils Pib2 Pik Pikur2 Pise1 Pise1 Pise1 Pise1 Pise2 Pise1 Pise2 Pise1 Pise1 Pise1 Pi-Co39 Pita2 Pita Pi39 Pi32(t)* Pi40 Pi40 Pi40 Pi40 Pi40 Pi40 Pi40 Pi40	Pi15(t), Pi14, RMg34 Rmg65 RMg71 RMg44, Pi44(t)* RMg58, Pbst RMg3 RMg20, Pi7(t), RMg24 Pi18(t), RMg37, Pi18(t)* RMg49, Pilm2, Magnaporthe grisea resistance from Lemont RMg8, Pik-s, Pik-p, Pik-m (Pi m), Pik-h, Pi k-g RMg10, Pikur2* RMg10, Pikur2* RMg10, Pikur2* RMg10, Pikur3* RMg10, Rikg6 RMg11 RMg67, Pi30(t)* RMg11, Rb1	32 GR:0060644 GR:0061351 AQAQ017 GR:0061457 GR:0060654 GR:0060654 GR:00606596 GR:00606647 GR:00606647 GR:0060659 GR:0060619 GR:0060619 GR:0060619 GR:0060621 GR:0060622 GR:0060622 GR:0060627 GR:0060627 GR:0060655	GA25 Azucena Shanhuangzhan Lemont Tadukan Chubu 32 RIL276, Moroberekan Modan St No.1, Chugoku 31-1 Tetep LAC23, C101LAC Suweon 365 Lemont K60, Chugoku 31, Shin 2-1, K2, K3, Fuji 120, Kanto 51, LAC23 Kuroka Imochi-shirazu zenith Alchi Asachi IR64 Sensho Co39 Katy Pi No. 1, Pi No. 4, Yashiro-mochi, Tadukan-1, K1, Nakei 212 Q15 IR64 93-11 Yashiro-mochi	9 10 10 11 11 11 11 11 11 11 11 11 11 11	CRG5-CRG2 RG134-C223 L457b-RZ536X G257-S723 E11749-E10310S RM21-RM206 E1126-C1172 C1172-RZ424 C189-S723 C539515-end Os11g42010 RM1233-RM6094 RM224-RZ536 RM224-RZ536 RM224-RZ536 RM322-RM229 RM332-RM229 RM332-RM29 RM316-RM287 RM167-E30537S RG118-AF074889 RM116-RM287 RPR1-SZ712 RM55-RM7102 Os12g18360 39M11-39M22 CSU70-G2140 RM28112-RM1261	9641358-9685993 19565132-22667948 13635033-28377565 17317267-21361768 18593380-23669599 19137900-21979485 19423000-19490000 20549800-26004823 21711437-21361768 24695583-28462103 24761902-24762922 26499854-28374448 26796917-28376959 27314916-27532928 2840211-18372685 27314916-27532928 2840211-18372685 27314916-27532928 2840211-18372685 5740642-16730739 4073024-8078510 4073024-16730739 10078620-13211331 10063772-10609330 10014346-10652094 1310303-18867450 16274830-175311662094	Pan et al., 2003; Lin et al., 2007 Sallaud et al., 2003 Liu et al., 2004 Tabien et al., 2000 Fujii et al., 1995 Gowda et al., 2006 Zenbayash iet al., 2002 Chen et al., 2002 Chen et al., 1999 Fujii et al. 1995 Yunoki et al., 1970 Sharma et al., 2005 Mackili and Bonman, 1992 Ahn et al., 1996 Tabien et al., 1996 Kiyosawa, 1970 Goto, 1988 Goto, 1970 Goto, 1976 Shinoda et al., 1971 Sallaud et al., 2003 Goto, 1970 Chauhan et al., 2003 nakamura et al., 2002 nakamura et al., 2007 Sallaud et al., 2007
Pi15 Pi28(t) Pi-GD-2 Pi-Im2 Pbst* PBR* Pi38 Pi34 Pb14 Pb1 Pif Pikh Pi18 Pib2 Pik Pikn Pis1 MPiz Pis1 MPiz Pis9 Pis9 Pis9 Pis9 Pis9 Pis9 Pis9 Pis9	Pi15(t), Pi14, RMg34 Rmg65 RMg71 RMg44, Pi44(t)* RMg58, Pbst RMg3 RMg20, Pi7(t), RMg24 Pi18(t), RMg37, Pi18(t)* RMg49, Pilm2, Magnaporthe grisea resistance from Lemont RMg8, Pik-s, Pik-p, Pik-m (Pi m), Pik-h, Pi k-g RMg10, Pikur2* Rb4, Rmg6 RMg18, Rb6 RMg18, Rb6 RMg11 RMg67, Pi30(t)* RMg11, Rb1	32 GR:0060644 GR:0061351 AQAQ017 GR:0061457 GR:0060654 GR:006059 GR:0060614 AAY33493 GR:0060630 GR:0060619 GR:0060619 GR:0060619 GR:0060619 GR:0060621 GR:0060621 GR:0060621 GR:0060622 GR:0060622 GR:0060622	GA25 Azucena Shanhuangzhan Lemont Tadukan Chubu 32 RIL276, Moroberekan Modan St No.1. Chugoku 31-1 Tetep LAC23, C101LAC Suweon 365 Lemont K60, Chugoku 31, Shin 2-1, K2, K3, Fuji 120, Kanto 51, LAC23 Kuroka Imochi-shirazu zenith Aichi Asachi IR64 Sensho Co39 Katy Pi No. 1, Pi No. 4, Yashiro-mochi, Tadukan-1, K1, Nakei 212 Q15 IR64 93-11	9 10 10 11 11 11 11 11 11 11 11 11 11 11	CRG5-CRG2 RG134-C223 L457b-RZ536X G257-5723 E11779-E10310S RM21-RM206 E1128-C1172 C1172-RZ424 C189-S723 C539515-end Os11g42010 RM1233-RM6094 RM224-RZ536 RM224-RZ536 RM224-RZ536 RM224-RZ536 RM218-RM207 RM167-RM287 RM167-RM287 RM167-RM287 RM167-RM287 RM167-RM287 RM167-RM287 RM167-RM287 RM167-RM280 RM116-RM287 CRM16-RM281 RM167-RM280 RM116-RM280 RM116-RM281 RM167-RM290 C812g18360 39M11-39M22 C812g18360 39M11-39M22 C812g18360 39M11-39M22	9641358-9685993 19565132-22667948 13635033-28377565 17317267-21361768 18593380-23669599 19137900-21979485 19423000-19490000 20549800-26004823 21711437-21361768 24695583-24462103 24761902-24762922 24695583-24862103 24761902-24762922 26498584-28374448 26796917-28376959 26796917-28376959 27314916-27532928 2840211-189729573 4073024-16730739 4073024-16730739 5304007-6888870 10076820-13211331 106633772-10690330 10614346-10652094 13103039-18867450	Pan et al., 2003; Lin et al., 2007 Sallaud et al., 2003 Liu et al., 2004 Tabien et al., 2004 Tabien et al., 2000 Fujii et al. 1995 Gowda et al., 2006 Zenbayashi et al., 2002 Chen et al., 1999 Fujii et al. 1995 Yunoki et al., 1999 Sharma et al., 2005 Mackill and Bonman, 1992 Ahn et al., 1996 Tabien et al., 1996 Kiyosawa, 1970 Goto, 1988 Goto, 1970 Goto, 1976 Shinoda et al., 1971 Sallaud et al., 2003 Goto, 1970 Chauhan et al., 2002 nakamura et al., 2002 nakamura et al., 2000 Liu et al., 2007 Sallaud et al., 2007
Pi15 Pi28(t) Pi-8D-2 Pi-17 Pi-9D-2 Pi-17 Pi-9D-2 Pi-17 Pi-9D-2 Pi-18 Pi38 Pi34 Pi44 Pi41 Pi1 Pi18 Pi19 Pi19 Pi19 Pi19 Pi19 Pi19 Pi19 Pi19	Pi15(t), Pi14, RMg34 Rmg65 RMg71 RMg44, Pi44(t)* RMg44, Pi44(t)* RMg58, Pbst RMg3 RMg20, Pi7(t), RMg24 Pi18(t), RMg37, Pi18(t)* RMg49, Pilm2, Magnaporthe grisea resistance from Lemont RMg8, Pik-s, Pik-p, Pik-m (Pi m), Pik-h, Pi k-g RMg10, Pilm2, RMg10, Pikur2* Rb4, Rmg6 RMg10, Pikur2* Rb4, Rmg6 RMg11, Rb6 RMg11 RMg67, Pi30(t)* RMg11, Rb1 Pita2, Pi4a, RMg16 RMg69 RMg45, Pi62(t)*, =Pita ? RMg23, Pi6(t)* RMg55, Pit(6)* Pi24(t), RMg56 Pi24(t), RMg59	32 GR:0060644 GR:0061351 AQAQ017 GR:0061457 GR:0060654 GR:0060654 GR:0060659 GR:0060667 GR:00606619 GR:0060619 GR:0060612 GR:006061353 GR:0060612 GR:0060627 GR:0060627 GR:0060627 GR:0060635 GR:0060655 GR:0060655 GR:0060655 GR:0060655	GA25 Azucena Shanhuangzhan Lemont Tadukan Chubu 32 RIL276, Moroberekan Modan St No.1, Chugoku 31-1 Telep LAC23, C101LAC Suweon 365 Lemont K60, Chugoku 31, Shin 2-1, K2, K3, Fuji 120, Kanto 51, LAC23 Kuroka Imochi-shirazu zenith Aichi Asachi IR64 Sensho Co39 Katy Pi No. 1, Pi No. 4, Yashiro-mochi, Tadukan-1, K1, Nakei 212 Q15 IR64 93-11 Yashiro-mochi Apura Leqing Zhong 156	9 10 10 11 11 11 11 11 11 11 11 11 11 11	CRG5-CRG2 RG134-C223 L457b-RZ536X G257-S723 E11749-E10310S RM21-RM206 E1128-C1172-RZ424 C189-S723 C53951S-end OS11942010 RM1233-RM6094 RM224-RZ536 RM224-RZ536 k6441-k8823 RM332-RM229 RM332-RM229 RM352-RZ536 RM16-RM287 RM167-E30537 RM167-E30537 RM167-E30537 RM16-RM287 RM16-RM287 RM16-RM287 RM15-RM701 OS12018360 39M11-39M22 CSU70-G2140 RM28112-RM1261 RZ816-RG9 R367-G2140 RZ97-RG869 RG61-RG2641	9641358-9685993 19565132-22667948 13635033-28377565 17317267-21361768 18593380-23669599 19137900-21979485 19423000-1949000 20549800-260004823 21711437-21361768 24695583-28462103 24761902-24762922 26499854-28374448 26796917-28376959 27314916-27532928 2840211-18372685 27314916-27532928 2840211-18372685 27314916-27532928 2840211-18029573 4073024-16730739 4073024-16730739 4073024-16730739 10076822-16730739 10076822-16730739 10076822-15211331 10063772-10609330 100614346-10652094 13103039-18867450 16274830-17531114 2426648-18050026 4053339-18867450 5758663-7731450	Pan et al., 2003; Lin et al., 2007 Sallaud et al., 2003 Liu et al., 2004 Tabien et al., 2004 Tabien et al., 2000. Fujii et al., 1995 Gowda et al., 2006 Zenbayashi et al., 2006 Zenbayashi et al., 2006 Chen et al., 1999 Fujii et al. 1995 Yunoki et al., 1990 Mackill and Bomman, 1992 Ahn et al., 2006 Ahn et al., 2006 Goto, 1988 Goto, 1970 Goto, 1976 Shinoda et al., 1971 Sallaud et al., 2007 Chauhan et al., 2007 Chauhan et al., 2007 Bryan et al., 2007 Sallaud et al., 2000 Liu et al., 2000 Liu et al., 2000 Sallaud et al., 2000 Sallaud et al., 2000 Sallaud et al., 2000 Liu et al., 2000 Sallaud et al., 2000 Liu et al., 2000 Sallaud et al., 2000 Sallaud et al., 1996 Tanksley et al., 1996 Tanksley et al., 1993
Pi15 Pi28(t) Pi-GD-2 Pi-Im2 Pbst* PBR* Pi38 Pi34 Pb14 Pb1 Pif Pikh Pi18 Pib2 Pik Pikn Pi18 Pib2 Pik Pikn Pita Pise1 Pise1 Pise1 Pise1 PicO39 Pita2 Pita2 Pita Pita9 Pita2 Pita9 Pita	Pi15(t), Pi14, RMg34 Rmg65 RMg71 RMg71 RMg44, Pi44(t)* RMg58, Pbst RMg3 RMg20, Pi7(t), RMg24 Pi18(t), RMg37, Pi18(t)* RMg49, Pilm2, Magnaporthe grisea resistance from Lemont RMg8, Pik-s, Pik-p, Pik-m (Pi m), Pik-h, Pi k-g RMg10, Pikur2* Rb4, Rmg6 RMg10, Rkg6 RMg1, Rb6 RMg1, Rb6 RMg1 RMg67, Pi30(t)* RMg67, Pi30(t)* RMg11, Rb1 Pita2, Pi4a, RMg16 RMg69 RMg45, Pi62(t)*, =Pita? RMg23, Pi6(t)* RMg58, Pitq6* Pi24(t), RMg59 Pi20, RMg59	32 GR:0060644 GR:0061351 AQAQ017 GR:0061457 GR:0060654 GR:0060654 GR:00606659 GR:00606659 GR:00606619 GR:00606619 GR:0060619 GR:0060621 GR:0060622 GR:0060627 GR:0060627 GR:0060627 GR:0060627 GR:0060655 GR:0060655 GR:0060655 GR:0060655 GR:0060655 GR:0060655 GR:0060655	GA25 Azucena Shanhuangzhan Lemont Tadukan Chubu 32 RIL276, Moroberekan Modan St No.1. Chugoku 31-1 Tetep LAC23, C101LAC Suweon 365 Lemont K60, Chugoku 31, Shin 2-1, K2, K3, Fuji 120, Kanto 51, LAC23 Kuroka Imochi-shirazu zenith Aichi Asachi IR64 Sensho Co39 Katy Pi No. 1, Pi No. 4, Yashiro-mochi, Tadukan-1, K1, Nakei 212 O15 IR64 93-11 Yashiro-mochi Apura Leqing Zhong 156 IR24	9 10 10 11 11 11 11 11 11 11 11 11 11 11	CRG5-CRG2 RG134-C223 L457b-R2536X G257-5723 E11729-E10310S RM21-RM206 E1126-C1172 C1172-RZ424 C189-5723 C539515-end Os11g42010 RM1233-RM6094 RM224-RZ536 RM224-RZ536 RM224-RZ536 RM224-RZ536 RM224-RZ536 RM224-RZ536 RM124-RZ536 RM125-RM287 RM167-RM287 RM167-RM	9641358-9685993 19565132-22667948 13635033-28377565 17317267-21361768 18593380-23669599 19137900-21979485 19423000-19494000 20549800-26004823 21711437-21361768 19423000-19494000 20549800-26004823 24761902-24762922 24761902-24762922 24761902-24762922 24769917-28376959 26796917-28376959 26796917-28376959 27314916-27532928 2840211-18372685 26402611-19029573 4073024-16730739 4073024-16730739 5304007-6888870 10078620-13211331 1003772-10699330 10614346-10652094 13103039-18867450 15274830-17531111 2426648-18050026 4053339-18867450 5756663-7731471 683257-743891	Pan et al., 2003; Lin et al., 2007 Sallaud et al., 2003 Liu et al., 2004 Tabien et al., 2004 Tabien et al., 2000. Fujii et al., 1995 Gowda et al., 2006 Zenbayashi et al., 2002 Chen et al., 2009 Fujii et al. 1995 Yunoki et al., 1999 Fujii et al. 1999 Fujii et al. 1999 Fujii et al. 1999 All 1996 Mackill and Bonman, 1992 Ahn et al., 2005 Mackill and Bonman, 1992 Ahn et al., 1996 Kiyosawa, 1970 Goto, 1988 Goto, 1970 Goto, 1976 Shinoda et al., 1971 Sallaud et al., 2003 Goto, 1970 Chauhan et al., 2002 nakamura et al., 2002 nakamura et al., 2000 Liu et al., 2007 Sallaud et al., 2000 Liu et al., 2007 Tanksley et al., 1996 Tanksley et al., 1993 Tabien et al., 2000 Zhuang, et al., 2000 Zhuang, et al., 2000 Zhuang, et al., 2000 Liu et al., 2000 Zhuang, et al., 2000
Pi15 Pi28(t) Pi-GD-2 Pi-Im2 Pbst* PBR* Pi38 Pi34 Pb1 Pi44 Pb1 Pif Pikh Pi1 Pi8 Pib2 Pik Pikur2 Pis1 MPiz Pia Pi30(t) Pise1 Pi-Co39 Pita2 Pita Pi32(t)* Pi6 Pi32(t)* Pi6 Pi62 Pi6 Pi62 Pi6 Pi62 Pi6 Pi24 Pi20 Pi20 Pi21	Pi15(t), Pi14, RMg34 Rmg65 RMg71 RMg44, Pi44(t)* RMg58, Pbst RMg3 RMg20, Pi7(t), RMg24 Pi18(t), RMg37, Pi18(t)* RMg49, Pilm2, Magnaporthe grisea resistance from Lemont Lemont RMg8, Pik-s, Pik-p, Pik-m (Pi m), Pik-h, Pi k-g RMg10, Pikur2* RMg10, Pikur2* RMg11, Rb6 RMg11 RMg67, Pi30(t)* RMg11, Rb1 Pita2, Pi4a, RMg16 RMg91 RMg69 RMg45, Pi62(t)*, =Pita ? RMg69 RMg23, Pi6(t)* RMg59, Pi24(t), RMg59 Pi20, RMg59 Pi20, RMg59 RMg30, Pi21*, Pi12(t)*	32 GR:0060644 GR:0061351 AQAQ017 GR:0061457 GR:0060654 GR:0060654 GR:0060659 GR:00606619 GR:0060619 GR:0060617 GR:0060617 GR:0060619 GR:0060627	GA25 Azucena Shanhuangzhan Lemont Tadukan Chubu 32 RIL276, Moroberekan Modan St No.1, Chugoku 31-1 Tetep LAC23, C101LAC Suweon 365 Lemont K60, Chugoku 31, Shin 2-1, K2, K3, Fuji 120, Kanto 51, LAC23 Kuroka Imochi-shirazu zenith Alchi Asachi IR64 Sensho Co39 Katy Pi No. 1, Pi No. 4, Yashiro-mochi, Tadukan-1, K1, Nakei 212 Q15 IR64 93-11 Yashiro-mochi Apura teqing Zhong 156 IR24 K80R, Hong-jiao-zhan	9 10 10 11 11 11 11 11 11 11 11 11 11 11	CRG5-CRG2 RG134-C223 L457b-RZ536X G257-S723 E11749-E10310S RM21-RM206 E1126-C1172 C1172-RZ424 C189-S723 C539515-end Os11g42010 RM1233-RM6094 RM224-RZ536 RM224-RZ536 RM224-RZ536 RM218-RM257 RM167-RM287 RM167-RM	9641358-9685993 19565132-22667948 13635033-28377565 17317267-21361768 18593380-236869599 19137900-21979485 19423000-19490000 20549800-26004823 21711437-21361768 24695583-28462103 24761902-24762922 26498854-28374648 26796917-28376959 27314916-27532928 2840211-18372685 27314916-27532928 2840211-18072687 4073024-16730739 4073024-16730739 4073024-16730739 10078620-13211331 10603772-10609330 10078620-13211331 10603772-10609330 10614346-10652094 13103039-18867450 16274830-17531111 2426648-18050026 4055339-18867450 6988220-10603689	Pan et al., 2003; Lin et al., 2007 Sallaud et al., 2003 Liu et al., 2004 Tablen et al., 2000 Fujii et al., 1995 Gowda et al., 2006 Zenbayashi et al., 2002 Chen et al., 2002 Chen et al., 1999 Fujii et al. 1999 Fujii et al. 1999 Fujii et al., 1999 Sharma et al., 2005 Mackili and Bomman, 1990 Mackili and Bomman, 1990 An et al., 1996 Kiyosawa, 1970 Goto, 1988 Goto, 1970 Goto, 1986 Goto, 1970 Goto, 1976 Shinoda et al., 1971 Sallaud et al., 2003 Goto, 1970 Chauhan et al., 2002 nakamura et al., 2002 nakamura et al., 2007 Sallaud et al., 2000 Zhuang, et al. 2000 Zhuang, et al. 2001 Imbe et al., 1996 Zheng et al., 1996
Pi15 Pi28(t) Pi-GD-2 Pi-Im2 Pist" Pist" Pist" Pist" Pist" Pist Pist Pist Pist Pist Pist Pist Pist	Pi15(t), Pi14, RMg34 Rmg65 RMg71 RMg44, Pi44(t)* RMg44, Pi44(t)* RMg58, Pbst RMg3 RMg20, Pi7(t), RMg24 Pi18(t), RMg37, Pi18(t)* RMg49, Pim2, Mgapaporthe grisea resistance from Lemont RMg8, Pik-s, Pik-p, Pik-m (Pi m), Pik-h, Pi k-g RMg10, Pikm2* Rb4, Rmg6 RMg10, Pikm2* Rb4, Rmg6 RMg11, Rb6 RMg1 RMg67, Pi30(t)* RMg11, Rb1 Pita2, Pi4a, RMg16 RMg69 RMg69 RMg45, Pi62(t)*, =Pita ? RMg23, Pi6(t)* RMg55, Pita6* Pi24(t), RMg59 Pi20, RMg39 RMg30, Pi12*, Pi12(t)* Pi12(t), RMg59	32 GR:0060644 GR:0061351 AQAQ017 GR:0061457 GR:0060654 GR:0060659 GR:0060630 GR:0060630 GR:0060619 GR:0060619 GR:0060653 GR:0060612 GR:0060612 GR:0060627 GR:0060627 GR:0060633 GR:0060640 GR:0060655	GA25 Azucena Shanhuangzhan Lemont Tadukan Chubu 32 RIL276, Moroberekan Modan St No.1, Chugoku 31-1 Tetep LAC23, C101LAC Suweon 365 Lemont K60, Chugoku 31, Shin 2-1, K2, K3, Fuji 120, Kanto 51, LAC23 Kuroka Imochi-shirazu zenith Aichi Asachi IR64 Sensho Co39 Katy Pi No. 1, Pi No. 4, Yashiro-mochi, Tadukan-1, K1, Nakei 212 Q15 IR64 93-11 Yashiro-mochi Apura Leqing Zhong 166 IR24 K80R, Hong-jiao-zhan Moroberekan	9 10 10 11 11 11 11 11 11 11 11 11 11 11	CRG5-CRG2 RG134-C223 RG134-C223 L457b-R2536X G257-5723 E11749-E10310S RM21-RM206 E1126-C1172 C1172-RZ424 C189-S723 C539515-end Os11942010 RM1233-RM694 RM224-RZ536 RM224-RZ536 RM224-RZ536 RM224-RZ536 RM224-RZ536 RM224-RZ536 RM167-RM287 RM1702 Os12g18360 39M11-39M22 CSU77-052140 RM28112-RM1261 RZ816-RG9 R367-G2140 RM28112-RM1261 RZ97-RG869 R367-G2140 RZ997-RG869 RG81-RG241 E30009S-C53024S E30009S-S13126S	9641358-9685993 19565132-22667948 13635033-28377565 17317267-21361768 18593380-23686959 19137900-21979485 19423000-1949000 20549800-26004823 21711437-21361768 24695583-2462103 24761902-24762922 24761902-24762922 24761902-24762922 24761902-24762922 24769917-28376959 26796917-28376959 27314916-27532928 26498854-26374448 26796917-28376959 27314916-27532928 240211-19029573 4073024-16730739 6304007-6888870 10078620-13211331 10063772-10609933 10814346-10659379 108063772-10609933 10814369-10609373 10814369-10609330 10814369-10609373 10814369-10609330 10814369-10609330 10814393-17581111 2426648-18050026 4053339-18867450 15756663-77314793 6988220-15120464	Pan et al., 2003; Lin et al., 2007 Sallaud et al., 2003 Liu et al., 2004 Tabien et al., 2004 Tabien et al., 2006 Fujii et al. 1995 Gowda et al., 2006 Zenbayashi et al., 2006 Zenbayashi et al., 2006 Chen et al., 1999 Fujii et al. 1995 Yunoki et al., 1990 Mackill and Bomman, 1992 Ahn et al., 1996 Tabien et al., 1996 Kiyosawa, 1970 Goto, 1988 Goto, 1976 Goto, 1976 Goto, 1976 Shinoda et al., 1991 Sallaud et al., 2007 Chauhan et al., 2007 Chauhan et al., 2007 Liu et al., 2007 Sallaud et al., 2000 Liu et al., 2007 Sallaud et al., 2003 Yang et al., unpublished Wu et al., 1996 Tabien et al., 1993 Tabien et al., 2003 Yang et al., 2001 Liu et al., 2007 Liu et al., 2007 Sallaud et al., 2003 Yang et al., 2001 Liu et al., 2007 Liu et al., 2007 Liu et al., 2007 Liu et al., 2007 Zengang, et al., 2001 Liube et al. 1999
Pi15 Pi28(t) Pi-GD-2 Pi-Im2 Pbst* PBR* Pi38 Pi34 Pb14 Pb1 Pikh Pit Pikh Pit Pikh Pit Piksur2 Pise1 Pise1 Pise2 Pise1 Pise2 Pise2 Pise2 Pise2 Pise3 Pise3 Pi32(t)* Pise1 Pi-Co39 Pita2 Pita2 Pita4 Pi-Co39 Pita2 Pita6 Pi-Co39 Pita2 Pita9 Pi-Co39 Pita1 Pi-Co39 Pita2 Pita1 Pi-Co39 Pita2 Pita2 Pita2 Pita1 Pi-Pi-Co39 Pita1 Pi-Pi-Co39 Pita2 Pita1 Pi-Pi-Co39 Pita1 Pi-Pi-Co39 Pita1 Pi-Pi-Co39 Pita1 Pi-Pi-Pi-Pi-Pi-Pi-Pi-Pi-Pi-Pi-Pi-Pi-Pi-P	Pi15(t), Pi14, RMg34 Rmg65 RMg71 RMg44, Pi44(t)* RMg44, Pi44(t)* RMg58, Pbst RMg3 RMg20, Pi7(t), RMg24 Pi18(t), RMg37, Pi18(t)* RMg49, Pilm2, Magnaporthe grisea resistance from Lemont Lemont RMg8, Pik-s, Pik-p, Pik-m (Pi m), Pik-h, Pi k-g RMg10, Pikur2* Rb4, Rmg6 RMg18, Rb6 RMg11, Rb1 Pita2, Pi4a, RMg16 RMg67, Pi30(t)* RMg67, Pi30(t)* RMg68, Pi30(t)* RMg99 RMg45, Pi62(t)*, =Pita? RMg23, Pi6(t)* RMg59, Pi2(t), RMg59 Pi2(t), RMg39 RMg30, Pi12*, Pi12(t)* Pi12(t), RMg29 Pi2(t), RMg29 Pi2(t), RMg29 Pi2(t), RMg29	32 GR:0060644 GR:0061351 AQAQ017 GR:0061457 GR:0060654 GR:0060654 GR:0060669 GR:0060669 GR:0060619 GR:0060617 GR:0060617 GR:0060617 GR:0060617 GR:0060617 GR:0060617 GR:0060617 GR:0060617 GR:0060618 GR:0060618 GR:0060618 GR:0060619 GR:0060655 GR:0060659 GR:0060669	GA25 Azucena Shanhuangzhan Lemont Tadukan Chubu 32 RIL276, Moroberekan Modan St No.1, Chugoku 31-1 Tetep LAC23, C101LAC Suweon 365 Lemont K60, Chugoku 31, Shin 2-1, K2, K3, Fuji 120, Kanto 51, LAC23 Kuroka Imochi-shirazu zenith Alchi Asachi IR64 Sensho Co39 Katy Pi No. 1, Pi No. 4, Yashiro-mochi, Tadukan-1, K1, Nakei 212 Q15 IR64 93-11 Yashiro-mochi Apura teqing Zhong 156 IR24 K80R, Hong-jiao-zhan	9 10 10 11 11 11 11 11 11 11 11 11 11 11	CRG5-CRG2 RG134-C223 RG134-C223 L457b-RZ536X G257-S723 E11779-E10310S RM21-RM206 RM21-RM206 C1172-C1172-R2424 C189-S723 C539515-end Os11g42010 RM1233-RM6094 RM224-RZ536 RM224-RZ536 RM224-RZ536 RM224-RZ536 RM218-RM287 RM167-RM287 RM167-RG0537 RS71-S2712 RM156-RM7102 CS12710 RM28112-RM1261 RZ816-RG9 RM28112-RM1261 RZ816-RG9 RG61-RG241 RZ300-RG689 RG61-RG241 RZ30009S-S13126S E30009S-S13126S	9641358-9685993 19565132-22667948 13635033-28377565 17317267-21361768 18593380-23686959 19137900-21979485 19423000-19490000 20549800-26004823 21711437-21361768 24695583-28462103 24761902-24762922 26498854-28374448 26796917-28376959 26796917-28376959 27314916-27532928 2840211-183726859 27314916-27532928 2840211-183726859 10073024-16730739 10073024-16730	Pan et al., 2003; Lin et al., 2007 Sallaud et al., 2003 Liu et al., 2004 Tabien et al., 2000 Fujii et al., 1995 Gowda et al., 2006 Zenbayashi et al., 2002 Chen et al., 2002 Chen et al., 1999 Fujii et al. 1999 Fujii et al. 1999 Fujii et al., 1999 Fujii et al., 1999 Sharma et al., 2005 Mackill and Bomman, 1992 Ahn et al., 1996 Tabien et al., 1996 Kiyosawa, 1970 Goto, 1988 Goto, 1970 Goto, 1970 Goto, 1976 Sharma et al., 2003 Goto, 1970 Chauhan et al., 2003 Goto, 1970 Chauhan et al., 2002 nakamura et al., 2000 Liu et al., 2007 Sallaud et al., 2000 Liu et al., 2007 Tabien et al., 2000 Liu et al., 2000 Liu et al., 2000 Liu et al., 2000 Zhana, 1996 Tanksley et al., 1996 Tanksley et al., 1993 Tabien et al., 2000 Zhuang, et al., 2000 Zhuang, et al., 2000 Liu et al., 2000 Zhuang, et al., 1997 Zheng et al., 1996 Ahn et al., 1996 Ahn et al., 1997
Pi15 Pi28(t) Pi-Gb-2 Pi34 Pi44 Pb1 Pif Pikh Pi1 Pila Pib2 Pik Pikur2 Pis1 MPiz Pis1 MPiz Pis1 Pis1 Pis2 Pis Pis2 Pis Pi-Co39 Pits2 Pits Pis2 Pits Pis3(t) Pits2 Pits Pis3(t) Pits2 Pits2 Pits3 Pis3(t) Pits2 Pits3 Pis3(t) Pits2 Pits3 Pis3(t) Pits4 Pis3(t) Pits5 Pis3(t) Pits5 Pis4(t) Pits5 Pis5(t) Pits6	Pi15(t), Pi14, RMg34 Rmg65 RMg71 RMg44, Pi44(t)* RMg44, Pi44(t)* RMg58, Pbst RMg3 RMg20, Pi7(t), RMg24 Pi18(t), RMg37, Pi18(t)* RMg99, Pilm2, Magnaporthe grisea resistance from Lemont RMg8, Pik-s, Pik-p, Pik-m (Pi m), Pik-h, Pi k-g RMg10, Pik-ly, Pik-R (Pi m), Pik-h, Pi k-g RMg10, Pik-ly, Pik-r (Pi m), Pik-h, Pi k-g RMg18, Rh66 RMg18, Rb6 RMg11 RMg67, Pi30(t)* RMg11, Rb1 Pita2, Pi4a, RMg16 RMg69 RMg45, Pi62(t)*, =Pita? RMg69 RMg45, Pi62(t)*, =Pita? RMg55, Pita6* Pi24(t), RMg59 Pi20, RMg39 RMg30, Pi27*, Pi12(t)* Pi12(t)*, RMg29 Pi21(t)*, RMg29 Pi21(t)*, RMg29 Pi21(t)*, RMg41 Rmg656, Pi(t)*	32 GR:0060644 GR:0061351 AQAQ017 GR:0061457 GR:0060654 GR:0060654 GR:0060659 GR:00606647 GR:00606619 GR:0060619 GR:0060655 GR:0060659 GR:0060659 GR:0060659 GR:0060649 GR:0060639 GR:0060661	GA25 Azucena Shanhuangzhan Lemont Tadukan Chubu 32 RIL276, Moroberekan Modan St No.1, Chugoku 31-1 Tetep LAC23, C101LAC Suweon 365 Lemont K60, Chugoku 31, Shin 2-1, K2, K3, Fuji 120, Kanto 51, LAC23 Kuroka Imochi-shirazu zenith Aichi Asachi IR64 Sensho Co39 Katy Pi No. 1, Pi No. 4, Yashiro-mochi, Tadukan-1, K1, Nakei 212 Q15 IR64 93-11 Yashiro-mochi Apura Leqing Zhong 166 IR24 K80R, Hong-jiao-zhan Moroberekan	9 10 10 11 11 11 11 11 11 11 11 11 11 11	CRG5-CRG2 RG134-C223 RG134-C223 L457b-R2536X G257-S723 E11749-E10310S RM21-RM206 E1126-C1172 C1172-R2424 C189-S723 C539515-end Os11942010 RM1233-RM694 RM224-RZ536 RM224-RZ536 RM224-RZ536 RM224-RZ536 RM224-RZ536 RM224-RZ536 RM2641-k8823 RM332-RM457 RM167-EN257 RM167-E30537S RG118-AF074889 RM118-AF074889 RM118-RM27 RM157-E30537S RG118-AF074889 RM116-RM27 RM157-RM27 RM167-RM287 RM167-RM287 RM167-RM287 RM167-RM287 RM167-RM287 RM167-RM287 RM167-RG869 RM16-RG9 R367-G2140 RM28112-RM1261 RZ816-RG9 R367-G2140 RZ397-RG869 R367-G2140 RZ397-RG869 RG81-RG241 E30009S-C53024S E30009S-C53024S E30009S-C53024S	9641358-9685993 19565132-22667948 13635033-28377565 17317267-21361768 18593380-23669599 19137900-21979485 19423000-1949000 20549800-26004823 21711437-21361768 19423000-1949000 20549800-26004823 21711437-21361768 24695583-28462103 24761902-24762922 24762922 24762922 24762922 26798917-28376959 26796917-28376959 27314916-27532288 2840211-19029573 4073024-16730739 4073024-16730739 4073024-16730739 4073024-16730739 4073024-16730739 10078620-13211331 10003772-10609330 10613430-10862045 103782-10869330 10613430-10862045 1053339-18867450 15758663-7731471 2426648-18050026 4053339-18867450 5758663-7731471 2426648-18050026 4053339-18120464 6988220-16038623 6988220-16038623 6988220-15120464 6988220-16395624	Pan et al., 2003; Lin et al., 2007 Sallaud et al., 2003 Liu et al., 2004 Tabien et al., 2003 Liu et al., 2004 Tabien et al., 2000. Fujii et al. 1995 Gowda et al., 2006 Zenbayashi et al., 2002 Chen et al., 2006 Tabien et al., 2006 Mackili and Bomman, 1995 Mackili and Bomman, 1992 Ahn et al., 1996 Tabien et al., 1996 Kiyosawa, 1970 Goto, 1976 Goto, 1976 Shinoda et al., 1971 Sallaud et al., 2003 Goto, 1970 Chauhan et al., 2007 Chauhan et al., 2007 Tabien et al., 2007 Chauhan et al., 2007 Chauhan et al., 2007 Tabien et al., 2007 Chauhan et al., 2007 Tabien et al., 2007 Chauhan et al., 2007 Liu et al., 2007 Tabien et al., 2007 Liu et al., 2007 Tabien et al., 2000 Liu et al., 2007 Tabien et al., 2007 Sallaud et al., 2000 Liu et al., 2007 Tabien et al., 2000 Liu et al., 2000 Liu et al., 2000 Tanksley et al., 1996 Tanksley et al., 1996 Tanksley et al., 1996 Theng et al., 1996 Inukal et al, 1996 Ahn et al., 1997 Causse et al., 1994
Pi15 Pi28(t) Pi-GD-2 Pi-Im2 Pbst* PBR* Pi38 Pi34 Pb14 Pb1 Pikh Pit Pikh Pit Pikh Pit Piksur2 Pise1 Pise1 Pise2 Pise1 Pise2 Pise2 Pise2 Pise2 Pise3 Pise3 Pi32(t)* Pise1 Pi-Co39 Pita2 Pita2 Pita4 Pi-Co39 Pita2 Pita6 Pi-Co39 Pita2 Pita9 Pi-Co39 Pita1 Pi-Co39 Pita2 Pita1 Pi-Co39 Pita2 Pita2 Pita2 Pita1 Pi-Pi-Co39 Pita1 Pi-Pi-Co39 Pita2 Pita1 Pi-Pi-Co39 Pita1 Pi-Pi-Co39 Pita1 Pi-Pi-Co39 Pita1 Pi-Pi-Pi-Pi-Pi-Pi-Pi-Pi-Pi-Pi-Pi-Pi-Pi-P	Pi15(t), Pi14, RMg34 Rmg65 RMg71 RMg44, Pi44(t)* RMg44, Pi44(t)* RMg58, Pbst RMg3 RMg20, Pi7(t), RMg24 Pi18(t), RMg37, Pi18(t)* RMg49, Pilm2, Magnaporthe grisea resistance from Lemont Lemont RMg8, Pik-s, Pik-p, Pik-m (Pi m), Pik-h, Pi k-g RMg10, Pikur2* Rb4, Rmg6 RMg18, Rb6 RMg11, Rb1 Pita2, Pi4a, RMg16 RMg67, Pi30(t)* RMg67, Pi30(t)* RMg68, Pi30(t)* RMg99 RMg45, Pi62(t)*, =Pita? RMg23, Pi6(t)* RMg59, Pi2(t), RMg59 Pi2(t), RMg39 RMg30, Pi12*, Pi12(t)* Pi12(t), RMg29 Pi2(t), RMg29 Pi2(t), RMg29 Pi2(t), RMg29	32 GR:0060644 GR:0061351 AQAQ017 GR:0061457 GR:0060654 GR:0060654 GR:0060669 GR:0060669 GR:0060619 GR:0060617 GR:0060617 GR:0060617 GR:0060617 GR:0060617 GR:0060617 GR:0060617 GR:0060617 GR:0060618 GR:0060618 GR:0060618 GR:0060619 GR:0060655 GR:0060659 GR:0060669	GA25 Azucena Shanhuangzhan Lemont Tadukan Chubu 32 RIL276, Moroberekan Modan St No.1, Chugoku 31-1 Tetep LAC23, C101LAC Suweon 365 Lemont K60, Chugoku 31, Shin 2-1, K2, K3, Fuji 120, Kanto 51, LAC23 Kuroka Imochi-shirazu zenith Aichi Asachi IR64 Sensho Co39 Katy Pi No. 1, Pi No. 4, Yashiro-mochi, Tadukan-1, K1, Nakei 212 Q15 IR64 93-11 Yashiro-mochi Apura Leqing Zhong 166 IR24 K80R, Hong-jiao-zhan Moroberekan	9 10 10 11 11 11 11 11 11 11 11 11 11 11	CRG5-CRG2 RG134-C223 RG134-C223 L457b-RZ536X G257-S723 E11779-E10310S RM21-RM206 RM21-RM206 C1172-C1172-R2424 C189-S723 C39515-end Os11g42010 RM1233-RM6094 RM224-RZ536 RM224-RZ536 RM224-RZ536 RM224-RZ536 RM218-RM287 RM167-RM287 RM167-G2140 RM28112-RM1261 RZ816-RG9 RG81-RG241 RZ307-RG689 RG81-RG241 R30009S-S13126S E30009S-S13126S	9641358-9685993 19565132-22667948 13635033-28377565 17317267-21361768 18593380-23686959 19137900-21979485 19423000-19490000 20549800-26004823 21711437-21361768 24695583-28462103 24761902-24762922 26498854-28374448 26796917-28376959 26796917-28376959 27314916-27532928 2840211-183726859 27314916-27532928 2840211-183726859 10073024-16730739 10073024-16730	Pan et al., 2003; Lin et al., 2007 Sallaud et al., 2003 Liu et al., 2004 Tabien et al., 2000 Fujii et al., 1995 Gowda et al., 2006 Zenbayashi et al., 2002 Chen et al., 2002 Chen et al., 1999 Fujii et al. 1999 Fujii et al. 1999 Fujii et al., 1999 Fujii et al., 1999 Sharma et al., 2005 Mackill and Bomman, 1992 Ahn et al., 1996 Tabien et al., 1996 Kiyosawa, 1970 Goto, 1988 Goto, 1970 Goto, 1970 Goto, 1976 Sharma et al., 2003 Goto, 1970 Chauhan et al., 2003 Goto, 1970 Chauhan et al., 2002 nakamura et al., 2000 Liu et al., 2007 Sallaud et al., 2000 Liu et al., 2007 Tabien et al., 2000 Liu et al., 2000 Liu et al., 2000 Liu et al., 2000 Zhana, 1996 Tanksley et al., 1996 Tanksley et al., 1993 Tabien et al., 2000 Zhuang, et al., 2000 Zhuang, et al., 2000 Liu et al., 2000 Zhuang, et al., 1997 Zheng et al., 1996 Ahn et al., 1996 Ahn et al., 1997
Pi15 Pi28(t) Pi-GD-2 Pi-Im2 Pi-GD-2 Pi-Im2 Pi-GD-2 Pi-Im2 Pist Pi38 Pi34 Pi44 Pb1 Pif Pikh Pi18 Pib2 Pik Pikl Pila Pisor Piss Piss1 MPiz Piss1 MPiz Piss1 MPiz Piss1 Piss2 Pis	Pi15(t), Pi14, RMg34 Rmg65 RMg71 RMg44, Pi44(t)* RMg44, Pi44(t)* RMg58, Pbst RMg3 RMg20, Pi7(t), RMg24 Pi18(t), RMg37, Pi18(t)* RMg49, Pim2, Mgapaporthe grisea resistance from Lemont RMg8, Pik-s, Pik-p, Pik-m (Pi m), Pik-h, Pi k-g RMg10, Pilol, Pik-ru?* Rb4, Rmg6 RMg10, Pikur2* Rb4, Rmg6 RMg11, Rb6 RMg1 RMg67, Pi30(t)* RMg11, Rb1 Pita2, Pi4a, RMg16 RMg69 RMg55, Pi6(t)* RMg55, Pita6* Pi24(t), RMg59 Pi20, RMg39 RMg30, Pi12*, Pi12(t)* Pi12(t), RMg29 Pi21(t)', RMg29 Pi21(t)', RMg41 Rmg65, Pit(t)* RMg68 RMg67, Pi30(t)* Rmg57, IPi3(t)* Rmg57, IPi3(t)* Rmg68 RMg38, Pi19(t) RMg68 RMg38, Pi19(t)* RMg68 RMg68	32 GR:0060644 GR:0061351 AQAQ017 GR:0061457 GR:0060854 GR:0060856 GR:0060687 GR:0060685 GR:0060685 GR:0060685 GR:0060685 GR:0060685 GR:0060687 GR:0060685 GR:0060687 GR:0060685	GA25 Azucena Shanhuangzhan Lemont Tadukan Chubu 32 RIL276, Moroberekan Modan St No.1, Chugoku 31-1 Tetep LAC23, C101LAC Suweon 365 Lemont K60, Chugoku 31, Shin 2-1, K2, K3, Fuji 120, Kanto 51, LAC23 Kuroka Imochi-shirazu zenith Aichi Asachi IR64 Sensho Co39 Katy Pi No. 1, Pi No. 4, Yashiro-mochi, Tadukan-1, K1, Nakei 212 Q15 IR64 93-11 Yashiro-mochi Apura teqing Zhong 156 IR24 K80R, Hong-jiao-zhan Moroberekan Suweon 365	9 10 10 11 11 11 11 11 11 11 11 11 11 11	CRG5-CRG2 RG134-C223 RG134-C223 L457b-R2536X G257-5723 E11749-E10310S RM21-RM206 E1126-C1172 C1172-RZ424 C189-S723 C539515-end Os11942010 RM1233-RM694 RM224-RZ536 RM224-RZ536 RM224-RZ536 RM224-RZ536 RM224-RZ536 RM224-RZ536 RM322-RM457 RM167-RM287 RM167-RM287 RM167-RM287 RM167-RM287 RM167-R30537S RG118-AF074889 RM116-RM287 RPR1-S2712 RM155-RM7102 Os12g18360 39M11-39M22 CSU77-G2140 RM28112-RM1261 RZ816-RG9 R367-G2140 RZ937-RG869 R361-RG241 E30009S-C53024S E30009S-C53024S E30009S-C53024S E30009S-C513126S E30009S-C51122S E30009S-C61722S E30041-RG869 RG241X-RG869 RG241X-RG869 RG241X-RG869 RG69-R887 RM101-RZ670	9641358-9685993 19565132-22667948 13635033-28377565 17317267-21361768 18593380-23686959 19137900-21979485 19423000-1949000 20549800-26004823 21711437-21361768 24695583-2462103 24761902-24762922 24761902-24762922 24761902-24762922 24761902-24762922 24761902-24762922 24769917-28376959 26796917-28376959 27314916-27532928 26498854-264753292 27314916-27532928 240211-19029573 4073024-16730739 6304007-6888870 10078620-13211331 2426648-18050037 10078620-13211331 2426648-18050037 105323-1867450 16274830-17531111 2426648-18050036 16274830-17531111 2426648-18050036 6988220-1512046 698820-7731690 77331060 773371060 7733930-7731060	Pan et al., 2003; Lin et al., 2007 Sallaud et al., 2003 Liu et al., 2004 Tabien et al., 2004 Tabien et al., 2006 Fujii et al., 1995 Fujii et al., 1995 Gowda et al., 2006 Zenbayashi et al., 2002 Chen et al., 1999 Fujii et al., 1999 Fujii et al., 1999 Yunoki et al., 1990 Mackill and Bonman, 1992 Ahn et al., 1996 Tabien et al., 1996 Kiyosawa, 1970 Goto, 1976 Goto, 1976 Goto, 1976 Sallaud et al., 2007 Chauhan et al., 2007 Chauhan et al., 2007 Liu et al., 2007 Liu et al., 2007 Sallaud et al., 2003 Yang et al., unpublished Wu et al., 1996 Tabien et al., 1997 Zheng et al., 2001 Liu et al., 2007 Liu et al., 2007 Chauhan et al., 1997 Chauhan et al., 1996 Tabien et al., 1996 Tabien et al., 1997 Zenen et al., 1999 Ahn et al., 1996 Causse et al., 1994 Sallaud et al., 2004
Pi15 Pi28(t) Pi-28(t) Pi-28(t) Pi-30-2 Pi-1m2 Pbst* PBR* Pi38 Pi34 Pb1 Pi44 Pb1 Pi49 Pi49 Pi49 Pi49 Pi49 Pi49 Pi49 Pi59 Pi89 Pi89 Pi89 Pi89 Pi89 Pi89 Pi89 Pi8	Pi15(t), Pi14, RMg34 Rmg65 RMg71 RMg44, Pi44(t)* RMg58, Pbst RMg3 RMg20, Pi7(t), RMg24 Pi18(t), RMg37, Pi18(t)* RMg49, Pilm2, Magnaporthe grisea resistance from Lemont Lemont RMg8, Pik-s, Pik-p, Pik-m (Pi m), Pik-h, Pi k-g RMg10, Piku12* Rb4, Rmg6 RMg10, Piku12* Rb4, Rmg6 RMg11, Rb6 RMg1 RMg67, Pi30(t)* RMg11, Rb1 Pita2, Pi4a, RMg16 RMg69 RMg69 RMg45, Pi62(t)*, =Pita ? RMg23, Pi6(t)* RMg59, Pi20, RMg59 Pi20, RMg59 Pi21(t), RMg59 Pi21(t), RMg29 Pi21(t)*, RMg41 Rmg66, IPi(t)* Rmg56, IPi(t)* Rmg68	32 GR:0060644 GR:0061351 AQAQ017 GR:0061457 GR:0060654 GR:0060654 GR:0060659 GR:0060667 GR:00606619 GR:0060619 GR:0060612 GR:0060612 GR:0060619	GA25	9 10 10 11 11 11 11 11 11 11 11 11 11 11	CRG5-CRG2 RG134-C223 L457b-RZ536X G257-S723 E11749-E10310S RM21-RM206 C1172-C1172 C1172-RZ424 C189-S723 C39515-end Os11g42010 RM1233-RM0094 RM224-RZ536 RM224-RZ536 RM224-RZ536 RM224-RZ536 RM322-RM229 RM332-RM229 RM332-RM457 RM167-RM287 RM167-RM287 RM167-RM287 RM167-RM287 RM167-RM287 RM167-RM287 RM167-RM287 RM167-RM287 RM168-RM287 RM168-RM287 RM168-RM287 RM168-RM287 RM168-RM281 RM158-RM7102 Os12g18360 RM28112-RM1261 RZ816-RG9 R367-G2140 RX2817-RG889 RG81-RG241 E30009S-C53024S E3009S-S13126S E3009S-S13126S E3009S-S13126S E3009S-S13126S RG241X-RG869 RG241X-RG869 RG241X-RG869 RG241X-RG869	9641358-9685993 19565132-22667948 13635033-28377565 17317267-21361768 18593380-236869599 19137900-21979485 19423000-19490000 20549800-26004823 21711437-21361768 24695583-28462103 24761902-24762922 26498854-28374442 26796917-28376959 26796917-28376959 27314916-27532928 2840211-18372689 24761902-24762922 2840211-18029573 4073024-16730739 4073024-16730739 4073024-16730739 10076820-13211331 10603772-1060339 10614346-10652094 13103039-18867450 10076820-13211331 10603772-1060339 1867450 16274830-177531111 2426648-18050026 4053339-18867450 6988220-15120464 6988220-15120464 6988220-15120464 6988220-15120464 6988220-15120464 6988220-15120464 6988220-15120464 6988220-15120464 6988220-15120464 6988220-15120464 6988220-15120464	Pan et al., 2003; Lin et al., 2007 Sallaud et al., 2003 Liu et al., 2004 Tabien et al., 2000 Fujii et al., 1995 Gowda et al., 2006 Zenbayashi et al., 2002 Chen et al., 1999 Fujii et al. 1999 Fujii et al. 1999 Fujii et al., 1999 Fujii et al., 1999 Fujii et al., 1999 Fujii et al., 1999 Sharma et al., 2005 Mackill and Bonman, 1992 Ahn et al., 1996 Kiyosawa, 1970 Goto, 1988 Goto, 1970 Goto, 1988 Goto, 1970 Goto, 1976 Sharda et al., 2003 Goto, 1970 Sallaud et al., 2003 Goto, 1970 Sallaud et al., 2000 Liu et al., 2007 Sallaud et al., 2000 Liu et al., 1996 Tanksley et al., 1993 Tabien et al., 1993 Tabien et al., 1996 Causse et al., 1996 Causse et al., 1996 Causse et al., 1994 Sallaud et al., 1997 Causse et al., 1996 Causse et al., 1994 Sallaud et al., 1996
Pi15 Pi28(t) Pi-GD-2 Pi-Im2 Pi-GD-2 Pi-Im2 Pi-GD-2 Pi-Im2 Pist Pi38 Pi34 Pi44 Pi51 Pi18 Pi62 Pik Pik Pik Pik Pist Pist Pist Pist Pist Pist Pist Pist	Pi15(t), Pi14, RMg34 Rmg65 RMg71 RMg44, Pi44(t)* RMg44, Pi44(t)* RMg58, Pbst RMg3 RMg20, Pi7(t), RMg24 Pi18(t), RMg37, Pi18(t)* RMg49, Pim2, Mgapaporthe grisea resistance from Lemont RMg8, Pik-s, Pik-p, Pik-m (Pi m), Pik-h, Pi k-g RMg10, Pilol, Pik-ru?* Rb4, Rmg6 RMg10, Pikur2* Rb4, Rmg6 RMg11, Rb6 RMg1 RMg67, Pi30(t)* RMg11, Rb1 Pita2, Pi4a, RMg16 RMg69 RMg55, Pi6(t)* RMg55, Pita6* Pi24(t), RMg59 Pi20, RMg39 RMg30, Pi12*, Pi12(t)* Pi12(t), RMg29 Pi21(t)', RMg29 Pi21(t)', RMg41 Rmg65, Pit(t)* RMg68 RMg67, Pi30(t)* Rmg57, IPi3(t)* Rmg57, IPi3(t)* Rmg68 RMg38, Pi19(t) RMg68 RMg38, Pi19(t)* RMg68 RMg68	32 GR:0060644 GR:0061351 AQAQ017 GR:0061457 GR:0060854 GR:0060856 GR:0060687 GR:0060685 GR:0060685 GR:0060685 GR:0060685 GR:0060685 GR:0060687 GR:0060685 GR:0060687 GR:0060685	GA25 Azucena Shanhuangzhan Lemont Tadukan Chubu 32 RIL276, Moroberekan Modan St No.1, Chugoku 31-1 Tetep LAC23, C101LAC Suweon 365 Lemont K60, Chugoku 31, Shin 2-1, K2, K3, Fuji 120, Kanto 51, LAC23 Kuroka Imochi-shirazu zenith Alchi Asachi IR64 Sensho Co39 Katy Pi No. 1, Pi No. 4, Yashiro-mochi, Tadukan-1, K1, Nakei 212 Q15 IR64 93-11 Yashiro-mochi Apura teqing Zhong 156 IR24 K80R, Hong-jiao-zhan Moroberekan Suweon 365	9 10 10 11 11 11 11 11 11 11 11 11 11 11	CRG5-CRG2 RG134-C223 RG134-C223 L457b-R2536X G257-5723 E11749-E10310S RM21-RM206 E1126-C1172 C1172-RZ424 C189-S723 C539515-end Os11942010 RM1233-RM694 RM224-RZ536 RM224-RZ536 RM224-RZ536 RM224-RZ536 RM224-RZ536 RM224-RZ536 RM322-RM457 RM167-RM287 RM167-RM287 RM167-RM287 RM167-RM287 RM167-R30537S RG118-AF074889 RM116-RM287 RPR1-S2712 RM155-RM7102 Os12g18360 39M11-39M22 CSU77-G2140 RM28112-RM1261 RZ816-RG9 R367-G2140 RZ937-RG869 R361-RG241 E30009S-C53024S E30009S-C53024S E30009S-C53024S E30009S-C513126S E30009S-C51122S E30009S-C61722S E30041-RG869 RG241X-RG869 RG241X-RG869 RG241X-RG869 RG69-R887 RM101-RZ670	9641358-9685993 19565132-22667948 13635033-28377565 17317267-21361768 18593380-23686959 19137900-21979485 19423000-1949000 20549800-26004823 21711437-21361768 24695583-2462103 24761902-24762922 24761902-24762922 24761902-24762922 24761902-24762922 24761902-24762922 24769917-28376959 26796917-28376959 27314916-27532928 26498854-264753292 27314916-27532928 240211-19029573 4073024-16730739 6304007-6888870 10078620-13211331 2426648-18050037 10078620-13211331 2426648-18050037 105323-1867450 16274830-17531111 2426648-18050036 16274830-17531111 2426648-18050036 6988220-1512046 698820-7731690 77331060 773371060 7733930-7731060	Pan et al., 2003; Lin et al., 2007 Sallaud et al., 2003 Liu et al., 2004 Tabien et al., 2000 Liu et al., 2000 Fujii et al. 1995 Gowda et al., 2006 Zenbayashi et al., 2006 Zenbayashi et al., 2006 Chen et al., 2006 Mackill and Bomman, 1995 Mackill and Bomman, 1996 Alme tal., 1996 Tabien et al., 1996 Kiyosawa, 1970 Goto, 1988 Goto, 1976 Goto, 1976 Shinoda et al., 1971 Sallaud et al., 2003 Goto, 1970 Chauhan et al., 2000 Liu et al., 2007 Dispanda et al., 2007 Chauhan et al., 2007 Sallaud et al., 2007 Liu et al., 2007 Liu et al., 2007 Sallaud et al., 2003 Yang et al., unpublished Wu et al., 1996 Tanksley et al., 1993 Tabien et al., 2001 Liu et al., 2007 Sallaud et al., 2003 Yang et al., unpublished Wu et al., 1996 Tanksley et al., 1993 Tabien et al., 2001 Imbe et al., 1996 Ahn et al., 1996 Ahn et al., 1996 Ahn et al., 1996 Sallaud et al., 1996 Alme et al., 1996 Alme et al., 1996 Sallaud et al., 1996 Alme et al., 1998 Naqvi et al., 1998 Naqvi et al., 1998 Naqvi et al., 1998
Pi15 Pi28(t) Pi-GD-2 Pi-Im2 Pi-GD-2 Pi-Im2 Pi-GD-2 Pi-Im2 Pi-BR* Pi38 Pi34 Pi44 Pi17 Pi47 Pi87 Pi88 Pi88 Pi89 Pi89 Pi89 Pi89 Pi89 Pi89	Pi15(t), Pi14, RMg34 Rmg65 RMg71 RMg44, Pi44(t)* RMg44, Pi44(t)* RMg56, Pbst RMg3 RMg20, Pi7(t), RMg24 Pi18(t), RMg37, Pi18(t)* RMg49, Pilm2, Magnaporthe grisea resistance from Lemont RMg8, Pik-s, Pik-p, Pik-m (Pi m), Pik-h, Pi k-g RMg10, Pikur2* Rb4, Rmg6 RMg10, Rkg6 RMg11, Rb6 RMg17 RMg67, Pi30(t)* RMg67, Pi30(t)* RMg67, Pi30(t)* RMg69 RMg45, Pi62(t)*, =Pita ? RMg23, Pi6(t)* RMg55, Pitg6* Pi24(t), RMg59 Pi20, RMg39 RMg30, Pi12*, Pi12(t)* Pi12(t), RMg59 Pi2(t), RMg99 Pi2(t), RMg99 Pi2(t), RMg99 Pi2(t), RMg99 Pi2(t), RMg99 Pi2(t), RMg99 RMg30, Pi12*, Pi12(t)* RMg66, IPi(t)* Rmg66, IPi(t)* Rmg66, IPi(t)* Rmg68, IPi(t)* RMg68 RMg38, IPi(t)*, Pi14 Pi157*, Pi157(t)*, RMg47	32 GR:0060644 GR:0061351 AQAQ017 GR:0061457 GR:0060654 GR:0060654 GR:0060661 GR:0060669 GR:0060669 GR:0060619 GR:0060612 GR:0060622 GR:0060627 GR:0060633 GR:0060649 GR:0060639 GR:0060649 GR:0060649 GR:0060649 GR:0060649 GR:0060649 GR:0060649 GR:0060649 GR:0060651 GR:0060649 GR:0060651 GR:0060649 GR:0060651	GA25 Azucena Shanhuangzhan Lemont Tadukan Chubu 32 RIL276, Moroberekan Modan St No.1, Chugoku 31-1 Tetep LAC23, C101LAC Suweon 365 Lemont K60, Chugoku 31, Shin 2-1, K2, K3, Fuji 120, Kanto 51, LAC23 Kuroka Imochi-shirazu zenith Aichi Asachi IR64 Sensho Co39 Katy Pi No. 1, Pi No. 4, Yashiro-mochi, Tadukan-1, K1, Nakei 212 Q15 IR64 93-11 Yashiro-mochi Apura Leging Zhong 156 IR24 K80R, Hong-jiao-zhan Moroberekan Suweon 365	9 10 10 11 11 11 11 11 11 11 11 11 11 11	CRG5-CRG2 RG134-C223 RG134-C223 L457b-R2536X G257-5723 E11749-E10310S RM21-RM206 E1126-C1172 C1172-RZ424 C189-S723 C539515-end Os11942010 RM1233-RM694 RM224-RZ536 RM224-RZ536 RM224-RZ536 RM224-RZ536 RM224-RZ536 RM224-RZ536 RM322-RM457 RM167-RM287 RM167-RM287 RM167-RM287 RM167-RM287 RM167-R30537S RG118-AF074889 RM116-RM287 RPR1-S2712 RM155-RM7102 Os12g18360 39M11-39M22 CSU77-G2140 RM28112-RM1261 RZ816-RG9 R367-G2140 RZ937-RG869 R367-G2140 RZ937-RG869 RG91-RG241 E30009S-C53024S E30009S-C53024S E30009S-C5102ES E30009S-C5102ES E30009S-C5112ES E30009S-C61722S E30009S-C61722S E30009S-C61722S E30009S-C61722S E30009S-C61722S E30009S-C6172ES E30009S-C6172	9641358-9685993 19565132-22667948 13635033-28377565 17317267-21361768 18593380-23686959 19137900-21979485 19423000-1949000 20549800-26004823 21711437-21361768 24695583-2462103 24761902-24762922 24761902-24762922 24761902-24762922 24761902-24762922 24761902-24762922 24769917-28376959 26796917-28376959 27314916-27532928 26498854-264753292 27314916-27532928 240211-19029573 4073024-16730739 6304007-6888870 10078620-13211331 2426648-18050037 10078620-13211331 2426648-18050037 105323-1867450 16274830-17531111 2426648-18050036 16274830-17531111 2426648-18050036 6988220-1512046 698820-7731690 77331060 773371060 7733930-7731060	Pan et al., 2003; Lin et al., 2007 Sallaud et al., 2003 Liu et al., 2004 Tabien et al., 2004 Tabien et al., 2000 Fujii et al. 1995 Gowda et al., 2006 Zenbayashi et al., 2002 Chen et al., 1999 Fujii et al. 1999 Fujii et al. 1999 Fujii et al., 1999 Fujii et al., 1999 Anna et al., 2005 Mackill and Bomman, 1992 Ahn et al., 1996 Kiyosawa, 1970 Goto, 1988 Goto, 1976 Goto, 1988 Goto, 1976 Sharda et al., 2003 Goto, 1976 Sharda et al., 2002 nakamura et al., 2002 nakamura et al., 2002 nakamura et al., 2007 Sallaud et al., 2007 Sallaud et al., 2007 Sallaud et al., 2007 Tabien et al., 1996 Tabien et al., 1996 Liu et al., 2007 Sallaud et al., 1996 Tabien et al., 1996 Tabien et al., 1996 Tanksley et al., 1993 Tabien et al., 1997 Causse et al., 1997 Causse et al., 1997 Causse et al., 1996 Ahn et al., 1997 Causse et al., 1998 Alayashi et al., 1998 Hayashi et al., 1998 Liu et al., 1998
Pi15 Pi28(t) Pi-GD-2 Pi-Im2 Pbst* PBR* Pi38 Pi34 Pb14 Pb1 Pi44 Pb1 Pith Pi18 Pib2 Pik Pikur2 Pis1 MPiz Pis2 Pis1 MPiz Pis2 Pis1 Pi20 Pita2 Pita2 Pita1 Pi-Co39 Pita2 Pita1 Pi-Co39 Pita2 Pita1 Pi-Co39 Pita2 Pita1 Pi-Co39 Pita2 Pita1 Pi-Di30(t) Pis61 Pi-Di30(t) Pi-Di3	Pi15(t), Pi14, RMg34 Rmg65 RMg71 RMg44, Pi44(t)* RMg44, Pi44(t)* RMg58, Pbst RMg3 RMg20, Pi7(t), RMg24 Pi18(t), RMg37, Pi18(t)* RMg49, Pilm2, Magnaporthe grisea resistance from Lemont Lemont RMg8, Pik-s, Pik-p, Pik-m (Pi m), Pik-h, Pi k-g RMg10, Pikur2* Rb4, Rmg6 RMg10, Pikur2* Rb4, Rmg6 RMg11, Rb6 RMg1 RMg67, Pi30(t)* RMg57, Pi30(t)* RMg11, Rb1 Pita2, Pi4a, RMg16 RMg69 RMg58, Pi66* Pi24(t), RMg59 Pi20, RMg39 RMg30, Pi12*, Pi12(t)* Pi12(t), RMg29 Pi21(t)*, RMg41 Rmg65, IPi(t)* Rmg68 RMg38, Pi19(t)* Rmg68 RMg38, Pi19(t)*, Pi14 Pi157*, Pi157(t)*, RMg47	32 GR:0060644 GR:0061351 AQAQ017 GR:0061457 GR:0060654 GR:0060654 GR:0060654 GR:0060657 GR:00606659 GR:00606619 GR:0060619 GR:0060627 GR:0060627 GR:0060659 GR:0060659 GR:0060659 GR:0060659 GR:0060659 GR:0060659 GR:0060659 GR:0060657 GR:0060657	GA25 Azucena Shanhuangzhan Lemont Tadukan Chubu 32 RIL276, Moroberekan Modan St No.1, Chugoku 31-1 Tetep LAC23, C101LAC Suweon 365 Lemont K60, Chugoku 31, Shin 2-1, K2, K3, Fuji 120, Kanto 51, LAC23 Kuroka Imochi-shirazu zenith Aichi Asachi IR64 Sensho Co39 Katy Pi No. 1, Pi No. 4, Yashiro-mochi, Tadukan-1, K1, Nakei 212 Q15 IR64 93-11 Yashiro-mochi Apura teqing Zhong 156 IR24 K80R, Hong-jiao-zhan Moroberekan Suweon 365 IR64 Aichi Asahi Moroberekan Suweon 365	9 10 10 11 11 11 11 11 11 11 11 11 11 11	CRG5-CRG2 RG134-C223 RG134-C223 L457b-R2536X G257-5723 E11749-E10310S RM21-RM206 E1126-C1172 C1172-RZ424 C189-S723 C539515-end Os11942010 RM1233-RM694 RM224-RZ536 RM224-RZ536 RM224-RZ536 RM224-RZ536 RM224-RZ536 RM224-RZ536 RM322-RM457 RM167-RM287 RM167-RM287 RM167-RM287 RM167-RM287 RM167-R30537S RG118-AF074889 RM116-RM287 RPR1-S2712 RM155-RM7102 Os12g18360 39M11-39M22 CSU77-G2140 RM28112-RM1261 RZ816-RG9 R367-G2140 RZ937-RG869 R367-G2140 RZ937-RG869 RG91-RG241 E30009S-C53024S E30009S-C53024S E30009S-C5102ES E30009S-C5102ES E30009S-C5112ES E30009S-C61722S E30009S-C61722S E30009S-C61722S E30009S-C61722S E30009S-C61722S E30009S-C6172ES E30009S-C6172	9641358-9685993 19565132-22667948 13635033-28377565 17317267-21361768 18593380-23686959 19137900-21979485 19423000-1949000 20549800-26004823 21711437-21361768 24695583-2462103 24761902-24762922 24761902-24762922 24761902-24762922 24761902-24762922 24761902-24762922 24769917-28376959 26796917-28376959 27314916-27532928 26498854-264753292 27314916-27532928 240211-19029573 4073024-16730739 6304007-6888870 10078620-13211331 2426648-18050037 10078620-13211331 2426648-18050037 105323-1867450 16274830-17531111 2426648-18050036 16274830-17531111 2426648-18050036 6988220-1512046 698820-7731690 77331060 773371060 7733930-7731060	Pan et al., 2003; Lin et al., 2007 Sallaud et al., 2003 Liu et al., 2004 Tabien et al., 2000 Fujii et al. 1995 Gowda et al., 2006 Zenbayashi et al., 2002 Chen et al., 2002 Chen et al., 1999 Fujii et al. 1999 Fujii et al. 1999 Fujii et al. 1999 Fujii et al., 2002 Chen et al., 1999 Sharma et al., 2005 Mackill and Bomman, 1992 Ahn et al., 1996 Kiyosawa, 1970 Goto, 1988 Goto, 1970 Goto, 1986 Goto, 1970 Goto, 1976 Shinoda et al., 1971 Sallaud et al., 2003 Goto, 1970 Chauhan et al., 2002 nakamura et al., 2007 Sallaud et al., 2007 Chauhan et al., 2007 Sallaud et al., 2007 Sallaud et al., 2007 Sallaud et al., 2007 Chauhan et al., 1996 Tanksley et al., 1996 Tanksley et al., 1996 Tanksley et al., 1996 Liu et al., 1997 Causse et al., 1997 Causse et al., 1997 Causse et al., 1994 Sallaud et al., 2003 Hayashi et al., 1998 Nagvi et al., 1998 Nagvi et al., 1998 Liu et al., 2004 Wu et al., 1996
Pi15 Pi28(t) Pi-GD-2 Pi-Im2 Pi-GD-2 Pi-Im2 Pi-GD-2 Pi-Im2 Pi-BR* Pi38 Pi34 Pi44 Pi17 Pi47 Pi87 Pi88 Pi88 Pi89 Pi89 Pi89 Pi89 Pi89 Pi89	Pi15(t), Pi14, RMg34 Rmg65 RMg71 RMg44, Pi44(t)* RMg44, Pi44(t)* RMg56, Pbst RMg3 RMg20, Pi7(t), RMg24 Pi18(t), RMg37, Pi18(t)* RMg49, Pilm2, Magnaporthe grisea resistance from Lemont RMg8, Pik-s, Pik-p, Pik-m (Pi m), Pik-h, Pi k-g RMg10, Pikur2* Rb4, Rmg6 RMg10, Rkg6 RMg11, Rb6 RMg17 RMg67, Pi30(t)* RMg67, Pi30(t)* RMg67, Pi30(t)* RMg69 RMg45, Pi62(t)*, =Pita ? RMg23, Pi6(t)* RMg55, Pitg6* Pi24(t), RMg59 Pi20, RMg39 RMg30, Pi12*, Pi12(t)* Pi12(t), RMg59 Pi2(t), RMg99 Pi2(t), RMg99 Pi2(t), RMg99 Pi2(t), RMg99 Pi2(t), RMg99 Pi2(t), RMg99 RMg30, Pi12*, Pi12(t)* RMg66, IPi(t)* Rmg66, IPi(t)* Rmg66, IPi(t)* Rmg68, IPi(t)* RMg68 RMg38, IPi(t)*, Pi14 Pi157*, Pi157(t)*, RMg47	32 GR:0060644 GR:0061351 AQAQ017 GR:0061457 GR:0060654 GR:0060654 GR:0060661 GR:0060669 GR:0060669 GR:0060619 GR:0060612 GR:0060622 GR:0060627 GR:0060633 GR:0060649 GR:0060639 GR:0060649 GR:0060649 GR:0060649 GR:0060649 GR:0060649 GR:0060649 GR:0060649 GR:0060651 GR:0060649 GR:0060651 GR:0060649 GR:0060651	GA25 Azucena Shanhuangzhan Lemont Tadukan Chubu 32 RIL276, Moroberekan Modan St No.1, Chugoku 31-1 Tetep LAC23, C101LAC Suweon 365 Lemont K60, Chugoku 31, Shin 2-1, K2, K3, Fuji 120, Kanto 51, LAC23 Kuroka Imochi-shirazu zenith Aichi Asachi IR64 Sensho Co39 Katy Pi No. 1, Pi No. 4, Yashiro-mochi, Tadukan-1, K1, Nakei 212 Q15 IR64 93-11 Yashiro-mochi Apura Leging Zhong 156 IR24 K80R, Hong-jiao-zhan Moroberekan Suweon 365	9 10 10 11 11 11 11 11 11 11 11 11 11 11	CRG5-CRG2 RG134-C223 RG134-C223 L457b-R2536X G257-5723 E11749-E10310S RM21-RM206 E1126-C1172 C1172-RZ424 C189-S723 C539515-end Os11942010 RM1233-RM694 RM224-RZ536 RM224-RZ536 RM224-RZ536 RM224-RZ536 RM224-RZ536 RM224-RZ536 RM322-RM457 RM167-RM287 RM167-RM287 RM167-RM287 RM167-RM287 RM167-R30537S RG118-AF074889 RM116-RM287 RPR1-S2712 RM155-RM7102 Os12g18360 39M11-39M22 CSU77-G2140 RM28112-RM1261 RZ816-RG9 R367-G2140 RZ937-RG869 R367-G2140 RZ937-RG869 RG91-RG241 E30009S-C53024S E30009S-C53024S E30009S-C5102ES E30009S-C5102ES E30009S-C5112ES E30009S-C61722S E30009S-C61722S E30009S-C61722S E30009S-C61722S E30009S-C61722S E30009S-C6172ES E30009S-C6172	9641358-9685993 19565132-22667948 13635033-28377565 17317267-21361768 18593380-23686959 19137900-21979485 19423000-1949000 20549800-26004823 21711437-21361768 24695583-2462103 24761902-24762922 24761902-24762922 24761902-24762922 24761902-24762922 24761902-24762922 24769917-28376959 26796917-28376959 27314916-27532928 26498854-264753292 27314916-27532928 240211-19029573 4073024-16730739 6304007-6888870 10078620-13211331 2426648-18050037 10078620-13211331 2426648-18050037 105323-1867450 16274830-17531111 2426648-18050036 16274830-17531111 2426648-18050036 6988220-1512046 698820-7731690 77331060 773371060 7733930-7731060	Pan et al., 2003; Lin et al., 2007 Sallaud et al., 2003 Liu et al., 2004 Tabien et al., 2000 Fujii et al. 1995 Gowda et al., 2006 Zenbayashi et al., 2002 Chen et al., 2006 Tujii et al. 1995 Gowda et al., 2006 Zenbayashi et al., 2002 Chen et al., 1999 Fujii et al. 1999 Fujii et al. 1999 Alla 1996 Mackil and Bomman, 1992 Ahn et al., 1996 Kiyosawa, 1970 Goto, 1988 Goto, 1970 Goto, 1976 Goto, 1976 Shinoda et al., 1997 Sallaud et al., 2002 nakamura et al., 2002 nakamura et al., 2007 Sallaud et al., 2007 Sallaud et al., 2007 Sallaud et al., 2007 Tabien et al., 1996 Tabien et al., 1997 Chauhan et al., 2007 Sallaud et al., 2007 Sallaud et al., 2007 Sallaud et al., 1996 Tanksley et al., 1993 Tabien et al., 1997 Zheng et al., 1996 Ahn et al., 1997 Causse et al., 1997 Causse et al., 1996 Ahn et al., 1996 Ahn et al., 1998 Sallaud et al., 2008 Hayashi et al., 1998 Hayashi et al., 1998 Hayashi et al., 1998 Liu et al., 1998
Pi15 Pi28(t) Pi-GD-2 Pi-Im2 Pist' Pist' Pist' Pi34 Pi44 Pi41 Pi41 Pi18 Pi18 Pi18 Pi18 Pi18 Pi19 Pi18 Pi19 Pi19 Pi19 Pi19 Pi20 Pi20 Pi24 Pi20 Pi21 Pi21 Pi21 Pi21 Pi21 Pi21 Pi21 Pi21	Pi15(t), Pi14, RMg34 Rmg65 RMg71 RMg44, Pi44(t)* RMg44, Pi44(t)* RMg58, Pbst RMg3 RMg20, Pi7(t), RMg24 Pi18(t), RMg37, Pi18(t)* RMg49, Pim2, Mgaraporthe grisea resistance from Lemont RMg8, Pik-s, Pik-p, Pik-m (Pi m), Pik-h, Pi k-g RMg10, Pilon, Pik-m, Pi m), Pik-h, Pi k-g RMg10, Pik-r, Pi RMg16 RMg17, Rh66 RMg18 RMg67, Pi30(t)* RMg11, Rb1 Pita2, Pi4a, RMg16 RMg69 RMg55, Pi40(t)* RMg55, Pit(t)* RMg55, Pit(t)* RMg55, Pit(t)* RMg59 Pi20, RMg39 RMg30, Pi12*, Pi12(t)* Pi12(t), RMg59 Pi21(t), RMg59 Pi21(t), RMg29 Pi21(t)*, RMg41 Rmg65, Pit(t)* Rmg57, IPi3(t)* Rmg68 RMg38, Pi15* RMg67 Pi15(t)*, RMg47	32 GR:0060644 GR:0061351 AQAQ017 GR:0061457 GR:006054 GR:006056 GR:0060657 GR:00606649 GR:0060647 GR:0060659 GR:0060659 GR:0060669 GR:006069 GR:006069 GR:006069 GR:006069 GR:006069 GR:006069 GR:006069 GR:006069 GR:006069	GA25 Azucena Shanhuangzhan Lemont Tadukan Chubu 32 RIL276, Moroberekan Modan St No.1, Chugoku 31-1 Tetep LAC23, C101LAC Suweon 365 Lemont K60, Chugoku 31, Shin 2-1, K2, K3, Fuji 120, Kanto 51, LAC23 Kuroka Imochi-shirazu zenith Aichi Asachi IR64 Sensho Co39 Katy Pi No. 1, Pi No. 4, Yashiro-mochi, Tadukan-1, K1, Nakei 212 Q15 IR64 93-11 Yashiro-mochi Apura teqing Zhong 166 IR24 K80R, Hong-jiao-zhan Moroberekan Suweon 365 IR64 Aichi Asachi IR24 IR84 IR84 IR84 IR864 IR864 IR864 IR864 IR864 IR864 IR864 IR868 IR864 IR864 IR868 IR864 IR868 IR864 IR868 IR864 IR868 IR864 IR868 IR868 IR864 IR868 IR868 IR864 IR868 IR8	9 10 10 11 11 11 11 11 11 11 11 11 11 11	CRG5-CRG2 RG134-C223 RG134-C223 L457b-R2536X G257-5723 E11749-E10310S RM21-RM206 E1126-C1172 C1172-RZ424 C189-S723 C539515-end Os11942010 RM1233-RM694 RM224-RZ536 RM224-RZ536 RM224-RZ536 RM224-RZ536 RM224-RZ536 RM224-RZ536 RM322-RM457 RM167-RM287 RM167-RM287 RM167-RM287 RM167-RM287 RM167-R30537S RG118-AF074889 RM116-RM287 RPR1-S2712 RM155-RM7102 Os12g18360 39M11-39M22 CSU77-G2140 RM28112-RM1261 RZ816-RG9 R367-G2140 RZ937-RG869 R367-G2140 RZ937-RG869 RG91-RG241 E30009S-C53024S E30009S-C53024S E30009S-C5102ES E30009S-C5102ES E30009S-C5112ES E30009S-C61722S E30009S-C61722S E30009S-C61722S E30009S-C61722S E30009S-C61722S E30009S-C6172ES E30009S-C6172	9641358-9685993 19565132-22667948 13635033-28377565 17317267-21361768 18593380-23686959 19137900-21979485 19423000-1949000 20549800-26004823 21711437-21361768 24695583-2462103 24761902-24762922 24761902-24762922 24761902-24762922 24761902-24762922 24761902-24762922 24769917-28376959 26796917-28376959 27314916-27532928 26498854-264753292 27314916-27532928 240211-19029573 4073024-16730739 6304007-6888870 10078620-13211331 2426648-18050037 10078620-13211331 2426648-18050037 105323-1867450 16274830-17531111 2426648-18050036 16274830-17531111 2426648-18050036 6988220-1512046 698820-7731690 77331060 773371060 7733930-7731060	Pan et al., 2003; Lin et al., 2007 Sallaud et al., 2003 Liu et al., 2004 Tabien et al., 2004 Tabien et al., 1995 Fujii et al. 1995 Gowda et al., 2006 Zenbayashi et al., 2006 Chen et al., 2006 Tujii et al. 1995 Gowda et al., 2006 Chen et al., 1999 Fujii et al. 1995 Yunoki et al., 1990 Mackili and Bomman, 1992 Ahn et al., 1996 Tabien et al., 1996 Kiyosawa, 1970 Goto, 1988 Goto, 1970 Goto, 1976 Shinoda et al., 1997 Sallaud et al., 2007 Chauhan et al., 2007 Chauhan et al., 2007 Liu et al., 2007 Sallaud et al., 2003 Yang et al., 2003 Yang et al., 2003 Yang et al., 2001 Imbe et al. 1997 Zheng et al., 1997 Zheng et al., 1996 Ahn et al., 1997 Causse et al., 1996 Ahn et al., 1996 Ahn et al., 1996 Ahn et al., 1996 Ahn et al., 1996 Alaud et al., 1998 Nagvi et al., 1998 Nagvi et al., 1998 Nagvi et al., 1998 Liu et al., 1996 Tabien et al., 1996 Liu et al., 1996 Liu et al., 1996 Tabien et al., 1996

Supplemental Table 2: Detailed information on homonymous resistance genes to blast.

Gene symbol	Publication order	Proposed name	Synonyms	Chromosome	Gramene Accession	References	Publication by the committee of gene symbolization	Genotype
Pi12	В	Pi12	Pi12(t), RMg29	12	GR:0060639	Inukai <i>et al.</i> , 1996	1996	Moroberek
Pi12	Α	Pi45	RMg30, <i>Pi12*</i> , <i>Pi12</i> (t)*	12	GR:0060640	Zheng et al., 1996		K80R, Ho
Pi13	A	Pi46	RMg32, <i>Pi13</i> *, <i>Pi13</i> (t)*	6	GR:0060642	Hayasaka et al., 1995		Kasalath
<i>Pi13</i> (t)	В	Pi13	RMg31, <i>Pi13</i> (t)	6	GR:0060641	Pan et al., 1995	1996	Maowangu
Pi14	Α	Pi14	RMg33, <i>Pi14</i> (t)	2	GR:0060643	Pan et al., 1995	1996	Maowangu
Pi14(t)*	В	Pi47		12		Hayashi et al., 1996		
Pi21	A	Pi21	RMg40	4	GR:0060650	Fukuoka and Okuno, 1997	1999	Owarihatar
Pi21	В	Pi48	Pi21(t)*, RMg41	12	GR:0060651	Ahn et al., 1997		
Pi24	Α	Pi24	Pi24(t), RMg59	12	AQCT001	Zhuang, et al., 1997	2002	Zhong 156
Pi24(t)	В	Pi49	RMg61	1	GR:0061347	Sallaud et al., 2003		IR64
Pi25	Α	Pi25	Pi25(t), RMg60	6	GR:0061186	Zhuang et al., 1997	2002	Gumei 2
Pi25(t)	В	Pi50		1		Yang et al., 2001		Sanbangqi
Pi25(t)	С	Pi51	RMg62	2	GR:0061348	Sallaud et al. 2003		IR64
Pi26	В	Pi52		6		Wu et al., 2005		Gumei2
Pi26(t)	Α	Pi26	Rmg63	5	GR:0061349	Sallaud et al., 2003		Azucena
Pi27	В	Pi53		1		Zhu et al., 2004		Q14
Pi27(t)	Α	Pi27	RMg64	6	GR:0061350	Sallaud et al, 2003		IR64
Dile	^	Dile	DM=0	11	CD:0000640	Viveanua 1066	1984	K60, Kan
Pik	Α	Pik	RMg8	11	GK:0000619	Kiyosawa, 1966	1984	K3
Pikh	В	Pi54		11	AAY33493	Sharma et al., 2005		Tetep

Supplemental Table 3: A list of rice blast resistance QTLs

We searched the literature for publications on Quantitative Trait Loci for resistance to *M. oryzae*. For each publication, we considered the position of the QTL, the position of its flanking markers, the mapping population used, the statistics used to detect QTLs, the statistic results available (LOD score, allele effect, R², etc.) and the experimental conditions (strain number, trait measured to evaluate resistance, greenhouse or field conditions). Eighteen studies were analyzed, including two studies published for the first time in this paper. All the QTLs identified were anchored to the rice genome using the gramene position of the flanking markers. When the position was not available, the next flanking marker was used.

We then classified the QTLs in two types: partial and Other (for complete resistance or unknown resistance). First, we considered the phenotype of the parents of the populations used for QTL analysis. We assumed that if one of the parents was completely resistant to the strain used then at least one complete resistance gene is present in the mapping population. In such cases, the completely resistant descendant should be excluded from the analysis (as in the case of pi21, Fukuoka et al., 2001). Because these results are rarely provided in the literature, we decided to consider the QTLs detected in such studies as a mixture of partial and complete resistance. Five of the nine studies that used complete resistance parents allowed the identification of partial resistance QTLs. Finally, field studies without control of strains are likely to detect both partial and complete resistance QTLs. These studies imply mixtures of races with different virulence spectra that can mimic partial resistance. Therefore, in our analysis, we have decided to separate QTLs obtained in the field from QTLs obtained in the greenhouse, where the rice blast strains used for inoculation were controlled.

Finally, because we were interested in measuring the specificity of the MetaQTLs, we developed an index we named BSR for Broad Spectrum Resistance. BSR was estimated by a formula adapted from Sirithunya et al. (2002) as follows:

1)
$$BSR = (\sum_{k=1}^{N} I_k / \sum_{k=1}^{N} T_k) \times 100$$

where N is the number of publications in which the studied MetaQTL is identified, I is the number of strains for which the QTL was detected in the publication number k, and T is the total number of strains used in the publication number k. For the MetaQTLs detected in field experiments only, the BSR could not be calculated because, most of the time, experiments were performed with natural inocula and the number of strains could not be determined.



Supplemental Table 4: A list of rice blast resistance MetaQTLs

We summarized the information from the QTLs presented in supplemental Table 2 by a meta-analysis using Biomercator software (Arcade et al., 2004), which computes a meta-analysis based on the method of Goffinet and Gerber (2000). The software requires specification of the position of the QTL and a 95 % confidence interval around this QTL. Because we had converted genetic positions of QTLs into physical positions, we used the physical position of flanking markers to estimate a confidence interval for each QTL. Biomercator estimates, using an adapted Akaike criterion, the mean expected log-likelihood in four different models (1, 2, 3 or 4 QTLs). Minimizing this Akaike criterion, we estimated the number of MetaQTLs on each chromosome.

Molecular Plant-Microbe Interactions

raye 5	01 01 52		Molect	liai Fiali	it-iviici or	be interaction	115			
CODE	Туре	summary of QTLs (QTL CODE)	Environment	Nb study	Nb isolate	Total isolat tested	BSR	Chromosome	Position	Start End
q1F1 q1F2	Partial Partial	Wa2 Wu2	Field Field	1 1	Field Field	Field Field	nd nd	1 1	3 065 397 4 883 872	1 037 293 5 093 501 4 883 872 5 757 288
q1F3	Partial	Wa4	Field	1	Field	Field	nd	1	14 603 974	20 926 224 35 268 683
q1F4 q1G1	Other Other	Tab1 C1-Xu4	Field Greenhouse	2	Field 7	Field 21	nd 0.3333	1	34 764 231 1 460 000	29 512 152 40 016 309 810 000 2 100 000
g q1G10	Other	Xu5, P6	Greenhouse	2	2	38	0.0526	1	27 380 000	27 230 000 27 530 000
q1G11 q1G12	Other Other	Tal1-C3 P7-Lo2-Pra1	Greenhouse Greenhouse	3	3	2 29	1.0000 0.1034	1 1	31 010 000 33 410 000	30 130 000 31 900 000 32 310 000 34 520 000
q1G13	Other	C4-P8-Tala1	Greenhouse	3	3	22	0.1364	1	37 110 000	35 630 000 38 580 000
0 q1G14 c q1G15	Other Other	P9-Lop2 Xu6-Tala2	Greenhouse Greenhouse	2	3 2	26 23	0.1154 0.0870	1 1	40 470 000 43 200 000	40 020 000 40 920 000 42 510 000 43 890 000
q1G2	Other	Wu1-Wa1-Xu1	Greenhouse	3	7	23	0.3043	1	3 370 000	2 980 000 3 760 000
7 q1G3 q1G4	Other Other	Xu2, Xu3 Sa1-P1-P2	Greenhouse Greenhouse	2	3	20	0.1000 0.1250	1 1	3 942 356 5 250 000	2 869 571 4 751 971 5 090 000 5 410 000
g1G5	Other	C2	Greenhouse	1	1	1	1.0000	1	6 670 000	5 910 000 7 440 000
q1G6 q1G7	Other Partial	Lop1-P3-Wu3 P4	Greenhouse Greenhouse	3	3	28 18	0.1071 0.0556	1 1	8 990 000 13 030 000	8 250 000 9 720 000 10 120 000 15 950 000
q1G8	Partial	Wa3	Greenhouse	1	1	1	1.0000	1	17 770 000	14 600 000 20 930 000
q1G9 q2F1	Partial Partial	P5 Wu2	Greenhouse Field	1	2 Field	18 Field	0.1111 nd	1 2	24 516 230 6 188 215	15 951 432 27 663 069 6 188 215 6 916 027
q2F2	Other	Wa1	Field	1	Field	Field	nd	2	27 483 091	27 032 599 31 106 875
2 q2F3	Other Other	Wa2 Tab1	Field Field	1 1	Field Field	Field Field	nd nd	2 2	31 106 412 35 662 167	27 483 091 31 106 875 34 613 990 35 662 167
q2G1	Other	Xu7	Greenhouse	1	1	20	0.0500	2	2 110 000	2 110 000 3 480 000
4q2G10 _q2G11	Other Other	Lop3 Sa1-Lo3	Greenhouse Greenhouse	2	4	8 16	0.1250 0.2500	2 2	35 400 000 35 660 000	35 370 000 35 480 000 35 610 000 35 710 000
5 q2G2	Other	P1-P2-P3-Wu1-Lop1	Greenhouse	3	7	28	0.2500	2	4 930 000	4 140 000 5 730 000
6 q2G3 q2G4	Other Other	Lo1 Xu6-P4-Lop2-Wu3	Greenhouse Greenhouse	1 4	4	10 48	0.1000 0.0833	2 2	11 806 320 25 450 000	11 389 874 12 222 765 25 090 000 25 800 000
7 q2G5	Partial	P5	Greenhouse	1	2	18	0.1111	2	24 815 622	22 596 902 27 034 342
q2G6 8 q2G7	Partial Partial	P6-Lo2-Tala1 P7	Greenhouse Greenhouse	3 1	1	31 18	0.1290 0.0556	2 2	27 950 000 29 580 000	27 510 000 28 400 000 29 030 000 29 630 000
q2G8	Other	Xu4, Xu5	Greenhouse	1	5	20	0.2500	2	33 140 000	32 350 000 33 930 000
0 q2G9 0 ∩ q3F1	Other Partial	Xu1, Xu2, Xu3-C1 Wu1	Greenhouse Field	1	10 Field	21 Field	0.4762 nd	3	34 910 000 1 498 934	34 740 000 35 080 000 1 498 934 3 845 896
q3F2	Partial	Wu2	Field	1	Field	Field	nd	3	6 885 711	3 845 990 9 925 432
2 1 q3F3 q3F4	Other Other	Tab1-Sat1 Pra1	Field Field	2	Field Field	Field Field	nd nd	3	25 570 000 30 573 744	24 940 000 26 210 000 28 188 518 32 958 969
ZZ q3G1	Other	Wa1-P2-Xu1	Greenhouse	3	5	39	0.1282	3	1 050 000	640 000 1 460 000 23 040 000 24 530 000
93G10 q3G11	Other Partial	Xu8-C1-P4 P8	Greenhouse Greenhouse	3 1	3	39 18	0.0769 0.1667	3	23 790 000 25 080 000	23 040 000 24 530 000 25 080 000 26 680 000
D _dq3G12	Other	P9-Xu3-Tala2	Greenhouse	3	8	41	0.1951	3	31 240 000	29 600 000 32 880 000
q3G14 25 q3G2	Other Other	Lop2-Xu10 Xu2	Greenhouse Greenhouse	2	1	28 20	0.1429 0.0500	3	35 520 000 3 480 000	35 260 000 35 780 000 1 500 000 3 480 000
P-G q3G3	Other Other	Xu3-P3-Tala3	Greenhouse	3	3	41 43	0.0732	3	5 680 000 8 290 000	4 710 000 6 650 000 6 830 000 9 740 000
7 q3G4 7 q3G5	Other	Wu3-P1-Xu4-Tala1 Wu4-Lo1-Lop1-P5	Greenhouse Greenhouse	4	4 8	38	0.0930 0.2105	3	11 210 000	10 370 000 12 040 000
q3G6	Other Partial	Xu5-P6 P7	Greenhouse	2	4 2	38 18	0.1053 0.1111	3	15 320 000 15 397 478	10 700 000 15 620 000 5 710 277 25 084 678
28 q3G7 q3G8	Other	Xu7	Greenhouse Greenhouse	1	1	20	0.0500	3	15 626 610	10 668 254 23 082 184
29 q3G9 Q Q4F1	Other Other	Xu6 Pra1-Tab1	Greenhouse Field	1 2	2 Field	20 Field	0.1000 nd	3 4	15 630 000 9 800 000	15 320 000 15 630 000 8 520 000 11 080 000
90 q4F1 q4F2	Other	F2	Field	1	Field	Field	nd	4	19 399 242	9 925 432 28 873 052
81 q4F3	Other Other	Wa3-F1-M2 Wa2	Field Field	3	Field Field	Field Field	nd nd	4	20 120 000 23 410 000	19 310 000 20 920 000 22 320 000 27 260 000
94F4 B2 94F5	Other	M1-Wa1	Field	2	Field	Field	nd	4	31 350 000	22 320 000 27 260 000 30 670 000 32 030 000
93 q4G1 q4G10	Partial Partial	Lo1-Tal1-P1 Tala2	Greenhouse Greenhouse	3	11	29	0.3793 0.3333	4	8 220 000 17 677 985	5 400 000 11 040 000 16 662 684 22 321 395
R/1q4G11	Other	Xu2	Greenhouse	1	1	20	0.0500	4	19 525 523	17 677 985 20 157 608
q4G2 B 5 q4G3	Partial Other	P3, P2-Tala3 Xu1	Greenhouse Greenhouse	1	3	21	0.1429 0.0500	4	17 430 000 20 156 485	15 410 000 19 440 000 17 681 381 22 321 395
0 q4G3	Other	Lop1-Wu1-P5, P4	Greenhouse	3	4	28	0.0500	4	21 090 000	20 850 000 21 320 000
00 q4G5	Partial	P7-Tala5	Greenhouse	2	3 7	21	0.1429	4	25 140 000	24 140 000 26 140 000
9.7 q4G6 q4G7	Partial Partial	Lop2-P8-Tala6 P9	Greenhouse Greenhouse	3 1	1	29 18	0.2414 0.0556	4	32 400 000 32 465 456	32 120 000 32 690 000 27 260 624 32 465 456
98 q4G8 q4G9	Partial Partial	B81-P10, P11-Tala4 Tala1	Greenhouse Greenhouse	3	6	24	0.2500 0.3333	4	34 470 000 16 662 684	33 900 000 35 030 000 8 595 185 16 662 684
89 q5F1	Other	Pra2-Tab1-Pra1	Field	2	Field	Field	0.5555 nd	5	25 310 000	24 050 000 26 580 000
4-0 q5G1 q5G2	Other Other	P1 Sa1	Greenhouse Greenhouse	1	1 1	18	0.0556 0.1667	5	470 000 2 070 000	470 000 1 840 000 1 840 000 2 070 000
11 q5G3	Partial	P2	Greenhouse	1	1	18	0.0556	5	4 090 000	1 840 000 4 090 000
q5G4 2 q5G5	Other Partial	Xu1 P3-Lo1-Wa1-Tala1	Greenhouse Greenhouse	1 4	7	20 32	0.0500 0.2188	5	11 020 000 19 540 000	10 760 000 11 590 000 15 470 000 23 600 000
q5G6	Partial	P4-Tala2	Greenhouse	2	2	21	0.0952	5	24 240 000	23 510 000 24 970 000
1 / q6F1	Partial Other	P5 Si1, Si2	Greenhouse Field	1 1	1 Field	18 Field	0.0556 nd	5 6	28 830 000 10 020 000	28 830 000 29 260 000 8 640 000 11 400 000
q6F2	Other	Tab1	Field	1	Field	Field	nd	6	28 827 008	26 708 549 30 945 466
96G1 q6G10	Partial Other	P1 Xu7, Xu8	Greenhouse Greenhouse	1 1	2	18 20	0.2222	6	1 822 651 27 612 443	1 822 651 2 561 213 27 252 300 28 964 348
FOq6G11	Other	Xu9-Pra1, Pra2	Greenhouse	2	3	21	0.1429	6	29 800 000	29 210 000 30 380 000
7q6G12 q6G13	Other Partial	Lop2 Tala3	Greenhouse Greenhouse	1	1 1	8 3	0.1250 0.3333	6	30 910 000 26 238 616	30 860 000 30 950 000 19 332 906 26 708 198
18 q6G2	Other	Xu1	Greenhouse	1	1	20	0.0500	6	3 180 072	2 561 213 4 160 454
q6G3 49 q6G4	Other Other	Xu2 Tal3-P3-Sa1-Xu3, Xu4	Greenhouse Greenhouse	1 4	6	20 45	0.0500 0.1333	6	4 234 228 6 100 000	3 168 547 5 425 498 5 490 000 6 710 000
q6G5	Partial	P2	Greenhouse	1	1	18	0.0556	6	6 283 401	5 425 631 6 927 624
q6G6 5.1 q6G7	Partial Other	P4, P5 Lop1-Wa1-Xu5	Greenhouse Greenhouse	3	7	18 29	0.1111 0.2414	6	6 999 318 12 580 000	6 999 318 26 238 407 10 020 000 15 130 000
q6G8	Partial	Wa2-P6-Tala2, Tala1	Greenhouse	3	5	22	0.2273	6	21 500 000	18 620 000 24 380 000
0 2 q6G9 - q7F1	Other Partial	Tal1, Tal2-P8, P7-Xu6-Tala4 Wu1	Greenhouse Field	1	7 Field	44 Field	0.1591 nd	6 7	26 710 000 15 410 000	26 550 000 26 880 000 15 410 000 21 500 000
DO q7F2	Other	Tab1-Si2	Field	2	Field	Field	nd	7	18 330 000	17 520 000 18 680 000
q7F3 q7G1	Other Other	Si1 Xu5-C1	Field Greenhouse	2	Field 2	Field 21	nd 0.0952	7 7	22 030 000 3 300 000	21 870 000 22 190 000 2 250 000 4 340 000
5q7G10	Other	Xu3-Tal2-P8-Tala1, Tala2	Greenhouse	4	6	42	0.1429	7	26 940 000	26 550 000 27 330 000
q7G11 DOq7G12	Other Other	Xu1-Wa1-Tala4 Xu2	Greenhouse Greenhouse	3 1	3	24 20	0.1250 0.0500	7	29 460 000 29 339 144	29 400 000 29 530 000 27 158 350 29 473 794
7 q7G2	Other	Lo1-Tal1-P1-Tala3	Greenhouse	4	5	32	0.1563	7	7 380 000	5 920 000 8 840 000
q7G3 5 Q7G4	Partial Partial	P2 Wu1	Greenhouse Greenhouse	1 1	2	18	0.1111 0.5000	7	8 255 634 15 410 000	852 711 16 871 309 15 410 000 21 500 000
q7G5	Other	Si1-P3	Greenhouse	2	17	33	0.5152	7	22 040 000	21 880 000 22 190 000
09 q7G6 0 q7G7	Partial Partial	P4 P5	Greenhouse Greenhouse	1	1 1	18 18	0.0556 0.0556	7	22 247 245 24 084 476	20 345 714 22 247 245 22 251 048 25 471 987
0U q7G8	Partial	P7	Greenhouse	1	4	18	0.2222	7	25 471 987	22 251 048 25 471 987
q7G9 q8G1	Other Other	P6-Xu4-C2 Xu1-Wu1, Wu2, Wu3-Lop1-P1-Wa1-C1-Tala3	Greenhouse Greenhouse	7	4 12	39 53	0.1026 0.2264	7 8	25 780 000 4 790 000	25 380 000 26 170 000 3 810 000 5 770 000
q8G10	Partial	P5	Greenhouse	1	1	18	0.0556	8	27 700 258	27 605 406 27 700 258
q8G2 q8G3	Partial Other	P2 Sa1-Lop2-Xu2	Greenhouse Greenhouse	3	15 7	18 34	0.8333 0.2059	8	7 129 486 9 910 000	0 7 129 486 7 190 000 12 630 000
q8G4	Other	P3-Xu3	Greenhouse	2	5	38	0.1316	8	13 930 000	12 120 000 15 730 000
q8G5 q8G6	Other Other	Xu4 Xu5	Greenhouse Greenhouse	1	2	20 20	0.1000 0.0500	8	16 440 198 18 921 584	16 440 198 18 921 584 13 800 297 19 864 404
q8G7	Other	Xu6	Greenhouse	1	1	20	0.0500	8	19 964 404	18 922 457 19 964 404
q8G8	Other Partial	Xu7-P4-Lo1-Lop3-Tala1 P6-Tala2	Greenhouse Greenhouse	5 2	10 5	59 21	0.1695 0.2381	8	20 600 000 26 290 000	20 340 000 20 870 000 24 880 000 27 690 000
q8G9		P6-Tala2	i Greenhouse	. 2	. 5	1 21	r 0.2381	. 8	ı 26 290 000	1 24 88U 000 127 690 00

q9F1	Other	Tab1-F1	Field	2	Field	Field	nd	9	9 430 000	7 860 000	11 000 000
q9F2	Other	Pra3	Field	1	Field	Field	nd	9	18 014 586	15 547 564	20 481 607
q9F3	Other	Pra1	Field	1	Field	Field	nd	9	19 559 821	18 514 004	
q9F4	Other	Pra2	Field	1	Field	Field	nd	9	21 401 653		22 194 746
49G1	Partial	P1	Greenhouse	1	6	18	0.3333	9	6 020 000	6 020 000	8 350 000
4 q9G2	Other	Si1	Greenhouse	1	14	15	0.9333	9	8 780 000	8 350 000	9 220 000
		C3-P2		2				9			
g q9G3	Other		Greenhouse		2	19	0.1053		11 780 000	10 060 000	13 500 000
q9G4	Other	Lop1-P3-Xu1	Greenhouse	3	4	46	0.0870	9	16 060 000	14 580 000	17 540 000
4 q9G5	Other	Xu3	Greenhouse	1	1	20	0.0500	9	18 264 945	17 719 823	18 810 067
q9G6	Other	C2-Xu2-Lop2-Tal1	Greenhouse	4	7	30	0.2333	9	18 560 000	17 900 000	18 810 000
D q9G7	Other	Xu4-P4-Lo1	Greenhouse	3	10	46	0.2174	9	19 510 000	19 290 000	19 730 000
q9G8	Other	Xu5-C1-P5	Greenhouse	3	3	39	0.0769	9	20 170 000	20 170 000	21 530 000
q9G9	Other	Xu6	Greenhouse	1	1	20	0.0500	9	22 300 000	22 200 000	22 720 000
	Other			2	3		0.0789	10	850 000	1 000 000	5 100 000
7 q10G1		Xu3-P1	Greenhouse			38					
q10G2	Other	Xu4	Greenhouse	1	2	20	0.1000	10	6 391 617	359 168	12 424 066
6 q10G3	Other	Xu5	Greenhouse	1	2	20	0.1000	10	6 450 000	5 100 000	7 100 000
g10G4	Other	Xu6, Xu7	Greenhouse	1	2	20	0.1000	10	7 101 837	5 102 434	10 305 714
	Other			1							
q10G5		Xu1, Xu2	Greenhouse		3	20	0.1500	10	9 361 244	359 168	9 361 244
q10G6	Other	Lo1-Xu8-P2	Greenhouse	3	3	48	0.0625	10	9 360 000	7 780 000	13 500 000
q10G7	Partial	P3	Greenhouse	1	8	18	0.4444	10	12 675 370	11 455 470	13 895 269
q10G8	Other	Sa1-P4-Wu1	Greenhouse	3	3	25	0.1200	10	20 490 000		21 070 000
q11F1	Other	Sat1-Wa2-Wu1	Field	3	Field	Field	nd	11	17 770 000		21 610 000
∠q11F2	Other	Z1-Wa3-Tab1-Pra1	Field	4	Field	Field	nd	11	20 950 000	19 370 000	22 520 000
2q11G1	Other	Sa1-P1	Greenhouse	2	3	24	0.1250	11	1 860 000	880 000	2 830 000
q11G10	Other	Xu2	Greenhouse	1	5	20	0.2500	11	28 376 959		28 376 959
1	Other	Xu5-Tal1	Greenhouse	2	2	21	0.0952	11	6 690 000	5 250 000	8 130 000
_q11G3	Partial	Lop1	Greenhouse	1	3	8	0.3750	11	8 330 000	7 690 000	8 970 000
	Partial	Wu3	Greenhouse		1	2		11	10 110 000	8 980 000	10 110 000
Oq11G4				1			0.5000				
q11G5	Partial	Wa1-P2-Lop2-Lo1-Wu1	Greenhouse	5	5	39	0.1282	11	18 670 000	18 420 000	18 930 000
q11G6	Partial	P3	Greenhouse	1	2	18	0.1111	11	21 390 873	21 390 873	24 163 895
7q11G7	Other	Wu4-Xu4-P4-Lo2	Greenhouse	4	6	50	0.1200	11	24 520 000	23 300 000	25 750 000
q11G8	Partial	P5-Lop3	Greenhouse	2	4	26	0.1538	11	27 160 000		27 230 000
	Other	Xu3	Greenhouse	1	2	20	0.1000	11	28 202 357	24 163 895	28 462 103
q12F1	Other	Wa1-Tab1	Field	2	Field	Field	nd	12	1 600 000	1 590 000	5 800 000
	Other	Tab2-Wa4	Field	2	Field	Field		12	5 960 000	4 020 000	7 900 000
9 _{q12F2}							nd				
Ɗ ∩q12F3	Other	F1-Pra1	Field	2	Field	Field	nd	12	11 350 000	6 970 000	15 740 000
1 q12F4	Other	Wa3	Field	1	Field	Field	nd	12	26 020 000	26 020 000	27 490 000
2 1q12G1	Partial	P2	Greenhouse	1	1	18	0.0556	12	290 513	290 513	2 244 334
q12G11	Other	Xu5	Greenhouse	1	4	20	0.2000	12	19 628 407	5 804 339	24 487 487
4-∠q12G12	Other	P6-Xu2	Greenhouse	2	3	38	0.0789	12	25 890 000	25 150 000	26 630 000
12G13	Other	Xu3	Greenhouse	1	1	20	0.0500	12	24 487 487	18 867 450	24 588 513
	Other	Xu1	Greenhouse			20	0.0500	12	26 991 375	26 107 904	
q12G14				1	1						
⊉	Other	P1-Xu11	Greenhouse	2	2	38	0.0526	12	1 010 000	680 000	1 340 000
q12G3	Other	Xu10	Greenhouse	1	1	20	0.0500	12	3 185 384	1 594 835	4 102 373
25q12G4	Other	P3-Xu9	Greenhouse	2	2	38	0.0526	12	4 100 000	3 670 000	4 530 000
	Other	Xu8			1					3 185 384	5 758 850
0_Cq12G5			Greenhouse	1		20	0.0500	12	4 472 117		
4 Oq12G6	Other	Xu7-Tala4	Greenhouse	2	2	23	0.0870	12	5 840 000	5 010 000	6 670 000
9.200	Otrici		Greenhouse	1	2	20	0.1000	12	5 804 339	5 758 288	19 631 950
	Other	Xu6			40		0.2778	12	10 120 000	6 890 000	10 520 000
77q12G7	Other	* *	Greenhouse								
7q12G7 q12G8	Other Other	Sa1-Lop1-B81-Pra2-P4	Greenhouse	5	10	36			45 550 000		
77q12G7	Other	* *	Greenhouse Greenhouse	7	10	57	0.2456	12	15 550 000		16 470 000
7q12G7 q12G8 q12G9	Other Other	Sa1-Lop1-B81-Pra2-P4							15 550 000		
7q12G7 q12G8	Other Other	Sa1-Lop1-B81-Pra2-P4							15 550 000		
7q12G7 q12G8 2q12G9	Other Other	Sa1-Lop1-B81-Pra2-P4		7	14	57			15 550 000		
7q12G7 q12G8 q12G9	Other Other	Sa1-Lop1-B81-Pra2-P4		7	14	57			15 550 000		
7q12G7 q12G8 28q12G9 29	Other Other	Sa1-Lop1-B81-Pra2-P4		7	14	57			15 550 000		
7q12G7 q12G8 28q12G9 29	Other Other	Sa1-Lop1-B81-Pra2-P4		7	14	57			15 550 000		
29 30 31	Other Other	Sa1-Lop1-B81-Pra2-P4		7	14	57			15 550 000		
29 30 31	Other Other	Sa1-Lop1-B81-Pra2-P4		7	14	57			15 550 000		
7912G7 912G8 78912G9 29 30 31	Other Other	Sa1-Lop1-B81-Pra2-P4		7	14	57			15 550 000		
7912G7 912G8 78912G9 29 30 31	Other Other	Sa1-Lop1-B81-Pra2-P4		7	14	57			15 550 000		
27q12G7 1 q12G8 28q12G9 29 30 31 32 33	Other Other	Sa1-Lop1-B81-Pra2-P4		7	14	57			15 550 000		
27q12G7 1 q12G8 28q12G9 29 30 31 32 33	Other Other	Sa1-Lop1-B81-Pra2-P4		7	14	57			15 550 000		
7912G7 912G8 78912G9 29 30 31	Other Other	Sa1-Lop1-B81-Pra2-P4		7	14	57			15 550 000		
27q12G7 q12G8 28q12G9 29 30 31 32 33 34	Other Other	Sa1-Lop1-B81-Pra2-P4		7		57			15 550 000		
27q12G7 1 q12G8 28q12G9 29 30 31 32 33	Other Other	Sa1-Lop1-B81-Pra2-P4		7	14	57			15 550 000		
97q1267 1268 28q1269 29 30 31 32 33 34 35	Other Other	Sa1-Lop1-B81-Pra2-P4		7	14	57			15 550 000		
27q12G7 q12G8 28q12G9 29 30 31 32 33 34	Other Other	Sa1-Lop1-B81-Pra2-P4		7	14	57			15 550 000		
97q1267 1268 28q1269 29 30 31 32 33 34 35 36	Other Other	Sa1-Lop1-B81-Pra2-P4		7	14	57			15 550 000		
97q1267 1268 28q1269 29 30 31 32 33 34 35 36	Other Other	Sa1-Lop1-B81-Pra2-P4		7	14	57			15 550 000		
7 7 1267 1 1268 2 8 1269 2 9 3 0 3 1 3 2 3 3 3 4 3 5 3 6 3 7	Other Other	Sa1-Lop1-B81-Pra2-P4		7	14	57			15 550 000		
7 7 1267 1 1268 2 8 1269 2 9 3 0 3 1 3 2 3 3 3 4 3 5 3 6 3 7	Other Other	Sa1-Lop1-B81-Pra2-P4		7	14	57			15 550 000		
79791267 91268 2893269 2930 3132 3333 3435 3637 38	Other Other	Sa1-Lop1-B81-Pra2-P4		7	14	57			15 550 000		
79791267 91268 2893269 2930 3132 3333 3435 3637 38	Other Other	Sa1-Lop1-B81-Pra2-P4		7	14	57			15 550 000		
9791267 91268 2769 29 30 31 32 33 34 35 36 37 38 39	Other Other	Sa1-Lop1-B81-Pra2-P4		7	14	57			15 550 000		
9791267 91268 2769 29 30 31 32 33 34 35 36 37 38 39	Other Other	Sa1-Lop1-B81-Pra2-P4		7	14	57			15 550 000		
29 30 31 32 33 34 35 36 37 38 39 40	Other Other	Sa1-Lop1-B81-Pra2-P4		7	14	57			15 550 000		
29 30 31 32 33 34 35 36 37 38 39 40	Other Other	Sa1-Lop1-B81-Pra2-P4		7	14	57			15 550 000		
29 30 31 32 33 34 35 36 37 38 39 40 41	Other Other	Sa1-Lop1-B81-Pra2-P4		7	14	57			15 550 000		
29 30 31 32 33 34 35 36 37 38 39 40 41	Other Other	Sa1-Lop1-B81-Pra2-P4		7	14	57			15 550 000		
29 30 31 32 33 34 35 36 37 38 39 40	Other Other	Sa1-Lop1-B81-Pra2-P4		7	14	57			15 550 000		
29 30 31 32 33 34 35 36 37 38 39 40 41 42	Other Other	Sa1-Lop1-B81-Pra2-P4		7	14	57			15 550 000		
29 30 31 32 33 34 35 36 37 38 39 40 41	Other Other	Sa1-Lop1-B81-Pra2-P4		7	14	57			15 550 000		
29 30 31 32 33 34 35 36 37 38 39 40 41 42 43	Other Other	Sa1-Lop1-B81-Pra2-P4		7	14	57			15 550 000		
29 30 31 32 33 34 35 36 37 38 39 40 41 42	Other Other	Sa1-Lop1-B81-Pra2-P4		7	14	57			15 550 000		
279 31 32 33 34 35 36 37 38 39 40 41 42 43 44	Other Other	Sa1-Lop1-B81-Pra2-P4		7	14	57			15 550 000		
29 30 31 32 33 34 35 36 37 38 39 40 41 42 43	Other Other	Sa1-Lop1-B81-Pra2-P4		7	14	57			15 550 000		
279 31 32 33 34 35 36 37 38 39 40 41 42 43 44 45	Other Other	Sa1-Lop1-B81-Pra2-P4		7	14	57			15 550 000		
279 31 32 33 34 35 36 37 38 39 40 41 42 43 44 45	Other Other	Sa1-Lop1-B81-Pra2-P4		7	14	57			15 550 000		
279 31 32 33 34 35 36 37 38 39 40 41 42 43 44	Other Other	Sa1-Lop1-B81-Pra2-P4		7	14	57			15 550 000		

Literature cited in Supplemental Tables.

- Ahn, S.N., Kim, Y.K., Han, S.S., Choi, H.C., Moon, H.P., and McCouch, S.R. 1996. Molecular mapping of a gene for resistance to a Korean isolate of rice blast. Rice Genet. Newslet. 13:74.
- Arcade, A., Labourdette, A., Falque, M., Mangin, B., Chardon, F., Charcosset, A., and Joets, J. 2004. BioMercator: integrating genetic maps and QTL towards discovery of candidate genes. Bioinformatics 20:2324-2326.
- Bai, J., Pennill, L.A., Ning, J., Lee, S.W., Ramalingam, J., Webb, C.A., Zhao, B., Sun, Q., Nelson, J.C., Leach, J.E., and Hulbert, S.H. 2002. Diversity in Nucleotide Binding Site-Leucine-Rich Repeat Genes in Cereals. Genome Res. 12:1871-1884.
- Barman, S.R., Gowda, M., Venu, R.C., and Chattoo, B.B. 2004. Identification of a major blast resistance gene in the rice cultivar 'Tetep'. Plant Breeding 123:300-302.
- Campbell, M.A., Chen, D., and Ronald, P.C. 2004. Development of co-dominant amplified polymorphic sequence markers in rice that flank the *Magnaporthe grisea* resistance gene *Pi7*(t) in recombinant inbred line 29. Phytopathology, 94:302-307.
- Chauhan, R.S., Farman, M.L., Zhang, H.B., and Leong, S.A. 2002. Genetic and physical mapping of a rice blast resistance locus, *Pi-CO39*(t), that corresponds to the avirulence gene *AVR1-CO39* of *Magnaporthe grisea*. Mol. Genet. Geno. 267: 603-612.
- Chen, D.H., Vina, M.D., Inukai, T., Mackill, D.J., Ronald, P.C., and Nelson, R.J. 1999. Molecular mapping of the blast resistance gene, *Pi44*(t), in a line derived from a durably resistant rice cultivar. Theor. Appl. Genet. 98:1046-1053.
- Darvasi, A., and Soller, M. 1997. A simple method to calculate resolving power and confidence interval of QTL map location. Behavioural Genetics 27:125-132.
- Glass, G.V. 1976. Primary, secondary, and meta-analysis of research. Educational Researcher

5:3-8.

- Goto, I. 1976. Genetic studies on resistance of rice plant to blast fungus. II. Difference in resistance to the blast disease between Fukunishiki and its parental cultivar, Zenith. Ann. Phytopath. Soc. Jap. 42:253-260.
- Gowda, M., Roy-Barman, S., and Chattoo, B.B. 2006. Molecular mapping of a novel blast resistance gene *Pi38* in rice using SSLP and AFLP markers. Plant Breed. 125:596-599.
- Hayasaka, H., Shimano, T., Ebana, K., Nagamura, Y., Yano, M., Sasaki, T., and Matsunaga, K. 1995. RELP mapping of a rice blast resistance gene *Pi-b*. Breed. Sci. 45:92.
- Hayashi, N., Ando, I., and Imbe, T. 1998. Identification of a new resistance gene to a Chinese blast fungus isolate in the Japanese rice cultivar Aichi Asahi. Phytopathology 88:822-827.
- Hayashi, N., Ando, I., and Naito, H. 1996. Gene analysis of a new blast resistance in the paddy rice variety, Aichi Asahi. Breed. Sci. 46:168 (In Japanese).
- Hsieh, S.C. 1976. Recent advances in rice breeding and genetical studies in Taiwan. Scientific Agricult. 4:48-68.
- Imbe, T., and Matsumoto, S. 1985. Inheritance of resistance of rice varieties to the blast fungus strains virulent of the variety Reiho. Jap. J. Breed. 35:332-339. (in Japanese, English abstract).
- Imbe, T., Oba, S., Yanoria, M.J.T., and Tsunematsu, H. 1997. A new gene for blast resistance in rice cultivar, IR24. Rice Genet. Newslet. 14:60-61.
- International, C.A.B., Distribution Maps of Plant Diseases, Map 51. CABI, Wallingford, UK.
- Inukai, T., Mackill, D.J., Bonman, J.M., Sarkarung, S., Zeigler, R., Nelson, R., Takamure, I., and Kinoshita, T. 1992. Blast resistance genes *Pi2*(t) and *Pi-z* may be allelic. Rice Genet. Newslet. 9:90-92.
- Inukai, T., Nelson, R.J., Zeigler, R.S., Sarkarung, S., Mackill, D.J., Bonman, J.M., Takamure, I., and Kinoshita, T. 1994. Allelism of blast resistance genes in near-isogenic lines of rice.

Phytopathology, 84:1278-1283.

- Inukai, T., Zeigler, R.S., Sarkarung, S., Bronson, M., Dung, L.V., Kinoshita, T., and Nelson, R.J. 1996. Development of pre-isogenic lines for rice blast-resistance by marker-aided selection from a recombinant inbred population. Theor. Appl. Genet. 93:560-567.
- Jia, Y., McAdams, S.A., Bryan, G.T., Hershey, H.P., and Valent, B. 2000. Direct interaction of resistance gene and avirulence gene products confers rice blast resistance. EMBO J. 19:4004-4014.
- Kinoshita, T., and Kiyosawa, S. 1997. Some considerations on linkage relationships between *Pii* and *Piz* in the blast resistance of rice. Rice Genet. Newslet. 14:57-59.
- Kiyosawa, S. 1969. Inheritance of resistance of rice varieties to a Philippine fungus strain of *Pyricularia oryzae*. Jap. J. Breed. 19:61-73.
- Kiyosawa, S. 1972. Genetics of blast resistance. Rice Breeding, Manila, Philippines, pp. 203-225.
- Kiyosawa, S., Mackill, D.S., Bonman, J.M., Tanak, Y., and Ling, Z.Z. 1986. An attempt of classification of world's rice varieties based on reaction pattern to blast fungus strains. Bull. Nat. Inst. Agrobio. Resources.2:13-23.
- Kiyosawa, S., and Murty, V.V.S. 1969. The inheritance of blast-resistance in Indian rice variety, HR-22. Jap. J. Breed. 19:269-276.
- Li, C., Yang, S., Wu, L., and Wan, J. 2006. The inductive activation of the promoter of *Pib* gene. Hereditas 28:689-694.
- Liu, X., Yang, Q., Lin, F., Hua, L., Wang, C., Wang, L., and Pan, Q. 2007. Identification and fine mapping of *Pi39*(t), a major gene conferring the broad-spectrum resistance to *Magnaporthe oryzae*. Mol. Genet. Geno. 278:DOI: 10.1007/s00438-007-0258-5.
- Lin F, Chen S, Que Z, Wang L, Liu X, Pan Q. 2007. The blast resistance gene *pi37* encodes a nucleotide binding site leucine-rich repeat protein and is a member of a resistance gene cluster on rice chromosome 1. Genetics 177:1871-1880.

- Mackill, D.J., and Bonman, J.M. 1992. Inheritance of blast resistance in near-isogenic lines of rice. Phytopathology 82:746-749.
- Nakamura, S., Asakawa, S., Ohmido, N., Fukui, K., Shimizu, N., and Kawasaki, S. 1997.

 Construction of an 800-kb contig in the near-centromeric region of the rice blast resistance gene *Pi-ta*² using a highly representative rice BAC library. Mol. Gen. Genet. 254:611-620.
- Naqvi, N.I., and Chattoo, B.B. 1996. Development of a sequence characterized amplified region (SCAR) based indirect selection method for a dominant blast-resistance gene in rice. Genome 39:26-30.
- Pan, Q., Wang, L., Ikehashi, H., and Tanisaka, T. 1996. Identification of a new blast resistance gene in the indica rice cultivar Kasalath using Japanese differential cultivars and isozyme markers. Phytopathology 86:1071-1075.
- Pan, Q.H., Tanisaka, T., and Ikehashi, H. 1995. Studies on the genetics and breeding of blast resistance in rice. IV. Gene analysis for the blast resistance of a indica variety Kasalath.

 Breed. Sci. 45:170.
- Pan, Q.H., Tanisaka, T., and Ikehashi, H. 1997. Studies on the genetics and breeding of blast resistance in rice VII. Gene analysis for the blast resistance of Indian native cultivar, Aus 373. Breed. Sci. 47:35 (In Japanese).
- Tabien, R.E. 1996. Utilization of recombinant inbred lines in tagging blast resistance genes for a marker-assisted selection scheme in rice. Phd degree Thesis, Texas A & M University, College Station, Texas, USA. 190 pp.
- Tabien, R.E., Li, Z., Paterson, A.H., Marchetti, M.A., Stansel, J.W., and Pinson, S.R.M. 2000.
 Mapping of four major rice blast resistance genes from 'Lemont' and 'Teqing' and evaluation of their combinatorial effect for field resistance. Theor. Appl. Genet. 101:1215-1225.
- Wu, K.S., Martinez, C., Lentini, Z., Tohme, J., Chumley, F.G., Scolnik, P.A., and Valent, B. 1996.

- Cloning a blast resistance gene by chromosome walking, Rice Genetics, III, Proceedings of the Third International Rice Genetics Symposium. IRRI, Manila, Philippines, pp. 669-674.
- Yamasaki, Y., and Kiyosawa, S. 1966. Studies on inheritance of the resistance of rice varieties to blast. 1. Inheritance of the resistance of Japanese varieties to several strains of the fungus. Bull. Nat. Inst. Agric. Sci. D14:39-69 (in Japanese).
- Yang, Q., Yang, P., Wang, Q., Liu, J., Yan, B., Li, J., and Huang, X. 2001. Cloning and sequencing of disease resistance gene analogues in rice (*Oryza sativa* L.). Chinese J. Rice Sci. 15:241-247. (In Chinese).
- Yang, Q.Z., Saito, K., Yang, P.W., Wang, Q., Sunohara, Y., Zheng, F.P., Ye, C.R., Li, J.R., and Kato, A. 2001. Molecular mapping of a new blast resistance gene *Pi25*(t) possessed in a Japonica rice cultivar, *Oryza sativa* L cv Yunxi 2. Proceedings of the 1st rice blast congress in China, Kunming. pp. 49-55.
- Zenbayashi-Sawata, K., Fukuoka, S., Katagiri, S., Fujisawa, M., Matsumoto, T., Ashizawa, T., and Koizumi, S. 2007. Genetic and Physical Mapping of the Partial Resistance Gene, *Pi34*, to Blast in Rice. Phytopathology 97:598-602.
- Zheng, K.L., Zhuang, J.Y., Lu, J., Qian, H.R., and Lin, H.X. 1996. Identification of DNA markers tightly linked to blast resistance genes in rice, Rice Genetics, III. Proceedings of the Third International Rice Genetics Symposium. IRRI, Manila, Philippines, pp. 145-150.
- Zhou, B., Dolan, M., Sakai, H., and Wang, G.L. 2007. The genomic dynamics and evolutionary mechanism of the *Pi2/9* locus in rice. Mol. Plant-Microbe Interac. 20:63-71.
- Zhou, J.H., Wang, J.L., Xu, J.C., Lei, C.L., and Ling, Z.Z. 2004. Identification and mapping of a rice blast resistance gene *Pi-g*(t) in the cultivar Guangchangzhan. Plant Pathol. 53:191-196.
- Zhou, T., Wang, Y., Chen, J.Q., Araki, H., Jing, Z., Jiang, K., Shen, J., and Tian, D. 2004. Genome-wide identification of NBS genes in japonica rice reveals significant expansion of

- divergent non-TIR NBS-LRR genes. Mol. Genet. Genomics 271:402-415.
- Zhu, M., Wang, L., and Pan, Q. 2004. Identification and characterization of a new blast resistance gene located on rice chromosome 1 through linkage and differential analyses. Phytopathology 94:515-519.
- Zhuang, J.Y., Chai, R.Y., Ma, W.B., Lu, J., Jin, M.Z., and Zheng, K.L. 1997. Genetic analysis of the blast resistance at vegetative and reproductive stages in rice. Rice Genet. Newslet. 14:62-64.
- Zhuang, J.Y., Wu, J.L., Fan, Y.Y., Rao, Z.M., and Zheng, K.L. 2001. Genetic drag between a blast resistance gene and QTL conditioning yield trait detected in a recombinant inbred line population in rice. Rice Genet. Newslet. 18:69-70.



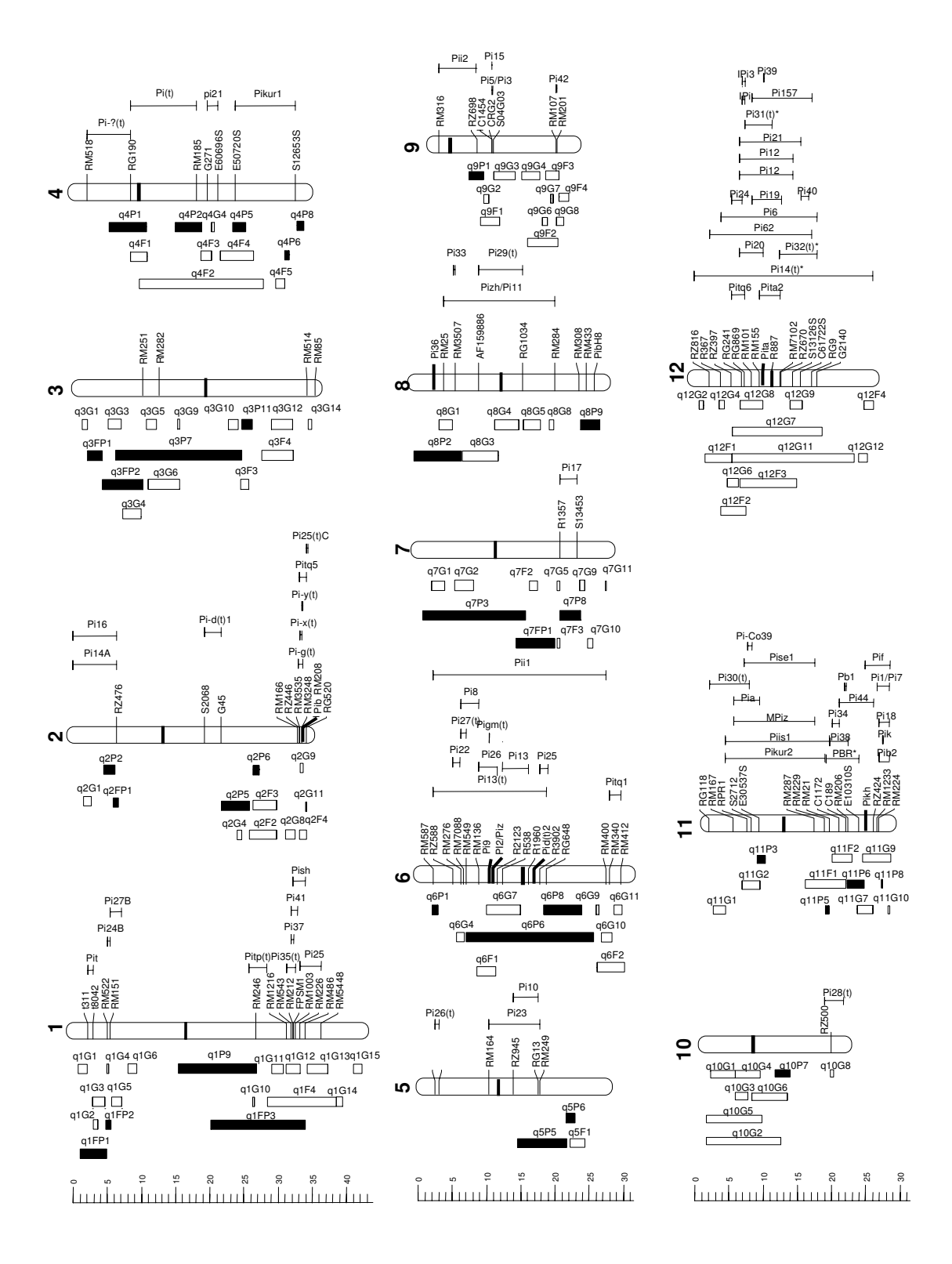
Figure 1 – Ballini et al. -MPMI

Figure 1: Physical Map of Resistance Genes and MetaQTLs of Resistance to Rice Blast.

Chromosome size is shown by the scale on the left (in million base pairs) based on Gramene positions and names of markers are indicated by labeled bars on the chromosomes. The positions are indicated to the right of each chromosome. MetaQTLs are symbolized by filled (Partial resist resistance MetaQTLs) bars. Field QTLs and Greenhouse QTLs are analyzed separately: the lerepresent Field, Greenhouse and Partial, respectively.

MetaQTLs represented by only one study and one repetition are not represented in this Figure; t specific to the population used or to the experiment.





Gène	Chr	Accession NCBI	AVR cloné	Interaction directe	Туре	Références	
Pib	2	AB013448	Non	ND	NBS-LRR	Wang et al., 1999	
Pita	12	AF207842	Metalloprotease	Oui	NBS-LRR	Bryan et al., 2000	
Pikh	11	AY914077	Non	ND	NBS-LRR	Sharma et al., 2005	
Pi9	6	ABB88855	Non	ND	NBS-LRR	Qu et al., 2006	
Pi2/Pizt	6	ABC94599/ DQ352040	Non	ND	NBS-LRR	Zhou et al., 2006	
Pid2	6		Non	ND	B lectin recepteur Ser/Thr kinase	Chen et al., 2006	
Pi36	8		Non	ND	NBS-LRR	Liu et al., 2007	
Pi37	1		Non	ND	NBS-LRR	Lin et al., 2007	

Gène	Taille (aa)	Localisation	Expression	Structure du Locus	Allèles	Origine
Pib	1251	ND	circadienne, induite par le stress	2 gènes	3 mutants sensibles	indica
Pita	928	Cytoplasmique	Constitutive	2 gènes	1 aa chez indica sensible, 5 aa chez japonica sensible	indica
Pikh	330	ND	induite, différentiel Résistant/Sensible	6 gènes	1 substitution dans le promoteur	indica
Pi9	1032	ND	Constitutive	9 gènes	ND	Oryza minuta
Pi2/Pizt	1032- 1033	ND	Constitutive	9 gènes	8 aa entre Pi2 et Pizt	indica
Pid2	825	Membranaire	Constitutive	simple	1 aa chez les sensibles	indica
Pi36	1056	ND	Constitutive	simple	ND	indica
Pi37	1291	Cytoplasmique	Constitutive	4 gènes	ND	indica

Tableau 1.2. Gènes de résistance à la pyriculariose clonés.

I.2.4 Les gènes de résistance à la pyriculariose clonés

Plusieurs études ont déjà fait le bilan des gènes de résistance à la pyriculariose ayant été clonés (Zhou et al., 2007; Dai et al., 2007; Liu et al., 2007), de ce fait seules quelques caractéristiques de ces gènes seront abordées dans ce chapitre. Le premier gène de résistance à la pyriculariose a été cloné en 1999 (Wang et al.). Depuis, le clonage de six autres gènes a été publié: Pib (Wang et al., 1999), Pita (Bryan et al., 2000), Pikh (Sharma et al., 2005), Pi9 (Qu et al., 2006), Pi2/Pizt (Zhou et al., 2006), Pid2 (Chen et al., 2006) et Pi36 (Liu et al., 2007) (Tableau 1.2). Deux autres gènes sont clonés mais pas encore publié: pi21 (Okuno, communication personnelle) et Pish (Takahashi et al., communication personnelle).

A part *Pid2* qui code pour une Serine/Thréonine Kinase membranaire, tous les autres gènes de résistance à la pyriculariose clonés sont de type NBS-LRR. Au contraire des NBS-LRR d'A. thaliana, ils se composent de plusieurs exons comme la plupart des NBS-LRR du riz (Bai et al., 2002). Pita et Pikh se composent de deux exons, Pih, Pi2 et Pi9 de trois exons et Pi36 de cinq exons. Un résultat notable est que toutes ces NBS-LRR semblent avoir des motifs LRR assez peu conservés par rapport au motif classique (LxxLxLxxL). Ce domaine est d'ailleurs plutôt qualifié de Leucine Rich Domain (LRD; Bryan et al., 2000). Une seule autre NBS-LRR a été clonée chez le riz, elle est codée par le gène Xa1 qui confère la résistance à Xanthomonas oryzae. Cette dernière présente plusieurs îlots de motifs LRR bien conservés au sein d'une région riche en Leucine. Cependant, la mauvaise conservation des domaines LRR est plus une règle qu'une exception chez le riz (Bai et al., 2002; Zhou et al., 2004). En outre, cette particularité ne semble pas empêcher les interactions recepteur-ligand puisque une interaction directe entre le produit du gène Pita et le produit du gène d'avirulence AvrPita a été démontrée (Jia et al., 2000). Et cette variabilité pourrait jouer un rôle important dans la spécificité de la reconnaissance.

L'expression de ces différents gènes a été étudiée au cours de l'infection par *M. oryzae*. Cependant, aucune règle ne peut en être déduite. La plupart des gènes semblent avoir une expression constitutive sauf *Pikh* dont l'expression serait induite par l'agent pathogène (Sharma *et al.*, 2005) et *Pib* qui présente une expression régie par un cycle circadien et qui est induit par des stress biotiques et abiotiques (Wang *et al.*, 2001; Li *et al.*, 2006).

Comme beaucoup de gènes de résistance, la plupart de ces gènes sont en cluster à l'exception de *Pid2* et *Pi36*. Le nombre de copies au sein d'un cluster peut changer d'une variété à l'autre, notamment entre variétés sensibles et résistantes. Par exemple pour *Pib*, le génotype résistant Tohoku IL9 présente deux copies dont une seule est fonctionnelle alors que le génotype sensible Nipponbare n'a qu'une seule copie non fonctionnelle pour la résistance (Wang *et al.*,

1999). Au locus *Pi2/Pi9* le nombre de copies de NBS-LRR varie entre quatre et neuf selon les génotypes (Zhou *et al.*, 2007).

L'étude de certains mutants sensibles a permis de mettre en évidence l'importance pour la résistance de certains domaines protéiques. Une mutation dans le LRD de *Pi2* et *Pizt* supprime la résistance (Zhou *et al.*, 2006). Une mutation dans les domaines NBS, LRD et C-terminal supprime la résistance du gène *Pib* (Kim *et al.*, 2005). Au total 3 allèles sensibles naturels de *Pita* ont été répertoriés par Jia *et al.* (2003). De manière surprenante, c'est la région N-terminale qui présente le plus de substitutions alors qu'on pouvait s'attendre à ce que la région C-terminal, qui interagit directement avec AvrPita, soit moins conservée. Une mutation dans le promoteur de *Pikh* conduit à un allèle sensible (Sharma *et al.*, 2005). Une mutation dans le domaine transmembranaire de *Pid2* supprime la résistance (Chen *et al.*, 2006).

I.2.5 Le pathosystème *O. sativa/M. oryzae*, modèle d'étude des interactions céréales/champignons phytopathogènes.

M. oryzae est un champignon facilement manipulable au laboratoire (croissance rapide sur milieu artificiel, reproductions sexuée et asexuée contrôlées). En outre, il s'est avéré que les outils de biologie moléculaire ont pu lui être appliqué rapidement (banques d'ADN, cartes génétiques et physiques, transformation,...) et son génome fut le premier séquencé chez les champignons phytopathogènes (Dean et al., 2005). L'emploi de tous ces outils a permis, entre autres, de générer un grand nombre de mutants affectés dans leur pouvoir pathogène (Talbot, 2003). M. oryzae apparaît donc comme un bon modèle d'étude pour comprendre les interactions plante/champignon phytopathogène (Valent, 1990 ; Veneault-Fourrey et Talbot, 2005).

Par ailleurs, le riz est actuellement la plante modèle des monocotylédones. En effet, le riz est à la fois une plante à petit génome, ce qui a facilité son séquençage complet, une plante diploïde et autogame, ce qui simplifie son étude génétique, et une plante relativement facile à transformer génétiquement. De plus, de nombreuses données moléculaires sont disponibles telles que des banques BAC, cartes génétiques et physiques, banques d'ADNc, banques de mutants.

La taille du génome a été évaluée au cours des récents travaux de séquençage à 460 Mbp pour la variété *indica* 93-11 (Yu *et al.*, 2002) et 420 Mpb pour la variété *japonica* Nipponbare (International Rice Genome Sequencing Project, 2005). Cette taille est environ 4 fois plus importante que celle du génome de la plante modèle *Arabidopsis thaliana* (125 Mb), mais bien plus faible que celles des autres monocotylédones de grande culture. De plus, le séquençage des génomes complets de 21 variétés est en cours par le IRFGC (International Rice Functional Genomics Consortium) en utilisant des puces haute densité (McNally *et al.*, 2006). Cette méthode

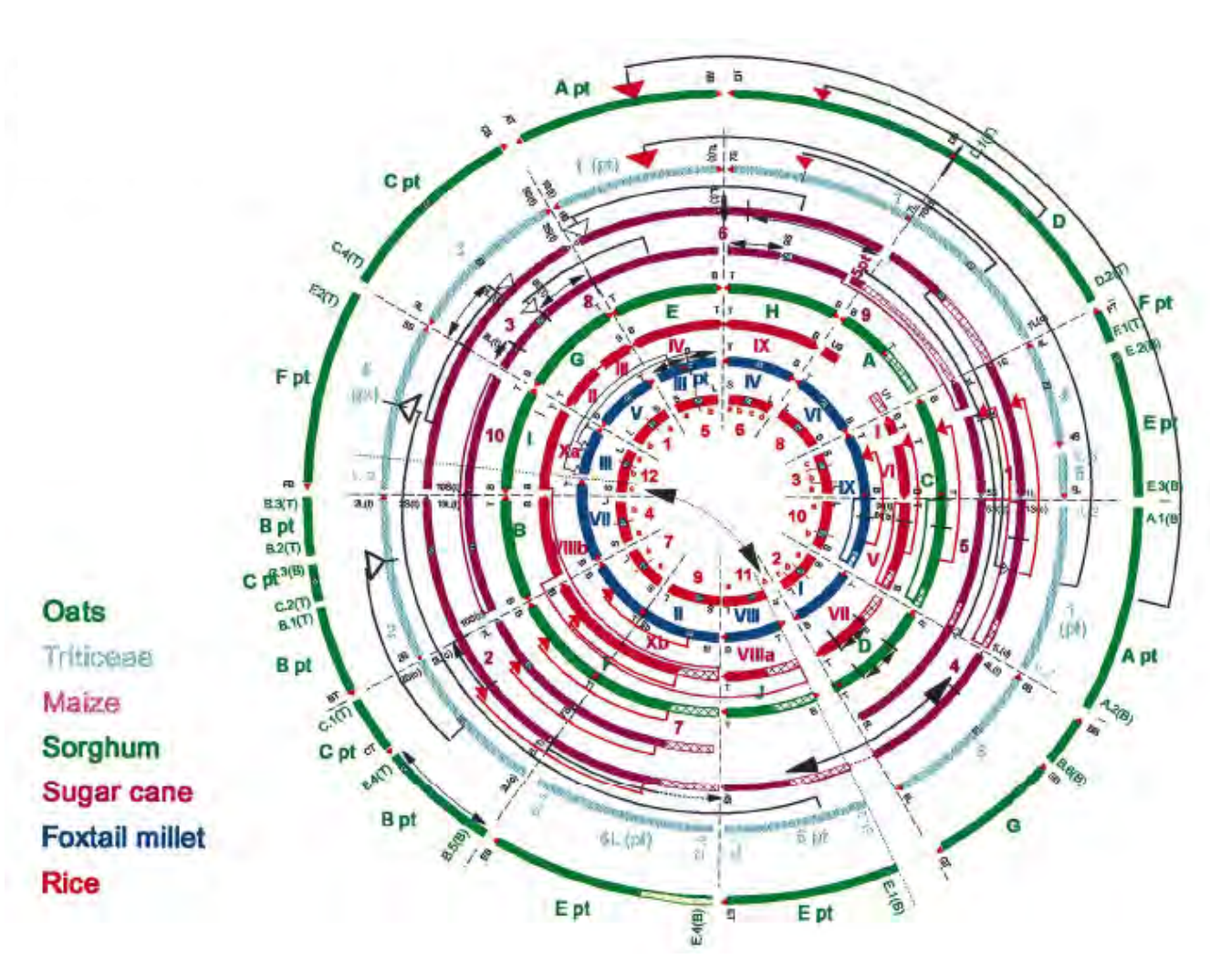


Figure 1.9. Synténie entre les génomes de céréales.

d'après Devos et al., 2005

permet la détection de SNP par rapport à un génome de référence. Parmis les 21 variétés, la variété IR64 qui possède un allèle fonctionnel de *Pi33* est disponible.

Les utilisations possibles des données génomiques du riz pour l'étude des autres céréales ont été répertoriées en détail par Xu et al. (2005). Malgré des différences importantes de taille de génome (400 Mb pour le riz à 16 000 Mbp pour le blé), le génome du riz est également un outil utile du fait de la synténie entre les différentes céréales (Ahn et al. 1993 ; Devos, 2005) (Figure 1.9). Ainsi, l'établissement des cartographies génétiques au sein des autres céréales est facilité par l'utilisation de marqueurs génétiques du riz (Brueggeman et al. 2002 ; Bossolini et al., 2006). De plus, la conservation des orthologues est également relativement bonne. Cependant, pour les cartographies fines, la colinéarité entre le riz et les autres céréales peut difficilement être utilisée du fait d'une conservation réduite des structures génomiques localement entre les céréales (Feuillet et Keller 1999 ; Kellogg et Bennetzen 2004). Ainsi 86% des EST du blé ont un orthologue chez le riz mais seulement 56% de ces EST sont colinéaires avec cet orthologue chez le riz (See et al., 2006). D'autre part, l'accès à des collections de mutants de riz et la facilité à transformer le riz peut également simplifier l'étude de certains gènes identifiés chez d'autres céréales (Xu et al., 2005).

Le riz et *M. oryzae* étant à la fois des modèles et respectivement, une plante de grande culture et un agent pathogène majeur, ce couple est considéré comme un modèle pour les interactions plantes/champignons phytopathogènes (Valent *et al.*, 1990 ; Veneault Fourrey et Talbot, 2005). La plupart des autres modèles concernent plutôt les dicotylédones (arabidopsis, tomate) et surtout les bactéries. Or, il est probable que les systèmes de défense ne soient pas exactement les mêmes chez les monocotylédones. Par exemple, un des grands types de gènes de résistance connu chez les dicotylédones (les TIR-NBS-LRR) est absent des monocotylédones.

Parmi toutes les interactions entre gènes de résistance spécifiques du riz et gènes d'avirulence de *M. oryzae*, l'équipe a choisi de s'intéresser à l'interaction *Ace1/Pi33* car le gène d'avirulence est cloné, ce qui ouvre des perspectives d'étude de l'interaction au niveau moléculaire. De plus, cette interaction semble originale.

I.3 L'interaction ACE1/Pi33

I.3.1 Le gène d'avirulence ACE1

Le gène d'avirulence ACE1 (Avirulence Conferring Enzyme 1) a été cartographié sur le chromosome 1 à l'aide d'un croisement entre une souche sauvage avirulente et un mutant virulent (Silue et al., 1992, Dioh et al., 2000), puis cloné (Böhnert et al., 2004). Ce gène code pour une

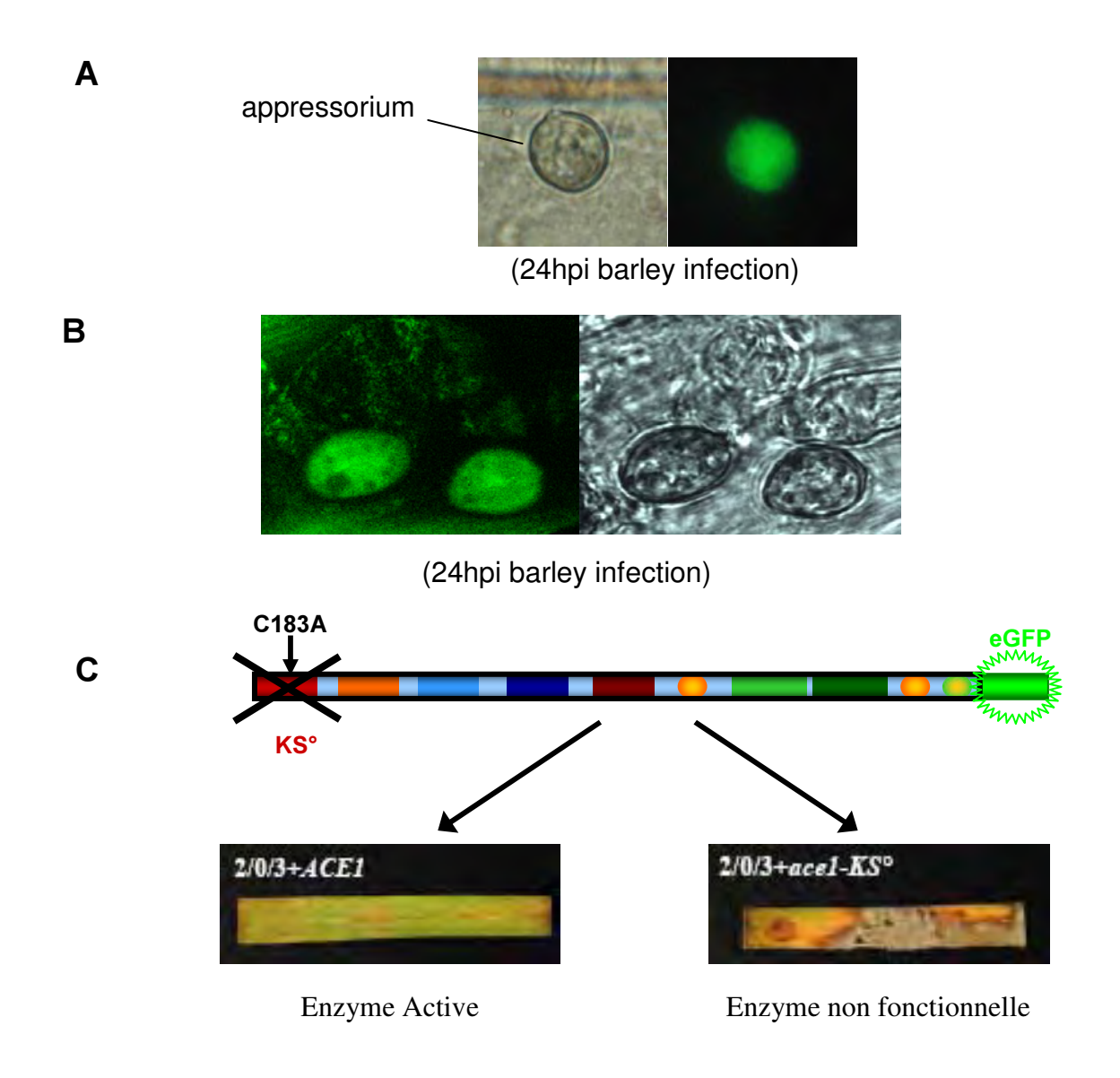


Figure 1.10. Fonction moléculaire de ACE1.

d'après Böhnert et al. 2004

A Démonstration de l'expression spécifique d'*ACE1* dans l'appressorium par fusion GFP avec le promoteur de *ACE1*

B Démonstration du caractère cytoplasmique d'ACE1 par fusion GFP avec ACE1

C Démonstration du rôle de la fonction enzymatique d'ACE1 pour l'avirulence par transformation avec un allèle d'*ACE1* muté dans le domaine enzymatique

enzyme de 4 035 acides aminés de type PKS-NRPS (Polycétide Synthase- Peptide Synthétase Non Ribosomale). Ces enzymes sont impliquées dans la biosynthèse de métabolites secondaires (Song et al., 2004). Des expériences de mutagenèse dirigée ont montré que la fonction enzymatique d'Ace1 est essentielle pour la reconnaissance par les cultivars de riz (Figure 1.10). ACE1 est situé dans un cluster de 15 gènes potentiellement impliqués dans la biosynthèse de métabolites secondaires (Collemare et al., 2007). Le profil d'expression des différents membres au cours d'une infection indique que tous ces gènes sont induits très tôt de manière similaire à ACE1 (Collemare et al., 2007) et seraient probablement co-régulés. Plusieurs membres du cluster ont été testés pour vérifier leurs implications dans la formation du métabolite secondaire. Cependant l'étude de mutants n'a pas permis de démontrer le rôle de certains candidats, et notamment celui de la deuxième PKS-NRPS du cluster, dans la formation du métabolite secondaire.

ACE1 est exprimé spécifiquement lors de l'interaction. En effet, des expériences de RT-PCR et de fusion transcriptionnelle entre le promoteur et le terminateur d'ACE1 et le gène de la GFP ont permis d'établir que ACE1 n'est transcrit que dans les appressoria durant la pénétration du champignon dans la plante (Böhnert et al., 2004) (Figure 1.10). De plus, la régulation d'ACE1 est indépendante de signaux provenant de la plante (précurseurs de la paroi cellulaire végétale) et indépendante de voies de signalisation impliquées dans le développement de l'appressorium. Elle serait liée à l'initiation de la pénétration de M. oryzae dans les tissus végétaux (Fudal et al., 2007). Bien que ce profil d'expression soit en accord avec un rôle dans l'avirulence, il est unique pour des gènes du métabolisme secondaire. Le fait que l'enzyme ne soit pas sécrétée, implique que la fonction enzymatique est essentielle pour la reconnaissance précoce de la part de la plante, ce qui a été montré (Böhnert et al., 2004).

L'hypothèse la plus simple est donc qu'*ACE1* participerait à la synthèse d'un métabolite qui serait sécrété dans la plante où il serait reconnu directement ou indirectement par le produit du gène de résistance *Pi33* (Figure 1.11).

I.3.2 Cartographie génétique de Pi33

Le caractère monogénique et dominant de la résistance correspondant à *ACE1* a été établi (Berruyer *et al.*, 2003). Les descendants de deux croisements IR64 x Azucena (105 lignées haploïdes doublés, HD) et Azucena x Bala (98 lignées obtenues par Single Seed Descent, SSD en F6) ont été utilisés pour la construction de cartes génétiques et ont permis de cartographier *Pi33* à proximité du marqueur G1010 sur le bras court du chromosome 8. Dans cette région du génome du riz, deux autres gènes de résistance à la pyriculariose ont été répertoriés : *Pi2*9(t) (Sallaud *et al.*, 2003) présent dans la variété IR64 et *Pi11*(= *Pizh*; Zhu *et al.*, 1993; Causse *et al.*, 1994) présent

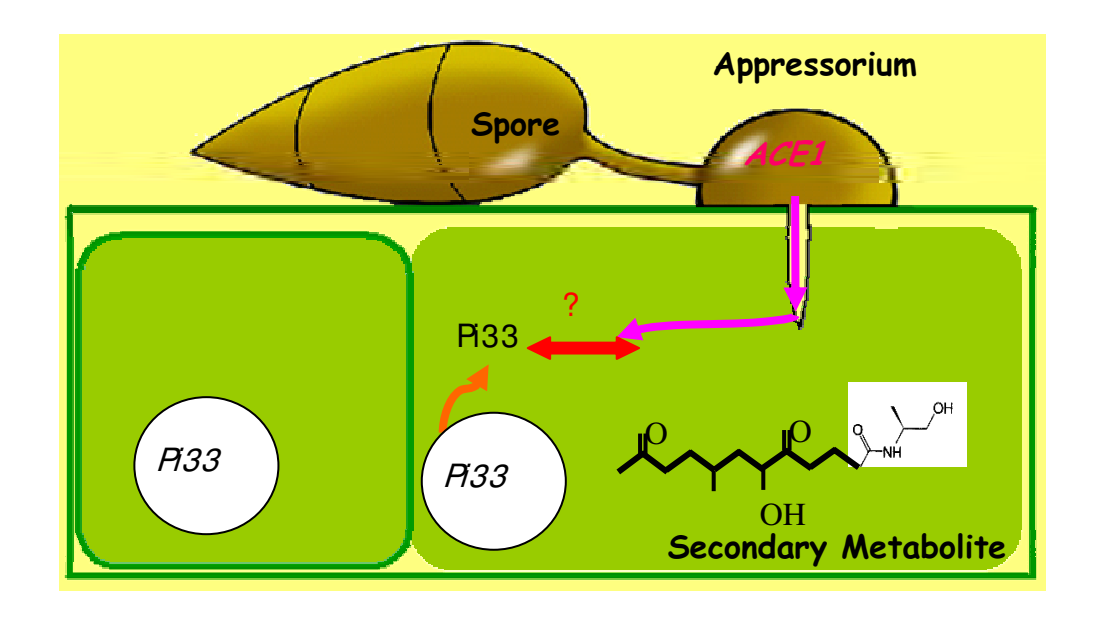


Figure 1.11. Modèle d'interaction entre Magnaporthe oryzea (ACE1) et le riz (Pi33).

La PKS-NRPS ACE1 est impliquée dans la production d'un métabolite secondaire qui serait sécrété dans les tissus végétaux. Ce métabolite interagirait directement ou indirectement avec le produit du gène de résistance *Pi33*.

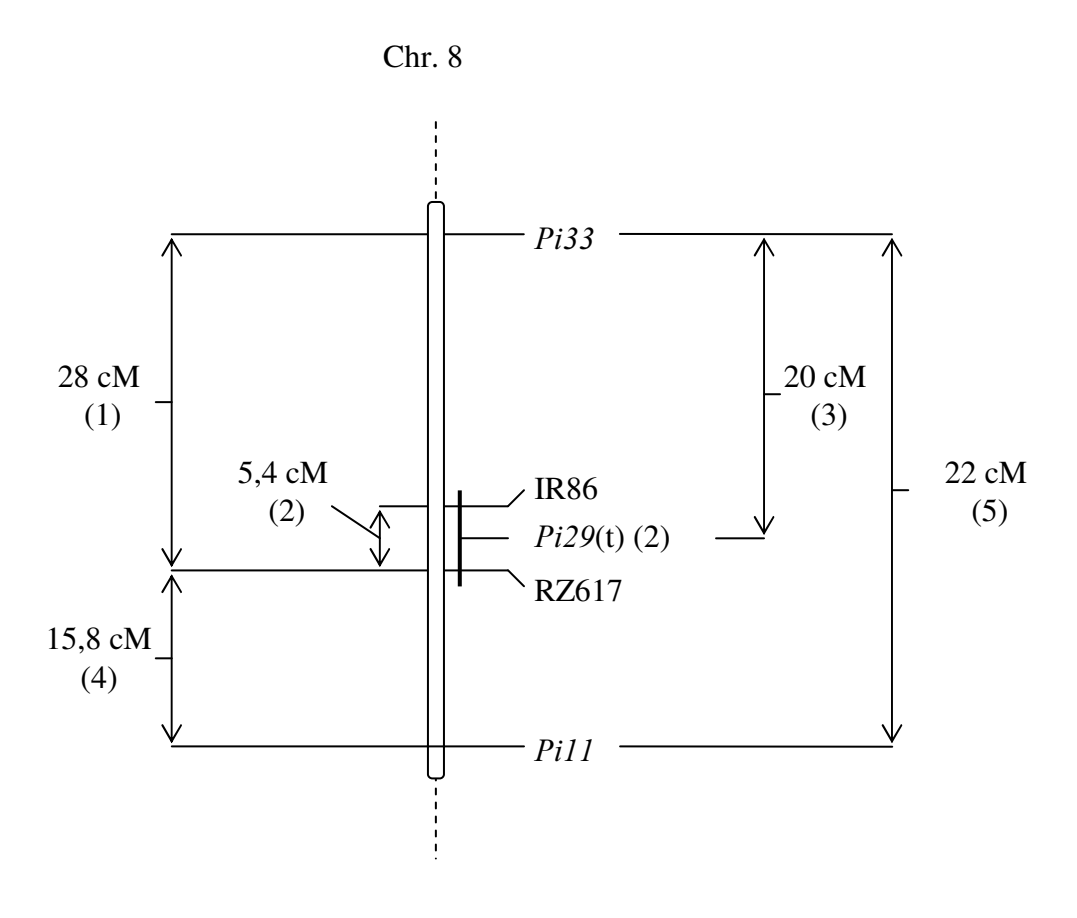


Figure 1.12. Cartographie composite des gènes *Pi-11*(t), *Pi-29*(t), *Pi33*.

d'après R. Berruyer

(1): Tharreau *et al.*, 2000; (2): Sallaud *et al.*, 2003; (3): Berruyer et al., 2003; (4): Zhu *et al.*, 1993; (5): Berruyer et al., 2003.

dans la variété ZYQ8. Ces deux variétés possèdent aussi *Pi33* (Berruyer *et al.*, 2003 ; Figure 1.12). Il a été démontré que *Pi33* était un gène de résistance non décrit, d'une part en comparant son spectre de résistance avec celui des principales variétés différentielles connues, et d'autre part grâce à des tests d'allélismes avec en *Pi29*(t) et *Pi11* (Berruyer *et al.*, 2003).

Le gène *Pi33* a d'abord été cartographié sous le nom de *Pi-Irat7-1* sur 105 lignées HD du croisement IR64 × Azucena (Tharreau *et al.*, 2000). Il était cartographié dans une zone de 6,7 cM entre les marqueurs G1010 et G104. Au cours de la thèse de Romain Berruyer une cartographie génétique plus fine a été établie à partir de 500 lignées HD supplémentaires et 286 descendants SSD du croisement IR64 x Azucena produits dans le cadre du projet EGRAM (Berruyer *et al.*, 2003). Ces lignées ont été caractérisées avec différents marqueurs microsatellites, dont deux, RM44 et RM72, encadrent *Pi33*. Sur un total de 889 lignées, 851 furent caractérisées pour les deux marqueurs microsatellites comme présentant l'un ou l'autre des allèles parentaux. Parmi ces dernières, 90 lignées étaient recombinantes entre les deux marqueurs, distants d'une dizaine de cM et choisis pour identifier les recombinants autour de *Pi33*. Parmi ces recombinants, certains présentaient un phénotype douteux et d'autres se sont avérés être des contaminations. Ces descendants ont été retirés de l'analyse et des marqueurs microsatellites supplémentaires ont été utilisés pour affiner la carte. Une nouvelle position génétique a été établie entre deux marqueurs (RMS*Pi33*-53 et RM3507) distants de 0.5 cM, située à 10 cM de la position publiée par Berruyer *et al.* (2003). C'est à partir de cette position qu'a démarré le travail de thèse.

I.3.3 Originalités de l'interaction ACE1/Pi33.

Bien que plusieurs gènes de résistance et d'avirulence aient été clonés, peu de couples gène d'avirulence fongique/gène de résistance sont caractérisés. La majorité de ces couples provient de l'interaction tomate/Cladosporium fulvum: Cf2/Avr2, Cf4/Avr4, Cf9/Avr9. En dehors de ce modèle, un seul couple gène de résistance/gène d'avirulence fongique a été caractérisé (Pita/AvrPita). Le gène ACE1 ayant été cloné (Böhnert et al., 2003), le clonage de Pi33 devient plus intéressant que celui d'un autre gène de résistance. De plus, les particularités du gène d'avirulence ACE1 (présentées ci-dessus) permettent de supposer que l'interaction ACE1/Pi33 est originale. En particulier, ACE1 n'étant pas sécrétée par M. oryzae, cette interaction pourrait suivre un modèle de garde en faisant intervenir un métabolite secondaire. De plus, les premiers résultats semblent indiquer que Pi33, à l'instar d'autres gènes de résistance, serait situé au sein d'un cluster de gènes. L'étude de ce cluster chez plusieurs variétés pourrait apporter de nouveaux éléments sur l'évolution des gènes de résistance. En effet, le riz étant structuré en plusieurs espèces à ploïdie variable et ayant subi au moins trois évènements de domestication, l'histoire évolutive de Pi33 et sa co-évolution avec ACE1 pourrait présenter un profil original. La question

de l'influence d'évènements récents comme la domestication (10 000 ans) et la révolution verte (50 ans) dans l'évolution du cluster peut notamment être posée. Enfin, *Pi33* est un gène de résistance intéressant pour les sélectionneurs. En effet, en combinaison avec deux autres gènes de résistance, *Pi33* semble conférer un large spectre de résistance aux souches de *M. oryzae* (Martinez et al., 2006).

I.4 Objectifs de la thèse

Le sujet de thèse est centré sur l'objectif de cartographie physique et de clonage de *Pi33*. Cette cartographie s'accompagne d'une caractérisation du cluster *Pi33* dans différents fonds génétiques. L'étude de la diversité du cluster au niveau moléculaire nécessite au préalable d'identifier les variétés possédant *Pi33*. L'étude de la distribution de *Pi33* dans différentes espèces et sous-espèces de riz permet non seulement d'apporter du nouveau matériel végétal pour le clonage mais encore de répondre à la question de l'origine de *Pi33*. Enfin, replacer l'interaction *ACE1/Pi33* dans le contexte des réactions de défense de la plante pourrait permettre de confirmer l'originalité de cette interaction en la comparant à d'autres types d'interactions. Le sujet de thèse s'organise donc autour de trois objectifs principaux qui formeront les trois chapitres de cette thèse :

(1) Déterminer l'origine de *Pi33*, étudier la structuration du gène dans les deux principales sous-espèces de riz *Oryza sativa japonica* et *Oryza sativa indica* ainsi qu'au sein du genre *Oryza*. Cette étude entraîne plusieurs questions qui s'inscrivent à différents niveaux. Du point de vue de l'amélioration variétale, la question du nombre et de l'origine des sources de *Pi33* utilisées par les sélectionneurs pour obtenir les variétés modernes indica demi-naines se pose. D'un point de vue évolutif, *Pi33* a-t'il une origine ancienne ? Est-il présent à la même fréquence chez toutes les espèces et sous-espèces de riz ? Quelle a été l'influence de la domestication sur son évolution ? Suit-il une co-évolution sous forme de course à l'armement avec *M. oyzae* ?

(2) Caractériser la diversité au niveau du cluster *Pi33* et cloner l'allèle de résistance *Pi33*. Cette caractérisation peut se faire à différents niveaux. La diversité structurale, allèlique et transcriptomique des différents membres du cluster peut permettre non seulement de faciliter le clonage du gène en éliminant certains candidats mais encore d'apporter un éclairage sur le fonctionnement du cluster et son évolution. Existe-t-il des différences de structure au niveau du cluster chez les différents porteurs de résistance ? Quelle est la diversité au sein des allèles de *Pi33* ? Les autres membres du cluster ont ils une fonction ?

(3) Replacer l'interaction ACE1/Pi33 dans le contexte des réactions de défense de la plante. L'objectif est d'identifier des gènes marqueurs caractéristiques de cette réaction incompatible et de vérifier l'expression de ces gènes dans d'autres types d'interactions (incompatibles faisant intervenir d'autres gènes de résistance, et compatibles). La question est ici de savoir si les voix de transduction du signal de défense sont communes aux différentes interactions.

II Chapitre 1



Origine de Pi33

Photo: graines de riz sauvages de l'IRRI (Elsa Ballini)

Variétés	69	70	71	72	73	74	75	76	77	78	79	80	81	82
IR8	О	X												
Cica4			O	X										
IR22			Ο	X										
Cica6						O	X							
Cica7								O		X				
Cica9								O	X					
Cica8										Ο		X		
Metica1													O	X

Figure 2.1. Contournement de la résistance dans les variétés modernes d'Amérique latine de 1969 à 1982.

D'après Lopez-Gerena (2006). O = année de mise en circulation de la variété, X = année de contournement de la résistance. Une résistance est considérée comme contournée quand un nombre significatif de symptômes sont observés au champ sur une nouvelle variété considérée jusque là comme résistante.

II.1 Introduction

Durant la révolution verte (2^{ème} moitié du XXème siècle) de nombreuses améliorations variétales ont permis de créer plusieurs variétés de riz à haut potentiel de rendement et très résistantes aux agents pathogènes. Cependant, il s'est avéré que ces résistances n'étaient pas durables car elles ont été rapidement contournées par les agents pathogènes (Figure 2.1; Kiyosawa, 1989). Mieux comprendre la co-évolution entre la plante et ses agents pathogènes est donc nécessaire pour espérer prévenir d'autres contournements et surtout maintenir une résistance stable dans l'espace et durable dans le temps. Derrière cette thématique de co-évolution, se présente la question de l'origine des gènes de résistance. Cette question peut se poser de deux manières. D'un point de vue fondamental, la présence d'un gène de résistance chez les espèces ancestrales peut permettre d'étudier son histoire évolutive au regard de différents modèles d'évolution et de co-évolution qui sont proposés. D'un point de vue pratique, les sélectionneurs s'interrogent également sur « l'origine» d'un gène dans les espèces traditionnelles et sauvages afin d'orienter la recherche de nouveaux allèles ou de nouvelles sources de résistance.

II.1.1 Une origine ancienne des gènes de résistance

Plusieurs indices semblent étayer l'hypothèse d'une origine ancienne des gènes de résistance. Tout d'abord des études ont démontré la conservation des grandes familles de gènes de résistance (NBS-LRR et LRR-kinase; voir Chapitre 2 Paragraphe III-1-1-a) dans de nombreux genres voir même entre les différents règnes (Meyers et al., 1999; Pan et al., 2000; Vleeshouvers et al., 2001). Ainsi de fortes similitudes entre le domaine Nucleotide Binding des NBS-LRR des plantes et le domaine Nucleotide Oligomerization des protéines NLR (Nod Like Receptor) des animaux (Albrecht et al., 2003) existent, même si ces similitudes ne sont peut-être qu'un phénomène de convergence évolutive (Ausubel et al., 2005). Quoi qu'il en soit, la famille des gènes NBS-LRR est présente à la fois chez les gymnospermes et les angiospermes (Liu et al., 2003; Liu et al., 2007). Cela démontrerait que le système de reconnaissance des agents pathogènes par les plantes a été mis en place très tôt (plus de 300 millions d'années). Un autre argument en faveur d'une origine ancienne (quelques millions d'années) des gènes de résistance est la présence de résistances dans les espèces sauvages qui ont d'ailleurs été utilisées comme sources de nouvelles résistances chez les plantes cultivées (Simmonds, 1993; Holland, 2004).

L'hypothèse alternative est que les gènes de résistance ont une origine plus récente (une dizaine de milliers d'années). En effet, il est possible que la domestication ait également eu un impact sur l'évolution des gènes de résistance dans les plantes cultivées. Au moment du processus de domestication, une pression de sélection très forte a été exercée sur la résistance car seules les plantes qui survivaient aux stress environnementaux pouvaient être récoltées. D'une manière

générale, avec le choix des meilleurs phénotypes, le processus de domestication a provoqué une réduction de la diversité par dérive (goulot d'étranglement). Ensuite, la culture à grande échelle a favorisé l'émergence de souches d'agents pathogènes plus agressives. Enfin, un gène ancien a pu également acquérir de nouvelles spécificités plus récemment, du fait des pressions de sélections exercées, soit de manière naturelle par les agents pathogènes, soit de manière artificielle par l'agriculture. La question de « l'âge » des gènes de résistance et de leur spécificité reste donc posée. Sont-ils très anciens, de l'ordre du million d'années, ou plus récents, de l'ordre de la dizaine de milliers d'années ?

L'examen de la littérature montre que la question de l'origine des gènes de résistance a été finalement assez peu traitée. Les études se limitent à quelques pathosystèmes pour lesquels les gènes de résistance et d'avirulence ont déjà été clonés. La démonstration de l'origine d'un gène de résistance a été abordée par différentes méthodes (distribution du gène dans les populations de plantes cultivées et sauvage, complémentation d'allèle d'origine sauvage, et polymorphisme allélique) qui se basent essentiellement sur deux principales théories de co-évolution entre la plante et son agent pathogène. La première théorie appelée « course à l'armement », sous entend une lutte permanente entre la plante et l'agent pathogène concernant, l'acquisition de nouvelles résistances pour l'un, ou l'acquisition de nouvelles virulences pour l'autre. La deuxième théorie appelée « guerre des tranchées » sous-entend une lutte plus étalée dans le temps qui passe par le maintien d'une situation en équilibre. Ces deux théories de co-évolution pourraient trouver une explication au niveau moléculaire car elles pourraient être le reflet du type d'interaction moléculaire entre les protéines de résistance et les protéines d'avirulence (interaction directe ou indirecte) (Van der Hoorn et al., 2002). Nous allons voir quels sont les attendus de chaque théorie qui permettent de définir sous quel type de co-évolution est maintenu une interaction gène-pourgène.

a La course à l'armement

Lors d'une interaction directe, la protéine de résistance reconnaît directement la protéine d'avirulence. La moindre mutation de la protéine d'avirulence peut réduire, voir supprimer, la reconnaissance par le produit du gène de résistance. Dans ce cas, ce n'est pas la fonction de la protéine d'avirulence qui subit une pression de sélection mais sa conformation. Dans cette situation, une sélection directionnelle s'exerce vers l'acquisition de nouvelles spécificités. Le gène de résistance et le gène d'avirulence vont alors accumuler des mutations qui n'imposeront pas forcément un coût évolutif si le changement de conformation n'entraîne pas de changement de fonction de la protéine. Cette co-évolution est décrite comme une « course à l'armement » qui sous-entend une évolution rapide. Dans ce cas le gène de résistance peut être

ancien ou récent mais les allèles actuels sont par définition récents. Cependant, peu d'études tendent à démontrer ce phénomène de «course à l'armement» contre les agents pathogènes (*L5*, *L6* et *L7* chez le lin, Dodds *et al.*, 2006 ; *Pm3* chez le blé, Yahiaoui *et al.*, 2004).

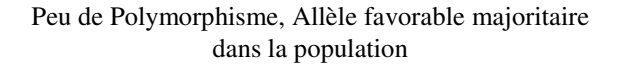
Ce type de co-évolution a des conséquences en terme de fréquence et de polymorphisme allélique. Dans le cadre d'une course à l'armement, un fort turn-over au niveau des allèles se traduit par la présence dans la population d'un allèle majoritaire présent à une fréquence élevée (Figure 2.2). L'origine récente de cet allèle est attestée si cet allèle est absent des espèces proches ou présent mais à une fréquence faible. La signature moléculaire de ce type de co-évolution sera liée à une sélection positive. La fréquence des mutations non synonymes par rapport aux mutations synonymes (Ka/Ks) est un facteur qui permet de mettre en évidence ce type de sélection. Une fréquence supérieure à un serait le signe d'une pression de sélection positive alors qu'une fréquence inférieure à un serait le signe d'une pression de sélection négative. Les rapports Ka/Ks ont été ainsi évalués pour plusieurs gènes et il s'avère que le rapport peut être particulièrement élevé dans les domaines des protéines qui subissent la pression de sélection. Ainsi le domaine LRR (Leucine Rich Repeat) est le siège de nombreuses mutations non synonyme particulièrement au niveau des résidus exposés (Jiang et al., 2007). Les gènes RPP13, L, P et RPP8 présentent des rapports Ka/Ks élevés dans leur domaine LRR (Tableau 2.1).

b La guerre des tranchées

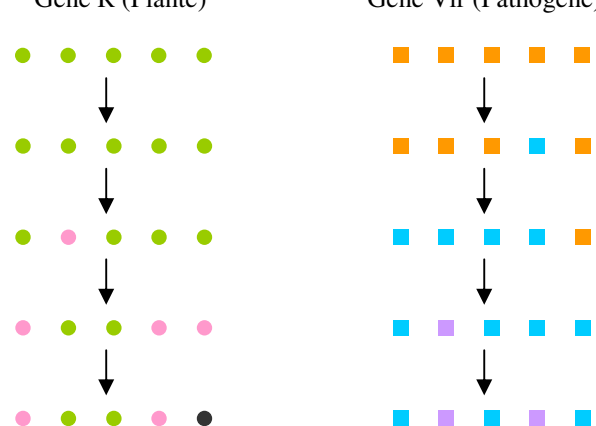
Dans le cadre de l'hypothèse de garde, la protéine de résistance détecte des modifications d'une protéine ciblée par la protéine d'avirulence de l'agent pathogène. La protéine d'avirulence devant conserver son affinité pour la protéine cible de la plante, les mutations qui pourront être sélectionnées sont plus limitées. En effet, les mutations risquent d'engendrer plus facilement une perte de fonction plutôt que l'acquisition d'une nouvelle résistance. Une manière de contourner la résistance pour la protéine d'avirulence de l'agent pathogène est alors d'acquérir une nouvelle fonction (phosphorylation, clivage protéique). Du côté de la plante, la sélection s'exerce alors sur la détection de cette nouvelle fonction. Ce type de co-évolution est plus stable et implique une sélection balancée qui peut être fréquence dépendante (Stahl et al., 1999; Tian et al., 2002; Rose et al., 2007). De plus, l'acquisition d'une nouvelle fonction peut engendrer un coût de fitness supplémentaire pour la plante (Tian et al., 2002).

Ce type de co-évolution a également des conséquences en terme de fréquence et de polymorphisme allélique. Une sélection balancée va permettre le maintien dans la population de plusieurs allèles à des fréquences variables (Figure 2.2). En effet, cette fréquence va varier en fonction de la fréquence du gène d'avirulence présent dans la population de l'agent pathogène. Le gène révèle alors une origine ancienne qui peut être démontrée par la présence de l'allèle chez des

Course à l'armement Sélection directionnelle Gène R (Plante) Gène Vir (Pathogène)



Gène R (Plante) Gène Vir (Pathogène)



Polymorphisme élevé, Fréquence allélique variable dans la population

Figure 2.2. Hypothèses de co-évolution entre la plante et le pathogène.

Dans le cadre d'une course à l'armement de nouveaux allèles de résistance (chez la plante) ou de virulence (chez le pathogène) apparaissent et envahissent rapidement la population jusqu'à ce qu'il soient contournés. Dans le cas d'une sélection balancée en guerre des tranchées la fréquence de nouveaux allèles est régulée par un coût à la résistance (ou à la virulence) ou par la fréquence de l'allèle correspondant chez le pathogène (ou chez la plante).

Locus	Gène entier		Région non LRR		Domaine LRR		Résidus exposés		Région C-terminale	
	π	Ka/Ks	π	Ka/Ks	π	Ka/Ks	π	Ka/Ks	π	Ka/Ks
Cf-4/9	0.05	0.65	0.06	0.62	0.06	0.66	0.12	1.51	0.05	0.4
Cf-5	0.08	0.45	0.06	0.69	0.08	0.43	0.1	1.1	0.07	0.35
Sw-5	0.14	0.61	0.12	0.58	0.15	0.89	0.2	0.84	0.2	1.24
L	0.03	1.01	0.02	0.77	0.05	1.53	0.12	3.28	0.04	1.16
N-A/B	0.07	0.48	0.06	0.33	0.08	0.73	0.13	1.77	0.09	0.64
N-C/D	0.06	0.58	0.05	0.4	0.08	0.75	0.16	1.73	0.06	0.57
P	0.04	0.81	0.04	0.55	0.06	1.2	0.12	2.76	0.04	0.55
RPP13	0.05	0.91	0.02	0.44	0.1	1.55	0.11	2.52	0.11	2.29
RPP8	0.04	0.78	0.03	0.52	0.07	1.2	0.14	1.49	0.05	0.76
Pi2/9	0.05	0.74	0.01	0.22	0.04	0.93	0.08	2.41	0.05	1.15
Rp1	0.07	0.51	0.06	0.54	0.09	1.06	0.12	1.35	0.06	0.48
Rp3	0.03	0.53	0.02	0.6	0.05	0.47	0.08	1.96	0.05	0.54
Moyenne	0.06	0.67	0.05	0.52	0.07	0.95	0.12	1.89	0.07	0.84

Tableau 2.1. Diversité nucléotidique et Ka/Ks de quelques gènes de résistance.

Adapté de Jiang *et al.*, 2007. π représente la diversité nucléotidique moyenne pour toutes les comparaisons. Ka/Ks est une moyenne pour toutes les comparaisons.

espèces proches à une fréquence variable. La signature moléculaire de ce type de co-évolution sera liée à une **sélection négative**. Le calcul du rapport Ka/Ks sera inférieur à un car le nombre de mutations non synonymes est limité par le fait que le gène ne peut pas perdre sa fonction. Dans le cas extrême, l'allèle sensible peut être totalement absent de la population. C'est le cas notamment du gène RPM1 chez Arabidopsis (Grant *et al.*, 1998).

c Limites des interprétations d'analyse moléculaires et hypothèses alternatives de co-évolution

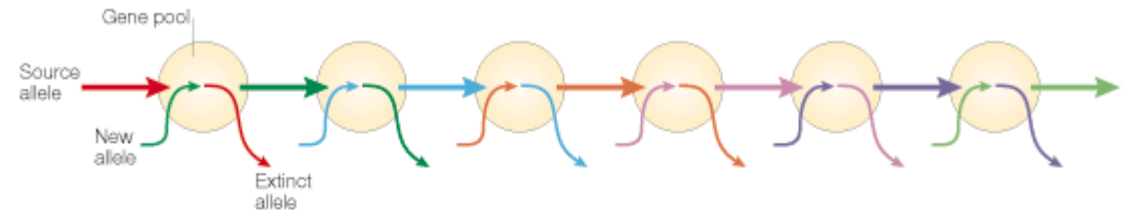
Bien que de multiples tests permettent de détecter la signature moléculaire des ces deux types de co-évolutions (Hudson et al. 1987; Tajima 1989; McDonald and Kreitman 1991), il semble difficile de toujours les distinguer des autres pressions de sélection exercées sur la plante et son agent pathogène. En effet, il faut tenir compte du mode de reproduction de l'hôte, des pressions de sélection dues à l'environnement et aux interactions avec d'autres agents pathogènes (de Meaux and Mitchell-Olds 2003; Tiffin and Moeller 2006). De plus, en population naturelle, la structuration géographique de la plante hôte et de son agent pathogène peut jouer un rôle non négligeable (Thompson, 1999; Gomulkiewicz et al., 2000). Holub (2001) propose un modèle de polymorphisme recyclé évolutif (Figure 2.3) où de nouvelles résistances apparaîtraient et seraient réutilisées en fonction de la pression de sélection exercée par l'agent pathogène. Ce modèle fait en quelque sorte la synthèse entre les deux modèles précédents. Il n'est donc pas toujours aisé de déterminer quel type d'évolution suit un gène de résistance. Une étude relativement exhaustive chez A. thaliana, portant sur le polymorphismes des motifs LRR de 27 gènes de résistance chez 96 individus indique que tous les cas de pressions de sélection sont envisageables (Bakker et al., 2006). La relation entre les interprétations moléculaires de la théorie gène-pour-gène et les différents modèles évolutifs est probablement simpliste et l'histoire évolutive de chaque couple plante/agent pathogène est probablement plus complexe.

Enfin, les modèles ne s'appliquent pas aux populations cultivées. En population cultivée, un gène de résistance inopérant peut être maintenu artificiellement par la culture de variétés possédant ce gène. De plus, une signature moléculaire, trace d'une co-évolution ancienne entre la plante sauvage et un agent pathogène, a pu être modifiée suite à un passage par des goulots d'étranglement récents (par exemple chez le riz 10 000 ans : domestication et 50 ans : révolution verte...).

d <u>Distribution des gènes de résistance chez les espèces domestiquées et leur ancêtres sauvages,</u> quelques exemples

Peu d'études de distribution des gènes de résistance sont disponibles dans les variétés cultivées, et encore moins dans les espèces sauvages. Plusieurs analyses assez complètes ont été

Modèle de polymorphisme passagé (sans recyclage, système ouvert)



Modèle de polymorphisme recyclé (système fermé)

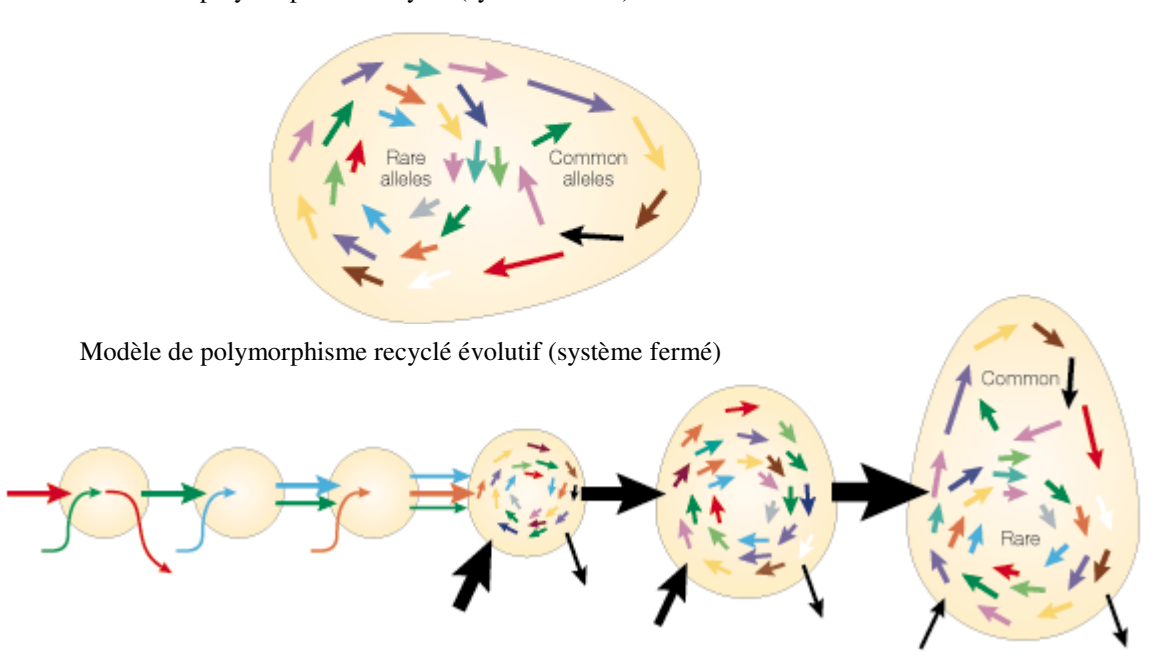


Figure 2.3. Évolution des gènes de résistance, les trois modèles d'évolution en population.

(D'après Holub, 2001) Le modèle 'polymorphisme passagé', les allèles R disparaissent dans les populations locales suite à l'émergence de nouvelles virulences, mais ils sont remplacés par de nouveaux allèles. Le modèle 'polymorphisme recyclé' dans lequel plusieurs allèles sont maintenus et réutilisés en fonction de la virulence du pathogène et du coût de la résistance sans extinction ou création de nouveaux allèles. Le modèle 'polymorphisme recyclé évolutif' fait la synthèse des deux précédents modèles

faites chez la tomate et son ancêtre sauvage Lycopersicon pimpinellifolium (Riely et al., 2001; Van der Hoorn et al., 2001; Rivas et al., 2002; Kruijt et al., 2004). Ainsi, le gène Pto aurait une origine ancienne (Riely et al., 2001) qui pré daterait la séparation entre les espèces sauvages L. hirsutum et L. pimpinellifolium et aurait disparu chez certaines espèces (L. esculentum). De même, l'origine ancienne de Cf9 a pu être démontrée (Van der Hoorn et al., 2001). Dans ces deux cas l'allèle présent chez l'espèce sauvage a été cloné et sa fonctionnalité a été mise en évidence par complémentation dans une variété sensible. Dans le cas de Pto, la fréquence de la reconnaissance du gène d'avirulence AvrPto a également été estimée chez les différentes espèces sauvages par des inoculations avec des souches de Pseudomonas syringae isogéniques pour AvrPto et par le séquençage des homologues de Pto (Rose et al., 2005). La fréquence de Pto est ainsi évaluée à 53% sur un échantillon de 30 variétés représentant cinq espèces de tomates. De même, dans le cas de Cf9, la fréquence des deux allèles conférant la résistance a été évaluée dans des populations de l'espèce sauvage L. pimpinellifolium. Cette fréquence serait variable selon l'origine géographique et s'échelonnerait entre 12% et 47% (Van der Hoorn et al., 2001). Ces résultats sont comparables à ceux établis chez Arabidopsis thaliana pour Rpm1 (52%, Stahl et al., 1999) et Rpp13 (75%, Beynon et al., 2007). Par contre, le gène de résistance à B. lactucae Dm3 n'est présent que dans une accession sur 1033 de laitues sauvages Lactuca serriola. Ce résultat laisse penser que ce gène a été introgressé relativement récemment chez l'espèce cultivée ou que l'accession sauvage à l'origine de la laitue cultivée possédait le gène (Kuang et al., 2006).

Enfin, quelques études ont établi la distribution de gènes de résistance au sein d'espèces cultivées. La distribution des gènes de résistance Pm10, Pm11, Pm14 et Pm15 a été étudiée chez 366 accessions de blé T. aestivum (Tosa et al., 1995). La fréquence de ces gènes est très variable : 68% en moyenne pour Pm15, 62% pour Pm10, 22% pour Pm11 et 8% pour Pm14. Les gènes Pm10 et Pm15 se retrouvent dans la plupart des blés cultivés partout dans le monde. Le gène Mla-8 serait présent à 63% parmi 63 accessions européennes d'orge (Jørgensen et Jensen, 1983). Le gène Pita de résistance à M. oryzae serait présent à 14% dans un échantillon de 139 variétés cultivées, essentiellement Nord Américaines (Wang et al., 2007).

Tous ces résultats montrent que les fréquences des gènes de résistance sont très variables. Il semble difficile d'en tirer une règle générale. L'exemple des gènes Pm chez le blé met en évidence que la domestication et surtout la diffusion des lignées jouent un rôle capital dans la distribution des gènes de résistance pour une espèce cultivée. De plus, ces exemples auraient tendance à attester l'hypothèse d'une origine ancienne des gènes de résistance puisqu'ils sont, souvent, déjà présents en fréquence relativement élevée dans les variétés sauvages.

Finalement, relativement peu d'études ont été effectuées sur l'origine des gènes de résistance. Ce qui peut limiter le nombre d'étude sur le sujet, est l'accès à des échantillons suffisants et appropriés d'accessions sauvages et cultivées, ainsi que la possibilité d'effectuer des tests de manière fiable. Le genre *Oryza*, comportant une vingtaine d'espèces dont 2 cultivées, fait depuis longtemps l'objet de programmes de conservation (Nakagahra *et al.*, 1997). Plusieurs collections d'accessions sont d'ailleurs disponibles sous forme de graines, ce qui en fait un matériel pratique à utiliser pour ce genre d'étude. De plus, la phylogénie du genre et les structurations des espèces cultivées mais aussi d'une des espèces sauvage sont également connues.

II.1.2 Structuration du genre Oryza

Le riz est un modèle intéressant pour étudier l'évolution d'un gène de résistance, car il a subi plusieurs évènements de domestications qui ont participé à la structuration de l'espèce en plusieurs sous-espèces. Plus récemment, la révolution verte a beaucoup modifié la diversité des riz cultivés. Le genre *Oryza* est composé de plus de 20 espèces diploïdes ou polyploïdes (Lu *et al.*, 1999) entre lesquelles des flux de gènes interviennent (Ge *et al.*, 1999; Ren *et al.*, 2003; Nishikawa *et al.*, 2005) (Figure 2.4). Le genre se compose d'espèces diploïdes de génome AA dont font partie les riz cultivés, *Oryza sativa* et *O. glaberrima*, et leurs ancêtres sauvages *O. rufipogon* et *O. barthii*, et d'espèces plus éloignées à ploïdie variable présentant les génomes BB, CC, BBCC, CCDD, EE, FF, GG, HHJJ.

Le riz a subi trois épisodes indépendants de domestication à partir de deux espèces sauvages : une espèce asiatique *O. rufipogon* et une espèce africaine *O. barthii*. Des données basées sur des séquences chloroplastiques, génomiques et l'insertion du transposon MITE (Cheng et al., 2003 ; Zhu et Ge, 2005 ; Londo et al., 2006) étayent l'hypothèse que deux domestications indépendantes auraient eu lieu à partir de deux populations différentes d'O. rufipogon et auraient donné les deux principales sous-espèces d' *O. sativa* : indica et japonica. D'après des données moléculaires récentes, la séparation des ancêtres des trois formes principales de riz cultivés (glaberrima, sativa indica et sativa japonica) pourrait dater de 1 MA (Bennetzen, 2000), c'est-à-dire bien avant la domestication (10 000 ans). Plus récemment, les échanges entre les peuples ont impliqué des hybridations et la création de variétés locales. Ces hybridations à répétition entre les deux sous-espèces asiatiques sont sans doute à l'origine de la très grande diversité du riz asiatique qui peut être répartie en cinq grands groupes : indica, aus, aromatiques, japonica temperés et japonica tropicaux (Figure 2.5) (Garris et al., 2005).

A l'instar d'autres plantes cultivées, les espèces sauvages de riz ont largement été utilisées en amélioration variétale notamment, pour acquérir de nouvelles résistances aux maladies. Brar et Khush (1997) listent plus d'une vingtaine d'accessions sauvages qui ont ainsi été utilisées dans des

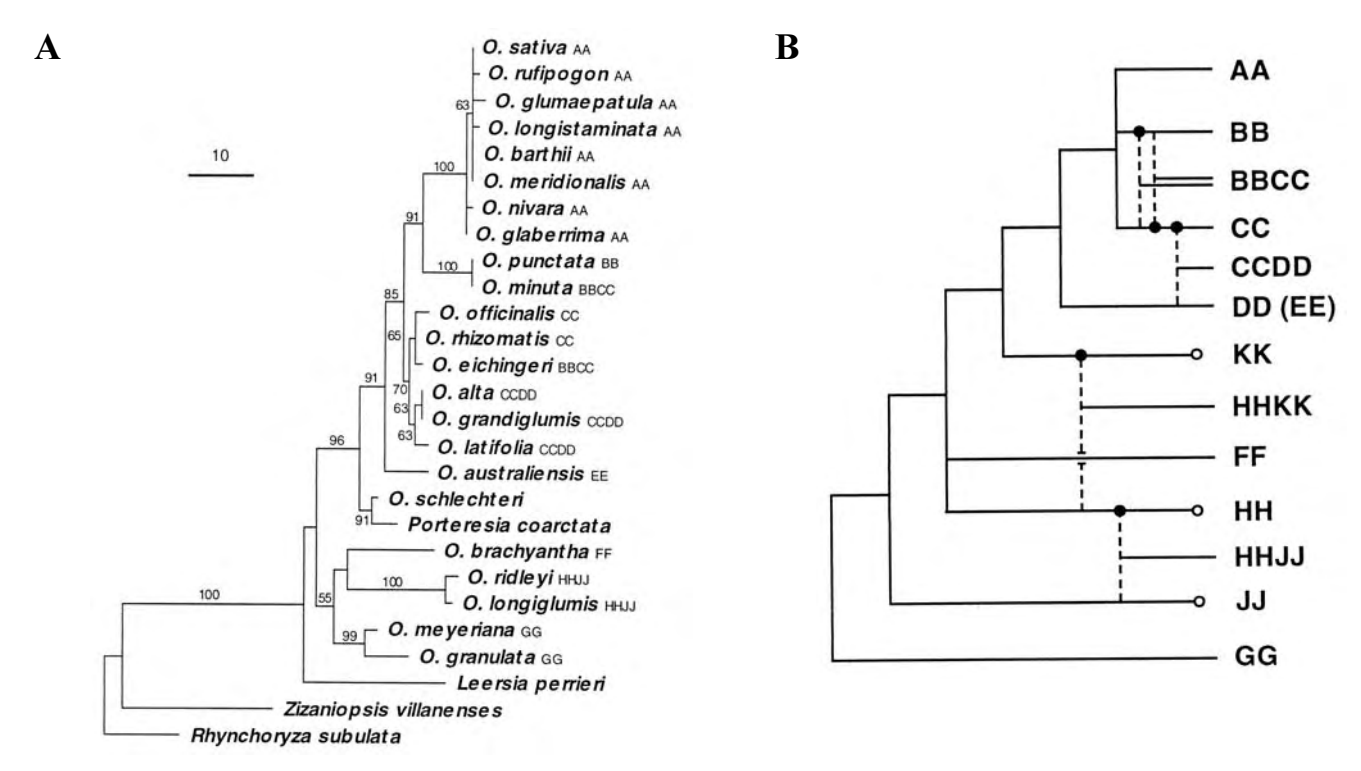


Figure 2.4. Structure des Oryzae et flux de gènes entre génomes.

D'après Ge *et al.*, 1999. A = Arbre construit par maximum de parcimonie à partir de séquences du gène *mat*K. L'échelle représente le nombre de substitutions par site. B = Arbre consensus construit à partir des gènes *Adh1*, *Adh2* et *mat*K Les pointillés indiquent les flux de gènes à l'origine des allotétraploidisations.

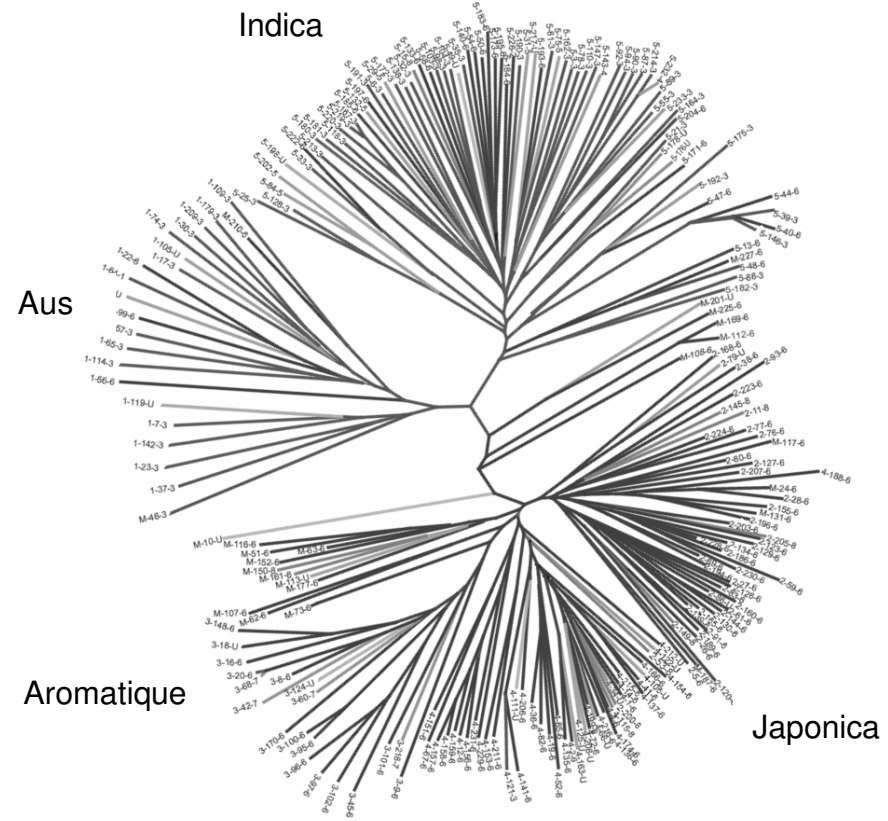


Figure 2.5. Structure des Oryza sativa.

(d'après Garris et al., 2005) Une core-collection de 234 individus a été génotypée à partir de 169 marqueurs microsatellites répartis sur l'ensemble du génome. Cette analyse met en évidence les cinq principales sous-espèces de *O. sativa*.

croisements pour introduire de nouvelles résistances et créer les variétés modernes de riz cultivés. Parmi les gènes clonés, on peut citer le gène de résistance à la pyriculariose *Pi9* (Qu *et al.*, 2006) qui provient de l'espèce sauvage *Oryza minuta* et le gène de résistance à *X. oryzae Xa21* qui provient de l'espèce *O. longistaminata*.

II.1.3 Résultats préliminaires

Dans un premier temps, l'objectif de l'équipe était de retrouver les sources de résistances utilisées pour introgresser *Pi33* dans les variétés modernes. Une première série de résultats a ainsi été obtenue au cours de la thèse de Romain Berruyer (2003). Des tests de résistance effectués avec des souches isogéniques de *M. oryzae*, possédant ou non *ACE1*, ont permis d'identifier des lignées possédant un allèle de résistance *Pi33*. Les résultats de phénotypage ont ensuite été confirmés par génotypage à l'aide de marqueurs microsatellites et RFLP situés au locus *Pi33*. Le gène avait été mis en évidence principalement dans des variétés modernes de riz cultivé (indica demi-naines) et une accession de riz sauvage *O. rufipogon*. Trois haplotypes différents de résistance avaient ainsi été identifiés (Numéroté R1 à R3 sur la Figure 2.6).

L'information sur la généalogie de beaucoup de variétés de riz cultivés étant disponible dans une base de données (International Rice Information System; http://www.iris.irri.org/), Romain Berruyer avait identifié les variétés initiales et testé leur résistance pour mettre en évidence les variétés parentales possédant Pi33. Les généalogies de sept lignées possédant Pi33 ont ainsi été reconstruites. Pour la variété ZYQ8 la reconstruction de la généalogie n'étant que partielle, le parent source de la résistance n'a pu être identifié. Il s'agit probablement d'une variété traditionnelle qui n'a pas été testée. Pour la variété C101LAC, aucun des deux parents, CO39 et LAC23, n'est résistant. Un génotypage par microsatellite du locus a permis de montrer que LAC23, la source de résistance supposée, n'est pas le parent de C101LAC (Berruyer et al., 2003). La variété à la source de la résistance n'a donc pas pu être identifiée. Pour les cinq dernières variétés (IR64, IR1529, Bala, Irat7 et TN1) les généalogies ont pu être reconstruites dans leurs majeures parties. La variété traditionnelle TYC a été utilisée dans chacune de ces généalogies et semble vraisemblablement être la source de la résistance pour les variétés IR1529, Bala, Irat7 et TN1. D'après ces premiers résultats, l'hypothèse formulée penchait vers l'utilisation d'une unique source de résistance : la variété traditionnelle TYC. Cette variété possédant Pi33 a servi à la création de la variété TN1, elle aussi résistante. Or, la variété TN1 a été largement utilisée au cours de la révolution verte (deuxième moitié du XXème) pour introduire le semi-nanisme dans les variétés modernes. Ainsi, en introduisant dans les variétés modernes le gène de semi-nanisme sd1 (situé sur le chromosome 1), Pi33 aurait été lui aussi introgressé par hasard puis sélectionné

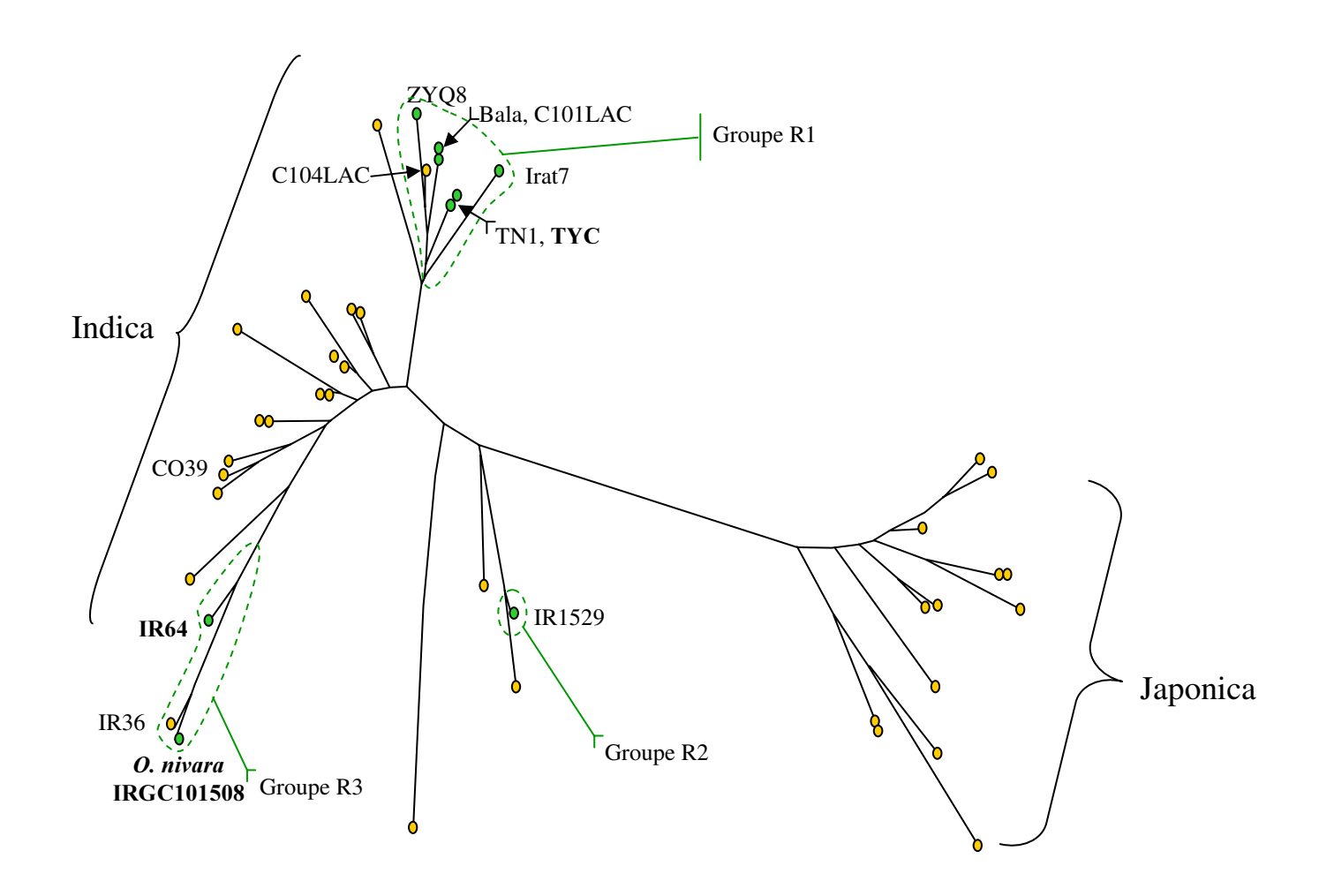


Figure 2.6. Diversité moléculaire au niveau de la zone de *Pi33*, données de Romain Berruyer (2003).

Les variétés ont été génotypées à partir de marqueurs microsatellites et RFLP situés au niveau du cluster *Pi33*. Les résultats de tests de résistance sont représentés par un code couleur. Arbre construit par Neighbor Joining, à partir des valeurs de dissimilarité calculées par l'indice « Simple Maching ». En vert = variétés résistantes vis-à-vis de *ACE1*, en jaune = variétés sensibles.

indépendamment dans différentes zones géographiques. Cependant, d'autres sources de résistance que TYC ont été utilisées dans la généalogie de la variété IR64.

Le génotypage via des marqueurs microsatellites et RFLP situés au locus *Pi33* a permis de mettre en évidence trois haplotypes de résistance (Figure 2.6). Bala, Irat7, TN1 et TYC ont le même haplotype. IR1529 correspond à un autre haplotype, intermédiaire. IR64 et *O. rufipogon* IRGC101508 partagent le dernier haplotype. L'existence d'au moins deux sources de résistances semblait donc plus probable et l'hypothèse d'une origine plus ancienne de *Pi33* devait être testée en confirmant sa présence dans d'autres accessions de riz sauvages. Cette hypothèse n'excluant pas l'amplification de *Pi33* dans les variétés modernes lors de l'introgression du semi nanisme, nous souhaitions également valider l'hypothèse d'une introgression récente de *Pi33* dans les variétés modernes en étudiant sa distribution dans les différentes sous-espèces de riz cultivés.

II.1.4 Objectifs

Notre objectif était de déterminer l'origine de *Pi33* et d'étudier la structuration du gène dans les deux principales sous-espèces de riz *Oryza sativa japonica* et *Oryza sativa indica*. *Pi33* n'ayant pas été cloné, il n'était pas possible d'utiliser la diversité allélique du gène lui même pour caractériser son évolution. Cependant, l'analyse de sa distribution au sein du genre *Oryza* et le génotypage à l'aide de marqueurs microsatellites du locus chez différentes variétés permettent de faire des hypothèses sur son évolution. Par cette approche, nous avons tenté de répondre aux questions suivantes. *Pi33* a-t-il une origine ancienne ? Est il présent à la même fréquence chez toutes les sous-espèces de riz ? Quelle a été l'influence de la domestication sur son évolution ? Quelle a été ou quelles ont étés les sources de résistance utilisées par les sélectionneurs pour obtenir les variétés modernes indica demi-naines ?

Dans un premier temps, les différents haplotypes de résistance *Pi33* ont été confirmés par l'utilisation de marqueurs microsatellites. En effet, les marqueurs utilisés par Romain Berruyer n'étaient pas situés exactement au locus de *Pi33* mais à 10 cM et ce résultat nécessitait d'être confirmé à l'aide d'un plus grand nombre de marqueurs. Dans un deuxième temps, la présence de *Pi33* a été déterminée dans un échantillon représentatif de la diversité des *O. sativa* par des évaluations de leur résistance à des souches de *M. oryzae* isogéniques pour *ACE1*. Par ailleurs, l'introgression de *Pi33* à partir d'une espèce sauvage (*O. rufipogon*) a été caractérisé chez la variété IR64. Ce travail a fait l'objet d'une publication (Ballini *et al.*, 2007). L'origine sauvage de *Pi33* étant attestée par ces premiers résultats, la présence de *Pi33* a été déterminée par des tests pathologiques dans un second échantillon comportant des espèces sauvages. Ainsi, la présence de *Pi33* ou tout du moins d'un allèle interagissant avec le gène d'avirulence *ACE1*, a été mise en évidence dans différentes espèces sauvages dont certaines relativement éloignées du riz cultivé.

Les hypothèses sur l'évolution de la résistance à *Pi33*, et notamment sur son absence dans certaines espèces, sont discutées.

II.2 Article 2: Modern elite rice varieties of the 'Green Revolution' have retained a large introgression from wild rice around the Pi33 rice blast resistance locus.



Modern elite rice varieties of the 'Green Revolution' have retained a large introgression from wild rice around the *Pi33* rice blast resistance locus

Elsa Ballini^{1*}, Romain Berruyer^{1*}, Jean-Benoît Morel¹, Marc-Henri Lebrun², Jean-Loup Nottéghem¹ and Didier Tharreau¹

¹UMR BGPI, AGRO.M-CIRAD-INRA, Montpellier, France; ²UMR 2847 CNRS-Bayer CropScience, Physiologie des plantes et des champignons lors de l'infection, Lyon, France

Summary

Author for correspondence: Didier Tharreau Tel: +33 (0)4 99624839 Fax: +33 (0)499624848 Email: tharreau@cirad.fr

Received: 5 January 2007 Accepted: 31 March 2007

- During the breeding process of cultivated crops, resistance genes to pests and diseases are commonly introgressed from wild species. The size of these introgressions is predicted by theoretical models but has rarely been measured in cultivated varieties.
- By combining resistance tests with isogenic strains, genotyping and sequencing of different rice accessions, it was shown that, in the elite rice variety IR64, the resistance conferring allele of the rice blast resistance gene *Pi33* was introgressed from the wild rice *Oryza rufipogon* (accession IRGC101508).
- Further characterization of this introgression revealed a large introgression at this locus in IR64 and the related variety IR36. The introgressed fragment represents approximately half of the short arm of rice chromosome 8.
- This is the first report of a large introgression in a cultivated variety of rice. Such a large introgression is likely to have been maintained during backcrossing only if a selection pressure was exerted on this genomic region. The possible traits that were selected are discussed.

Key words: introgression, IR64, *Magnaporthe grisea* (rice blast), *Oryza sativa* (rice), *Oryza rufipogon*, wild rice.

New Phytologist (2007) doi: 10.1111/j.1469-8137.2007.02105.x

© The Authors (2007). Journal compilation © New Phytologist (2007)

Introduction

Rice (*Oryza sativa*) is the staple food of half of the world's inhabitants (Khush, 2005). Domesticated 10 000 yr ago (Oka & Wang, 1962), rice has been the subject to intensive breeding. More recently, during the Green Revolution (late 1960s), major genetic improvements contributed to unprecedented yield increase (Khush, 2001). IR36 and IR64 were the most popular rice varieties created during the second phase of the Green Revolution. IR36 became one of the most widely grown varieties of rice with 11 million ha yr⁻¹. IR64 replaced IR36 as the world's most popular rice variety, and is

still widely grown. Their genealogies are well documented. Breeders used several traditional rice varieties as well as some wild rice accessions to create these two varieties. Apart from transferring the semidwarf phenotype, their objective was to incorporate various resistance traits while preserving grain quality and high yield. In particular, they incorporated the resistance to the grassy stunt virus and its vector the Brown Plant Hopper (BPH) from an Indian wild rice accession (*Oryza rufipogon* Griff. (IRGC101508)). The use of wild species to integrate resistance or tolerance to biotic and abiotic stresses is fairly common in rice (Brar & Khush, 1997) and other crop species. Many resistance traits were introduced in cultivated rice from various rice species (Brar & Khush, 1997). However, other genes linked to the gene of interest were also introgressed during this process. This phenomenon

^{*}These authors contributed equally to this work.

is known as linkage drag (Brinkman & Frey, 1977). Although wild species offer an important potential for improvement, breeders have sometimes refrained from using them because of the severe effect on phenotype of genes introgressed by linkage drag (Young & Tanksley, 1989). To eliminate these undesired genes, backcrossing is commonly used in crop plants (Young & Tanksley, 1989). However, by conventional backcrossing, linkage drag is reduced slowly, with an average introgression size of 20 cm after 10 backcrosses (Naveira & Barbadilla, 1992). Marker assisted selection (MAS) was proposed to reduce the size of introgressions more rapidly and more efficiently (Young & Tanksley, 1989; Hospital, 2001). Theoretical models predict the size of such introgressions after several backcrosses in the presence or absence of selection (Naveira & Barbadilla, 1992). Many important characters have been introgressed in cultivars by backcrossing (Young & Tanksley, 1989). However, despite their potential importance in breeding, the real size of introgressions around selected genes has seldom been measured in cultivated plants.

The resistance gene *Pi33* confers resistance to the rice blast fungus, Magnaporthe grisea, and corresponds to the ACE1 avirulence gene (Berruyer et al., 2003; Böhnert et al., 2004). Pi33 was previously mapped on the short arm of rice chromosome 8 (Berruyer et al., 2003) and then finely mapped within a 0.4 cm between two microsatellite markers (Fig. 1) (E. Ballini et al. unpublished). This region corresponds to 240 kb in the sequenced cultivar Nipponbare and includes a cluster of resistance gene analogues (Fig. 1) (E. Ballini et al. unpublished). The corresponding avirulence gene ACE1 was characterized (Dioh et al., 2000; Böhnert et al., 2004). This gene encodes a large cytoplasmic enzyme (Ace1) involved in secondary metabolism that is specifically expressed in appressoria (Böhnert et al., 2004; Fudal et al., 2006). Pi33 was identified in different rice varieties including IR64 (Berruyer et al., 2003) but not in the related cultivar IR36. Since Pi33 locus has been well characterized using different genetic markers, we have searched for the origin of *Pi33* in IR64 genealogy.

In this study, the phenotypic and molecular characterization of parents from IR64 genealogy for their Pi33 locus and the identification of the possible Pi33 donor parent are described. Varieties or lines involved in IR64 genealogy were screened for the presence of Pi33 using pairs of transgenic avirulent and virulent M. grisea tester isolates. The landrace rice variety Tsai Yuan Chung and two accessions of the wild rice species O. rufipogon were identified as potential sources of resistance. Genotyping and sequencing of the Pi33 locus from O. rufipogon accession IRGC101508 confirmed that this wild rice parent has transmitted its Pi33 resistance allele to IR64. The O. rufipogon introgression was then characterized in IR64 and the related variety IR36, mapped by genotyping and the size of this introgression was measured. This introgression spans over a large region of the short arm of chromosome 8 in both varieties. To our knowledge, this is the first description of such a large alien introgression in rice.

Materials and Methods

Magnaporthe grisea strains and culture

Pairs of avirulent and virulent isogenic strains previously described (Berruyer *et al.*, 2003; Böhnert *et al.*, 2004) were used in this study to detect *Pi33* in rice varieties. The cosmid D31C12 from the avirulent strain 96/0/76 carrying the avirulence gene *ACEI* (Böhnert *et al.*, 2004) was introduced by transformation in *M. grisea* virulent strains PH14, PH19 and 2/0/3. Several avirulent transformants were obtained, and one was selected for each virulent strain. *Magnaporthe grisea* strains were grown for 7–10 d on rice flour agar medium (agar 15 g l⁻¹, rice flour 20 g l⁻¹, yeast extract 2.5 g l⁻¹, penicillin 500 000 IU l⁻¹, pH 6) at 26°C. Conidia were harvested by flooding the plate with 10 ml of sterile distilled water.

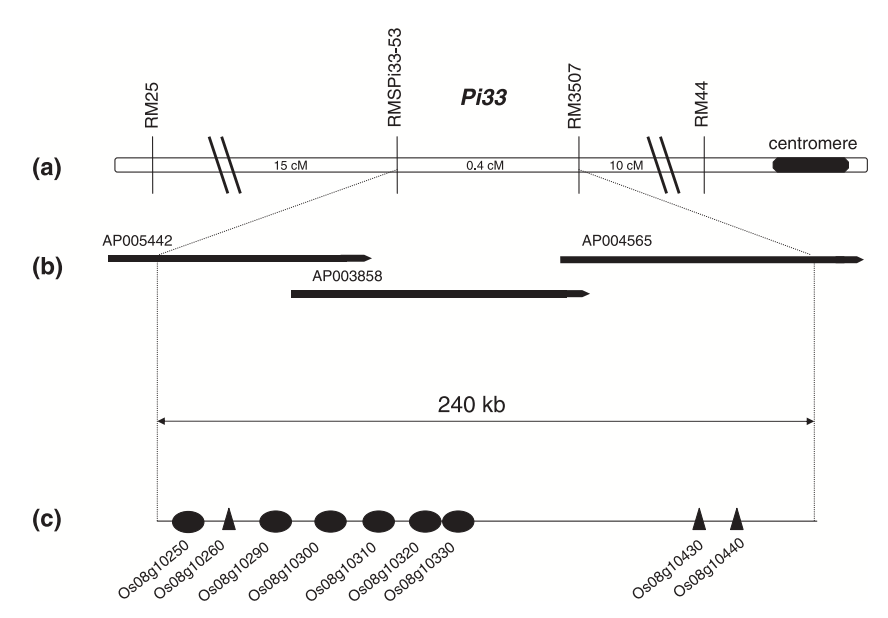


Fig. 1 Genetic and physical map of *Pi33*. (a) High resolution mapping of *Pi33*. Mapping was realized with 750 DH and SSD progeny from the cross IR64 × Azucena. RMx are simple sequence repeats (SSRs) markers used for genetic mapping. Genetic distances between markers are indicated in cM. (b) *In silico* assembly of bacterial artificial chromosome (BAC) clones of Nipponbare across *Pi33* region. (c) *Pi33* cluster of resistance gene analogues. Gene prediction and numbers were obtained from TIGR. LRR-Kinases are represented by black circles and NBS-LRRs by triangles.

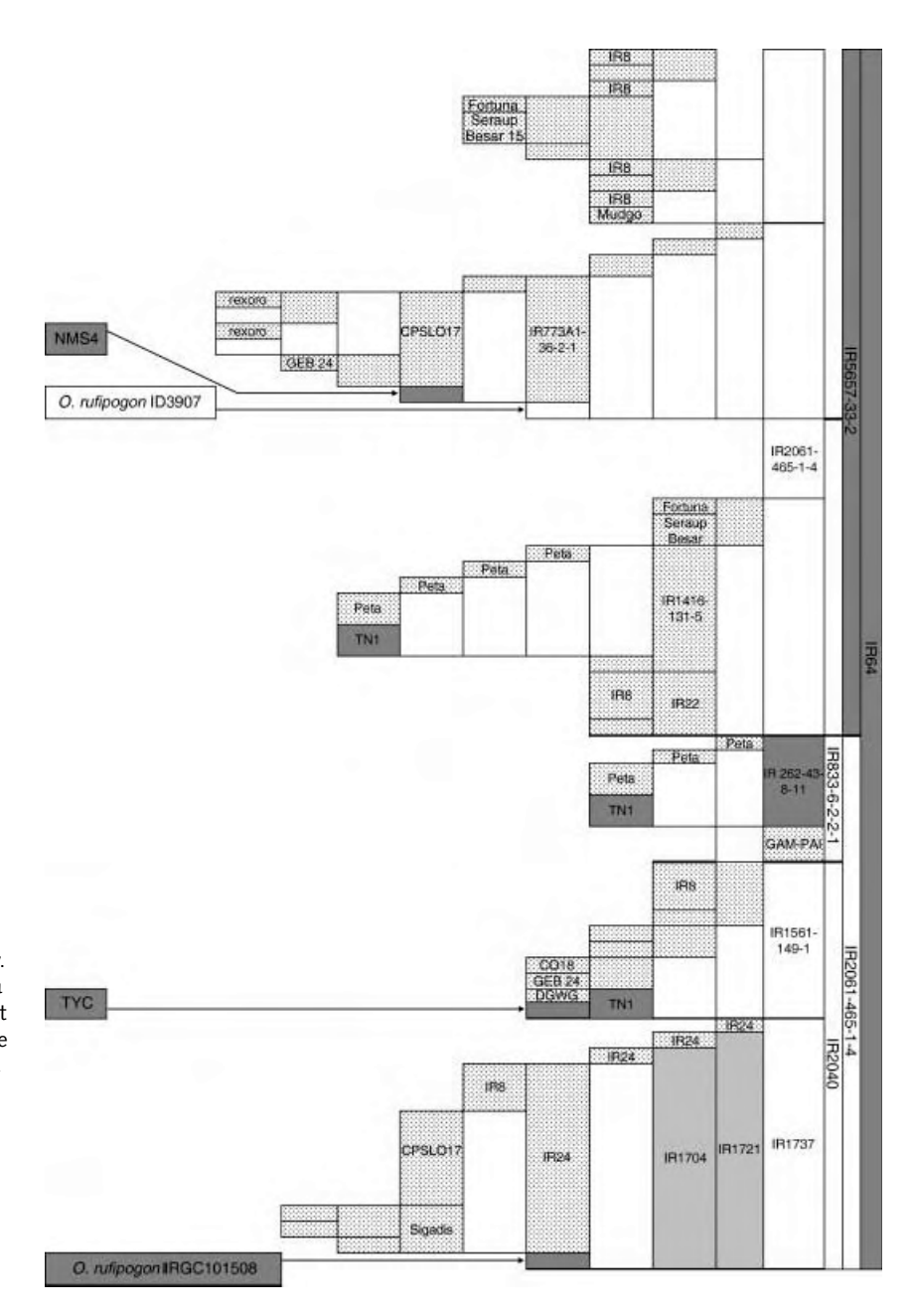


Fig. 2 Detection of *Pi33* in IR64 genealogy. Each box, regardless of its size, represents a variety that was used as a parent for the next generation. Varieties with or without *Pi33* are represented as dark grey and dotted boxes, respectively. Sister lines supposed to carry *Pi33* are light grey. Varieties that were not tested because they were not available are clear. The four initial candidate donors of *Pi33* (Tsai Yuan Chung, TYC; *Oryza rufipogon* IRGC101508, *O. rufipogon* DW561 and Nahng-Mon S4) are indicated on the left.

Rice varieties and lines, rice cultivation and pathogenicity assay

It has been shown previously that IR64 carries the blast resistance gene *Pi33* (Berruyer *et al.*, 2003) whereas IR36 does not (this study). The complex genealogies of IR64 and IR36 were rebuilt using the IRIS database (Figs 2 and 3; http://www.iris.irri.org/). Thirty-eight varieties or lines used in the IR64 breeding scheme were obtained from the Genetic Resources Centre of the International Rice Research Institute (IRRI). They were screened for the presence of *Pi33* with the resistance assay described below (Table 1). Some of the IR64

progenitors were not available. In three cases, sister lines of these progenitors were obtained and tested.

Rice plants were grown in glasshouse or in phytotron at $25 \pm 3^{\circ}$ C), with a relative humidity of 70% and supplemented with light. Methods of rice cultivation and inoculation were as described in Berruyer *et al.* (2003). The resistance gene *Pi33* corresponding to the avirulence gene *ACE1* was identified using pairs of isogenic strains of *M. grisea* differing only in their alleles of the *ACE1* gene (Berruyer *et al.*, 2003; Böhnert *et al.*, 2004). Resistance assays were repeated two or three times. Symptoms were observed 7 d after inoculation and lesion type was scored according to a standard reference scale

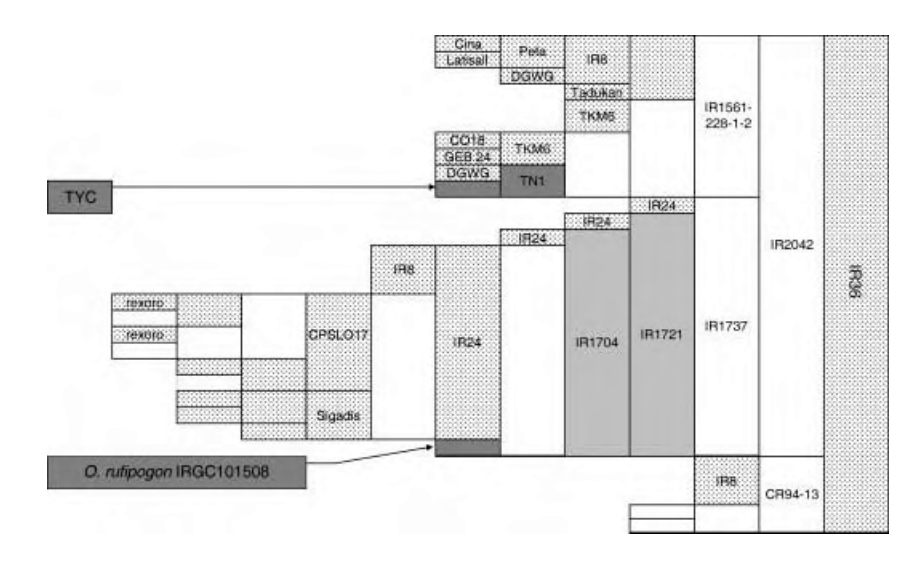


Fig. 3 Detection of *Pi33* in IR36 genealogy. Each box, regardless of its size, represents a variety that was used as a parent for the next generation. Varieties with or without *Pi33* are represented as dark grey and dotted boxes, respectively. Sister lines supposed to carry *Pi33* are light grey. Varieties that were not tested because they were not available are clear. The two candidate donors of *Pi33* (Tsai Yuan Chung, TYC; *Oryza rufipogon* IRGC101508) are given on the left. Although, TYC and *O. rufipogon* IRGC101508 carry the resistance gene *Pi33*, this gene was lost in the progenies of crosses with TYC and *O. rufipogon* IRGC101508.

(Silué et al., 1992). After inoculation of the two isogenic strains, three possible reactions were observed: (1) the rice line was resistant to both strains and no conclusion could be drawn about the presence of *Pi33* (in this case, other pairs of isogenic strain were used); (2) the rice line was susceptible to both strains and thus did not carry *Pi33*; (3) the rice line was susceptible to the untransformed strain and resistant to the transformed strain carrying the avirulence gene *ACE1*. In the last case, it was concluded that the rice line tested carries *Pi33*. It was assumed that since each line derives from a cross between two parents, if one line carries *Pi33*, one of its parents must carry *Pi33*. Once the donor parent is identified, its ancestors can be tested for *Pi33*, and so on, until all the primary varieties used in the pedigree have been checked.

Genotyping of rice varieties

Genomic DNA from the different rice lines or varieties was extracted following the standard protocol used by Berruyer et al. (2003). Twenty-nine simple sequence repeat (SSR) markers (see the Supplementary Material, Table S1) evenly distributed over the short arm of rice chromosome 8 were chosen in the Gramene database (http://www.gramene.org/). Seven additional SSR markers were designed close to the Pi33 locus. Seven additional SSR markers (Table S1) distributed on the other rice chromosomes were chosen among 20 markers that were polymorphic on a set of diverse indica and japonica varieties (data not shown). SSR markers were amplified following published polymerase chain reaction (PCR) protocols (Temnykh et al., 2000). The PCR products were separated by gel electrophoresis using 3% agarose for 2.5 h at 100 V. For each SSR marker, bands of different sizes were interpreted as different alleles and a number was assigned to each allele. Similarity between varieties was calculated using the Sokal and Michener distance (Sokal & Michener, 1958) with multilocus genotypes as input data. In order to visualize the genetic similarity between varieties a dendrogram was constructed using the neighbour joining clustering method. Bootstrap values were calculated with 1000 iterations. All computations and constructions were performed with the DARWIN 4.0 software (Perrier *et al.*, 2003; Perrier & Jacquemoud-Collet, 2005).

The *Pi33* locus was previously mapped to a 240 kb region between markers RMS*Pi33*–53 and RM3507 (Fig. 1) (E. Ballini *et al.* unpublished). In Nipponbare, nine candidate genes (three NBS-LRR and six LRR-kinase) were identified in this genomic region: (TIGR:Os08g10250, TIGR:Os08g10260, TIGR:Os08g10290, TIGR:Os08g10300, TIGR:Os08g10310, TIGR:Os08g10320, TIGR:Os08g10330, TIGR:Os08g10430 and TIGR:Os08g10440). A primer pair was designed for each gene with the PRIMER 3 software (Rozen & Skaletsky, 2000). IR36, IR64, *O. rufipogon* (IRGC101508) and Tsai Yuan Chung (TYC) DNA were amplified following published PCR protocols (Temnykh *et al.*, 2000). The PCR products were then sequenced by Genome express (http://www.genome-express.com). Sequence alignments were made with CLUSTALW (Thompson *et al.*, 1994).

Estimation of the physical size of the introgression

The SSR markers from the short arm of chromosome 8 were mapped on the Nipponbare rice genome sequence. A first estimation of the physical size of the introgression could be done, based on the position of the genetic markers in the *O. sativa* genome. However, because of putative genome reorganization or expansion, the physical distance between two markers could be different in the *O. rufipogon* genome, the donor species of *Pi33*. To address this, the information available on wild rice genomes (OMAP project; http://www.omap.org) was used. Two accessions of *O. rufipogon* are available in the OMAP project: *O. rufipogon* IRGC105491 and *Oryza nivara* (the annual form of *O. rufipogon*) IRGC100897.

Table 1 Presence of the resistance gene Pi33 in varieties used in the breeding process leading to IR64

Variety	IRGC	Source	Origin	Туре	Subspecies	Pi33
Benong	13530	IRRI	Indonesia	IR64 progenitor	Japonica	Absence of Pi33
Bluebonnet	1799	IRRI	USA	IR64 progenitor	Japonica	Absence of Pi33
BPI-121-407	15762	IRRI	Philippines	IR64 progenitor	Indica?	Absence of Pi33
BPI76	39	IRRI	Philippines	IR64 progenitor	Indica	Absence of Pi33
Cina	17435	IRRI	Indonesia	IR64 progenitor	Indica	Absence of Pi33
CO18	6331	IRRI	India	IR64 progenitor	Indica	Absence of Pi33
CPSLO17	76301	IRRI	USA	IR64 progenitor	Indica	Absence of Pi33
Dee-Geo-Woo-General	123	IRRI	Taiwan	IR64 progenitor	Indica	Absence of Pi33
Fortuna	139	IRRI	Taiwan	IR64 progenitor	Japonica	Absence of Pi33
Gam-Pai-30-12-15	831	IRRI	Thailand	IR64 progenitor	Indica	Absence of Pi33
GEB 24	4898	IRRI	India	IR64 progenitor	Indica?	Absence of Pi33
IR1416-131-5	32607	IRRI	Philippines	IR64 progenitor	Indica	Absence of Pi33
IR22	11356	IRRI	Philippines	IR64 progenitor	Indica	Absence of Pi33
IR24	19907	IRRI	Philippines	IR64 progenitor	Indica	Absence of Pi33
IR262-43-8-11	10947	IRRI	Philippines	IR64 progenitor	Indica	Presence of Pi33
IR5657-33-2	7792	IRRI	Philippines	IR64 progenitor	Indica	Presence of Pi33
IR579-48-1-2 (Nilo11)	11371	IRRI	Philippines	IR64 progenitor	Indica	Absence of Pi33
IR773A-1-36-2-1	11374	IRRI	Philippines	IR64 progenitor	Indica	Absence of Pi33
IR8	17	CIRAD	Philippines	IR64 progenitor	Indica	Absence of Pi33
Latisail	4803	IRRI	India	IR64 progenitor	Indica	Absence of Pi33
Mudgo	6663	IRRI	India	IR64 progenitor	Indica	Absence of Pi33
Oryza rufipogon IRGC101508	101508	IRRI	India	IR64 progenitor	Indica	Presence of Pi33
Peta	35	IRRI	Indonesia	IR64 progenitor	Indica	Absence of Pi33
Rexoro	143	IRRI	USA	IR64 progenitor	Indica	Absence of Pi33
Schow Sung	2253	IRRI	Korea	IR64 progenitor	Japonica	Absence of Pi33
Seraup Besar 15	14468	IRRI	Malaysia	IR64 progenitor	Indica	Absence of Pi33
Sigadis	611	IRRI	Indonesia	IR64 progenitor	Indica	Absence of Pi33
SLO 17	637	IRRI	India	IR64 progenitor	Indica	Absence of Pi33
Tadukan	9804	IRRI	Philippines	IR64 progenitor	Indica	Absence of Pi33
Taichung Native 1	105	IRRI	Taiwan	IR64 progenitor	Indica	Presence of Pi33
Tetep	32576	IRRI	Vietnam	IR64 progenitor	Indica	Absence of Pi33
Texas Patna	144	IRRI	USA	IR64 progenitor	Japonica	Absence of Pi33
TKM 6	237	IRRI	India	IR64 progenitor	Indica	Absence of Pi33
Tsai Yuan Chung	126	IRRI	Taiwan	IR64 progenitor	Indica	Presence of Pi33
IR1704-13-3-2	32641	IRRI	Philippines	Sister line of	Cross	Absence of Pi33
				IR64 progenitor		
IR1704-3-2-3	32640	IRRI	Philippines	Sister line of	Cross	Presence of Pi33
	- * · -		la la consession	IR64 progenitor		
IR1721-11-13-25-2-3	32644	IRRI	Philippines	Sister line of	Cross	Presence of Pi33
				IR64 progenitor		
IR1721-11-6-8-3-2	32643	IRRI	Philippines	Sister line of	Cross	Presence of Pi33
			Pp00	IR64 progenitor	T: TT	
IR1737-19-7-8-3	32645	IRRI	Philippines	Sister line of	Cross	Presence of Pi33
				IR64 progenitor		

IRRI, International Rice Research Institute; CIRAD, Centre de Coopération Internationale en Recherche Agronomique pour le Développement.

First, we looked for major reorganization between *O. sativa* and *O. rufipogonl O. nivara* in the genomic region corresponding to the introgression. We considered the order of *O. rufipogon* IRGC105491 and *O. nivara* IRGC100897 bacterial artificial chromosome (BAC) clones either deduced from BAC end sequences anchored on the *O. sativa* genome or deduced from BAC fingerprinting. Second, we tried to identify possible reduction in genome size between *O. sativa* and *O. rufipogonl O. nivara*. The genome size of *O. rufipogon* IRGC105491 and *O. nivara* IRGC100897 provided by the OMAP project was

compared with the *O. sativa* Nipponbare sequence (International Rice Genome Sequencing Project, 2005). Third, we verified that in the particular region studied, there was no major reduction in size between *O. sativa* and *O. rufipogonl O. nivara*. The average density of BAC ends per Mb was calculated using the OMAP data. We counted the number of BAC ends and evaluated the BAC end density in the region corresponding to the introgression (from 4 to 9 Mb of chromosome 8). This was compared with the data on the whole genome provided by the OMAP project.

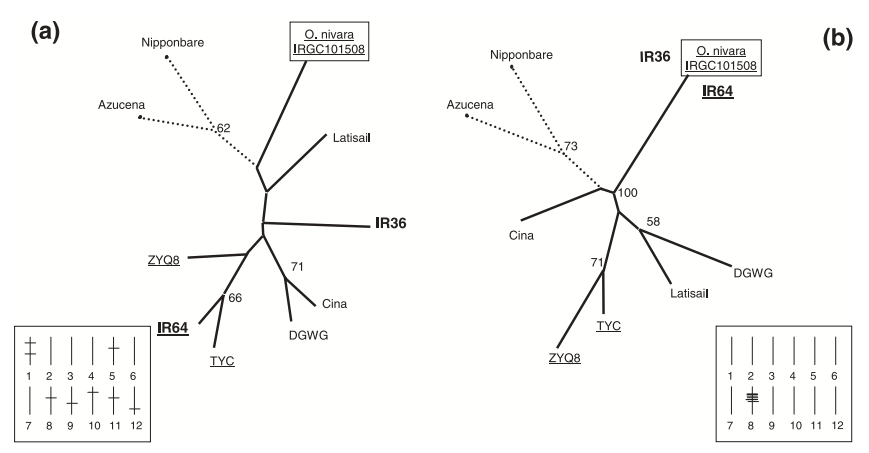


Fig. 4 Genetic relatedness of varieties assessed with (a) markers dispersed on the genome or (b) markers near the *Pi33* locus. The dendrograms on the left and right were constructed, respectively, with eight simple sequence repeat (SSR) markers distributed on the genome and eight SSR markers surrounding the *Pi33* locus. Japonica and indica varieties are at the top of dotted and plain line branches, respectively. The wild rice accession *Oryza rufipogon* IRGC101508 is framed. Varieties with *Pi33* are underlined. Numbers represent the bootstrap values. Position on rice chromosomes of markers used to construct the dendrogram are represented schematically in the boxes below the dendrograms. DGWG, Dee-Geo-Woo-Gen; TYC, Tsai Yuan Chung; ZYQ8, Zhai-Ye-Qing 8.

Results

Three possible sources of the resistance gene *Pi33* in the IR64 genealogy

We analysed the genealogy in the creation of IR64 to identify the original donor of *Pi33* and follow its transmission across the different generations. The presence of *Pi33* in the rice lines or varieties was assessed by resistance assays (see the Materials and Methods section).

The genealogy of IR64 and the results of the resistance assay are summarized in Fig. 2. Some of the IR64 progenitors could not be tested because they were not available from the IRRI germplasm bank. Thirty-eight lines taken from IR64 genealogy were screened. Nine varieties carried Pi33. Four accessions were identified as the potential primary donors of Pi33 in the IR64 genealogy: O. rufipogon DW561, Nahng-Mon S4 (NMS4), O. rufipogon IRGC101508 and the landrace Tsai Yuan Chung (TYC). We were unable to assay the presence of Pi33 in some lines of IR64 genealogy, in particular O. rufipogon DW561, as they were not available. IR64 could have received Pi33 from IR5657-33-2 (Fig. 2) which was shown to carry Pi33. In that case, O. rufipogon DW561, TYC (via IR262-43-8-11 and Taichung Native 1 (TN1)), and O. rufipogon IRGC101508 (via IR1721, and IR1704) are possible original donors. Alternatively, IR64 could have received Pi33 from IR2061-465-1-4 (Fig. 2). We could not test this line directly, but its genealogy indicates that its ancestors carry Pi33. In this case TYC (via IR262-43-8-11 and TN1) and O. rufipogon IRGC101508 (via IR1721, and IR1704) are the possible original donors. NMS4 was discarded as a possible donor of *Pi33* since its progeny, such as IR773 A 1-36-2-1, do not carry Pi33. Conversely, the other three putative parents cannot

be discarded as potential donors, since at least one of their progeny (IR5657-33–2) carries *Pi33*.

In order to identify the original donor of *Pi33*, we genotyped IR64 and the two potential donors available. Since the genomic fragment in IR64 originates from the donor, the genotypes of the donor and of IR64 are expected to be very similar (if not identical) at the *Pi33* locus.

Pi33 was introgressed in IR64 from *O. rufipogon* IRGC101508

The varieties IR64, TYC and O. rufipogon IRGC101508 were genotyped with 16 microsatellite markers either linked to Pi33 (eight markers) or dispersed in the rice genome (eight markers). Two japonica varieties (Azucena and Nipponbare) and six indica varieties were also genotyped with the same markers to assess the level of genetic diversity of each marker. The genotyping results are presented in two dendrograms (Fig. 4). The first dendrogram (Fig. 4a) was constructed with the results of eight SSR markers dispersed in the genome. Related varieties that share the highest number of common markers are grouped on the same branch of the dendrogram. As expected with randomly distributed markers, O. rufipogon, O. sativa japonica and O. sativa indica are clustered as three distinct groups. These results are in agreement with previous classifications of rice varieties (Cheng et al., 2003; Garris et al., 2005). These results also confirm that, if the whole genome is considered, IR64 is genetically closer to the other semidwarf indica varieties than to the O. rufipogon or O. sativa japonica accessions. The second dendrogram (Fig. 4b) was constructed with the results of eight SSR markers linked to Pi33. This dendrogram reflects the genetic similarity of the varieties at the Pi33 locus. The eight SSR markers indicate

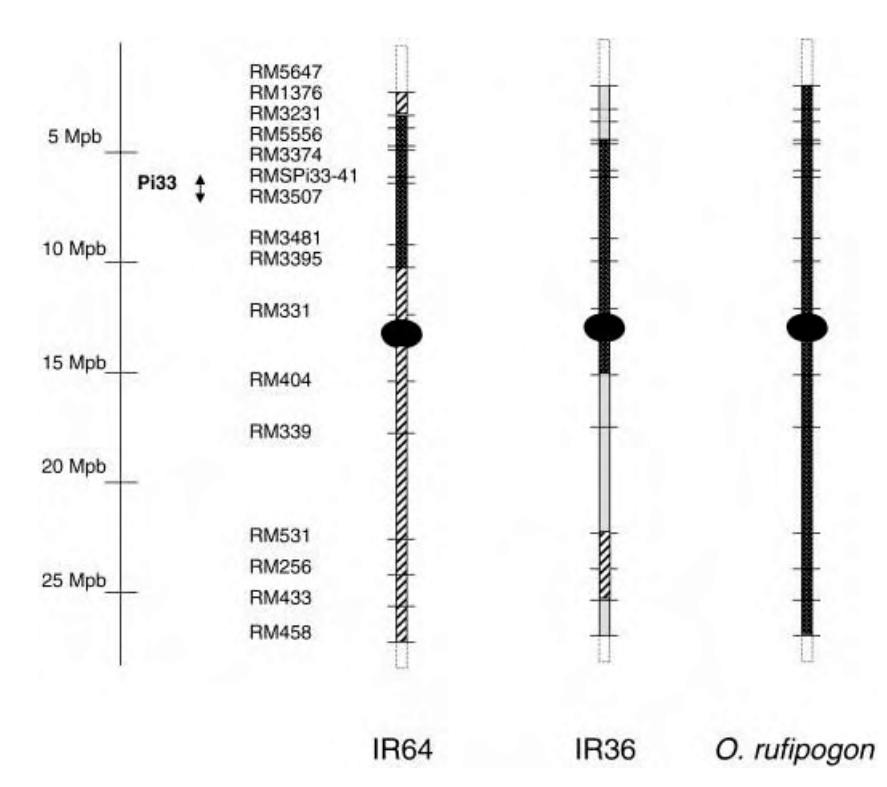


Fig. 5 Origin of chromosome 8 in rice varieties IR36 and IR64. Thirty-seven microsatellite markers (RM) regularly distributed over the chromosome 8 were used between RM5647 and RM458. The clear part (telomeres) was not genotyped. Genomic regions between two markers with an *O. rufipogon* allele are represented by black with white dotted bars. Genomic regions with IR64 and IR36 specific alleles are in striped and grey bars, respectively. Black disk represents the centromere.

that IR64 and IR36 are genetically identical to the potential donor of resistance *O. rufipogon* IRGC101508, whereas they strongly differ from the other potential donor, TYC. These results strongly suggest that *O. rufipogon* IRGC101508 is the original donor of *Pi33* in IR64 genealogy. They also show that IR36, which shares part of its ancestors with IR64 (Figs 2 and 3) but does not carry *Pi33*, has an introgression of *O. rufipogon* IRGC101508 at the *Pi33* locus.

Partial sequences of the nine resistance genes analogues (RGA) clustered at *Pi33* locus were obtained from these varieties, allowing a comparison of 5 kb genomic sequence dispersed on 240 kb (Fig. 1). The sequences from IR64, IR36 and *O. rufipogon* IRGC101508 were identical whereas an average polymorphism of 2% was detected between *Pi33* locus sequences from IR64 and TYC. These data support the hypothesis that *O. rufipogon* IRGC101508 is the parent that has transmitted *Pi33* to IR64. Furthermore, it shows that IR36 has an *O. rufipogon* introgression similar to IR64 at *Pi33* locus, although it does not carry *Pi33*, as determined by inoculation test. This unexpected result suggests that the *Pi33* gene from IR36 has been mutated (susceptible allele) or specifically lost during the breeding process.

IR64 and IR36 contain a large introgression from O. rufipogon IRGC101508

The *O. rufipogon* IRGC101508 introgression was better characterized using 37 additional SSR markers distributed all over the chromosome 8. These markers are polymorphic within

O. sativa species, with an average of five distinguishable alleles per locus. Twenty-two contiguous markers did not show any polymorphism between IR36, IR64 and O. rufipogon IRGC101508, whereas four and five additional markers were not polymorphic either between IR36 and O. rufipogon, or between IR64 and O. rufipogon, respectively. The genotype of TYC at the Pi33 locus was different from IR64 for 26 markers out of the 37 tested. This latter ratio of polymorphic markers is similar to the ratio obtained when two genetically distinct indica lines, such as Cina, Latisail or TYC, are compared. This result supports the conclusion that, Pi33 in IR64 was introgressed from O. rufipogon IRGC101508 rather than from TYC.

Mapping on Nipponbare rice genome sequence shows that the SSR markers for which the O. rufipogon IRGC101508 and IR64 allele is identical are contiguous and span over 7 Mbp. This introgression represents approximately half of the short arm of rice chromosome 8 (Fig. 5). However, owing to genome reorganization or expansion, the physical distance between two markers could be different in the O. rufipogon genome, the donor species of Pi33. To address this question, we used the information available on wild rice genomes (OMAP project; http://www.omap.org; see the Materials and Methods section). Comparing the genomic region corresponding to the introgression, we did not identify major reorganization between O. sativa and O. rufipogon (data not shown). Moreover, the genome size of O. rufipogon accession IRGC105491 and O. nivara accession IRGC100897 provided by the OMAP project are 439 Mb and 448 Mb, respectively. So, at the whole-genome level, these species have larger sizes

than O. sativa (389 Mb). We also verified that in the particular region studied, there was no major reduction in size between O. sativa and O. rufipogon/O. nivara. We evaluated the density of BAC end sequences anchored in the region corresponding to the introgression (from 4 to 9 Mb of chromosome 8). We obtained a density of BAC end sequences of 177.6 and 218.6 for O. rufipogon IRGC105491 and O. nivara IRGC100897, respectively. For O. rufipogon IRGC105491 and O. nivara IRGC100897, 58 778 and 85 864 BAC end sequences have been anchored on the Nipponbare genome sequence. Thus, the average density of BAC ends per Mb of O. sativa sequence is 158.0 and 230.8, respectively. So, the densities estimated for the introgression region are similar to the average density calculated over the whole genome for O. rufipogon IRGC105491 and O. nivara IRGC100897, respectively. Overall, the ratio between the physical distance of syntenic regions between O. sativa and O. rufipogon/O. nivara is not significantly different in the region under study compared with the whole genome. Therefore, the use of the Nipponbare sequence to estimate the physical size of the introgression is likely to give a slight underestimate of the real physical size in O. rufipogon and, consequently, of the introgression in IR64.

The sizes of the introgressions in IR36 and IR64 were slightly different. The introgression in IR36 is between markers RM5556 and RM3374 on one side and markers RM331 and RM404 on the other, which are a minimum size of 7.6 Mbp and a maximum size of 10.7 Mbp. The introgression in IR64 is between markers RM1376 and RM3231 on one side and RM3481 and RM3395 on the other, which are a minimum size of 5.3 Mbp and a maximum size of 7.1 Mbp. The overlapping region between introgressions in the two varieties is 4.5 Mbp. These results suggest that, despite several backcrosses in IR64 and IR36 genealogies, a large introgression of wild rice *O. rufipogon* IRGC101508 was maintained during the breeding process, leading to the creation of these varieties.

Discussion

It was shown that *O. rufipogon* IRGC101508 is the donor of the resistance gene *Pi33* in IR64. We have also identified a strong genetic similarity between IR64 and *O. rufipogon* IRGC101508 over the 240 kb of *Pi33* locus (identical SSRs and absence of sequence polymorphism over a total of 5 kb). This contrasts with the average 2% polymorphism observed between *O. sativa* indica variety TYC and *O. rufipogon*. Other resistance genes to bacterial blight (*Xa21* from *O. longistaminata*, *Xa23* from *O. rufipogon* and *Xa27* from *O. minuta*) and blast disease (*Pi9* from *O. minuta*) have been introgressed from different wild rice species into cultivated rice (Brar & Khush, 1997; Zhang *et al.*, 1998; Gu *et al.*, 2004). These genes have been maintained during the domestication process, and are likely to have coevolved for a long time with the corresponding avirulence genes in the pathogen. The study of the origin and

diversity of such genes might bring new insights into resistance durability.

We have also identified an introgression of at least 5.3 Mbp and 7.6 Mbp of O. rufipogon IRGC101508 wild rice in the cultivated rice varieties IR64 and IR36, respectively. Such a large introgression is not expected because, in crosses between wild and cultivated species, the size of introgressions could be restricted by recombination deficiency. However, limited recombination probably depends more on genetic similarity than on the fact that crosses are intraspecific or interspecific. The recombination in tomato around the *Tm2* and *Mi* resistance genes between intraspecific and interspecific crosses of Lycopersicum was compared by Ganal & Tanksley (1996). They concluded that it is not possible to state that, in general, intraspecific crosses have more recombination than interspecific ones. It was shown by Brar & Khush (1997) that, in rice, in crosses between cultivated rice and relatively distant wild species, the introgressed fragment was probably reduced because of a lack of recombination between the two genomes. In particular, rapid elimination of the wild species genomes was shown in crosses between wild species with genomes C, E, F and G and O. sativa (genome AA). However, rapid reduction of the size of introgressions is expected at a slower rate in crosses between O. rufipogon and O. sativa, because both species share AA genome. Indeed, interspecific crosses with AA genome occur at a variable efficiency and chromosome pairing can be variable.

Statistically, the maintenance of such a large introgression can be explained as a result of selection. Indeed, in the absence of selection, the genome of the initial donor after four backcrosses is expected to be randomly distributed and to account for 3% of the genome. This proportion falls to 0.8% after six backcrosses. In the genealogy of IR64, O. rufipogon IRGC101508 was crossed with IR24, and then the progeny were backcrossed three times with IR24. This was followed by three additional crosses with other lines. Thus, the probability of having maintained, only by chance, more than 25% of the rice chromosome 8 from O. rufipogon IRGC101508 after six crosses is very low. So, we must consider that, at least, one O. rufipogon favourable allele of a gene located on the short arm of chromosome 8 was selected. In this case, such a large introgression is in agreement with the predicted size after six crosses (Naveira & Barbadilla, 1992). This phenomenon was described by Brinkman & Frey (1977) as 'linkage drag'. Through conventional backcrossing, linkage drag is reduced slowly with an average introgression size of 20 cm after 10 backcrosses (Naveira & Barbadilla, 1992). Both IR64 and IR36 were created in order to obtain semidwarf indica varieties resistant to several diseases and pests. One of the main objectives was to introduce resistance to the grassy stunt virus and to its parasitic insect vector, the brown plant hopper (Nilapavarta lugens, BPH). The O. rufipogon IRGC101508 wild rice has been used as a source of resistance to BPH. The resistance gene Gsv to the grassy stunt virus (Khush & Ling, 1974) has been introduced from O. rufipogon, but its chromosome location is

unknown (G. Khush, pers. comm.). Although IR64 has the resistance gene BPH1 as well as other genes for partial resistance to BPH, to date, no resistance gene or quantitative trait loci (QTL) have been detected on the short arm of chromosome 8 in IR64 (Alam & Cohen, 1998). Therefore BPH resistance does not seem to have played a role in maintaining an introgression of O. rufipogon IRGC101508 on chromosome 8 by linkage drag. Resistance to blast was also selected during the breeding process leading to IR36 and IR64. So, Pi33, which is located in the middle of the introgression in IR64, could be responsible for maintaining the introgression in IR64. This explanation does not work for IR36 which, based on its phenotype, does not express resistance to ACE1 avirulent strains. Only one other resistance quantitative trait locus to blast has been described in IR64 on the short arm of chromosome 8 (Pi29(t); Sallaud et al., 2003). Other resistance genes to blast have been mapped in this region in other varieties (Pi11 = PiZh Zhu et al., 1993; Pi36(t) Liu et al., 2005). In the genome sequence of Nipponbare corresponding to the short arm of chromosome 8, apart from the Pi33 locus, at least 27 candidate genes can be identified. Altogether, these resistance genes to blast are dispersed over the short arm of chromosome 8, and might be responsible for maintaining an introgression under selection pressure. Of course, resistance to blast is not the only trait that might have been selected. In the overlapping genomic region of IR36 and IR64 introgressions, 874 genes are predicted from the Nipponbare sequence (Gene search tool of OryGenesDB; Droc et al., 2006; http:// orygenesdb.cines.fr applied on TIGR annotation). When transposon, retrotransposon, and genes coding for putative protein with unknown functions are removed from this list, the 185 remaining putative genes encode for more than 100 different potential functions. Since selection on a single gene could explain our results, any gene contributing to a selected traits and localized in the region introgressed from O. rufipogon IRGC101508 could be responsible for maintaining such a large introgression.

The relative importance and origin of introgressions in varieties of cultivated plants is poorly documented. To our knowledge, this is the first report of such a large introgression in a cultivated variety of rice. Moreover, this phenomenon has rarely been described in cereals. Even if we extend to dicots, examples of large introgressions of wild species in cultivated varieties are limited. In tomato, several commercial varieties have been genotyped by restriction fragment length polymorphism (RFLP) in order to identify the size of the fragments introgressed during various programmes of selection of the Tm-2 tomato mosaic virus resistance gene (Young & Tanksley, 1989). These authors found that in one particular variety, an introgression of 51 cm was maintained after 11 backcrosses. This introgressed fragment represented the entire short arm of tomato chromosome 9. In soybean, the origin of introgressed fragments in a commercial cultivar was investigated (Sharpe & Lydiate, 2003). The cultivar studied had been obtained by a cross followed by pedigree selection. In this cultivar, some introgressions linked, or not, to the selected trait were detected. Some of these introgressions seemed relatively large but the exact size was not determined. So, experimental data on the physical size of introgressions in cultivated plants after breeding remains to be documented.

Both IR36 and IR64 are expected to share the same alleles at all loci in the introgressed fragment. The introgression largely spans over Pi33 locus. Therefore, IR36 and IR64 are expected to have the same phenotype for Pi33. However, we showed that IR36 is not resistant to isolates carrying the Ace1 avirulence allele, whereas IR64 is. This unexpected result could be explained by either a suppressor gene or a mutation in IR36. For example, suppressors of specific resistance genes to fungal (Rcr3/Cf2) and nematode (RmelMi) species have been reported in tomato (Martin et al., 2003). Suppressors of specific resistance to leaf and stem rust (Lr34; Kerber & Aung, 1999; Knott, 2000) and powdery mildew (Pm8 and Pm17; Zeller & Hsam, 1996) have also been reported in wheat. Analysing the progeny of a cross between IR36 and a susceptible variety is needed to test this hypothesis. If the alternative hypothesis of a mutation is true, then detecting this mutation might be a way to identify Pi33 among the candidate genes identified at the locus.

Conclusions

In rice, wild species have been used as sources of resistance to pests and diseases. In crosses between different species and in the absence of selection, wild rice genome introgressions are expected to be small. Here we show that a large introgression from wild rice in a cultivated variety of rice was maintained, despite several backcrosses. Such a large introgression is likely to have been maintained during backcrossing only if a selection pressure was exerted on this genomic region. The blast resistance gene *Pi33* might have been selected during the breeding process leading to IR64, although linkage drag due to the selection of other genes in the vicinity cannot be excluded.

Acknowledgements

We thank Henri Adreit, Amandine Bordat, Julien Frouin, and Joëlle Milazzo for their excellent technical assistance. We also thank Olivier Panaud for encouraging us to study the *Pi33* introgression in detail and for reviewing the manuscript. Many thanks to Rod Wing and Jose Luis Goicoechea for providing us with information on the physical maps of wild rice species. We are grateful to Dr Darshan Brar for the fruitful discussions about our results. We thank Dr Gurdev Khush for providing information on the varieties. We thank the Genetic Resources Centre of IRRI for providing most of the rice varieties used in this study. E.B. and R.B. were supported by grants from CIRAD and from the French Ministry of Education and Research.

References

- Alam SN, Cohen MB. 1998. Detection and analysis of QTLs for resistance to the brown planthopper, *Nilaparvata lugens*, in a doubled-haploid rice population. *Theoretical and Applied Genetics* 97: 1370–1379.
- Berruyer R, Adreit H, Milazzo J, Gaillard S, Berger A, Dioh W, Lebrun MH, Tharreau D. 2003. Identification and fine mapping of *Pi33*, the rice resistance gene corresponding to the *Magnaporthe grisea* avirulence gene ACE1. *Theoretical and Applied Genetics* 107: 1139–1147.
- Böhnert HU, Fudal I, Dioh W, Tharreau D, Notteghem J-L, Lebrun M-H. 2004. A putative polyketide synthase/peptide synthetase from *Magnaporthe grisea* signals pathogen attack to resistant rice. *Plant Cell* 16: 2499–2513.
- Brar DS, Khush GS. 1997. Alien introgression in rice. *Plant Molecular and Biology* 35: 35–47.
- Brinkman MA, Frey KJ. 1977. Yield component analysis of oat isolines that produce different grain yields. *Crop Science* 17: 165–168.
- Chen X, Temnykh S, Xu Y, Cho YG, McCouch SR. 1997. Development of a microsatellite framework map providing genome-wide coverage in rice. Oryza sativa L.). Theoretical and Applied Genetics 95: 553–567.
- Cheng C, Motohashi R, Tsuchimoto S, Fukuta Y, Ohtsubo H, Ohtsubo E. 2003. Polyphyletic origin of cultivated rice: based on the interspersion pattern of SINEs. *Molecular Biology and Evolution* 20: 67–75.
- Dioh W, Notteghem JL, Orbach M, Lebrun MH. 2000. Mapping of avirulence genes in the rice blast fungus, *Magnaporthe grisea*, with RFLP and RAPD markers. *Molecular Plant–Microbe Interaction* 13: 217–227.
- Droc G, Ruiz M, Larmande P, Pereira A, Piffanelli P, Morel JB, Dievart A, Courtois B, Guiderdoni E, Perin C. 2006. OryGenesDB: a database for rice reverse genetics. *Nucleic Acids Research* 34 (Database issue): D736–740.
- Fudal I, Collemare J, Böhnert HU, Melayah D, Lebrun MH. 2006. Expression of M. grisea avirulence gene ACE1 is connected to the initiation of appressorium mediated penetration. Eukaryotic Cell 6: 546–554.
- Ganal MW, Tanksley SD. 1996. Recombination around the *Tm2a* and *Mi* resistance genes in different crosses of *Lycopersicon peruvianum*. *Theoretical and Applied Genetics* 92: 101–108.
- Garris A, Tai T, Coburn J, Kresovich S, McCouch SR. 2005.
 Genetic structure and diversity in *Oryza sativa* L. *Genetics* 169: 1631–1638.
- Gu K, Tian D, Yang F, Wu L, Sreekala C, Wang D, Wang GL, Yin Z. 2004. High-resolution genetic mapping of *Xa27* (t), a new bacterial blight resistance gene in rice, *Oryza sativa* L. *Theoretical and Applied Genetics* 108:
- Hospital F. 2001. Size of donor chromosome segments around introgressed loci and reduction of linkage drag in marker-assisted backcross programs. *Genetics* **158**: 1363–1379.
- International Rice Genome Sequencing Project. 2005. The map-based sequence of the rice genome. *Nature* 436: 793–800.
- Kerber ER, Aung T. 1999. Leaf rust resistance gene *Lr34* associated with nonsuppression of stem rust resistance in the wheat cultivar Canthatch. *Phytopathology* 89: 518–521.
- Khush GS. 2001. Green revolution: the way forward. *Nature Reviews Genetics* 2: 815–822.
- Khush GS. 2005. What it will take to feed 5.0 billion rice consumers in 2030. Plant Molecular Biology 59: 1–6.
- Khush GS, Ling KC. 1974. Inheritance of resistance to grassy stunt virus and its vector in rice. *Journal of Heredity* 65: 134–136.
- Knott DR. 2000. Inheritance of resistance to stem rust in Medea durum wheat and the role of suppressors. *Crop Science* 40: 98–102.
- Liu XQ, Wang L, Chen S, Lin F, Pan QH. 2005. Genetic and physical mapping of *Pi36(t)*, a novel rice blast resistance gene located on rice chromosome 8. *Molecular Genetics and Genomics* 274: 394–401.

- Martin GB, Bogdanove AJ, Sessa G. 2003. Understanding the functions of plant disease resistance proteins. *Annual Review of Plant Biology* 54: 23–61.
- McCouch SR, Teytelman L, Xu Y, Lobos KB, Clare K, Walton M, Fu B, Maghirang R, Li Z, Xing Y, Zhang Q, Kono I, Yano M, Fjellstrom R, DeClerck G, Schneider D, Cartinhour S, Ware D, Stein L. 2002. Development and mapping of 2240 new SSR markers for rice (Oryza sativa L.). DNA Research 9: 199–207.
- Naveira H, Barbadilla A. 1992. The theoretical distribution of lengths of intact chromosome segments around a locus held heterozygous with backcrossing in a diploid species. *Genetics* 130: 205–209.
- Oka HL, Wang WT. 1962. Rice varieties intermediate between wild and cultivated forms and the origin of the japonica type. *Botanical Bulletin of Academia Sinica* 3: 109–131.
- Perrier X, Flori A, Bonnot F. 2003. Data analysis methods. In: Hamon P, Seguin M, Perrier X, Glaszmann JC, eds. Genetic diversity of cultivated tropical plants. Enfield, NH, USA: Science Publishers, 43–76.
- Perrier X, Jacquemoud-Collet JP. 2005. *User's Manual for Darwin 5.0.* (http://darwin.cirad.fr/darwin/index.html)
- Rozen S, Skaletsky H. 2000. Primer3 on the WWW for general users and for biologist programmers. *Methods in Molecular Biology* 132: 365–386.
- Sallaud C, Lorieux M, Roumen E, Tharreau D, Berruyer R, Svestasrani P, Garsmeur O, Ghesquiere A, Notteghem JL. 2003. Identification of five new blast resistance genes in the highly blast-resistant rice variety IR64 using a QTL mapping strategy. *Theoretical and Applied Genetics* 106: 794– 803.
- Sharpe AG, Lydiate DJ. 2003. Mapping the mosaic of ancestral genotypes in a cultivar of oilseed rape. *Brassica napus*. selected via pedigree breeding. *Genome* 46: 461–468.
- Silué D, Tharreau D, Nottéghem J-L. 1992. Identification of Magnaporthe grisea avirulence genes to seven rice cultivars. Phytopathology 82: 1462– 1467.
- Sokal RR, Michener CD. 1958. A statistical method for evaluating systematic relationships. *University of Kansas Scientific Bulletin* 38: 1409–1438.
- Temnykh S, William DP, Nicola A, Sam C, Hauck N, Lipovich L, Cho YG, Ishii T, McCouch SR. 2000. Mapping and genome organization of microsatellite sequences in rice (*Oryza sativa* L.). *Theoretical and Applied Genetics* 100: 697–712.
- Temnykh S, DeClerck G, Lukashova A, Lipovich L, Cartinhour S, McCouch S. 2001. Computational and experimental analysis of microsatellites in rice (*Oryza sativa* L.): frequency, length variation, transposon associations, and genetic marker potential. *Genome Research* 11: 1441–1452
- Thompson JD, Higgins TJ, Gibson TJ. 1994. CLUSTAL W: improving the sensitivity of progressive multiple sequence alignment through sequence weighting, position-specific gap penalties and weight matrix choice. *Nucleic Acids Research* 22: 4673–4680.
- Young ND, Tanksley SD. 1989. RFLP analysis of the size of chromosomal segments retained around the *Tm-2* locus of tomato during backcross breeding. *Theoretical and Applied Genetics* 77: 353–359.
- Zeller FJ, Hsam SLK. 1996. Chromosomal location of a gene suppressing powdery mildew resistance genes *Pm8* and *Pm17* in common wheat (*Triticum aestivum* L. Em. Thell.). *Theoretical and Applied Genetics* 93: 38–40
- Zhang QS, Lin C, Zhao CL, Wang CL, Yang WC, Zhou YL, Li DY, Chen CB, Zhu LH. 1998. Identification and tagging a new gene for resistance to bacterial blight (*Xanthomonas oryzae* pv *oryzae*) from O. rufipogon. Rice Genetics Newsletter 15: 138–142.
- Zhu L-H, Chen Y, Xu Y-B, Xu J-C, Cai H-W, Ling Z-Z. 1993.
 Construction of a molecular map of rice and gene mapping using a double haploid population of a cross between Indica and Japonica varieties. *Rice Genetics Newsletter* 10: 132–135.

Supplementary Material

The following supplementary material is available for this article online:

Table S1 Marker used for genotyping and mapping of the introgression. Twenty-nine Simple Sequence Repeat (SSR) markers regularly distributed over the short arm of rice chromosome 8 and 7 SSR markers distributed on other chromosomes were chosen in the Gramene database (http://www.gramene.org/) (Chen *et al.*, 1997; Temnykh *et al.*, 2000,

2001; McCouch *et al.*, 2002). Seven additional SSR markers were designed close to the *Pi33* locus.

This material is available as part of the online article from: http://www.blackwell-synergy.com/doi/abs/10.1111/j.1469-8137.2007.02105.x

Please note: Blackwell Publishing are not responsible for the content or functionality of any supplementary materials supplied by the authors. Any queries (other than missing material) should be directed to the *New Phytologist* Central Office.

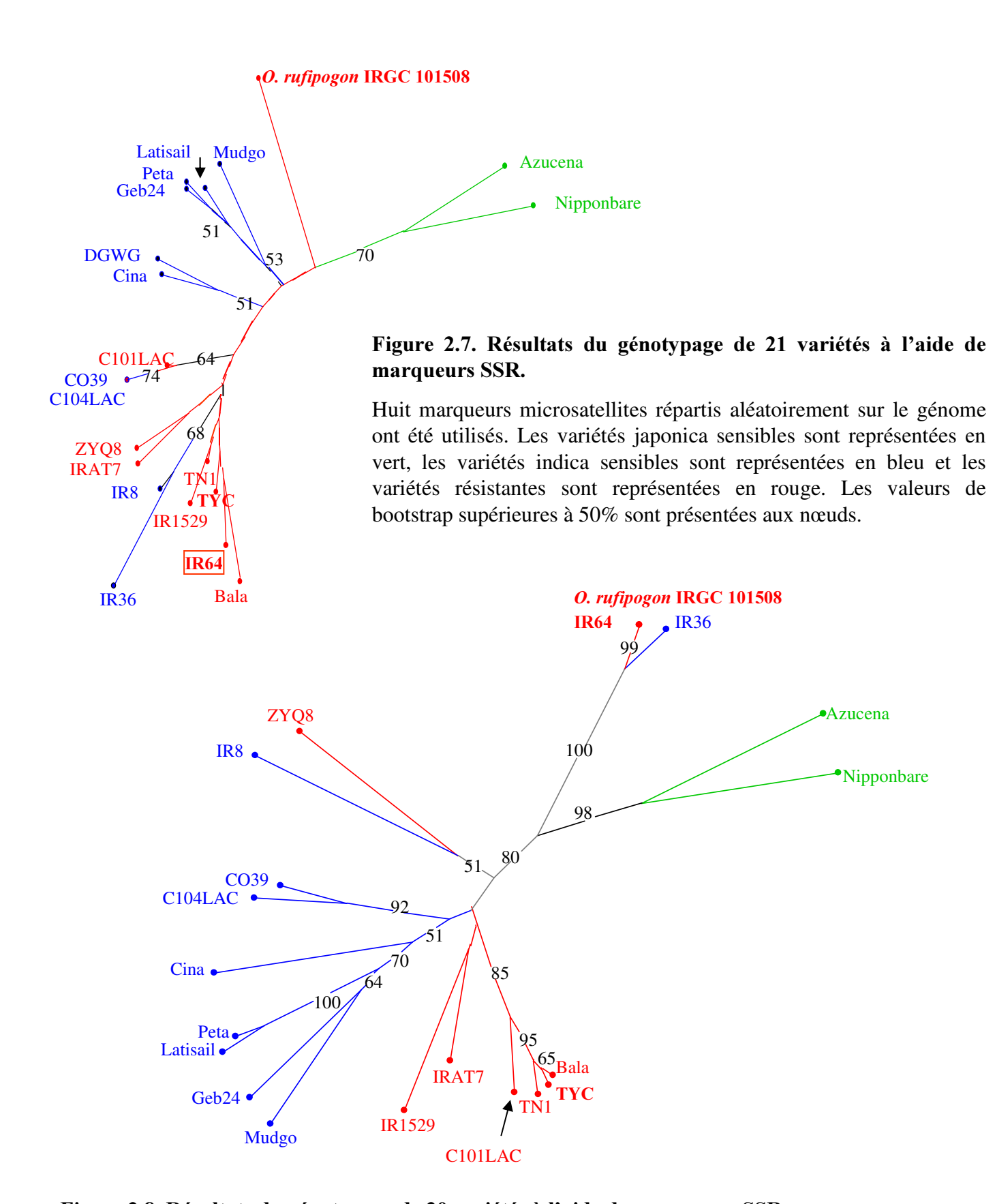


Figure 2.8. Résultats du génotypage de 20 variétés à l'aide de marqueurs SSR.

L'arbre a été construit à partir des résultats de génotypage sur 27 marqueurs microsatellites répartis entre RM3231 et RM3481 sur 5,3 Mbp du bras court du chromosome 8.

Les variétés japonica sensibles sont représentées en vert, les variétés indica sensibles sont représentées en bleu et les variétés résistantes sont représentées en rouge. Les valeurs de bootstrap supérieures à 50% sont présentées aux nœuds.

II.3 Distribution et Origine de Pi33

Notre objectif était tout d'abord de mettre en évidence les sources de résistance utilisées par les sélectionneurs pour incorporer *Pi33* dans les variétés modernes. Dans un second temps, notre objectif était de déterminer l'origine de *Pi33* et d'étudier la structuration du gène dans les deux principales sous-espèces de riz *Oryza sativa japonica* et *Oryza sativa indica* ainsi que dans quelques espèces de riz sauvages.

II.3.1 Résultats

a Sources de Pi33 dans les variétés améliorées.

Le génotypage de 10 lignées au niveau du locus de Pi33 a été complété avec des marqueurs microsatellites et comparé à un génotypage sur l'ensemble du génome. Ces résultats, corroborent l'origine multiple de Pi33 (Ballini et al., 2007) : une source « sauvage » avec l'accession Oryza rufipogon IRGC101508, une source indica avec la variété traditionnelle Tsai Yuan Chung (TYC) et probablement d'autres sources de types indicas qui n'ont pas pu être identifiées. Ces données ont été confirmées en utilisant un plus grand nombre de variétés qui ont également été génotypées au locus Pi33 et sur l'ensemble du génome. Ces résultats sont présentés sous forme d'arbres (Figure 2.7 et Figure 2.8). L'arbre réalisé à partir des marqueurs répartis sur l'ensemble du génome reflète les données de structuration de l'espèce (Garris et al., 2005) (Figure 2.7). Comme attendu, l'espèce sauvage O. rufipogon enracine l'arbre et les variétés de l'espèce O. sativa se répartissent selon les deux sous-espèces indica et japonica. Au sein du groupe indica deux groupes se détachent : un groupe de variétés traditionnelles (Mudgo à Cina) et un groupe de variétés modernes de type indica-demi nain (C101LAC à Bala). Par contre, lorsque les marqueurs situés sur le bras court du chromosome 8 autour du locus Pi33 sont considérés, la structuration est différente (Figure 2.8). Les variétés résistantes se séparent en trois principaux groupes : l'haplotype O. rufipogon IRGC 101508, l'haplotype ZYQ8 et l'haplotype TYC. Au sein de l'haplotype TYC les valeurs de bootstrap permettent de distinguer plusieurs autres haplotypes : C101LAC et IR1529. Ce résultat confirme que TYC est le donneur de résistance pour les variétés Bala et TN1 qui possèdent toutes les deux TYC dans leurs généalogies. Par contre, ces résultats laissent penser que la source de la résistance pour les variétés ZYQ8, C101LAC et IR1529 pourrait être une autre variété que TYC, probablement de type indica.

L'utilisation de la source sauvage pour introgresser *Pi33* dans la variété IR64 a ensuite été confirmée par des marqueurs microsatellites situés sur le bras court du chromosome 8 autour du locus *Pi33* (Annexe 5). Ce génotypage met en évidence une introgression de 5,3 à 7,1 Mbp de

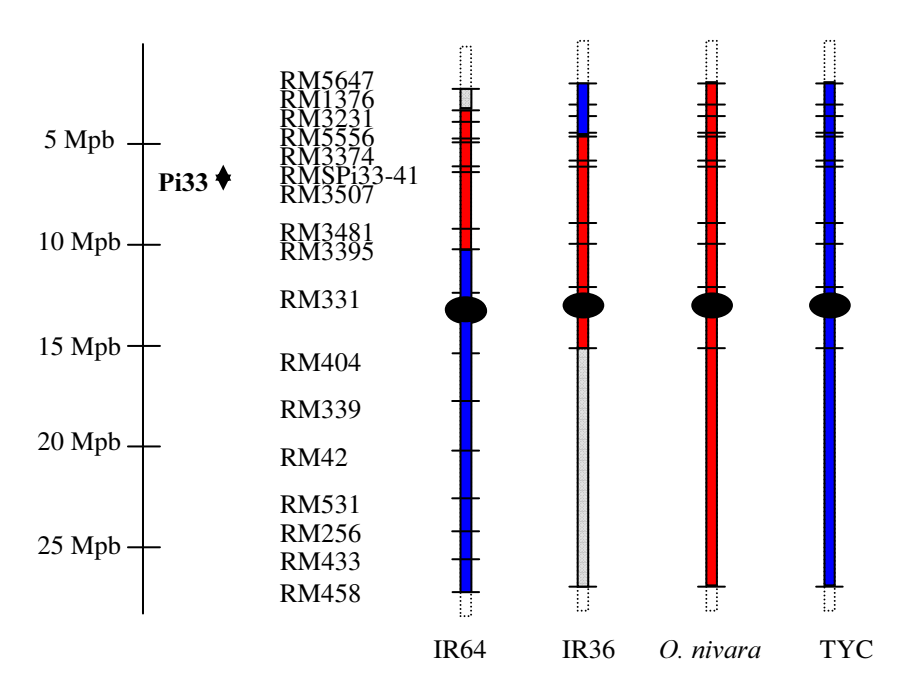


Figure 2.9. Origine du bras court du chromosome 8 dans quatre variétés de riz.

32 marqueurs microsatellites ont été testés entre RM5647 et RM458. La partie en blanc (télomère) n'a pas été génotypée. L'introgression de *O. rufipogon* est en rouge. En bleu introgression de TYC. En gris divers génotypes.

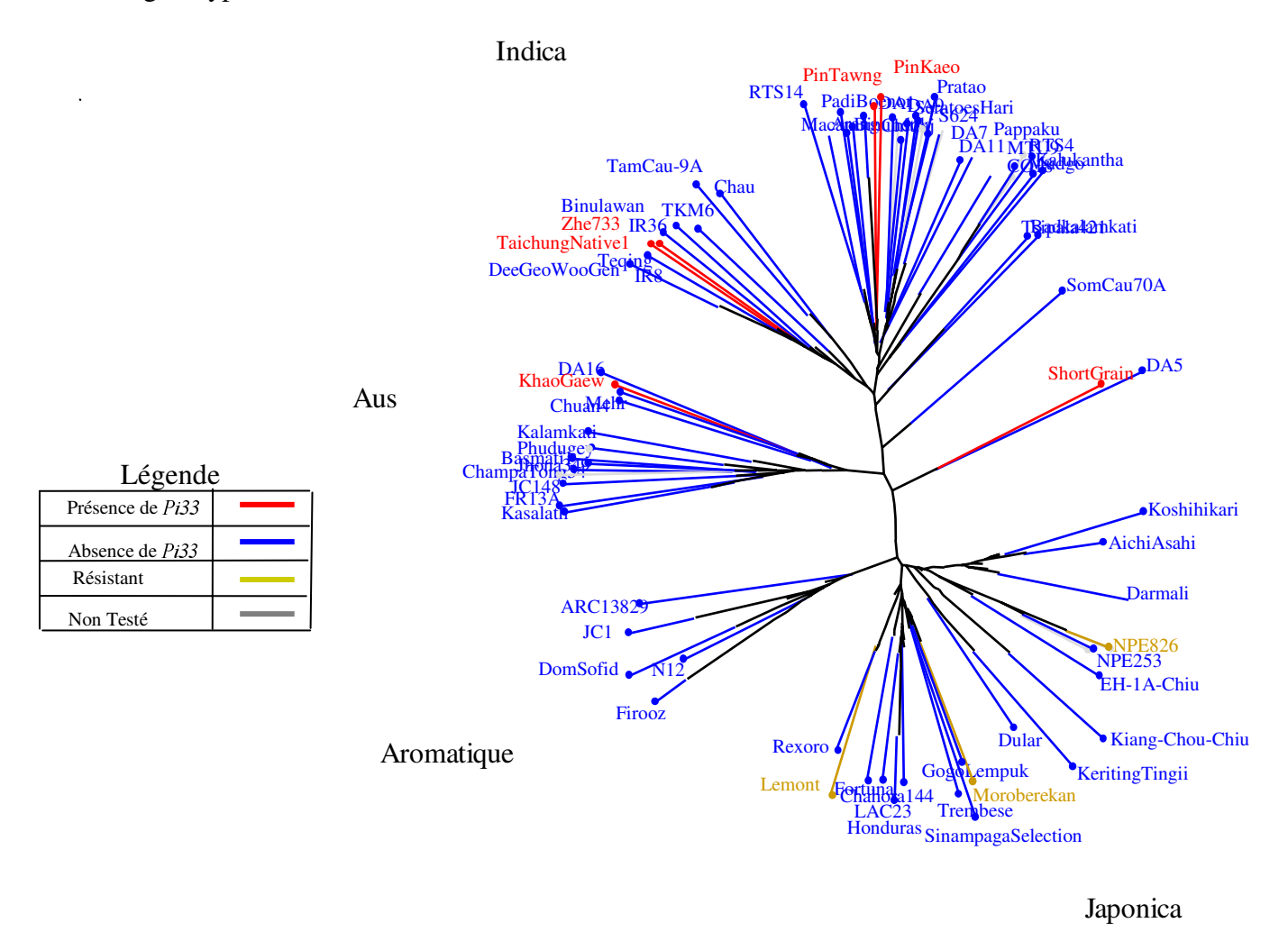


Figure 2.10. Arbre de répartition des données de la core-collection d'Oryza sativa.

l'accession de riz sauvage O. rufipogon IRGC101508 (Ballini et al., 2007) chez la variété IR64 (Figure 2.9). Ainsi TYC ne serait pas la source de la résistance pour la variété IR64.

L'étude sur l'origine de *Pi33* dans la variété IR64 a révélé la présence de ce gène dans l'espèce sauvage *O. rufipogon*, considérée comme l'espèce ancestrale du riz cultivé *O sativa*. Ce résultat amène des questions sur l'origine «phylogénétique» de *Pi33*. Deux hypothèses peuvent être envisagées :

- le gène de résistance serait apparu chez l'espèce *O. sativa* et aurait été transféré à l'espèce sauvage lors d'allofécondations (phénomène connu entre ces deux espèces).
- ou *Pi33* aurait une origine relativement ancienne, et aurait été maintenu après la spéciation (1-2 millions d'années) et lors de la domestication.

Ce premier échantillon était relativement restreint (21 accessions) et ne comportait qu'une seule accession sauvage. Un échantillon plus large, comportant des variétés améliorées indica demi-naines mais aussi d'autres variétés notamment de type japonica, a donc été utilisé pour étudier la distribution de *Pi33* au sein des *Oryza sativa*. Cet échantillon a également servi à l'analyse de la distribution de *Pi33* au sein des espèces sauvages afin de corroborer nos hypothèses.

b <u>Distribution de Pi33 au sein de l'espèce Oryza sativa</u>

Un échantillon de 211 variétés a été testé (Annexe 3). Cet échantillon a été construit afin d'être représentatif de la diversité de l'espèce. En effet, une partie de ces 211 lignées avait été génotypée à l'aide de marqueurs neutres répartis sur le génome (Garris et al., 2005) et ainsi classée dans les différents groupes de riz cultivés connus. Le critère de sélection de ces variétés s'appuie sur des données préliminaires (JL Notteghem, communication personnelle) selon lesquelles ces variétés seraient toutes sensibles vis-à-vis de la souche multi-virulente CM28. Nous disposons d'une souche isogénique de CM28 qui possède ACE1, ce qui permet de mettre en évidence un allèle de résistance de Pi33 par un test de résistance. Afin de simplifier la rédaction, je parlerai dans ce paragraphe de fréquence de Pi33 en sous entendant la fréquence de la reconnaissance de ACE1 par un allèle de résistance de Pi33. Cette fréquence pourra alors regrouper différents allèles de Pi33. Pour les variétés préalablement génotypées avec des marqueurs neutres répartis sur le génome (Garris et al. 2005), les résultats sont présentés sous la forme d'un arbre (Figure 2.10). Cette figure, permet d'illustrer la répartition uniforme de notre échantillon au sein des cinq sousgroupes de riz cultivés. Seulement cinq variétés présentant un phénotype de résistance vis-à-vis d'ACE1 ont été identifiées. Elles se répartissent entre les sous-espèces Aus et indica. Malgré, la pré-sélection de génotypes sensibles, trois variétés se sont avérées résistantes à la souche CM28. La détection de Pi33 chez ces variétés n'a donc pas été possible. Cette différence est

			Résistant aux 2	Présence	Absence	Total	Total	Fréquence
Espèce	Sous-espèce	Génome	souches	de <i>Pi33</i>	de <i>Pi33</i>	testé	exploitable	Pi33
O. barthii		AA	5	1	1	7	2	50.0%
O. glaberrima		AA	9	0	24	33	24	0.0%
O. glumaepatula		AA	3	0	6	9	6	0.0%
O. granulata		AA	0	0	1	1	1	0.0%
O. longistaminata		AA	0	0	4	4	4	0.0%
O. meridionalis		AA	3	1	5	9	6	16.7%
O. rufipogon		AA	0	3	9	12	12	25.0%
O. sativa	Aus	AA	0	1	10	11	11	9.1%
O. sativa	Aromatic	AA	0	0	6	6	6	0.0%
O. sativa	Indica	AA	0	28	110	138	138	20.3%
O. sativa	Japonica	AA	0	0	48	51	48	0.0%
O. sativa	Indéterminé	AA	0	3	3	6	6	50.0%
O. punctata		BB	2	0	2	4	2	0.0%
O. eichingeri		BBCC	1	0	0	1	0	0.0%
O. minuta		BBCC	3	0	3	6	3	0.0%
O. punctata		BBCC	5	0	0	5	0	0.0%
O. collina		CC	1	0	0	1	0	0.0%
O. officinalis		CC	6	0	3	9	3	0.0%
O. alta		CCDD	1	0	0	1	0	0.0%
O. grandiglumis		CCDD	1	0	0	1	0	0.0%
O. latifolia		CCDD	7	4	2	13	6	66.7%
O. australiensis		EE	0	0	3	3	3	0.0%
O. brachyantha		FF	2	0	0	2	0	0.0%
O. ridleyi		HHJJ	0	0	1	1	1	0.0%
L. perrieri			1	0	0	1	0	0.0%
O. malampuzaensis			1	0	0	1	0	0.0%
Rhyncoryza subulata			0	0	1	11	1	0.0%
TOTAL			51	41	242	337	283	14.5%

Tableau 2.2. Résultats des tests de Résistance.

Les tests de résistance ont été évalués par inoculation de deux souches isogéniques de *M. oryzae* pour *ACE1*. Pour le protocole se référer à la Figure 28.

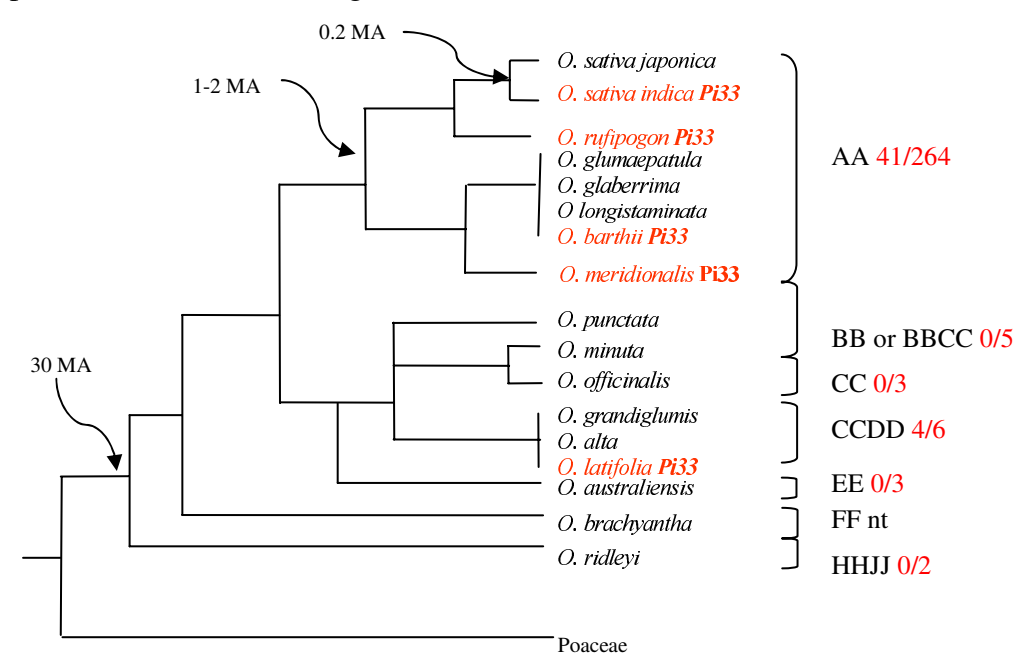


Figure 2.11. Distribution de Pi33 au sein des espèces sauvages.

Arbre adapté de Ge *et al.*, 1999. Les espèces présentant des variétés qui posséderaient *Pi33* sur la base des tests pathologiques sont en rouge. Les génomes des différentes espèces sont à droite. Le rapport à droite du génome représente le nombre de variétés possédant *Pi33* par rapport au nombre total de variétés testées exploitables.

probablement due à la différence de méthode d'inoculation employée (injection dans les premières expérimentations, pulvérisation dans les expérimentations récentes).

Au final, Pi33 a été identifié chez 32 des 208 variétés, soit 16 % des accessions testées (Tableau 2.2). Cette fréquence est de 21.6 % pour les 139 accessions de la sous espèces indica. Dans l'hypothèse d'une expansion de Pi33 lors de la Révolution verte, nous avons mesuré la fréquence de Pi33 au sein de deux sous échantillons d'accessions indica : traditionnelles et améliorées. Ce second sous échantillon ne comprend probablement pas que des variétés issues de la Révolution verte mais est potentiellement enrichi par rapport au premier. La fréquence de Pi33 est respectivement de 16.7 % (42 accessions traditionnelles testées) et 28.6 % (56 accessions améliorées testées). La fréquence élevée de Pi33 dans les variétés améliorées s'explique en partie par le fait que notre échantillon comporte beaucoup d'accessions issues de la généalogie de la variété IR64. En effet, lorsqu'on retire les 10 accessions issues de croisements intermédiaires dans la généalogie d'IR64 la fréquence de Pi33 est de 21.7%. Cette fréquence n'est pas significativement plus élevée que dans les variétés traditionnelles (Chi2, P=0,37). Il ne semble donc pas y avoir eu d'expansion de Pi33 durant la révolution verte. La fréquence de Pi33 est nulle dans l'échantillon de 44 variétés de la sous espèce japonica. Pi33 semble donc être absent de la sous-espèce japonica, ce qui confirme les résultats préliminaires. L'autre sous espèces (Aus) est moins représentée et l'échantillon n'est donc pas représentatif. Sur les 11 Aus testés, Pi33 a été détecté une fois (soit une fréquence de 9.1%).

c <u>Distribution de Pi33</u> au sein des autres espèces du genre Oryza.

Un échantillon de 125 accessions d'espèces sauvages a été testé (Annexe 4). Ces accessions sont issues de différentes collections, mais il ne s'agit pas d'une core-collection au sens strict car peu d'information sur leur diversité génétique est disponible. Néanmoins, cet échantillon est assez robuste car il comporte des accessions de 19 espèces sur les 23 connues ainsi que quelques accessions d'espèces proches du genre *Oryza* (*Leersia perrieri*, *Oryza malampuzaensis* et *Rhyncoryza subulata*).

Nous avons pu confirmer la présence de *Pi33* chez *O. rufipogon* dans 3 accessions sur 12 (25%; Figure 2.11, 2.12 et 2.13 et Tableau 2.2). Parmi les 33 accessions de l'espèce cultivée, *O. glaberrima*, aucune ne présentait un allèle ayant la capacité de reconnaître le gène d'avirulence *ACE1*.

Pi33 n'a pas été détecté dans les génomes BB et CC. Mais, l'échantillon des accessions permettant la détection de Pi33 a été limité du fait de difficulté à obtenir des semences en quantité suffisante et du fait d'une compatibilité plus réduite avec la souche virulente de M. oryzae utilisée. Pour les génomes BB et CC, 26 variétés testées, soit en moyenne 70 % des accessions,

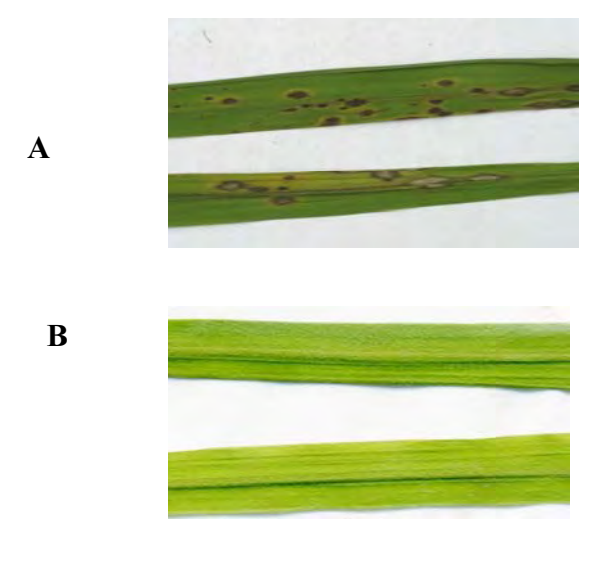


Figure 2.12. Symptômes sur *Oryza rufipogon* IRGC101508.

Symptômes sept jours après inoculation par pulvérisation avec l'isolat de *M. grisea* sauvage (A) et l'isolat complémenté avec l'allèle *ACE1* (B).



Figure 2.13. Oryza rufipogon.

Photo E. Ballini prise à la station expérimental Los Banos de l'IRRI (Philippines) avec rizière en arrière plan.

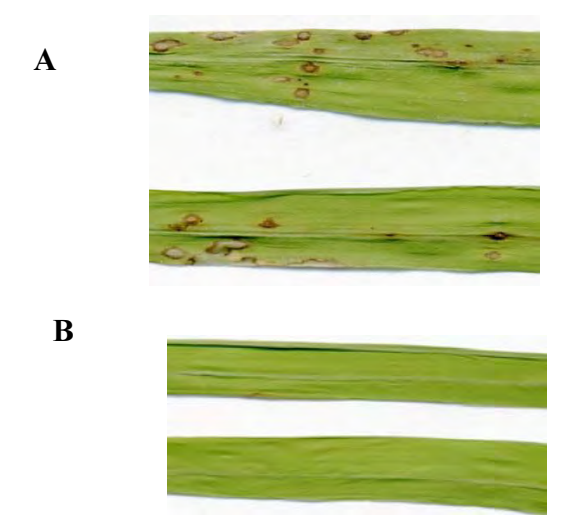


Figure 2.14. Symptômes sur *Oryza latifolia* W1184.

Symptômes sept jours après inoculation par pulvérisation avec l'isolat de *M. grisea* sauvage (A) et l'isolat complémenté avec l'allèle *ACE1* (B).



Figure 2.15 *Oryza latifolia* **W1184.** Photo E. Ballini

étaient complètement résistantes aux deux souches isogéniques contre 27 % pour les 75 accessions testées de génome AA et 46 % pour les 24 accessions de génome plus éloignés (CCDD, EE, FF, HHJJ et autres). Les échantillons utilisables pour détecter *Pi33* sont donc très faibles pour la plupart des espèces, moins de 6 accessions en moyenne par espèce.

Par contre, en dépit de la taille limitée de notre échantillon, nous avons pu mettre en évidence *Pi33* chez six autres accessions correspondant à trois espèces : 1 accession de *O. barthii* (génome AA ; pour 2 accessions compatibles), 1 accession de *O. meridionalis* (génome AA ; pour 6 accessions compatibles) et quatre accessions de *O. latifolia* (génome CCDD ; pour 6 accessions compatibles) (Figure 2.11, 2.14 et 2.15 et Tableau 2.2). La présence de *Pi33* chez cette accession de riz sauvage tétraploïde est très surprenante et pourrait laisser supposer une origine très ancienne de *Pi33* (~20 MA), toutefois ce résultat mérite discussion.

II.3.2 Discussion

a Plusieurs sources de résistance Pi33 dans les variétés améliorées :

Au moins deux sources de résistance ont été utilisées dans les croisements qui ont donné les variétés modernes de riz indica demi naines. L'une de ces sources est une variété traditionnelle, TYC, de type indica, l'autre est l'accession IRGC101508 de riz sauvage *O. rufipogon*. Ces deux sources présentent des haplotypes très différents au locus de *Pi33*. D'autres sources ont également pu être utilisées mais elles n'ont pas pu être identifiées.

Deux hypothèses permettent d'expliquer ces deux sources de résistance. Dans la première hypothèse, deux gènes différents au même locus reconnaîtraient le même gène d'avirulence. Le cas de deux gènes reconnaissant le même gène d'avirulence a été peu répertorié. *Rpm1* et *Rpg1-b* reconnaissent tous les deux le gène d'avirulence *AvrB* (Ashfield *et al.*, 2004). Ces deux gènes de résistance ont été clonés et ce sont deux gènes différents appartenant à deux espèces éloignées (arabidopsis et le soja). Dans le cas de *Cf2*, chez la tomate, un paralogue très similaire confère une résistance spécifique au même gène d'avirulence (Dixon *et al.*, 1996). Enfin, au locus *Xa21* chez le riz, le paralogue *Xa21D* confère une résistance partielle mais a le même spectre de résistance que *Xa21* (Wang *et al.*, 1998).

Dans la deuxième hypothèse, les différentes sources de résistance porteraient le même gène. Les haplotypes observés seraient soit un seul et même allèle dont les régions flanquantes auraient divergées, soit plusieurs allèles issus de différentes introgressions. En effet, le gène n'ayant pas été cloné, les haplotypes identifiés le sont sur la base de données de séquences et de marqueurs microsatellites situés dans une région de 240 kb autour de *Pi33*. Il est possible d'envisager que le gène soit très conservé bien que le reste du cluster soit très divergent. D'autre

part, l'hypothèse de plusieurs allèles différents est aussi envisageable. Oryza rufipogon et d'autres sources de résistances ont été utilisées par les sélectionneurs et ont pu chacune être introgressée, volontairement ou non. L'accession IRGC101508 a été utilisée dans la généalogie d'IR64 pour apporter la résistance au virus GSV et à son insecte vecteur Nilaparvata lugens (BPH). Bien que les sélectionneurs de l'IRRI testaient la résistance à M. oryzae dans leurs systèmes de sélection, l'introgression de Pi33 n'a pas forcément été volontaire (Ballini et al., 2007). Différents allèles de Pi33 ont donc pu être introgressé à différentes reprises.

Dans le cas de *Pi33*, tant que le gène n'est pas cloné, il n'est pas possible de savoir si les sources de résistance observées correspondent à un même allèle, à différents allèles d'un même gène ou à deux gènes différents. D'autres méthodes pourraient être envisagées pour répondre à cette question comme la comparaison des spectres de résistance des différentes variétés. Cependant, ces variétés possèdant souvent plusieurs gènes de résistance, des tests d'allélisme (entre TYC et IR64 par exemple) pourraientt être envisagé pour pouvoir conclure. Il est important de préciser que ce genre d'analyse nécessiterait un nombre important de descendant afin d'obtenir des recombinants dans 240 kb. Dans l'optique de vérifier la présence des deux gènes au même locus, une cartographie génétique de *Pi33* pourrait être envisagée dans les différents fonds génétiques. *Pi33* a été cartographié au même locus dans les variété IR64 et Bala (Berruyer *et al.*, 2003). Bien que ce résultat aille dans le sens de l'hypothèse de l'allélisme des sources de résistance, une cartographie plus fine chez Bala serait nécessaire pour pouvoir conclure.

b <u>Distribution de Pi33 au sein des espèces cultivées et sauvages du genre Oryza</u>

En dépit du fait que *Pi33* soit relativement fréquent chez les *Oryza sativa* avec une fréquence moyenne autour de 15% (une étude similaire chez *Arabidopsis* donnait une fréquence de 52 % pour *Rpm1*; Stahl *et al.*, 1999) et qu'il soit présent chez des espèces du riz génétiquement très éloignées, le gène est absent de certaines espèces et sous-espèces. Plusieurs hypothèses peuvent expliquer la distribution de *Pi33* dans ces espèces : un problème d'échantillonnage, des phénomènes d'allofécondation dans le sens cultivé vers sauvage, une convergence évolutive, la présence de *Pi33* chez un ancêtre commun.

b.1 Un échantillonnage limité par le niveau de virulence des souches de M. oryzae

Une première explication à cette absence de *Pi33* chez certaines espèces est un problème d'échantillonnage. La difficulté d'obtenir des accessions et de les multiplier explique en partie la taille des échantillons de riz sauvages que nous avons pu tester. De plus, plusieurs des accessions testées se sont avérées résistantes aux deux couples de souches isogéniques utilisées et le test de

		Test de Résistance : <i>Pseudomonas</i> + <i>AvrPto</i>			
		Résistant	Sensible	Total	
Test en transformation	HR = Allèle <i>Pto</i> +	13	2 ^a	15	
	Pas de HR = Allèle <i>Pto</i> -	3 ^b	1	4	
	Total	16	3	19	

Tableau 2.3. Résultats des expériences de Rose et al., 2005.

19 variétés ont été testées lors de tests de résistance et de tests en transformation. a = Variétés pour lesquelles la cascade d'activation ne semble pas fonctionnelle. b = Variétés qui présentent une convergence évolutive pour la reconnaissance de *AvrPto*.

résistance n'a donc pas permis de déterminer la présence ou non de *Pi33* dans ces accessions. Plusieurs couples de souches isogéniques ont été testés, l'un obtenu avec la souche PH14 et l'autre avec la souche CM28. CM28 a un spectre de virulence large sur les variétés d'O. sativa. Mais de manière surprenante, cette souche est aussi compatible avec des accessions au génome très éloigné des riz cultivés : *Rhyncoryza subulata*, O. ridleyi (HHJJ), O. australiensis (EE) et O. latifolia (CCDD). Certaines accessions BBCC étaient elles aussi compatibles. Ce résultat démontre l'aptitude des souches pathogènes d'O. sativa à attaquer des espèces éloignées au sein du genre Oryza. La co-évolution entre le riz cultivé et M. oryzae n'a donc pas conduit à une spécialisation complète des souches de M. oryzae. Une spécialisation relative des souches est toutefois notable puisque 73% des 75 accessions à génome AA (autres qu'O. sativa) sont compatibles avec au moins une des souches testées contre 38% des 50 accessions n'appartenant pas au groupe AA.

b.2 Possibilité d'allofécondation entre espèces sauvages et cultivées

La présence de *Pi33* dans plusieurs accessions différentes et indépendantes d'espèces éloignées de riz sauvages, ainsi que sa fréquence relativement élevée chez *O. rufipogon* (25 %) tendrait à exclure l'hypothèse d'une allofécondation, ce phénomène étant connu mais assez peu fréquent (1,3 % d'hybrides jusqu'à 43 mètres de distance; Song *et al.*, 2003) entre ces deux espèces. En outre, des séquences ont été obtenues à partir des ADN des accessions de génome AA. Leur fort taux de polymorphisme par rapport à la variété japonica Nipponbare est également en défaveur d'une allofécondation dans le sens indica vers sauvage (voir Chapitre 2 Tableau 3.2 pour le détail). De même, la présence de *Pi33* chez l'espèce *O. latifolia* (génome CCDD) ne semble pas imputable à des allofécondations avec *O. sativa* (génome AA). En effet, la fréquence élevée d'accessions d'*O latifolia* portant *Pi33* (66%) ainsi que leurs origines géographiques très éloignées (Chine, Mexique, Surinam et Argentine) sont en désaccord avec l'existence supposée de rares allofécondation entre les deux espèces (*G* Second, communication personnelle). Le fait que nous ayons différentes sources de graines devrait également exclure l'hypothèse d'allofécondations au sein d'une collection.

b.3 Une convergence évolutive à l'origine des reconnaissances d'ACE1 dans les espèces sauvages

Dans l'hypothèse d'une convergence évolutive, seul le clonage du gène chez ces variétés sauvages permettrait de conclure. Bien que peu de cas de convergence évolutive entre deux espèces très éloignées aient été rapportés (Ashfield *et al.*, 2004), cette hypothèse ne peut être écartée. Dans le pathosystème tomate/*P. syringae* deux gènes situés au même locus, *Pto* et *RsB*, reconnaissent le gène d'avirulence *AvrPtoB* (Abramovich *et al.*, 2003). *RsB* qui est plus fréquent chez les espèces sauvages serait également plus ancien (Martin *et al.*, 2007). Des tests de résistance

similaires ont été effectués sur différentes accessions d'espèces de tomate et ont permis de mettre en évidence des variétés cappable de reconnaître de manière spécifique *AvrPto* (Rose *et al.*, 2005). Cependant, les tests de transformation effectués à partir de l'allèle de *Pto* présent dans ces variétés n'ont pas toujours aboutis à un phénotype de HR (Tableau 2.3). Ce résultat implique qu'un autre gène que *Pto* reconnaît *AvrPto* de manière spécifique dans ces variétés.

b.4 Une origine ancienne de Pi33

Plusieurs éléments forts et convergents sont en faveur d'une origine ancienne de Pi33 : sa fréquence élevée dans des espèces sauvages dont certaines très éloignées génétiquement et sa présence dans des espèces d'origines géographiques différentes. Notre étude aurait donc tendance à démonter que Pi33 existait avant la spéciation des espèces du genre Oryza. Suivant cette hypothèse, Pi33 serait âgé d'au moins 2 MA (si on ne considère que les espèces à génome AA) à 20 MA (si on considère que la présence de Pi33 chez l'espèce latifolia n'est pas due à des allofécondations) (Salles Cortopassi et al., Genome 2001). Un cas similaire de résistances présentes dans les variétés sauvages éloignées comme O. latifolia est documenté pour la résistance aux principaux biotypes de N. lugens (BPH) (Ikeda et Vaughan, 1991). Cependant, dans cette étude les biotypes correspondent à plusieurs gènes de résistance. Une origine ancienne des gènes de résistance n'a été démontrée que dans quelques autres cas. RPM1 aurait une origine ancienne, antérieure à la séparation des brassicaceae (Grant et al., 1998). Le gène Pto daterait d'avant la séparation entre les espèces sauvages L. hirsutum et L. pimpinellifolium (Riely et al., 2001). L'origine ancienne du gène LR10 a pu être évaluée chez le blé à au moins 2,4 MA (Isidore et al., 2005). Chez Arabidopsis, la spécificité du gène RPW8 daterait de 10 à 15 MA, alors que la formation du cluster est daté par une première duplication de 23 à 35 MA (Xiao et al., 2004).

Néanmoins, dans cette hypothèse d'une origine ancienne de *Pi33*, l'absence de *Pi33* chez deux des espèces (ou sous-espèce) domestiquées est également surprenante. Il est possible que le gène ait été présent au sein d'une variété ancestrale de l'espèce *O. sativa* puis perdu lors de goulots d'étranglement successifs subis par l'espèce (domestication, révolution verte). Le coût adaptatif demandé par la possession de ce gène dans l'environnement des japonicas aurait également pu causer sa perte. Le riz sauvage *O. rufipogon*, qui serait à l'origine du riz cultivé *O. sativa*, est luimême déjà structuré en deux sous populations qui seraient à l'origine des indicas et des japonicas (Cheng *et al.*, 2003; Zhu et Ge, 2005; Londo et al 2006). Il aurait été intéressant de rechercher *Pi33* dans ces deux populations afin de vérifier notre seconde hypothèse. Lorsque nous avons initié ce travail, seule la publication de Cheng *et al.* (2003) était disponible. Nous avons tenté de récupérer et multiplier l'échantillon étudié mais seule une partie était accessible et toutes les accessions n'ont pas produit assez de semences pour être étudiées. Au final, seulement 5

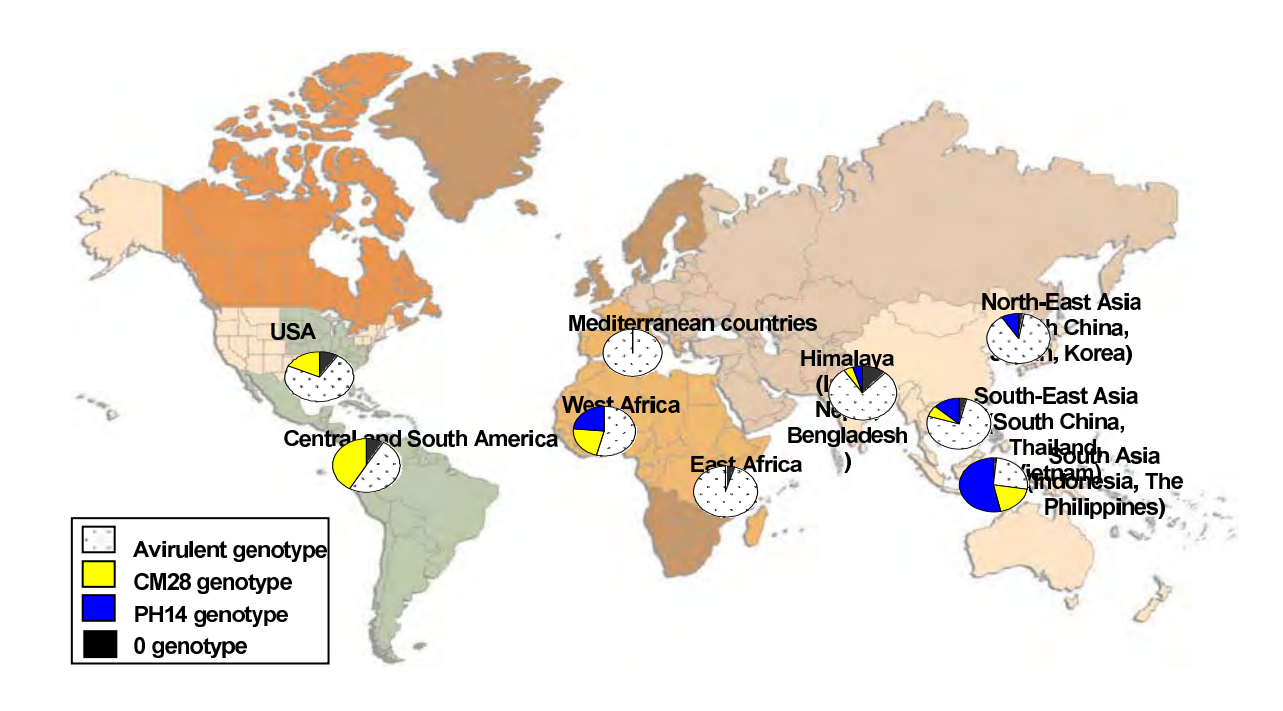


Figure 2.16. Distribution des différents allèles ACE1 au niveau mondial.

Données fournies par D. Tharreau

accessions de cette étude ont pu être testées : 3 accessions dans le groupe « indica » (phylum II défini par Cheng *et al.*) dont 1 avec *Pi33* et 2 sans, et 2 accessions sensibles dans des groupes intermédiaires entre « japonica » et « indica » (phylum III et IV). Ce résultat ne contredit pas l'hypothèse de la présence de *Pi33* dans un seul groupe ancestral mais ne permet pas de conclure du fait de la taille limitée de l'échantillon. Les accessions issues des publications plus récentes (Zhu et Ge, 2005 ; Londo et al 2006) n'ont pas été testées.

Enfin, à partir des résultats préliminaires avait été émise l'hypothèse d'une amplification de *Pi33* chez les indicas demi-nains du fait de l'utilisation de la variété résistante TN1 pendant la révolution verte. La fréquence élevée de *Pi33* chez les variétés indicas traditionnelles ne confirme pas cette hypothèse et corroborerait l'hypothèse d'une origine ancienne de Pi33. En effet, le gène était déjà présent chez les indicas traditionnels d'origine géographiques différentes.

Si *Pi33* a une origine ancienne cela implique que sa co-évolution avec *Aul* a été longue. Une autre manière de confirmer l'origine ancienne de *Pi33* pourrait donc être d'étudier l'origine d'*Aul* et sa distribution géographique. Cette étude est menée par notre laboratoire en collaboration avec le laboratoire de MH Lebrun qui a cloné *Aul*.

c <u>Une co-évolution ancienne entre ACE1 et Pi33 ?</u>

L'étude de la diversité du gène d'avirulence Ace1 a permis d'identifier trois génotypes pour les souches virulentes (Couch et al. 2005; I Fudal, D Tharreau, MH Lebrun en préparation). L'étude de ces génotypes laisse supposer que les deux génotypes majoritaires sont issus d'un évènement complexe et unique. La distribution mondiale observée actuellement serait le résultat de la dispersion à longue distance de ces génotypes, probablement en même temps que la propagation des variétés cultivées possédant Pi33 lors de la révolution verte (Figure 2.16). Dans ce cas, la dispersion des souches virulentes serait récente (50 ans) mais aucune datation de son apparition n'est possible en l'absence de données fossiles. Le fait que peu de génotypes virulents soient observés pourrait s'expliquer par une pression de sélection faible sur l'agent pathogène. En conséquence, il y aurait eu peu d'évènements d'apparition de souches virulentes. Une autre explication peut être déduite de la distribution actuelle des génotypes. Il y aurait eu un fort goulot d'étranglement au moment de la propagation des génotypes suivi d'une expansion géographique. Ce goulot d'étranglement pourrait expliquer le faible nombre d'allèles observés. De plus, ces évènements récents masqueraient la co-évolution ancienne entre ACE1 et Pi33.

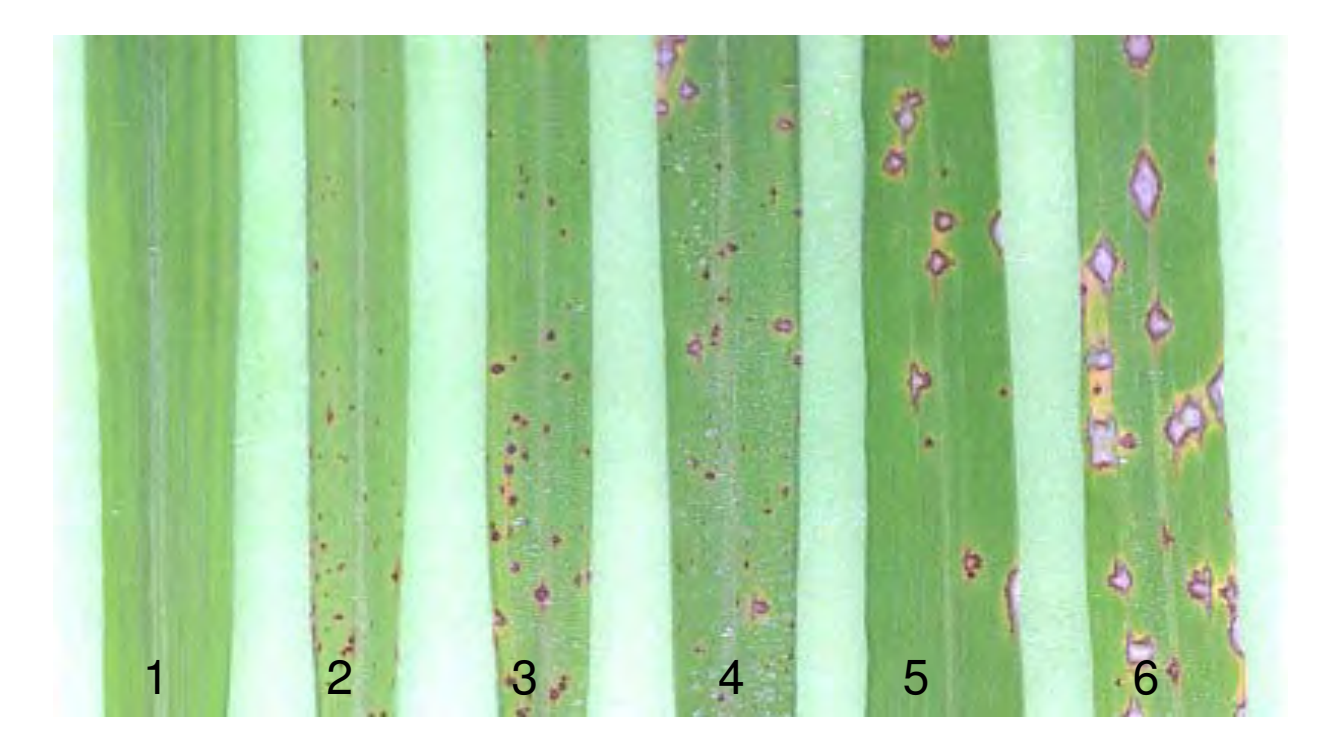


Figure 2.17 : Échelle de notation.

D'après Notteghem (1981). Les plantes présentant des symptômes 1 et 2 sont considérées comme résistantes. Les plantes présentant des symptômes 5 et 6 sont considérées comme sensibles. Les plantes présentant des symptômes 3 et 4 sont considérées comme partiellement sensibles.

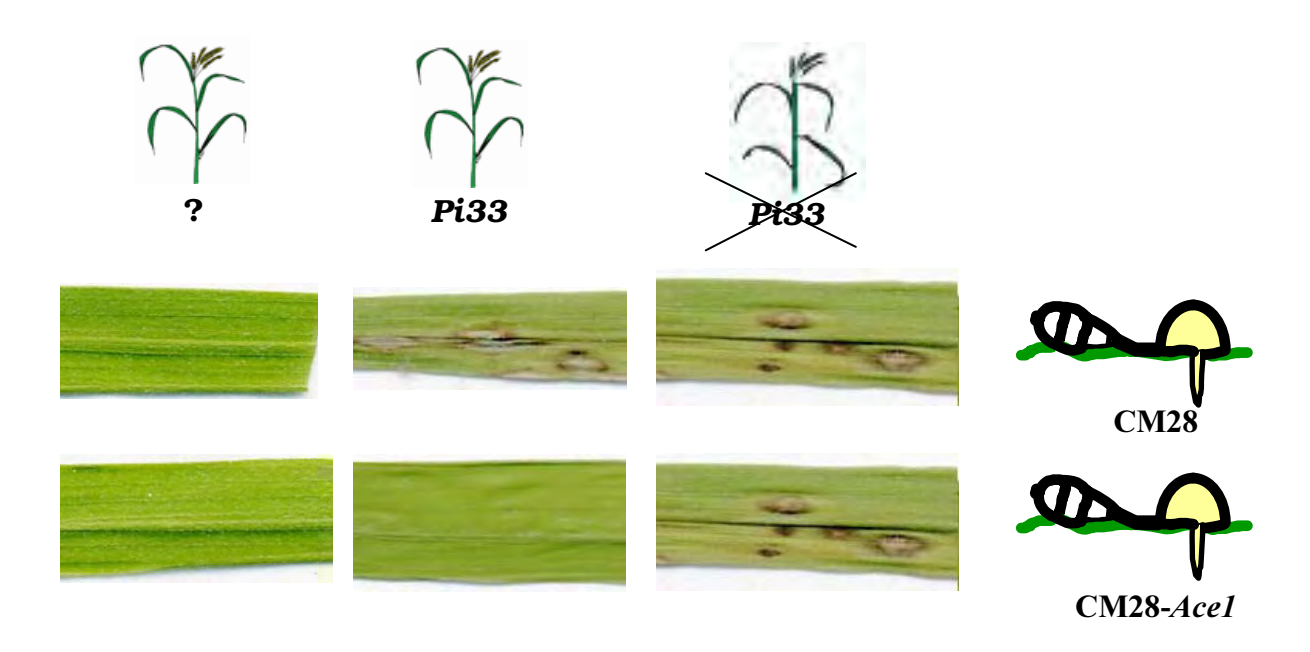


Figure 2.18. Exemples de résultats issus des tests de résistance.

Pour détecter la présence de *Pi33* dans une variété, les deux souches isogéniques sont inoculées en parallèle sur deux répétitions de semis. Le gène est considéré comme étant présent si la variété est résistante à la souche CM28-31C12 (transformée avec *ACE1*) et sensible à la souche sauvage CM28.

II.4 Matériels et Méthodes

II.4.1 Matériel fongique et inoculation

La détection d'un allèle résistant du gène *Pi33* repose sur l'utilisation de couples de souches isogéniques pour l'allèle avirulent du gène *ACE1*. Ces souches ont été obtenues par complémentation (Böhnert *et al.*, 2001) et *ACE1* est suffisant pour complémenter les souches virulentes de *M. oryzae*. Quatre souches virulentes ont été ainsi complémentées par l'équipe de M-H Lebrun dont certaines (CM28, 2/0/3) présentent un spectre de virulence relativement large.

Les souches de *M. oryzae* sont cultivées 10 jours sur milieu farine de riz, (annexe 1) à 28°C, avec une alternance de lumière et d'obscurité de 12h/12h. Les boîtes sont scellées afin de limiter l'évaporation. Les spores sont prélevées et les suspensions de spores calibrées par comptage sur cellule de numération. Les plantes sont inoculées 20 à 30 jours après semis (stade 3-4 feuilles) par pulvérisation d'une suspension de 50 000 spores/mL dans une solution à 0.5 % de gélatine. La lecture des symptômes se fait sept jours après l'inoculation. Des notes de 1 à 6 sont attribuées aux symptômes à l'aide d'une échelle dérivée de celle de Notteghem (1981) (Figure 2.17). L'interprétation de la présence de *Pi33* se fait en suivant la théorie gène pour gène de Flor (1973). Une variété sensible à l'isolat sauvage mais résistante à ce même isolat complémenté avec *ACE1* est considérée comme porteuse d'un allèle de résistance de *Pi33* (Figure 2.18).

II.4.2 Matériel végétal et culture

Les variétés sélectionnées pour le premier échantillon ont été criblées au sein d'une corecollection représentative de la diversité d'O. sativa appelée mini Germplasm Bank (Glaszmann,
1987; Garris et al., 2005). Cet échantillon (Annexe 3) a été enrichi avec des variétés issues de
notre propre collection, notamment avec des variétés d'intérêt agronomique ou scientifique
comme IR64, Bala et ZYQ8. Nous disposons également de deux variétés isogéniques C101Lac et
C104Lac, la première ayant les gènes de résistance Pi1 et Pi33, la seconde Pi1 (Mackill et al.,
1992; Berruyer et al., 2003). Ainsi, nous avons effectué des tests pathologiques sur 211 variétés de
riz de l'espèce O. sativa. Un deuxième échantillon a été constitué à partir d'une collection
d'espèces sauvages de riz en provenance du Japon (National Institute of Genetics, Japon;
http://www.shigen.nig.ac.jp/rice/oryzabase/top/top.jsp), et d'accessions de collections fournies
par G. Second (IRD) et O. Panaud (Université de Perpignan). Ce deuxième échantillon (Annexe
4) rassemble 128 accessions de 24 espèces différentes.

Les lignées de riz sont cultivées dans un mélange de terreau et de pouzzolane (détail de la conduite de culture dans l'annexe 2). Les semis sont réalisés dans des terrines de semis de 30 × 50

× 7 cm à raison de 16 lignes de grains et de 15 grains par ligne. Dans le cas des graines d'espèces sauvages, le semis est précédé d'une étape de levée de dormance par traitement thermique (52°C pendant 72h) et d'une pré-germination (3 jours à 28°C 100% d'humidité).

II.4.3 Données moléculaires

Pour identifier le ou les donneurs de *Pi33*, une partie des variétés ayant *Pi33* a été génotypée à l'aide de marqueurs microsatellites (SSR). L'ADN de ces différentes variétés a été extrait selon le protocole standard décrit dans Berruyer et al. (2003). Sept marqueurs SSR répartis aléatoirement sur le génome et sept marqueurs situés à proximité de *Pi33* ont été sélectionnés (Annexe 9) pour leur polymorphisme important entre les sous espèces indica et japonica. Le protocole d'amplification est décrit dans l'annexe 10. Les produits de PCR ont été séparés par électrophorèse sur un gel d'agarose à 3% (2.5 h à 100 V). Les différentes tailles observées ont été codées en un numéro représentant chaque allèle. Ces données ont été analysées avec le logiciel DARWIN 4.0 (Perrier *et al.*, 2003; Perrier & Jacquemoud-Collet, 2005). Les similarités entre variétés ont été calculées en utilisant la distance de Sokal et Michener (Sokal et Michener, 1958). Un dendrogramme a ensuite été construit par neighbour joining avec calcul de valeurs de bootstrap (10 000 itérations).

III Chapitre 2

Cartographie et Clonage de Pi33

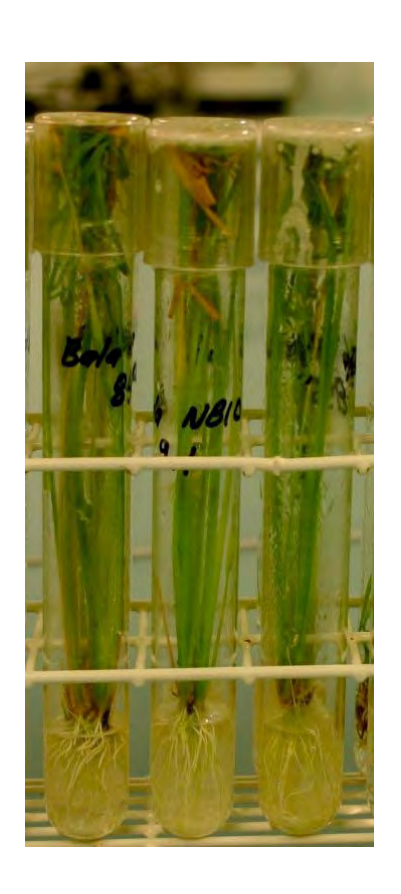


Photo: Plantes in vitro (Elsa Ballini)

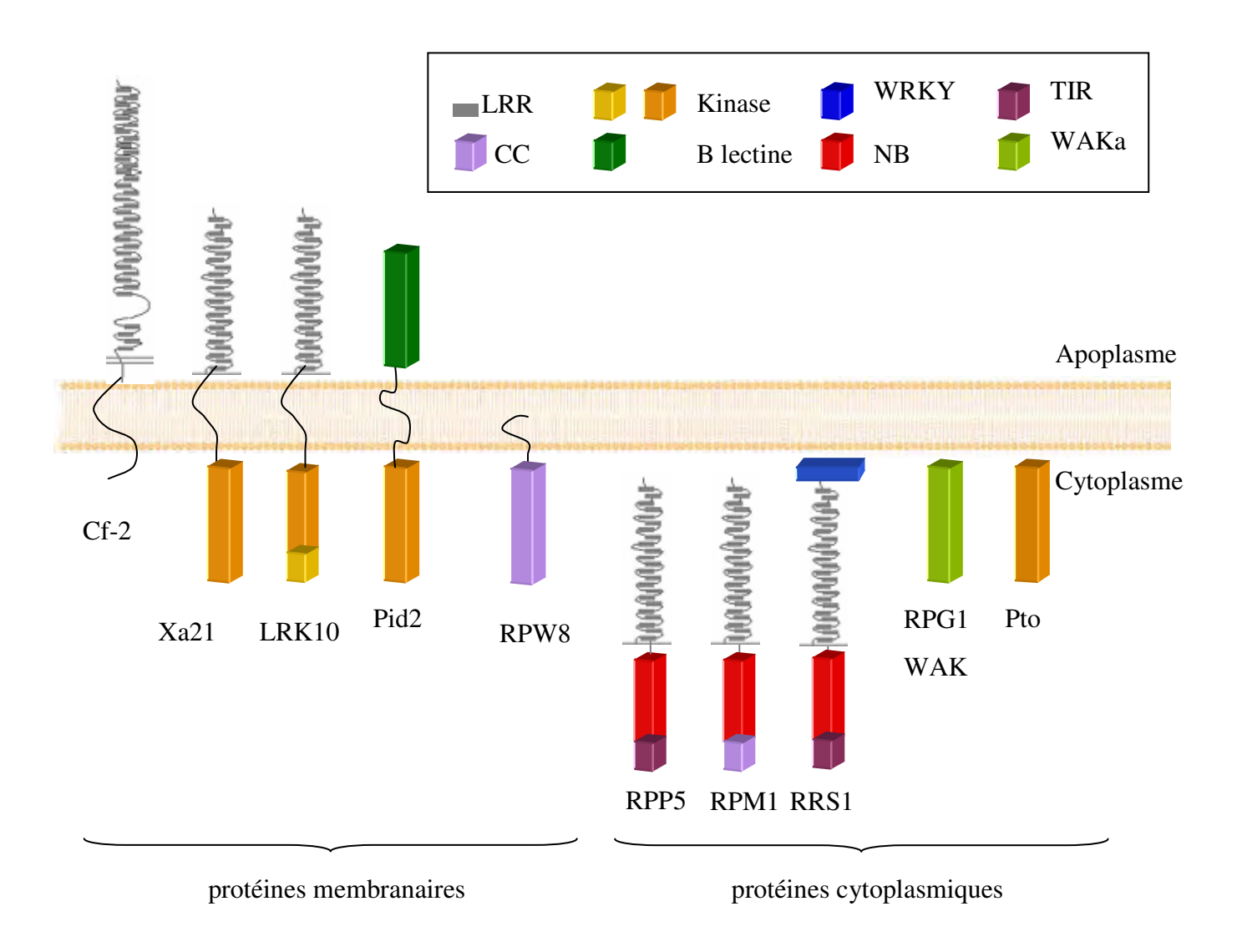


Figure 3.1. Les grandes classes de protéines codées par les gènes de résistance des plantes. Les 10 types de gènes de résistance clonés sont représentés. Ils peuvent être répartis en deux grandes classes : protéines membranaires avec domaine extracellulaire et protéines cytoplasmiques. Les gènes sont cités à titre d'exemple et la liste n'est pas exhaustive.

III.1 Introduction:

III.1.1 Les gènes de résistance : structure, fonction et organisation génomique

a Les différents types de gènes de résistance

Une cinquantaine de gènes de résistance a déjà été clonée (Martin *et al.*, 2003). Deux grands types de gènes de résistance peuvent être identifiés en fonction de la localisation cellulaire de leurs produits (Holub, 2001; Dangl et Jones, 2001; Nimchuk *et al.*, 2003) (Figure 3.1): les protéines membranaires et les protéines cytoplasmiques. Cette séparation se fait sur la base de la présence ou non d'un domaine transmembranaire (TM) au sein de la protéine. Les protéines membranaires pourraient reconnaître plutôt des effecteurs pathogènes extra-cellulaires (dans l'apoplasme) alors que les protéines cytoplasmiques reconnaîtraient des effecteurs pathogènes intra-cellulaires.

a.1 Les récepteurs membranaires

Toutes ces protéines présentent un motif transmembranaire (TM) hydrophobe qui ancre la protéine dans la membrane cytoplasmique. Ensuite, plusieurs variations sont possibles. Les protéines peuvent présenter ou non un domaine extracellulaire, souvent de type LRR (Leucine Rich Repeat) et un domaine intracellulaire. Actuellement, sept protéines de résistance de ce type sont décrites.

Les gènes Cf2, Cf4, Cf5 et Cf9 de l'interaction tomate/Cladosporium fulvum, (De Wit et Joosten, 1999) représentent un premier type de gène qui a la particularité de ne pas posséder de domaine intracellulaire. Dans le cas de Cf2 et Cf4, le domaine LRR extracellulaire interagirait avec une protéine gardée extracellulaire (Rooney et al., 2005 ; Gabriëls et al., 2007). En effet, la protéine Cf2 de tomate garde la cystéine protéase extracellulaire Rcr3. Avr2, produite par C. fulvum, est une protéine inhibitrice des cystéine protéases qui empêche le bon fonctionnement de Rcr3. Cf2 reconnaît les changements de conformation de Rcr3 provoqués par la formation du complexe Avr2-Rcr3.

Les récepteurs membranaires les plus courants sont du type **Récepteur-Kinase** et présentent un domaine kinase intracellulaire. Plus de 1 000 membres de cette famille de gènes ont été identifiés chez le riz. Les récepteurs-kinases ont été séparés en deux classes, sur la base de la présence (ou de l'absence) de deux acides aminés (une Arginine R et un Aspartate D) situés dans le sous domaine VI de la kinase (Dardick *et al.*, 2006). Ces deux classes sont appelées respectivement « Kinases-RD » et « Kinases-non RD ». Dardick et al. (2006) montrent que toutes

les kinases qui interagissent avec un agent pathogène, qu'elles soient d'origine animale ou végétale, sont de type « Kinase-non RD ». Au sein de la classe des récepteur-kinases, on peut distinguer la classe des LRR-kinases qui comporte environ 400 membres, séparés en 13 sousfamilles en fonction des relations phylogénétiques dans la séquence du domaine kinase (Dievart et al., 2003 ; Dardick et al., 2006). Bien que la fonction de ces gènes ne soit pas connue pour la plupart, parmi les sous-familles, deux de type « Kinases-non RD » semblent impliquées dans les interactions plantes-agents pathogènes : la sous famille LRR-XII et la sous famille LRK10L-2. La sous famille LRR-XII est représentée par les gènes Xa21 et Xa26 impliqués dans l'interaction riz/Xanthomonas oryzae (Song et al., 1995; Sun et al., 2004). La sous famille LRK10L-2 est représentée par le gène LRK10 initialement décrit comme étant impliqué dans l'interaction blé/Puccinia triticina (Feuillet et al., 1997). Cependant, l'implication de ce gènes dans cette interaction n'a pas été confirmée (Feuillet et al., 2003). Une autre classe de Récepteur-kinases, « Kinases-non RD », est représentée par le gène Pid2 de l'interaction riz/Magnaporthe oryzae (Chen et al., 2006). Cette classe de gènes de résistance présente un domaine B-Lectine extracellulaire au lieu du domaine LRR. Pour l'instant aucune donnée ne permet de connaître le fonctionnement de ces récepteur-kinases, mais le domaine extracellulaire pourrait être impliqué dans la reconnaissance à la manière des protéines Cf et le domaine kinase pourrait être impliqué dans la transduction du signal.

Enfin, trois autres gènes à la structure plus originale peuvent être cités : *HS1PRO1* présente un domaine transmembranaire et un motif n'ayant qu'une légère homologie avec des LRR (Cai et al., 1997) ; *Rpw8* présente un domaine Coiled-Coil (CC) mais le reste de la protéine ne présente pas d'homologie avec des gènes dont le rôle est connu (Xiao et al., 2001). Le gène récessif *mlo*, code pour une petite protéine transmembranaire dont la fonction reste inconnue (Buschges et al., 1997). La protéine Mlo serait un inhibiteur du système de défense basal et/ou serait une cible pour un effecteur du champignon. En particulier, la calmoduline interagirait avec Mlo pour moduler les réactions de défense (Kim et al., 2002 ; Bhat et al., 2005). Le mutant récessif *mlo* correspondrait à une perte de fonction et permettrait une activation plus précoce du système de défense.

a.2 Les protéines de résistance cytoplasmiques

Ces protéines de résistance ne présentent pas de domaine extracellulaire mais elles pourraient être liées à la membrane au sein d'un complexe avec d'autres protéines, elles pourraient également être nucléaires à certaines phases de l'interaction (Shen *et al.*, 2007). Parmi ces protéines de résistance certaines présentent un domaine kinase comme certaines des protéines de résistance membranaires décrites ci-dessus. Les autres présentent en général un domaine LRR

différent du domaine LRR extracellulaire (Kajava, 1998) et un domaine NB-ARC (Nucleotide Binding commun à <u>APAF1</u>, gènes <u>R</u> et <u>CED4</u>; van der Biezen et Jones, 1998).

Les protéines les plus courantes sont les **NB-ARC-LRR** appelées également **NBS-LRR**. Cette famille est de loin la famille de gènes de résistance la plus représentée avec plus de 400 membres chez le riz (Monosi et al., 2004). En plus des domaines NBS (Nucleotide Binding Site), ARC et LRR, elles présentent un domaine N-terminal qui peut être de différents types : Coiled Coil (CC) ou Leucine Zipper (ZP), Toll-Interleukine (TIR) ou autre. Plusieurs NBS-LRR ont été clonés dont *Prf* dans l'interaction tomate/*P. syringae*, *RPM1*, *RPS2* et *RPS4* dans l'interaction Arabidopsis/*P. syringae* (Grant et al., 1995), *RPP8* et *RPP13* dans l'interaction Arabidopsis/*Peronospora parasitica*, *Pib*, *Pita*, *Pi2*, *Pi9*, *Pi36*, *Pi37* dans l'interaction riz/*M. oryzae* (Liu et al., 2007) et, plus récemment, *Lr1* dans l'interaction Blé/*Puccinia triticina* (Cloutier et al., 2007). De manière surprenante, il n'existe aucune TIR-NB-ARC-LRR chez les poacée alors que cette famille est très répandue chez les dicotylédones (Bai et al., 2002; Pan et al., 2000). Des représentants de cette famille sont les gènes *L* de l'interaction lin/*Melampsora lini* (Lawrence et al., 1995), *RPP1*, *RPP2* et *RPP5* dans l'interaction Arabidopsis/*P. parasitica*. La protéine codée par le gène *RRS1R* de l'interaction Arabidopsis/*Ralstonia solanacearum* (Deslandes et al., 2002) présente la particularité d'avoir en plus un domaine WRKY (facteur de transcription) en N-terminal.

Certaines protéines de résistance cytoplasmiques ne présentent pas de domaine LRR mais simplement une **kinase** cytoplasmique. Ainsi, le premier gène de résistance à avoir été cloné, le gène *Pto* de l'interaction tomate/*Pseudomonas syringae*, présente uniquement un domaine kinase intracellulaire (Martin *et al.*, 1993). Dans le cas de *Pto*, une interaction directe avec le ligand AvrPto a pu être démontrée malgré l'absence d'un domaine LRR (Tang *et al.*, 1996). De même, le gène *RPG1* de l'interaction orge/*Puccinia graminis* (Brueggeman *et al.*, 2002) ne présente pas de domaine LRR mais un domaine kinase de type **WAK** (Wall Associated Kinase) intracellulaire.

b La fonction des différents domaines des gènes de résistance

La fonction des différents domaines des gènes de résistance n'a pas été complètement démontrée chez tous les gènes de résistance, mais des données existent pour certains d'entre eux (Hammond-Kosack et Jones, 1997; Nimchuk et al., 2003; Martin et al., 2003). Un gène de résistance classique doit jouer un rôle dans la reconnaissance spécifique de l'agent pathogène puis stimuler le déclenchement du système de défense et, en particulier, la réponse hypersensible (HR). Ce phénotype de mort cellulaire étant toxique pour la plante en l'absence d'agent pathogène, les gènes de résistance subissent également une régulation qui peut être interne ou externe.

• Reconnaissance de l'agent pathogène

En cas de reconnaissance directe de l'agent pathogène, certains domaines des gènes de résistance doivent être impliqués dans cette reconnaissance. Dans le cas du gène *Pita* de l'interaction riz/*M. oryzae*, le domaine LRR a été démontré comme interagissant directement avec le produit du gène d'avirulence de l'agent pathogène (Jia et al., 2000). Le domaine LRR est un domaine conservé qui existe également chez les animaux, chez qui un rôle dans la reconnaissance d'autres protéines est plus documenté (Kobe et al., 1994; Medzhitov et al., 2000). Un autre argument en faveur du rôle du domaine LRR dans la reconnaissance est sa grande diversité allélique qui jouerait un rôle dans la spécificité des gènes de résistance (Kobe et Diessenhofer, 1995; Dodds et al., 2006). Ainsi, chez le riz, la différence de spécificité entre les allèles *Pi2* et *Pizți* est due à seulement huit acides aminés, situés dans le domaine LRR (Zhou et al., 2006).

Le domaine LRR est donc souvent considéré comme le principal domaine conférant la spécificité. Cependant, d'autres domaines ont également un rôle dans la spécificité comme le domaine TIR (Luck *et al.*, 2000). Ainsi, le domaine TIR du gène N du tabac, s'associe à la protéine p50 pour permettre la reconnaissance de l'agent pathogène (Burch-Smith *et al.*, 2007).

• Transduction du signal

Le domaine NBS pourrait être impliqué dans la transduction du signal. Ce domaine est très similaire au domaine NACHT des gènes NOD (Nucleotide-binding Oligomerization Domain) des mammifères qui a un rôle dans la réponse immunitaire. Cependant, cette similarité serait probablement due à une convergence évolutive (Ausubel, 2005). A la manière du domaine NACHT des mammifères, le domaine NBS permettrait l'accrochage et l'hydrolyse de l'ATP (Tameling et al., 2002; Tameling et al., 2006). L'hydrolyse de l'ATP provoquerait un changement conformationnel qui permettrait la transduction du signal.

Chez les animaux le domaine N-terminal TIR est impliqué dans la transduction du signal. De plus, des comparaisons au sein des domaines TIR d'une part (Meyers et al., 2002) et au sein des domaines CC d'autre part (Meyers et al., 2003) ont mis en évidence des motifs conservés qui pourraient être le signe d'une implication dans une voie de transduction commune. Dans le cas du gène Rx de l'interaction pomme de terre/PVX, l'interaction entre le domaine N terminal et la protéine RanGAP2 est nécessaire pour une résistance forte à PVX (Tameling et Baulcombe, 2007). Le domaine CC a un rôle dans l'interaction avec d'autres protéines ce qui peut laisser supposer qu'il joue un rôle dans le complexe protéique dont font partie les NBS-LRR et donc, éventuellement, dans la transduction du signal. Ainsi, le domaine CC a été démontré à plusieurs reprises comme interagissant avec une protéine gardée par le gène de résistance : RPS5 interagit avec le produit du gène PBS1 (Ade et al., 2007) ; PRF interagit avec PTO (Mucyn et al., 2006) et RPM1 interagit avec RIN4 (Mackey et al., 2002). Plus récemment, une interaction entre le

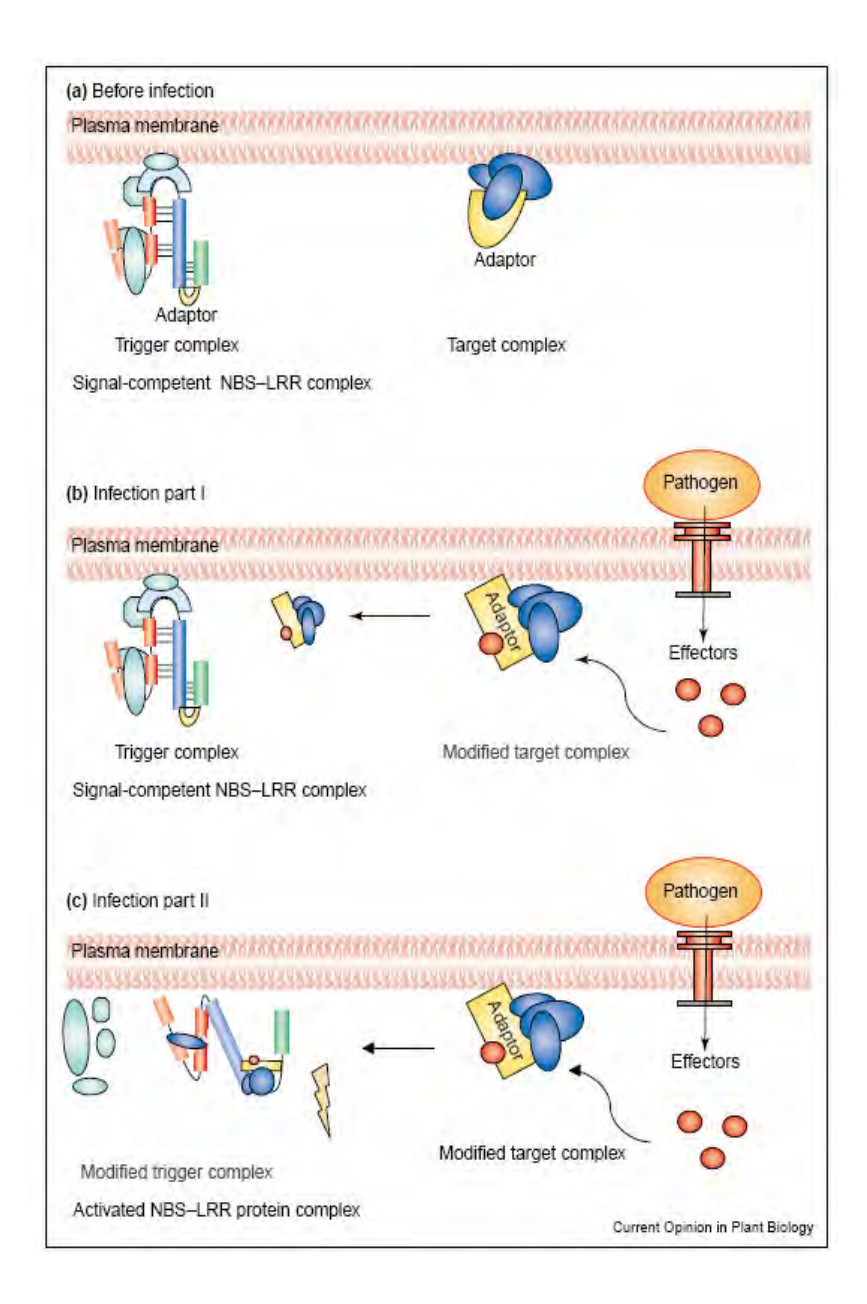


Figure 3.2. Modèle d'activation des NBS-LRR.

D'après Belkhadir et al., 2004

- (a) Deux complexes protéiques différents sont présents au niveau de la membrane plasmique : le complexe « trigger » (= déclencheur) qui contient une NBS-LRR associée avec un adapteur (jaune) et une protéine de régulation (bleue) qui ensemble la régulent négativement.
- (b) Après l'infection, les effecteurs (rouges) s'associent avec leur cible et modifient la protéine adaptatrice. Ce complexe interagit ensuite avec le complexe « trigger » (= déclencheur) .
- (c) Ainsi les régulateurs de la NBS-LRR subissent des changements conformationnels et la NBS-LRR est activée.

domaine CC et des facteurs de transcription de type WRKY a été démontrée (Shen *et al.*, 2007). Les domaines Leucine Zipper et TIR pourraient faciliter la dimérisation de la protéine avec ellemême ou avec une autre protéine (Mestre et Baulcombe, 2006) et pourraient donc aussi interagir avec des régulateurs ou une protéine gardée.

Les kinases sont nécessaires lors de nombreuses étapes de la vie de la plante, pour les communications cellulaires (Morris et Walker, 2003), pour la régulation du développement (Dievart *et al.*, 2004), pour la physiologie et bien sûr pour la défense. Elles pourraient jouer un rôle comme activateur de facteurs de transcription. Ainsi, PTO interagit avec de nombreuses autres protéines dont certaines kinases comme PTI1 (Zhou *et al.*, 1995).

Enfin, le domaine LRR pourrait également jouer un rôle dans la transduction du signal. Dans le cadre de l'interaction orge/*Blumeria graminis* des mutations situées dans le domaine LRR du gène *Mla* altèrent la voie de signalisation par la protéine RAR1 (Halterman et Wise, 2004). De même pour les gènes *RPS5* et *Mi*, des mutations dans le domaine LRR compromettent la résistance et pourraient être liées à la transduction du signal (Warren *et al.*, 1998 ; Hwang *et al.*, 2000).

• Régulation

Un modèle de régulation des NBS-LRR, à la fois interne et en trans, a été décrit par Belkhadir *et al.* (2004) et est repris dans la Figure 3.2. En effet, les gènes de résistance déclenchant des phénotypes de type mort cellulaire (HR), il est essentiel pour la plante de réguler l'activation des gènes de résistance et de détruire rapidement les produits de ces gènes.

Les gènes de type NBS-LRR seraient régulés négativement de manière interne (Rathjen et Moffett, 2003). Le domaine LRR pourrait avoir un rôle dans la régulation interne de la protéine de résistance. Ainsi, le domaine LRR de la protéine codée par le gène Rx de la pomme de terre interagit avec le domaine ARC. Le domaine ARC, est un domaine composé de deux unités, situées entre les domaines NB et LRR. Il est souvent considéré comme faisant partie du domaine NBS. Le fait que certaines mutations au sein du domaine LRR aboutissent à une sur-activation du gène de résistance, laisse penser que l'interaction entre les domaines LRR et ARC régulerait négativement la protéine de résistance. Cette interaction est interrompue par la présence du virus PVX (Rairdan et Moffett., 2006). Des résultats similaires ont été obtenus pour le gène RPS5 d'Arabidopsis (Ade *et al.*, 2007).

Des régulateurs en trans devraient également intervenir puisque certains gènes de résistance, lorsqu'ils sont surexprimés, entraînent une HR même en l'absence de l'agent pathogène. Ainsi, dans le cas du gène *Rps2*, la surexpression des domaines N-terminal et NBS suffit pour provoquer une HR (Tao *et al.*, 2000). Le gène *Pto* de la tomate serait un régulateur de

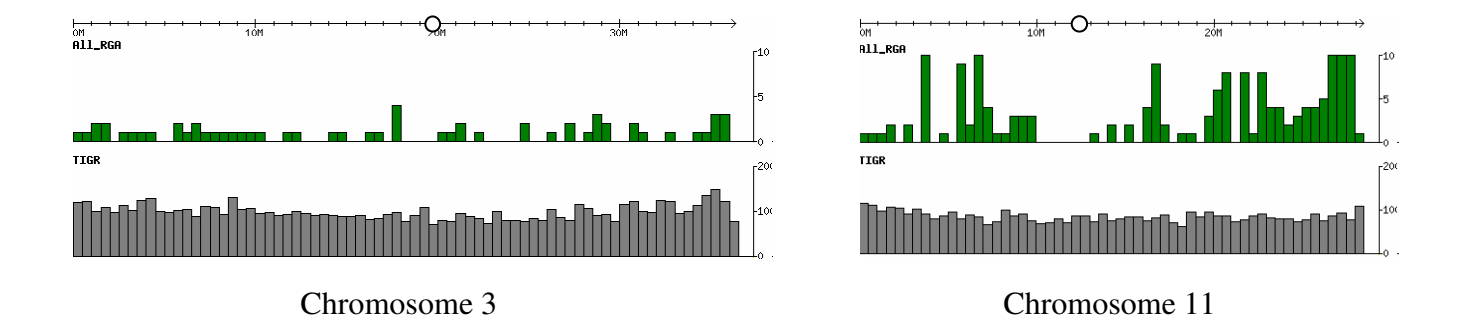


Figure 3.3. Répartition des RGA sur deux chromosomes du Riz.

Le chromosome 3 présente une densité faible en RGA alors que le chromosome 11 est très dense. La densité en RGA est représentée en vert. Elle a été calculée à partir de la position de 1 045 RGA disponible sur la base de données OrygenesDB avec une fenêtre de 500 kb. Le cercle blanc représente la position du centromère. La densité en gènes (prédiction automatique TIGR) est présentée en dessous en gris (90 gènes pour 500 kb en moyenne).

Gène	Interaction	Taille	Description
M	Lin / Melampsora lini	<1000 kb	~15 autres gènes dont ~5 transcrits mais fonction inconnue
RPP1	Arabidopsis / Peronospora	50 kb	8 à 10 membres selon les écotypes qui pourraient avoir une fonction
Mla	Orge / Blumeria	240 kb	11 membres au moins de trois familles différentes. Certains gènes nécessitent le gène Rar1 ou Rar2
Pib	Riz / Magnaporthe		différences d'expression selon conditions environnementales
Pto-Prf	Tomate / Pseudomonas	400 kb	Les gènes n'ont pas tous la même origine. 5 copies de Pto. Origine de Pto avant la séparation des Solanum.
Cf-2 Cf- 5			4 copies de Cf5 qui semblent fonctionnelles. 2 copies fonctionnelles confèrent la résistance Cf2. Origine commune Cf2/Cf5.
Cf-4 Cf- 9 Hcr9	Tomate / Cladosporium fulvum Tomate / Cladosporium fulvum		Hcr9 comporte 5 gènes R fonctionnels. Cf9 nécessite Rcr1 et Rcr2 pour fonctionner.
Xa21	Riz /Xanthomonas	230 kb	8 gènes répartis en deux familles peut-être issues d'une duplication. Un gène tronqué Xa21D en partie fonctionnel.

Tableau 3.1. Quelques exemples de gènes organisés en Cluster.

La liste de gènes n'est pas exhaustive. La dernière colonne présente les caractéristiques des autres copies du cluster.

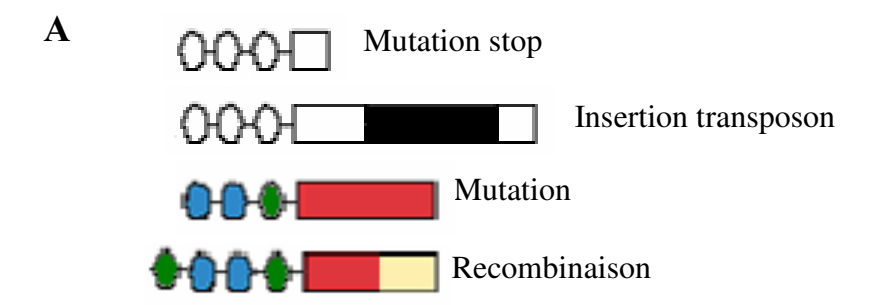
la NBS-LRR de PRF qui serait prise comme cible par l'éliciteur *AwrPto* de l'agent pathogène (Mucyn *et al.*, 2006). Beaucoup de NBS-LRR utilisent des protéines chaperones : RAR1 pour MLA (Bieri *et al.*, 2004), SGT1 pour BS2 (Leister *et al.*, 2005) et HSP90 pour RPM1 (Hubert *et al.*, 2003). Ces protéines seraient des régulateurs car elles déclencheraient la dégradation des protéines de résistance.

c L'organisation des gènes de résistance dans le génome

Le nombre de loci comprenant un (loci simples) ou plusieurs (clusters) gènes de résistance a été déterminé dans le génome d'A. thaliana (Richly et al., 2002). La majorité des loci sont simples, mais la majorité des RGA appartiennent à des loci complexes : 51 des 91 loci sont des loci simples (soit 56%) mais 115 des 166 NBS-LRR (soit 69,3%) appartiennent à un cluster de 18.5 kb en moyenne. Chez le riz, la distribution en cluster des RGA, et notamment des NBS-LRR, a également été démontrée (Monosi et al., 2004) : 90 des 223 loci sont des loci simples (soit 40,3%) mais 383 des 473 NBS-LRR appartiennent à un cluster (soit 81%). Les clusters de NBS-LRR chez le riz se composent de 2 à 12 copies et leur répartition dans le génome est hétérogène (Figure 3.3). Certaines régions du génome comme les chromosomes 11 et 12 sont très riches en clusters de RGA. Ainsi, 25% des NBS-LRR sont cartographiés sur le chromosome 11. Toutefois, ces estimations sont purement indicatives puisque, pour un même locus, la structure peut être différente selon les variétés. Par exemple, dans le cas du locus des gènes de résistance à la pyriculariose Pi2/Pi9 de quatre à neuf copies de NBS-LRR sont présentes selon les variétés (Zhou et al., 2007).

L'étude de la diversité génétique de l'espèce au niveau d'un locus de résistance peut mettre en évidence plusieurs allèles de résistance capables de reconnaître différents facteurs d'avirulence de l'agent pathogène. Bien que le plus souvent, un seul allèle codant pour la résistance soit détecté à un locus (Stahl et al., 1999), des exceptions existent. C'est le cas des gènes L chez le lin (Dodds et al., 2004) et Rpp13 chez Arabidopsis (Bittner-Eddy et al., 2000) qui présentent de nombreux allèles de résistance. Enfin, un autre cas plus extrême, est le cas de loci dont l'allèle sensible correspond à un allèle nul (Rpm1 et Rps2 chez Arabidopsis ; Hulbert et al., 2001).

L'organisation en cluster pose le problème de la fonction des autres membres du cluster, notamment au cours de l'infection (Tableau 3.1). Les clusters de RGA peuvent être homogènes ou hétérogènes, c'est-à-dire qu'ils peuvent rassembler des gènes issus d'une seule duplication ou des gènes issus de différentes familles de gènes (Hulbert, 2001; Leister, 2004). *Pto /Prf* est un exemple de cluster hétérogène. Le locus *Mla* de l'orge comporte 3 familles différentes de gènes NBS-LRR codant pour des protéines ayant moins de 33 % d'homologie (Wei *et al.*, 1999). De



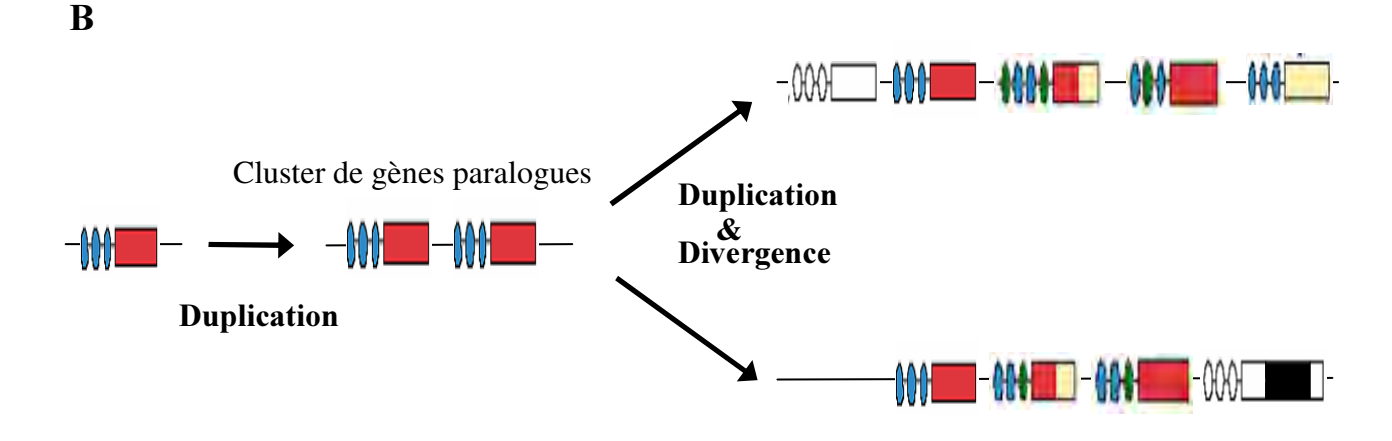


Figure 3.4. Évolution des gènes de résistance organisés en cluster.

D'après Moore et Purugganan, 2005.

A = Différents mécanismes d'évolution des Cluster.

B = Modèle d'évolution basé sur le modèle « birth and death » de Michelmore et Meyers (1998). Le cluster « naît » lors d'une duplication puis évolue par des phénomènes de divergence et de duplication. Les phénomènes de recombinaison permettent entre autre la perte ou l'acquisition de nouveaux motifs LRR.

plus, des gènes issus d'une même famille (i.e. issus d'une même duplication) peuvent se répartir sur plusieurs chromosomes (Monosi et al., 2004). Lorsque les gènes sont organisés en cluster, en général, un seul paralogue est responsable de la résistance. Certains sont non fonctionnels du fait d'un codon stop ou de l'insertion d'éléments transposables, mais ils ont pu avoir une fonction par le passé (Sun, 2001). Les multiples études sur l'expression des membres de familles multigéniques ne permettent pas de tirer une règle générale sur le rôle potentiel des paralogues. Une étude dans un cluster du soja montre que plusieurs gènes, dont certains sont tronqués, sont exprimés, certains de manière constitutive et d'autres de manière inductible (Graham et al., 2002). L'expression de ces gènes pourrait également dépendre de stress environnementaux. Dans le cas de Cf2 chez la tomate plusieurs paralogues très similaires sont responsables de la même résistance (Dixon et al., 1996). Certains paralogues peuvent également présenter des fonctions partielles comme Xa21D (Wang et al., 1998) qui reconnaît les mêmes souches de Xanthomonas oryzae que Xa21 mais qui déclenche seulement une résistance partielle (Wang et al., 1998). Certains clusters peuvent rassembler des gènes de résistance à différents agents pathogènes. C'est le cas, par exemple, chez la pomme de terre où les gènes Ry_{adg}, Na_{adg}, R_{Mc1} et Sen_{1,} cartographiés au niveau du même marqueur, permettent respectivement une résistance à deux virus, un nématode et un champignon (Gebhardt et Valkonen, 2001).

III.1.2 Hypothèses moléculaires de l'évolution des gènes de résistance

Une théorie assez consensuelle a été proposée pour expliquer l'organisation des gènes en cluster : le «birth and death model» (Michelmore et Meyers, 1998) (Figure 3.4). Cette théorie explique assez bien la formation des clusters homogènes mais n'est pas encore complètement satisfaisante pour les clusters hétérogènes.

Un premier gène apparaîtrait puis se dupliquerait et évoluerait ensuite par différents mécanismes. Cette duplication peut avoir lieu en tandem ou être transposée sur un autre chromosome. Dans le cas des familles de NBS-LRR, la duplication en tandem serait particulièrement importante pour générer de nouvelles résistances (Cannon et al., 2004). De nouvelles spécificités seraient ensuite générées par plusieurs mécanismes (Figure 3.4) dont les principaux sont les crossing-over inégaux et les mutations ponctuelles. Les mutations ponctuelles seraient particulièrement importantes dans certaines zones des domaines LRR qui sont supposées interagir avec un ligand. La sélection s'opérerait ensuite sur un allèle qui présente une résistance avantageuse et cet allèle envahirait rapidement la population. Ainsi, les copies dupliquées du gène ancestral, pourraient soit acquérir de nouvelles fonctions, soit devenir des pseudogènes. Elles pourraient également servir de réservoir de diversité en permettant de nouvelles combinaisons via les crossing-over inégaux. Le rôle des transposons dans l'évolution des gènes de résistance a

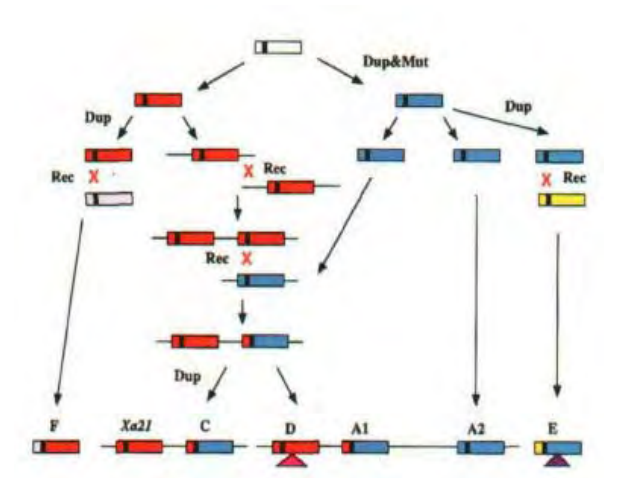


Figure 3.5. Modèle d'évolution du cluster Xa21.

D'après Song *et al.* (1997). Les barres représentent les membres de la famille *Xa21*. Les couleurs indiquent les relations entre ces membres : blanc, récepteur-kinase ancestral ; rouge, gène de type *Xa21* ; bleu, membre de type A2 ; rose et jaune, autres membres inconnus. Les sites de recombinaison supposés sont indiqués par une croix. Dup=duplication ; Mut=mutation ; Rec=recombinaison.

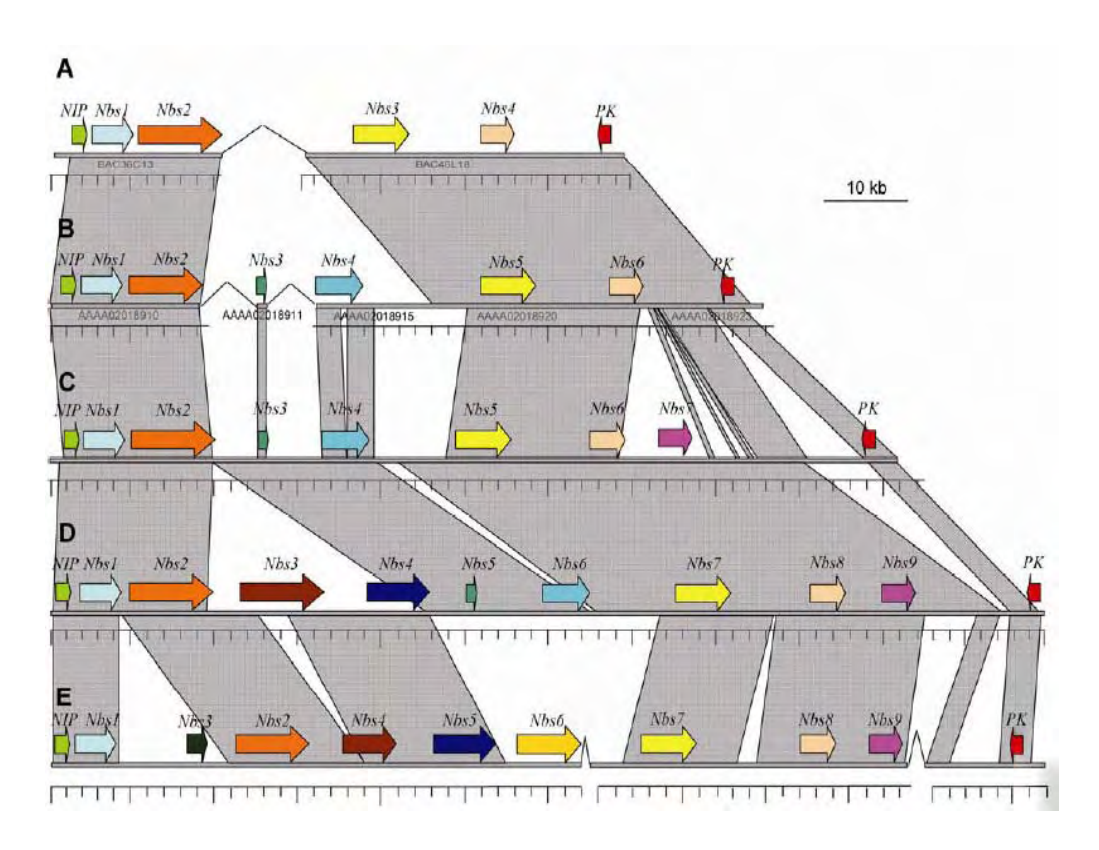


Figure 3.6. Analyse comparative du locus Pi2/9 dans cinq variétés.

D'après Zhou *et al.* (2007). Les gènes de la famille *Pi2/9* (Nbs) sont représentés par des flèches dont la couleur représente un orthologue. Les régions présentant plus de 98% d'identité nucléique sont grisées. *NIP*=nitrate-induced protein; *PK*=protein kinase.

A- locus *Pi2/9* dans la variété sensible *indica Co39*. B- locus *Pi2/9* dans la variété sensible *indica* 9311. C- locus *Pi2/9* dans la variété sensible *japonica* Nipponbare. D- locus *Pi2* dans la variété indica résistante C101A51. E- locus *Pi9* dans la variété résistante indica 75-1-127.

également été démontré (Ramakrishna et al., 2002). Ils peuvent favoriser les crossing-over inégaux si deux transposons similaires s'insèrent dans un cluster. Ils peuvent également supprimer la fonction d'un gène en s'insérant dans sa partie codante. C'est le cas, par exemple pour les gènes RPP5 chez Arabidopsis, N chez le lin, Hm1 chez le maïs et Xa21 chez le riz. Cependant, face à ces mécanismes qui augmentent la diversité, les familles multigéniques peuvent également subir un phénomène d'évolution concertée via un mécanisme de conversion génique qui homogénéise les différentes copies. Au niveau des clusters de gènes de résistance ce mécanisme de conversion génique semblerait limité (Dodds et al., 2001; Baumgarten, 2003). D'autre part, un des résultats de l'évolution par le modèle « birth and death » est que les orthologues seraient plus similaires entre eux que les paralogues au locus (Nei et al., 2005). Ce qui est effectivement couramment observé, comme par exemple dans le cas des LRR-kinases du riz (Sun et al., 2006). Cependant, des exceptions sont possibles, c'est le cas notamment au locus Cf2 de la tomate (Caicedo et Schaal, 2004).

Les exemples pouvant correspondre au modèle «birth and death» sont nombreux. On peut citer le cas de Xa21 et de Pi2/Pi9. Le clonage des sept membres du cluster Xa21 a permis de faire une hypothèse sur l'évolution du cluster (Song et al., 1997). Les phénomènes de recombinaison, duplication et transposition auraient tous joué un rôle dans l'évolution du cluster (Figure 3.5). Ainsi, une première duplication très ancienne aurait permis d'obtenir deux familles de paralogues qui auraient ensuite évolué par mutation et recombinaison l'une avec l'autre. La région étant également très riche en éléments transposables, ceux-ci ont joué un rôle notamment en rendant au moins deux copies non fonctionnelles par insertion d'un transposon dans leurs séquences codantes. L'évolution du cluster Pi2/Pi9 a été étudiée chez cinq variétés de riz : C101A51 (Pi2), 75-1-127 (Pi9), Co39, 93-11 et Nipponbare (Zhou et al., 2007). Ce cluster est dit homogène car tous ses membres seraient issus de la duplication d'un gène ancestral (Figure 3.6). Les membres du cluster présentent cependant une grande divergence de leur partie 5'. Notamment, ils mettent en évidence une expansion de la taille de l'intron. Ces divergences sont beaucoup moins visibles entre orthologues. Ces divergences dans les parties 5' ont pu agir comme suppresseur de la recombinaison ce qui a permis de maintenir l'équilibre entre diversification du cluster et homogénéisation.

Les questions qui restent posées aujourd'hui ont trait à l'évaluation des mécanismes qui jouent un rôle principal dans l'évolution des clusters : les recombinaisons, les mutations, les transpositions ? Les trois mécanismes jouent probablement un rôle mais peut-être pas aux mêmes stades de la « vie » du cluster. L'autre question est de comprendre quel est le rôle des autres

membres du cluster. Jouent-ils un rôle dans une résistance à un autre agent pathogène, ou dans l'acquisition de nouvelles spécificités ?

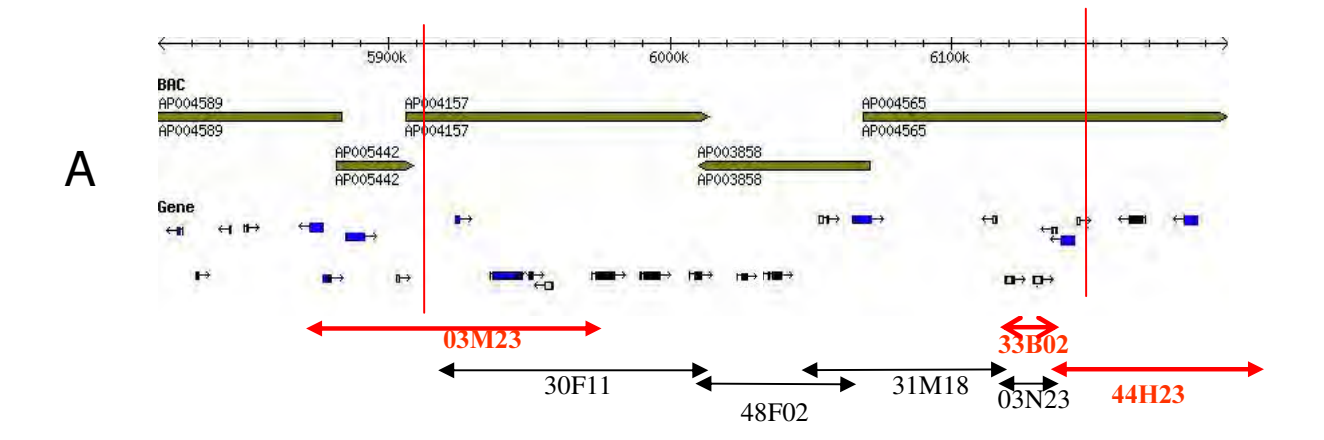
III.1.3 Objectifs

Pour étudier l'interaction ACE1/Pi33, notre objectif principal était de cartographier physiquement Pi33 et de le cloner. La cartographie physique du gène a été réalisée dans une variété indica résistante (IR64). Pour cela une banque BAC a été criblée et des BAC candidats séquencés. L'existence des séquences complètes de deux variétés japonica (Nipponbare) et indica (93-11) sensibles a permis des comparaisons de la structure du locus. Des séquences d'une partie du locus sont également en cours d'obtention chez une autre variété indica sensible et chez des espèces sauvages du genre Oryza. Le but était d'identifier les gènes candidats présents dans les variétés résistantes et d'apporter un éclairage sur le fonctionnement du cluster et son évolution en comparant sa structure dans différents génotypes.

Pour le clonage du gène, plusieurs approches ont été envisagées en parallèle. La première approche est basée sur la recherche de gènes candidats. En effet, la caractérisation du cluster peut faciliter le clonage du gène en éliminant certains candidats. Cette caractérisation peut se faire à différents niveaux. La diversité structurale, allèlique et transcriptomique des différents membres du cluster ont ainsi été évaluées. Cette approche permet non seulement de faciliter le clonage mais apporte également des réponses sur la diversité de Pi33. Quelle est la diversité au sein des gènes au locus Pi33? Tous les membres du cluster sont-ils fonctionnels? Une deuxième approche d'identification de Pi33 s'appuit sur la recherche de mutants. Une banque de mutants de la variété IR64, disponible à l'IRRI, a été criblée par TILLING sur trois gènes candidats. Une banque de mutants de la variété résistante C101LAC a été criblée phénotypiquement pour mettre en évidence des lignées mutées dans le gène Pi33 qui pourront être ensuite caractérisées. Enfin, la troisième approche envisagée pour le clonage est une méthode plus classique de complémentation d'une variété sensible par de l'ADN génomique de la variété résistante IR64. La complémentation par des BAC entiers ou une partie des BAC identifiés lors de la cartographie physique a été mise en oeuvre. Des complémentations par des séquences complètes de certains gènes candidats ont également été tentées.

Ce chapitre fait le bilan de la cartographie physique de *Pi33*, de la caractérisation de son locus et des différentes approches ayant pour objectif son clonage.

Pour nommer les gènes candidats, nous avons adopté le système de notation suivant : (Nom de la variété)-(Type de gène)-(Numéro du gène au locus). Le code pour le nom de la



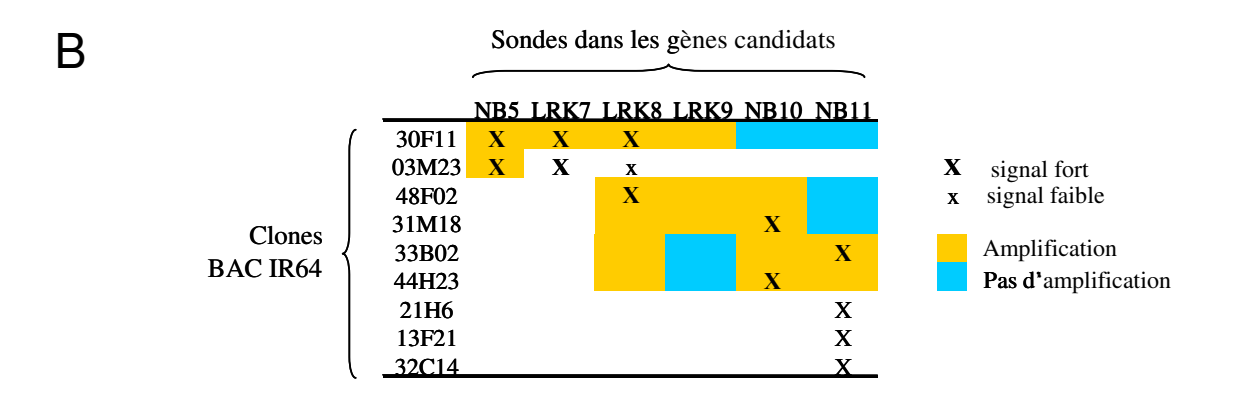


Figure 3.7. Cartographie physique chez IR64.

A= Cartographie physique chez IR64. B = bilan du criblage de la banque BAC IR64 par hybridation et par amplification.

En A, une cartographie du cluster est dessinée chez la variété de référence Nipponbare. En dessous, les flèches représentent la position des clones BAC IR64 par homologie de séquence avec Nipponbare. En rouge les trois clones BAC séquencés, en noir les clones BAC en cours de séquençage.

En B, la croix représente un résultat d'hybridation avec un signal plus ou moins fort pour chacune des sondes testées. Les couleurs correspondent aux amplifications par PCR à partir de l'ADN des différents clones BAC pour les différents gènes candidats. Les clones BAC identifiés par hybridation ont également été confirmés par un crible PCR sur colonies (voir annexe 11 pour le détail).

variété est « 64 » pour IR64, « Nip » pour Nipponbare et « 93 » pour 93-11. Le code pour le type de gène est « LRK » pour les LRR-kinases et « NB » pour les NBS-LRR.

III.2 Résultats

III.2.1 Cartographie physique de Pi33

Pi33 a été cartographié à partir des descendants du croisement IR64 x Azucena entre deux marqueurs distants de 0.4 cM (RMSPi33-53 et RM3507), situés à 10 cM de la position publiée par Berruyer et al. (2003). A partir de cette position génétique, une position physique a pu être établie in silico dans les deux variétés de riz sensibles séquencées : la variété japonica Nipponbare (Goff et al., 2002 ; International Rice Genome Sequencing Project, 2005) et la variété indica 93-11 (Zhao et al., 2004).

Cette cartographie a été complétée par une cartographie physique dans la variété résistante IR64, en utilisant une banque BAC disponible (Yang et al., 1997). Deux criblages successifs (par hybridation et par PCR sur colonies) ont permis d'établir une cartographie physique chez la variété IR64 (Figure 3.7). La zone de 240 kb chez la variété de référence Nipponbare est couverte par sept clones BAC chez IR64, représentant une taille estimée de 300 kb. Les clones sont chevauchants à l'exception possible des clones 33B02 et 31M18. D'après l'alignement des séquences disponibles de ces clones sur la séquence de Nipponbare, la zone non couverte serait de quelques kb puisque les deux extrémités de BAC se situent dans une copie de NBS-LRR qui correspondrait au gène 64-NB10-2 (Figure 3.12). Le séquençage des sept clones BAC identifiés dans la zone est en cours. Pour l'instant, trois clones ont déjà pu être séquencés par shotgun: 03M23, 33B02 et 44H23 (de 80kb, 60kb et 120 kb respectivement). Le séquençage par shotgun génère des séquences courtes (<700 bp) qu'il faut assembler en séquences plus longues, appelée contigs, sur la base de leurs homologies. La présence de séquences répétées dans la zone étudiée rend l'assemblage plus difficile car il faut pouvoir distinguer les copies paralogues. De plus, le séquençage peut être incomplet et des trous parfois importants persistent entre les contigs. Les trois clones BAC d'IR64 ont été assemblés et annotés (Figure 3.9 et Annexe 7). L'assemblage du clone 03M23 constitué de trois contigs a pu facilement être complété et l'ordre des contigs a pu être défini par analogie avec la séquence de référence de Nipponbare. Lors de l'assemblage du clone 44H23, il s'est avéré qu'une partie des séquences (34 kb) était homologue au chromosome 5 de Nipponbare. Ce clone est donc une chimère entre le chromosome 5 et le chromosome 8. Cependant l'assemblage de ce clone a permis de construire un contig de 73 kb situé sur le chromosome 8. Enfin, l'assemblage du clone 33B02 est incomplet du fait de séquences insuffisantes pour permettre d'ordonner les neuf contigs obtenus. Par analogie avec la

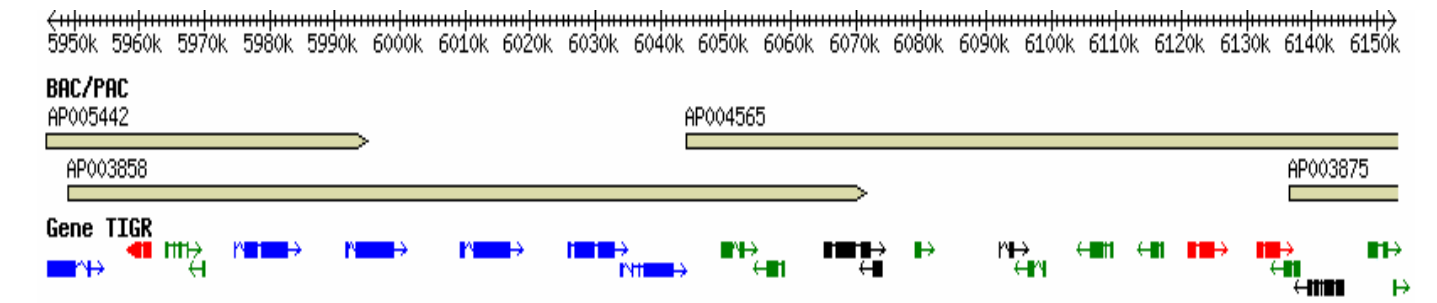


Figure 3.8. Annotation du locus *Pi33* dans la variété japonica Nipponbare.

Les annotations sont celles prédites par TIGR (The Institute for Genomic Research). En bleu = LRR-Kinase, en rouge = NBS-LRR, en noir = éléments transposables, en vert = divers gènes. Figure obtenue à partir de l'outil GBrowse de la base de données OrygenesDB.

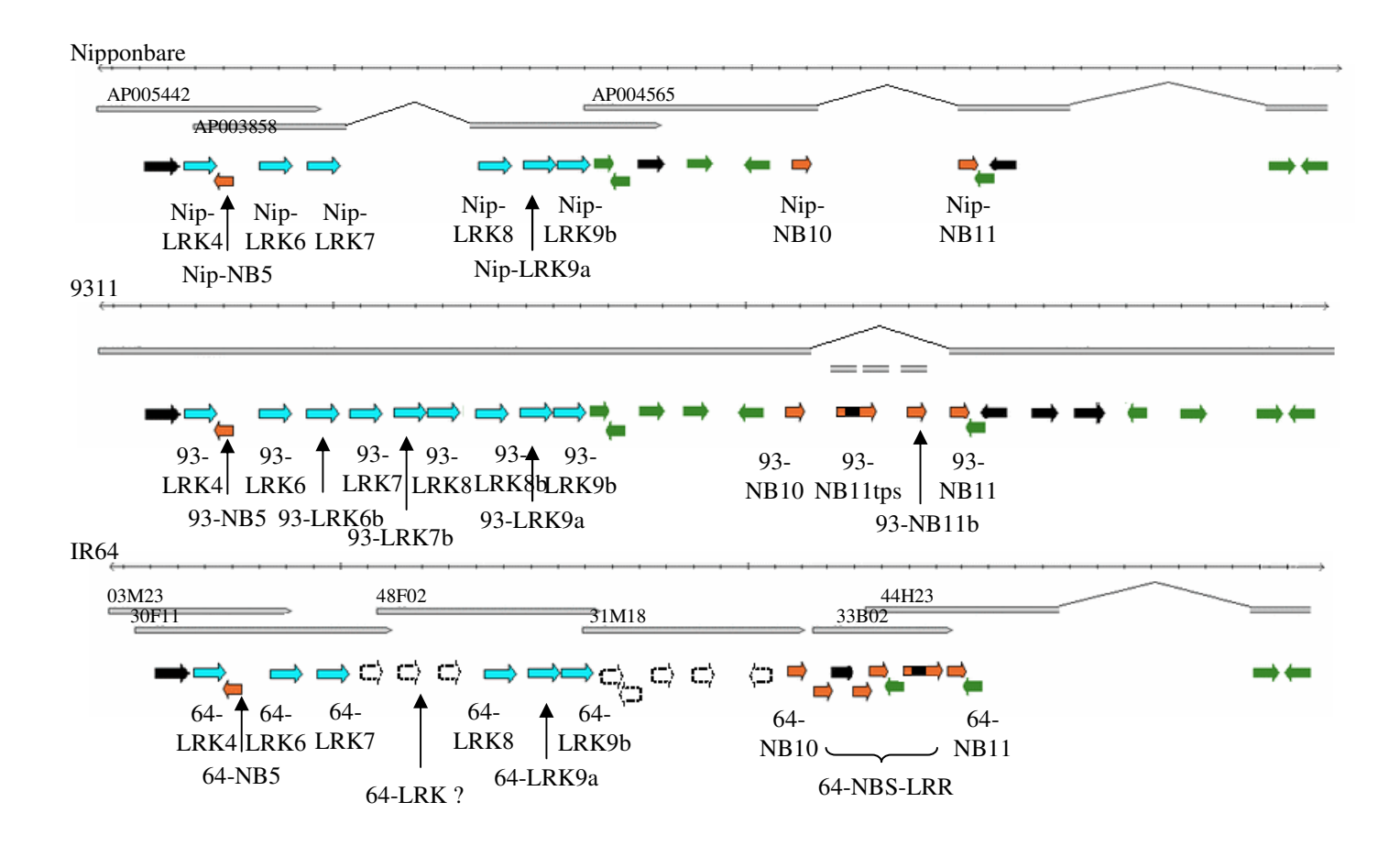


Figure 3.9. Structure comparative du locus Pi33 dans trois variétés.

Nipponbare (japonica sensible), 93-11 (indica sensible) et IR64 (indica sensible). Les gènes prédits sont représentés en bleu, vert, orange et noir pour les LRR-kinase, divers gènes exprimés, NBS-LRR et les éléments transposables respectivement.

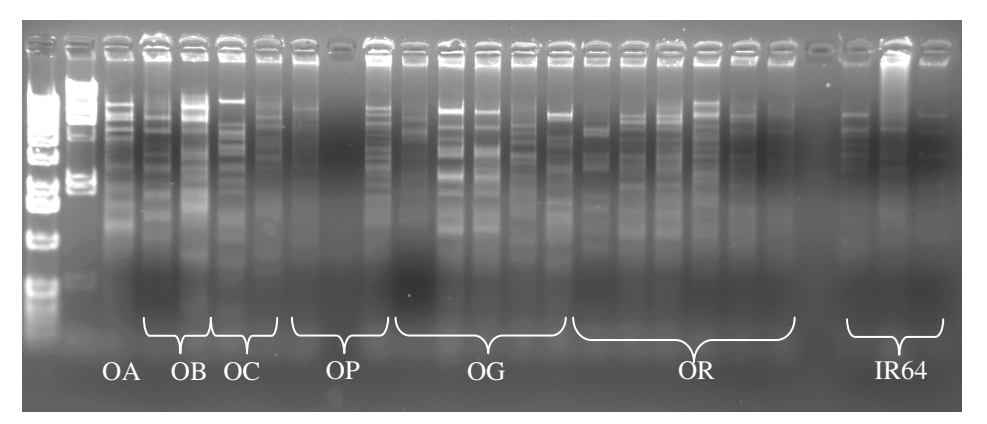


Figure 3.10. Profil de restriction des clones BAC identifiés au niveau du cluster *Pi33*.

OA = O. alta, OB = O. brachyantha, OC = O. coarctata, OP = O. punctata, OG = O. glaberrima, OR = O. rufipogon. Les clones sont disposés dans l'ordre (voir figure suivante).

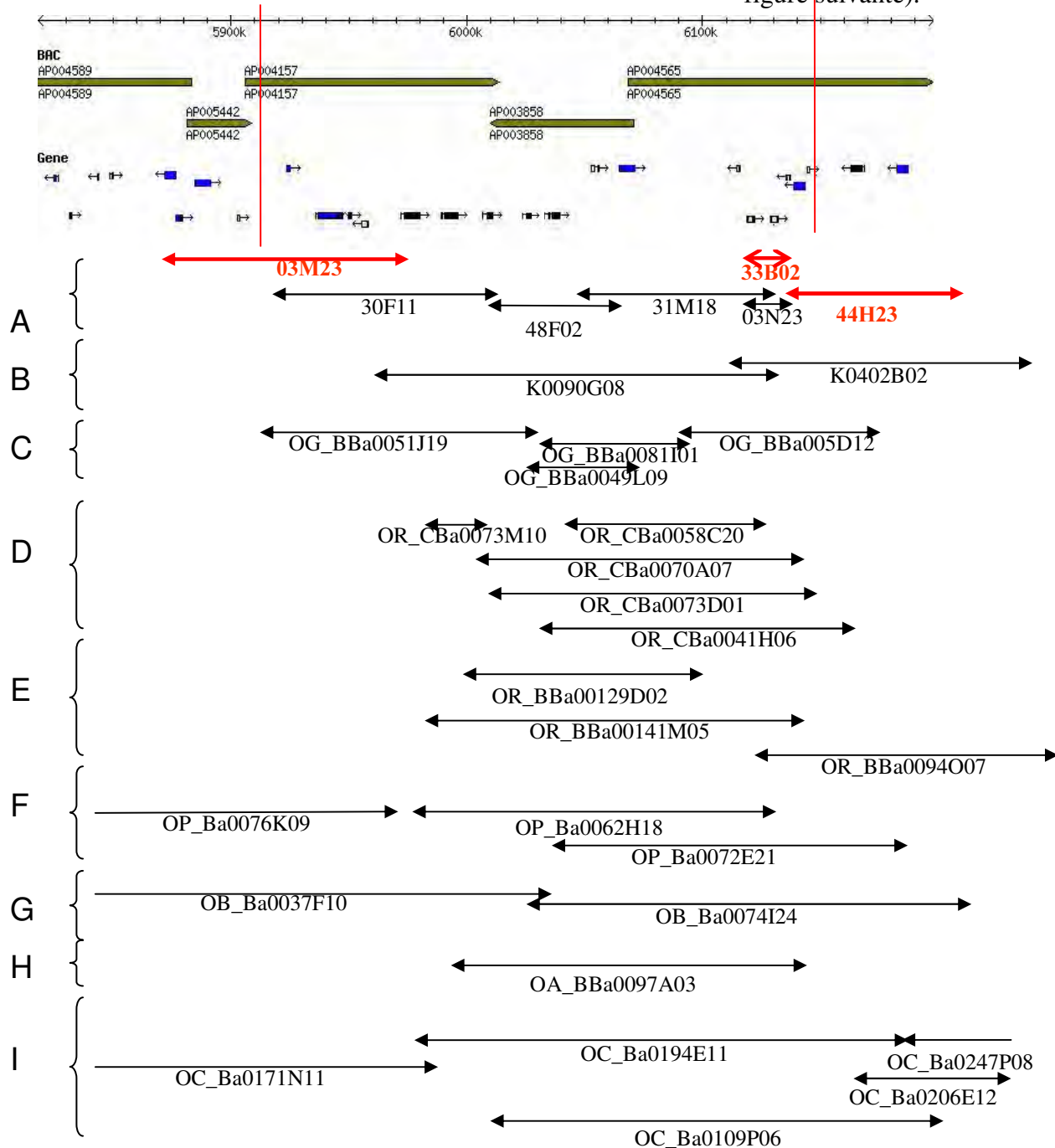


Figure 3.11 : Cartographie du locus Pi33 à partir des différentes banques BAC.

A = IR64, B = Kasalath, C = O. glaberrima, D = O. rufipogon, E = O. nivara, F = O. punctata, G = O. brachyantha, H = O. alta, I = O. coarctata.

séquence du clone 44H23 qui chevauche 33B02, six de ces contigs ont toutefois pu être ordonnés. Cependant, les trois contigs non chevauchants avec 44H23 ne peuvent être assemblés avec certitude. Bien que l'assemblage ne soit pas complet dans certaines zones, ces annotations permettent d'établir la présence de quatre gènes candidats supplémentaires de type NBS-LRR chez IR64 à la fin du cluster (Figure 3.9 et 3.12).

Pi33 ayant une origine ancienne (voir chapitre 1), il peut être intéressant d'étudier l'évolution de la structure du cluster dans différentes espèces. A cette fin, une cartographie physique in silico a été entamée pour huit autres accessions : dans une autre variété indica sensible (Kasalath ; Katagiri et al., 2004) et dans sept accessions de riz sauvages (Oryza Map Alignment Project ; Wing et al., 2005). Pour ces banques BAC, les séquences des extrémités de BAC sont disponibles sur Internet et ancrées sur le génome de la variété de référence Nipponbare (http://www.genome.arizona.edu/stc/rice/) (Annexe 11). Vingt-cinq clones BAC candidats ont ainsi été identifiés (Figure 3.10 et Figure 3.11). Six de ces clones qui couvrent le cluster de NBS-LRR sont en cours de séquençage par le Génoscope (Annexe 11).

Les séquences des génomes des deux variétés de référence (Nipponbare et 93-11) ont été annotées dans la zone définie par cartographie génétique (Figure 3.8, 3.9, 3.12 et Annexe 6). Cette zone correspond à 240kb chez Nipponbare et contient 23 gènes dont neuf RGA qui pourraient être des homologues de *Pi33*: des NBS-LRR et des LRR-kinases de type RD. Le fait que les LRR-kinases soient de type RD en font de moins bons candidats car les récepteur-kinases impliquées dans les interactions avec les agents pathogènes sont plutôt de type non RD (voir cidessus paragraphe III-1-1-a-1). Comme la plupart des NBS-LRR du riz, les NBS-LRR du locus sont constitués de deux exons qui scindent le domaine NB en deux. De plus, de manière similaire aux autres NBS-LRR de résistance à la pyriculariose clonés, le domaine LRR n'a pas pu être clairement identifié car les motifs LRR ne sont pas conservés (voir Introduction Paragraphe I-2-4). Ce domaine situé en partie C-terminale correspond en fait à un domaine riche en leucine (LRD Leucine Rich Domain).

La comparaison des annotations des séquences des trois variétés Nipponbare, 93-11 et IR64 indique tout d'abord une taille du cluster variable : 240 kb chez Nipponbare, 360 kb chez 93-11 et 300 kb chez IR64. Cette zone est également riche en éléments transposables (quatre chez Nipponbare, trois chez 93-11 et huit chez IR64). Le cluster comporte deux types d'analogues de gènes de résistance : des NBS-LRR et des LRR-kinase. D'autres gènes sont présents au locus, mais ils sont soit de fonction inconnue, soit ils n'ont pas de fonction connue dans la résistance.

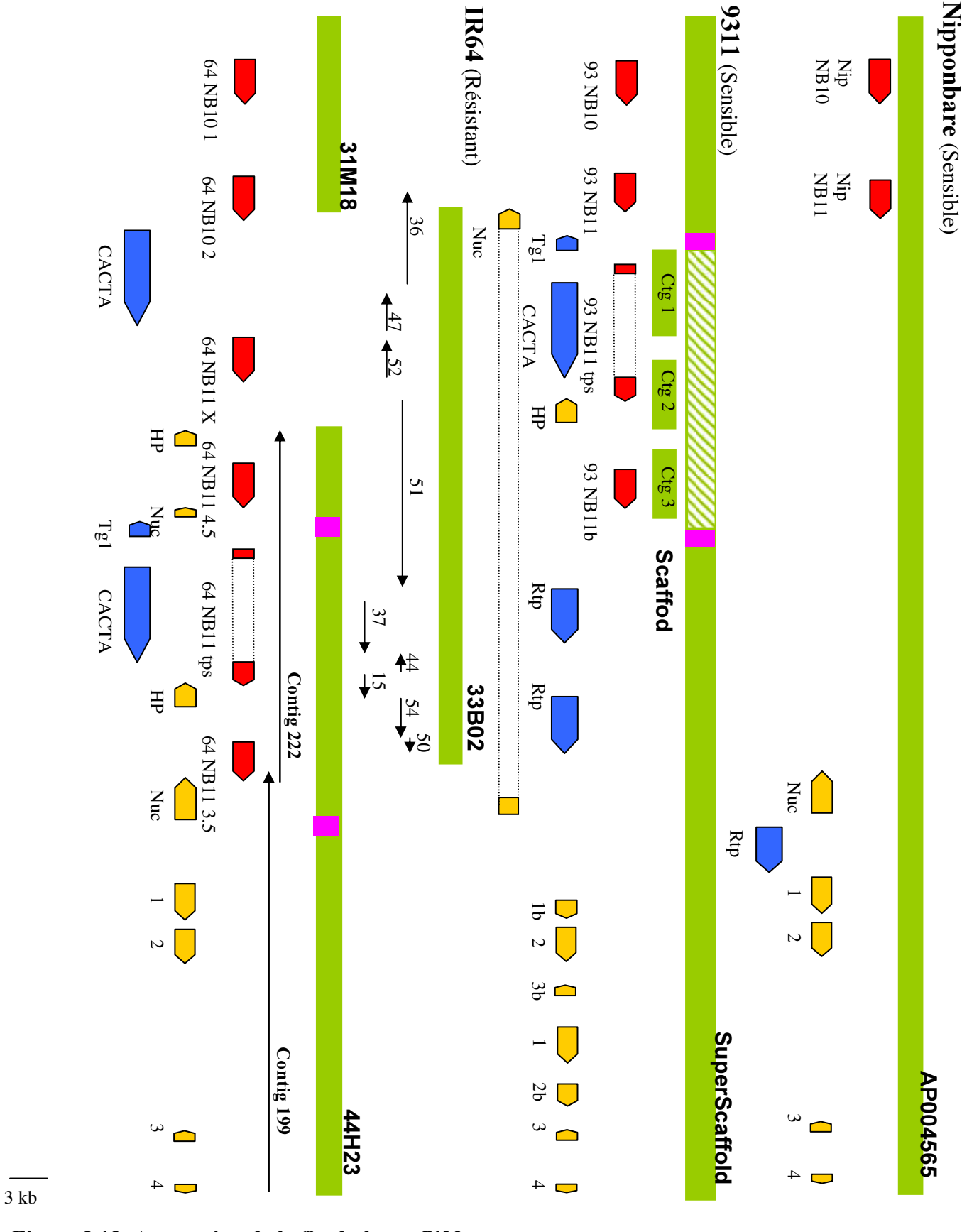


Figure 3.12. Annotation de la fin du locus *Pi33*.

En rouge les gènes candidats de type NBS-LRR, en jaune les autres gènes, en bleu les éléments transposables. HP = Protéine Hypothétique, Nuc = Transporteur de Nucléoside, 1 = Os08g10470, 2 = Os08g10480, 3 = Os08g10490, 4 = Os08g10500, CACTA = Transposon CACTA, Tg1 = Rétrotransposon, Ctg1 = AAAA02041188, Ctg2 = AAAA02042661, Ctg3 = AAAA01016632. Les flèches sous les clones BAC correspondent aux contigs séquencés et assemblés.

On peut citer par exemple, un transporteur de nucléoside (Os08g10450) qui est très conservé puisque des orthologues sont présents dans la plupart des céréales et chez Arabidopsis.

Les gènes annotés dans la variété Nipponbare sont en général conservés dans les deux autres variétés. Si l'on compare Nipponbare et 93-11 (Figures 3.9 et 3.12), les seuls ORFs absents chez 93-11 sont quatre éléments transposables (Os08g10360, Os08g10370, Os08g10390 et Os08g10460). Par contre, la variété 93-11 présente neuf ORFs supplémentaires qui correspondent souvent à des duplications de gènes déjà présents chez Nipponbare. 93-11 possède notamment trois copies supplémentaires de LRR-kinases. Si l'on compare Nipponbare et IR64 (Figures 3.9 et 3.12), là aussi les éléments transposables ne sont pas toujours conservés (absence de Os08g10460 chez IR64, présence de transposons CACTA chez IR64), et deux copies supplémentaires de gènes aux fonctions hypothétiques sont présentes chez IR64. De manière générale, la structure est relativement bien conservée (notamment au niveau du clone BAC 03M23) sauf au niveau des RGA. Ainsi, IR64 possède sept copies de NBS-LRR au lieu de trois chez Nipponbare.

Ces premiers résultats mettent ainsi en évidence une diversité de structure du cluster entre ces trois variétés. Ils mettent surtout en évidence une variation importante du nombre d'analogues de gènes de résistance entre ces trois variétés (9 chez Nipponbare, 12 chez 93-11 et au moins 12 chez IR64) et donc une variation du nombre de gènes candidats. Cependant, les variétés Nipponbare et 93-11 étant sensibles seuls les candidats présents chez IR64 peuvent être considérés comme des candidats intéressants pour *Pi33*. A partir de ces données de séquence du locus de *Pi33*, une étude plus complète sur la diversité structurale du locus et sur la diversité allèlique et transcriptomique des candidats a été entamée.

III.2.2 Structure et diversité au sein du cluster Pi33

Notre objectif était de caractériser le cluster *Pi33* afin, non seulement de faciliter le clonage en éliminant certains gènes candidats mais également d'évaluer la diversité du cluster à trois niveaux : diversité structurale, diversité allélique et diversité d'expression. Dans le chapitre 1 plusieurs origines pour l'allèle de résistance *Pi33* ont été mises en évidence. Deux hypothèses sont alors envisageables : 1) un seul gène est responsable du phénotype chez les différentes origines 2) au même locus, des gènes différents en fonction des sources confèrent la résistance. Ces deux hypothèses doivent être prises en compte dans l'interprétation des résultats d'analyse du polymorphisme des gènes candidats. Suivant la première hypothèse, le gène candidat doit être commun à toutes les variétés résistantes donc monomorphe chez ces variétés et polymorphe chez les variétés sensibles. Suivant la seconde hypothèse, la comparaison des individus résistants et sensibles ne sera informative que si ces individus sont génétiquement proches, au moins au locus

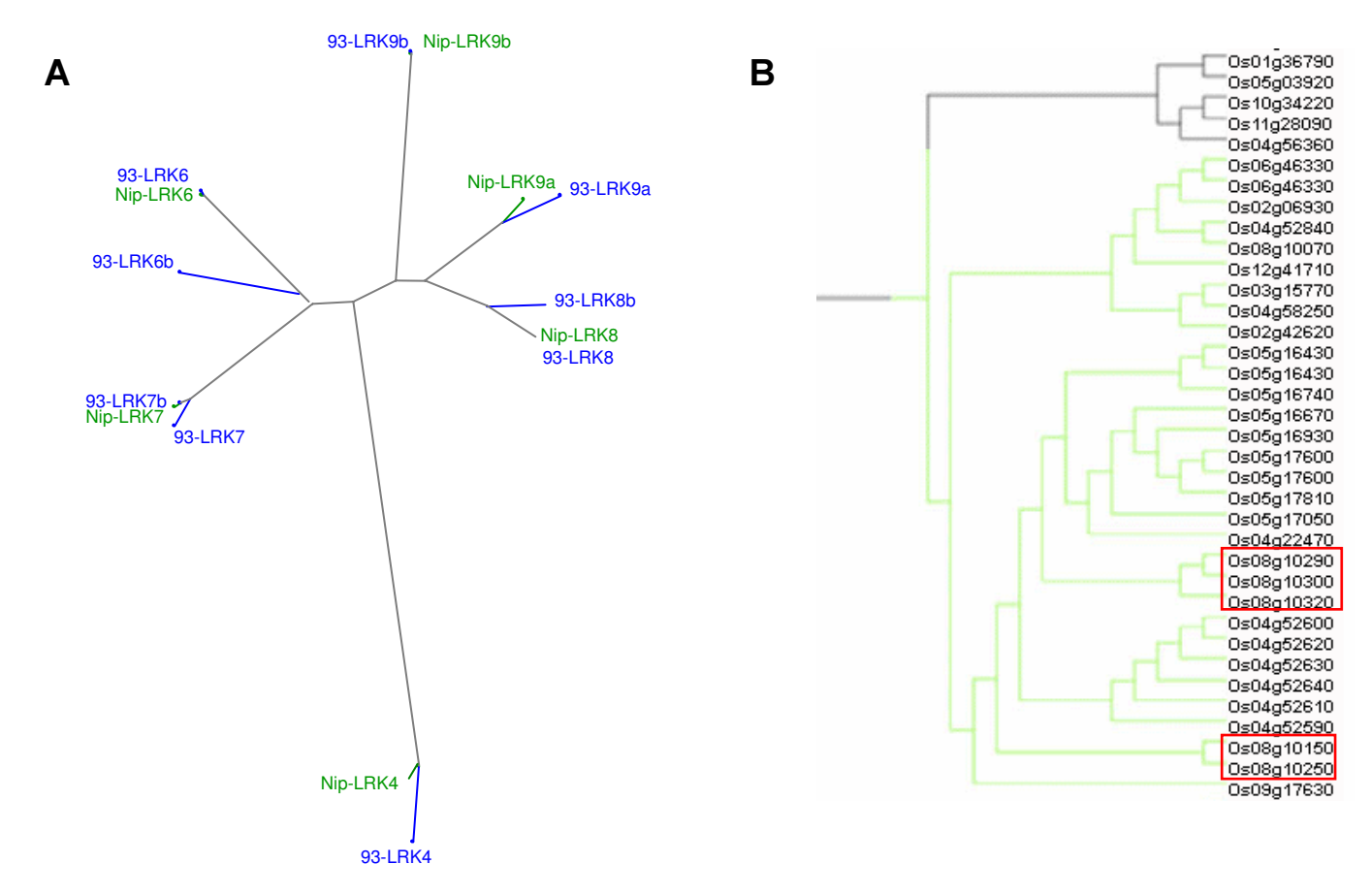


Figure 3.13. Similarité des LRR-kinases candidates au locus Pi33.

A = Arbre des LRR-kinases du locus *Pi33*. Les séquences complètes des gènes ont été alignées par CLUSTALW. L'arbre est construit par Neighbor Joining. Les séquences pour IR64 ont été retirées de l'analyse car elles étaient incomplètes. En bleu 93-11 et en vert Nipponbare. L'équivalence entre les N° TIGR et le code des gènes dans l'arbre est disponible en annexe 6.

B= Extrait de l'arbre des Kinases du riz d'après le Rice Kinase Database (http://rkd.ucdavis.edu/). En vert le clade dont font partie les LRR-kinases du locus *Pi33*. Encadrées en rouge, les LRR-kinases du locus *Pi33*.

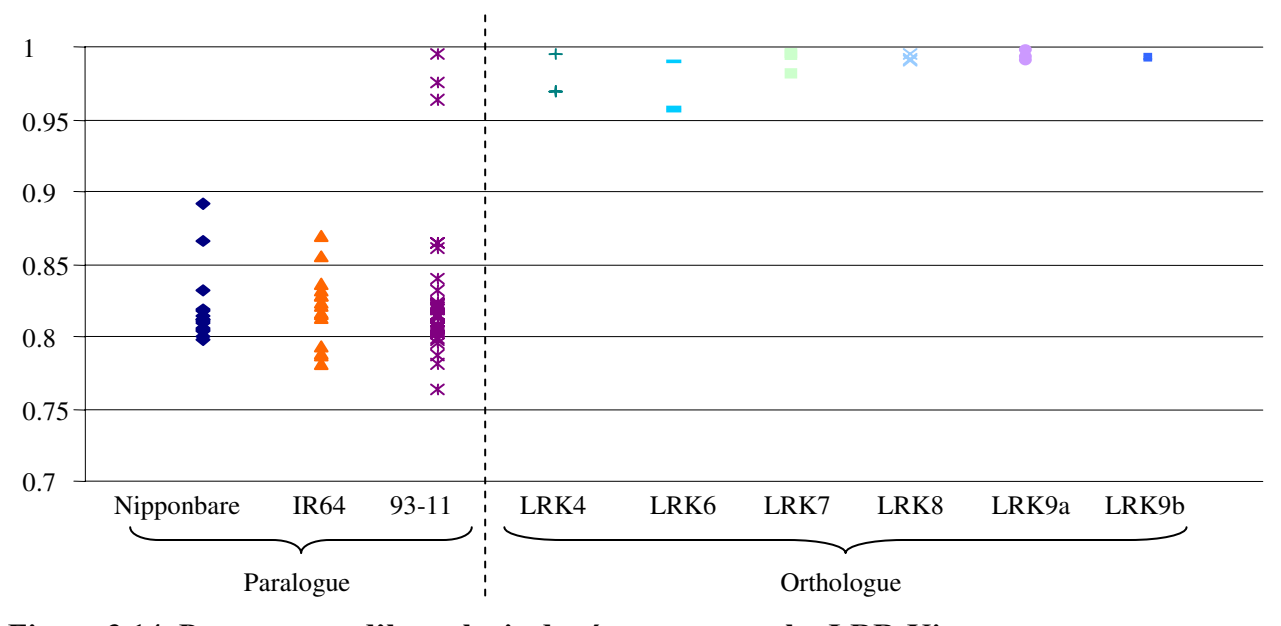


Figure 3.14. Pourcentage d'homologie de séquence entre les LRR-Kinases.

A gauche, les comparaisons sont effectuées entre les paralogues au sein d'une variété (Nipponbare, IR64 et 93-11). A droite les comparaisons son effectuées pour chaque gène candidat entre les trois variétés.

de *Pi33*. Nous disposons de trois couples Résistant/Sensible répondant à ce critère : C101Lac/C104Lac, IR64/IR36 et TYC/IR8.

a Polymorphisme structurale au sein du cluster

a.1 Diversité au sein du cluster de LRR-kinases

Même si les LRR-kinases situées au locus sont de moins bonnes candidates pour *Pi33*, il est important d'étudier leur structure, car l'évolution de cette famille a pu avoir une influence non négligeable sur l'histoire évolutive du cluster *Pi33*. Ainsi, au locus, un des NBS-LRR (NB5) est isolé au milieu des LRR-kinases. De plus, l'évolution des LRR-kinases peut être utilisée comme marqueur de l'évolution de l'ensemble du locus. Pour étudier le polymorphisme structural, nous disposons des séquences complètes du cluster dans deux variétés sensibles : les deux variétés séquencées (Nipponbare et 93-11). Une extension du cluster de LRR-kinases semble avoir eu lieu entre la variété japonica Nipponbare et la variété indica 93-11. En effet, six LRR-kinases sont réparties sur 105 kb chez Nipponbare contre neuf sur 155 kb chez 93-11 (Figure 3.9).

Les séquences disponibles chez Nipponbare et 93-11 ont été alignées avec CLUSTALW et un arbre a été construit par neighbor joining (Figure 3.13). Toutes les copies de LRR-kinases identifiées chez Nipponbare ont un orthologue chez 93-11. Dans l'arbre, les gènes orthologues se regroupent tous par paires, ce qui implique que la séparation indica-japonica a eu lieu après la duplication. Ainsi, le cluster de LRR-kinases du locus *Pi33* serait issu de duplications en tandem qui auraient eu lieu chez l'ancêtre commun. En tout cinq évènements de duplication successifs auraient abouti aux six LRR-kinases situées sur le chromosome 8. Il n'est pas possible de savoir si les gènes qui n'existent que chez 93-11 seraient issus de duplications qui dateraient d'après la spéciation ou alors si la copie orthologue a disparu chez Nipponbare. Le cluster de LRR-kinases aurait donc une origine ancienne (avant la séparation des deux sous-espèces). De plus, des homologues de ces gènes ont également été mis en évidence sur d'autres chromosomes (Figure 3.13). Il est probable que toutes ces copies soient issues d'un seul gène ancestral qui se serait amplifié sur plusieurs chromosomes puis une deuxième période d'amplification aurait eu lieu indépendamment sur chaque chromosome.

Les homologies de séquence ont été calculées par alignement deux à deux de chaque gène avec tous les autres (Figure 3.14 et Annexe 8). Les orthologues de Nipponbare ont pu être confirmés par leur pourcentage d'homologie de séquence. L'analyse des homologies de séquence permet de distinguer clairement deux niveaux d'homologie de séquence : une homologie supérieure à 96% qui correspond aux alignements d'orthologues et aux alignement de certains paralogues (notamment les copies supplémentaires présentent chez 93-11) et une homologie de

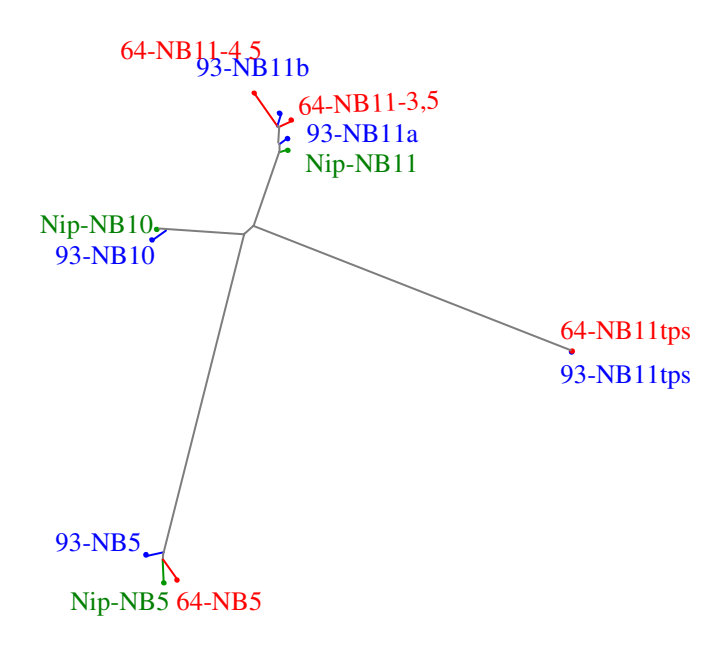
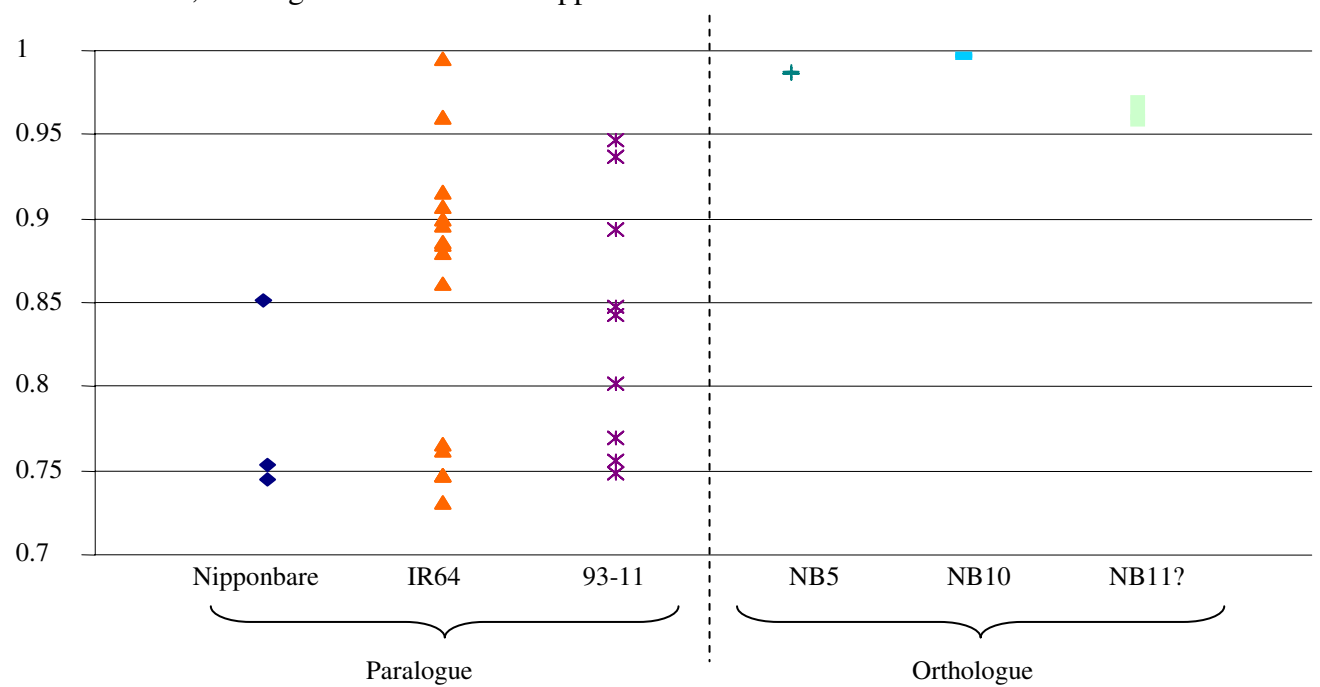


Figure 3.15. Arbre des NBS-LRR candidats au cluster Pi33.

Les séquences complètes des gènes ont été alignées par CLUSTALW. L'arbre est construit par Neighbor Joining. Trois des copies présentes chez IR64 n'ont pas été analysées car leurs séquences sont incomplètes. Les gènes 64-NB10-1 et 64-NB11-X ont été partiellement séquencés à partir de PCR et un fragment du gène 64-NB10-2 est présent dans un contig du clone BAC 33B02. L'équivalence entre les N° TIGR et le code des gènes dans l'arbre est disponible en annexe 6.



En bleu 93-11, en rouge IR64 et en vert Nipponbare.

Figure 3.16. Pourcentage d'homologie de séquence entre les NBS-LRR.

A gauche, les comparaisons sont effectuées entre les paralogues au sein d'une variété (Nipponbare, IR64 et 93-11). A droite les comparaisons son effectuées pour chaque gène candidat entre les trois variétés.

séquence autour de 80% qui correspond aux alignements entre paralogues d'une même variété ou entre paralogues de deux variétés différentes.

a.2 Diversité au sein du cluster de NBS-LRR

Les séquences génomiques disponibles nous permettent également de comparer le cluster de NBS-LRR. Chez Nipponbare, deux copies sont très proches physiquement à la fin du cluster tandis qu'une troisième copie est isolée au sein du cluster de LRR-kinases. Ainsi, les trois copies se répartissent sur 160 kb.

Chez IR64, au moins sept copies de NBS-LRR sont présentent (Figure 3.12). Comme pour Nipponbare, un NBS-LRR (orthologue de Nip-NB5) est isolé au sein du cluster de LRR-kinases. Les six autres NBS-LRR sont groupés. Ce cluster a donc subi une extension chez IR64 puisque la copie homologue de Nip-NB11 ce serait dupliquée à au moins trois reprises. Bien que la structure semble relativement conservée entre Nipponbare et 93-11, au moins deux copies supplémentaires de NBS-LRR semblent présentes au locus chez 93-11. En effet, l'assemblage de 93-11 est basé sur une homologie de séquence avec le génome de Nipponbare. Or, l'analyse des contigs qui ont permis l'assemblage du génome de 93-11 permet de mettre en évidence trois contigs supplémentaires (AAAA02042661, AAAA01016632 et AAAA02041188) qui n'ont pas été intégrés dans l'assemblage. Ces trois contigs contiennent les séquences de deux copies supplémentaires : 93-NB11b et 93-NB11tps (Figure 3.12). Par analogie avec la structure du cluster chez IR64, une position est proposée pour ces contigs dans la Figure 3.12.

Enfin, d'après l'arbre construit à partir de l'alignement de CLUSTALW (Figure 3.15), de manière analogue aux LRR-kinases, les NBS-LRR seraient issus d'une copie ancestrale qui se serait dupliquée avant la séparation des indica et des japonica. Cependant, pour les copies supplémentaires NB11, il n'est pas possible de dater ces duplications. De plus, il est difficile de déterminer les orthologues de Nip-NB11. Il est probable que cet orthologue n'existe pas chez 93-11. Chez IR64, 64-NB11-X, dont nous ne possédons qu'une séquence partielle, serait l'orthologue le plus probable de Nip-NB11. D'autre part, de manière similaire aux LRR-kinases, les gènes orthologues présentent une homologie de séquence plus élevée (99 % en moyenne) que les paralogues entre eux (76% entre NB5 et les deux autres et 88% entre NB10 et NB11) (Figure 3.16 et Annexe 8).

a.3 Comparaison de la structure du locus dans différents fonds génétiques

La présence de chaque gène candidat a été vérifiée dans différents fonds génétiques par PCR. Des amorces spécifiques ont été dessinées dans chaque gène sur la base des séquences disponibles de Nipponbare et d'IR64. Ainsi la présence des différents gènes a été recherchée dans

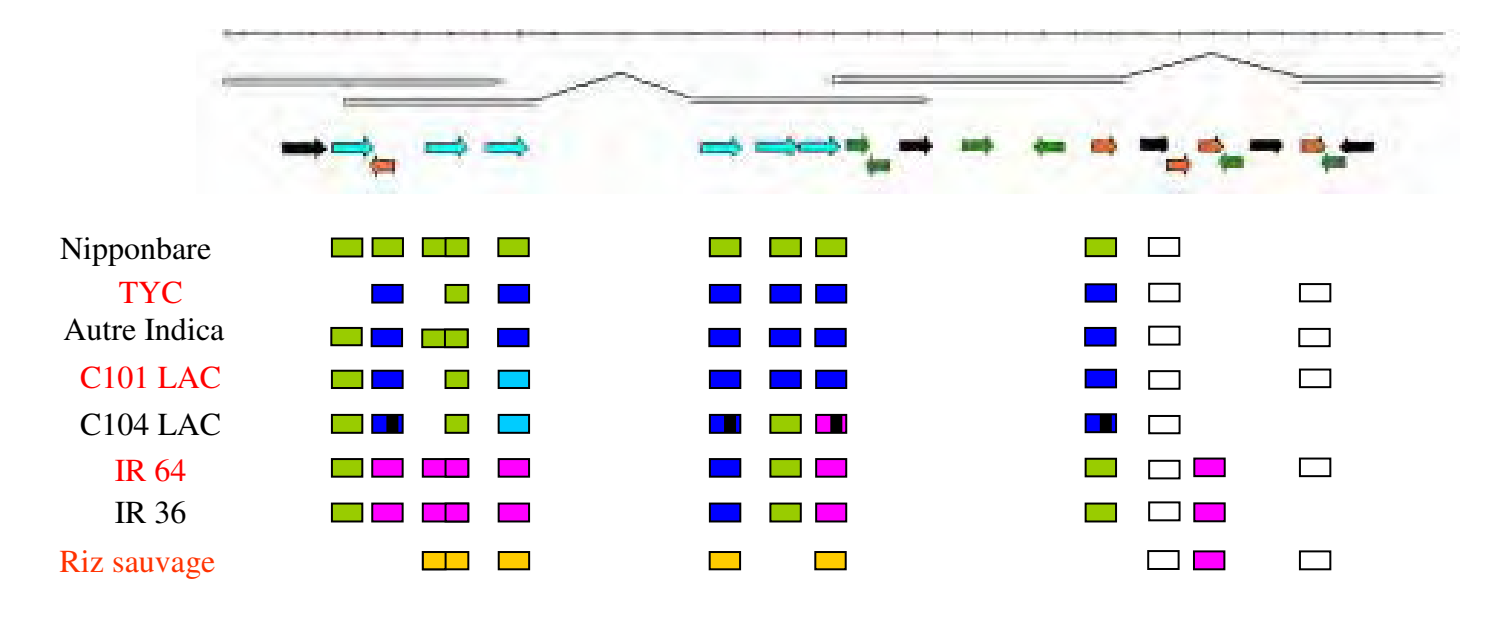


Figure 3.17. Structure comparative du locus Pi33 dans différentes variétés.

Variétés sensibles (noir) et résistantes (rouge). La présence d'un gène est représenté par une boite, les couleurs correspondent à un polymorphisme de séquence. Lorsque les résultats d'une première PCR étaient négatifs, un deuxième jeu d'amorces était dessiné ailleurs dans le gène pour vérifier l'absence du gène. Nous avons considéré qu'un résultat de PCR positif indiquait la présence du gène.

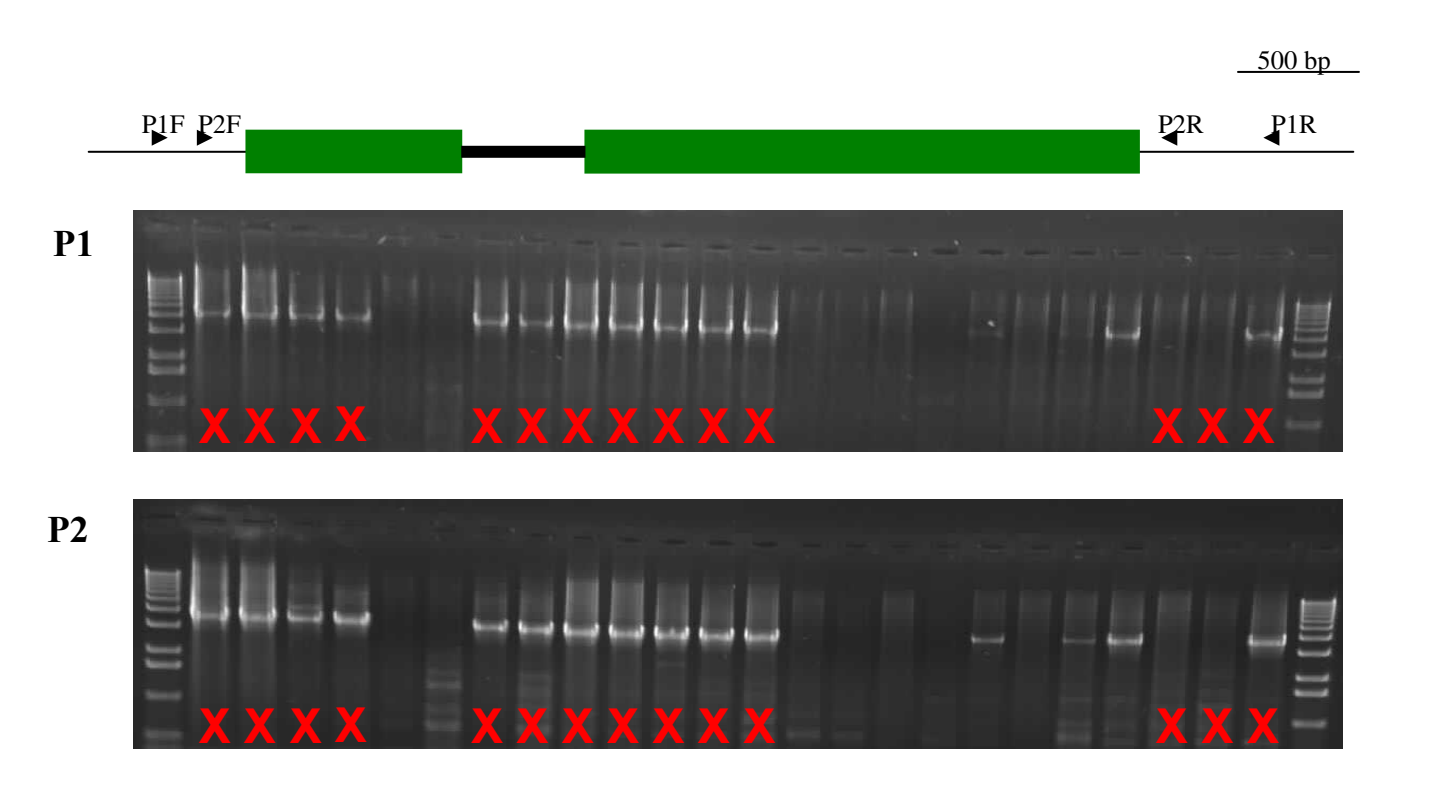


Figure 3.18. Résultats des amplifications par long-range PCR pour le gène NB11-3,5.

Les amorces utilisées sont présentées en Annexe 9. En vert, transcrit du gène 64-NB11-3,5. **X** = Variétés résistantes aux souches *Avr-Pi33*. Dans l'ordre : *O. rufipogon* IRGC 101508, ZYQ8, IR64, C101LAC, C104LAC, IR36, TYC, TN1, Bala, Kaw luyoeng, Khao Gaew, Pin Kaw, Irat7, Nipponbare, Azucena, Geb24, IR8, Latisail, Cina, Mudgo, Peta, *O. latifolia* W1184, *O. latifolia* W0542, *O. rufipogon* W1690.

Le gène s'amplifie chez toutes les variétés résistantes sauf dans les deux accessions de *O. latifolia* et chez trois variétés sensibles : Latisail, Peta et Mudgo.

huit variétés résistantes ou sensibles aux souches avirulentes *ACE1* (Figure 3.17) et sur certaines accessions d'espèces sauvages qui pourraient posséder *Pi33* (chapitre 1).

Sept des onze gènes candidats testés sont présents chez toutes les variétés de riz de l'espèce sativa, sensibles ou résistantes. Les quatre gènes absents ou incomplets chez certaines variétés correspondent aux copies : LRK4, LRK6, 64-NB11-4.5 et 64-NB11-3.5. Selon l'hypothèse d'une origine unique de Pi33 chez toutes les variétés résistantes, ces 4 gènes sont de moins bons candidats car ils sont absents de certaines variétés résistantes. Cependant, dans l'hypothèse où deux gènes situés au même locus conféreraient la résistance, un gène présent uniquement dans un des haplotypes de résistance pourrait être un candidat pour Pi33 dans cet haplotype.

Le gène 64-NB11-3.5 apparaît comme un candidat intéressant car c'est le seul polymorphisme structural Résistant/Sensible qui ait été mis en évidence. En effet, ce gène, qui peut être amplifié entièrement par PCR « long range » (Figure 3.18), s'amplifie à quelques exceptions près (les génotypes sensibles Latisail, Peta et Mudgo) uniquement chez les individus résistants.

b Polymorphisme allélique des membres du cluster

Afin de décrire la diversité allélique au sein du cluster *Pi33*, sept des neufs gènes candidats présents chez Nipponbare ont été partiellement séquencés (~550 bp/gène) chez différentes variétés sensibles et résistantes (Tableau 3.2). Une plus grande portion des gènes a également été séquencée chez les variétés IR36 et IR64. Le polymorphisme par rapport à Nipponbare est en moyenne de 0.74%. Ce qui est similaire à des résultats décrits dans la littérature (Yu *et al.*, 2002). Aucun gène n'est monomorphe chez toutes les variétés résistantes et polymorphes avec les variétés sensibles. De plus, le polymorphisme entre les variétés résistantes est parfois de type non synonyme. Un polymorphisme entre les deux lignées isogéniques C101LAC et C104LAC a été observé, mais seul le gène NB5 présente des mutations non synonymes (Tableau 3.2). Le gène NB5 pourrait donc être un bon candidat. Cependant, ce résultat est à tempérer par le fait qu'une faible proportion des gènes a été séquencée et suivant les gènes, la zone séquencée peut se situer ou non dans un point chaud de polymorphisme. Le fait qu'aucun polymorphisme n'ait été détecté chez les autres gènes n'en fait donc pas forcément de moins bons candidats.

De façon à permettre une comparaison plus approfondie, dix des gènes candidats ont été séquencés de manière plus complète chez trois variétés génétiquement très similaires autour de *Pi33* (Ballini et al., 2007) : IR36 (indica sensible), IR64 (indica résistant) et *Oryza rufipogon* IRGC 101508 (résistant). En moyenne, 56,4 % de la séquence des gènes a été obtenue (soit plus de 24.5 kpb au total). Ces séquences ne mettent en évidence aucun polymorphisme entre la variété

		LRK4 (740 bp)			NB5 (525 bp)			LRK6 (232 bp)				LRK7 (591 bp)					
Variété	Phénotype	Polym Nipponbare	Polym (). rufipogon	Polym (). barthii	Polym C101LAC	Polym Nipponbare	Polym (). nufipogon	Polym (). <i>barthii</i>	Polym C101LAC	Polym Nipponbare	Polym (). rufipogon	Polym (). barthii	Polym C101LAC	Polym Nipponbare	Polym (). rufipogon	Polym (). barthii	Polym C101LAC
Nipponbare	S	0.00%	0.00%	9.46%	0.00%	0.00%	1.33%	0.38%	4.00%	0.00%	3.02%	0.00%	0.00%	0.00%	1.18%	3.89%	0.34%
Azucena	S	nd	nd	nd	nd	nd	nd	nd	nd	0.00%	3.02%	0.00%	0.00%	0.20%	1.35%	4.06%	0.17%
W542	R	nd	nd	nd	nd	nd	nd	nd	nd	0.00%	3.02%	0.00%	0.00%	nd	nd	nd	nd
W1184	R	nd	nd	nd	nd	nd	nd	nd	nd	0.00%	3.02%	0.00%	0.00%	nd	nd	nd	nd
W1574	R	7.80%	9.46%	0.00%	7.80%	2.00%	2.10%	0.00%	4.38%	0.00%	3.02%	0.00%	0.00%	4.10%	3.38%	0.00%	3.89%
W1690	R	0.00%	0.00%	9.46%	0.00%	nd	nd	nd	nd	3.00%	0.43%	3.02%	3.02%	1.20%	0.17%	3.21%	1.02%
O. nivara	R	0.00%	0.00%	0.00%	0.00%	1.80%	0.00%	2.10%	2.67%	3.00%	0.00%	3.02%	3.02%	1.20%	0.00%	3.38%	1.18%
IR36	S	0.00%	0.00%	0.00%	0.00%	1.80%	0.00%	2.10%	2.67%	3.00%	0.00%	3.02%	3.02%	1.20%	0.00%	3.38%	1.18%
IR64	R	0.00%	0.00%	9.46%	0.00%	1.80%	0.00%	2.10%	2.67%	3.00%	0.00%	3.02%	3.02%	1.20%	0.00%	3.38%	1.18%
TYC	R	nd	nd	nd	nd	3.80%	2.67%	4.38%	0.00%	0.00%	3.02%	0.00%	0.00%	0.30%	1.18%	3.89%	0.00%
ZYQ8	R	nd	nd	nd	nd	3.80%	2.67%	4.38%	0.00%	0.00%	3.02%	0.00%	0.00%	0.20%	1.18%	3.89%	0.00%
IRAT7	R	nd	nd	nd	nd	3.80%	2.67%	4.38%	0.00%	0.00%	3.02%	0.00%	0.00%	0.20%	1.18%	3.89%	0.00%
IR 1529	R	0.00%	0.00%	9.46%	0.00%	3.80%	2.67%	4.38%	0.00%	0.00%	3.02%	0.00%	0.00%	0.20%	1.18%	3.89%	0.00%
BALA	R	nd	nd	nd	nd	3.80%	2.67%	4.38%	0.00%	0.00%	3.02%	0.00%	0.00%	0.20%	1.18%	3.89%	0.00%
CINA	S	0.00%	0.00%	9.46%	0.00%	3.80%	2.67%	4.38%	0.00%	0.00%	3.02%	0.00%	0.00%	0.50%	1.18%	3.89%	0.34%
GEB24	S	0.00%	0.00%	9.46%	0.00%	3.80%	2.67%	4.38%	0.00%	0.00%	3.02%	0.00%	0.00%	1.00%	0.17%	3.21%	1.02%
IR8	S	nd	nd	nd	nd	4.00%	2.67%	4.38%	0.19%	0.00%	3.02%	0.00%	0.00%	1.00%	0.17%	3.21%	1.02%
LATISAIL	S	nd	nd	nd	nd	3.80%	2.67%	4.38%	0.00%	0.00%	3.02%	0.00%	0.00%	0.80%	0.17%	3.21%	1.02%
MUDGO	S	nd	nd	nd	nd	3.80%	2.67%	4.38%	0.00%	0.00%	3.02%	0.00%	0.00%	1.00%	0.17%	3.21%	1.02%
PETA	S	0.14%	0.14%	9.46%	0.14%	3.80%	2.67%	4.38%	0.00%	0.00%	3.02%	0.00%	0.00%	1.00%	0.17%	3.21%	1.02%
C101	R	0.00%	0.00%	9.46%	0.00%	3.80%	2.67%	4.38%	0.00%	0.00%	3.02%	0.00%	0.00%	0.30%	1.18%	3.89%	0.00%
C104	S	0.00%	0.00%	9.46%	0.00%	0.50%	1.14%	1.33%	3.05%	0.00%	3.02%	0.00%	0.00%	0.30%	1.18%	3.89%	0.00%
CO39	S	0.00%	0.00%	9.46%	0.00%	1.00%	1.14%	1.33%	3.43%	0.00%	3.02%	0.00%	0.00%	0.30%	1.18%	3.89%	0.00%
Moyenne		0.61%	0.74%	7.28%	0.61%	2.88%	1.98%	3.26%	1.21%	nd	2.51%	0.52%	0.52%	0.78%	0.84%	3.45%	0.68%

			LRK8 (5	518 bp)		LRK9b (544 bp)				NB10 (784 bp)			
Variété	Phénotype	Polym Nipponbare	Polym (). nufipogon	Polym (). <i>barthii</i>	Polym C101LAC	Polym Nipponbare	Polym O. nufipogon	Polym <i>(</i>). <i>barthii</i>	Polym C101LAC	Polym Nipponbare	Polym O. nufipogon	Polym <i>(</i>). <i>barthii</i>	Polym C101LAC
Nipponbare	S	0.00%	0.97%	0.77%	0.77%	0.00%	0.55%	nd	0.18%	nd	0.00%	nd	0.64%
Azucena	S	0.00%	0.97%	0.77%	0.77%	nd	nd	nd	nd	nd	nd	nd	nd
W542	R	nd	nd	nd	0.00%	5.30%	7.72%	nd	7.54%	nd	nd	nd	nd
W1184	R	nd	nd	nd	0.00%	nd	nd	nd	nd	nd	nd	nd	nd
W1574	R	0.70%	1.35%	0.00%	1.54%	nd	nd	nd	nd	nd	nd	nd	nd
W1690	R	1.00%	0.77%	1.16%	1.74%	nd	nd	nd	nd	nd	nd	nd	nd
O. nivara	R	0.80%	0.00%	1.35%	1.74%	0.40%	0.00%	nd	0.37%	0.00%	0.00%	nd	0.64%
IR36	S	0.80%	0.00%	1.35%	1.74%	0.40%	0.00%	nd	0.37%	0.00%	0.00%	nd	0.64%
IR64	R	0.80%	0.00%	1.35%	1.74%	0.40%	0.00%	nd	0.37%	0.00%	0.00%	nd	0.64%
TYC	R	0.80%	0.00%	1.35%	1.74%	0.10%	0.37%	nd	0.00%	0.64%	0.64%	nd	0.00%
ZYQ8	R	0.70%	1.74%	0.97%	0.00%	nd	nd	nd	nd	nd	nd	nd	nd
IRAT7	R	0.80%	0.77%	1.16%	1.74%	nd	nd	nd	nd	nd	nd	nd	nd
IR1529	R	0.70%	1.74%	0.97%	0.00%	nd	nd	nd	nd	nd	nd	nd	nd
BALA	R	0.70%	1.74%	0.97%	0.00%	nd	nd	nd	nd	nd	nd	nd	nd
CINA	S	0.80%	0.77%	1.54%	1.54%	nd	nd	nd	nd	nd	nd	nd	nd
GEB24	S	1.30%	1.74%	1.93%	1.93%	nd	nd	nd	nd	nd	nd	nd	nd
IR8	S	0.80%	0.77%	1.54%	1.54%	nd	nd	nd	nd	nd	nd	nd	nd
LATISAIL	S	1.10%	1.35%	1.16%	2.12%	nd	nd	nd	nd	nd	nd	nd	nd
MUDGO	S	0.80%	0.77%	1.35%	1.35%	nd	nd	nd	nd	nd	nd	nd	nd
PETA	S	1.10%	0.97%	1.16%	2.12%	nd	nd	nd	nd	nd	nd	nd	nd
C101	R	0.70%	1.74%	1.54%	0.00%	0.10%	0.37%	nd	0.00%	0.64%	0.64%	nd	0.00%
C104	S	0.80%	0.77%	1.35%	1.74%	0.30%	0.18%	nd	0.18%	0.64%	0.64%	nd	0.00%
CO39	S	0.80%	0.77%	1.35%	1.74%	nd	nd	nd	nd	nd	nd	nd	nd
Moyenne		0.76%	0.94%	1.20%	1.20%	0.88%	1.15%	nd	1.13%	0.32%	0.27%	nd	0.36%

Tableau 3.2. Polymorphisme de séquence (codant + non-codant) au sein des différents gènes candidats.

Le polymorphisme est calculé par rapport à la variété japonica Nipponbare, aux accessions sauvages *O. rufipogon* et *O. barthii* et à la variété indica C101LAC. En gris = données absentes, En orange polymorphisme supérieur à 1,5%. Les deux autres gènes candidats (Nip-LRK9a, Nip-NB11) n'ont pas été séquencés du fait de difficultés à obtenir des séquences spécifiques de qualité.

		Non 9	Synor	nyme	Sy	nonyr	ne	Non Codan					
Gène	Taille (bp)	Kinase	LRR	autre	Kinase	LRR	autre		Polym Codant	Polym Non Codar	nt Ka/Ks Kinase	e Ka/Ks LRR	Total Ka/Ks
LRK4	7598	?	?	5	?	?	7	13	0.16%	0.17%	Nd	Nd	0.71
NB5	3437	3	?	7	14	?	13	7	1.08%	0.20%	0.21	Nd	0.37
LRK6	7829	4	0	3	13	0	6	28	0.33%	0.36%	0.31	1.00	0.37
LRK7	2944	6	1	4	9	2	4	28	0.88%	0.95%	0.67	0.50	0.73
LRK8	4347	1	0	6	3	1	8	8	0.44%	0.18%	0.33	0.00	0.58
LRK9a	6483	1	0	4	3	0	7	16	0.23%	0.25%	0.33	1.00	0.50
LRK9b	7822	0	0	1	3	0	0	13	0.05%	0.17%	0.00	1.00	0.33
NB10	2768	0	?	1	3	?	3	15	0.25%	0.54%	0.00	Nd	0.17

Tableau 3.3. Polymorphisme de séquence (codant + non-codant) au sein des différents gènes candidats entre les deux variétés de référence Nipponbare et 93-11.

Les données de SNP ont été obtenues à partir de la base de données Gramene. Une distinction est faite entre les domaines kinases (=NB pour les NBS-LRR) et LRR (= LRD pour les NBS-LRR).

Gènes	Commentaire	IR	64	IR36		
		24h	48h	24h	48h	
64-LRK4	Non spécifique					
64-NB5	Non exprimé					
64-LRK6	•	++	Nd	++	Nd	
64-LRK7	Non répétable					
64-LRK8		+++	+++	+++	0	
64-LRK9a	Non exprimé					
64-LRK9b	Non spécifique					
64-NB10-1		+	+	+	+	
64-NB10-2	ND					
64-NB11X	ND					
64-NB11tps	ND					
64-NB11-3,5		++	++	++	0	
64-NB11-4,5	ND					

Tableau 3.4. Expression des gènes candidats au cours de l'infection.

L'expression des différents gènes candidats présents chez IR64 est analysée à 24h et à 48h après inoculation dans la variété résistante IR64 et dans la variété sensible IR36. Un rapport est fait entre l'expression dans une plante inoculée par rapport à l'expression dans une plante témoin non inoculée.

+++ = induction plus de trois fois supérieure au témoin, ++ = induction de 2 à 3 fois supérieure au témoin, + = induction de 1 à 2 fois supérieure au témoin, 0 = gène non différentiellement exprimé.



Figure 3.20. Phénotypes des mutants de la population de Tilling IR64.

sensible et les deux variétés résistantes. Cependant, tant qu'une séquence complète pour tous les gènes candidats ne sera pas disponible, il ne sera pas possible d'éliminer ou de confirmer un candidat.

Pour chacun des gènes candidats présent chez Nipponbare et 93-11, nous avons pu évaluer un rapport Ka/Ks (mutations non synonymes/mutations synonymes) qui donne un indice de la pression de sélection exercée sur chacun des gènes. En effet, une base de données des SNP identifiés entre Nipponbare et 93-11 est accessible sous Gramene. Pour chaque gène les SNP synonymes et non synonymes ont été identifiés en distinguant le domaine (LRR, Kinase, NB ou autre) dans lequel ces SNP étaient identifiés (Tableau 3.3). Tous les gènes testés présentent un rapport Ka/Ks<1, ce qui serait le signe d'une pression de sélection négative. De plus, le deuxième résultat important est que, pour les gènes de type LRR-kinases du locus, les mutations sont plus nombreuses dans le domaine kinase que dans le domaine LRR. Ce dernier est pourtant connu pour être hypervariable dans les familles de gènes de résistance (voir ci-dessus paragraphe III-1-1-b). Ce résultat pourrait, soit indiquer que les gènes du cluster subissent une pression de sélection faible, soit que la pression de sélection n'est pas positive comme attendu pour le modèle « birth and death ». Cette deuxième hypothèse confirmerait que les LRR-kinases du cluster sont de moins bons candidats. De plus, cela indique que ces gènes pourraient jouer un rôle important pour la plante puisqu'ils sont très conservés. En effet, ils ont été maintenus dans les deux sous-espèces et dans l'espèce sauvage O. rufipogon (si l'on considère la séquence IR64 comme un équivalent de O. rufipogon).

Un rapport Ka/Ks a également été calculé entre les copies 93-NB11b et 64-NB11-3,5 supposées orthologues. Le rapport est supérieur à 1 (28 mutations non synonymes pour 10 mutations synonymes soit 2,8) et les mutations non synonymes sont toutes situées dans le domaine LRD (équivalent au domaine LRR). Contrairement aux autres gènes du cluster, ce gène pourrait donc subir une pression de sélection positive.

c Polymorphisme d'expression des membres du cluster

L'étude de l'expression des RGA du cluster a posé un certain nombre de problèmes. En effet, nous ne disposons pas toujours de la séquence d'un cDNA prédit correcte et ces gènes ont une homologie élevée. Il est donc très difficile de définir des amorces à la fois spécifiques et de bonne qualité. Ainsi, pour quatre des gènes, nous n'avons pas pu dessiner d'amorces spécifiques (NB10-2, NB11-tps, NB11-X et NB11-4,5) et malgré plusieurs définitions d'amorces différentes (souvent en 3' UTR), deux des gènes testés ne s'amplifient pas de manière spécifique (LRK4 et LRK9b) (Tableau 3.4). Pour le gène LRK7 l'amplification présente une mauvaise efficacité.

L'expression de six gènes a pu être étudiée de manière satisfaisante à 24h et à 48h après inoculation dans une variété sensible (IR36) et une variété résistante (IR64) (Tableau 3.4). Quatre gènes (LRK6, LRK8, NB10-1 et NB11-3,5) sont induits lors de l'infection dans les deux variétés. A 48h, les gènes LRK8 et NB11-3,5 ne seraient induits que dans la variété résistante. Deux gènes (NB5 et LRK9a) ne sont pas détectés, et ne semblent donc pas s'exprimer, même chez un témoin non inoculé. Ce résultat éliminerait ces deux gènes comme candidats pour *Pi33*.

III.2.3 Clonage de Pi33

L'un des objectifs de cette thèse est d'identifier et de cloner le gène de résistance *Pi33*. Deux approches ont été utilisées en parallèle pour atteindre cet objectif : le criblage de banques de mutants et la complémentation de variétés sensibles avec des portions d'ADN génomique de la variété résistante IR64 correspondant à la zone de *Pi33*.

a Clonage de Pi33 par analyse de mutants

Deux collections de mutants ont été exploitées : des mutants EMS de C101LAC disponibles au laboratoire et des mutants diepoxybutane d'IR64 disponibles à l'IRRI. Deux méthodes différentes ont permis de cribler ces collections : un criblage phénotypique direct des mutants EMS, et un criblage par tilling sur la collection de mutants d'IR64.

a.1 Criblage d'une banque de mutants d'IR64 par TILLING

Une population de 2 079 mutants diepoxybutane issus de la variété indica résistante IR64 (Wu et al., 2005) a été criblée par TILLING à l'IRRI par Geethanjali Subramaniam dans l'équipe d'Hei Leung. Le criblage par TILLING permet de mettre en évidence une mutation par rapport au parent sauvage dans une séquence donnée. Les NBS-LRR de la fin du locus étant considérés comme les meilleurs candidats, trois amorces ont été dessinées et ciblent 500 bp dans trois copies différentes : 64-NB11-4,5, 64-NB11-3,5 et 64-NB11-X. Trois mutants ont ainsi été identifiés. Seulement un seul de ces mutants présente une mutation entraînant un changement d'acide aminé (un acide Aspartique à la place d'une Asparagine). Ce mutant est muté dans le domaine ARC du gène 64-NB11-3,5. Ces mutants ont ensuite été testés pour leur résistance en utilisant une souche de M. oryzae possédant le gène Ace1. Les trois mutants ont un phénotype sauvage (résistant) (Figure 3.20). Ce résultat était attendu pour les deux mutants porteurs de mutations silencieuses. L'absence de changement de phénotype pour une mutation provoquant un changement d'acide aminé, n'est pas suffisante pour éliminer NB11-3.5 de la liste des candidats. En effet, il est prévisible que certaines mutations n'auront pas d'effet majeur sur la fonction et la structure de la protéine Pi33. Un nombre de mutants plus important pourrait probablement



Figure 3.21. Phénotypes observés lors du crible de la banque de mutants C101LAC.

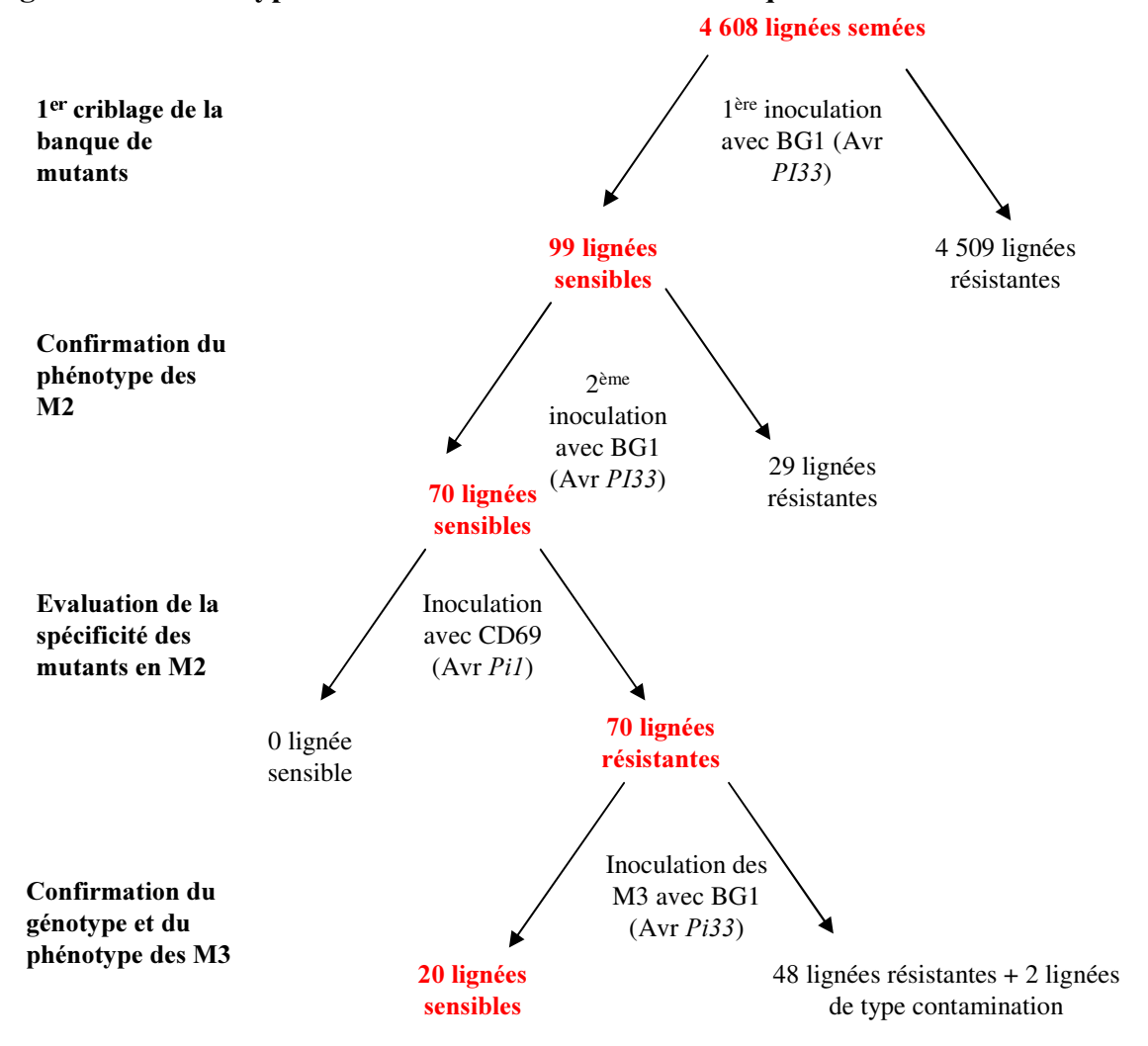


Figure 3.22. Bilan du criblage de la banque de mutants C101LAC.

	775	785	795	805	815
C101	ACCCGTCACC	TCCCAATAAC	GGTTTTGCTC	AGGTTGTATC	AAACCCCTAT
3574	ACCCGTCACC	TCCCAATAAC	GGTTTTGCTC	AGGTTGTATC	AAACCCCTAT
3576	ACCCGTCACC	TCCCAATAAC	GGTTTTGCTC	AGGTTGTATC	AAACCCCTAT
4629	ACCCGTCACC	TCCCAATAAC	GGTTTTGCTC	AGGTTGTATC	AAACCCCTAT
5212	ACCCGTCACC	TCCCAATAAC	GGTTTTGCTC	AGGTTGTATC	AAACCCCTAT
5254	ACCCGTCACC	TCCCAATAAC	GGTTTTGCTC	AGGTTGTATC	AAACCCCTAT
5287	ACCCGTCACC	TCCCAATAAC	GGTTTTGCTC	AGGTTGTATC	AAACCCCTAT
5424	ACCCGTCACC	TCCCAATAAC	GGTTTTGCTC	AGGTTGTATC	AAACCCCTAT
5426	ACCCGTCACC	TCCCAATAAC	GGTTTTGCTC	AGGTTGTATC	AAA#CCCTAT
5427	ACCCGTCACC	TCCCAATAAC	GGTTTTGCTC	AGGTTGTATC	AAACCCCTAT

Figure 3.23. Polymorphisme de séquence dans le mutant 5426

03M23	Nb	Nb	Nb	Nb	Nb
USIVIZS	transfo	clones	Albinos	vérifiés	confirmés
Co25	2	3	0	2	0
Co39	2	3	0	0	0
IR8	1	1	0	1	0
MTU9	12	16	1	6	0
Nipponbare	10	23	1	5	0
Som Caw	13	33	0	6	0
Total	40	79	2	20	0
03M23-2	Nb	Nb	Nb	Nb	Nb
U31VIZ3-Z	transfo	clones	Albinos	vérifiés	confirmés
Nipponbare	19	42	0	6	0
Som caw	6	16	0	4	0
Total	25	58	0	10	0
03M23-6	Nb	Nb	Nb	Nb	Nb
U31VIZ3-0	transfo	clones	Albinos	vérifiés	confirmés
Nipponbare	14	31	3	10	0
Total	14	31	3	10	0
33B02	Nb	Nb	Nb	Nb	Nb
33002	transfo	clones	Albinos	vérifiés	confirmés
Co25	5	9	0	3	0
Co39	2	3	0	1	0
MTU9	7	12	0	4	0
Nipponbare	22	43	1	5	0
Som Caw	10	15	0	5	0
Total	46	82	1	18	0
TOTAL	125	250	6	58	0

Tableau 3.5. Bilan des complémentations de clones BAC entiers.

O3M23, O3M23-2 et O3M23-6 correspondent à différentes constructions du clone BAC O3M23. Plusieurs génotypes ont été testés. Pour chaque génotype plusieurs transformations indépendantes ont été tentées qui ont permis d'obtenir plusieurs clones *in vitro*. La colonne « Nb vérifiés » correspond au nombre de plantes testées par PCR pour vérifier la présence de l'insert. La colonne « Nb confirmés » correspond au nombre de plantes possédant un insert.

permettre de conclure mais implique de cribler de nouveaux la banque avec d'autres couples d'amorce spécifiques situés dans ce gène. Par ailleurs, un criblage de la banque pour des mutations dans les autres gènes candidats viendrait compléter utilement ce travail.

a.2 Criblage phénotypique d'une banque de mutants de C101LAC

Une population de mutants EMS (Ethyl Methane Sulfonate) de la variété résistante indica C101LAC a été créée au sein du laboratoire, en collaboration avec Bayer Crop Science, dans le cadre du projet Génoplante RiceTill. Quatre mille six cebt huit lignées ont été criblées pour la résistance à une souche avirulente vis-à-vis de *Pi33* et des mutants sensibles ont été identifiés (Figure 3.21). Le travail de criblage et de caractérisation de la population de mutants C101LAC a été effectué en partie par Cyrille ZINI, stagiaire de Master Professionnel II. Quatre vingt dix neuf lignées (2%) présentent un phénotype plus sensible que le phénotype sauvage de C101LAC. Une deuxième inoculation a permis de confirmer le phénotype de soixante dix de ces lignées (Figure 3.22). Les vingt neufs lignées non confirmées correspondent, généralement, à des lignées qui ne présentaient que quelques lésions lors de la première inoculation.

La variété C101LAC présente plusieurs gènes de résistance dont deux ont été identifiés : *Pi1* et *Pi33*. Pour tester l'hypothèse que certains des phénotypes observés seraient dus à une mutation dans un gène situé en aval de ces deux gènes de résistance, une troisième inoculation faisant intervenir une souche avirulente pour le gène *Pi1* a été réalisée. Les soixante dix lignées sensibles à la souche avirulente pour *Pi33*, se sont révélées résistantes à cette deuxième souche. Ce résultat indique que les mutations observées sont spécifiques de la voie de signalisation de *Pi33*.

Les soixante dix lignées ont été autofécondées pour obtenir une génération M3. En génération M3, vingt des soixante dix lignées ont pu être confirmées comme étant plus sensibles que le témoin C101LAC (soit 0.4 % du total des lignées testées). Parmi ces vingt mutants, sept présentent une sensibilité très marquée par rapport au phénotype sauvage C101LAC (Figure 3.22). Les 13 autres lignées n'étant que légèrement plus sensibles par rapport au phénotype sauvage C101LAC, les neufs mutants très sensibles ont été caractérisés en priorité.

La recherche de mutations dans les gènes candidats a été initiée par la caractérisation du gène 64-NB11-3.5 qui semblait un bon candidat d'après les résultats de polymorphisme de structure. Au total, 2,7 kb de séquences sur les 3,3 kb du gène ont été obtenues et comparées avec celles de C101LAC pour les neuf mutants. Seul le mutant 5426 présente un polymorphisme de type SNP: C muté en T (Figure 3.23). Cependant, cette mutation n'entraîne pas de changement d'acide aminé. Cette mutation ne peut donc pas avoir d'impact sur le phénotype.

En ayant séquencé en moyenne 80 % du gène, aucune mutation susceptible de modifier le phénotype n'a pu être détectée. Deux hypothèses peuvent donc être envisagées. La première hypothèse est que 64-NB11-3.5 est bien *Pi33* mais que les mutations sont dans la partie non séquencée. La deuxième hypothèse est que ce candidat n'est pas *Pi33*. Des expérimentations sont en cours pour compléter le séquençage du gène 64-NB11-3.5 et rechercher le polymorphisme de ces mutants dans les autres gènes candidats. La technique de Tilling étant actuellement mise au point au laboratoire, il pourra être envisagé d'utiliser cette technique directement sur les neuf mutants identifiés pour tous les candidats. Cette alternative pourrait être moins coûteuse que le séquençage.

b Clonage de Pi33 par complémentation

En parallèle, la complémentation de variétés sensibles par des clones BAC entiers a été tentée. Cette stratégie sans à priori sur les gènes responsables de la résistance, devait permettre d'affiner la cartographie de *Pi33* à un seul clone BAC. Un sous-clonage sur les deux clones BAC situés en fin de cluster et contenant les copies de NB11 a aussi été initié. Cette stratégie présente l'avantage que tous les gènes présents dans ces clones BAC seront testés. Enfin, un clonage de gènes candidats est en cours.

Les deux clones BAC (03M23 et 33B02) ont été complémentés dans la variété Nipponbare ainsi que dans plusieurs variétés indica (IR8, Co39, Som Kaw) avec le vecteur pTAC37 (Tableau 3.5). Les ADN de ces plantes ont permis de tester la présence des inserts par PCR. Des marqueurs situés dans cette zone et polymorphes entre IR64 et la variété transformée permettaient de vérifier en cas d'amplification positive la présence de l'insert (Annexe 14). Tous les résultats indiquent qu'aucune des plantes transformées avec les clones BAC 33B02 et 03M23 n'a d'insert. Ce résultat peut sans doute s'expliquer par la taille des fragments à transformer (supérieurs à 60 kb) qui rendent la complémentation plus difficile. Ainsi, même la variété Nipponbare qui pourtant se transforme assez facilement a eu des rendements au moins quatre fois inférieurs à ceux habituels.

Par la suite, une stratégie de sous-clonage des clones BAC 33B02 et 44H23 a été initiée dans le vecteur pCAMBIA 5300. En théorie, ce plasmide permet le clonage de fragments de 15-20 kb. Cependant, les résultats nous montrent que la taille maximum du fragment d'ADN qui peut être clonée dans pCAMBIA 5300 est d'environ 7 kb. Or, les gènes que nous souhaitons cloner étant situés dans des séquences de 16 et 20 kb, ce vecteur s'est avéré être inadapté pour notre clonage. Un autre vecteur pRTAC8, déjà utilisé dans les clonages de gros fragments (Qu *et al.*, 2003 ; Qu *et al.*, 2006) est en cours d'essai au laboratoire.

Enfin, une stratégie de clonage des gènes entiers après PCR « long-range » de différents candidats a également été initiée. Des amorces ont été dessinées autour des principaux gènes candidats (copies de NB11) afin de les amplifier par PCR « long-range » et de les insérer dans le vecteur pCAMBIA 2300 Overexpress qui possède un promoteur inductible. Cette stratégie est toujours en cours de mise au point au laboratoire.

III.3 Discussion

III.3.1 Structure et diversité au sein du cluster de Pi33

a De légères déviations de la colinéarité

Les résultats de séquençage mettent en évidence une bonne colinéarité entre les trois accessions qui appartiennent pourtant à trois groupes génétiques très différents : les deux sous-espèces indica et japonica d'O. sativa et O. rufipogon (puisque dans cette zone, le génome d'IR64 provient d'une accession de cette espèce). Cependant, cette colinéarité est moins conservée si on considère le nombre de RGA. En effet, les LRR-kinases et les NBS-LRR semblent être en extension chez 93-11 et IR64 par rapport à Nipponbare. Un nombre de copies très variable entre génotypes est courant dans les clusters de gènes de résistance. Par exemple, chez le riz, au locus Pi2/Pi9 le nombre de copies de NBS-LRR varie entre 4 et 9 (Zhou et al., 2007). Une analyse de la micro colinéarité entre les variétés de riz Nipponbare et 93-11 avait déjà démontré qu'elle n'était pas toujours conservée (Han et Xue, 2003). Dans le cas de Pi33, la présence de nombreux éléments transposables dans la zone pourrait expliquer en partie cette variabilité. En effet, en s'insérant les transposons peuvent entraîner une délétion d'une portion de génome. De plus, la présence de deux copies très similaires de transposons peut faciliter les phénomènes de duplications par crossing-over inégaux et les mutations au sein des gènes (Kumar et Bennetzen, 1999).

b <u>Un cluster ancien régi par le modèle « birth and death ».</u>

Des duplications suivies d'une divergence seraient les phénomènes qui aboutissent à la formation d'un cluster (Michelmore et Meyers, 1998). L'une des hypothèses du modèle « birth and death » d'évolution des clusters de gènes de résistance est que les paralogues sont plus divergents que les orthologues. Au locus de *Pi33*, l'homologie entre orthologues chez différentes variétés est plus forte qu'entre paralogues chez une même variété, ce qui laisse penser que le locus de *Pi33* est régi par les lois du modèle « birth and death ».

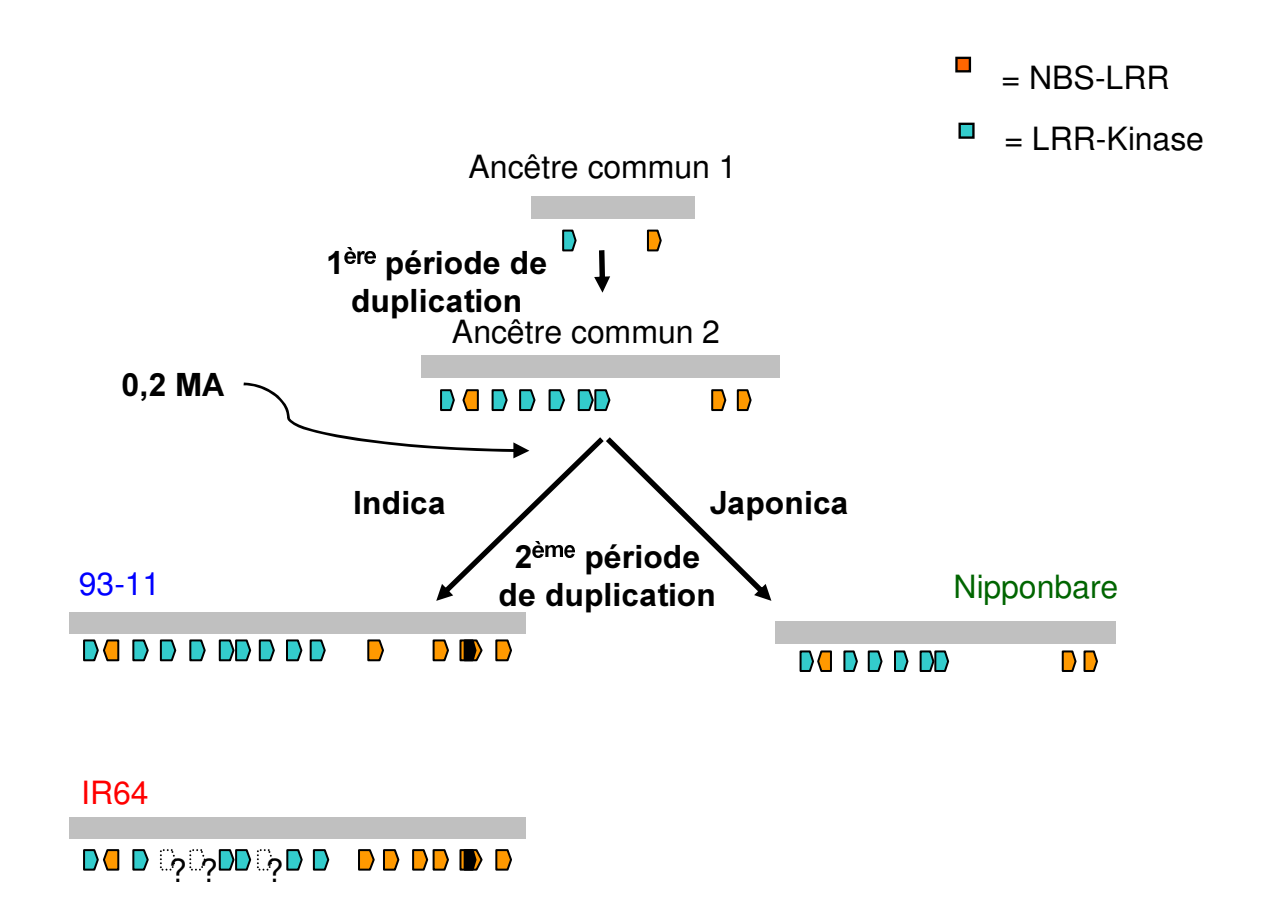


Figure 3.24. Hypothèse d'évolution des analogues de gène de résistance du locus Pi33.

Une première période de duplication aurait eu lieu chez l'ancêtre commun des indica et des japonica, ce qui aurait permis la formation du cluster. Puis des duplications plus récentes auraient eu lieu dans une deuxième période chez les indica.

Le degré d'homologie de séquence au sein d'une variété peut être un indice de l'âge du cluster. L'analyse des homologies de séquence entre les gènes candidats au locus de *Pi33* met en évidence deux classes : une classe de paralogues avec une diversité importante et une classe de paralogues très conservés (93-LRK7/93-LRK7b, 93-LRK8/93-LRK8b, 93-NB11a/93-NB11b et 64-NB11-3,5/64-NB11-4,5). Si le taux de mutation et/ou de recombinaison est constant entre les différents gènes candidats, les deux classes de paralogues pourraient être l'indice que le cluster est ancien (avant la séparation des deux sous-espèces indica et japonica) et qu'il a subi deux périodes de duplication. Une période ancienne qui aurait abouti à la formation de tous les paralogues divergents, qui auraient ensuite divergé, et une période plus récente qui aurait abouti à la création des copies les plus similaires (Figure 3.24).

c <u>Des domaines LRR conservés</u>

Un autre résultat du modèle « birth and death », observé dans plusieurs cas est que les domaines LRR sont soumis à de fortes pressions de sélection, en particulier au niveau de leurs résidus exposés (Mondragon-Palomino et al., 2002; Kuang et al., 2004; Sun et al., 2006). Au locus Pi33, il est possible de comparer pour chaque gène du cluster la séquence de Nipponbare et de 93-11. Cette analyse met en évidence que dans les LRR-kinases du cluster, le domaine kinase subit une pression de sélection plus forte que le domaine LRR car la plupart des mutations se situent dans ce domaine (43 mutations dans le domaine kinase contre 4 dans le domaine LRR entre Nipponbare et 93-11). Cette analyse met en évidence que, contrairement à ce qui est observé au locus Xa21 ou Xa26, les LRR-kinases du cluster ne subissent pas de pression positive au niveau de leur domaine LRR. Ce résultat confirme que les LRR-kinases sont de moins bons candidats pour Pi33. Dans le cas des NBS-LRR, nous n'avons pas pu procéder à une analyse du domaine « LRR » car il est peu conservé. Cependant, lorsque les copies 93-NB11b et 64-NB11-3,5 sont comparées, le rapport Ka/Ks est de 2,8 et les mutations non synonymes semblent se concentrer dans le domaine LRD. Ce gène subirait donc une pression de sélection positive.

Une carte physique de *Pi33* est ainsi disponible dans la variété résistante IR64 ainsi que dans huit autres accessions. Le séquençage du cluster de NBS-LRR est en cours dans des espèces sauvages et des génotypes indica sensibles. A terme, l'ensemble de ces données permettra de donner une image plus complète de l'évolution du locus de *Pi33*.

		Ро	lymorphisme Pré	sence / abs	sence		Polymo	rphisme de sé	quence
Gènes	C101LAC	C104LAC- Co39	IR64 - O Rufi R	IR36	TYC-TN1- Bala	Indica S	C101Lac vs C104Lac-Co39		TYC-TN1-Bala vs Indica S
64-LRK4	+	+	+	+	-	+	-	-	-
64-NB5	+	+	+	+	+	+	+	-	-
64-LRK6	-	-	+	+	-	+	-	-	-
64-LRK7	+	+	+	+	+	+	-	-	+
64-LRK8	+	+	+	+	+	+	+	-	+
64-LRK9a	+	+	+	+	+	+	ND	-	ND
64-LRK9b	+	+	+	+	+	+	+	-	ND
64-NB10-1	+	+	+	+	+	+	-	-	ND
64-NB10-2	ND	ND	+	ND	ND	ND	ND	ND	ND
64-NB11X	ND	ND	+	ND	ND	ND	ND	ND	ND
64-NB11tps	ND	ND	+	ND	ND	ND	ND	ND	ND
64-NB11-3,5	+	-	+	-	+	-	ND	-	ND
64-NB11-4,5	-	-	+	+	-?	ND	ND	-	ND

Gènes	Expression	Conservation séquence entre toutes les variétés R	Bilan si 1 seul gène	Bilan si plusieurs gènes
64-LRK4	ND	-	-	+
64-NB5	-	+	-	-
64-LRK6	+	+	-	+
64-LRK7	ND	+	+	+
64-LRK8	+	+	+	+
64-LRK9a	-	ND	-	-
64-LRK9b	ND	+	+	+
64-NB10-1	+	+	+	+
64-NB10-2	ND	ND	ND	ND
64-NB11X	ND	ND	ND	ND
64-NB11tps	ND	ND	ND	ND
64-NB11-3,5	+	+	+	+
64-NB11-4,5	ND	ND	-?	+

Tableau 3.6. Bilan sur la sélection de gènes candidats pour Pi33.

Le polymorphisme de structure est indiqué par un + si le gène est présent et un – pour l'absence. Le polymorphisme allélique est indiqué par un + en cas de polymorphisme et un – en absence de polymorphisme. Le polymorphisme d'expression est indiqué par un + si le gène est exprimé et un – si le gène n'est pas exprimé. Dans les colonnes bilan le – indique que le gène n'est pas un bon candidat et le + que rien ne permet de rejeter ce gène comme candidat.

III.3.2 Clonage de Pi33

a <u>Identification de gènes candidats pour Pi33</u>

Pour préparer le clonage de *Pi33*, les gènes candidats ont été analysés sur trois niveaux afin d'éliminer ou de mettre en évidence certains candidats (Tableau 3.6). Cependant, l'analyse du locus *Pi33* est compliquée par le fait que l'hypothèse que deux gènes différents sont à l'origine de la résistance dans deux variétés différentes ne peut être exclue (chapitre 1).

L'analyse de l'expression des gènes candidats permet d'éliminer les gènes qui ne sont pas exprimés au cours de l'infection : NB5 et LRK9a. Les quatre autres gènes dont l'expression a pu être mesurée (LRK6, LRK8, NB10 et NB11 Tableau 3.4) sont tous induits au cours de l'infection chez les individus résistants et les individus sensibles.

L'analyse de la structure des LRR-kinases indique qu'il s'agit de LRR-kinases de type RD qui ne jouent habituellement pas de rôle dans la résistance. De plus, ces LRR-kinases contrairement aux LRR-kinases ayant un rôle dans la résistance présentent un polymorphisme très faible dans leur domaine LRR. Bien qu'il ne soit pas exclu qu'une des LRR-kinases soit *Pi33* et qu'elle agisse en synergie avec un autre gène (à la manière de *Pto* avec *Prf*), ces arguments sont en faveur du fait que *Pi33* serait une des NBS-LRR.

Le polymorphisme de structure indique que certains gènes sont probablement absents de certaines variétés résistantes (LRK4, LRK6, NB11-4.5). Si l'hypothèse d'un gène unique pour *Pi33* est retenue alors ces trois candidats doivent être éliminés. Sinon, ces gènes restent des candidats dans les haplotypes où ils sont présents. La copie NB11-3,5 semble être un bon candidat car c'est la seule copie qui présente une corrélation entre présence du gène et résistance et absence du gène et sensibilité, à trois exceptions près.

L'analyse de polymorphisme allélique n'a pas permis d'identifier un candidat intéressant car aucune corrélation entre polymorphisme et résistance/sensibilité n'a pu être identifiée. Cependant, parmi les gènes candidats, deux gènes se distinguent par un polymorphisme différent de la normale : NB5 et NB11. Le gène NB5 présente un polymorphisme élevé (1,2% en comparant la séquence de Nipponbare avec les séquences chez 93-11, IR64 ou IR36). C'est également le seul gène pour lequel nous ayons détecté un polymorphisme non synonyme entre les deux lignées isogéniques C101LAC et C104LAC. Ce résultat est surprenant pour un gène qui ne semble pas fonctionnel puisqu'il ne s'exprime pas. Enfin, un polymorphisme élevé (1,3%) est détecté entre 64-NB11-3,5 et 93-NB11b. Cette analyse confirme que ce gène est un bon candidat.

Pour conclure, l'analyse de la diversité au sein du cluster semblerait indiquer que les copies de NBS-LRR et notamment NB11-3,5 seraient de meilleurs candidats que les LRR-kinases

sauf NB5 qui ne s'exprimerait pas. Nous avons donc focalisé en priorité les efforts de clonage sur la partie terminale du cluster où sont localisés les NBS-LRR.

b Clonage de Pi33 par analyse de mutants

Sur 4 608 lignées testées, 20 sont potentiellement des mutants de *Pi33*. Il est possible d'envisager, qu'en plus de *Pi33*, d'autres gènes, impliqués dans la résistance déclenchée par *Pi33*, soient mutés. Cependant, la plupart des gènes de résistance clonés donnent des mutants au phénotype assez clair. Des mutations dans les gènes en aval de *Pi33* conduiraient probablement à des phénotypes moins marqués que ceux observés. De plus, dans les autres cas ou cette stratégie de criblage de mutants a été mise en place, la très grande majorité des mutations étaient dans le gène de résistance et pas dans les voies de signalisation (*Rpm1*; Tornero *et al.*, 2002).

A ce stade, seul le gène candidat NB11-3,5 a été caractérisé pour ces mutants. Aucune mutation n'a pu être détectée alors que 80 % du gène a été séquencé. Cependant, il n'est pas exclu que les mutations puissent se concentrer dans une zone relativement limitée du gène. En effet, dans le cas du gène *SLR1* du riz par exemple, la majorité des mutations se concentrent dans une région de 200 pb (Ikeda *et al.*, 2001). Dans le cas de NB11-3,5, le premier exon du domaine NB n'a pas été séquencé. Or, ce domaine est plus susceptible de renfermer des mutations conduisant à une perte de fonction de la protéine.

Notre objectif est donc, dans un premier temps, de compléter la séquence du candidat NB11-3,5. Dans l'hypothèse ou aucun polymorphisme ne serait observé pour le gène NB11-3,5, il sera nécessaire de séquencer entièrement d'autres candidats. Cependant, comme cette technique est coûteuse, il est également envisagé de cribler les différents gènes candidats par Tilling sur les mutants identifiés. Cette technique est en cours de mise au point au laboratoire.

c Clonage de Pi33 par complémentation

Le cluster de *Pi33* a été cartographié physiquement dans une variété résistante (IR64). La cartographie dans la variété IR64 sera complétée par le séquençage (en cours) de trois clones BAC supplémentaires. Ils permettront de compléter la séquence du locus de *Pi33* définie par la cartographie génétique en fournissant la séquence du cluster des LRR-kinases ainsi qu'une partie du cluster des NBS-LRR au niveau du gène 64-NB10. Dans un premier temps, il s'agira de vérifier que nous disposons de la totalité de la séquence du locus. Dans le cas contraire, il faudra envisager de séquencer les portions manquantes. L'utilisation d'une stratégie par PCR est envisageable pour des trous de petite taille. Ensuite, ces clones BAC vont pouvoir être utilisés pour complémenter une variété sensible avec l'ensemble du locus.

La stratégie de clonage par PCR « Long-range » devrait permettre d'aboutir plus rapidement à l'obtention des clones utilisables en transformation. Cependant, cette technique nécessite de s'appuyer sur une séquence de qualité pour dessiner des amorces, et ne pourra donc être pleinement envisagée que lorsque nous posséderons la séquence complète du locus chez IR64. De plus, cette stratégie peut se révéler certes plus rapide, mais présente des risques dont le principal est de ne pas avoir identifié tous les candidats potentiels.

La stratégie basée sur la complémentation ne nécessite pas d'identifier les candidats (même si connaître les candidats peut simplifier le travail). A ce jour, les différentes stratégies de clonage de *Pi33* ont été infructueuses mais, les résultats obtenus ont permis de mettre en place une stratégie qui devrait aboutir à des résultats dans les mois qui viennent. Comme dans un premier temps nous ne disposions que d'une partie des clones BAC d'IR64 correspondant au locus de *Pi33* et que seulement trois d'entre eux sont séquencés, nous avons axé le sous-clonage sur la partie terminale du cluster qui présente les copies de NB11. L'extension de la stratégie de sous-clonage à tous les clones BAC de la zone permettra de tester tous les gènes candidats. Bien que cette stratégie soit longue, laborieuse et nécessite la production d'une grande quantité de matériel végétal, elle paraît la plus adaptée pour cloner *Pi33*.

III.4 Conclusion et perspectives

Nous avons donc pu cartographier physiquement *Pi33* dans trois variétés représentant les deux sous-espèces de riz cultivés : indica et japonica. Cette cartographie a mis en évidence des écarts à la colinéarité entre ces trois variétés au niveau du locus de *Pi33*. Cette cartographie met également en évidence une histoire évolutive complexe du cluster avec plusieurs périodes différentes de duplication. Ainsi, de nombreuses copies de gènes candidats sont présentes dans la zone avec de fortes homologies de séquence. Cette structure en cluster ne favorise pas le travail de clonage. Ce travail devait permettre de mettre en évidence des candidats sur lesquels accentuer le clonage. Les NBS-LRR du cluster ressortent ainsi comme des candidats plus probables pour *Pi33*. Des complémentations sont en cours pour ces candidats. D'autre part, plusieurs mutants ont été mis en évidence dont la caractérisation pour ces gènes candidats est en cours. L'analyse des mutants et la complémentation par sous-clonage sont prioritaires.

III.5 Matériels et Méthodes :

III.5.1 Cartographie de Pi33 et caractérisation du cluster

a Matériel végétal

Pour la cartographie génétique trois populations de descendants ont été utilisées. Elles sont issues de croisements entre IR64, variété améliorée de riz *indica* demi-naine obtenue à l'IRRI et Azucena, variété traditionnelle *japonica* tropicale. La présence de *Pi33* chez IR64 a été démontrée (Berruyer *et al.*, 2003 ; Ballini *et al.*, 2007). La variété Azucena est sensible.

La première population utilisée est constituée de 105 lignées haploïdes doublées (HD) issues d'une F₁ IR64 × Azucena réalisées et génotypées grâce à une collaboration entre le CIRAD, l'IRD et l'IRRI (Guiderdoni *et al.*, 1992 ; Guiderdoni *et al.*, 2006). Dans le cadre du projet EGRAM, deux autres populations du même croisement ont été créées : 500 lignées HD et 284 lignées *single seed descent* (SSD). Sur ces 784 lignées, 767 ont été caractérisées pour différents marqueurs microsatellites situés à proximité de *Pi33*. Sept de ces lignées présentent un allèle non parental pour l'un au moins de ces marqueurs. Sept cent soixante lignées sont donc utilisables dans cette étude. Vingt-neuf lignées recombinantes au niveau du locus de *Pi33* ont été conservées pour une caractérisation plus poussée.

b Données génomiques

A partir de la position génétique de *Pi33*, une position physique a pu être établie *in silico* dans les deux variétés de riz sensibles séquencées : la variété japonica Nipponbare (International Rice Genome Sequencing Project, 2005) et la variété indica 93-11 (Zhao *et al.*, 2004).

Une cartographie physique de *Pi33* a été établie dans la variété japonica sensible Nipponbare. L'annotation a été faite sur la base des annotations automatiques proposées par les bases de données TIGR (http://www.tigr.org/tdb/e2k1/osa1/index.shtml) et RiceGAAS (http://ricegaas.dna.affrc.go.jp/). La cartographie physique de *Pi33* dans la variété indica sensible 93-11 a été établie en utilisant les séquences assemblées (Superscaffold) disponibles dans la base de données BGI-RIS (http://rise.genomics.org.cn/rice/index2.jsp). Les contigs issus de cette base de données ont également été criblés par BLAST avec la séquence du gène Nip-NB11 afin de mettre en évidence de nouvelles copies de NB11 chez 93-11. L'annotation de 93-11 a été faite sur la base de l'annotation automatique proposée dans la base de données OrygenesDB (http://orygenesdb.cirad.fr/index_fr).

c Criblage des banques BAC

Neuf banques BAC ont été exploitées pour identifier des clones BAC candidats couvrant le locus de *Pi33* (Annexe 11).

La variété IR64 n'a pour l'instant pas été séquencée, cependant une banque BAC est disponible contenant 18 432 clones représentant 3,28 génomes (Yang *et al.*, 1997). Dans un premier temps, cette banque a été criblée par hybridation de membranes à ADN en utilisant des sondes correspondant à des amplifications de certains des gènes candidats. Ces amplifications avaient été obtenues à partir de l'ADN d'IR64 en utilisant des amorces définies sur la base de la séquence disponible chez Nipponbare (Annexe 11). Dans un second temps, la même banque a été criblée par PCR sur les clones à partir de cultures disponibles à l'IRD (Annexe 11).

Une banque BAC est disponible dans une autre variété indica sensible (Kasalath; Katagiri et al., 2004). Les extrémités de ces clones BAC ont été séquencées et sont disponibles in silico sur Internet (http://rgp.dna.affrc.go.jp/blast/runblast.html). Plusieurs banques BAC ont été construites à partir des ADN de plusieurs espèces sauvages produits dans le cadre du projet OMAP (Oryza Map Alignment Project; Wing et al., 2005; Ammiraju et al., 2006). Les extrémités de ces clones BAC ont été séquencées et sont disponibles in silico sur Internet (http://www.genome.arizona.edu/stc/rice/). Ces huit banques ont donc été criblées par BLAST en utilisant des séquences du cluster chez Nipponbare. Vingt-cinq clones BAC candidats correspondant au locus de Pi33 ont ainsi été identifiés (Figure 3.11).

d Séquençage, assemblage et annotation des clones BAC

Douze clones BAC ont été sélectionnés pour être séquencés par shotgun : six clones BAC couvrant la zone du cluster chez IR64, deux clones BAC couvrant la zone du cluster chez Kasalath et quatre clones BAC couvrant la fin du cluster au niveau des copies de NBS-LRR chez O. glaberrima IRGC 96717, O. rufipogon IRGC 105491, O. punctata IRGC 105690 et O. brachyanta IRGC 101232 (Annexe 11). Deux clones BAC (03M23 et 33B02) de la variété IR64 ont été séquencés par la société MWG (http://www.gatc-biotech.com/html/all/index.php). Un clone BAC (44H23) de la variété IR64 a été séquencé par la société GATC biotech (http://www.gatc-biotech.com/fr/index.php). Les neuf autres clones BAC sont en cours de séquençage par le Centre National de Séquençage GENOSCOPE (http://www.cns.fr/externe/English/corps_anglais.html).

L'assemblage des trois clones BAC d'IR64 a été effectué avec le logiciel Lasergene V7 (Burland, 2000) (Annexe 7). L'annotation a été effectuée manuellement sur la base de l'annotation automatique proposée par le logiciel d'annotation automatique de RiceGAAS

(http://RiceGAAS.dna.affrc.go.jp/) ainsi que sur la base des homologies de séquence avec les gènes présents dans la variété Nipponbare.

Les gènes homologues ont été mis en évidence par BBMH (Best Blast Mutual Hit). Un gène candidat d'une variété A est « blasté » sur les séquences disponibles chez une autre variété B. Le gène correspondant à la meilleure cible dans la variété B est alors « blasté » sur les séquences disponibles de la variété A. Il est considéré comme homologue si la meilleure cible correspond au gène candidat de la variété A.

L'homologie de séquences entre les différents gènes candidats est évaluée par alignement deux à deux à l'aide du logiciel Blast 2 sequences (http://www.ncbi.nlm.nih.gov/blast/bl2seq/wblast2.cgi). Un alignement des différents gènes candidats est effectué sous CLUSTALW (http://www.ebi.ac.uk/Tools/clustalw/index.html) et un arbre est construit avec CLUSTALW sur la base de cet alignement.

e Séquençage des gènes candidats

L'ADN des différentes lignées étudiées a été extrait selon le protocole standard décrit par Berruyer et al. (2003). Vingt marqueurs SSR ont été utilisés pour cartographier finement *Pi33* (Annexe 9). Le protocole d'amplification est décrit au chapitre 1.

Les différents membres du cluster ont été séquencés dans plusieurs variétés. Des amorces ont été dessinées dans chacun des gènes à partir de la séquence disponible pour Nipponbare ou IR64 (Annexe 9). Les produits de ces amplifications par PCR ont été séquencés par les sociétés GENOME Express (France) et MACROGEN (Corée du Sud). Les données de séquençage ont été vérifiées, assemblées et alignées avec le logiciel Staden Package (Staden et al., 1998). La traduction des séquences nucléotidiques en acides aminés a été effectuée sur le site Expasy (http://expasy.org). Les séquences complètes des gènes ont été alignées avec CLUSTAW (http://www.ebi.ac.uk/Tools/clustalw/index.html) et un arbre a été construit automatiquement par CLUSTALW sur la base de cet alignement. Pour calculer le rapport Ka/Ks, nous avons utilisé les données de polymorphisme synonyme et non synonyme disponibles pour chacun des gènes sous la base de données Gramene (http://www.gramene.org/) sur la base de la comparaison entre les séquences de Nipponbare et 93-11.

f Données d'expression des gènes

L'expression des différents gènes candidats du cluster de *Pi33* a été évaluée par RT-PCR Quantitative. Les variétés ont été inoculées à trois semaines avec une souche avirulente et une souche virulente. La 3^{ème} feuille a ensuite été prélevée 16h, 24h et 48h après l'inoculation. L'ARN de ces feuilles a été extrait et rétro-transcrit. Le prélèvement, l'extraction d'ARN, le protocole de

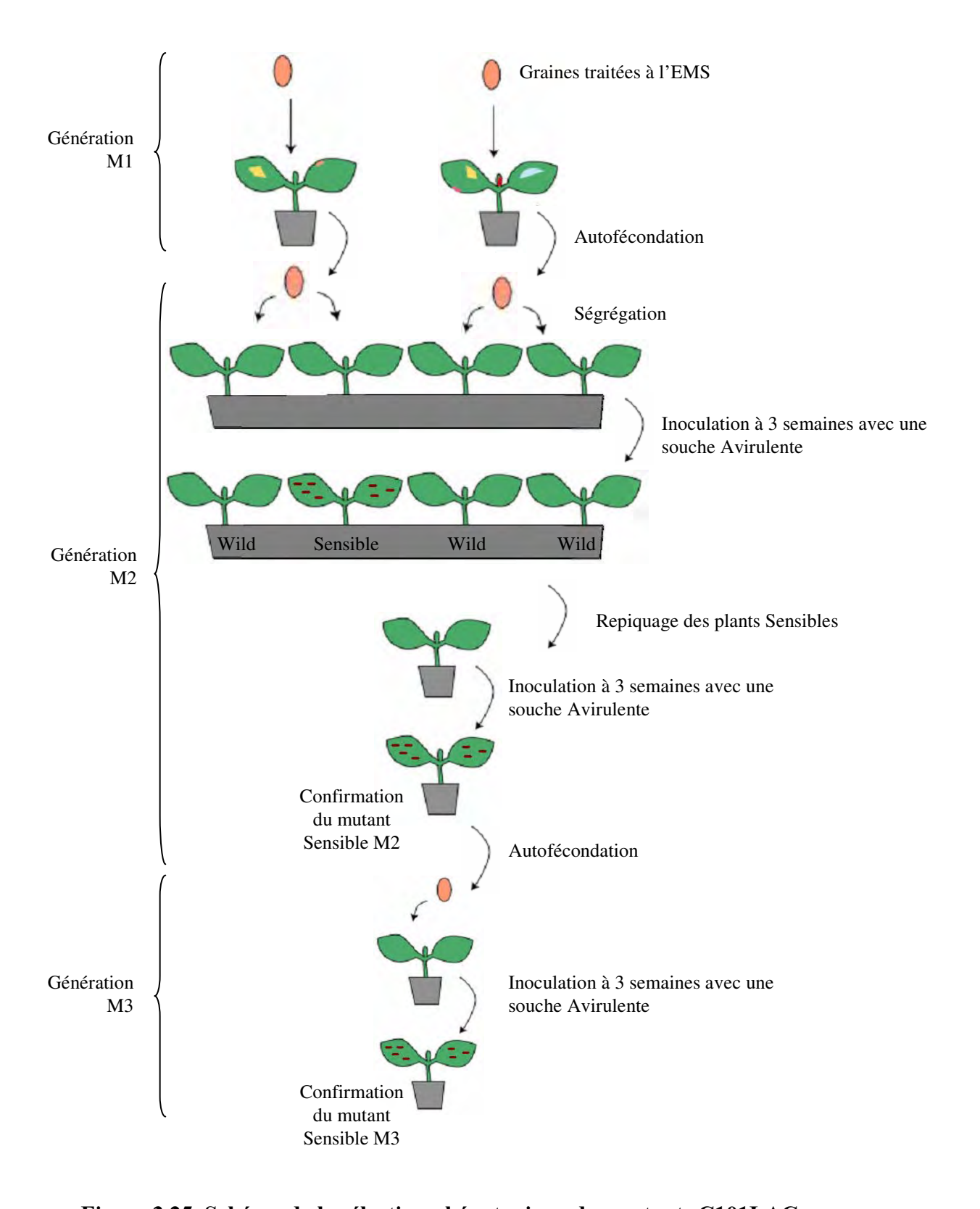


Figure 3.25. Schéma de la sélection phénotypique des mutants C101LAC.

rétro-transcription et le protocole de QPCR sont décrits dans Vergne et al. (2007). Des amorces ont été dessinées dans les différents gènes du cluster à partir de la séquence de Nipponbare (Annexe 9). Ces amorces ont été dessinées préférentiellement en 3' à l'aide du logiciel Beacon Designer. La QPCR est mise au point pour chaque couple d'amorces, à l'aide d'une gamme étalon de différentes dilutions d'ADNc. Seules les conditions permettant d'avoir une efficacité d'amplification entre 80 et 120 % ont été conservées. L'actine a été utilisée comme standard interne car son expression ne varie pas au cours de l'infection. Les données d'expression des gènes, dans différentes conditions, sont donc normalisées par rapport à l'expression de l'actine dans les mêmes conditions. Un rapport est ensuite calculé pour chaque gène et à chaque temps entre la quantité d'ARN en condition d'infection et la quantité d'ARN en condition non inoculée.

III.5.2 Criblage de banques de mutants

a Matériel végétal et culture du riz

Une population de 2 079 mutants issus de la variété indica résistante IR64 a été criblée par TILLING à l'IRRI selon le protocole décrit par Raghavan *et al.* (2007). Différents lots de graines de la variété IR64 ont été traités avec l'agent mutagène diepoxybutane (0.006%) (Wu et al., 2005).

Afin de créer des mutants de *Pi33*, une population de 4 608 lignées mutantes a été créée à partir de la variété indica résistante C101LAC par traitement à l'EMS (Ethyl Methane Sulfonate). Cette population de mutants a été créée au sein du laboratoire, en collaboration avec Bayer Crop Science, dans le cadre du projet Génoplante RiceTill. C101LAC est une lignée isogénique de la variété CO39 obtenue à l'IRRI (International Rice Research Institute). C101LAC porte les gènes de résistance *Pi1* et *Pi33* (Berruyer *et al.*, 2003). Une autre lignée isogénique de CO39, C104 LAC, ne contient que le gène de résistance *Pi1*. Les graines de la variété C101LAC ont été traitées avec une solution d'EMS à 90mM. Les plantes M1 issues de ces graines ont été autofécondées pour obtenir des graines M2. Les descendants M2 de ces mutants ont été criblés par une inoculation avec la souche BG1 (Avr*Pi33*) (Figure 3.25). Ils ont ensuite été multipliés par autofécondation afin d'obtenir une population M3.

Les lignées de riz sont cultivées dans un mélange de terreau et de pouzzolane (Annexe 2). Les semis sont réalisés à raison de 20 graines par ligne afin de détecter au moins une plante mutante dans chaque lignée mutée pour la résistance contrôlée par *Pi33*. En effet, en suivant les règles mendéliennes et en considérant que la mutation est récessive, en théorie, une ségrégation de trois quarts de phénotype sauvage et un quart de phénotype mutant est attendue en génération M2. Mais, lors du développement de la graine, seulement quatre cellules participent à la formation

des graines de la génération suivante. Donc, si une seule de ces cellules porte la mutation observée, la proportion de plantes mutantes devient :

$$(1/4)/4 = 0.0625$$
 soit 1.25 plantes mutantes / 20 graines

Donc, en semant 20 graines pour chaque lignée, la probabilité de détecter une mutation dans une lignée est d'environ 40 % (probabilité estimée à partir d'une loi binomiale).

b Criblage des banques de mutants

Deux méthodes de criblage ont été utilisées. Sur la banque de mutants IR64 de l'IRRI, un criblage par Tilling a été effectué par Geethanjali Subramaniam dans l'équipe de Hei Leung. Trois amorces ont été dessinées et ciblent 500 bp dans trois copies différentes de NB11 : 64-NB11-4,5, 64-NB11-3,5 et l'homologue de Nip-NB11 (Annexe 9). Les banques de mutants C101LAC ont été criblées phénotypiquement sur la base de leur sensibilité à la souche de M. oryzae BG1, avirulente vis-à-vis de Pi33 (Figure 3.21). Les plantes mutantes M2, plus sensibles que le témoin résistant C101LAC lors de cette première inoculation, ont été maintenues en culture. La sensibilité est évaluée par rapport à deux témoins : C101LAC, résistant aux souches BG1 et CD69, et C104 LAC, sensible à BG1 mais résistant à CD69. Une deuxième inoculation avec la souche BG1 a été effectuée pour confirmer les phénotypes retenus lors de la première inoculation. Puis, une troisième inoculation a été effectuée avec la souche CD69 qui est avirulente pour un autre gène de résistance (Pi1) impliqué dans l'interaction riz / M. oryzae. Cette inoculation nous permet de déterminer si la mutation est spécifique du gène de résistance Pi33. Les mutants confirmés ont ensuite été multipliés par autofécondation afin d'obtenir une population de lignées M3. Cette population a été semée et inoculée avec la souche BG1 pour confirmer le phénotype sensible.

c Caractérisation des mutants, données moléculaires

L'ADN des différentes lignées étudiées a été extrait selon le protocole standard décrit par Berruyer et al. (2003). Le séquençage des mutants M2 sensibles a été fait à partir d'une première PCR « long-range » du gène candidat NB11-3,5. Le protocole d'amplification est décrit en Annexe 10. Huit couples d'amorces ont été utilisés sur une dilution au cinquantième du produit de PCR « long-range » pour amplifier des fragments du gène (Annexe 10). Les produits de ces deuxièmes PCR ont été séquencés par la société GATC Biotech. Les données de séquençage ont été vérifiées, assemblées et alignées avec le logiciel Staden Package (Staden et al., 1998). La traduction des séquences nucléotidiques en acides aminés a été effectuée sur le site Expasy (http://expasy.org).

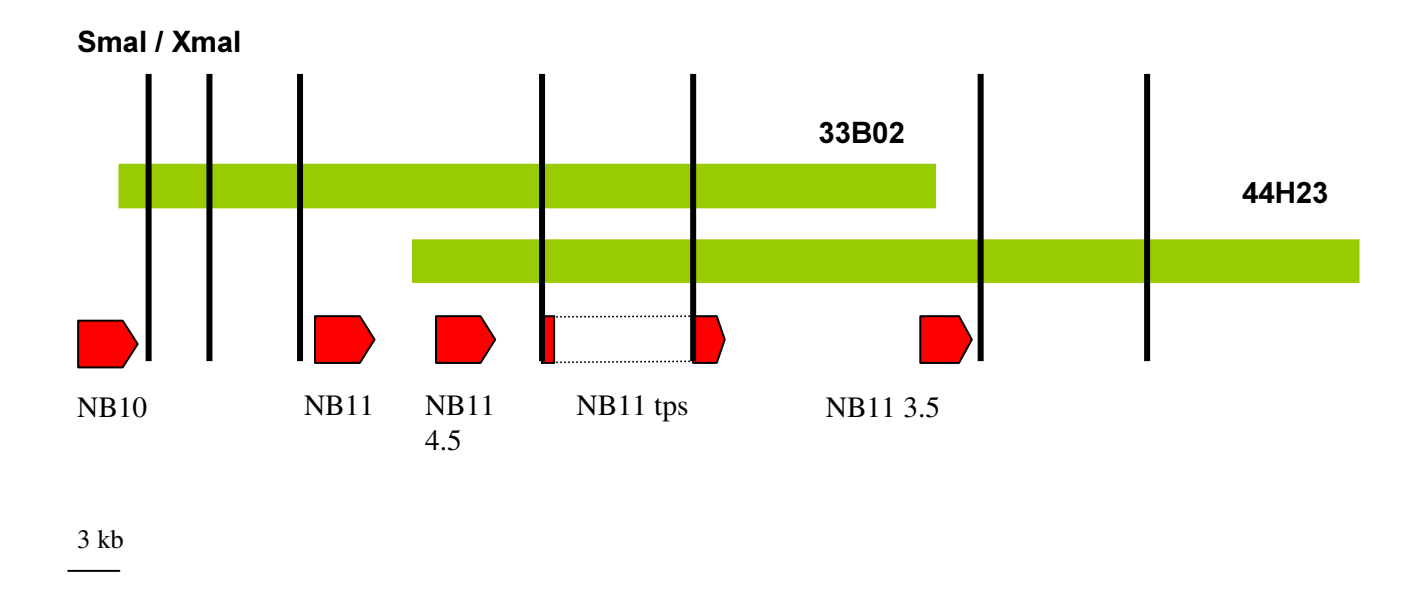


Figure 3.26. Plan de sous-clonage des clones BAC 33B02 et 44H23.

Les clones BAC sont représentés en vert. Les gènes candidats de types NBS-LRR sont représentés en rouge. Les traits verticaux représentent les sites des enzymes Smal/XmaI.

III.5.3 Tests de complémentation

Les clones BAC sont mis en culture avec l'antibiotique chloramphénicol (Protocole détaillé en annexe 13). L'extraction d'ADN a été réalisée avec le kit d'extraction Nucleobond[®] AX de Macherey-Nagel (Annexe 13). Les ADN extraits ont été digérés par l'enzyme de restriction NotI dans le cas du clonage de BAC entiers et SmaI ou XmaI dans le cas du sousclonage selon le protocole en Annexe 14. Le choix de ces enzymes a été déterminé à partir des séquences partielles des clones BAC. L'enzyme NotI permet de couper le clone BAC 33B02 en un gros fragment de 57 kb et deux petits fragments de quelques kb. Le clone BAC 03M23 est découpé en trois fragments de 60kb, 10kb et 4,5 kb. Les enzymes SmaI et XmaI, qui reconnaissent les mêmes sites, permettent de digérer les clones BAC sans couper dans les gènes candidats (Figure 3.26). Nous nous attendons à 6 fragments de 2,5 à 16 Kb pour le clone 33B02 et à 5 fragments de 2,5 à 20 Kb pour le clone 44H23.

Les vecteurs de destination, pTAC37 et pCAMBIA 5300 (Annexe 15), sont mis en culture avec de la kanamycine. L'extraction d'ADN est réalisée avec le kit Wizard[®] Plus SV Miniprep de Promega (Annexe 13). A la fin de la digestion, l'ajout d'une phosphatase, APexTM Heat-labile Alkaline Phosphatase d'Epicentre, permet de déphosphoryler le vecteur et éviter ainsi sa ligation sur lui-même. Lors de la ligation, les inserts et le vecteur sont mélangés dans des proportions variables (3 :1, 1 :1 ou 1 :3).

Le produit de ligation est ensuite inséré dans des cellules chimiocompétentes d'E. coli MAX Efficiency DH10B d'Invitrogen par choc thermique (Annexe 12). Du X-gal (20 mg/mL) et de l'IPTG (200 mg/mL) sont ajoutés lors de l'étalement pour faciliter le criblage des colonies. En effet, le plasmide pCAMBIA 5300 possède le gène Lac Z de l'opéron lactose d'E. coli qui peut être utilisé comme marqueur de sélection. Seules les colonies blanches qui sont résistantes à la kanamycine et transformées par les plasmides recombinants seront repiquées dans du milieu LB liquide pour multiplier ces souches et extraire l'ADN plasmidique avec le kit d'extraction de plasmides Qiagen® (Annexe 13).

La présence d'un insert dans le plasmide recombinant est ensuite confirmé par digestion avec l'enzyme appropriée (Annexe 14). Dans certains cas, une PCR avec des couples d'amorces (Annexe 14) amplifiant différentes zones des clones BAC étudiés a été effectuée pour vérifier quelle zone des clones BAC a été clonée. Les extrémités de l'insert ont été séquencées par la société GATC Biotech avec les amorces universelles M13. Ces séquences ont été comparées aux séquences des clones BAC 33B02 et 44H23 dont nous disposons.

Les transformations de plants de riz ont été faites au CIRAD de Lavalette par D. Meynard et C. Fallet selon le protocole de Sallaud *et al.* (2003).

IV Chapitre 3
Transduction du signal Pi33

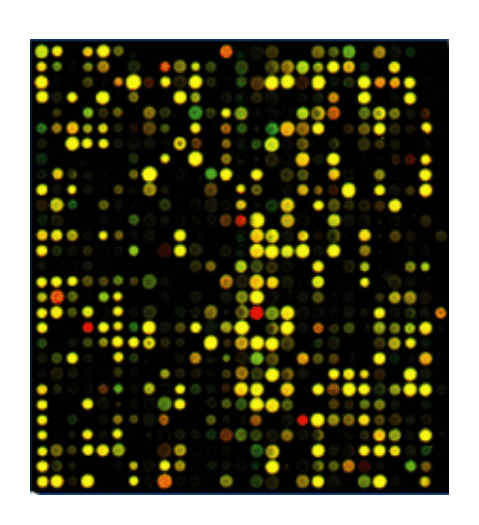


Photo: source Wikipedia

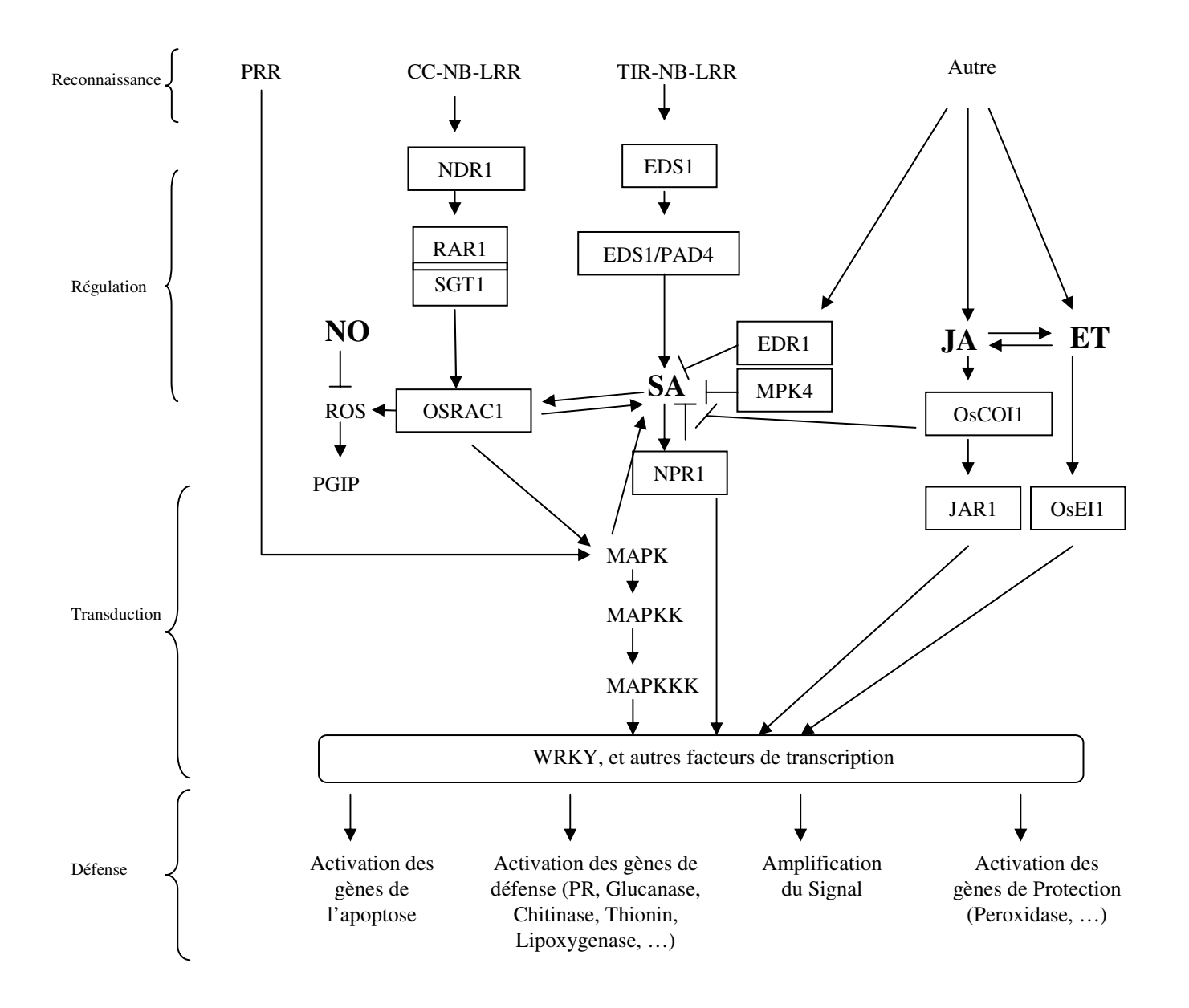


Figure 4.1. Schéma des réactions de défense.

Adapté de Hofius *et al.*, 2007 et Hammond-Kosack et Parker, 2003. Les principaux gènes indiqués ont été trouvés chez Arabidopsis et/ou chez le Riz.

IV.1 Introduction

Nous avons déjà décrit en introduction comment les gènes de résistance s'inscrivent dans la réponse des plantes à l'attaque par des agents pathogènes. Le système de défense des plantes est très étudié notamment chez Arabidopsis (Glazebrook, 2005). Plusieurs gènes clefs du système de régulation ont ainsi été mis en évidence. Cependant, peu d'information sur le système de défense est disponible chez les monocotylédones et, en particulier, chez le riz. Il parait donc dans un premier temps nécessaire de revenir sur les connaissances acquises sur le système de défense d'Arabidopsis puis de rassembler les connaissances disponibles chez le riz.

IV.1.1 Les réactions de défense chez les plantes

La plante peut mettre en œuvre plusieurs niveaux de défense : une défense générique dite basale et une défense spécifique (voir Introduction paragraphe I.1.2.c). Ces deux niveaux de défense peuvent être induits par l'agent pathogène ou parfois préformés. Le système de défense peut se résumer schématiquement en quatre étapes : reconnaissance, régulation, transduction du signal, et enfin réactions de défense à proprement parlé (Figure 4.1).

a La reconnaissance

Cette étape fait intervenir bien sûr les gènes de résistance spécifiques que nous avons déjà décrits dans les chapitres précédents. Mais, elle fait également intervenir les « Pattern Recognition Receptors » (PRR). Les deux exemples les mieux décrits de ce système de défense générique sont les gènes FLS2 et EFR. FLS2 et EFR codent pour des LRR-kinases qui reconnaissent respectivement la flagelline des bactéries phytopathogènes (Zipfel et al., 2004) et un facteur d'élongation bactérien (Zipfel et al., 2006). Les PRR visent des « Pathogen-Associated Molecular Pattern » (PAMP) que l'agent pathogène peut difficilement modifier. Dans les cas de FLS2 et EFR, les PAMP associés ont été identifiés (flg22 et EF-Tu). Pour contrer les PRR, les agents pathogènes ont développé des effecteurs qui peuvent déjouer ce premier niveau de défense mais qui sont la cible des gènes de résistance spécifiques (Dangl et Jones, 2006).

b <u>La régulation</u>

Suite à ce premier niveau de reconnaissance, un système de régulateurs se met en place. Leurs actions sont déclenchées par le système de reconnaissance. Au moins trois voies de régulation ont été décrites à partir de l'identification de mutants chez Arabidopsis.

La voie EDS1/PAD4 (Enhanced Disease Susceptibility/PhytoAlexin Deficient; Parker *et al.*, 1996) aurait tendance à être plutôt employée par les gènes de résistance de type TIR-NBS-

LRR. La voie NDR1 (Non-race-specific Disease Resistance) (Century *et al.*, 1997) aurait tendance à être plutôt employée par les gènes de résistance de type CC-NBS-LRR. Une troisième voie, impliquant les gènes COI1 et JAR1 permet la détection d'agents pathogènes nécrotrophes et est décrite comme indépendante de l'**Acide Salicylique (SA)**.

Les deux premières voies sont décrites comme faisant intervenir le SA dans les mécanismes de régulation. Le SA est une phytohormone qui serait nécessaire à la Réponse Systémique Acquise (SAR) (Durner *et al.*, 1997). Il s'accumule dans la cellule au cours des réactions compatibles et incompatibles. De plus, l'apport exogène de SA induit la SAR et restaure la résistance chez certains mutants (Klessig et Malamy, 1994). Le SA interagirait ensuite avec différentes protéines dont la protéine SABP (SA Binding Protein) qui régule le « burst oxydatif » en dégradant le H₂O₂. Le SA induirait également l'activation de protéines MAPK (Mitogen-Activated Protein Kinase ; Meskiene et Hirt, 2000).

Les voies indépendantes du SA font intervenir deux autres phytohormones : l'**Acide Jasmonique** (**JA**) et **l'Ethylène** (**ET**) qui déclenchent une résistance induite systémique (ISR). Ils induisent l'accumulation de métabolites secondaires et de protéines de défense (Gundlach *et al.*, 1992 ; Van Der Fits et Memelink 2000 ; Devoto et Turner, 2003). Bien que le JA et l'ET soient décrits, la plupart du temps, comme agissant en synergie (Xu *et al.*, 1994), ces deux molécules peuvent également contrôler l'expression de différents gènes cibles, voire agir de façon opposée (Overmyer *et al.*, 2000).

Ces deux voies de régulation hormonales (SA d'un côté et JA/ET de l'autre) seraient déclenchées en fonction du type d'agent pathogène qui attaque la plante. En général, les agents pathogènes biotrophes induisent la voie du SA alors que les agents pathogènes nécrotrophes ou les herbivores induisent la voie du JA/ET (Ton et al., 2002). Cependant, ces deux voies ne sont pas complètement cloisonnées et des interactions existent (Jalali et al., 2006). Le SA supprimerait la voie JA par l'intermédiaire du gène NPR1 (Pieterse et Van Loon, 2004). Dans certains cas, au contraire, les deux voies agiraient de concert (Van Wees et al., 2000) et le JA pourrait être un élément mobile qui permet la SAR (Grant et Lamb, 2006).

c La transduction du signal

Les **MAPK** sont décrites comme intervenant très tôt dans la cascade des réactions de défense (Zhang et Klessig, 2001). Plusieurs travaux ont permis de disséquer toute la cascade de phosphorylations mettant en jeu des MAPK, notamment dans le cadre d'une reconnaissance faisant intervenir FLS2 (Asai *et al.*, 2002). Les composants de cette voie de signalisation, correspondant aux MAPKKK, MAPKK et MAPK, ont été identifiés chez Arabidopsis et sont en

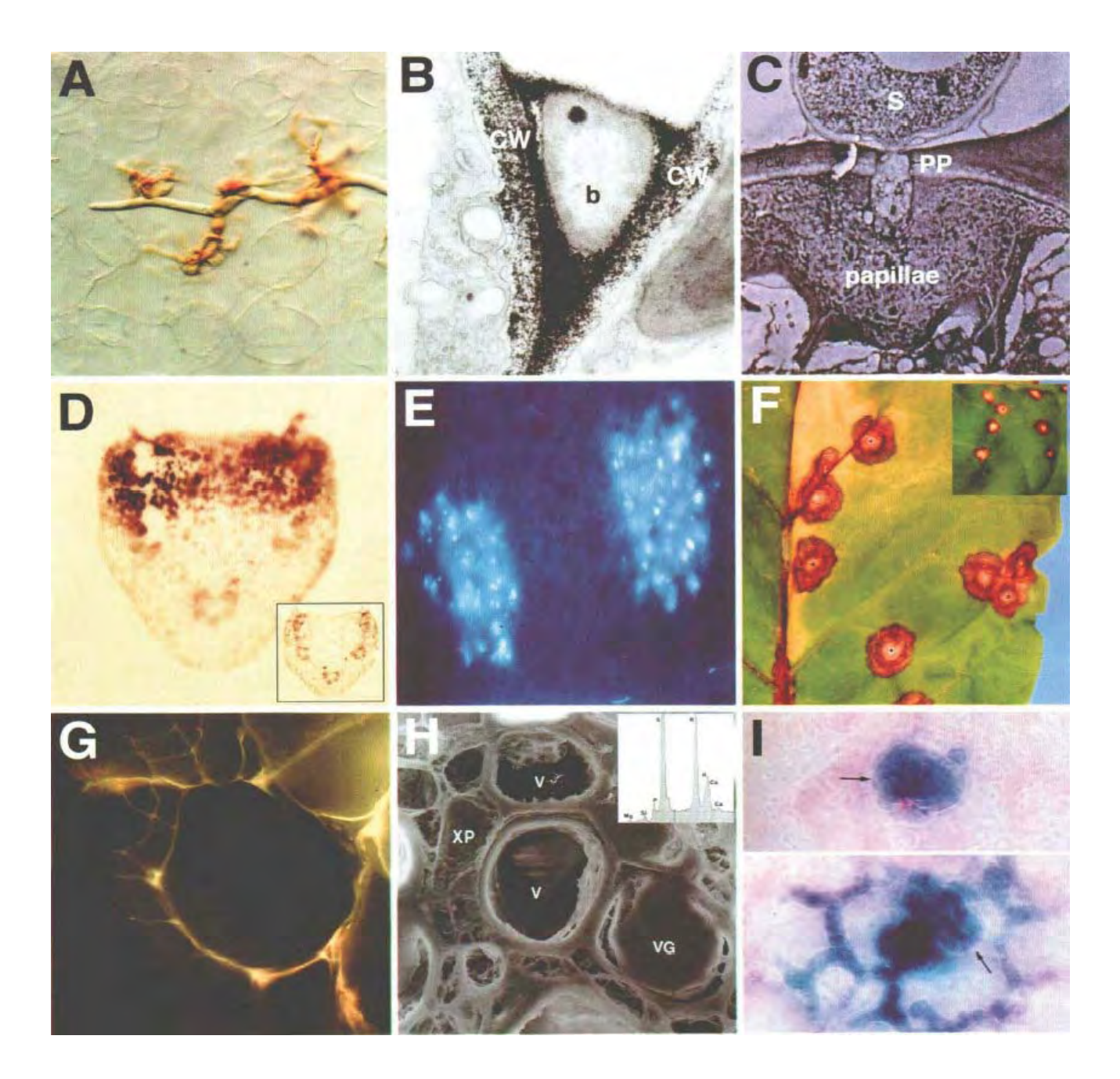


Figure 4.2. Les différents types de réponses induites par le système de défense des plantes. d'après Hammond-Kosack et Jones (1996).

- (A) Réponse Hypersensible dans les cellules du mésophylle dans l'interaction Laitue/Bremia lactucae.
- (B) Production de H₂O₂ dans l'interaction Laitue/Pseudomonas syringae.
- (C) Formation des Papilles au niveau du point de pénétration (PP) sous la spore (S). Interaction Orge/*Erysiphe graminis*.
- (D) Accumulation de glycoprotéine riche en hydroxyproline (HRGP) dans l'interaction *Brassica* campestris / Xanthomonas campestris.
- (E) Depôt de callose dans l'interaction Arabidopsis/Peronospora parasitica.
- (F) Formation de lésion dans l'interaction Tabac/TMV.
- (G) Lignification et reprise des divisions cellulaires dans l'interaction *Brassica napus/Leptosphaeria maculans*.
- (H) Formation de tylose dans les vaisseaux du xylème (V) dans l'interaction Cacaoyer/Verticillum dahlíae.
- (I) Induction d'un promoteur p-13-glucanase dans l'interaction Tomate/*Cladosporium fulvum* observé par fusion GUS.

cours d'identification chez d'autres plantes. Cette cascade entraînerait l'activation de facteurs de transcription, notamment de type WRKY.

Les facteurs de transcription interviennent en fin de cascade. Plusieurs types de facteurs de transcription ont été décrits : les protéines WRKY (Eulgem *et al.*, 2000), les ERF (Ethylene Responsive Factor) (Ohme-Takagi *et al.*, 2000), les facteurs MYB (Myeloblastosis viral oncogene ; Kranz *et al.* 1998), les facteurs TGA b-ZIP (TGA basic leucine zipper).

d Les mécanismes de défense

Plusieurs mécanismes de défense sont ensuite déclenchés. Certains sont spécifiques de certaines voies de régulation, d'autres sont plus généraux.

La réponse hypersensible (HR) qui se traduit par une mort cellulaire programmée est une réponse typique de la résistance complète et, donc, de la reconnaissance spécifique par un gène de résistance (Agrios, 1988). Elle se traduit par de petites lésions nécrotiques au niveau du point d'entrée de l'agent pathogène (Figure 4.2). Cette mort cellulaire qui survient rapidement provoque la mort d'un agent pathogène biotrophe en le privant de sa source de nutriments. Les mécanismes de la réponse hypersensible ont fait l'objet d'une synthèse par Greenberg et Yao (2004). Lors de la HR, des modifications des mitochondries et des chloroplastes sont observées, la membrane perd la capacité de plasmolyse et le cytoplasme se vacuolise, la chromatine se condense. Ces processus sont similaires au phénomène d'apoptose chez les animaux mais pourraient varier d'un agent pathogène à l'autre. Ainsi, des différences significatives de synchronisation de la HR ont été observées lors d'interactions avec des agents pathogènes très proches (Ritter et Dangl, 1996). Enfin, il faut souligner que la résistance complète ne s'accompagne pas toujours d'une HR. En effet, dans certains cas de résistance extrême, la réponse induite par le gène de résistance serait tellement efficace qu'elle provoquerait la mort de l'agent pathogène avant le déclenchement de la HR. Ainsi, les gènes de résistance Rx et mlo ne produisent pas de phénotype de type HR.

Le « burst oxydatif » ou production de forme réactive de l'oxygène (ROS) est souvent un des premiers mécanismes des réactions incompatibles (Figure 4.2) liés à la HR. Via l'oxydase NADPH, la plante produit des anions superoxyde O_2^- qui sont rapidement dismutés en peroxyde d'hydrogène H_2O_2 qui est lui-même transformé en formes plus réactives. Il existe plusieurs voies de production des ROS qui ne sont pas toutes impliquées dans une réaction incompatible. Le H_2O_2 aurait plusieurs rôles, non seulement de toxicité vis-à-vis des agents pathogènes mais également de renforcement indirect des parois cellulaires (Tenhaken *et al.*, 1995). Il serait également un messager secondaire dans la HR en activant des gènes permettant la mise en place

				ind	uction/repression par	:					la surexpression
type de protéine PR	nombre de gènes identifiés	exemples	Magnaporthe oryzae	autre agent pathogène	éliciteur fongique (chitosan, chitine)	SA	JA	ET	ABA	H_2O_2	entraîne une augmentation de la
	chez le riz										résistance
PR1a	1	OsPR1a	+	nd	nd	+	+	+	+	+	nd
PR1b	1	OsPR1b	nd	nd	nd	+	+	+	+	+	nd
PR2	13	OsGns1	nd	nd	+	+	nd	+	nd	nd	riz/Magnaporthe oryzae
	5 C '11	Cht-1-3	nd	nd	+	+	nd	+	nd	nd	nd
PP2 4 0	5, famille	Rcht2	nd	nd	+	nd	nd	nd	nd	nd	nd
PR3, 4, 8 et	mutigénique	RC24	nd	nd	+	nd	nd	nd	nd	nd	nd
11	supposée nombreuse	OsPR3	nd	Rhizoctonia solani	nd	nd	nd	nd	nd	nd	nd
		OsPR4	+	nd	nd	ABS	+	ABS	nd	ABS	nd
		OsPR5	+	nd	nd	nd	+	nd	nd	nd	riz/Rhizoctonia solani
PR5	3	pPIR2	nd	Xanthomonas oryzae pv. oryzae	nd	nd	nd	nd	nd	nd	nd
		?	nd	nd	nd	nd	nd	nd	nd	nd	blé/Fusarium graminearum
		OsBBPI	nd	nd	nd	nd	+	nd	nd	nd	nd
PR6	5	RBBI2-3	nd	nd	nd	nd	nd	nd	nd	nd	riz/Magnaporthe oryzae
		OsPIN	+	nd	nd	nd	nd	nd	nd	nd	nd
PR7	1	RSP1	nd	nd	nd	nd	nd	nd	nd	nd	nd
PR9	42	POX22.3	nd	nd	nd	+	+	+	-	nd	nd
		PBZ1	+	nd	nd	+	nd	nd	nd	nd	nd
PR10	6	RPR10b	+	nd	nd	nd	nd	nd	nd	nd	nd
		JIOsPR10	nd	nd	nd	+	+	nd	ABS	+	nd
PR12	90	ABS	nd	nd	nd	nd	nd	nd	nd	nd	nd
PR13	1	OsThi1	nd	nd	nd	nd	+	nd	nd	nd	nd
PR14	9	OsPR14	nd	Pseudomonas syringae	nd	+	nd	nd	+	nd	nd
11(17		LTP1	+	nd	nd	nd	nd	nd	nd	nd	nd
		LTP110	+	nd	nd	nd	nd	nd	nd	nd	nd
PR15	2	OsPR15	+	nd	nd	nd	nd	nd	nd	nd	nd

Tableau 4.1. Les protéines PR chez le riz.

Informations fournies par E. Vergne adaptées de Jwa et al. (2006) .

La dernière colonne donne le pathosystème au sein duquel la surexpression du gène PR considéré améliore la résistance.

+ = induction, - = répression, ABS = absence d'effet, nd = non testé.

de l'apoptose (Heath, 2000). Enfin, il participerait à la synthèse des lipoxygenases qui sont impliquées dans les premières étapes de la synthèse du JA.

La formation d'oxyde nitrique (ou NO) pourrait interagir avec les radicaux O₂ pour former une espèce d'oxygène fortement oxydante ONOO- (peroxynitrite) favorisant l'apoptose (Wendehenne *et al.* 2001). La participation du NO dans le système de défense a également été démontrée (Delledone *et al.*, 1998). L'oxyde nitrique participe également à la production de métabolites secondaires et des protéines PR (Hu *et al.*, 2003).

Le renforcement des parois cellulaires est un rempart efficace à la pénétration des agents pathogènes. L'agent pathogène produit de nombreuses enzymes pour détruire la paroi végétale (pectinases, cellulases, xylanases et polygalacturonases). La plante est capable de produire des inhibiteurs de ces enzymes notamment les Polygalacturonase Inhibiting Proteins (PGIP). Le renforcement des parois cellulaires peut se faire grâce à la formation de papilles (Figure 4.2) et de dépôts de callose (Figure 4.2) au niveau du point de pénétration de l'agent pathogène. La plante renforce également les parois par accumulation de protéines pariétales (glycoprotéines riches en hydroxyproline HRGP, protéines riches en glycine ou en proline).

La production de protéines de défense (Pathogenesis Related PR) est décrite dans les réactions compatibles et incompatibles. On compte jusqu'à 17 familles de protéines PR dont certaines ont des propriétés antifongiques ou antibactériennes : chitinases, glucanases, « cysteinrich », thionines, ... (Van Loon *et al.*, 2006). La production de phytoalexines est également largement décrite (Tsuji *et al.*, 1992).

IV.1.2 Les réactions de défense chez le riz

Les réactions de défense ont surtout été étudiées chez Arabidopsis. D'une manière générale, les gènes de défense identifiés chez le riz l'ont été de trois manières différentes : par analogie avec Arabidopsis, par crible de collections de mutants, par analyse de données de puces à ADN.

Par analogie avec ce qui a été trouvé chez Arabidopsis, quelques composants impliqués dans les réactions de défense chez le riz ont été identifiés. C'est le cas par exemple de gènes impliqués dans la transduction du signal de type MAPK (BWMK1: Cheong et al., 2003; He et al., 1999; OsMAPK5: Xiong et Yang, 2003) ou de facteurs de transcription (Jamyb: Lee et al., 2001; OsWRKY13: Qiu et al., 2007). Des éliciteurs, comme la protéine EL5 (Takai et al., 2002) et des régulateurs similaires à Rac1 et NPR1, ont également été identifiés. La protéine OsRac1, de type GTP binding, est un régulateur clef de la HR par son rôle dans l'activation du « burst oxydatif » (Kawasaki et al., 1999; Ono et al., 2001). La protéine NRR (Negative Regulator of Resistance) interagirait avec NH1, un orthologue de NPR1 chez le riz (Chern et al., 2005). La transformation

du gène NPR1 d'Arabidopsis chez le riz permet d'augmenter la résistance à X. oryzae ce qui semble indiquer que cette voie serait conservée entre le riz et Arabidopsis (Chern et al., 2005). Plusieurs protéines PR ont également été identifiées et sont répertoriées par Jwa et al. (2006) (Tableau 4.1). Des comparaisons d'expression de la protéine PR1 chez le tabac et des protéines OsPR1a et OsPR1b chez le riz semblent indiquer que les systèmes de régulation de ces protéines ne sont pas similaires entre les deux plantes (Agrawal et al., 2001). Enfin, le gène OsLSD1 homologue de Lsd1 a été démontré comme étant un régulateur négatif de la mort cellulaire (Wang et al., 2005).

Le crible de collections de mutants a permis d'identifier des mutants de type eds (enhanced disease susceptibility) et de type LM (Lesion Mimic). Les mutants eds présentent un phénotype plus sensible suite à l'infection par un agent pathogène (Campbell et Ronald, 2005). Les mutants LM (Walbot, 1983) forment des lésions nécrotiques même en l'absence d'agent pathogène. Ces mutants pourraient être défectueux dans la cascade de signaux sensés réguler la HR (Dangl et al., 1996). Trois collections de mutants de riz ont été caractérisés et ont permis l'identification de mutants LM: 13 mutants spl (spotted leaf) et trois mutants cdr (cell death and resistance). Certains de ces mutants présentent également une résistance accrue à M. oryzae (Yin et al., 2000; Mizobouchi et al., 2002). Bien que les gènes à l'origine de ces phénotypes et leur place dans la cascade de régulation aboutissant à la mort cellulaire ne soient pas toujours identifiés, plusieurs mutants ont pu être caractérisés. Le gène Spl7 a été cloné et code pour un facteur de transcription lié au stress (Yamanouchi et al., 2002). Le gène Spl11 est un régulateur négatif de la mort cellulaire et code pour une protéine U-box (Zeng et al., 2004). Le gène Spl18 (ou OsAt1) a également été caractérisé et code pour une Acyltransférase (Mori et al., 2007). D'autre part, certains de ces mutants ont été utilisés dans des analyses de protéomique afin d'identifier les gènes dont l'expression est modifiée dans les phénotypes mutants (Cdr2, Tsunezuka et al., 2005; blm, Jung et al., 2006).

Enfin, une dernière méthode pour identifier de nouveaux gènes de défense dans le riz consiste à analyser l'expression différentielle des gènes entre différentes interactions plante-agent pathogène. Des données issues de puces à ADN ou la comparaison de banques d'ADNc permettent d'explorer les variations d'expression d'un grand nombre de gènes. Ce type d'analyse permet d'identifier les gènes induits ou réprimés lors de différents types d'interactions compatibles ou incompatibles. Ainsi des gènes ont été identifiés comme étant différentiellement exprimés lors d'interactions avec *M. oryzae* (Kim *et al.*, 2001; Rauyaree *et al.*, 2001; Jantasuriyarat *et al.*, 2005; Li *et al.*, 2006), avec *X. oryzae pv. oryzae* (Chu *et al.*, 2004; Li *et al.*, 2006) ou avec le virus Rice Yellow Mottle (Ventelon-Debout *et al.*, 2003). Des banques d'ADNc ont également été

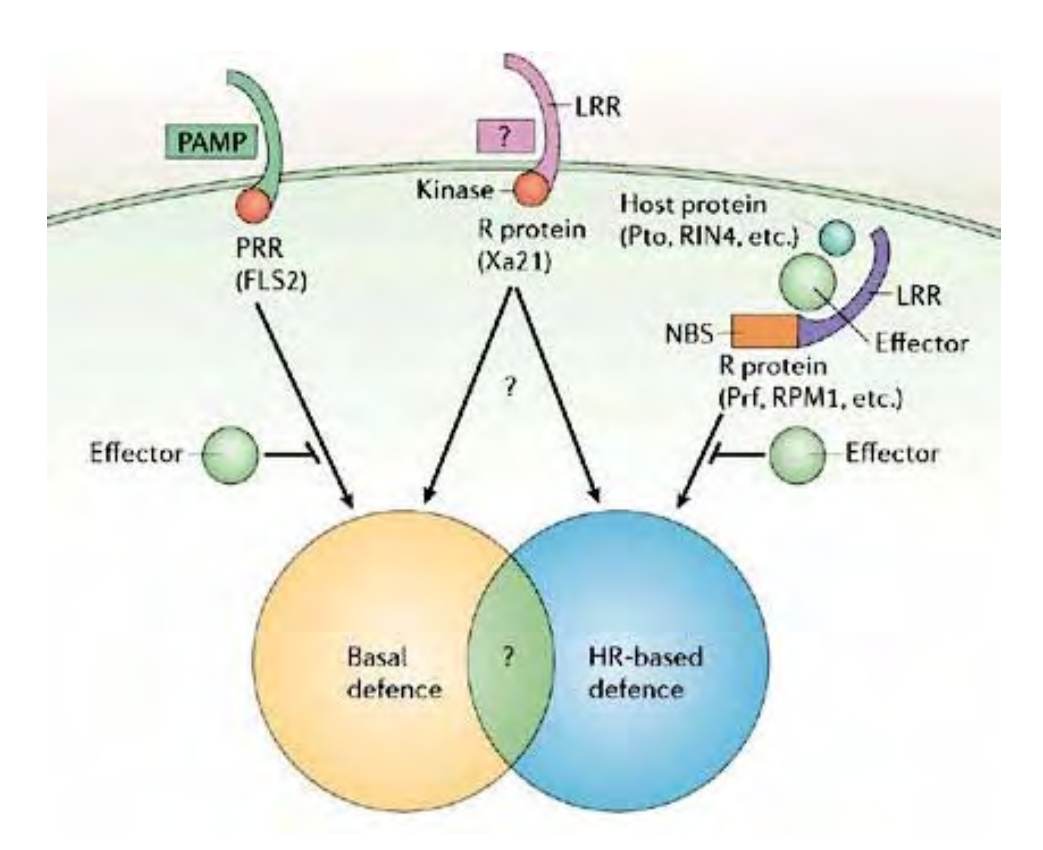


Figure 4.3. Points communs entre le système de défense basal et la HR.

D'après Abramovitch et al. (2006).

construites (Kim et al., 2000 ; Xiong et al., 2001; Lu et al., 2004; Shim et al., 2004). Ensuite, une fois ces gènes identifiés, ils sont confirmés par génétique inverse. L'expression de ces gènes peut être supprimée par ARN interférence ou induite par surexpression. Ainsi, dans plusieurs cas, la surexpression des gènes PR du riz met en évidence un phénotype de résistance (Tableau 4.1).

Bien que plusieurs gènes de défense ou régulateurs aient ainsi été identifiés chez le riz, pour l'instant les relations entre ces gènes ne sont pas connues et il est difficile de proposer un schéma des réactions de défense comme pour Arabidopsis.

IV.1.3 Quelles similitudes entre les réactions de défense induites par différents types d'interactions?

Plusieurs études ont cherché à comparer l'expression des gènes induits lors de différents types d'interactions (Figure 4.3). Ces études utilisent l'analyse par puce à ADN qui permet d'explorer les variations d'expression d'un grand nombre de gènes. En moyenne, l'expression de 10 à 20% des gènes est modifiée lors d'une infection (Schenk et al., 2000 ; Tao et al., 2003 ; Li et al., 2006). La plupart de ces gènes peuvent être classés facilement selon leur fonction et, bien sûr, beaucoup d'entre eux sont connus pour être impliqués dans les réactions de défense. Cependant, d'autre fonctions sont mises en évidence de manière récurrente : la maintenance cellulaire et le développement (Schenk et al., 2000) et la photosynthèse (Zhou et al., 2002 ; Lu et al., 2004 ; Shim et al., 2004). Les différences d'expression des gènes induits lors des interactions incompatibles et compatibles semblent être essentiellement quantitatives et décalées dans le temps (Tao et al., 2003; Lu et al., 2004). Les comparaisons entre plusieurs situations incompatibles semblent également indiquer l'induction de gènes communs (Schenk et al., 2000). Une comparaison entre l'ensemble des gènes induits par l'interaction Arabidopsis/P. syringae de manière dépendante du SA et l'ensemble des gènes induits par l'interaction Arabidopsis/A. brassicicola de manière dépendante du JA a révélé que plus de 50% de ces gènes étaient communs (Van Wees et al., 2003). De même, malgré un système de régulation très différent, les gènes induits lors d'interactions impliquant les gènes de résistance RPP4, RRP7 et RPP8 sont globalement les mêmes (Eulgem et al., 2004). Cependant, une comparaison chez le riz entre les gènes induit par le champignon M. grisea et la bactérie X. oryzae semblerait indiquer qu'il existerait deux voies différentes de régulation (Lu et al., 2004) avec des points communs (Li et al., 2006).

Chaque nouvelle étude sur le sujet révèle l'implication de nouveaux gènes, ce qui laisse à penser que beaucoup d'éléments restent à découvrir. De plus, bien que le système de défense chez Arabidopsis soit bien décrit, encore relativement peu de régulateurs ont été identifiés chez le riz.

IV.1.4 Objectifs

Notre objectif est donc de compléter les connaissances sur le système de défense du riz en identifiant un ensemble de gènes différentiellement exprimés dans l'interaction incompatible *ACE1/Pi33*. La comparaison de l'expression d'un grand nombre de gènes (puces à ADN) dans différentes conditions d'infection, nous a permis d'identifier cet ensemble de gènes (article 3 ciaprès: Vergne *et al.*, 2007). Nous avons pu montrer que certains de ces gènes sont différentiellement exprimés dans l'interaction *ACE1/Pi33* par rapport à l'interaction compatible (Vergne *et al.*, 2007). En comparant l'interaction incompatible *ACE1/Pi33* avec une autre interaction incompatible, nous avons également pu montrer que l'expression de certains gènes est potentiellement spécifique de l'interaction incompatible *ACE1/Pi33* (Vergne *et al.*, 2007). Mais, ces différences ont été observées entre des fonds génétiques très différents (indica et japonica). Les différences d'expression observées pourraient donc être le résultat de la structuration génétique du riz plus que de la spécificité des mécanismes de défense. Nous avons donc voulu confirmer ce résultat dans d'autres interactions incompatibles faisant intervenir différents gènes de résistance à *M. oryzae* dans des fonds génétiques comparables.

IV.2 Article 3: Early and specific gene expression triggered by rice resistance gene Pi33 in response to infection by ACE1 avirulent blast fungus



Early and specific gene expression triggered by rice resistance gene *Pi33* in response to infection by *ACE1* avirulent blast fungus

E. Vergne^{1*}, E. Ballini^{1*}, S. Marques¹, B. Sidi Mammar¹, G. Droc², S. Gaillard², S. Bourot⁴, R. DeRose⁴, D. Tharreau¹, J.-L. Nottéghem¹, M.-H. Lebrun³ and J.-B. Morel¹

¹UMR BGPI INRA/CIRAD/AgroM, Campus International de Baillarguet, T41/K 34398 Montpellier, France; ²UMR PIA CIRAD TA40/03 Avenue Agropolis 34398 Montpellier Cedex 5, France; ³UMR 2579 CNRS, BayerCropscience, 14–20 Rue Pierre Baizet BP 9163, 69263 Lyon Cedex 09, France; ⁴Bayer BioScience NV, Technologiepark 38, B-9052 Zwijnaarde, Belgium

Summary

Author for correspondence: J.-B. Morel Tel: +33 499624 837 Fax: +33 499624 822 Email: jbmorel@cirad.fr

Received: 31 August 2006 Accepted: 9 November 2006

- Our view of genes involved in rice disease resistance is far from complete. Here we used a gene-for-gene relationship corresponding to the interaction between atypical avirulence gene *ACE1* from *Magnaporthe grisea* and rice resistance gene *Pi33* to better characterize early rice defence responses induced during such interaction.
- Rice genes differentially expressed during early stages of *Pi33/ACE1* interaction were identified using DNA chip-based differential hybridization and QRT-PCR survey of the expression of known and putative regulators of disease resistance.
- One hundred genes were identified as induced or repressed during rice defence response, 80% of which are novel, including resistance gene analogues. *Pi33/ACE1* interaction also triggered the up-regulation of classical PR defence genes and a massive down-regulation of chlorophyll a/b binding genes. Most of these differentially expressed genes were induced or repressed earlier in *Pi33/ACE1* interaction than in the gene–for–gene interaction involving Nipponbare resistant cultivar.
- Besides demonstrating that an ACE1/Pi33 interaction induced classical and specific expression patterns, this work provides a list of new genes likely to be involved in rice disease resistance.

Key words: ACE1/Pi33 gene-for-gene interaction, defence response, Magnaporthe grisea, Oryza sativa (rice).

New Phytologist (2007) 174: 159-171

No claim to original French government works. Journal compilation © *New Phytologist* (2007) **doi**: 10.1111/j.1469-8137.2007.01971.x

Introduction

The hypersensitive response (HR) in plants is often controlled by gene-for-gene systems where an avirulence gene in the pathogen matches the allelic form of a particular resistance gene in the plant. Downstream of this recognition event, signalling transduction pathways controlled by regulator genes are activated and lead to differential expression of defence-related genes (Dangl & Jones, 2001; Van Loon *et al.*, 2006).

Thus three types of genes are involved in the HR response: resistance genes, regulator genes and defence genes. Pathogenesis-related (PR) proteins fall into the latter class of defence genes (Van Loon *et al.*, 2006). Our current picture of which genes are involved in disease resistance in monocotyledons is rather poor. By contrast, extensive studies in the plant model Arabidopsis have demonstrated that between 11% (Schenk *et al.*, 2000) and 22% (Tao *et al.*, 2003) of the genes are differentially regulated in a single situation (for review, see Eulgem, 2005). Most importantly, using *Pseudomonas syringae* pv. *tomato*, Tao *et al.* (2003) demonstrated that late compatible

^{*}These authors contributed equally to this work

and early incompatible interactions show similar responses. Considering regulator genes that were identified in Arabidopsis by a forward genetic approach, most of the time they were shown to be differentially expressed upon infection. For example, the *EDS5* gene was shown to be induced by virulent and avirulent strains of *Pseudomonas syringae* pv. *tomato* in Arabidopsis (Nawrath *et al.*, 2002).

With the completion of rice and Magnaporthe grised genomes, rice blast disease has become a model of choice to study host reactions in monocotyledons (Dean et al., 2005). Several large-scale approaches have been used to identify genes and proteins that are differentially expressed upon infection by M. grisea, other pathogens and related stresses. This led to the identification of genes that are potentially differentially regulated upon infection by M. grisea (Kim et al., 2001; Rauyaree et al., 2001; Jantasuriyarat et al., 2005) or related conditions (Xanthomonas oryzae pv. oryzae: Chu et al., 2004; Rice Yellow Mottle Virus: Ventelon-Debout et al., 2003). Differential cDNA libraries (SSH: Xiong et al., 2001; Lu et al., 2004; Shim et al., 2004; differential display: Kim et al., 2000) combined with reverse northern were also used. Although it is always difficult to compare such different studies, some common elements emerge:

- As in other systems, incompatible and compatible interactions seem to differ mainly quantitatively (Wen *et al.*, 2003; Lu *et al.*, 2004).
- Except for classical defence genes such as *PR1*, *PR3* (chitinases), *PBZ1* and metallothionein, there are few overlaps between the differentially expressed genes isolated in these studies. From reports on genes differentially expressed upon infection, it appears that only 18% were found in at least two independent studies (Droc *et al.*, 2006; this study). This suggests that our knowledge of defence response in rice is far from complete.
- Among the common patterns of gene expression emerging from those studies, several found repression of genes involved in photosynthesis (Zhou *et al.*, 2002; Lu *et al.*, 2004; Shim *et al.*, 2004).
- Many of the genes identified appear to belong to multigene families, and appropriate tools, such as quantitative RT-PCR, are needed to study their specific expression.
- Besides transcriptional factors, such as WRKYs (Zhou et al., 2002) and MYBs (Xiong et al., 2001), and with the exception of the Mlo gene (Zhou et al., 2002), no major regulator gene known to be required for disease resistance in Arabidopsis or monocotyledons was found in the thousands of genes differentially expressed upon infection.

We are currently studying the interaction between rice resistance gene *Pi33* (Berruyer *et al.*, 2003) and *M. grisea* avirulence gene *ACE1* (Böhnert *et al.*, 2004). In rice cultivar IR64, the *Pi33* gene belongs to a 5 Mb introgression from *O. rufipogon* located on the small arm of *O. sativa* chromosome 8 (E. Ballini *et al.*, unpublished). *Pi33* is also found in some wild rice species, suggesting an ancient origin (E. Ballini *et al.*, unpublished). However, the *Pi33* resistance gene is probably a classical resistance gene as it maps to a small interval from

the rice chromosome 8 containing several classical resistance gene analogues (Berruyer et al., 2003; E. Ballini et al., unpublished). Avirulence gene ACE1 encodes a putative hybrid protein between a polyketide synthase and a nonribosomal peptide synthase. Mutagenesis studies strongly support the hypothesis that the metabolite produced by this enzyme, rather than the enzyme itself, is the avirulence molecule (Böhnert et al., 2004). Such an interaction between a fungal metabolite and a disease resistance gene is unique among known avirulence/ resistance interactions in fungi (Böhnert et al., 2004). As this interaction is original, this avirulence gene may induce plant defence mechanisms that differ from other avirulence/resistance interactions, at least during the early phases of recognition. Therefore we decided to explore rice defence reactions in this particular avirulence/resistance interaction. Nontargeted differential gene expression was performed using DNA chips to identify genes up- or down-regulated during early stages in this interaction. Additionally, the expression of genes known to be required for disease resistance in rice or other plants was monitored during ACE1/Pi33 interaction. Whereas more than 50 regulator genes required for disease resistance are known in dicots (Hammond-Kosack & Parker, 2003), only 14 have been described in cereals, mostly in barley (Ayliffe & Lagudah, 2004), and rice, including rice genes SPL11 (Zeng et al., 2004), OsMT2b (Wong et al., 2004), OsRac1 (Ono et al., 2001), NRR (Chern et al., 2005), SPL7 (Yamanouchi et al., 2002), OsEDR1 (Kim et al., 2003), OsEREBP (Kim et al., 2000), OsLSD1 (Wang et al., 2005) and OsMAPK6 (Lieberherr et al., 2005). Some of these disease resistance regulator genes are differentially expressed upon infection. The corresponding rice genes are probably involved in the control of disease resistance and as such have been used as putative markers of disease resistance induction in rice. Finally, there is a need for the identification of novel genes in rice that are differentially expressed during infection. Our strategy towards this goal involves a combination of DNA chip-based differential screening and an expression survey of selected disease resistance regulator genes. This first screening was followed by the monitoring of the expression of a selected number of differentially expressed genes during different compatible/ incompatible interactions to identify patterns specific of Pi33/ ACE1 interaction.

Materials and Methods

Plants and fungus

Oryza sativa L. (rice) plants and Magnaporthe grisea (Hebert) Barr were grown and inoculated as described in Berruyer et al. (2003). The IR64 rice cultivar contains the Pi33 resistance gene matching the ACE1 avirulence gene. The M. grisea PH14 isolate does not contain the ACE1 avirulence gene unless transformed here with the 31C12 cosmid (Böhnert et al., 2004). The Nipponbare/CL26 interaction is incompatible (Fig. 1c).

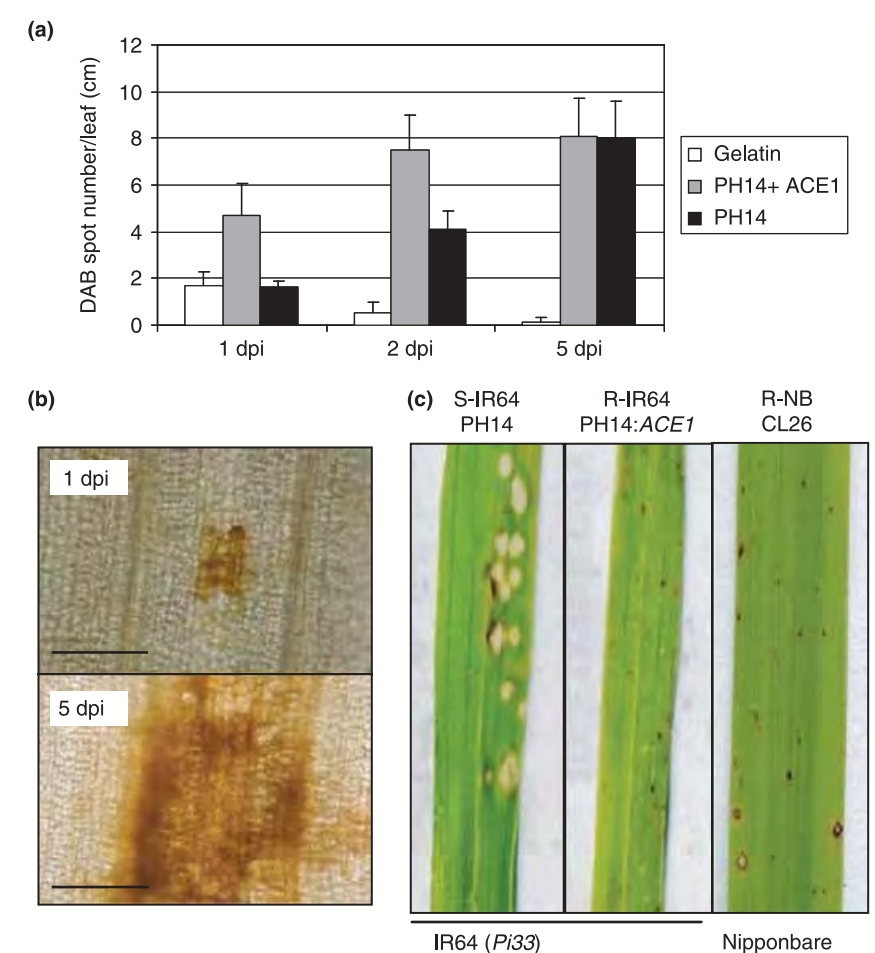


Fig. 1 Oxidative burst in the Pi33/ACE1 interaction. IR64 plants carrying the Pi33 resistance gene were inoculated with an avirulent strain (PH14:ACE1), virulent strain (PH14) or gelatin control. (a) The oxidative burst (H2O2) was measured using DAB staining. Spots where DAB staining was visible were counted under the microscope and normalized by measuring the length of leaf observed. The mean (+ SD) of two independent experiments is shown. (b) Examples of DAB staining in the incompatible interaction (1 day postinoculation (dpi)) and in the compatible interaction (5 dpi). Bar, 1 mm (c) Symptoms 5 dpi in resistant IR64 (inoculated with PH14:ACE1 isolate), susceptible IR64 (inoculated with PH14 isolate) and resistant Nipponbare inoculated with CL26.

DAB staining

The protocol for DAB staining was adapted from Thordal-Christensen *et al.* (1997). Diaminobenzidine (Sigma D-8001) was solubilized to 1 mg ml⁻¹ of water, excised leaves were dipped overnight (in the dark) and tissues were cleared with ethanol/chloroform (4:1) overnight at room temperature.

RNA extraction

For RT-QPCR applications, frozen tissue was ground in liquid nitrogen. Approximately 500 μ l of powder was then treated with 500 μ l TLES buffer (Tris PH8100 mm, LiCl 100 mm, EDTA PH8 10 mm and SDS 1%), 500 μ l warmed water saturated phenol (Acros Organics, Halluin, France), and vortexed for 30 s. A volume of 500 μ l of CHCl $_3$: isoamylalcohol (24:1) was then added and the samples were vortexed for 30 s. The samples were then centrifuged (30 min, 13 000 rpm) and the RNA was precipitated from the supernatant overnight using one volume LiCl 4 m. RNA pellets were then washed with 70% ethanol and resuspended in distilled water.

Primer design

Primers were designed using the Beacon designer v4 software (Stratagene, La Jolla, CA, USA). When it was available, the sequence used was the full-length cDNA (Kikuchi *et al.*, 2003). In order to reduce specificity issues, available 3' UTR sequences were chosen for primer design. Primer pairs for which efficiency was between 90 and 110%, as determined by standard amplification curves, were used for expression studies. Specific amplification was checked using denaturation curves of QPCR products. All primer sequences are available in the Supplementary Material (Table S1). The rice genome sequence (TIGR pseudomolecules v3) was used for annotation and BLAST searches using the OryGenesDB database and tool box (http://orygenesdb. cirad.fr/; Droc *et al.*, 2006).

RT and QPCR

RNA samples (5 μ g) were denaturated for 5 min at 65°C with oligo dT (3.5 μ M) and dNTP (1.5 μ M). They were then subjected to reverse transcription for 60 min at 37°C with

				best blastp or	rice	best reciprocal blast	p on arabidopsis	differential expre	ssion ^d
gene	accession	origin	putative function	Tigr	identity (%) a	hit ^b	BBMH °	summary	reference
COI1	AAN31713	arabidopsis	F-box protein	Os01g63420	65	NP_565919.1	yes	induced by JA	Xie et al (1998)
DIR1	NM_124224	arabidopsis	LTP binding	Os07g18750	44	DIR1	yes	repressed by avir Pseudomonas	Maldonado et al (2002)
EDS5	NM_1263	arabidopsis	MATE-transporter	Os02g02980	59	NP_565509.1	no	induced by vir and avir Pseudomonas	Nawrath et al (2002)
JIN	NM_102998	arabidopsis	MYC transcription factor	Os10g42430	48	JIN	yes	induced by JA	Lorenzo et al (2004)
SSI2	AF395441	arabidopsis	stearoyl ACP desaturase	Os01g69080	85	SSI2	yes	induced by JA	Kachroo et al (2001)
SABP2	AY485932	tobacco	SA binding protein	Os01g57770	52	-	na	TMV inducible	Kumar and Klessig (2003)
OsSGT1	na	rice	RAR1 interactor	Os01g43540	-	-	na	induced vir and avir P. parasitica	Azevedo et al (2006)
OsLSD1	na	rice	Zn-finger transcription factor	Os08g06280	-	-	na	no	Wang et al (2005)
OsSPL7	na	rice	Heat stress transcription factor	Os05g45410	-	-	na	no	Yamanouchi et al (2002)
OsNRR	na	rice	NPR1 interactor	Os01g03940	-	-	na	unchanged X. oryzae oryzae	Chern et al (2005)
OsEDR1	na	rice	MAPKK	Os03g06410	-	-	na	SA JA inducible	Kim et al (2003)
OsMAPK6	na	rice	MAPK	Os05g49140	-	-	na	not induced by elicitor	Lieberherr et al (2005)
OsMT2b	na	rice	metallothionein	Os05g02070	-	-	na	repressed by blast elicitor	Wong et al (2004)
OsSPL11	na	rice	U-box & ARM repeat protein	Os12g38210	-	-	na	induced by vir and avir blast	Zeng et al (2004)

Tableau Supplémentaire S1 Origin of the 14 known and putative rice genes required for disease resistance

Publication	Biotic stress type	accessions
Cooper et al, PNAS 2003	Magnaporthe grisea, jasmonate, cultivar japonica Nipponbare	90
Fujiwara et al, Plant Physiol 2006	sphingolipids+CA-OsRac1, rice suspension cultured cells	184
Güimil et al, PNAS 2005	M grisea + Glomus intraradices, cultivar japonica Nipponbare, roots	21
Han et al, Mol Cells 2004	M grisea, blast-resistant mutant derivative of cultivar japonica Sanghaehyanghyella	26
Jantasuriyarat et al, Plant Physiol 2005	most induced M. grisea	160
Jantasuriyarat et al, Plant Physiol 2005	most repressed M. grisea	124
Jantasuriyarat et al, Plant Physiol 2005	most induced SPL11	41
Jantasuriyarat et al, Plant Physiol 2005	most repressed SPL11	49
Kim et al, MPMI 2001	M grisea, cultivar japonica Nipponbare	18
Lu et al, TAG 2003	M grisea, cultivars indica 75-1-127 (Pi9(t)), IR31917, C101A51 (Pi2(t)) & CO39	47
Ramalingam et al, MPMI 2003	candidate genes from different studies	10
Shim et al, Plant Cell Rep 2004	M grisea, O minuta, compatible interaction	178
Shimono et al, J Gen Plant Pathol		
2003	Probenazole + M grisea, cultivar japonica Nipponbare & isogenic line Kantoh BL6 (Pi-b)	10
Tsunezuka et al, MPMI 2005	Lesion mimic cdr2	28
Wen et al, Mol Gen Genomics 2003	X oryzae & M grisea, multiple cultivars	12
Xiong et al, MPMI 2001	M grisea, japonica cultivar Drew	22
Xiong et al, MPMI 2001	M grisea, japonica cultivar Drew	34
	X oryzae & M grisea, indica cultivars Minghui 63, C101A51 (Pi2(t)), IRBB10 (Xa10) & IRBB13	
Zhou et al, Science in China 2002	(xa13)	11
PubMed	Rhizoctonia solani, cultivar indica 9311	13
PubMed	miscellaneous	53
	total accessions	1131
	total non redundant rice locus	923
	redundant accessions	208 (18%)

Tableau Supplémentaire S2 Origin of the rice defence gene list

200 U of reverse transcriptase M-MLV (Promega, Madison, WI, USA), and DTT (5 mM) in the appropriate buffer. Two microlitres of cDNA (dilution 1/100) were then used for quantitative RT-PCR. Quantitative RT-PCR mixtures contained PCR buffer, dNTP (0.25 mm), MgCl₂ (2.5 mm), forward and reverse primers (300 µM), 1 U of HotGoldStar polymerase and SYBR Green PCR mix as per the manufacturer's recommendations (Eurogentec, Seraing, Belgium). Amplification was performed as follows: 95°C for 10 min; 40 cycles of 95°C for 15 s, 62°C for 1 min and 72°C for 30 s; then 95°C for 1 min and 55°C for 30 s. The quantitative RT-PCR (QRT-PCR) reactions were performed using a MX3000P machine (Stratagene) and data were extracted using the MX3000P software. The amount of plant RNA in each sample was normalized using actin (Os03g50890; Table S1) as internal control. For Table 1 and Fig. 3, the calculation of expression ratios (infected vs gelatin treated plants) was done according to Pfaffl (2001). For Fig. 1, the calculation of gene expression was done using the measured efficiency for each gene (data not shown).

Microarray hybridization

RNA labelling and hybridization of the Agilent oligo chips (70-mers; Agilent G4137A, http://www.chem.agilent.com) were carried out according to the manufacturer's protocol. One dye swap and two technical repeats were done for each comparison.

Rice defence gene list

Genes for which differential expression is available in publications were from Cooper et al. (2003), Fujiwara et al. (2006), Han et al. (2004), Kim et al. (2001), Lu et al. (2004), Ramalingam et al. (2003), Shim et al. (2004), Shimono et al. (2003), Wen et al. (2003), Xiong et al. (2001), Zhou et al. (2002), Tsunezuka et al. (2005), Güimil et al. (2005) and Jantasuriyarat et al. (2005). This represents a total of 923 nonredundant rice genes for 1131 accession numbers (Table S2). For Jantasuriyarat et al., 2005), it is important to mention that only a subset of

Table 1 Expression ratios of genes selected from targeted approach and microarray. Two to three experiments were used to establish mean ratios between infected and control plants (gelatin). Ratios above 1.5 and below –1.5 are highlighted in bold and italic, respectively. Ratios between 1 and –1 were adjusted to 1. R, resistant; S, susceptible

		R-IR64 (<i>P</i> PH14: <i>ACI</i>	i33) E1/gelatin	R-Nippor CL26/gel		S-IR64 (<i>F</i> PH14/ge	
Gene	Putative function	1 dpi	2 dpi	1 dpi	2 dpi	1 dpi	2 dpi
Genes from targe	ted						
approach							
Os08g06280	OsLSD1	-3.8	-1.9	1.6	-2.1	1.7	-1.6
Os07g18750	DIR1	-2.7	2.6	1.8	-3.2	2.7	-1.4
Os01g69080	SSI2	-3.1	1.9	1.0	-1.9	1.4	1.0
Os05g02070	OsMT2b	-2.0	1.6	1.0	-1.6	-1.2	1.0
Os05g49140	OsMAPK6	-3.5	2.2	-1.1	-1.4	2.8	1.5
Os01g43540	OsSGT1	1.0	1.5	1.2	-1.9	1.0	1.0
Os12g38210	OsSPL11	1.0	1.6	1.0	-1.7	1.0	-1.1
Os03g06410	OsEDR1	1.0	2.7	2.1	-1.6	2.6	1.0
Os01g57770	SABP2	1.0	1.9	1.6	1.5	2.5	1.0
Os05g45410	OsSPL7	2.5	-3.2	1.3	2.4	1.2	1.0
Os01g03940	OsNRR	2.0	1.7	1.0	1.8	-3.9	2.5
Os02g02980	EDS5	1.6	1.5	1.0	1.0	1.0	1.0
Os01g63420	COI1	6.3	1.5	1.4	-1.7	1.0	-2.8
Os10g42430	JIN	1.9	1.2	1.0	-1.1	3.8	-2.3
Genes from micro	parray						
Os07g48020	Peroxidase	4.3	10.2	-2.0	5.6	1.9	2.5
Os04g24220	Wall-associated kinase	2.0	4.9	-2.5	1.6	16.2	1.0
Os10g40930	Oxidoreductase	2.4	3.1	1.0	2.0	2.6	1.3
Os03g16950	33 kDa secretory protein	2.3	2.9	1.0	5.0	4.8	-1.6
Os07g35560	Chitinase	5.1	24.8	1.0	4.8	16.2	8.1
Os01g58290	Subtilase family protein	2.6	7.7	1.0	2.7	2.5	3.0
Os01g64110	Chitinase III	2.2	2.9	1.0	2.0	3.2	1.0
Os06g03580	Zinc finger, C3HC4 type	2.1	3.9	1.0	1.5	7.0	1.7
Os11g39370	LRR kinase	1.7	2.3	-1.1	1.5	15.6	1.5
Os09g09830	Heavy metal-associated domain	2.2	2.5	1.6	1.0	6.8	-1.3
Os06g50300	Hsp90	1.9	2.2	1.0	1.0	2.8	1.0
Os02g08440	WRKY09	2.5	5.9	1.0	1.0	1.8	1.0
Os08g10310	LRR kinase	7.0	4.1	1.0	-1.3	3.1	1.0

Name	TIGR locus	forward	reverse	
Os01g58290	Os01g58290	CGGAAAGTTGCTGACCCATTCG	GCTCGCCGCACCTTGATTG	Tab.1
Os01g64110	Os01g64110	CGTGCGCGACCGGTAA	TGGCCCTTGCCGAACA	Tab.1
Os02g08440	Os02g08440	CCGAGCAGATGGCGATGAC	AGGCAGAGACAGGAGGATG	Tab.1
Os04g08630	Os04g08630	CCGGAGATGAAGAAGATGGA	TGCAATGCAACATCAAATCA	Tab.1
Os03g16950	Os03g16950	GGCAACGTCGCAGGCATCAC	CGCCGCAGTATTGACCGAACC	Tab.1
Os04g24220	Os04g24220	GGAACTGAAGGTGAAGCCAATC	GACACTCTCTATCTCTTCGTCAGTAGCT	Tab.1
Os06g03580	Os06g03580	CTGCGTACCCTCTCCATCTGA	TGGCAGCCTCTTCGTTGTT	Tab.1
Os06g50300	Os06g50300	CCAGGACAGCGAGAGCGAGAG	TCCGCCTCCTTGATGTTGG	Tab.1
Os07g01960	Os07g01960	GGCTTGTGGCTGCGTATG	TCCCTGTGACTGCGAACC	Tab.1
Os07g35560	Os07g35560	CCAGACGGACGGAGGTTTAC	AGATGCGTGTGCGACCAAGG	Tab.1
Os07g48020	Os07g48020	ACGACGCCCAACGCCTTC	CTTCCAGCAACGAACGCATCC	Tab.1
Os08g10310	Os08g10310	GATGTTGAGGTGGCAGAGGTAG	GATTGTTGGTGATTGAGTGAGAGG	Tab.1
Os08g31860	Os08g31860	TCCCACGTCAACAAGATCAA	CGCATGCATACAACATAATCA	Tab.1
Os09g09830	Os09g09830	GATGCGGCGTACTCACATTGTC	ATCTGGCAGCATGATGGACTGG	Tab.1
Os10g40930	Os10g40930	TCAGCAGCACTCTTCCACTATCC	GCAGGTTCATGTCAGTATCTCAGG	Tab.1
DIR1	Os07g18750	GGCTAGAACTGCTACAGGGATAG	ATGACAACACTCTCACAGACAAAC	Tab.1
EDS5	Os02g02980	CACGGCTAGGTTCAGTTCCAATG	CCAATCCATCAGCAAGAAGAGACG	Tab.1
JIN	Os10g42430	CAGCGTCTCCGTGGTCAAGG	GGCGATGCGGGTGTAGAGC	Tab.1
COI1	Os01g63420	TAAGTTGTTGTCACTTGTTCTACG	TACATCTCGCAACCAAAGCAC	Tab.1
OsEDR1	Os03g06410	ATGGGTGGACCTGTGAAAGATGC	AGTAGGGCACGGTGACGAGAC	Tab.1
OsLSD1	Os08g06280	TACAGACCAGAAGCCCAGCAG	CTCCATATCCAAGGAAGGAAGGTG	Tab.1
OsMAPK6	Os05g49140	GCCGTTCAATATGGTGTTTCAAG	GCCTTATATCTGGGTGGATGGG	Tab.1
OsMT2b	Os05g02070	ACCGTCGTCGTTGTCAG	GCATGAGGAGATGGAGCAGGAG	Tab.1
OsNRR		TGCGGGTGCTCACGGATTAC	ACACACAAGGAGACAAGGC	Tab.1
OsSGT1	Os01g43540	TCATCACTTGGCTGGAGATTTCG	TTCGGAGCAAAGATTCAGATAACG	Tab.1
OsSPL11	Os12g38210	ACAGCCCAGCGTCTCAATACC	TCAGCACACAAGCATGGAAACC	Tab.1
OsSPL7	Os05g45410	CGGATTAGAGGCTTGCGTGTTAC	GCACAGTAGTCAGCGGATAGAAC	Tab.1
SABP2	Os01g57770	CCTGCTGTTAATGAAGTCAATCTG	AAAGAAGACCGAATTATTCCAAGC	Tab.1
SSI2	Os01g69080	GTGTTACTACTGTCCGTGCTTGTC	ATGCCCTCAGTTCATTTGGTCAAC	Tab.1
Os01g37910	Os01g37910	GCACCAGCATTCCCTCCAAC	ACAGTTCTTCAGACTTCACCTACG	Fig.3
Os11g13670	Os11g13670	TGGTGGTGAGTGATTGG	ATTATTGACGACCTCATCCTACAC	Fig.3
Os09g27030	Os09g27030	TGCCCACGGATTAGTTCCATTG	ACCTACACAACCATACAGGAGAAG	Fig.3
Os04g38410	Os04g38410	CGTTCCTCAAGTGGTACAG	GTGGCGTTGGAGAAGTTC	Fig.3
Os08g33820	Os08g33820	TCGCTCAAGTCTACCTTCC	TCTTCGTCAGCACCTCAG	Fig.3
Os07g37240	Os07g37240		AATTAAGAGGATGAGGAGAAGG	Fig.3
Os01g52240	Os01g52240		GGTGTCCCAGCCGTAGTC	Fig.3
Os01g41710	Os01g41710	GTTCGGCTTCTTCGTCCAG	CGCATCGTCGTCAACCTAG	Fig.3
actin	Os03g50890	GCGTGGACAAAGTTTTCAACCG	TCTGGTACCCTCATCAGGCATC	

Tableau Supplémentaire S3 QPCR primers

the genes from this publication was included in our database. We focused on ESTs that showed important induction or repression ratios between infected and control library. This represents 201 induced and 100 repressed EST in infected or *SPL11* lesion mimic mutant tissues.

Origin of putative and known rice disease regulators

This corresponds to five genes originally described in Arabidopsis (COII, DIR1, EDS5, JIN and SSI2), one gene from barley (SGT1; Schulze-Lefert & Vogel, 2000) and one from tobacco (SA binding protein SABP2; Slaymaker et al., 2002; Kumar & Klessig, 2003). The original sequences were blasted on the rice genome to identify the best blast mutual hit. Seven known rice disease regulators were also included (OsLSD1, OsSPL7, OsEDR1, OsMAPK6, OsMT2b, OsNRR and OsSPL11). Details can be found in Table S3.

Results

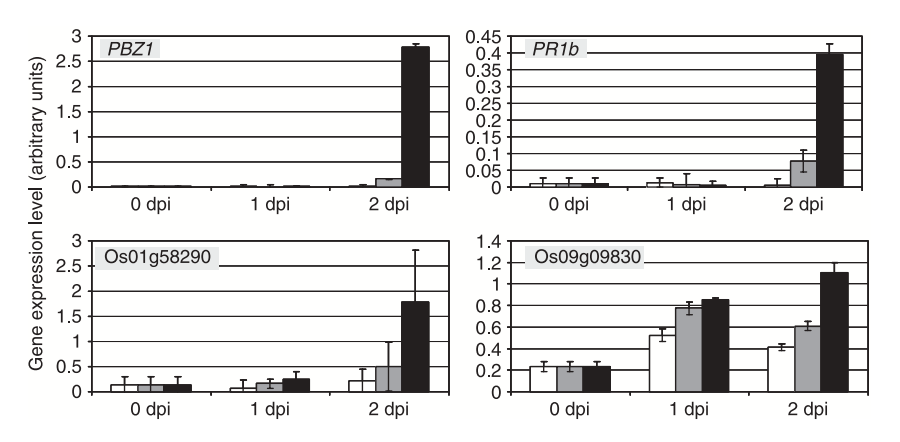
Induction of defence mechanisms during ACE1/Pi33 interaction

Since ACE1/Pi33 interaction differs from other gene-for-gene relationships, we first examined whether classical defence mechanisms were triggered in this interaction. Plants of rice indica cultivar IR64 carrying Pi33 were inoculated with M. grisea isogenic strains containing ACE1 (PH14-ACE1) or not (PH14). A typical HR was observed as soon as 2-3 dpi (days postinoculation) in the incompatible interaction (IR64/ PH14-ACE1). Disease symptoms were visible after 5 dpi only in the compatible interaction (IR64/PH14, Fig. 1c). Using DAB staining, we observed that an oxidative burst was triggered as early as 1 dpi in the incompatible interaction (Fig. 1a,b). This burst was also detected at 2 dpi in the compatible interaction. Thus, as in other gene-for-gene interactions (Wojtaszek, 1997), the Pi33/ACE1 interaction is associated with an oxidative burst which is a hallmark of plant defence response. We monitored the expression of PBZ1 (Midoh & Iwata, 1996; Kim *et al.*, 2004) and *PR1b* (Agrawal *et al.*, 2000), which are classical pathogen-induced rice defence genes. In the incompatible *Pi33/ACE1* interaction, *PBZ1* and *PR1b* were induced at a high level at 2 dpi, whereas they were induced to a lower degree in the compatible interaction (Fig. 2). According to these criteria, the *ACE1/Pi33* interaction is similar to other known gene-for-gene interactions, as there is an earlier and stronger induction of defence mechanisms (oxidative burst and induction of *PR* genes) in the incompatible interaction than in the compatible one.

Identification of differentially expressed genes during *Pi33/ACE1* interaction using a targeted approach

Among the large number of Arabidopsis and rice genes involved in disease resistance (Hammond-Kosack & Parker, 2003; see Introduction), we picked 14 (Table 1) to examine whether these genes would be differentially regulated in the Pi33/ACE1 interaction. These genes were selected on the basis that they showed, to some extent, differential expression upon microbial infection (Table S3). The corresponding homologous genes were identified in the rice genome and their expression was monitored by quantitative RT-PCR during the incompatible Pi33/ACE1 interaction as well as other resistant or susceptible situations. Data presented in Table 1 demonstrate that our strategy to select known regulator genes was fruitful to identify genes that are differentially regulated in the Pi33/ACE1 interaction. At 1 dpi, five genes (OsSPL7, EDS5, JIN, OsNRR, COII) were up-regulated upon infection in a Pi33/ACE1 incompatible interaction, five (OsLSD1, OsMAPK6, SSI2, OsMT2b and DIRI) were down-regulated, while four (OsSGT1, OsSPL11, OsEDR1 and SABP2) were not differentially expressed (Table 1). The majority of these genes were also upregulated at 2 dpi, except for OsLSD1 and OsSPL7, which were both repressed. Most of these genes were also differentially expressed during the other incompatible interaction tested between cv. Nipponbare and M. grisea isolate CL26. However, striking differences were observed. First, differential expression occurred earlier in the incompatible Pi33/ACE1

Fig. 2 Examples of gene induction in the *Pi33/ACE1* interaction. Gene expression was measured (0, 1 and 2 dpi) by QRT-PCR. Open bars, gelatin control; grey bars, susceptible IR64 (*Pi33*)/PH14; closed bars, resistant IR64 (*Pi33*)/PH14:ACE1. Gene expression level (arbitrary units) was normalized using actin (Os03g50890) as an internal reference (see Materials and Methods section). The mean (+ SD) of three experiments is shown. *PBZ1*: Os12g36880, similar to D38170; *PR1b*: Os01g28450, similar to U89895.



interaction than in the other incompatible interaction. Second, one gene (EDS5) was only regulated in the incompatible Pi33/ACE1 interaction and not in the other interactions tested. Finally, OsSPL11 and OsSGT1 showed opposite differential expression between Nipponbare/CL26 and Pi33/ACE1 incompatible interactions. These results suggest that the types of genes and their expression pattern strongly differ between Pi33/ACE1- and Nipponbare/CL26 incompatible interactions.

Identification of genes differentially expressed during *Pi33/ACE1* interaction using microarrays

We have used microarrays to systematically identify the rice genes differentially expressed during ACE1/Pi33 interaction. To focus on the initial phases of infection, three differential hybridizations were performed: incompatible (IR64/PH14-ACE1 vs IR64/gelatin-treated) at two time points (1 and 2 dpi), and compatible (IR64/PH14 vs IR64/gelatin-treated) at 2 dpi. Four technical replicates were performed allowing a statistical comparison based on a Student t-test on absolute values from hybridization signals. With a *P*-value of 0.05, we identified 79 and 22 oligo probes up-regulated, respectively, more than 1.5-fold and twofold compared with noninoculated leaves. Down-regulated oligo probes were found in large numbers with 876 and 51 genes being down-regulated 1.5fold and twofold, respectively, compared with noninoculated leaves. With regard to these values, to select genes for further studies, we applied 1.5-fold and twofold ratios as cut-offs for up- and down-regulated genes, respectively. Based on these criteria, 57 nonredundant genes are up-regulated (ratio > 1.5; Table 2) and 42 nonredundant genes are down-regulated genes (ratio < -2; Table 3). Among up-regulated genes, 18 (67%) were common to incompatible and compatible interactions (Table 2), whereas only one (1/42) down-regulated gene was common to incompatible and compatible interactions (Table 3).

We selected 24 genes from the 57 up-regulated genes (Table 2) for further studies of their expression using QRT-PCR. With the exception of Os12g30820, the expression of 23/24 genes (96%) was confirmed with RNA from the original microarray hybridization, suggesting that the quality of the microarray hybridization is correct. However, only 13 of these 23 genes (Table 1) were also up-regulated in the three independent biological replicates. Genes encoding leucin-rich repeat (LRR) proteins, protein kinases and receptor-like kinases are a major class of genes up-regulated during Pi33/ACE1 interaction (11% of the 57 up-regulated and none of the 42 down-regulated genes; Tables 2, 3). These results strongly suggest that genes involved in signal perception and transduction are well represented among up-regulated genes. The putative functions of down-regulated genes are strikingly different as they are related to photosynthesis (chlorophyll a/b binding proteins; discussed later), protein degradation (proteases, 5%)

and water transport (aquaporins, 5%). The survey of published data on induction of rice genes upon infection identifies a set of 923 genes differentially expressed upon infection by *M. grisea* or *X. oryzae oryzae* (Droc *et al.*, 2006; also see http://orygenesdb.cirad.fr). Using this 'rice defence gene list' as a reference (Table S2), we show that 86% of the induced genes (Table 2) and 75% of the repressed genes (Table 3) in *Pi33/ACE1* interaction were not described as such before.

Genes up-regulated during Pi33/ACE1 interaction

Several contrasting biological situations were used to survey the expression patterns of 13 up-regulated genes from the microarray experiment validated by QRT-PCR (Table 1). We used the original IR64 (Pi33) and isolate PH14:ACE1 interaction as well as another incompatible interaction between Nipponbare japonica cultivar and avirulent M. grisea isolate CL26 (Fig. 1c). As a compatible interaction, we used the infection of IR64 rice cultivar by virulent M. grisea isolate PH14. Most of these 13 genes had induction ratios close to two, although two transcripts had higher ratios (10 and 25 for peroxidase Os07g48020 and chitinase Os07g35560, respectively). Results obtained from a representative experiment are displayed for two representative patterns in Fig. 2. The Os01g58290 pattern is representative of five genes (Os07g48020, Os07g35560, Os06g03580, Os11g39370 and Os01g58290) up-regulated in both incompatible Pi33/ACE1 and compatible IR64/PH14 interactions. Os09g09830 is representative of eight genes (Os04g24220, Os10g40930, Os03g16950, Os01g64110, Os08g10310, Os06g50300, Os02g08440 and Os09g09830) still up-regulated in incompatible Pi33/ACE1 at 2 dpi while their up-regulation decreases in the corresponding compatible interaction. The incompatible interaction between rice cv. Nipponbare and *M. grisea* isolate CL26 was used to survey the expression of these genes in another gene-for-gene interaction besides Pi33/ACE1. Overall, the expression patterns of these genes are quite different in incompatible Pi33/ACE1 (IR64) and Nipponbare interactions (Table 1), as only a single gene Os09g09830 displayed induction in both incompatible interactions. Other genes up-regulated in Pi33/ACE1 interaction were either not differentially expressed (Os06g50300, Os02g08440 and Os08g10310) or up-regulated only later (2 dpi) in a Nipponbare/CL26 interaction.

Genes down-regulated in Pi33/ACE1 interaction

Among the 42 genes down-regulated during *Pi33/ACE1* interaction, we identified two proteases (Table 3) and four more in an extended data set (data not shown). The expression patterns of three of these proteases (Os01g37910, Os11g13670 and Os09g27030) were surveyed using QRT-PCR. These three proteases were shown to be down-regulated in the three biological replicates corresponding to a *Pi33/ACE1* interaction

 Table 2
 Expression ratios of 57 genes up-regulated in IR64 (Pi33)/PH14-ACE1 interaction. Genes in italic and bold are those chosen for QRT-PCR confirmation of data. All except Os12g30820 with are confirmed. The genes for which accession numbers are indicated in bold are those presented in more detail in Table 1. Expression ratios in bold are those for which ratios are > 1.5 with
 an associated P-value < 0.05

			IR64 (<i>Pi33</i>) PH14:A <i>CE1/g</i> elatin) 7/gelatin	PH14/gelatin	
Agilent ID	TIGR ID	Putative function	1 dpi	2 dpi	2 dpi	expression
AZR05361	Os10g36840	Putative ferulate-5-hydroxylase (Oryza sativa)	1.60	1.19	1.18	
AZR06995	Os04g40990	oj991113_30.4 (Oryza sativa (japonica cultivar-group))	1.59	-1.57	-1.9	
AZR06501	Os02g08440	WRKY transcription factor, putative, expressed	1.52	1.31	1.36	
AZR06000	Os07g34520	Isocitrate Jyase, putative, expressed	1.81	1.51	-1.42	Yes
AZR06114	Os07g26110	EST	1.61	1.58	1.47	
AZR00863	Os01g71350	Glucan endo-1,3-beta-glucosidase GII precursor	1.53	1.86	2.27	
AZR07054	Os03g58790	ATPase 2, putative, expressed	1.50	1.78	2.52	
AZR03696	ı	EST	1.85	1.66	1.52	
AZR03556	Os01g70490	Potassium transporter 5, putative, expressed	1.32	1.84	1.43	
AZR00830	Os02g40240	Leucine Rich Repeat family protein, expressed	-1.13	1.71	1.46	Yes
AZR02616	Os04g56430	Receptor-like protein kinase 6, putative, expressed	-1.99	2.10	-1.09	Yes
AZR04751	Os07g35560	Chitinase	1.31	3.16	4.08	Yes
AZR02475	Os04g10160	Cytochrome P450 CYP99A1, putative, expressed	1.16	3.08	2.12	
AZR05828	Os11g37950	Barwin, putative, expressed	-1.09	2.97	4.55	
AZR01867	Os01g42410	PDR5-like ABC transporter, putative, expressed	1.21	2.35	1.90	
AZR04963	Os04g24220	Wall-associated kinase	-1.15	2.29	2.19	
AZR01852	Os12g36110	Calmodulin-binding protein, putative, expressed	1.02	2.09	2.05	
AZR06906	Os12g36850	Pathogenesis-related protein PR-10b (Oryza sativa subsp. indica)	-1.29	1.98	2.10	Yes
AZR03112	Os10g28080	Class III chitinase	1.21	1.95	3.11	
AZR00482	Os06g03580	Zinc finger, C3HC4 type family protein	1.26	1.95	2.17	
AZR06915	Os01g73200	Peroxidase 12 precursor, putative, expressed	1.24	1.93	1.63	
AZR02876	Os10g40930	Putative dioxygenase	1.14	1.78	1.94	
AZR01190	Os03g03440	Putative phosphoribosylanthranilate transferase	1.06	1.76	1.57	Yes
AZR06021	Os12g30820	EST	-1.29	1.73	1.73	
AZR05864	Os01g58290	Subtilase family protein	-1.19	1.73	2.13	
AZR06128	Os10g39140	Oxidoreductase, 20G-Fe oxygenase family protein, expressed	1.16	1.67	1.72	
AZR05868	Os05g43170	Calreticulin-3 precursor, putative, expressed	1.05	1.60	2.03	
AZR06450	Os08g10310	LRR kinase	1.23	1.60	2.67	
AZR02673	Os11g39370	LRR kinase	1.10	1.54	1.75	
AZR01833	Os07g48020	Peroxidase 2 precursor, putative, expressed	1.45	1.46	2.65	Yes
AZR06271	Os01g41820	Cytochrome P450 family protein, expressed	-1.20	1.46	1.63	

			IR64 (<i>Pi33</i>) PH14:A <i>CE1</i> /gelatin) 1/gelatin	PH14/gelatin	Evicting published
Agilent ID	TIGR ID	Putative function	1 dpi	2 dpi	2 dpi	expression
AZR01976	Os09g09830	Heavy metal-associated domain containing protein, expressed	1.01	1.40	1.51	
AZR04574	Os06g40650	Copine family protein, expressed	-1.07	1.38	1.53	
AZR06379	Os03g16390	Putative Avr9/Cf-9 rapidly elicited protein	1.03	1.37	1.75	
AZR02349	Os02g57280	EST	-1.03	1.37	2.51	
AZR00712	Os03g24930	Protein kinase APK1A, chloroplast precursor, putative, expressed	1.47	1.36	1.97	
AZR02733	Os01g55810	P0403C05.2 (Oryza sativa (japonica cultivar-group))	-1.26	1.35	1.52	
AZR05843	Os04g30330	Protein kinase domain containing protein, expressed	-1.15	1.31	1.51	
AZR04276	Os01g38250	Putative peptidylprolyl isomerase (Oryza sativa (japonica cultivar-group))	-1.42	1.30	1.73	
AZR05576	Os01g57070	Putative zinc protease (Oryza sativa (japonica cultivar-group))	1.09	1.27	1.66	
AZR01394	Os11g44560	Protein kinase domain containing protein, expressed	-1.02	1.26	1.52	
AZR00912	Os08g17680	Stromal cell-derived factor 2-like protein precursor, putative, expressed	1.05	1.26	1.61	
AZR04350	Os03g05620	Phosphate: H ⁺ symporter family protein, expressed	1.17	1.25	1.63	
AZR00322	Os01g38240	Putative peptidylprolyl isomerase (Oryza sativa (japonica cultivar-group))	-1.35	1.21	1.59	
AZR06659	Os01g48610	B1144G04.12 (Oryza sativa (japonica cultivar-group))	1.10	1.21	1.84	
AZR02294	Os06g50300	Hsp90	-1.04	1.19	1.55	
AZR03995	Os03g16950	33 kDa secretory protein, putative, expressed	1.46	1.19	1.73	
AZR03912	Os04g15690	'Unknown protein; protein id: At1g76020.1 (Arabidopsis thaliana)'	-1.03	1.15	1.79	
AZR01286	Os03g55240	Cytochrome P450 family protein, expressed	-1.29	1.12	1.53	
AZR01338	Os01g64110	Chitinase III	1.39	1.11	1.87	
AZR06427	Os05g16740	SHR5-receptor-like kinase, putative, expressed	-1.34	1.07	1.53	
AZR05757	Os04g52640	SHR5-receptor-like kinase, putative, expressed	-1.16	-1.06	1.64	
AZR03333	Os10g10130	Calcium binding EGF domain containing protein, expressed	-1.12	-1.09	1.53	Yes
AZR01858	Os11g25260	GDA1/CD39 family protein, expressed	-1.65	-1.10	1.96	
AZR00341	Os01g68740	Expressed protein	-1.20	-1.13	1.54	
AZR04075	Os11g25330	GDA1/CD39 family protein, expressed	-1.70	-1.19	1.73	
AZR06380	Os01g64120	Ferredoxin-2, chloroplast precursor, putative, expressed	-1.14	-1.22	1.52	

Table 2 continued

 Table 3
 Expression ratios of 42 genes down-regulated in the IR64 (Pi33)/PH14–ACE1 interaction. Expression ratios in bold are those for which ratios are less than -2 with associated P-value < 0.05</th>

Agilent ID			ACE1/gelatin	elatin	PH14/gelatin	Poisting published
A 700E 4 40	TIGR ID	Putative function	1 dpi	2 dpi	2 dpi	expression
AZR02140	Os01g52240	Chlorophyll a/b binding protein 2, chloroplast precursor, putative, expressed	-3.01	-1.41	-1.15	
AZR02014	ı	Starch branching enzyme rbe4 (O <i>ryza sativa</i>)	-2.70	-1.24	-1.22	
AZR00828	Os04g38410	Chlorophyll a/b binding protein CP24 10B, chloroplast precursor, putative	-2.63	-1.59	-1.14	Yes
AZR06965	Os01g41710	Chlorophyll a/b binding protein 2, chloroplast precursor, putative, expressed	-2.58	-1.46	-1.01	
AZR03292	Os11g32650	Chalcone synthase, putative, expressed	-2.38	-1.99	-1.24	Yes
AZR05281	Os03g20700	Magnesium-chelatase subunit H family protein, expressed	-2.26	1.04	1.29	
AZR03049	Os05g50750	AAA-type ATPase family protein, putative, expressed	-2.22	-1.25	-1.16	
AZR01577	Os05g44210		-2.15	-1.05	-1.00	
AZR06951	Os06g06290	GDSL-like Lipase/Acylhydrolase family protein, expressed	-2.12	-1.82	1.03	
AZR06598	Os03g52630	Endo-1,4-beta-glucanase Cel1, putative, expressed	-2.09	-1.31	-1.30	
AZR06715	Os04g36720	Ferric reductase-like transmembrane component family protein, putative, expressed	-2.05	-1.81	-1.33	
AZR05987	Os02g18450	GTP-binding protein TypA/BipA homolog, putative, expressed	-2.00	-1.10	1.09	Yes
AZR00656	Os03g14650		-2.62	-2.14	-1.25	
AZR00910	Os10g21280	Ribulose bisphosphate carboxylase large chain precursor, putative, expressed	-1.66	-2.34	-1.04	Yes
AZR05721	Os09g38090	Expressed protein	-1.56	-2.09	-1.10	
AZR06984	Os07g10840	Seed imbibition protein, putative, expressed	-1.56	-2.58	-1.27	
AZR04269	Os02g13060		-1.55	-2.06	-1.28	
AZR05446	Os07g15460	Metal transporter Nramp1, putative, expressed	-1.55	-2.55	-1.72	
AZR02650	Os01g46720	Protein kinase domain containing protein, expressed	-1.53	-2.11	-1.35	
AZR00021	Os10g36000	Remorin, C-terminal region family protein, expressed	-1.52	-2.14	-1.05	
AZR05968	Os08g04430	EST	-1.48	-2.13	-1.16	
AZR05929	Os12g02340	Nonspecific lipid-transfer protein 3 precursor, putative, expressed	-1.47	-2.34	-1.09	
AZR04727	Os08g02630		-1.43	-2.09	1.00	
AZR05211	Os10g18340	Unknown protein (O <i>ryza sativa</i>) >gil22655738 gb AAN04155.1	-1.36	-2.31	-1.40	Yes
AZR05823	Os04g47220	Aquaporin RWC3, putative, expressed	-1.36	-2.08	-1.24	
AZR06883	ı	EST	-1.34	-2.59	-1.10	
AZR04953	Os02g33070	Hypothetical protein	-1.30	-2.01	1.08	
AZR03973	Os01g52750	Subtilisin N-terminal Region family protein, expressed	-1.29	-2.04	-1.02	
AZR05034	Os12g025/0		-1.25	-2.02	-1.11	
AZR02228	Os06g22960	Aquaporin TIP-type RB7-18C, putative, expressed	-1.25	-2.04	-1.33	Yes
AZR00145	Os01g14950	Importin alpha-1b subunit, putative, expressed	-1.22	-2.59	-1.10	Yes
AZR04300	Os01g74410	Myb-like DNA-binding domain containing protein, expressed	-1.21	-2.27	-1.12	Yes
AZR00994	Os07g05360	Photosystem II 10 kDa polypeptide, chloroplast precursor, putative, expressed	-1.20	-2.13	-1.71	Yes
AZR04934	ı	EST	-1.18	-2.25	-1.20	
AZR03740	Os06g48500	EST	-1.17	-2.02	-1.01	
AZR05305	Os06g21210	Glycine rich protein family protein, expressed	-1.17	-3.73	-1.33	Yes
AZR02117	Os12g25200	Chloride channel protein CLC-a, putative, expressed	-1.16	-2.04	-1.15	
AZR00543	Os01g63190	Multicopper oxidase family protein, expressed	-1.02	-2.45	1.08	
AZR03226	ı	Hypothetical protein (O <i>ryza sativa (japonica</i> cultivar-group))	1.20	-2.27	-1.22	
AZR05231	Os08g35760	Auxin-binding protein ABP20 precursor, putative, expressed	1.31	-2.99	-1.84	216
AZR03028	Os04g40630	TAZ zinc finger family protein, expressed	-1.71	-2.55	-2.18	Yes
A7R00960	050252390	Pentidase M16 inactive domain containing protein expressed	-1.60	1,44	-3.08	Yes

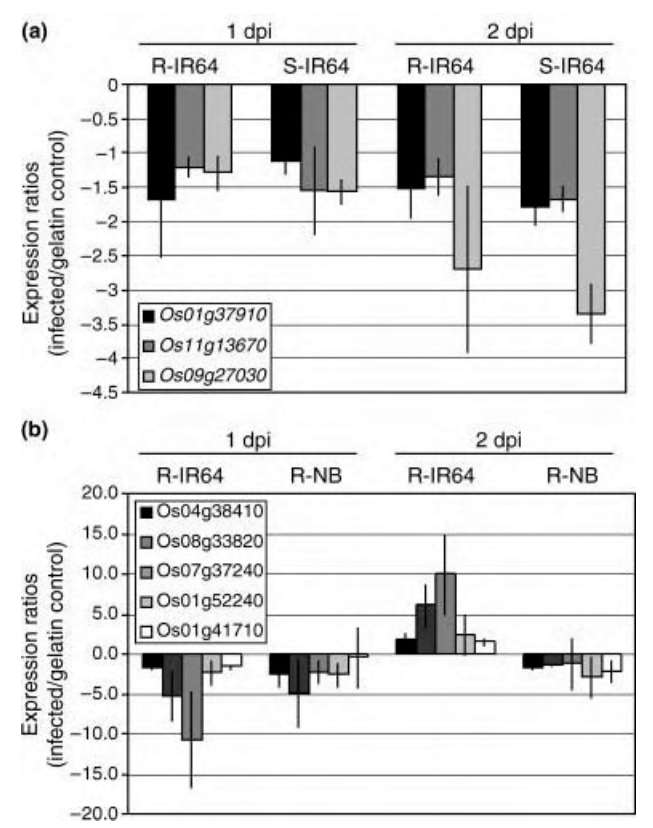


Fig. 3 Repression of proteases (a) and chlorophyll a/b binding genes (b) during *Magnaporthe grisea* infection. Expression ratios between infected and control plants (gelatin). R, resistant IR64 (*Pi33*)/PH14:*ACE1* vs gelatin control; S, susceptible IR64 (*Pi33*)/PH14 vs gelatin control; R-NB, resistant Nipponbare/CL26 vs gelatin. QRT-PCR measurements were made on two to three independent experiments.

at 2 dpi (Fig. 3a) and in a Nipponbare/CL26 incompatible interaction (data not shown). However, they were also down-regulated in the compatible interaction at 2 dpi (Fig. 3a), suggesting that this differential expression is related to M. grisea infection rather than to the induction of specific plant defence mechanisms. Three chlorophyll a/b binding proteins were also repressed during Pi33/ACE1 interaction at 1 dpi (Table 3). In addition, the microarray experiment indicated that 11 chlorophyll a/b binding proteins were also repressed at 1 dpi in the Pi33/ACE1 interaction (data not shown). We monitored the expression of five chlorophyll a/b binding genes by QRT-PCR (Fig. 3b) and observed an early repression of these genes in both Pi33/ACE1 and Nipponbare/CL26 incompatible interactions. By contrast, these chlorophyll a/b binding genes were up-regulated at 2 dpi in the Pi33/ACE1 incompatible (Fig. 3b) and IR64/ PH14 compatible interactions (data not shown). This suggests that down-regulation of chlorophyll a/b binding genes is associated with the onset of plant defence mechanisms.

Discussion

The Pi33/ACE1 interaction triggers classical defence reactions

Given the unusual nature of the ACE1 avirulence gene (Böhnert et al., 2004), we wondered whether rice defence mechanisms triggered by this avirulence gene would be novel. As shown in Fig. 1(a,b), an oxidative burst was triggered by the ACE1/Pi33 incompatible interaction as in other plant disease defence reactions (Wojtaszek, 1997) and classical plant defence genes including known PR proteins were induced (Fig. 2). Transcriptome analysis of early stages of plant fungal interactions (1-2 dpi) further supported the assertion that this gene-for-gene interaction is similar to others, as most genes differentially expressed during the Pi33/ACE1 incompatible interaction were also differentially expressed in susceptible plants (Fig. 2, Tables 1, 2), although later, as frequently observed for plant defence genes (Tao et al., 2003). An additional characteristic of expression patterns observed during the Pi33/ACE1 incompatible interaction is the high frequency of down-regulated genes (Table 3). For example, two putative cysteine proteases (Os01g37910 and Os09g27030) and one putative serine protease (Os11g13670) were downregulated in both incompatible Pi33/ACE1 and compatible IR64/PH14 interactions (Fig. 3a). Repression of cysteine proteases in rice leaves infected by M. grisea has already been observed in rice. Fujiwara et al. (2006) showed that another rice cysteine protease, Os01g67980, is repressed by a constitutively active form of OsRac1 mimicking disease resistance. Cooper et al. (2003) also showed that jasmonic acid, a key signalling molecule during rice disease resistance, repressed the expression of the same cysteine protease Os09g27030 we identified as differentially expressed during infection. In susceptible plants, down-regulation of cysteine proteases may be triggered by the pathogen in order to suppress basal rice defence. Triggering of resistance by the Pi33/ACE1 interaction is possibly not sufficient to counteract this defence suppression induced at early stages of the infection process. Finally, chlorophyll a/b binding genes were early and strongly down-regulated in the Pi33/ACE1 interaction (Fig. 3b), a phenomenon already observed in other gene-for-gene interactions between rice and M. grisea or X. oryzae (Zhou et al., 2002; Lu et al., 2004; Shim et al., 2004).

Microarray analysis of the *Pi33/ACE1* interaction identifies novel putative defence genes

A transcriptomics analysis of the *ACE1/Pi33* interaction was performed using Agilent DNA chips, allowing the identification of rice genes that are differentially expressed upon infection (Tables 2, 3). About 80% (79 genes) of the regulated genes we identified were not previously reported, even though similar analyses of rice leaves infected with *M. grisea* or *X. oryzae* were

performed with a comparable number of genes being analysed (Chu et al., 2004; Lu et al., 2004; Jantasuriyarat et al., 2005). This is consistent with the observation that, among the 923 rice genes putatively involved in disease resistance (Droc et al., 2006; see Table S2), only 18% were reported as being differentially expressed during disease resistance in at least two studies. Indeed, whereas resistance gene analogues (LRR proteins and receptor-like kinases) represented 11% of the 57 upregulated genes we identified (Table 2), none were reported in Lu et al. (2004) or Jantasuriyarat et al. (2005). Eleven of the novel rice genes we identified (Table 1) encode protein functions known to be up-regulated in rice or other plants upon infection (Van Loon et al., 2006). For example, 15 WRKY transcription factors were recently reported to be up-regulated upon M. grisea infection (Ryu et al., 2006). However, the WRKY09 gene we identified was not reported in this study, probably as a result of the lower sensitivity of the technique used. Similarly, an Arabidopsis wall-associated kinase (Wak1) was shown to be involved in plant defence (He et al., 1998) and a wall-associated like kinase (WAKL22) was shown to be required for disease resistance in Arabidopsis infected with Fusarium (Diener & Ausubel, 2005), and hsp90 proteins (for review, see Sangster & Queitsch, 2005), subtilase and proteases (Xia, 2004) have frequently been found to be involved in or associated with induction of plant disease resistance.

The Pi33/ACE1 interaction regulation pathway

Global comparison between Pi33/ACE1 and Nipponbare/ CL26 incompatible interactions provided some information on the Pi33 regulation pathway. Most regulated genes were differentially expressed in both Pi33/ACE1 and Nipponbare/ CL26 incompatible interactions (Table 1), although differential expression was observed earlier in the Pi33/ACE1 interaction than in the Nipponbare/CL26 interaction for 15 out of 17 genes (Table 1). This observation suggests that the Pi33 resistance gene is more efficient at triggering a defence response than the resistance gene from Nipponbare involved in the recognition of CL26. This could be related to the fact that the ACE1 gene is only expressed at an early stage of infection (1 dpi) during penetration of the fungus into the first host epidermal cell (Böhnert et al., 2004). However, we cannot rule out the possibility that background differences for both host and pathogen may lead to these results.

Five genes differentially expressed in the two incompatible interactions tested were not expressed in the compatible interaction IR64/PH14 (SSI2, OsMT2b, OsSGT1, OsSPL11 and OsSPL7; Table 1). These genes encode known or potential regulators of disease resistance (Table S3) involved in signalling disease resistance: the SGT1 gene is involved in the initial recognition between the avirulence product and the resistance gene (Azevedo et al., 2006), the OsMT2b gene is a negative regulator of the oxidative burst (Wong et al., 2004), and the

three genes, SSI2, OsSPL7 and OsSPL11, are negative regulators of cell death (Kachroo et al., 2001; Yamanouchi et al., 2002; Zeng et al., 2004). Their expression during additional compatible interactions needs to be tested to establish if they are good markers of rice resistance.

Genes up- or down-regulated specifically during a particular gene-for-gene incompatible interaction have been only rarely described, despite numerous attempts. As such, only one gene (a proteasome component, BF108345) was identified as being up-regulated specifically during resistance triggered by an avirulent *M. grisea* isolate recognized by rice resistance gene *Pi1(t)* (Wen *et al.*, 2003). In our experiments, we could only identify one gene, *EDS5*, as specifically up-regulated during the *Pi33/ACE1* incompatible interaction (Table 1). Interestingly, the *EDS5* gene codes a MATE (multidrug and toxin extrusion) transporter protein (Nawrath *et al.*, 2002). How this relates to the secondary metabolite produced by the *ACE1* gene will need further investigation. More gene-for-gene interactions need to be tested to establish if *EDS5* is a specific marker of rice *Pi33*-triggered resistance by *ACE1*.

Acknowledgements

EV is funded by a joint grant from INRA and the Languedoc-Rousillon region. EB is funded by the French Ministry of Research. Part of this work was supported by the French programme Génoplante (projects OsCrR1 and B8). We thank V. Chalvon, C. Michel and L. Fontaine for technical assistance. We thank Christophe Périn for critical reading of the manuscript.

References

Agrawal GK, Rakwal R, Jwa NS. 2000. Rice (*Oryza sativa* L.) OsPR1b gene is phytohormonally regulated in close interaction with light signals. *Biochemical and Biophysical Research Communications* 278: 290–298.

Ayliffe MA, Lagudah ES. 2004. Molecular genetics of disease resistance in cereals. Annals of Botany 94: 765–773.

Azevedo C, Betsuyaku S, Peart J, Takahashi A, Noel L, Sadanandom A, Casais C, Parker J, Shirasu K. 2006. Role of SGT1 in resistance protein accumulation in plant immunity. EMBO Journal 25: 2007–2016.

Berruyer R, Adreit H, Milazzo J, Gaillard S, Berger A, Dioh W, Lebrun MH, Tharreau D. 2003. Identification and fine mapping of *Pi33*, the rice resistance gene corresponding to the *Magnaporthe grisea* avirulence gene *ACE*1. *Theoretical and Applied Genetics* 107: 11310–1147.

Böhnert HU, Fudal I, Dioh W, Tharreau D, Notteghem JL, Lebrun MH. 2004. A putative polyketide synthase/peptide synthetase from Magnaporthe grisea signals pathogen attack to resistant rice. Plant Cell 16: 2499–2513.

Chern M, Canlas PE, Fitzgerald HA, Ronald PC. 2005. Rice NRR, a negative regulator of disease resistance, interacts with Arabidopsis NPR1 and rice NH1. *Plant Journal* 43: 623–635.

Chu Z, Ouyang Y, Zhang J, Yang H, Wang S. 2004. Genome-wide analysis of defense-responsive genes in bacterial blight resistance of rice mediated by the recessive Royal gene Xa13. Molecular Genetics and Genomics 271: 111–120.

Cooper B, Clarke JD, Budworth P, Kreps J, Hutchison D, Park S, Güimil S, Dunn M, Luginbuhl P, Ellero C, Goff SA, Glazebrook J. 2003. A

- network of rice genes associated with stress response and seed development. *Proceedings of the National Academy of Sciences, USA* **100**: 4945–4950.
- Dangl JL, Jones JD. 2001. Plant pathogens and integrated defence responses to infection. *Nature* 411: 826–833.
- Dean RA, Talbot NJ, Ebbole DJ, Farman ML, Mitchell TK, Orbach MJ, Thon M, Kulkarni R, Xu JR, Pan H, Read ND, Lee YH, Carbone I, Brown D, Oh YY, Donofrio N, Jeong JS, Soanes DM, Djonovic S, Kolomiets E *et al.* 2005. The genome sequence of the rice blast fungus *Magnaporthe grisea. Nature* 434: 980–986.
- Diener AC, Ausubel FM. 2005. Resistance to Fusarium oxysporum1, a dominant Arabidopsis disease-resistance gene, is not race specific. Genetics 171: 305–321.
- Droc G, Ruiz M, Larmande P, Pereira A, Piffanelli P, Morel JB, Dievart A, Courtois B, Guiderdoni E, Perin C. 2006. OryGenesDB: a database for rice reverse genetics. *Nucleic Acids Research* 34: D736–740.
- Eulgem T. 2005. Regulation of the Arabidopsis defense transcriptome. *Trends in Plant Science* 10: 71–78.
- Fujiwara M, Umemura K, Kawasaki T, Shimamoto K. 2006. Proteomics of Rac GTPase signaling reveals its predominant role in elicitor-induced defense response of cultured rice cells. *Plant Physiology* 140: 734–745.
- Güimil S, Chang HS, Zhu T, Sesma A, Osbourn A, Roux C, Ioannidis V, Oakeley EJ, Docquier M, Descombes P, Briggs SP, Paszkowski U. 2005.
 Comparative transcriptomics of rice reveals an ancient pattern of response to microbial colonization. *Proceedings of the National Academy of Sciences*, USA 102: 8066–8070.
- Hammond-Kosack KE, Parker JE. 2003. Deciphering plant-pathogen communication: fresh perspectives for molecular resistance breeding. *Current Opinion in Biotechnology* 14: 177–193.
- Han CU, Lee CH, Jang KS, Choi GJ, Lim HK, Kim JC, Ahn SN, Choi JE, Cha JS, Kim HT, Cho KY, Lee SW. 2004. Identification of rice genes induced in a rice blast-resistant mutant. *Molecules and Cells*. 17: 462–468.
- He Z-H, He D, Kohorn BD. 1998. Requirement for the induced expression of a cell wall associated receptor kinase for survival during the pathogen response. *Plant Journal* 14: 155–163.
- Jantasuriyarat C, Gowda M, Haller K, Hatfield J, Lu G, Stahlberg E, Zhou B, Li. H, Kim HYuY, Dean RA, Wing RA, Soderlund C, Wang GL. 2005. Large-scale identification of expressed sequence tags involved in rice and rice blast fungus interaction. *Plant Physiology* 138: 105–115.
- Kachroo P, Shanklin J, Shah J, Whittle EJ, Klessig DF. 2001. A fatty acid desaturase modulates the activation of defense signaling pathways in plants. Proceedings of the National Academy of Sciences, USA 98: 9448– 9453.
- Kikuchi S, Satoh K, Nagata T, Kawagashira N, Doi K, Kishimoto N, Yazaki J, Ishikawa M, Yamada H, Ooka H, Hotta I, Kojima K, Namiki T, Ohneda E, Yahagi W, Suzuki K, Li CJ, Ohtsuki K, Shishiki T, Otomo Y *et al.* 2003. Collection, mapping, and annotation of over 28,000 cDNA clones from japonica rice. *Science* 301: 376–379.
- Kim JA, Agrawal GK, Rakwal R, Han KS, Kim KN, Yun CH, Heu S, Park SY, Lee YH, Jwa NS. 2003. Molecular cloning and mRNA expression analysis of a novel rice (*Oryzasativa* L.) MAPK kinase kinase, OsEDR1, an ortholog of Arabidopsis AtEDR1, reveal its role in defense/stress signalling pathways and development. *Biochemical and Biophysical Research* Communications 300: 868–876.
- Kim S, Ahn IP, Lee YH. 2001. Analysis of genes expressed during rice— Magnaporthe grisea interactions. Molecular Plant and Microbe Interaction 14: 1340–1346.
- Kim ST, Kim SG, Hwang du H, Kang SY, Kim HJ, Lee BH, Lee JJ, Kang KY. 2004. Proteomic analysis of pathogen-responsive proteins from rice leaves induced by rice blast fungus, *Magnaporthe grisea. Proteomics* 4: 3569–3578.
- Kim CY, Lee SH, Park HC, Bae CG, Cheong YH, Choi YJ, Han C, Lee SY, Lim CO, Cho MJ. 2000. Identification of rice blast fungal elicitor-responsive genes by differential display analysis. *Molecular Plant and Microbe Interaction* 13: 470–474.

- Kumar D, Klessig DF. 2003. High-affinity salicylic acid-binding protein 2 is required for plant innate immunity and has salicylic acid-stimulated lipase activity. *Proceedings of the National Academy of Sciences*, USA 100: 16 101–16 106.
- Lieberherr D, Thao NP, Nakashima A, Umemura K, Kawasaki T, Shimamoto K. 2005. A sphingolipid elicitor-inducible mitogen-activated protein kinase is regulated by the small GTPase OsRac1 and heterotrimeric G-protein in rice 1[w]. *Plant Physiology* 138: 1644–1652.
- Lu G, Jantasuriyarat C, Zhou B, Wang GL. 2004. Isolation and characterization of novel defense response genes involved in compatible and incompatible interactions between rice and *Magnaporthe grisea*. *Theoretical and Applied Genetics* 108: 525–534.
- Midoh N, Iwata M. 1996. Cloning and characterization of a probenazoleinducible gene for an intracellular pathogenesis-related protein in rice. *Plant Cell Physiology* 37: 9–18.
- Nawrath C, Heck S, Parinthawong N, Metraux JP. 2002. EDS5, an essential component of salicylic acid-dependent signaling for disease resistance in Arabidopsis, is a member of the MATE transporter family. *Plant Cell* 14: 275–286.
- Ono E, Wong HL, Kawasaki T, Hasegawa M, Kodama O, Shimamoto K. 2001. Essential role of the small GTPase Rac in disease resistance of rice. Proceedings of the National Academy of Sciences, USA 98: 759–764.
- Pfaffl MW. 2001. A new mathematical model for relative quantification in real-time RT-PCR. Nucleic Acids Research 29: e45.
- Ramalingam J, Vera Cruz CM, Kukreja K, Chittoor JM, Wu JL, Lee SW, Baraoidan M, George ML, Cohen MB, Hulbert SH, Leach JE, Leung H. 2003. Candidate defense genes from rice, barley, and maize and their association with qualitative and quantitative resistance in rice. *Molecular Plant and Microbe Interaction* 16: 14–24.
- Rauyaree R, Choi W, Fang E, Blackmon B, Dean RA. 2001. Genes expressed during early stages of rice infection with the rice blast fungus *Magnaporthe grisea*. *Molecular Plant Pathology* 2: 347–354.
- Ryu HS, Han M, Lee SK, Cho JI, Ryoo N, Heu S, Lee YH, Bhoo SH, Wang GL, Hahn TR, Jeon JS. 2006. A comprehensive expression analysis of the WRKY gene superfamily in rice plants during defense response. *Plant Cell Report* 25: 836–847.
- Sangster TA, Queitsch C. 2005. The HSP90 chaperone complex, an emerging force in plant development and phenotypic plasticity. *Current Opinions in Plant Biology* 8: 86–92.
- Schenk PM, Kazan K, Wilson I, Anderson JP, Richmond T, Somerville SC, Manners JM. 2000. Coordinated plant defense responses in Arabidopsis revealed by microarray analysis. *Proceedings of the National Academy of Sciences*, USA 97: 11655–11660.
- Schulze-Lefert P, Vogel J. 2000. Closing the ranks to attack by powdery mildew. Trends in Plant Science 5: 343–348.
- Shim KS, Cho SK, Jeung JU, Jung KW, You MK, Ok SH, Chung YS, Kang KH, Hwang HG, Choi HC, Moon HP, Shin JS. 2004. Identification of fungal (Magnaporthe grisea) stress-induced genes in wild rice (Oryza minuta). Plant Cell Reports 22: 599–607.
- Shimono M, Yazaki J, Nakamura K, Kishimoto N, Kikuchi S, Iwano M, Yamamoto K, Sakata K, Sasaki T, Nishiguchi M. 2003. cDNA microarray analysis of gene expression in rice plants treated with probenazole, a chemical inducer of disease resistance. *Journal of General Plant Pathology* 69: 76–82.
- Slaymaker DH, Navarre DA, Clark D, del Pozo O, Martin GB, Klessig DF. 2002. The tobacco salicylic acid-binding protein 3 (SABP3) is the chloroplast carbonic anhydrase, which exhibits antioxidant activity and plays a role in the hypersensitive defense response. *Proceedings of the National Academy of Sciences, USA* 99: 11640–11645.
- Tao Y, Xie Z, Chen W, Glazebrook J, Chang HS, Han B, Zhu T, Zou G, Katagiri F. 2003. Quantitative nature of Arabidopsis responses during compatible and incompatible interactions with the bacterial pathogen Pseudomonas syringae. Plant Cell 15: 317–330.
- Thordal-Christensen H, Zhang Z, Wei Y, Collinge DB. 1997. Subcellular localization of H_2O_2 in plants: H_2O_2 accumulation in papillae and

- hypersensitive response during the barley–powdery mildew interaction. *Plant Journal* 11: 1187–1194.
- Tsunezuka H, Fujiwara M, Kawasaki T, Shimamoto K. 2005. Proteome analysis of programmed cell death and defense signaling using the rice lesion mimic mutant cdr2. *Molecular Plant and Microbe Interaction* 18: 52–59.
- Van Loon LC, Rep M, Pieterse CM. 2006. Significance of Inducible Defense-related Proteins in Infected Plants. Annual Review of Phytopathology 44: 135–162.
- Ventelon-Debout M, Nguyen TT, Wissocq A, Berger C, Laudie M, Piegu B, Cooke R, Ghesquiere A, Delseny M, Brugidou C. 2003. Analysis of the transcriptional response to Rice Yellow Mottle Virus infection in *Oryza sativa* indica and japonica cultivars. *Molecular Genetics and Genomics* 270: 253–262.
- Wang L, Pei Z, Tian Y, He C. 2005. OslSD1, a rice zinc finger protein, regulates programmed cell death and callus differentiation. *Molecular Plant and Microbe Interaction* 18: 375–384.
- Wen N, Chu Z, Wang S. 2003. Three types of defense-responsive genes are involved in resistance to bacterial blight and fungal blast diseases in rice. *Molecular Genetics and Genomics* 269: 331–339.
- Wojtaszek P. 1997. Oxidative burst: an early plant response to pathogen infection. *Biochemical Journal* 322: 681–692.
- Wong HL, Sakamoto T, Kawasaki T, Umemura K, Shimamoto K. 2004. Down-regulation of metallothionein, a reactive oxygen scavenger, by the small GTPase OsRac1 in rice. *Plant Physiology* 135: 1447–1156.
- Xia Y. 2004. Proteases in pathogenesis and plant defence. *Cell Microbiology* 6: 905–913.
- Xiong L, Lee MW, Qi M, Yang Y. 2001. Identification of defense-related rice genes by suppression subtractive hybridization and differential screening. *Molecular Plant and Microbe Interaction* 14: 685–692.
- Yamanouchi U, Yano M, Lin H, Ashikari M, Yamada K. 2002. A rice spotted leaf gene, Spl7, encodes a heat stress transcription factor protein. Proceedings of the National Academy of Sciences, USA 99: 7530–7535.
- Zeng LR, Qu S, Bordeos A, Yang C, Baraoidan M, Yan H, Xie Q, Nahm BH, Leung H, Wang GL. 2004. Spotted leaf11, a negative regulator of

- plant cell death and defense, encodes a U-box/armadillo repeat protein endowed with E3 ubiquitin ligase activity. *Plant Cell* 16: 2795–2808.
- Zhou B, Peng K, Chu Z, Wang S, Zhang Q. 2002. The defense-responsive genes showing enhanced and repressed expression after pathogen infection in rice (*Oryza sativa* L.). *Science in China* 45: 449–467.

Supplementary Material

The following supplementary material is available for this article online:

- Table S1 QPCR primers
- Table S2 Origin of the rice defence gene list
- **Table S3** Origin of the 14 known and putative rice genes required for disease resistance
- Text S1 MIAME checklist and raw data

This material is available as part of the online article from: http://www.blackwell-synergy.com/doi/abs/10.1111/j.1469-8137.2006.01971.x

(This link will take you to the article abstract).

Please note: Blackwell Publishing are not responsible for the content or functionality of any supplementary materials supplied by the authors. Any queries (other than missing material) should be directed to the corresponding author for the article.



About New Phytologist

- New Phytologist is owned by a non-profit-making charitable trust dedicated to the promotion of plant science, facilitating projects
 from symposia to open access for our Tansley reviews. Complete information is available at www.newphytologist.org.
- Regular papers, Letters, Research reviews, Rapid reports and both Modelling/Theory and Methods papers are encouraged. We are committed to rapid processing, from online submission through to publication 'as-ready' via OnlineEarly our average submission to decision time is just 30 days. Online-only colour is free, and essential print colour costs will be met if necessary. We also provide 25 offprints as well as a PDF for each article.
- For online summaries and ToC alerts, go to the website and click on 'Journal online'. You can take out a **personal subscription** to the journal for a fraction of the institutional price. Rates start at £131 in Europe/\$244 in the USA & Canada for the online edition (click on 'Subscribe' at the website).
- If you have any questions, do get in touch with Central Office (newphytol@lancaster.ac.uk; tel +44 1524 594691) or, for a local contact in North America, the US Office (newphytol@ornl.gov; tel +1 865 576 5261).

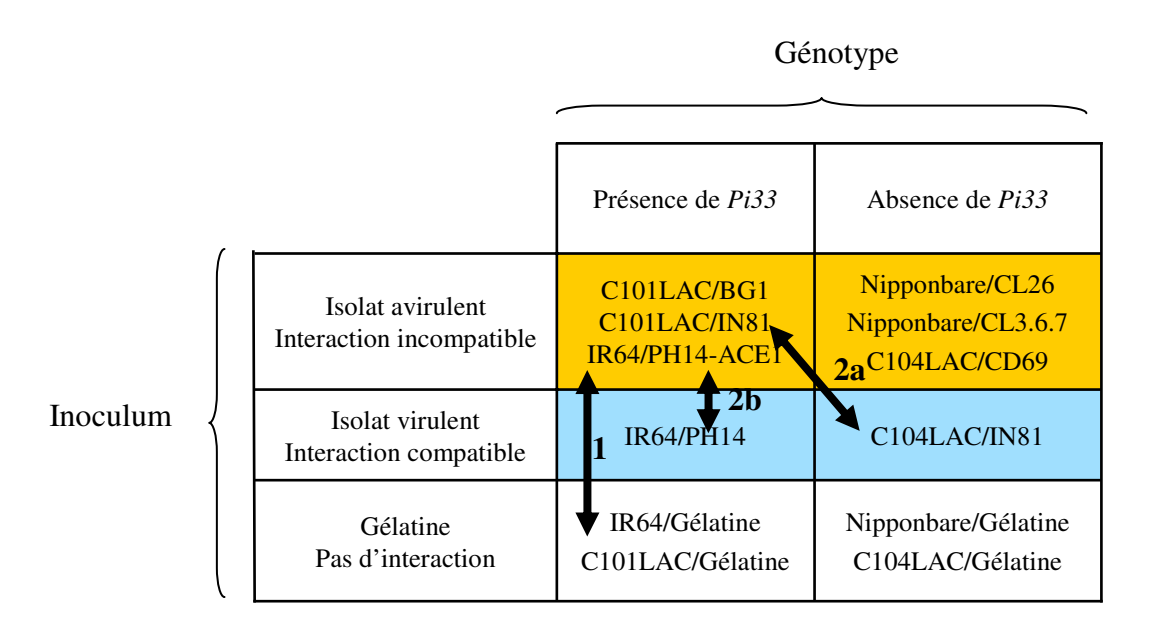


Tableau 4.2. Schéma récapitulatif des conditions expérimentales et des différentes comparaisons.

Les conditions expérimentales varient en fonction du génotype et de l'inoculum. Des rapports d'expression de gènes sont effectués entre deux conditions.

Le premier type de rapport (1) compare une différence d'expression entre une condition inoculée et un témoin non inoculé. Le gène sera considéré comme induit ou réprimé ou non différentiellement exprimé au cours de l'infection. Le deuxième type de rapport (2) compare une différence d'expression entre une condition inoculée incompatible et une condition inoculée compatible. Deux cas sont possibles : (2a) la comparaison se fait entre deux lignées isogéniques qui diffèrent par la présence de *Pi33*. (2b) la comparaison se fait entre deux inoculums isogéniques qui diffèrent par la présence de *ACE1*. Le gène sera considéré comme sur-exprimé ou sous-exprimé ou non différentiellement exprimé au cours de l'infection.

Origine	Type de comparaison	Nombre de gènes identifiés	Nombre de gènes sélectionnés pour la validation en QPCR	Nombre de gènes dont l'expression est validée en QPCR
Littérature		14 gènes	14 gènes	14 gènes
Expérience "Agilent"	Inoculé / Non inoculé	57 gènes induits et 42 gènes réprimés	24 gènes induits	13 gènes induits
Expérience "B8"	Inoculé Incompatible / Inoculé Compatible	10 gènes sur-exprimés et 37 gènes sous-exprimés	6 gènes sur-exprimés et 15 gènes sous-exprimés	4 gènes sur-exprimés et 3 gènes sous-exprimés
Total non redondant		152 gènes	59 gènes	34 gènes

Tableau 4.3. Bilan des gènes identifiés dans la littérature et par analyse de transcriptome.

IV.3 Influence de Pi33 sur les réactions de défense

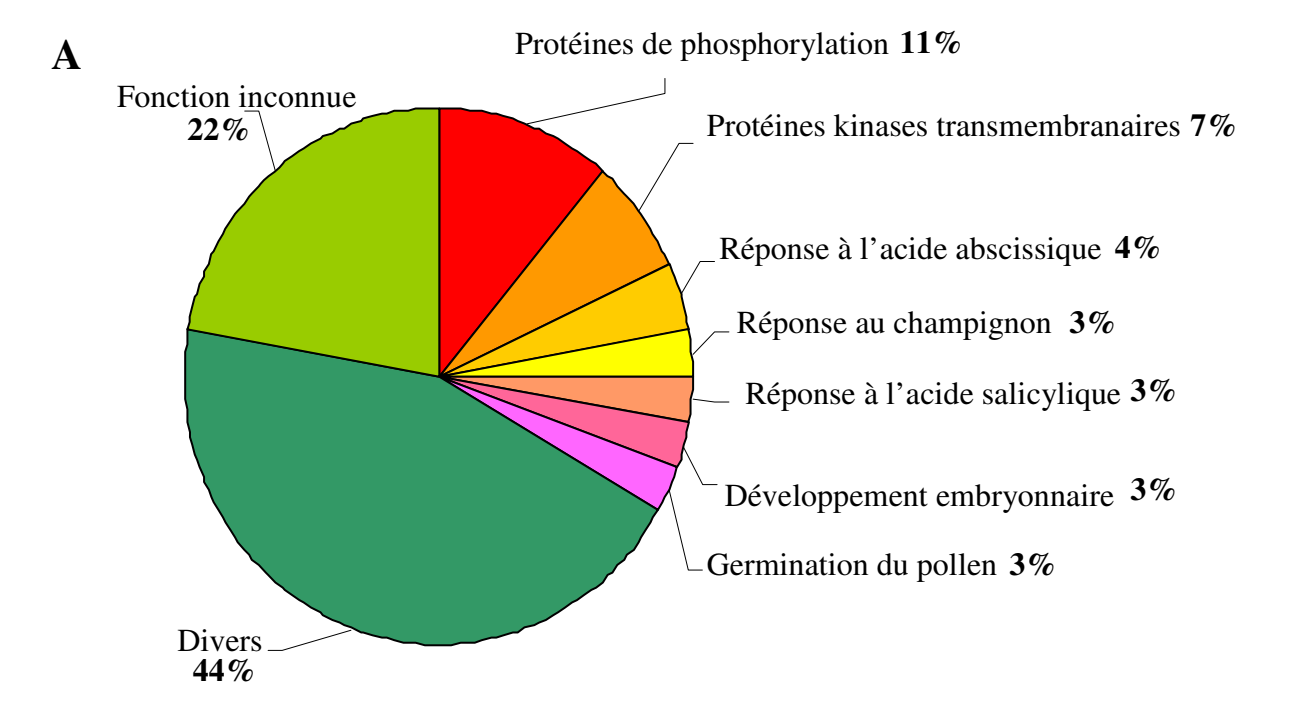
L'une des thématiques de l'équipe est l'analyse de l'expression des gènes au cours de l'infection par *M. oryzae*. Notre objectif était de mettre en évidence l'activité de nouveaux gènes de défense, spécifiques de la résistance, voire spécifiques de l'interaction *ACE1/Pi33*. En effet, du fait de son originalité, l'interaction *ACE1/Pi33* pourrait induire des mécanismes de défense différents de ceux impliqués dans d'autres interactions de type gène-pour-gène, au moins durant les phases précoces suivant la reconnaissance. A partir d'analyses d'hybridation sur puces à ADN, nous avons défini un jeu de gènes marqueurs des réactions de défense. L'expression de ces gènes a ensuite été comparée dans des interactions incompatibles faisant intervenir différents couples gène R/gène AVR, dont *Pi33/ACE1*. Nous souhaitions ainsi vérifier la spécificité de ces gènes comme marqueur de la résistance et évaluer l'impact du fond génétique sur leur expression.

Pour cette étude, des rapports d'expression de gènes sont calculés en comparant l'expression de gènes dans différentes conditions pour lesquelles les deux variables sont le génotype de la variété et l'inoculum. Deux types de comparaisons sont alors possibles : une condition inoculée par rapport à un témoin non inoculé (inoculé avec de la gélatine) et une condition inoculée incompatible par rapport à une condition inoculée compatible (Tableau 4.2). Dans le premier cas, les gènes différentiellement exprimés lors de l'interaction avec M. oryzae sont identifiés. Dans le deuxième cas, des gènes dont l'expression est spécifique de la réaction incompatible sont identifiés. Dans ce qui suit, un gène sera considéré comme « induit » (et respectivement « réprimé ») lorsque son expression est supérieure (et respectivement inférieure) lors d'une inoculation par rapport à un témoin non inoculé. Un gène sera considéré comme « surexprimé » (et respectivement « sous-exprimé ») lorsque son expression est supérieure (et respectivement inférieure) lors d'une interaction incompatible par rapport à une interaction compatible.

IV.3.1 Résultats

a Création d'un jeu de gènes spécifiques des réactions de défense

Notre objectif était d'établir un jeu de gènes spécifiques de la résistance qui pourrait ensuite être utilisé comme marqueur des réactions de défense dans le cadre de réactions incompatibles. Pour établir ce jeu de gènes, nous nous sommes tout d'abord appuyés sur les gènes décrits dans la littérature comme étant nécessaires à la mise en place de la résistance. Il s'agissait notamment de régulateurs décrits chez *A. thaliana* dont les orthologues possibles ont pu



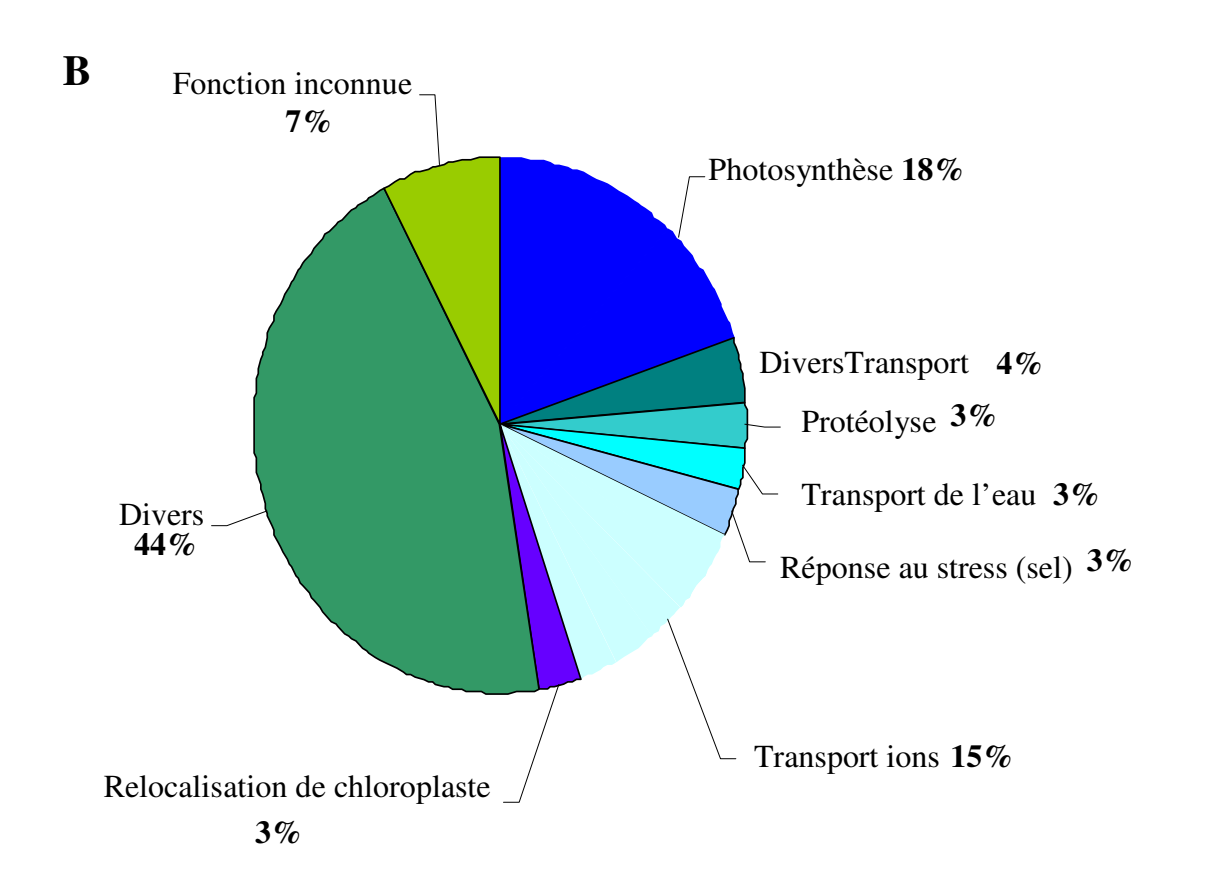


Figure 4.4. Annotation des gènes différentiellement exprimés lors de l'interaction gène-pourgène *Pi33/ACE1*.

Les 57 gènes induits (**A**) et les 49 gènes réprimés (**B**) issus de Vergne *et al.*, 2007 ont été annotés par l'outil d'annotation de TIGR (http://www.tigr.org/tdb/e2k1/osa1/batch_download.shtml). Les processus biologiques sont indiqués. La catégorie « divers » regroupe les catégories pour lesquelles un seul gène était présent.

être identifiés chez O. sativa (Vergne et al., 2007). Quatorze gènes ont ainsi été sélectionnés (Tableau 4.3).

Nous avons ensuite complété ce jeu de gènes par un jeu de gènes supposés spécifiques de la résistance et, plus particulièrement, de l'interaction *ACE1/Pi33*. Pour cela deux séries d'analyses du transcriptome à l'aide de puces à ADN ont été produites. Ces expériences sur puces à ADN ont été réalisées dans le cadre d'un projet Génoplante (Canoy AS, Bourot S et De Rose R., BAYER). La première série d'analyses de transcriptome correspond à une première série d'expériences que j'appellerai « expérience Agilent ». Dans cette analyse trois types de comparaisons ont été effectuées. Les deux premières analyses de transcriptome comparent l'expression des gènes 24h et 48h après inoculation par une souche de *M. oryzae* avirulente sur la variété IR64 (porteuse de *Pi33*) avec l'expression des mêmes gènes chez un témoin non inoculé. La troisième analyse de transcriptome, compare l'expression des gènes 48h après inoculation, par une souche de *M. oryzae* virulente sur la variété IR64, avec l'expression des gènes chez un témoin non inoculé. Ces analyses ont permis d'établir un premier jeu de données comportant divers gènes différentiellement exprimés au cours de l'infection en condition incompatible et en condition compatible. A partir de ce jeu de données, il est possible de mettre en évidence certains gènes dont l'expression est vraisemblablement spécifique de l'interaction incompatible.

Afin de compléter ces données, une deuxième série d'analyses de transcriptome que j'appellerai « **expérience B8** » a été mise en place. Cette analyse compare l'expression des gènes 24h après inoculation, par la souche de *M. oryzae* IN81 avirulente sur la variété C101LAC (possédant *Pi33*), avec l'expression des gènes 24h après inoculation par la même souche de *M. oryzae* (IN81) virulente sur la variété C104LAC (ne possédant pas *Pi33*). Elle permet donc de mesurer un différentiel d'expression entre une condition incompatible et une condition compatible (et non pas comme la première série de puce l'expression des gènes par rapport à un témoin non inoculé). Cette série d'analyses de transcriptome doit donc permettre de mettre en évidence uniquement des gènes spécifiques des interactions incompatibles et plus particulièrement spécifiques de l'interaction *ACE1/Pi33*.

Après analyse des données d'hybridation sur puces, 57 gènes induits et 42 gènes réprimés ont été mis en évidence dans l'expérience « **Agilent** » (Vergne *et al.*, 2007) et 10 gènes sur-exprimés et 37 gènes sous-exprimés ont été mis en évidence dans l'expérience « **B8** » (Tableau 4.4), soit 146 gènes au total (Tableau 4.3). Peu de gènes ont été mis en évidence dans l'expérience « B8 », du fait d'un bruit de fond très important. En effet, de mauvaises conditions d'hybridation et de lavage peuvent entraîner un bruit de fond d'une intensité similaire à celle d'un gène faiblement exprimé (Meyers *et al.*, 2004). Dans ce cas, peu de gènes sont considérés comme

No maco Données		Lignée T-		Gène exprimé	Gène décrit				
N° TIGR	d'hybridation	DNA	Annotation TIGR	dans l'expérience	dans la	Sélection	Efficacité	Spécificité	Validation
		disponible		"Agilent"	littérature				
Os02g48210		T-DNA	Protéine kinase	oui	oui	testé	error	Nd	Nd
Os06g09260			Protéine hypothétique			testé	error	Nd	Nd
Os12g30580			Protéine hypothétique			testé	error	Nd	Nd
Os12g36850			Protéine PR	oui	oui	testé	error	Nd	Nd
Os06g21110		T DIL	Protéine hypothétique			testé	108	Non	Nd
Os08g31860		T-DNA	Protéine hypothétique		oui	testé	106.6	Non	Nd
Os09g23550			Sinapyl alcohol dehydrogénase	oui		testé	93.9	Non	Nd
Os02g10600	RC- RP2+	T DIL	Protéine à domaine F-box (interaction)	oui		testé	95	Oui	Non
Os05g06500		T-DNA	Protéine de stress (USP)			testé	101.7	Oui	Non
Os05g15770			Inhibiteur de xylanase	oui		testé	94.2	Oui	Non
Os06g09560			Protéine à domaine DnaJ			testé	102.1	Oui	Non
Os08g42210			Transporteur de cation			testé	93.2	Oui	Non
Os11g02369	RA+ RC-		Transporteur de lipide		oui	testé	89.6	Oui	Non
Os12g19394	RA+ RC-		Ribulose bisphosphate carboxylase			testé	90.5	Oui	Non
Os01g62890			Protéine PRA1			testé	95.6	Oui	Oui
Os02g42450			Protéine hypothétique			testé	108	Oui	Oui
Os04g01330			Protéine hypothétique			testé	100.2	Oui	Oui
Os04g08630			Protéine hypothétique			testé	106.7	Oui	Oui
Os07g01960			Protéine hypothétique			testé	94.9	Oui	Oui
Os10g14870			Protéine heavy metal-associated			testé	103.7	Oui	Oui
Os11g40674	RC-		Protéine hypothétique			testé	112.7	Oui	Oui
Os01g03310			Protéine Bowman-Birk		oui				
Os02g13440			Protéine hypothétique						
Os03g42130			Oxidoreductase						
Os03g56450			Protéine hypothétique						
Os05g20870			Rétrotransposon						
Os06g14290			Rétrotransposon						
Os07g02260			Protéine hypothétique						
Os07g29390			Rétrotransposon						
Os07g39260			Protéine hypothétique						
Os08g16910			Cinnamyl alcohol dehydrogenase						
Os08g19480		T-DNA	Rétrotransposon						
Os08g26220	RC-		Protéine hypothétique	oui					
Os08g42850			Rétrotransposon						
Os09g23540			sinapyl alcohol dehydrogenase	oui					
Os11g29274			Protéine hypothétique						
Os11g33050	RC-		Protéine hypothétique						
Os11g35300			Glucosyltransferase						
Os11g41680			Cytochrome P450						
Os11g43900			Protéine hypothétique	oui	oui				
Os12g36880			PBZ1 Probenazole-induced		oui				
Os12g36900			Protéine hypothétique						
Nd	RC-		nd						
Nd	RC-		nd						
Nd	RC-		nd						
Nd	RC-		nd						
Nd	RC-		nd						

Tableau 4.4 : Bilan des 47 gènes différentiellement exprimés dans l'expérience « B8 » et sélection des 21 gènes dont le profil d'expression doit être validé en QPCR.

La colonne « Données d'hybridation » fait la synthèse de l'expression du gène dans différentes analyses de transcription. RC = Résistance Complète (= Puce C101LAC/C104LAC), RA et RP = Résistance Adulte ou Résistance Partielle (= hybridation de puce avec des ARN issus d'une interaction compatible sur le génotype Nipponbare). += sur-expression et -= sous-expression.

Les gènes Os01g03310 et Os12g36880 n'ont pas été sélectionnés car ils étaient déjà décrits dans la littérature comme étant impliqués dans les réactions de défense (Kim *et al.*, 2004).

Les gènes déjà mis en évidence dans l'expérience « Agilent » et dans la littérature sont signalés par un « oui ». La comparaison entre les différents jeux de données a été faite grâce à l'outil « All for One » de la base de données OrygenesDB.

Les trois dernières colonnes font le bilan des gènes dont l'expression a été validée par QPCR. Erggur = efficacité du couple d'amorces inférieure à 80 ou supérieure à 120.

exprimés de manière significative. Les gènes mis en évidence par cette analyse présentent des fonctions très variables dont certaines sont connues pour être impliquées dans les réactions de défense (Figure 4.4). Huit gènes sont communs aux deux analyses « Agilent » et « B8 » (soit 11% des gènes identifiés) et 7 gènes issus de l'expérience « B8 » sont déjà décrits dans la littérature comme étant différentiellement exprimés (soit 7% des gènes identifiés) (Tableau 4.4).

La technologie des puces à ADN pouvant engendrer différentes erreurs, les gènes issus des analyses de puces ont ensuite été testés par RT-PCR Quantitative, technique considérée comme plus fiable. Ce travail a été effectué en collaboration avec une doctorante, Emilie Vergne, et une stagiaire de Master Professionnel II, Sabrina Marques.

b Validation du jeu de données par RT-PCR Quantitative (QPCR)

Pour des raisons expérimentales, il n'était pas possible de tester la totalité des 146 gènes issus des analyses de transcriptome en QPCR. Nous avons donc sélectionné une partie de ces gènes pour valider leur expression par la QPCR. La validation comprend une validation technique qui consiste à confirmer les données issues des analyses de transcriptome en utilisant les ARN provenant de cette analyse, mais également une validation biologique sur des ARN obtenus dans des répétitions des mêmes interactions (Tableau 4.3). Parmi les 57 gènes induits dans les expériences « Agilent », 24 gènes ont ainsi été sélectionnés et l'expression de 13 de ces gènes a été validée (Vergne *et al.*, 2007).

Parmi les 47 gènes issus de l'expérience « B8 », 21 gènes ont été sélectionnés (Tableau 4.4). Six gènes sur-exprimés et 15 gènes sous-exprimés ont été sélectionnés sur différents critères : disponibilité d'une lignée T-DNA qui permettra de déterminer si la mutation de ce gène entraîne un phénotype plus sensible, expression du même gène dans d'autres conditions expérimentales (interactions compatibles), ou fonction prédite (Tableau 4.4). La mauvaise qualité des données issues de l'expérience « B8 » est confirmée par le fait que le gène PBZ1 a un profil d'expression inattendu. Il est sous-exprimé, alors que dans les données issues de la littérature et les données disponibles au laboratoire, il est plus fortement induit en condition incompatible (Midoh et Iwata, 1996; Kim et al., 2004). L'expression de seulement sept des 21 gènes a été validée par RT-PCR quantitative. Ce faible taux de validation s'explique de deux manières. Une première raison est technique. Malgré plusieurs tentatives de définition d'amorces, les amorces définies pour amplifier sept des gènes étaient soit non spécifiques, soit peu efficaces pour permettre une amplification robuste. La deuxième raison est que l'expression de sept des gènes n'était pas répétable. Aucun des gènes déjà décrits n'a été validé dans nos conditions. Le taux de gènes issus de l'expérience « B8 » dont le profil d'expression est validé est donc de 33% contre

54% pour l'expérience « Agilent ». Parmi ces gènes, deux (Os02g42450 et Os11g40674) présentaient une expression différentielle opposée à celle décrite par les puces. Cependant, ils ont été conservés car les résultats obtenus en PCR quantitative étaient répétables.

Au total, nous avons donc conservé 34 gènes pour des mesures d'expression dans différentes interactions (Tableau 4.3).

c Comparaison de l'expression de gènes de défense dans le cadre de différentes interactions

Le jeu de gènes que nous avons ainsi mis en place a été utilisé pour comparer leur expression dans différentes conditions dont certaines correspondent aux conditions expérimentales qui ont permis de les choisir. L'objectif était de mettre en évidence des gènes dont l'expression serait spécifique de la résistance et de vérifier leur spécificité. Nous avons donc comparé l'expression des gènes à différents temps (24h après inoculation et 48h après inoculation) et dans différentes conditions compatibles et incompatibles. Quatre types de comparaisons ont ainsi été effectuées :

- entre l'interaction incompatible entre IR64 et l'isolat PH14 transformé avec *ACE1* (AVR*Pi33*) et un témoin non inoculé: **IR64-PH14(ACE1)/IR64-Gélatine** (Incompatible/Gélatine).
- entre l'interaction compatible entre IR64 et l'isolat PH14 sauvage (VIR*Pi33*) et un témoin non inoculé : **IR64-PH14/IR64-Gélatine (Compatible/Gélatine).**
- entre l'interaction incompatible entre Nipponbare et l'isolat CL26 et un témoin non inoculé : Nipponbare-CL26/Nipponbare-Gélatine (Incompatible/Gélatine).
- entre l'interaction incompatible entre C101LAC et l'isolat IN81 et l'interaction compatible entre C104LAC et l'isolat IN81 : C101LAC-IN81/C104LAC-IN81 (Incompatible/Compatible).

c.1 Comparaison des expressions entre les conditions compatibles et incompatibles

Pour mettre en évidence des gènes spécifiques de la résistance, une comparaison entre l'expression en condition incompatible et l'expression en condition compatible est nécessaire. D'après la littérature, les gènes impliqués dans le cadre de la réaction incompatible, le sont également lors d'une réaction compatible mais avec des différences de cinétique ou d'intensité (Tao et al., 2003 ; Vergne et al., 2007 ; Ribot et al., 2007).

D'après les données d'analyse de transcriptome de l'expérience « Agilent », sur les 57 gènes induits au cours de l'infection, 21 (soit 37%) sont induits dans les deux conditions incompatible et compatible (Vergne *et al.*, 2007). Des résultats similaires ont été obtenus par QPCR sur l'ensemble des 34 gènes sélectionnés. En effet, 20 gènes (soit 69%) sont induits à la

				IR64-PH1	14(ACE1)	IR64-	PH14	Nipponb	are-CL26	C101LAC-IN81/ C104LAC-IN81		
				Incompatib	le/Gélatine	Compatibl	e/Gélatine	Incompatib	le/Gélatine	Inc/Comp	Inc/C	
	Genes	Type	Origine	24h	48h	24h	48h	24h	48h	24h	24h	48h
	Os02g02980	EDS5	Littérature	+	+	0	0	0	0	++	+	+
	Os01g69080	SSI2	Littérature		+	0	0	0	-	0		+
	Os05g02070	OsMT2b	Littérature		+	0	0	0		0	-	+
Α	Os01g43540	OsSGT1	Littérature	0	+	0	0	0	-	0	0	+
	Os12g38210	OsSPL11	Littérature	0	+	0	0	0		0	0	+
	Os05g45410	OsSPL7	Littérature	+		0	0	0	+	0	+	
	Os01g63420	COI1	Littérature	++	+	0	-	0		0	++	++
	Os04g08630	Protéine hypothétique	Expérience B8	++	Nd	0	-	+++		+++	++	Nd
	Os07g18750	DIR1	Littérature	-	+	+	0	+		0		++
	Os03g06410	OsEDR1	Littérature	0	+	+	0	+	-	0	-	+
	Os01g57770	SABP2	Littérature	0	+	+	0	+	+	0	-	+
	Os01g62890	Protéine PRA1	Expérience B8	+	Nd	+	0	++	-	++	0	Nd
	Os04g24220	Kinase	Expérience Agilent	+	++	++	0	-	+	0		++
-			Expérience Agilent	+	+	++	0	+	0	0		++
В	Os10g40930	Oxidoreductase	Expérience Agilent	+	++	+	0	0	+	0	0	+
	Os01g64110	Chitinase	Expérience Agilent	+	+	++	0	0	+	0	-	+
	Os06g50300	Hsp90	Expérience Agilent	+	+	+	0	0	0	0	-	+
	Os02g08440	WRKY09	Expérience Agilent	+	++	+	0	0	0	0	0	++
	Os08g10310	LRR-kinase	Expérience Agilent	++	++	++	0	0	0	0	+	++
	Os08g06280	OsLSD1	Littérature		-	+	-	+	-	0		0
	Os10g42430	JIN	Littérature	+	0	++	-	0	0	0	-	+
	Os03g16950	Protéine sécrétée 33kDa	Expérience Agilent	+	+	++	-	0	++	+	-	++
	Os01g03940	OsNRR	Littérature	+	+		+	0	+	0	++	-
	Os05g49140	OsMAPK6	Littérature		+	+	+	0	0	0		+
\boldsymbol{C}	Os07g48020	Peroxidase	Expérience Agilent	++	++	+	+	-	++	0	+	++
\mathbf{c}	Os01g58290	Subtilase	Expérience Agilent	+	++	+	++	0	+	-	0	+
	Os06g03580	Portéine de type doigt de Zinc	Expérience Agilent	+	++	++	+	0	+	0		+
	Os11g39370	LRR-kinase	Expérience Agilent	+	+	++	+	0	+	++		+
	Os07g35560	Chitinase	Expérience Agilent	++	++	++	++	0	++			++
	Os04g01330	Protéine hypothétique	Expérience B8	++	Nd	Nd	Nd	0	0		Nd	Nd
ъ	Os07g01960	Protéine hypothétique	Expérience B8	0	Nd	Nd	Nd	+++			Nd	Nd
D	Os11g40674	Protéine hypothétique	Expérience B8	Nd	Nd	Nd	Nd	0	Nd	++	Nd	Nd
	Os02g42450	Protéine hypothétique	Expérience B8	Nd	Nd	Nd	Nd	Nd	Nd	-	Nd	Nd
	Os10g14870	Protéine à domaine Heavy metal-associated	Expérience B8	0	Nd	Nd	Nd	+		++	Nd	Nd

Tableau 4.5. Profil d'expression des 34 gènes sélectionnés.

Adapté de Vergne *et al.* (2007). L'expression des gènes est quantifiée par RT-PCR Quantitative. A = gènes non induits en condition compatible, éventuellement spécifiques de la résistance. B = gènes induits à 24h en condition compatible et non induits à 48h, marqueurs potentiels de la résistance à 48h. C = gènes induits en condition compatible et non induit à 24h chez Nipponbare-CL26. D = gènes pour lesquels les données sont partielles.

Les différentes conditions correspondent aux conditions expérimentales qui ont permis l'hybridation des puces à ADN. Les six premières colonnes sont une mesure d'expression en condition inoculée par rapport à un témoin non inoculé. Les trois dernières colonnes sont issues d'un rapport entre une expression en condition incompatible et une expression en condition compatible.

++ = induction plus de trois fois supérieure au témoin, - = répression de 1,5 fois à 3 fois supérieure au témoin, - = répression plus de trois fois supérieure au témoin, 0 = gène non différentiellement exprimé.

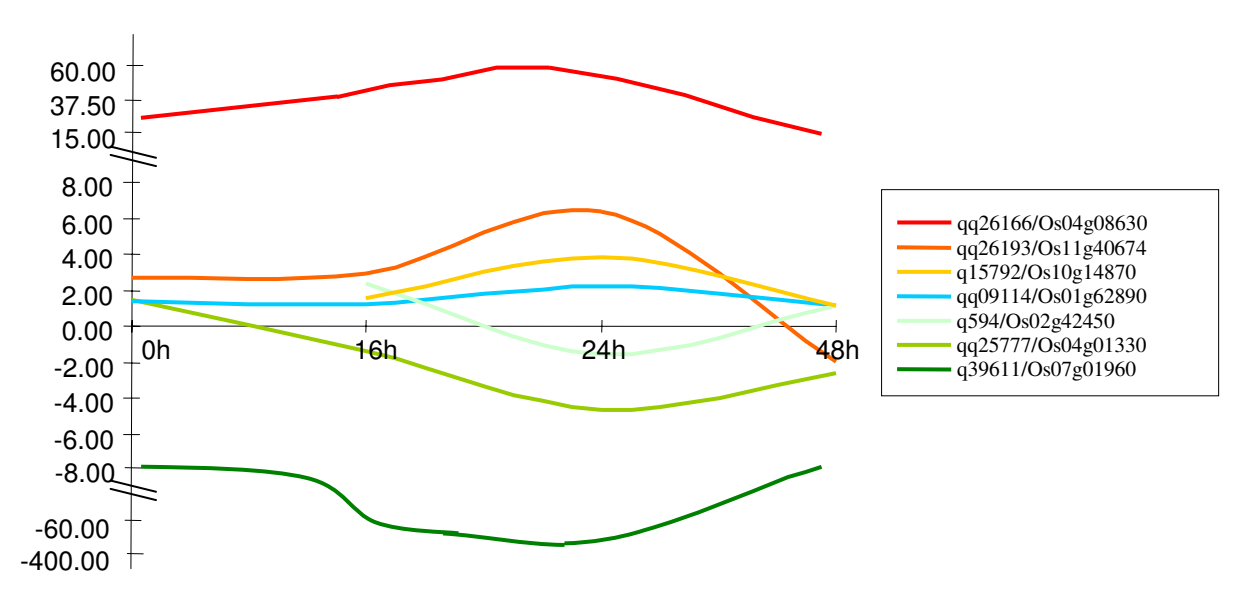


Figure 4.5. Cinétique d'expression pour les sept gènes issus de l'expérience « B8 ».

Le différentiel d'expression entre la condition incompatible C101LAC/IN81 et la condition compatible C104LAC/IN81 est mesuré à différents temps avant et après inoculation. Les données à 0h ne sont pas disponibles pour les gènes q15**798** et q594 du fait d'erreurs techniques.

fois dans des interactions compatibles et incompatibles, quel que soit le temps considéré (Tableau 4.5). Pour cet échantillon de gènes, la différence entre les deux conditions compatible et incompatible, résiderait dans l'intensité de l'expression à 48h, plutôt que dans la cinétique d'expression. En effet, à partir de ces données, il est possible de faire un rapport entre l'expression en condition incompatible et l'expression en condition compatible dans le cadre de deux types d'interaction ACE1/Pi33 (IR64-PH14(ACE1)/IR64-PH14 et C101LAC-IN81/C104LAC-IN81) (Tableau 4.5). Cette méthode de calcul indique qu'à 48h, 89% des gènes sont sur-exprimés en condition incompatible.

Les données de l'expérience « B8 » permettent également de mettre en évidence une différence de cinétique entre les deux conditions incompatible et compatible. L'expression des sept gènes issus de l'expérience « B8 » qui présentaient un différentiel d'expression validé en QPCR, a été mesurée à différents temps avant et après inoculation (0h, 16h, 24h et 48h) (Figure 4.5). A 24h, un pic d'expression différentielle est observé en condition incompatible alors qu'à 48h, la différence d'expression entre les deux conditions incompatible (C101LAC-IN81) et compatible (C104LAC-IN81) est plus réduite voire nulle. La reconnaissance du gène d'avirulence par le gène de résistance permettrait d'induire ou de réprimer ces sept gènes plus précocement lors de l'interaction incompatible par rapport à la condition compatible.

D'autre part, cette expérience permet de mettre en évidence une influence du fond génétique sur l'expression de ces gènes. En effet, avant l'inoculation (à 0h) deux des gènes présentent un différentiel d'expression élevé entre C101LAC et C104LAC bien que ces lignées soient isogéniques. L'expression constitutive de ces gènes varierait donc en fonction du fond génétique. Deux hypothèses peuvent alors être envisagées : soit cette différence est due à la présence de *Pi33* (même en l'absence d'inoculation), soit cette différence est due au fait qu'aux loci des gènes considérés, les lignées ne sont pas isogéniques.

Pour conclure, sur les 34 gènes sélectionnés pour notre analyse, seulement 8 gènes ne sont pas induits en condition compatible quel que soit le temps considéré et pourraient donc être de bons marqueurs de la résistance (échantillon A dans le Tableau 4.5). Quatorze gènes ne sont pas induits à 48h en condition compatible et pourraient être de bons marqueurs de la résistance à 48h (échantillon B dans le Tableau 4.5). Seulement deux gènes sont surexprimés dans les deux comparaisons incompatible/compatible : EDS5 (Nawrath *et al.*, 2002), qui code pour un transporteur de type MATE (Multidrug And Toxin Extrusion) et une protéine hypothétique Os04g08630. Ces gènes pourraient être de bons marqueurs de l'interaction ACE1/Pi33.

c.2 Comparaison des expressions entre plusieurs conditions incompatibles

Nous souhaitions dans un premier temps, confirmer que l'expression de certains des gènes mis en évidence ci-dessus (échantillon A et B dans le Tableau 4.5) serait spécifique de la résistance en comparant les trois conditions incompatibles déjà à notre disposition. Puis dans un second temps, nous avons sélectionné parmi ces gènes, sept gènes comme marqueurs pour comparer les profils d'expression à différents temps après inoculation de trois nouvelles interactions incompatibles.

c.2.1 Expériences préliminaires

Afin de confirmer que l'expression de certains des gènes est spécifique de la résistance (échantillons A et B dans le Tableau 4.5), l'expression des 34 gènes a été mesurée dans le cadre d'une autre interaction incompatible faisant intervenir le génotype Nipponbare et l'isolat CL26. Dix-sept gènes (soit 59%) sont induits dans les deux conditions incompatibles (IR64/PH14-ACE1 et Nipponbare/CL26). Cependant, sur ces 17 gènes, 11 semblent être induits plus tôt dans l'interaction IR64/PH14-ACE1. Deux hypothèses permettent d'expliquer cette différence :

- soit la présence de Pi33 stimulerait une réponse des réactions de défense plus tôt
- soit la différence du fond génétique entre un indica (IR64) et un japonica (Nipponbare) est suffisante pour entraîner des différences de transcriptome.

Cette analyse met en évidence six gènes (soit 22%) qui sont différentiellement exprimés à 48h dans les deux conditions incompatibles mais non exprimés en condition compatible (OsSPL7, SABP2, Os04g24220, Os10g40930, Os03g16950 et Os01g64110). Seul le gène Os04g08630 (codant pour une protéine hypothétique) est également sur-exprimé à 24h chez C101LAC-IN81. La majorité des gènes est donc spécifique d'une interaction incompatible en particulier. Ainsi, 14 gènes (soit 48%) sont induits à 24h ou à 48h dans une seule condition incompatible et non exprimés en condition compatible. Par exemple, les gènes COI1, SGT1 et SPL11 semblent spécifiques de l'interaction IR64/PH14-ACE1 puisqu'ils ne sont induits que dans cette interaction. Le gène EDS5 serait le seul gène qui semble spécifique de l'interaction Pi33 puisqu'il n'est pas induit dans l'interaction Nipponbare/CL26 mais est différentiellement exprimé dans les deux interactions incompatibles impliquant le gène Pi33.

c.2.2 Contraintes expérimentales

Pour des raisons pratiques expérimentales, il n'était pas possible de tester tous les gènes identifiés comme marqueurs de la résistance ou comme spécifiques d'une interaction en particulier. A partir du jeu de gènes mis en évidence au paragraphe précédent, sept gènes ont donc été sélectionnés pour être testés dans de nouvelles interactions incompatibles (Tableau 4.6).

N° Tigr	Amorce	Annotation	Provenance	Choix
Os04g24220	q4963	Protéine kinase	« Agilent »	Marqueur de la résistance
Os12g35880	qPBZ1	ProBenaZol induced Littérature Marqu		Marqueur de la résistance
Os01g43540	qSGT1	Suppressor of the G2 allele of skp1	Littérature	Spécifique IR64/PH14-ACE1
Os01g63420	qCOI1	Coronatine Insensitive 1	Littérature	Spécifique IR64/PH14-ACE1
Os12g38210	qSPL11	SPotted Leaf11	Littérature	Spécifique IR64/PH14-ACE1
Os01g62890	qq09114	Protéine PRA1	« B8 »	Spécifique C101LAC/IN81
Os02g02980	qEDS5	Enhanced Disease Susceptibility 5	Littérature	Spécifique de Pi33

Tableau 4.6. Sélection de sept gènes pour une comparaison des profils d'expression dans différentes conditions incompatibles.

Les critères de choix de ces gènes est décrit dans la dernière colonne.

Les gènes Os04g24220, qui code pour une protéine kinase, et *PBZ1* (Os12g35880) ont été sélectionnés car ils font partie des gènes marqueurs de la résistance à 48h. Les gènes SGT1 (Os01g43540), SPL11 (Os12g38210) et COI1 (Os01g63420) ont été sélectionnés car ils semblent spécifiques de l'interaction IR64/PH14-*ACE1* à 24h. De plus, se sont tous les trois des gènes décrits dans la littérature comme étant des régulateurs des voies de défense. Le gène EDS5 (Os02g02980) a été sélectionné car il pourrait être, au vu des premiers résultats, un bon marqueur de la résistance spécifique impliquant *Pi33*. Enfin, le gène Os01g62890, qui code pour une protéine similaire aux protéines Prenylated Rab Acceptor (PRA1) des mammifères, a été sélectionné car il pourrait être spécifique de l'interaction C101LAC/IN81.

Il nous a paru nécessaire de tester les deux hypothèses énoncées plus haut pour expliquer des différences d'expression entre interactions incompatibles : soit l'expression dépend du gène de résistance, soit elle dépend du fond génétique (indica et japonica). Pour tester ces hypothèses nous avons comparé l'expression de gènes sur des cinétiques (16h, 24h et 48h) après inoculation dans plusieurs interactions incompatibles faisant intervenir des gènes de résistance et d'avirulence différents :

- C101LAC (porteur de *Pi33* et de *Pi1*) / BG1 (porteuse de *ACE1* donc avirulente vis-à-vis de *Pi33* et virulente vis-à-vis de *Pi1*),
- C104LAC (porteur de *Pi1*) / CD69 (avirulente vis-à-vis de *Pi1*)
- **Nipponbare** (gène de résistance non identifié) / **CL3.6.7** (avirulente vis-à-vis de Nipponbare).

L'expression des gènes a été mesurée à trois temps différents (16h, 24h et 48h). Pour chaque interaction une comparaison est faite par rapport à un témoin non inoculé (Tableau 4.7). Ces comparaisons font intervenir des fonds génétiques similaires possédant des gènes de résistance différents (C101LAC-Pi33/C104LAC-Pi1 et Nipponbare-CL26/Nipponbare-CL3.6.7) et inversement des fonds génétiques différents faisant intervenir des gènes de résistance similaires (IR64-Pi33/C101LAC-Pi33).

Cependant, pour des raisons expérimentales, des souches différentes de *M. oryzae* ont dues être utilisées. Afin de vérifier l'hypothèse que les différences observées pourraient être dues à des différences d'agressivité des souches de *M. oryzae*, l'expression de cinq gènes pris parmi notre échantillon de gènes a été mesurée lors de deux inoculations faisant intervenir des souches isogéniques de *M. oryzae*. Si des différences d'expression sont observées lors d'inoculations faisant intervenir deux souches isogéniques, à fortiori des différences d'expression seront attendues

q4751-2/Os07g35560	q5864/Os01g58290	q3394/Os11g39370	qq09114/Os01g62890	qq26166/Os04g08630
Chitinase	Subtilase	LRR-kinase	Protéine PRA1	Protéine hypothétique
		0	0	0

Tableau 4.8. Influence de l'inoculum sur l'expression de gènes de défense.

Données d'expression d'une sélection de cinq gènes. Un rapport est fait entre deux conditions compatibles et permet de comparer l'effet de la souche transformée CM28-Ace1 par rapport à la souche sauvage CM28 sur le génotype japonica Azucena (Azucena-CM28(*ACE1*)/Azucena-CM28). Les ARN ont été prélevés 24h après inoculation. — répression plus de trois fois supérieure au témoin, 0 = gène non différentiellement exprimé.

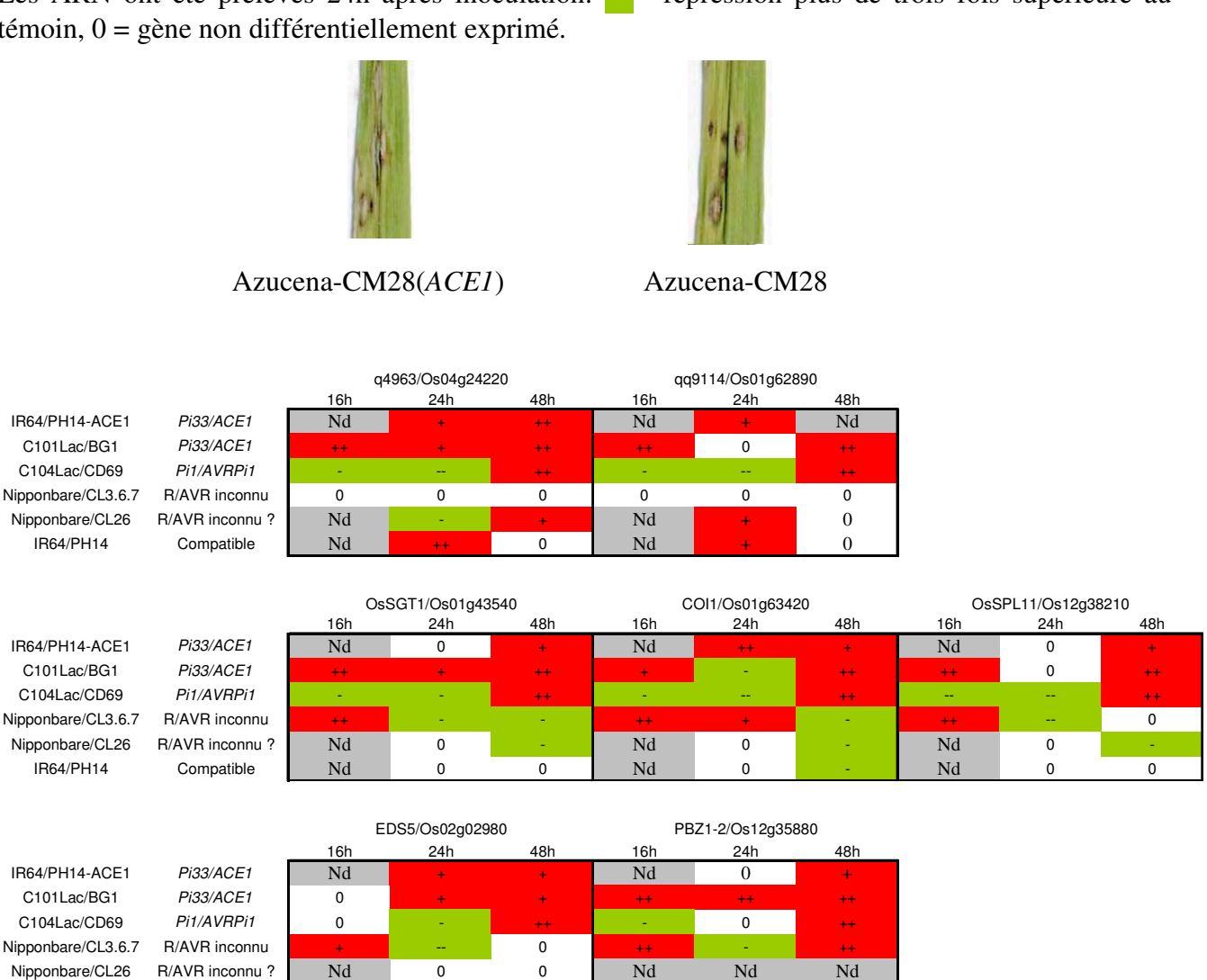


Tableau 4.7. Profil d'expression de sept gènes lors de différentes interactions incompatibles.

0

0

IR64/PH14

Compatible

Les conditions sont rappelées à gauche (génotype/souche). Le couple gène R/gène Avr intervenant dans l'interaction est également précisé dans la deuxième colonne. L'expression a été mesurée en comparaison à un témoin non inoculé à trois temps (16h, 24h et 48h) sur trois répétitions. ++ = induction plus de trois fois supérieure au témoin, -- = répression de 1,5 fois à 3 fois supérieure au témoin, -- = répression plus de trois fois supérieure au témoin, 0 = gène ni induit ni réprimé. L'origine des sept gènes est décrite dans le tableau 4.6.

lorsque deux souches plus différentes seront utilisées. Les différences d'expression observées peuvent également être dues à des effets de l'environnement ou à de légères différences dans la quantité d'inoculum. Nous partirons du principe que ces variations expérimentales sont similaires entre les expériences. L'expression des cinq gènes est comparée lors d'inoculations faisant intervenir le génotype Azucena. Il s'agit dans les deux inoculations comparées d'une interaction compatible. Sur les cinq gènes considérés, deux gènes présentaient une expression différentielle entre ces deux conditions (Tableau 4.8). L'hypothèse selon laquelle l'isolat ou plus généralement l'inoculum utilisé dans le cadre d'une interaction peut expliquer des différences d'expression pour certains gènes ne peut être rejetée. Cependant, ne pouvant procéder autrement pour notre expérimentation, nous avons choisi de continuer notre comparaison des profils d'expression en condition incompatible en tenant compte de cette limite de notre expérience.

c.2.3 Influence du gène de résistance et du fond génétique sur l'expression des gènes de défense.

Seul le gène *PBZ1* est confirmé comme étant un bon marqueur de la résistance car il est induit (par rapport au témoin non inoculé) dans les trois conditions à 48h (Tableau 4.7). Ce gène est d'ailleurs considéré dans la littérature comme un marqueur classique des réactions de défense (Midoh et Iwata, 1996; Kim *et al.*, 2004). Le gène *EDS5* est confirmé comme étant spécifique de *Pi33* mais uniquement à 24h. En effet, à 48h il apparaît comme étant également induit chez C104LAC (Tableau 4.7). Les gènes OsSGT1, OsSPL11 et COI1 qui semblaient spécifiques de l'interaction IR64/PH14-*ACE1*, s'avèrent être non spécifiques de cette interaction. Par contre, ils semblent présenter une spécificité envers les génotypes indica, notamment à 48h. Les cinétiques d'expression de ces gènes sont très variables entre les interactions. Cependant, la comparaison des profils d'expression entre les interactions peut permettre de faire ressortir certaines tendances.

Pour chaque temps l'expression dans deux interactions est considérée comme similaire si elle présente le même type d'expression différentielle (induit, réprimé ou même niveau d'expression que le témoin). Une similarité entre interactions peut ainsi être calculée à partir des profils d'expression des gènes (Tableau 4.9). Pour visualiser ces similarités, un arbre a été construit avec le logiciel DARWIN (Figure 4.6). L'analyse de cet arbre permet de faire ressortir trois principaux groupes : un groupe qui rassemble les interactions indica, un groupe qui rassemble les deux interactions IR64-PH14 et Nipponbare-CL26 et une branche à part pour l'interaction Nipponbare-CL3.6.7. Bien que des phénotypes de type HR aient été observés dans l'interaction Nipponbare-CL26, quelques lésions intermédiaires sont également observées (Figure 4.7). Cette interaction pourrait correspondre plutôt à un très fort niveau de résistance basale

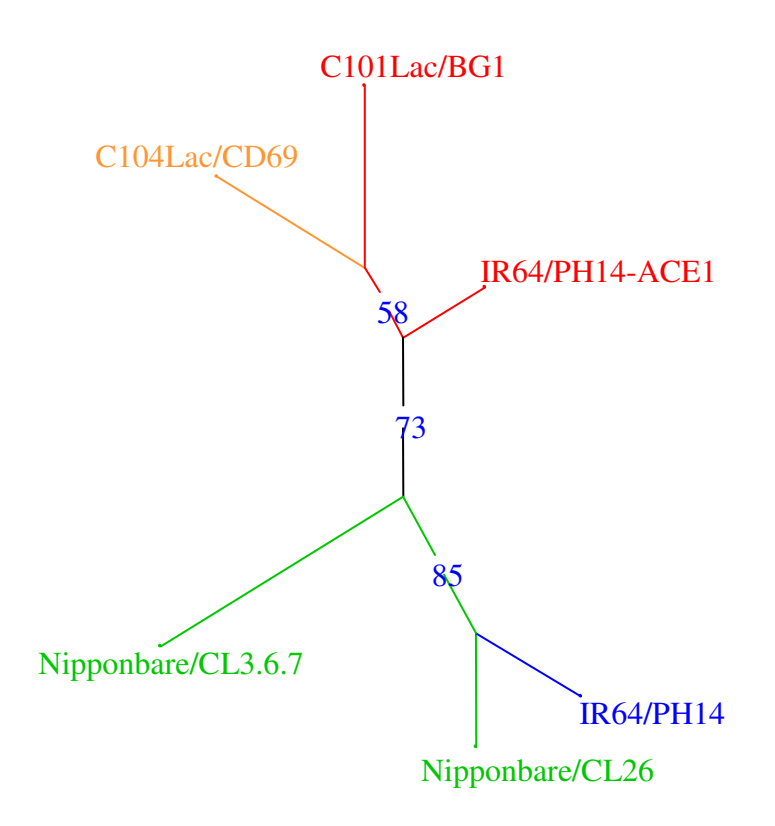


Figure 4.6. Arbre des cinétiques d'expression.

L'arbre a été construit par Neighbor joining avec le logiciel DARWIN à partir de l'indice de Sokal et Michener. En vert les interactions impliquant les japonica. En bleu l'interaction compatible, en rouge les interactions incompatibles faisant intervenir le gène *Pi33* et en orange l'interaction faisant intervenir le gène *Pi1*. Pour limiter l'influence des données manquantes seuls les points à 24h et 48h ont été considérés.

			Points communs		Points communs à 48h	
IR64/PH14-ACE1	IR64/PH14	Incompatible vs Compatible	2/13	15%	0/6	0%***
IR64/PH14-ACE1	C101Lac/BG1	Génotype différents	8/13	62%***	6/6	100%***
Nipponbare/CL26	Nipponbare/CL3.6.7	Gènes différents	3/12	25%	3/6	50%***
C101Lac/BG1	C104Lac/CD69	Gènes différents	7/21	33%*	7/7	100%***
Moyenne		Génotype et gènes différents		22%		28%

Tableau 4.9. Pourcentage d'homologie entre les profils d'expression.

Pour chaque temps l'expression de deux interactions est considérée comme similaire si elle présente le même type d'expression différentielle (induit, réprimé ou nul). On calcule ensuite une fréquence d'homologie : nb de points similaires/nb total de points comparés. *** = fréquence significativement différente de la moyenne pour une p-value < 0,01 par un test de Chi2. * = p-value 0,06.

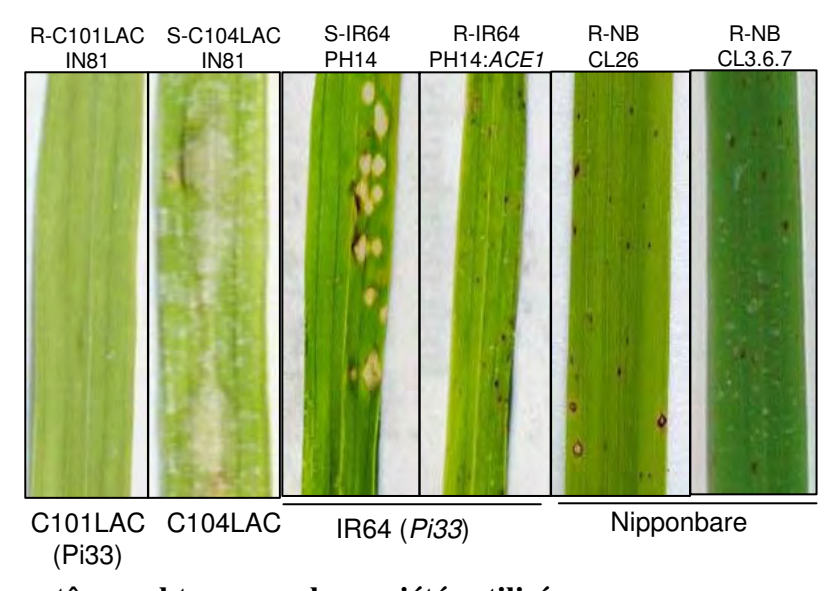


Figure 4.7. Symptômes obtenus sur les variétés utilisées.

plutôt qu'à une résistance spécifique de type gène-pour-gène. Dans cette hypothèse, il n'est donc pas surprenant qu'elle se regroupe avec l'interaction compatible IR64-PH14. La structure de l'arbre semble refléter la structure en deux sous-espèces indica et japonica pour ce qui concerne les interactions strictement incompatibles.

L'analyse des pourcentages d'homologie des profils d'expression sur les trois temps de la cinétique (Tableau 4.9) semble mettre en évidence l'influence du gène de résistance sur l'expression des gènes de défense. En effet, le pourcentage d'homologie entre les cinétiques d'expression des deux interactions faisant intervenir les génotypes isogéniques C101LAC et C104LAC (7 sur 21 points similaires soit 33,3%) est inférieur au pourcentage d'homologie existant entre les deux interactions *Pi33/ACE1* où 8 points similaires sur 13 sont répertoriés (soit 61,5% d'homologie). Ce résultat pourrait être l'indice que la présence d'un même gène de résistance (ici *Pi33*) a une influence plus importante qu'un fond génétique similaire sur la cinétique d'expression des gènes de défense sélectionnés. Cependant, l'impact de l'isolat utilisé pour l'inoculation ne peut pas être complètement écarter pour expliquer les différences importantes mesurées entre C101LAC et C104LAC.

D'autre part, le pourcentage d'homologie entre C101LAC-BG1 et C104LAC-CD69 (33,3%) (même fond génétique mais gène de résistance différent) reste supérieur aux résultats obtenus en comparant deux génotypes éloignés portant des gènes de résistance différents (21,6% en moyenne). Ce résultat implique que le fond génétique a également une influence non négligeable sur l'expression des gènes de défense.

IV.3.2 Discussion et conclusion

a Originalité de la voie de défense contrôlée par Pi33

Beaucoup des gènes que nous avons identifiés par les hybridations sur puces à ADN ont des fonctions qui sont connues pour être impliquées dans la réponse à des attaques par des agents pathogènes (par exemple : facteur de transcription de type WRKY, kinase membranaire, protéine hsp90, subtilase et autres protéases). De plus, la représentation des catégories de gènes obtenus (gènes de défense, transport, facteurs de transcription, ...) est très similaire à celle obtenue dans d'autres études (Chu et al., 2004; Lu et al., 2004; Jantasuriyarat et al., 2005) (Figure 4.4). Cela confirme la qualité de notre jeu de données. Seulement 7% des gènes mis en évidence sont déjà décrits dans la littérature pour avoir un rôle dans la réponse des plantes aux agents pathogènes et seulement 11% des 146 gènes sont identifiés dans les deux analyses de transcriptome. Ce résultat est cohérent avec le résultat décrit par Droc et al. (2006) : sur 923 gènes probablement impliqués dans la résistance seulement 18% ont été décrits comme étant différentiellement exprimés

pendant l'infection dans au moins deux publications indépendantes. Ce résultat justifie de faire des analyses de transcriptome complémentaires car tous les gènes n'ont pas encore été identifiés.

D'autre part, ces données confirment que la majorité des gènes induits au cours de l'infection en situation incompatible le sont également, bien que plus tardivement, en condition compatible (Vergne et al., 2007). Ce résultat a déjà été décrit dans la littérature (Tao et al., 2003; Ribot et al., 2007). Aucun des gènes identifiés ne semble spécifique de l'interaction ACE1/Pi33. Peu d'exemples de gènes exprimés de manière spécifique à une interaction gène-pour-gène ont été décrits. Un composant du protéasome est décrit comme étant induit spécifiquement lors de l'interaction impliquant le gène Pi1 (Wen et al., 2003). La spécificité des différentes interactions incompatibles résiderait plutôt dans la cinétique d'expression de ces gènes. Par exemple, le gène EDS5 serait induit très précocement (à 16h) dans l'interaction Nipponbare/CL3.6.7 puis serait réprimé pour finalement avoir une expression équivalente au témoin non inoculé à 48h. Dans les deux interactions ACE1/Pi33 étudiées, il serait induit de manière spécifique à 24h. A 48h, il est induit chez tous les indica.

Dans le cas des deux interactions impliquant le génotype Nipponbare, par contre, les deux voies de signalisation semblent être bien différentes et ne convergeraient pas à 48h. Cependant, bien que des phénotypes de type HR aient été observés dans l'interaction Nipponbare/CL26, cette interaction pourrait correspondre plutôt à un très fort niveau de résistance basale plutôt qu'à une résistance spécifique de type gène-pour-gène. En effet, Nipponbare est une variété à résistance partielle moyenne et lors d'inoculations avec la souche CL26 elle peut parfois présenter quelques lésions sensibles peu développées. Dans ce cas, les différences observées seraient dues au fait qu'une voie de signalisation en condition incompatible (Nipponbare/CL3.6.7) est comparée avec une voie de signalisation de résistance basale élevée en condition compatible (Nipponbare/CL26).

D'autre part, la présence d'un gène de résistance particulier pourrait également être un facteur important pour expliquer l'expression des gènes de défense. En effet, les génotypes C101LAC (*Pi1* + *Pi33*) et C104LAC (*Pi1*) sont isogéniques. Or, ils présentent des profils d'expression différents dans les temps précoces (16-24h) après infection mais comparables pour les temps tardifs (à 48h). Ce résultat pourrait indiquer que les deux gènes de résistance spécifiques (*Pi1* et *Pi33*) utilisent des voies de régulation différentes pour aboutir au final, à 48h, à des effets similaires sur le système de défense. Le principe de voies différentes de régulation qui présenteraient des points communs a également été décrit dans la comparaison des gènes induits par deux agents pathogènes différents : le champignon *M. oyzae* et la bactérie *X. oryzae* (Li *et al.*, 2006).

b Influence du fond génétique sur le système de défense

Bien qu'il ne faille pas négliger l'influence de l'inoculum sur nos résultats et notamment de l'agressivité des souches utilisées, l'influence du fond génétique indica ou japonica semble être un des facteurs principaux pour expliquer l'expression des gènes étudiés. En effet, six des gènes étudiés semblent être spécifiques du fond génétique indica à 48h et pourraient donc être de bons marqueurs de la résistance dans un fond indica. Si le fond génétique présente une influence significative sur l'expression des gènes de défense, cela peut avoir plusieurs conséquences. En sélection, cette interaction rend la sélection de variétés résistantes plus complexe. Par contre, elle ouvre des perspectives de création de nouvelles combinaisons qui pourraient être plus efficaces que les combinaisons « naturelles ». D'un point de vue évolutif, cela impliquerait que les voies de défense pourraient se spécialiser sur certains gènes clefs plus adaptés à un environnement donné. Il semble également capital d'évaluer les interactions entre gène de résistance et fond génétique. En effet, un gène de résistance ne sera peut-être pas toujours aussi efficace dans un nouveau fond génétique. Ainsi xa5, Xa21 et Xa26 seraient plus efficaces dans un fond génétique indica (Li et al., 2001; Sun et al., 2004). Ces différences peuvent être dues à des différences au niveau des promoteurs des gènes de résistance (xa3; Cao et al., 2007) mais elles pourraient également être liées à des différences au niveau des gènes de défense eux-mêmes. Ainsi, mieux caractériser l'influence du fond génétique devrait permettre de mieux comprendre la régulation du système de défense des plantes.

D'après cette analyse, la présence d'un gène de résistance commun aurait plus d'influence que le fond génétique sur l'expression des gènes de défense. En effet, 62% d'homologie a été mesurée entre les deux interactions faisant intervenir *Pi33* (IR64/PH14-*ACE1* et C101LAC/BG1). Les différences de profil d'expression entre ces deux génotypes pourraient s'expliquer par le fait qu'ils ne possèdent pas le même allèle de *Pi33* (voir Chapitre 1) ou bien du fait de leur différence de fond génétique.

Afin de mettre en évidence l'influence du fond génétique sur l'expression des gènes de défense, des mesures préliminaires d'expression de trois gènes ont été réalisées sur huit descendants SSD (porteurs de *Pi33*) d'un croisement entre une variété indica porteuse de *Pi33* (IR64) et une variété japonica sensible (Azucena) (données non présentées). Cette expérience devait nous permettre de comparer l'expression des gènes dans des fonds génétiques, dont nous connaissions l'origine parentale grâce à des données de marqueurs génétiques répartis sur l'ensemble du génome. C'est-à-dire que pour chaque descendant, il est possible de déterminer au niveau du génome ainsi qu'à chaque locus s'il présente plutôt le type d'un des parents (IR64, indica) ou de l'autre (Azucena, japonica). Cela devait permettre de déterminer ce qui serait le plus

déterminant sur l'expression des gènes : le fond génétique sur l'ensemble du génome ou bien au niveau du locus, ou au contraire si la seule présence de *Pi33* suffirait à homogénéiser les niveaux d'expression entre les différents descendants. Cependant, du fait de fortes variations du niveau d'expression des gènes, cette expérience n'a pas permis de conclure sur l'influence de *Pi33* sur l'expression de ces gènes. Une expérimentation avec des gènes marqueurs de la résistance plus nombreux et plus adaptés et avec un plus grand nombre de descendants serait nécessaire. Une analyse plus précise sera possible lorsque le gène *Pi33* aura été cloné. En effet, il sera alors possible de mesurer l'expression de ces différents gènes dans des fonds génétiques ne différant strictement que pour *Pi33*. Bien que la position du site d'insertion puisse également intervenir, il devrait être alors possible de comparer les voies de signalisation dans des conditions plus contrôlées. Par exemple, il sera alors possible de comparer l'effet, de souches isogéniques pour *ACE1* et un autre gène d'avirulence cloné comme *AvrPita*, sur des variétés isogéniques transformées avec *Pi33* et/ou *Pita*.

IV.3.3 Matériels et Méthodes

a Matériel végétal et fongique

Pour cette étude nous avons extrait des ARN issus de différentes interactions compatibles et incompatibles (Tableau 4.2).

La variété IR64 (porteuse de *Pi33*) a été inoculée avec deux souches isogéniques de *M. oryzae*. La souche sauvage PH14, virulente vis-à-vis de *Pi33*, a été transformée avec le cosmide 31C12 d'une banque d'une souche avirulente (Böhnert *et al.*, 2004). Ce cosmide contient *ACE1*. La variété Nipponbare a été inoculée de manière indépendante avec les souches CL26 et CL3.6.7. Dans les deux cas, des symptômes de type HR ont été observés (Figure 4.7). Les variétés isogéniques C101LAC (porteuse de *Pi1* et *Pi33*) et C104LAC (porteuse de *Pi1*) ont été inoculées avec la souche IN81. Cette souche est avirulente sur *Pi33* et virulente sur *Pi1*. La variété C101LAC a été inoculée avec la souche avirulente BG1 et la variété C104LAC a été inoculée avec la souche avirulente CD69. La variété japonica Azucena a été inoculée de manière indépendante avec deux souches isogéniques de *M. oryzae*. La souche sauvage CM28 ne contient pas *ACE1* et a été transformée avec le cosmide 31C12 (Böhnert *et al.*, 2004). Huit descendants issus du croisement IR64 x Azucena ont été inoculés avec la souche avirulente vis-à-vis de *Pi33*, IN81.

b Données moléculaires

L'extraction d'ARN, la définition des amorces et leur optimisation, le protocole de rétrotranscription et de PCR quantitative sont décrits dans Vergne et al. (2007). La liste des

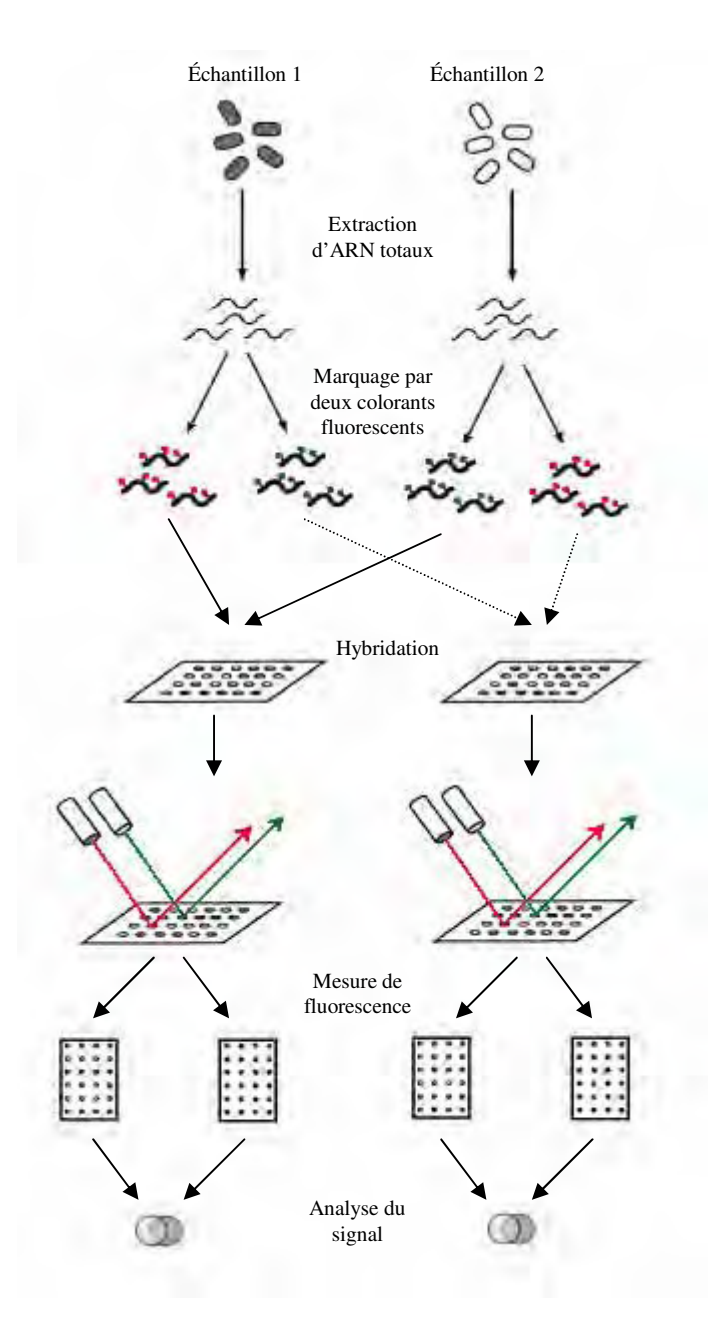


Figure 4.8. Hybridation sur puce à ADN.

Pour une série d'analyses, deux échantillons sont hybridés simultanément sur une même puce. Ces échantillons correspondent à la comparaison qui doit être effectuée (Inoculé/Non inoculé ou Inoculé incompatible/Inoculé compatible). Pour chaque échantillon deux marquages différents sont effectués et ainsi deux données d'expression sont obtenues qui correspondent à chacun des deux marquages. Une réplication technique de cette analyse est ensuite effectuée qui permet d'obtenir deux autres données d'expression. Une répétition biologique est effectuée dans les mêmes conditions qui permet d'obtenir quatre autres données d'expression.

amorces utilisées pour les gènes identifiés à partir de l'expérience « B8 » est disponible dans l'annexe 9.

La méthode d'analyse de l'expression des gènes à partir des données obtenues lors des premières hybridations sur puce (expérience « Agilent ») est décrite dans Vergne *et al.* (2007). Le marquage de l'ARN et l'hybridation ont été réalisés selon le protocole proposé par le fabriquant de la puce (Agilent oligo G4137A, <u>www.chem.agilent.com</u>). Pour la deuxième série d'hybridations (expérience « B8 »), les puces à ADN utilisées sont les puces Opéron de 60 000 gènes de riz (Génoplante, non publié). Deux répétitions biologiques avec chacune deux répétitions techniques pour chaque colorant fluorescent ont été utilisées pour obtenir 8 valeurs d'expression par gène (Figure 4.8). La normalisation a été faite par la méthode d'analyse de Arraytools (Le *et al.*, soumis ; Tusher *et al.*, 2001). Tous les gènes avec un ratio d'expression par rapport au témoin non inoculé supérieur à 1.5 ou inférieur à 0.69 ont été considérés comme différentiellement exprimés.

V Conclusion générale

Cette thèse s'est articulée autour de trois objectifs principaux. Il s'agissait tout d'abord de déterminer l'origine de *Pi33* ainsi que sa structuration dans les deux principales sous-espèces de riz, *O. sativa japonica* et *O. sativa indica*, ainsi qu'au sein du genre *Oryza*. Le deuxième objectif central de cette thèse était de caractériser la diversité au niveau du locus *Pi33* et de cloner l'allèle de résistance de *Pi33*. Enfin, le dernier objectif était de replacer l'interaction *ACE1/Pi33* dans le contexte des réactions de défense de la plante et de comparer les profils d'expression de gènes marqueurs des réactions de défense dans différentes conditions d'interactions incompatibles et compatibles.

Ce travail a abouti à la publication de deux articles et à la soumission d'un article de revue. Il a permis également la création d'une base de données qui sera un outil précieux pour la communauté internationale Riz/M. oryque.

V.1 Création d'une base de données Riz/M. oryzae

De nombreuses études de génétique de la résistance à la pyriculariose ont été produites mais aucune synthèse n'était disponible. Afin de pouvoir discuter nos résultats, il nous a paru nécessaire de faire une revue de la littérature existante sur les gènes et QTL de résistance identifiés et cartographiés. Cette synthèse a permis la rédaction d'un article de revue qui a été soumis (Molecular Plant-Microbe Interactions).

Alors que les articles les plus récents répertorient une quarantaine de gènes de résistance, cette analyse bibliographique a permis de répertorier 85 gènes et 350 QTL de résistance décrits. Ils ont pu être repositionnés physiquement sur le génome de la variété séquencée Nipponbare. A partir de ces données de QTL, une méta-analyse a permis de résumer le jeu de données de 350 QTL à 170 MetaQTL. Pour chacun de ces MetaQTL des informations sont disponibles sur son spectre de résistance (nombre d'isolats avirulents par rapport au nombre d'isolats testés) et sur son phénotype de résistance (résistance partielle ou autre). Ces informations ont été ajoutées dans la base de données OrygenesDB (http://orygenesdb.cirad.fr/index_fr.htm) et baptisées ARCHIPELAGO. Ces données génétiques ont été comparées avec des données d'annotation et des données d'expression. En effet, la cartographie physique de 1 200 analogues de gènes de résistance (RGA) est également disponible sous la base de données ainsi que la position de 4 500 gènes impliqués dans les réactions de défense d'après la littérature. En testant les colocalisations entre ces différents types de données nous avons pu en particulier émettre des hypothèses sur les gènes qui régiraient les QTL de résistance partielle. Ainsi, contrairement aux gènes de résistance cartographiés, les RGA ne colocalisent pas de manière significative avec les QTL de résistance partielle. De même, aucune colocalisation significative n'a été mesurée avec les gènes de défense. Des analyses complémentaires de certains petits MetaQTL devraient permettre de compléter les connaissances sur les gènes qui régissent ce type de QTL. D'autre part, ce travail a également permis de montrer que, en dépit d'une idée reçue, les QTL de résistance partielle n'ont pas un spectre de résistance plus large que les gènes de résistance classiques.

D'autre part, si la communauté scientifique riz/M. oryzae participe à sa mise à jour régulière, cette base de données pourra rassembler les différentes connaissances génétiques et transcriptomiques acquises sur l'interaction riz-M. oryzae. Ces données sont utilisables en sélection en facilitant la sélection assistée par marqueur. En effet, cette étude permet de mettre en relief quelques zones du génome qui présenteraient une résistance quantitative robuste et à spectre large.

V.2 Une origine ancienne de Pi33

L'analyse de la structuration de *Pi33* chez les riz cultivés a permis de confirmer qu'au moins deux sources de résistance ont été utilisées dans les croisements qui ont donné les variétés modernes de riz indica demi naines : la variété traditionnelle TYC, et le riz sauvage *O. rufipogon* IRGC101508. D'autres sources ont également pu être utilisées mais elles n'ont pas pu être identifiées. Dans le cas de la variété IR64, qui est une des variétés les plus connues de la révolution verte, une introgression de 5,3 à 7,1 Mbp du riz sauvage IRGC101508 a été mise en évidence et a fait l'objet d'une publication (Ballini *et al.*, 2007).

Le fait que plusieurs sources de résistance existent, avec des haplotypes relativement différents, peut s'interpréter de différentes façons. Dans la première hypothèse, deux gènes différents au même locus reconnaîtraient le même gène d'avirulence. Dans la deuxième hypothèse, les deux sources de résistance porteraient le même gène. Les haplotypes observés seraient soit un seul et même allèle, soit plusieurs allèles issus d'introgressions différentes.

En dépit du fait que *Pi33* soit relativement fréquent chez les *Oryza sativa* indica avec une fréquence moyenne autour de 15% et qu'il soit présent chez plusieurs espèces de riz génétiquement et géographiquement très éloignées (*O. barthii* et *O. latifolia*), le gène est absent de certaines espèces et sous-espèces. L'origine ancienne de *Pi33* semble ainsi confirmée, avec une disparition du gène dans certaines espèces du fait de goulots d'étranglement ou d'un coût adaptatif dû à la présence de *Pi33*.

Peu de cas d'origine ancienne de gènes de résistance sont ainsi documentés en utilisant un échantillon aussi large d'espèces cultivées et sauvages. La présence d'allèle(s) de résistance de *Pi33* dans des génomes différents, ouvre la possibilité d'étudier l'évolution du cluster dans plusieurs

espèces, afin de mettre en évidence les mécanismes génétiques qui ont permis le maintien ou la disparition du gène chez certaines d'entre elles.

V.3 Une cartographie physique de Pi33

Pi33 a été cartographié physiquement dans trois accessions de riz et, au total, la cartographie physique chez quatre variétés de riz cultivé et dans sept variétés de riz sauvage seront bientôt disponibles. Le gène est situé sur le chromosome 8 dans un cluster d'analogues de gènes de résistance. Une séquence complète du cluster a été annotée dans deux variétés sensibles (Nipponbare et 93-11) et une séquence partielle est disponible dans la variété résistante IR64. Cette cartographie a mis en évidence des déviations de la colinéarité au niveau du cluster entre ces trois variétés ainsi qu'une histoire évolutive complexe du cluster faisant intervenir plusieurs épisodes de duplication. Le cluster semble donc suivre le modèle classique d'évolution des familles de gènes de résistance, avec une évolution par duplication puis divergence de type « birth and death ».

Les NBS-LRR du cluster apparaissent comme les candidats les plus probables pour *Pi33*. Des complémentations sont en cours pour ces candidats. Cependant, la structure en cluster ne favorise pas le travail de clonage. D'autre part, plusieurs mutants ont été mis en évidence dont la caractérisation pour ces gènes candidats est également en cours.

L'hypothèse selon laquelle deux gènes différents confèrent la résistance à ce locus ne peut pas être rejetée. Le clonage dans plusieurs variétés résistantes autres que IR64 sera à envisager pour vérifier cette hypothèse. Si elle devait se confirmer cela soulignerait encore l'originalité de l'interaction ACE1/Pi33.

V.4 Influence de Pi33 sur les voies de défense

Notre objectif était de mettre en évidence l'activité de nouveaux gènes de défense, spécifiques de la résistance, voire spécifiques de l'interaction *ACE1/Pi33*. En effet, du fait de son originalité l'interaction *ACE1/Pi33* pourrait induire des mécanismes de défense différents de ceux impliqués dans d'autres interactions de type gène-pour-gène, au moins durant les phases précoces suivant la reconnaissance. A partir d'analyses de transcription, nous avons défini un jeu de 34 gènes marqueurs des réactions de défense. Cette étude a confirmé que les gènes impliqués dans les interactions incompatibles étaient également exprimés dans le cadre d'interactions compatibles.

Les résultats préliminaires issus de la publication écrite en collaboration avec les autres membres de l'équipe (Vergne *et al.*, 2007), permettaient d'énoncer deux hypothèses pour expliquer des différences d'expression entre interactions incompatibles : soit l'expression dépend du gène de résistance (ici *Pi33*), soit elle dépend du fond génétique. Pour tester ces hypothèses nous avons comparé l'expression de gènes sur des cinétiques (16h, 24h et 48h) après inoculation dans le cadre de plusieurs interactions incompatibles faisant intervenir différents couples gène R/gène AVR, dont plusieurs porteurs de *Pi33*. A partir du jeu de gènes mis en évidence précédemment sept gènes ont donc été sélectionnés pour être testés dans ces nouvelles conditions de réactions incompatibles. Les résultats obtenus mettent en évidence une forte homologie des réponses de défense dans le cadre des interactions faisant intervenir *Pi33* malgré des fonds génétiques différents. Ainsi, la présence d'un même gène de résistance pourrait avoir une influence plus importante qu'un fond génétique similaire sur la cinétique d'expression des gènes de défense sélectionnés.

V.5 Perspectives à moyen terme : après le clonage

Le clonage de *Pi33* devrait permettre de répondre aux principales questions soulevées au cours de cette thèse :

- *Pi33* correspond-t'il à un gène unique avec un ou plusieurs allèles ou bien à plusieurs gènes situés au même locus conférant la même résistance ? Pour répondre à cette question, cela supposera de cloner *Pi33* à partir de différents fonds génétiques, en particulier dans les variétés TYC, C101LAC, ZYQ8 mais également dans les accessions sauvages dans lesquelles le gène a pu être détecté. Si plusieurs allèles sont clonés, conféreront-ils le même spectre de résistance ou le même niveau de résistance ?
- Qu'est-ce qui fait la spécificité de la reconnaissance ? Il devrait être possible de fabriquer des chimères à partir des différents domaines du gène afin d'identifier quels sont les acides aminés qui confèrent la spécificité. L'analyse des mutants identifiés au cours de cette thèse devrait également permettre de mettre en évidence des acides aminés essentiels à la fonction du gène de résistance.
- Comment *Pi33* interagit avec le métabolite secondaire produit par *Aul*? Quel est le rôle de *Pi33*? L'originalité du gène *Aul* est qu'il code pour une enzyme qui n'est pas sécrétée et qui participerait à la synthèse d'un métabolite secondaire. Ce métabolite secondaire pourrait être un effecteur qui vise les défenses de la plante ou une toxine. *Pi33* pourrait agir comme protection en neutralisant ce métabolite secondaire ou en le détoxifiant.

• Quelle est la place de *Pi33* dans le système de défense de la plante ? Nous avons tenté de mettre en évidence une influence du fond génétique en utilisant des descendants SSD porteurs de *Pi33*. Cependant, ce type de matériel végétal n'est pas idéal pour ce type d'étude. En introduisant *Pi33* dans différents fonds génétiques, et notamment dans des fonds indica et japonica, l'influence de *Pi33* sur le système de défense par rapport à l'influence du fond génétique pourra être comparé de manière plus fiable.

Pour conclure, l'étude du gène de résistance *Pi33* nécessite encore des efforts, notamment techniques pour permettre le clonage, mais les résultats devraient aboutir à un modèle d'interaction gène R/ gène AVR original.

VI Bibliographie

A

- Abe S (2004) Breeding of a Blast Resistant Multiline Variety of Rice, Sasanishiki BL. Japan Agricultural Research Quarterly 38:149-154
- Abramovitch RB, Kim YJ, Chen SR, Dickman MB, Martin GB (2003) Pseudomonas type III effector AvrPtoB induces plant disease susceptibility by inhibition of host programmed cell death. EMBO Journal 22:60-69
- Ade J, DeYoung BJ, Golstein C, Innes RW (2007) Indirect activation of a plant nucleotide binding site-leucine-rich repeat protein by a bacterial protease. Proceedings of the National Academy of Sciences of the United States of America 104:2531-2536
- Agrawal GK, Rakwal R, Jwa N-S, Agrawal VP (2001) Signalling molecules and blast pathogen attack activates rice OsPR1a and OsPR1b genes: A model illustrating components participating during defence/stress response. Plant Physiology and Biochemistry 39:1095-1103
- Agrios GN (1988) Plant pathology, Vol. Academy Press, New York and London
- Ahn S, Anderson JA, Sorrells ME, Tanksley SD (1993) Homoeologous relationships of rice, wheat and maize chromosomes. Molecular and General Genetics 241:483-490
- Albrecht M, Domingues F, Schreiber S, Lengauer T (2003) Structural localization of disease-associated sequence variations in the NACHT and LRR domains of PYPAF1 and NOD2. FEBS Letters 554:520-528
- Arraudeau M (1998) Le riz irrigué, Vol. Maisonneuve et Larose, Paris, France
- Asai T, Tena G, Plotnikova J, Willmann MR, Chiu W-L, Gomez-Gomez L, Boller T, Ausubel FM, Sheen J (2002) MAP kinase signalling cascade in Arabidopsis innate immunity. 415:977-983
- Ashfield T, Ong LE, Nobuta K, Schneider CM, Innes RW (2004) Convergent evolution of disease resistance gene specificity in two flowering plant families. Plant Cell 16:309-318
- Ausubel F (2005) Are innate immune signaling pathways in plants and animals conserved? Nat Immunol 6:973-979
- Azevedo C, Betsuyaku S, Peart J, Takahashi A, Noel L, Sadanandom A, Casais C, Parker J, Shirasu K (2006) Role of SGT1 in resistance protein accumulation in plant immunity. Embo Journal 25:2007-2016

B

- Bai J, Pennill LA, Ning J, Lee SW, Ramalingam J, Webb CA, Zhao B, Sun Q, Nelson JC, Leach JE, Hulbert SH (2002) Diversity in Nucleotide Binding Site-Leucine-Rich Repeat Genes in Cereals. Genome Research 12:1871-1884
- Bakker EG, Toomajian C, Kreitman M, Bergelson J (2006) A genome-wide survey of R gene polymorphisms in Arabidopsis. Plant Cell 18:1803-1818
- Ballini E, Berruyer R, Morel JB, Lebrun MH, Notteghem JL, Tharreau D (2007) Modern elite rice varieties of the 'Green Revolution' have retained a large introgression from wild rice around the *Pi33* rice blast resistance locus. New Phytologist 175:340-350
- Bastiaans L (1991) Ratio between virtual and visual lesion size as a measure to describe reduction in leaf photosynthesis of rice due to leaf blast. Phytopathology 81:611-615
- Baumgarten A, Cannon S, Spangler R, May G (2003) Genome-level evolution of resistance genes in Arabidopsis thaliana. Genetics 165:309-319
- Belkhadir Y, Subramaniam R, Dangl JL (2004) Plant disease resistance protein signaling: NBS-LRR proteins and their partners. Current Opinion in Plant Biology 7:391-399
- Bennetzen JL (2000) Comparative sequence analysis of plant nuclear genomes: Microcolinearity and its many exceptions. Plant Cell 12:1021-1029
- Bent AF, Mackey D (2007) Elicitors, Effectors, and R Genes: The New Paradigm and a Lifetime Supply of Questions. Annual Review of Phytopathology 45:399-436
- Berruyer R (2003) Etude des interactions riz-Magnaporthe grisea. Caractérisation et clonage du gène de résistance *Pi33*. Ecole Nationale Supérieure d'Agronomie De Montpellier
- Berruyer R, Adreit H, Milazzo J, Gaillard S, Berger A, Dioh W, Lebrun MH, Tharreau D (2003) Identification and fine mapping of *Pi33*, the rice resistance gene corresponding to the *Magnaporthe grisea* avirulence gene *ACE1*. Theoretical and Applied Genetics 107:1139-1147
- Beynon J (2007) The Pathogenicity effectors of Hyaloperonospora parasitica XIIIème MPMI, Sorrento, Italie, p 60
- Bhat RA, Miklis M, Schmelzer E, Schulze-Lefert P, Panstruga R (2005) Recruitment and interaction dynamics of plant penetration resistance components in a plasma membrane microdomain. Proceedings of the National Academy of Sciences of the United States of America 102:3135-3140
- Bieri S, Mauch S, Shen Q-H, Peart J, Devoto A, Casais C, Ceron F, Schulze S, Steinbiss H-H, Shirasu K, Schulze-Lefert P (2004) RAR1 Positively Controls Steady State Levels of Barley

- MLA Resistance Proteins and Enables Sufficient MLA6 Accumulation for Effective Resistance. Plant Cell 16:3480-3495
- Bisgrove SR, Simonich MT, Smith NM, Sattler A, Innes RW (1994) A disease resistance gene in Arabidopsis with specificity for two different pathogen avirulence genes. Plant Cell 6:927–933
- Bittner-Eddy PD, Crute IR, Holub EB, Beynon JL (2000) RPP13 is a simple locus in Arabidopsis thaliana for alleles that specify downy mildew resistance to different avirulence determinants in *Peronospora parasitica*. Plant Journal 21:177-188
- Bohnert HU, Fudal I, Dioh W, Tharreau D, Notteghem JL, Lebrun MH (2004) A putative polyketide synthase/peptide synthetase from *Magnaporthe grisea* signals pathogen attack to resistant rice. The Plant Cell 16:2499-2513
- Bonman JM (1992) Durable resistance to rice blast disease environmental influences. Euphytica 63:115-123
- Bossolini E, Krattinger SG, Keller B (2006) Development of simple sequence repeat markers specific for the Lr34 resistance region of wheat using sequence information from rice and *Aegilops tauschii*. Theoretical and Applied Genetics 113:1049-1062
- Brar DS, Khush GS (1997) Alien introgression in rice. Plant Molecular Biology 35:35-47
- Brueggeman R, Rostoks N, Kudrna D, Kilian A, Han F, Chen J, Druka A, Steffenson B, Kleinhofs A (2002) The barley stem rust-resistance gene *Rpg1* is a novel disease-resistance gene with homology to receptor kinases. Proceedings of the National Academy of Sciences of the United States of America 99:9328-9333
- Bryan GT, Wu K-S, Farrall L, Jia Y, Hershey HP, McAdams SA, Faulk KN, Donaldson GK, Tarchini R, Valent B (2000) A Single Amino Acid Difference Distinguishes Resistant and Susceptible Alleles of the Rice Blast Resistance Gene Pi-ta. Plant Cell 12:2033-2046
- Burch-Smith TM, Schiff M, Caplan JL, Tsao J, Czymmek K, Dinesh-Kumar SP (2007) A novel role for the TIR domain in association with pathogen-derived elicitors. Plos Biology 5:501-514
- Buschges R, Hollricher K, Panstruga R, Simons G, Wolter M, Frijters A, vanDaelen R, vanderLee T, Diergaarde P, Groenendijk J, Topsch S, Vos P, Salamini F, Schulze-Lefert P (1997) The barley *mlo* gene: A novel control element of plant pathogen resistance. Cell 88:695-705

- Cheong YH, Moon BC, Kim JK, Kim CY, Kim MC, Kim IH, Park CY, Kim JC, Park BO, Koo SC, Yoon HW, Chung WS, Lim CO, Lee SY, Cho MJ (2003) BWMK1, a Rice Mitogen-Activated Protein Kinase, locates in the nucleus and mediates Pathogenesis-Related gene expression by activation of a transcription factor. Plant Physiology 132:1961-1972
- Chern M, Canlas PE, Fitzgerald HA, Ronald PC (2005) Rice NRR, a negative regulator of disease resistance, interacts with Arabidopsis NPR1 and rice NH1. The Plant Journal 438:623-635
- Chern MS, Fitzgerald HA, Canlas PE, Navarre DA, Ronald PC (2005) Overexpression of a rice NPR1 homolog leads to constitutive activation of defense response and hypersensitivity to light. Molecular Plant-Microbe Interactions 18:511-520
- Chern M-S, Fitzgerald HA, Yadav RC, Canlas PE, Dong X, Ronald PC (2001) Evidence for a disease-resistance pathway in rice similar to the NPR1-mediated signaling pathway in Arabidopsis. The Plant Journal 27:101-113
- Chu Z, Fu B, Yang H, Xu C, Li Z, Sanchez A, Park Y, Bennetzen J, Zhang Q, Wang S (2006) Targeting xa13, a recessive gene for bacterial blight resistance in rice. Theoretical and Applied Genetics 112:455-461
- Chu Z, Ouyang Y, Zhang J, Yang H, Wang S (2004) Genome-wide analysis of defenseresponsive genes in bacterial blight resistance of rice mediated by the recessive R gene xa13. Molecular Genetics and Genomics 2719:111-120
- Cloutier S, McCallum B, Loutre C, Banks T, Wicker T, Feuillet C, Keller B, Jordan M (2007) Leaf rust resistance gene *Lr1*, isolated from bread wheat (*Triticum aestivum L.*) is a member of the large psr567 gene family. Plant Molecular Biology 65:93-106
- Collemare J, Pianfetti M, Vial M, Houlle A, Morin D, Camborde L, Gagey M, Lebrun MH, Bohnert H (2007) *Magnaporthe grisea* avirulence gene *ACE1* belongs to an infection specific gene cluster involved in secondary metabolism. submitted
- Couch BC, Fudal I, Lebrun MH, Tharreau D, Valent B, Pham van K, Notteghem JL, Kohn LM (2005) Origins of host-specific populations of the blast pathogen *Magnaporthe oryzae* in crop domestication with subsequent expansion of pandemic clones on rice and weeds of rice. Genetics 170:613-630

\mathbf{D}

- Dai L, Liu X, Xiao Y, Wang G (2007) Recent advances in cloning and characterization of disease resistance genes in rice. Journal of Integrative Plant Biology 49:112-119
- Dangl JL, Dietrich RA, Richberg MH (1996) Death don't have no mercy: cell death programs in Plant-Microbe interactions. Plant Cell 8:1793-1807

- Dangl JL, Jones JDG (2001) Plant pathogens and integrated defence responses to infection. Nature 411:826-833
- Dardick C, Ronald P (2006) Plant and animal pathogen recognition receptors signal through non-RD kinases. Plos Pathogens 2:14-28
- Day PR (1974) Genetics of host-parasite interaction, Vol. Freeman, W.H., San Fransico, USA
- Dean RA, Talbot NJ, Ebbole DJ, Farman ML, Mitchell TK, Orbach MJ, Thon M, Kulkarni R, Xu JR, Pan H, Read ND, Lee YH, Carbone I, Brown D, Oh YY, Donofrio N, Jeong JS, Soanes DM, Djonovic S, Kolomiets E, Rehmeyer C, Li W, Harding M, Kim S, Lebrun MH, Bohnert H, Coughlan S, Butler J, Calvo S, Ma LJ, Nicol R, Purcell S, Nusbaum C, Galagan JE, Birren BW (2005) The genome sequence of the rice blast fungus *Magnaporthe grisea*. Nature 43412:980-986
- Debener T, Lehnackers H, Arnold M, Dangl JL (1991) Identification and molecular mapping of a single *Arabidopsis thaliana* locus determining resistance to a phytopathogenic *Pseudomonas syringae* isolate. Plant Journal 1:289-302
- Delledonne M, Xia Y, Dixon RA, Lamb C (1998) Nitric oxide functions as a signal in plant disease resistance. Nature 394:585-588
- Deslandes L, Olivier J, Peeters N, Feng DX, Khounlotham M, Boucher C, Somssich I, Genin S, Marco Y (2003) Physical interaction between RRS1-R, a protein conferring resistance to bacterial wilt, and PopP2, a type III effector targeted to the plant nucleus. Proceedings of the National Academy of Sciences 100:8024-8029
- Deslandes L, Olivier J, Theulieres F, Hirsch J, Feng DX, Bittner-Eddy P, Beynon J, Marco Y (2002) Resistance to Ralstonia solanacearum in Arabidopsis thaliana is conferred by the recessive RRS1-R gene, a member of a novel family of resistance genes. Proceedings of the National Academy of Sciences 99:2404-2409
- Devos KM (2005) Updating the 'Crop Circle'. Current Opinion in Plant Biology 8:155-162
- Devoto A, Turner JG (2003) Regulation of jasmonate-mediated plant responses in Arabidopsis. Annals of Botany 92:329-337
- Dievart A, Clark SE (2003) Using mutant alleles to determine the structure and function of leucine-rich repeat receptor-like kinases. Current Opinion in Plant Biology 6:507-516
- Dievart A, Clark SE (2004) LRR-containing receptors regulating plant development and defense. Development 131:251-261
- Dinesh-Kumar SP, Baker BJ (2000) Alternatively spliced N resistance gene transcripts: Their possible role in tobacco mosaic virus resistance. Proceedings of the National Academy of Sciences of the United States of America 97:1908-1913

- Dioh W, Tharreau D, Notteghem JL, Orbach MJ, Lebrun MH (2000) Mapping of avirulence genes in the rice blast fungus, *Magnaporthe grisea*, with RFLP and RAPD markers. Molecular plant-microbe interactions 139:217-227
- Dixon MS, Jones DA, Keddie JS, Thomas CM, Harrison K, Jones JDG (1996) The tomato *Cf-2* disease resistance locus comprises two functional genes encoding leucine-rich repeat proteins. Cell 84:451-459
- Dodds PN, Lawrence GJ, Catanzariti AM, Teh T, Wang CIA, Ayliffe MA, Kobe B, Ellis JG (2006) Direct protein interaction underlies gene-for-gene specificity and coevolution of the flax resistance genes and flax rust avirulence genes. Proceedings of the National Academy of Sciences of the United States of America 103:8888-8893
- Dodds PN, Lawrence GJ, Catanzariti A-M, Ayliffe MA, Ellis JG (2004) The *Melampsora lini* AvrL567 avirulence genes are expressed in haustoria and their products are recognized inside plant cells. Plant Cell 16:755-768
- Dodds PN, Lawrence GJ, Ellis JG (2001) Contrasting modes of evolution acting on the complex N locus for rust resistance in flax. Plant Journal 27:439-453
- Droc G, Ruiz M, Larmande P, Pereira A, Piffanelli P, Morel JB, Dievart A, Courtois B, Guiderdoni E, Perin C (2006) OryGenesDB, a database for rice reverse genetics. Nucleic Acids Research 34:D736-740
- Durner J, Shah J, Klessig DF (1997) Salicylic acid and disease resistance in plants. Trends in Plant Science 2:266-274

E-F

- Eulgem T, Rushton PJ, Robatzek S, Somssich IE (2000) The WRKY superfamily of plant transcription factors. Trends in Plant Science 5:199-206
- Eulgem T, Weigman VJ, Chang HS, McDowell JM, Holub EB, Glazebrook J, Zhu T, Dangl JL (2004) Gene expression signatures from three genetically separable resistance gene signaling pathways for downy mildew resistance. Plant Physiology 135:1129-1144
- Ezuka A (1979) Breeding for and genetics of blast resistance in Japan. In: Proceeding of the rice blast workshop. IRRI, Los Banos, Philippines, p 27-48
- Farman ML, Leong SA (1998) Chromosome Walking to the AVR1-CO39 Avirulence Gene of Magnaporthe grisea: Discrepancy Between the Physical and Genetic Maps. Genetics 150:1049-1058

- Feltus FA, Wan J, Schulze SR, Estill JC, Jiang N, Paterson AH (2004) An SNP resource for rice genetics and breeding based on subspecies Indica and Japonica genome alignments. Genome Research 14:1812-1819
- Feng Q, Zhang YJ, Hao P, Wang SY, Fu G, Huang YC, Li Y, Zhu JJ, Liu YL, Hu X, Jia PX, Zhang Y, Zhao Q, Ying K, Yu SL, Tang YS, Weng QJ, Zhang L, Lu Y, Mu J, Lu YQ, Zhang LS, Yu Z, Fan DL, Liu XH, Lu TT, Li C, Wu YR, Sun TG, Lei HY, Li T, Hu H, Guan JP, Wu M, Zhang RQ, Zhou B, Chen ZH, Chen L, Jin ZQ, Wang R, Yin HF, Cai Z, Ren SX, Lv G, Gu WY, Zhu GF, Tu YF, Jia J, Chen J, Kang H, Chen XY, Shao CY, Sun Y, Hu QP, Zhang XL, Zhang W, Wang LJ, Ding CW, Sheng HH, Gu JL, Chen ST, Ni L, Zhu FH, Chen W, Lan LF, Lai Y, Cheng ZK, Gu MH, Jiang JM, Li JY, Hong GF, Xue YB, Han B (2002) Sequence and analysis of rice chromosome 4. Nature 420:316-320
- Feuillet C, Keller B (1999) High gene density is conserved at syntenic loci of small and large grass genomes. Proceedings of the National Academy of Sciences of the United States of America 96:8265-8270
- Feuillet C, Schachermayr G, Keller B (1997) Molecular cloning of a new receptor-like kinase gene encoded at the Lr10 disease resistance locus of wheat. Plant Journal 11:45-52
- Feuillet C, Travella S, Stein N, Albar L, Nublat A, Keller B (2003) Map-based isolation of the leaf rust disease resistance gene *Lr10* from the hexaploid wheat (*Triticum aestivum L.*) genome. Proceedings of the National Academy of Sciences of the United States of America 100: 15253-15258
- Flor HH (1971) Current status of the gene-for-gene concept. Annual Review of Phytopathology 9:275-296
- Fudal I, Collemare J, Bohnert HU, Melayah D, Lebrun MH (2007) Expression of *Magnaporthe* grisea avirulence gene *ACE1* is connected to the initiation of appressorium-mediated penetration. Eukaryotic Cell 6:546-554

G

- Gabriel DW, Rolfe BG (1990) Working Models of Specific Recognition in Plant-Microbe Interactions. Annual Review of Phytopathology 28:365-391
- Gabriels S, Vossen JH, Ekengren SK, van Ooijen G, Abd-El-Haliem AM, van den Berg GCM, Rainey DY, Martin GB, Takken FLW, de Wit P, Joosten M (2007) An NB-LRR protein required for HR signalling mediated by both extra- and intracellular resistance proteins. Plant Journal 50:14-28

- Garris A, Tai T, Coburn J, Kresovich S, McCouch SR (2005) Genetic structure and diversity in Oryza sativa L. Genetics 169:1631-1638
- Ge S, Sang T, Lu BR, Hong DY (1999) Phylogeny of rice genomes with emphasis on origins of allotetraploid species. Proceedings of the National Academy of Sciences of the United States of America 96:14400-14405
- Gebhardt C, Valkonen JPT (2001) Organization of genes controlling disease resistance in the potato genome. Annual Review of Phytopathology 39:79-102
- Genome SPR (2005) The map-based sequence of the rice genome. Nature 436:793-800
- Glaszmann JC (1987) Isozymes and classification of asian rice varieties. Theoretical and Applied Genetics 74:21-30
- Glazebrook J (2005) Contrasting mechanisms of defense against biotrophic and necrotrophic pathogens. Annual Review of Phytopathology 43:205-227
- Goff SA, Ricke D, Lan TH, Presting G, Wang R, Dunn M, Glazebrook J, Sessions A, Oeller P, Varma H, Hadley D, Hutchison D, Martin C, Katagiri F, Lange BM, Moughamer T, Xia Y, Budworth P, Zhong J, Miguel T, Paszkowski U, Zhang S, Colbert M, Sun WL, Chen L, Cooper B, Park S, Wood TC, Mao L, Quail P, Wing R, Dean R, Yu Y, Zharkikh A, Shen R, Sahasrabudhe S, Thomas A, Cannings R, Gutin A, Pruss D, Reid J, Tavtigian S, Mitchell J, Eldredge G, Scholl T, Miller RM, Bhatnagar S, Adey N, Rubano T, Tusneem N, Robinson R, Feldhaus J, Macalma T, Oliphant A, Briggs S (2002) A draft sequence of the rice genome (*Oryza sativa* L. ssp. *japonica*). Science 296: 92–100
- Gomulkiewicz R, Thompson JN, Holt RD, Nuismer SL, M.E. H (2000) Hot spots, cold spots, and the geographic mosaic theory of coevolution. Am. Nature 156:156-174
- Goto K (1965) Estimating losses from rice blast in Japan. In: In: The rice blast disease. Proceedings of a symposium at IRRI, July,1963, Baltimore, Maryland, Johns Hopkins Press. pp.195-202
- Gout L, Fudal I, Kuhn ML, Blaise F, Eckert M, Cattolico L, Balesdent MH, Rouxel T (2006) Lost in the middle of nowhere: the *AvrLm1* avirulence gene of the *Dothideomycete Leptosphaeria* maculans. Molecular Microbiology 60:67-80
- Graham MA, Marek LF, Shoemaker RC (2002) PCR sampling of disease resistance-like sequences from a disease resistance gene cluster in soybean. Theoretical and Applied Genetics 105:50-57
- Grant M, Lamb C (2006) Systemic immunity. Current Opinion in Plant Biology 9:414-420

- Grant MR, Godiard L, Straube E, Ashfield T, Lewald J, Sattler A, Innes RW, Dangl JL (1995) Structure of the arabidopsis *Rpm1* gene enabling dual-specificity disease resistance. Science 269:843-846
- Grant MR, McDowell JM, Sharpe AG, Zabala MDT, Lydiate DJ, Dangl JL (1998) Independent deletions of a pathogen-resistance gene in *Brassica* and *Arabidopsis*. Proceedings of the National Academy of Sciences of the United States of America 95:15843-15848
- Greenberg JT, Yao N (2004) The role and regulation of programmed cell death in plant-pathogen interactions. Cellular Microbiology 6:201-211
- Guiderdoni E (1992) Progrès récents des biotechnologies du riz. Agronomie Tropical 46:137-153
- Guiderdoni E, Courtois B, Huang N, McCouch SR, Ghesquière A, Lorieux M, Filloux D, Albar L, Ahmadi N, Tharreau D, Notteghem JL (2006) The IR64-Azucena mapping population. In: CGIAR (ed) France and the CGIAR: delivering scientific results for agricultural development., Washington, USA, p 34-38
- Gundlach H, Muller M, Kutchan T, Zenk M (1992) Jasmonic Acid is a Signal Transducer in Elicitor-Induced Plant Cell Cultures. Proceedings of the National Academy of Sciences 89:2389-2393

\mathbf{H}

- Hahn M, Jungling S, Knogge W (1993) Cultivar-Specific Elicitation of Barley Defense Reactions by the Phytotoxic Peptide Nip1 from Rhynchosporium-Secalis. Molecular Plant-Microbe Interactions 6:745-754
- Halterman DA, Wise RP (2004) A single-amino acid substitution in the sixth leucine-rich repeat of barley MLA6 and MLA13 alleviates dependence on RAR1 for disease resistance signaling. Plant Journal 38:215-226
- Hamer JE, Howard RJ, Chumley FG, Valent B (1988) A mechanism for surface attachment in spores of a plant pathogenic fungus. Science 239:288-290
- Hammond-Kosack KE, Jones JDG (1997) Plant disease resistance genes. Annual Review of Plant Physiology and Plant Molecular Biology 48:575-607
- Han B, Xue Y (2003) Genome-wide intraspecific DNA-sequence variations in rice. Current Opinion in Plant Biology 6:134-138
- Hayasaka T, Fujii H, Namai T (2005) Silicon content in rice seedlings to protect rice blast fungus at the nursery stage. Journal of General Plant Pathology 71:169-173

- He C, Fong SH, Yang D, Wang GL (1999) BWMK1, a novel MAP kinase induced by fungal infection and mechanical wounding in rice. Molecular Plant-Microbe Interactions 12:1064-1073
- Heath MIC (2000) Hypersensitive response-related death. Plant Molecular Biology 44:321-334
- Hebert TT (1971) The perfect stage of Pyricularia grisea. Phytopathology 61:83-87
- Hofius D, Tsitsigiannis DI, Jones JDG, Mundya J (2007) Inducible cell death in plant immunity. Seminars in Cancer Biology 17:166-187
- Holland JB (2004) Breeding: Incorporation of Exotic Germplasm, Vol
- Holub EB (2001) The arms race is ancient history in Arabidopsis, the wildflower. Nature Reviews Genetics 2:516-527
- Hoorn RALvd, Wit PJGMd, Joosten MHAJ (2002) Balancing selection favors guarding resistance proteins. Trends in Plant Science 7:67-71
- Howard RJ, Ferrari MA (1989) Role of melanin in appressorium function. Experimental Mycology 13:403-418
- Hu XY, Neill SJ, Cai WM (2003) NO-mediated hypersensitive responses of rice suspension cultures induced by incompatible elicitor. Chinese Science Bulletin 48:358-363
- Huang Z, Han Y, Howell SH (2001) Effects of movement protein mutations on the formation of tubules in plant protoplasts expressing a fusion between the green fluorescent protein and Cauliflower mosaic virus movement protein. Molecular Plant-Microbe Interactions 14:1026-1031
- Hubert DA, Tornero P, Belkhadir Y, Krishna P, Takahashi A, Shirasu K, Dangl JL (2003) Cytosolic HSP90 associates with and modulates the Arabidopsis RPM1 disease resistance protein. Embo Journal 22:5679-5689
- Hudson RR, Kreitman M, Aguade M (1987) A test of neutral molecular evolution based on nucleotide data. Genetics 116:153-159
- Hulbert SH, Webb CA, Smith SM, Sun Q (2001) Resistance gene complexes: Evolution and utilization. Annual Review of Phytopathology 39:285-312
- Hwang CF, Bhakta AV, Truesdell GM, Pudlo WM, Williamson VM (2000) Evidence for a role of the N terminus and leucine-rich repeat region of the *Mi* gene product in regulation of localized cell death. Plant Cell 12:1319-1329

I-J

Ikeda A, Ueguchi-Tanaka M, Sonoda Y, Kitano H, Koshioka M, Futsuhara Y, Matsuoka M, Yamaguchi J (2001) slender rice, a constitutive gibberellin response mutant, is caused by a

- null mutation of the *SLR1* gene, an ortholog of the height-regulating gene GAI/RGA/RHT/D8. Plant Cell 13:999-1010
- Ikeda R, Vaughan D (1991) The distribution of resistance genes to the brown planthopper in rice germplasm. Rice Genetics Newsletter 8:125-127
- Isidore E, Scherrer B, Chalhoub B, Feuillet C, Keller B (2005) Ancient haplotypes resulting from extensive molecular rearrangements in the wheat A genome have been maintained in species of three different ploidy levels. Genome Research 15:526-536
- Iyer AS, McCouch SR (2004) The Rice Bacterial Blight Resistance Gene xa5 Encodes a Novel Form of Disease Resistance. Molecular Plant-Microbe Interactions 17:1348-1354
- Jalali BL, Bhargava S, Kamble A (2006) Signal Transduction and Transcriptional Regulation of Plant Defence Responses. Journal of Phytopathology 154:65-74
- Jantasuriyarat C, Gowda M, Haller K, Hatfield J, Lu G, Stahlberg E, Zhou B, Li H, Kim H, Yu Y, Dean RA, Wing RA, Soderlund C, Wang GL (2005) Large-scale identification of expressed sequence tags involved in rice and rice blast fungus interaction. Plant Physiology 13825:105-115
- Jia Y, McAdams SA, Bryan GT, Hershey HP, Valent B (2000) Direct interaction of resistance gene and avirulence gene products confers rice blast resistance. EMBO Journal 19:4004-4014
- Jiang H, Wang C, Ping L, Tian D, Yang S (2007) Pattern of LRR nucleotide variation in plant resistance genes. Plant Science 173:253-261
- Johnson LN, Noble MEM, Owen DJ (1996) Active and inactive protein kinases: Structural basis for regulation. Cell 85:149-158
- Jones JDG, Dangl JL (2006) The plant immune system. 444:323-329
- Joosten MHAJ, Cozijnsen TJ, De Wit PJGM (1994) Host resistance to a fungal tomato pathogen lost by a single base-pair change in an avirulence gene. Nature 367:384-386
- Jørgensen H, Jensen HP (1983) Powdery mildew resistance gene *Ml-a8* (Reglh8) in northwest European spring barley varieties. Barley Genetics Newsletter 13:51-53
- Jorgensen JH (1987) Durability of barley powdery mildew resistance genes in Denmark 1963-1980. In: Durable Resistance in Crops. Proc. NATO Symp., Italy, p 397-399
- Jung Y-H, Rakwal R, Agrawal GK, Shibato J, Kim J-A, Lee M-O, Choi P-K, Jung S-H, Kim SH, Koh H-J, Yonekura M, Iwahashi H, Jwa N-S (2006) Differential Expression of Defense/Stress-Related Marker Proteins in Leaves of a Unique Rice Blast Lesion Mimic Mutant (blm). Journal of Proteome Research 5:2586-2598

Jwa N, Agrawal G, Tamogami S, Yonekura M, Han O, Iwahashi H, Rakwal R (2006) Role of defense/stress-related marker genes, proteins and secondary metabolites in defining rice self-defense mechanisms. Plant Physiology and Biochemistry 44:261-273

K

- Kahn RP, Libby JL (1958) The effect of environmental factors and plant age on the infection of rice by the blast fungus, Piricularia oryzae. Phytopathology 48:25-30
- Kajava AV (1998) Structural diversity of leucine-rich repeat proteins. Journal of Molecular Biology 277:519-527
- Kang S, Sweigard JA, Valent B (1995) The PWL host specificity gene family in the blast fungus Magnaporthe grisea. Molecular Plant-Microbe Interactions 8:939-948
- Katagiri S, Wu JZ, Ito YK, Karasawa W, Shibata M, Kanamori H, Katayose Y, Namiki N, Matsumoto T, Sasaki T (2004) End Sequencing and chromosomal in silico mapping of BAC clones derived from an indica rice cultivar, Kasalath. Breeding Science 54:273-279
- Kato H (1974) Epidemiological aspect of sporulation by blast fungus on rice plants. JARQ 8:19-22
- Katsube T, Koshimizu Y (1970) Influence of blast disease on harvests in Rice plant. 1. Effects of panicle infection on yield components and quality. Bulletin of Tohoku National Agriculture Experimental Station 39:55-96
- Kawasaki T, Henmi K, Ono E, Hatakeyama S, Iwano M, Satoh H, Shimamoto K (1999) The small GTP-binding protein Rac is a regulator of cell death in plants. Proceedings of the National Academy of Sciences 96:10922-10926
- Keen NT (1982) Specific recognition in gene-for-gene hostparasite systems. Advance in Plant Pathology 1:35-82
- Keen NT, Tamaki S, Kobayashi D, Gerhold D, Stayton M, Shen H, Gold S, Lorang J, Thardal-Christensen H, Dahlbeck D, Staskawicz B (1990) Bacteria expressing avirulence gene D produce a specific elicitor of the soybean hypersensitive reaction. Molecular Plant-Microbe Interactions 3:112-121
- Kellogg EA, Bennetzen JL (2004) The evolution of nuclear genome structure in seed plants. American Journal of Botany 91:1709-1725
- Khush GS (1989) Multiple disease and insect resistance for increased yield stability in rice. In: Progress in irrigated rice research. International Rice Research Institute, Manila, Philippines, p 79-92

- Kim CY, Lee SH, Park HC, Bae CG, Cheong YH, Choi YJ, Han C, Lee SY, Lim CO, Cho MJ (2000) Identification of rice blast fungal elicitor-responsive genes by differential display analysis. Molecular plant-microbe interactions 1328:470-474
- Kim H, Lee S, Cho J, Lee S, An G, Jwa N, Kim B, Cho YG, Han S, Bhoo S, Lee Y, Hong Y, Yi G, Park D, Hahn T, Jeon J (2005) Characterization of Rice Mutants with Enhanced Susceptibility to Rice blast. Molecules and Cells 20:385-391
- Kim MC, Panstruga R, Elliott C, Muller J, Devoto A, Yoon HW, Park HC, Cho MJ, Schulze-Lefert P (2002) Calmodulin interacts with MLO protein to regulate defence against mildew in barley. Nature 416:447-450
- Kim MG, da Cunha L, McFall AJ, Belkhadir Y, DebRoy S, Dangl JL, Mackey D (2005) Two Pseudomonas syringae Type III Effectors Inhibit RIN4-Regulated Basal Defense in Arabidopsis. Cell 121:749-759
- Kim S, Ahn IP, Lee YH (2001) Analysis of genes expressed during rice-Magnaporthe grisea interactions. Molecular plant-microbe interactions 1432:1340-1346
- Kim ST, Kim SG, Hwang du H, Kang SY, Kim HJ, Lee BH, Lee JJ, Kang KY (2004) Proteomic analysis of pathogen-responsive proteins from rice leaves induced by rice blast fungus, *Magnaporthe grisea*. Proteomics 431:3569-3578
- Kim YJ, Lin N-C, Martin GB (2002) Two Distinct Pseudomonas Effector Proteins Interact with the Pto Kinase and Activate Plant Immunity. Cell 109:589-598
- Kiyosawa S (1989) Breakdown of blast resistance in rice in relation to general strategies of resistance gene deployment to prolong effectiveness of disease resistance in plants. In: Leonard KJ, Fry WE (eds) Plant Disease Epidemiology 2. Genetics, Resistance and Management, Vol 2. McGraw-Hill Publishing Company, New-York, p 283
- Klessig DF, Malamy J (1994) The salicylic acid signal in plants. Plant Molecular Biology 26:1439-1458
- Kobe B, Deisenhofer J (1994) The Leucine-Rich Repeat a versatile binding motif. Trends in Biochemical Sciences 19:415-421
- Kobe B, Deisenhofer J (1995) A structural basis of the interactions between Leucine-Rich Repeats and protein ligands. Nature 374:183-186
- Kottapalli KR, Kottapalli P, Agrawal GK, Kikuchi S, Rakwal R (2007) Recessive bacterial leaf blight resistance in rice: Complexity, challenges and strategy. Biochemical and Biophysical Research Communications 355:295-301

- Kozaka T (1965) Control of rice blast by cultivation practices in Japan. In: IRRI (ed) The rice blast disease. Proceedings of a symposium at IRRI, July, 1963. Johns Hopkins Press, Baltimore, Maryland, USA, p 421-438
- Kranz HD, Denekamp M, Greco R, Jin H, Leyva A, Meissner RC, Petroni K, Urzainqui A, Bevan M, Martin C, Smeekens S, Tonelli C, Paz-Ares J, Weisshaar B (1998) Towards functional characterisation of the members of the R2R3-MYB gene family from Arabidopsis thaliana. The Plant Journal 16:263-276
- Kruijt M, Brandwagt BF, de Wit PJGM (2004) Rearrangements in the *Cf-9* disease resistance gene cluster of wild tomato have resulted in three genes that mediate *Avr9* responsiveness. Genetics 168:1655-1663
- Kuang H, Ochoa OE, Nevo E, Michelmore RW (2006) The disease resistance gene *Dm3* is infrequent in natural populations of *Lactuca serriola* due to deletions and frequent gene conversions at the *RGC2* locus. The Plant Journal 47:38-48
- Kuang H, Woo S-S, Meyers BC, Nevo E, Michelmore RW (2004) Multiple genetic processes result in heterogeneous rates of evolution within the major cluster disease resistance genes in lettuce. Plant Cell 16:2870-2894
- Kumar A, Bennetzen JL (1999) Plant Retrotransposons. Annual Review of Genetics 33:479-532

L

- Lauge R, De Wit PJ (1998) Fungal avirulence genes: structure and possible functions. Fungal Genetics and Biology 24:285-297
- Lawrence GJ, Finnegan EJ, Ayliffe MA, Ellis JG (1995) The *L6* gene for flax rust resistance is related to the Arabidopsis bacterial resistance gene *RPS2* and the tobacco viral resistance gene *N*. Plant Cell 7:1195-1206
- Le HQ, Gaillard S, Brasileiro AC, Droc G, Severac D, Aknin C, Sabau X, Guiderdoni E, Périn C (2007) ArrayTools, a user-friendly two colors microarray analysis software for differential screening. submitted
- Lee MW, Qi M, Yang Y (2001) A novel jasmonic acid-inducible rice *myb* gene associates with fungal infection and host cell death. Molecular Plant-Microbe Interactions 14:527-535
- Leister D (2004) Tandem and segmental gene duplication and recombination in the evolution of plant disease resistance genes. Trends in Genetics 20:116-122
- Leister RT, Dahlbeck D, Day B, Li Y, Chesnokova O, Staskawicz BJ (2005) Molecular genetic evidence for the role of SGT1 in the intramolecular complementation of Bs2 protein activity in *Nicotiana benthamiana*. Plant Cell 17:1268-1278

- Li CJ, Yang SH, Wu L, Wan JM (2006) The inductive activation of the promoter of *Pib* gene. Yi Chuan 28:689-694
- Li Q, Chen F, Sun L, Zhang Z, Yang Y, He Z (2006) Expression profiling of rice genes in early defense responses to blast and bacterial blight pathogens using cDNA microarray. Physiological and Molecular Plant Pathology 68:51-60
- Li Z-K, Sanchez A, Angeles E, Singh S, Domingo J, Huang N, Khush GS (2001) Are the Dominant and Recessive Plant Disease Resistance Genes Similar?: A Case Study of Rice R Genes and *Xanthomonas orygae* pv. oryzae Races. Genetics 159:757-765
- Liu JJ, Ekramoddoullah AKM (2004) Isolation, genetic variation and expression of TIR-NBS-LRR resistance gene analogs from western white pine (Pinus monticola Dougl. ex. D. Don.). Molecular Genetics and Genomics 270:432-441
- Liu J-J, Ekramoddoullah AKM (2007) The CC-NBS-LRR Subfamily in *Pinus monticola*: targeted identification, gene expression, and genetic linkage with resistance to *Cronartium ribicola*. Phytopathology 97:728-736
- Liu X, Lin F, Wang L, Pan Q (2007) The in silico map-based cloning of *Pi36*, a rice CC-NBS-LRR gene which confers race-specific resistance to the blast fungu. Genetics 176:2541-2549
- Londo JP, Chiang YC, Hung KH, Chiang TY, Schaal BA (2006) Phylogeography of Asian wild rice, Oryza rufipogon, reveals multiple independent domestications of cultivated rice, Oryza sativa. Proceedings of the National Academy of Sciences of the United States of America 103:9578-9583
- Lopez-Gerena J (2006) Mapping QTL controlling durable resistance to rice blast in the cultivar Oryzica Llanos 5. Kansas state university
- Lu BR (1999) Taxonomy of the genus *Oryza* (Poaceae): historical perspective and current status. International Rice Research Notes 24:4-8
- Lu G, Jantasuriyarat C, Zhou B, Wang GL (2004) Isolation and characterization of novel defense response genes involved in compatible and incompatible interactions between rice and *Magnaporthe grisea*. Theoretical and Applied Genetics 108:525-534
- Luck JE, Lawrence GJ, Dodds PN, Shepherd KW, Ellis JG (2000) Regions outside of the leucine-rich repeats of flax rust resistance proteins play a role in specificity determination. Plant Cell 12:1367-1377
- Luderer R, Rivas S, Nurnberger T, Mattei B, Van den Hooven HW, Van der Hoorn RAL, Romeis T, Wehrfritz JM, Blume B, Nennstiel D, Zuidema D, Vervoort J, De Lorenzo G, Jones JDG, De Wit P, Joosten M (2001) No evidence for binding between resistance gene

- product Cf-9 of tomato and avirulence gene product AVR9 of *Cladosporium fulvum*. Molecular Plant-Microbe Interactions 14:867-876
- Luderer R, Takken FLW, Wit PJGMd, Joosten MHAJ (2002) Cladosporium fulvum overcomes Cf-2-mediated resistance by producing truncated AVR2 elicitor proteins. Molecular Microbiology 45:875-884

M

- Mackey D, Belkhadir Y, Alonso JM, Ecker JR, Dangl JL (2003) Arabidopsis RIN4 is a target of the type III virulence effector AvrRpt2 and modulates RPS2-mediated resistance. Cell 112:379-389
- Mackey D, Holt BF, Wiig A, Dangl JL (2002) RIN4 interacts with *Pseudomonas syringae* type III effector molecules and is required for RPM1-mediated resistance in Arabidopsis. Cell 108:743-754
- Mackill DJ, Bonman JM (1992) Inheritance of blast resistance in near-isogenic lines of rice. Phytopathology 82:746-749
- Martin G (2007) Suppression or immunity-associated host cell death by Pseudomonas type III effector AvrPtoB XIIIéme MPMI, Sorrento, Italie
- Martin GB, Bogdanove AJ, Sessa G (2003) Understanding the functions of plant disease resistance proteins. Annual Review of Plant Biology 54:23-61
- Martin GB, Brommonschenkel SH, Chunwongse J, Frary A, Ganal MW, Spivey R, Wu TY, Earle ED, Tanksley SD (1993) Map-based cloning of a protein-kinase gene conferring disease resistance in tomato. Science 262:1432-1436
- Martinez CP, Borrero J, Carabali SJ, Sanabria Y, Correa F, Giraldo OX, Tohme J (2006) Utilization of wild rice species at CIAT to broaden the genetic base of cultivated rice in Latin America. Annual Report 2006 of CIAT:25-29
- May RM, Anderson RM (1983) Epidemiology and Genetics in the Coevolution of Parasites and Hosts. Proceedings of the Royal Society of London 219:281-313
- McDonald JH, Kreitman M (1991) Adaptive protein evolution at the Adh locus in Drosophila. Nature 351:652-654
- McNally KL, Bruskiewich R, Mackill D, Buell CR, Leach JE, Leung H (2006) Sequencing Multiple and Diverse Rice Varieties. Connecting Whole-Genome Variation with Phenotypes. Plant Physiology 141:26-31
- Meaux Jd, Mitchell-Olds T (2003) Evolution of plant resistance at the molecular level: ecological context of species interactions. Heredity 91:345-352

- Medzhitov R, Janeway C (2000) The Toll receptor family and microbial recognition. Trends in Microbiology 8:452-456
- Meskiene I, Hirt H (2000) MAP kinase pathways: molecular plug-and-play chips for the cell. Plant Molecular Biology 42:791-806
- Mestre P, Baulcombe DC (2006) Elicitor-mediated oligomerization of the tobacco N disease resistance protein. Plant Cell 18:491-501
- Meyers BC, Dickerman AW, Michelmore RW, Subramoniam S, Sobral BW, Young ND (1999) Plant disease resistance genes encode members of an ancient and diverse protein family within the nucleotide-binding superfamily. Plant Journal 20:317-332
- Meyers BC, Kozik A, Griego A, Kuang HH, Michelmore RW (2003) Genome-wide analysis of NBS-LRR-encoding genes in Arabidopsis. Plant Cell 15:809-834
- Meyers BC, Morgante M, Michelmore RW (2002) TIR-X and TIR-NBS proteins: two new families related to disease resistance TIR-NBS-LRR proteins encoded in Arabidopsis and other plant genomes. Plant Journal 32:77-92
- Midoh N, Iwata M (1996) Cloning and characterization of a probenazole-inducible gene for an intracellular pathogenesis-related protein in rice. Plant & cell physiology 3739:9-18
- Mizobuchi R, Hirabayashi H, Kaji R, Nishizawa Y, Satoh H, Ogawa T, Okamoto M (2002) Differential expression of disease resistance in rice lesion-mimic mutants. Plant Cell Reports 21:390-396
- Mohanty CR, Gangopadhyay S (1982) Testing of blast resistance in F2 rice seedlings in different doses of nitrogen and seasons. Annals of the Phytopathological Society of Japan 48:648-658
- Mondragon-Palomino M, Meyers BC, Michelmore RW, Gaut BS (2002) Patterns of Positive Selection in the Complete NBS-LRR Gene Family of Arabidopsis thaliana. Genome Research 12:1305-1315
- Monosi B, Wisser RJ, Pennill L, Hulbert SH (2004) Full-genome analysis of resistance gene homologues in rice. Theoretical and Applied Genetics 109:1434-1447
- Moore RC, Purugganan MD (2005) The evolutionary dynamics of plant duplicate genes. Current Opinion in Plant Biology 8:122-128
- Mori M, Tomita C, Sugimoto K, Hasegawa M, Hayashi N, Dubouzet J, Ochiai H, Sekimoto H, Hirochika H, Kikuchi S (2007) Isolation and molecular characterization of a Spotted leaf 18 mutant by modified activation-tagging in rice. Plant Molecular Biology 63:847-860
- Morris ER, Walker JC (2003) Receptor-like protein kinases: the keys to response. Current Opinion in Plant Biology 6:339-342

- Mucyn TS, Clemente A, Andriotis VME, Balmuth AL, Oldroyd GED, Staskawicz BJ, Rathjen JP (2006) The tomato NBARC-LRR protein Prf interacts with Pto kinase in vivo to regulate specific plant immunity. Plant Cell 18:2792-2806
- Mysore KS, Ryu CM (2004) Nonhost resistance: how much do we know? Trends Plant Sci 9:97-

N

- Nakagahra M, Okuno K, Vaughan D (1997) Rice genetic resources: history, conservation, investigative characterization and use in Japan. Plant Molecular Biology 35:69-77
- Nawrath C, Heck S, Parinthawong N, Metraux JP (2002) EDS5, an essential component of salicylic acid-dependent signaling for disease resistance in Arabidopsis, is a member of the MATE transporter family. The Plant Cell 1441:275-286
- Nei M (2005) Selectionism and neutralism in molecular evolution. Molecular Biology and Evolution 22:2318-2342
- Nimchuk Z, Eulgem T, Holt BF, III, Dangl JL (2003) Recognition and response in the plant immune system. Annual Review of Genetics 37:579-609
- Nishikawa T, Vaughan DA, Kadowaki K (2005) Phylogenetic analysis of *Oryza* species, based on simple sequence repeats and their flanking nucleotide sequences from the mitochondrial and chloroplast genomes. Theoretical and Applied Genetics 110:696-705
- Notteghem JL, Andriatompo GM (1977) Mesure au champ de la résistance horizontale du riz à Pyricularia oryzae. Agronomie Tropicale 32:400-412
- Notteghem JL (1981) Why and how to breed for upland rice varieties with horizontal resistance to blast. In: Blast and upland Rice, report and recommendations of a travelling workshop held at Goionia, Goias and Campinas, Sao Paulo, Brazil. pp. 21-22
- Nukina M (1998) On the phylogenetic correlations of phytotoxins and related metabolites among blast disease fungi. In: Molecular genetics of host-specific toxins in plant disease. Kluwer Academic Publishers, Dordrecht/Boston/London, p 165-166

O

- Ohme-Takagi M, Suzuki K, Shinshi H (2000) Regulation of Ethylene-induced transcription of defense genes. Plant and Cell Physiology 41:1187-1192
- Ono E, Wong HL, Kawasaki T, Hasegawa M, Kodama O, Shimamoto K (2001) Essential role of the small GTPase Rac in disease resistance of rice. Proceedings of the National Academy of Sciences of the United States of America 9842:759-764

- Orbach MJ, Farrall L, Sweigard JA, Chumley FG, Valent B (2000) A telomeric avirulence gene determines efficacy for the rice blast resistance gene Pi-ta. Plant Cell 12:2019-2032
- Ou SH (1985) Blast. In: Rice diseases 2nd Edition. Commonwealth Mycological Institute, Kew, Surrey, England, p 109-201
- Overmyer K, Tuominen H, Kettunen R, Betz C, Langebartels C, Sandermann H, , Jr., Kangasjarvi J (2000) Ozone-Sensitive Arabidopsis rcd1 Mutant Reveals Opposite Roles for Ethylene and Jasmonate Signaling Pathways in Regulating Superoxide-Dependent Cell Death. Plant Cell 12:1849-1862

P

- Pal KK, McSpadden Gardener B (2006) Biological Control of Plant Pathogens. In: The Plant Health Instructor
- Pan Q, Liu Y, Budai-Hadrian O, Sela M, Carmel-Goren L, Zamir D, Fluhr R (2000) Comparative genetics of nucleotide binding site-leucine rich repeat resistance gene homologues in the genomes of two dicotyledons: tomato and Arabidopsis. Genetics 155:309-322
- Pan QL, Wendel J, Fluhr R (2000) Divergent evolution of plant NBS-LRR resistance gene homologues in dicot and cereal genomes. Journal of Molecular Evolution 50:203-213
- Park G, Bruno KS, Staiger CJ, Talbot NJ, Xu JR (2004) Independent genetic mechanisms mediate turgor generation and penetration peg formation during plant infection in the rice blast fungus. Molecular Microbiology 53:1695-1707
- Parker JE, Holub EB, Frost LN, Falk A, Gunn ND, Daniels MJ (1996) Characterization of eds1, a mutation in Arabidopsis suppressing resistance to *Peronospora parasitica* specified by several different RPP genes. Plant Cell 8:2033-2046
- Parlevliet JE, van Ommeren A (1975) Partial resistance of barley to leaf rust *Puccinia hordei*. II. Relationship between field trials micro plot tests and latent period. Euphytica 24:293-303
- Parniske M, HammondKosack KE, Golstein C, Thomas CM, Jones DA, Harrison K, Wulff BBH, Jones JDG (1997) Novel disease resistance specificities result from sequence exchange between tandemly repeated genes at the *Cf4/9* locus of tomato. Cell 91:821-832
- Perrier X, Jacquemoud-Collet JP (2005) User's Manual for Darwin 5.0. On-line documentation.
- Perrier XFABF (2003) Genetic diversity of cultivated tropical plants. Data analysis methods. In: Hamon PSMPXGJC (ed). Enfield, Science Publishers., Montpellier, p 43-76
- Pieterse CM, Van Loon L (2004) NPR1: the spider in the web of induced resistance signaling pathways. Current Opinion in Plant Biology 7:456-464

Prabhu AS, de Faria JC (1982) Relacionamentos quantitativos entre brusone nas folhas e paniculas e seus efeitos sobre enchimento e peso dos graos em arroz de sequeiro. Pes. Agopec. Bras. 17:219-223

Q-R

- Qiu D, Xiao J, Ding X, Xiong M, Cai M, Cao Y, Li X, Xu C, Wang S (2007) OsWRKY13 mediates rice disease resistance by regulating defense-related genes in salicylate- and jasmonate-dependent signaling. Molecular Plant-Microbe Interactions 20:492-499
- Qu S, Coaker G, Francis D, Zhou B, Wang G-L (2003) Development of a new transformation-competent artificial chromosome (TAC) vector and construction of tomato and rice TAC libraries. Molecular Breeding 12:297-308
- Qu S, Liu G, Zhou B, Bellizzi M, Zeng L, Dai L, Han B, Wang G-L (2006) The broad-spectrum blast resistance gene *Pi9* encodes a Nucleotide-Binding Site-Leucine-Rich Repeat protein and is a member of a multigene family in rice. Genetics 172:1901-1914
- Raghavan C, Naredo M, Wang H, Atienza G, Liu B, Qiu F, McNally K, Leung H (2007) Rapid method for detecting SNPs on agarose gels and its application in candidate gene mapping. Molecular Breeding 19:87-101
- Rairdan GJ, Moffett P (2006) Distinct domains in the ARC region of the potato resistance protein Rx mediate LRR binding and inhibition of activation. Plant Cell 18:2082-2093
- Ramakrishna W, Emberton J, SanMiguel P, Ogden M, Llaca V, Messing J, Bennetzen JL (2002) Comparative sequence analysis of the sorghum Rph region and the maize Rp1 resistance gene complex. Plant Physiology 130:1728-1738
- Ramalingam J, Vera Cruz CM, Kukreja K, Chittoor JM, Wu JL, Lee SW, Baraoidan M, George ML, Cohen MB, Hulbert SH, Leach JE, Leung H (2003) Candidate defense genes from rice, barley, and maize and their association with qualitative and quantitative resistance in rice. Molecular plant-microbe interactions 1644:14-24
- Rauyaree R, Choi W, Fang E, Blackmon B, Dean RA (2001) Genes expressed during early stages of rice infection with the rice blast fungus Magnaporthe grisea. Molecular Plant Pathology 245:347-354
- Reams AB, Neidle EL (2004) Selection for gene clustering by tandem duplication. Annual Review of Microbiology 58:119-142
- Ren FG, Lu BR, Li SQ, Huang JY, Zhu YG (2003) A comparative study of genetic relationships among the AA-genome Oryza species using RAPD and SSR markers. Theoretical and Applied Genetics 108:113-120

- Rep M, Meijer M, Houterman PM, van der Does HC, Cornelissen BJC (2005) Fusarium oxysporum evades I-3-mediated resistance without altering the matching avirulence gene. Molecular Plant-Microbe Interactions 18:15-23
- Rep M, van der Does HC, Meijer M, van Wijk R, Houterman PM, Dekker HL, de Koster CG, Cornelissen BJ (2004) A small, cysteine-rich protein secreted by *Fusarium oxysporum* during colonization of xylem vessels is required for I-3-mediated resistance in tomato. Molecular Microbiology 53:1373-1383
- Ribot C, Hirsch J, Balzergue S, Tharreau D, Notteghem J-L, Lebrun M-H, Morel J-B Susceptibility of rice to the blast fungus, *Magnaporthe grisea*. Journal of Plant Physiology In Press, Corrected Proof
- Richly E, Kurth J, Leister D (2002) Mode of amplification and reorganization of resistance genes during recent Arabidopsis thaliana evolution. Molecular Biology and Evolution 19:76-84
- Ridout CJ, Skamnioti P, Porritt O, Sacristan S, Jones JDG, Brown JKM (2006) Multiple avirulence paralogues in cereal powdery mildew fungi may contribute to parasite fitness and defeat of plant resistance. Plant Cell 18:2402-2414
- Riely BK, Martin GB (2001) Ancient origin of pathogen recognition specificity conferred by the tomato disease resistance gene *Pto*. Proceedings of the National Academy of Sciences of the United States of America 98:2059-2064
- Ritter C, Dangl JL (1996) Interference between two specific pathogen recognition events mediated by distinct plant disease resistance genes. The plant cell 8:251-257
- Rodrigues FA, Benhamou N, Datnoff LE, Jones JB, Belanger RR (2003) Ultrastructural and cytochemical aspects of Silicon-mediated rice blast resistance. Phytopathology 93:535-546
- Rohe M, Gierlich A, Hermann H, Hahn M, Schmidt B, Rosahl S, Knogge W (1995) The race-specific elicitor, NIP1, from the barley pathogen, *Rhynchosporium secalis*, determines avirulence on host plants of the Rrs1 resistance genotype. EMBO Journal 14:4168-4177
- Rooney HCE, van 't Klooster JW, van der Hoorn RAL, Joosten M, Jones JDG, de Wit P (2005) Cladosporium Avr2 inhibits tomato Rcr3 protease required for Cf-2-dependent disease resistance. Science 308:1783-1786
- Rose LE, Langley CH, Bernal AJ, Michelmore RW (2005) Natural variation m the *Pto* pathogen resistance gene within species of wild tomato (*Lycopersicon*). I. Functional analysis of *Pto* alleles. Genetics 171:345-357
- Rose LE, Michelmore RW, Langley CH (2007) Natural variation in the *Pto* disease resistance gene within species of wild tomato (*Lycopersicon*). II. Population genetics of *Pto*. Genetics 175:1307-1319

S

- Sallaud C, Lorieux M, Roumen E, Tharreau D, Berruyer R, Svestasrani P, Garsmeur O, Ghesquiere A, Notteghem JL (2003) Identification of five new blast resistance genes in the highly blast-resistant rice variety IR64 using a QTL mapping strategy. Theoretical and applied genetics 10629:794-803
- Sallaud C, Meynard D, van Boxtel J, Gay C, BÃ's M, Brizard JP, Larmande P, Ortega D, Raynal M, Portefaix M, Ouwerkerk PBF, Rueb S, Delseny M, Guiderdoni E (2003) Highly efficient production and characterization of T-DNA plants for rice (*Oryza sativa* L.) functional genomics. Theoretical and Applied Genetics 106:1396-1408
- Schenk PM, Kazan K, Wilson I, Anderson JP, Richmond T, Somerville SC, Manners JM (2000)

 Coordinated plant defense responses in Arabidopsis revealed by microarray analysis.

 Proceedings of the National Academy of Sciences of the United States of America 9748:11655-11660
- Schulze-Lefert P, Vogel J (2000) Closing the ranks to attack by powdery mildew. Trends in Plant Science 549:343-348
- See DR, Brooks S, Nelson JC, Brown-Guedira G, Friebe B, Gill BS (2006) Gene evolution at the ends of wheat chromosomes. Proceedings of the National Academy of Sciences 103:4162-4167
- Shao F, Golstein C, Ade J, Stoutemyer M, Dixon JE, Innes RW (2003) Cleavage of Arabidopsis PBS1 by a bacterial type III effector. Science 301:1230-1233
- Sharma TR, Madhav MS, Singh BK, Shanker P, Jana TK, Dalal V, Pandit A, Singh A, Gaikwad K, Upreti HC, Singh NK (2005) High-resolution mapping, cloning and molecular characterization of the Pi-k(h) supercript stop gene of rice, which confers resistance to Magnaporthe grisea. Molecular Genetics and Genomics 274:569-578
- Shen QH, Saijo Y, Mauch S, Biskup C, Bieri S, Keller B, Seki H, Ülker B, Somssich IE, Schulze-Lefert P (2007) Nuclear activity of MLA immune receptors links isolate-specific and basal disease-resistance responses. Science 315:1098-1103
- Shigyo T, Kuchii Y, Araki Y, Sawada H (2002) Efficacy of carpropamid against mutants of *Magnaporthe grisea* at codon 75 on scytalone dehydratase. In: in 3rd International Rice Blast Conference, Tsukuba, Japan. Abstracts, program, list of participants, p 7
- Shim KS, Cho SK, Jeung JU, Jung KW, You MK, Ok SH, Chung YS, Kang KH, Hwang HG, Choi HC, Moon HP, Shin JS (2004) Identification of fungal (*Magnaporthe grisea*) stress-induced genes in wild rice (*Oryza minuta*). Plant Cell Reports 2251:599-607

- Shimono M, Yazaki J, Nakamura K, Kishimoto N, Kikuchi S, Iwano M, Yamamoto K, Sakata K, Sasaki T, Nishiguchi M (2003) cDNA microarray analysis of gene expression in rice plants treated with probenazole, a chemical inducer of disease resistance. Journal of General Plant Pathology 69:76-82
- Silué D, Notteghem JL, Tharreau D (1992) Evidence of a gene-for-gene relationship in the *Oryza* sativa-Magnaporthe grisea pathosystem. Phytopathology 82:577-580
- Silue D, Tharreau D, Notteghem JL (1992) Identification of *Magnaporthe grisea* avirulence genes to 7 rice cultivars. Phytopathology 82:1462-1467
- Simmonds NW (1993) Introgression and incorporation. Strategies for the use of crop genetic resources. Biological Reviews of the Cambridge Philosophical Society 68:539-562
- Sokal RRaMCD (1958) A statistical method for evaluating systematic relationships. University of Kansas Science Bulletin 38:1409-1438
- Song WY, Pi LY, Wang GL, Gardner J, Holsten T, Ronald PC (1997) Evolution of the rice *Xa21* disease resistance gene family. Plant Cell 9:1279-1287
- Song WY, Wang GL, Chen LL, Kim HS, Pi LY, Holsten T, Gardner J, Wang B, Zhai WX, Zhu LH, Fauquet C, Ronald P (1995) A receptor kinase-like protein encoded by the rice disease resistance gene, *Xa21*. Science 270:1804-1806
- Song Z, Cox R, Lazarus C, Simpson TJ T (2004) Fusarin C biosynthesis in *Fusarium moniliforme* and *Fusarium venenatum*. Chembiochem 5:1196-1203
- Song ZP, Lu BR, Zhu YG, Chen JK (2003) Gene flow from cultivated rice to the wild species Oryza rufipogon under experimental field conditions. New Phytologist 157:657-665
- Staden R, Beal KF, Bonfield JK (1998) Staden Package, 1998. Computer Methods in Molecular Biology. In: Misener S, Krawetz SA (eds) Bioinformatics Methods and Protocols. The Humana Press Inc., Totowa, p 115-130
- Stahl EA, Dwyer G, Mauricio R, Kreitman M, Bergelson J (1999) Dynamics of disease resistance polymorphism at the Rpm1 locus of Arabidopsis. Nature 400:667-671
- Sun XL, Cao YL, Wang SP (2006) Point mutations with positive selection were a major force during the evolution of a receptor-kinase resistance gene family of rice. Plant Physiology 140:998-1008
- Sun XL, Cao YL, Yang ZF, Xu CG, Li XH, Wang SP, Zhang QF (2004) Xa26, a gene conferring resistance to Xanthomonas oryzae pv. oryzae in rice, encodes an LRR receptor kinase-like protein. Plant Journal 37:517-527
- Suzuki H (1975) Meteorological factors in the epidemiology of rice blast. Annual Review of Phytopathology 13:239-256

T

- Tajima F (1989) Statistical Method for Testing the Neutral Mutation Hypothesis by DNA Polymorphism. Genetics 123:585-595
- Takahashi Y (1965) Genetics of resistance to the rice blast disease. In: IRRI (ed) The rice blast disease. Proceedings of a symposium at IRRI, July, 1963. Johns Hopkins Press, Baltimore, Maryland, USA, p 303-329
- Takai R, Matsuda N, Nakano A, Hasegawa K, Akimoto C, Shibuya N, Minami E (2002) EL5, a rice N-acetylchitooligosaccharide elicitor-responsive RING-H2 finger protein, is a ubiquitin ligase which functions in vitro in co-operation with an elicitor-responsive ubiquitin-conjugating enzyme, OsUBC5b. The Plant Journal 30:447-455
- Talbot NJ, Ebbole DJ, Hamer JE (1993) Identification and Characterization of MPG1, a Gene Involved in Pathogenicity from the Rice Blast Fungus *Magnaporthe grisea*. Plant Cell 5:1575-1590
- Tameling WIL, Baulcombe DC (2007) Physical association of the NB-LRR resistance protein Rx with a ran GTPase-activating protein is required for extreme resistance to Potato virus X. Plant Cell 19:1682-1694
- Tameling WIL, Elzinga SDJ, Darmin PS, Vossen JH, Takken FLW, Haring MA, Cornelissen BJC (2002) The tomato R gene products I-2 and Mi-1 are functional ATP binding proteins with ATPase activity. Plant Cell 14:2929-2939
- Tameling WIL, Vossen JH, Albrecht M, Lengauer T, Berden JA, Haring MA, Cornelissen BJC, Takken FLW (2006) Mutations in the NB-ARC domain of I-2 that impair ATP hydrolysis cause autoactivation. Plant Physiology 140:1233-1245
- Tang XY, Frederick RD, Zhou JM, Halterman DA, Jia YL, Martin GB (1996) Initiation of plant disease resistance by physical interaction of AvrPto and Pto kinase. Science 274:2060-2063
- Tao Y, Xie Z, Chen W, Glazebrook J, Chang HS, Han B, Zhu T, Zou G, Katagiri F (2003) Quantitative nature of Arabidopsis responses during compatible and incompatible interactions with the bacterial pathogen *Pseudomonas syringae*. The Plant Cell 1554:317-330
- Tao Y, Yuan F, Leister RT, Ausubel FM, Katagiri F (2000) Mutational analysis of the arabidopsis Nucleotide Binding Site-Leucine-Rich Repeat resistance gene RPS2. The Plant Cell 12:2541-2554
- Teng PS, Klein-Gebbinck HW, Pinnschmidt H (1991) An analysis of the blast pathosystem to guide modeling and forecasting. In: Rice blast modelling and forecasting. International Rice Research Institute, Los Baños, The Philippines, p 1-30

- Tenhaken R, Levine A, Brisson L, Dixon R, Lamb C (1995) Function of the oxidative burst in hypersensitive disease resistance. Proceedings of the National Academy of Sciences 92:4158-4163
- Tharreau D, Roumen E, Lorieux M, Price A, Dioh W, Ghesquière A, Lebrun MH, Notteghem JL (2000) New tools for resistance gene characterisation in rice. In: Tharreau D, Lebrun MH, Talbot NJ, Notteghem JL (eds) Advances in rice blast research. Proceedings of the 2nd International Rice Blast Conference, 4-8 August 1998, Montpellier, France
- Thompson JN (1999) Specific hypotheses on the geographic mosaic of coevolution. American Naturalist 153:1-14
- Thompson JN, Burdon JJ (1992) Gene-for-gene coevolution between plants and parasites. Nature 360:121-125
- Tian DC, Araki H, Stahl E, Bergelson J, Kreitman M (2002) Signature of balancing selection in Arabidopsis. Proceedings of the National Academy of Sciences of the United States of America 99:11525-11530
- Tiffin P, Moeller DA (2006) Molecular evolution of plant immune system genes. Trends in Genetics 22:662-670
- Tokunaga Y, Kato H, Koshimizu Y (1965) Studies on the relationship between metabolism of rice plant and its resistance to blast disease. 2. Effect of the phosphorus content in leaf blades during maturity on disease proneness to leaf blast. Bulletin Tohoku National Agricultural Experimental Station 32:61-87
- Ton J, De Vos M, Robben C, Buchala A, Metraux J-P, Van Loon LC, Pieterse CMJ (2002) Characterization of Arabidopsis enhanced disease susceptibility mutants that are affected in systemically induced resistance. The Plant Journal 29:11-21
- Tornero P, Chao RA, Luthin WN, Goff SA, Dangl JL (2002) Large-scale structure-function analysis of the Arabidopsis RPM1 disease resistance protein. Plant Cell 14:435-450
- Tosa Y, Kusaba M, Fujiwara N, Nakamura T, Kiba A, Noda T, Furutsu Y, Noguchi H, Kato K (1995) Geographical distribution of genes for resistance to formae speciales of *Erysiphe graminis* in common wheat. Theoretical and Applied Genetics 91:82-88
- Tsuji J, Jackson EP, Gage DA, Hammerschmidt R, Somerville SC (1992) Phytoalexin accumulation in *Arabidopsis thaliana* during the Hypersensitive Reaction to *Pseudomonas syringae* pv syringae. Plant Physiology 98:1304-1309
- Tsunezuka H, Fujiwara M, Kawasaki T, Shimamoto K (2005) Proteome analysis of programmed cell death and defense signaling using the rice lesion mimic mutant cdr2. Molecular Plant-Microbe Interactions 18:52-59

Tusher VG, Tibshirani R, Chu G (2001) Significance analysis of microarrays applied to the ionizing radiation response. Proceedings of the National Academy of Sciences 98:5116-5121

${f V}$

- Valent B (1990) Rice blast as a model system for plant pathology. Phytopathology 80:33-36
- Van den Ackerveken G, Van Kan J, De Wit P (1992) Molecular analysis of the avirulence gene *avr9* of the fungal tomato pathogen *Cladosporium fulvum* fully supports the gene-for-gene hypothesis. The Plant Journal 2:359-366
- Van den Burg HA, Spronk CAEM, Boeren S, Kennedy MA, Vissers JPC, Vuister GW, de Wit PJGM, Vervoort J (2004) Binding of the AVR4 Elicitor of *Cladosporium fulvum* to Chitotriose Units Is Facilitated by Positive Allosteric Protein-Protein Interactions: the chitin-binding site of avr4 represents a novel binding site on the folding scaffold shared between the invertebrate and the plant chitin-binding domain. Journal of Biology and Chemistry 279:16786-16796
- Van der Biezen EA, Jones JDG (1998) Plant disease-resistance proteins and the gene-for-gene concept. Trends in Biochemical Sciences 23:454-456
- Van der Fits L, Memelink J (2000) ORCA3, a jasmonate-responsive transcriptional regulator of plant primary and secondary metabolism. Science 289:295-297
- Van der Hoorn RAL, Kruijt M, Roth R, Brandwagt BF, Joosten MHAJ, De Wit PJGM (2001) Intragenic recombination generated two distinct Cf genes that mediate AVR9 recognition in the natural population of *Lycopersicon pimpinellifolium*. Proceedings of the National Academy of Sciences 98:10493-10498
- Van Loon LC, Rep M, Pieterse CM (2006) Significance of Inducible Defense-related Proteins in Infected Plants. Annual Review of Phytopathology 4456
- Van Wees SCM, Chang H-S, Zhu T, Glazebrook J (2003) Characterization of the early response of arabidopsis to *Alternaria brassicicola* infection using expression profiling. Plant Physiology 132:606-617
- Van Wees SCM, de Swart EAM, van Pelt JA, van Loon LC, Pieterse CMJ (2000) Enhancement of induced disease resistance by simultaneous activation of salicylate- and jasmonate-dependent defense pathways in *Arabidopsis thaliana*. Proceedings of the National Academy of Sciences of the United States of America 97:8711-8716
- Veneault-Fourrey C, Talbot N (2005) Moving toward a systems biology approach to the study of fungal pathogenesis in the rice blast fungus *Magnaporthe grisea*. Advance in Applied Microbiology 57:177-215

- Ventelon-Debout M, Nguyen TT, Wissocq A, Berger C, Laudie M, Piegu B, Cooke R, Ghesquiere A, Delseny M, Brugidou C (2003) Analysis of the transcriptional response to Rice Yellow Mottle Virus infection in *Oryza sativa* indica and japonica cultivars. Molecular Genetics and Genomics 27057:253-262
- Vera Cruz CM, Kobayashi N, Fukuta Y (2007) Rice blast situation, research in progress, needs and priorities in 13 countries: Summary of results from blast nursery. JIRCAS Working Report 53:97-103
- Vergne E, Ballini E, Marques S, Mammar BS, Droc G, Gaillard S, Bourot S, DeRose R, Tharreau D, Notteghem JL, Lebrun MH, Morel JB (2007) Early and specific gene expression triggered by rice resistance gene *Pi33* in response to infection by *ACE1* avirulent blast fungus. New Phytologist 174:159-171
- Vleeshouwers VGAA, Dooijeweert Wv, Govers F, Kamoun S, Colon LT (2000) The hypersensitive response is associated with host and nonhost resistance to *Phytophthora infestans*. Planta 210:853-864

W

- Walbot V, Hoisington DA, Neuffer MG (1983) Disease lesion mimic mutations. In: Genetic Engineering of Plants. Plenum Publ. Corp., New York, NY, p 431-442
- Wang GL, Ruan DL, Song WY, Sideris S, Chen LL, Pi LY, Zhang SP, Zhang Z, Fauquet C, Gaut BS, Whalen MC, Ronald PC (1998) Xa21D encodes a receptor-like molecule with a leucine-rich repeat domain that determines race-specific recognition and is subject to adaptive evolution. Plant Cell 10:765-779
- Wang L, Pei Z, Tian Y, He C (2005) OsLSD1, a rice zinc finger protein, regulates programmed cell death and callus differentiation. Molecular Plant-Microbe Interactions 18:375-384
- Wang Z, Jia Y, Rutger JN, Xia Y (2007) Rapid survey for presence of a blast resistance gene Pi-ta in rice cultivars using the dominant DNA markers derived from portions of the *Pi-ta* gene. Plant Breeding 126:36-42
- Wang Z, Yamanouchi U, Katayose Y, Sasaki T, Yano M (2001) Expression of the *Pib* rice-blast-resistance gene family is up-regulated by environmental conditions favouring infection and by chemical signals that trigger secondary plant defences. Plant Molecular Biology 47:653-661
- Wang ZX, Yano M, Yamanouchi U, Iwamoto M, Monna L, Hayasaka H, Katayose Y, Sasaki T (1999) The *Pib* gene for rice blast resistance belongs to the nucleotide binding and leucinerich repeat class of plant disease resistance genes. Plant Journal 19:55-64

- Warren RF, Henk A, Mowery P, Holub E, Innes RW (1998) A mutation within the leucine-rich repeat domain of the arabidopsis disease resistance gene *RPS5* partially suppresses multiple bacterial and downy mildew resistance genes. Plant Cell 10:1439-1452
- Watkins S (2003) The World Market for crop protection
- Wei FS, Gobelman-Werner K, Morroll SM, Kurth J, Mao L, Wing R, Leister D, Schulze-Lefert P, Wise RP (1999) The *Mla* (powdery mildew) resistance cluster is associated with three NBS-LRR gene families and suppressed recombination within a 240-kb DNA interval on chromosome 5S (1HS) of barley. Genetics 153:1929-1948
- Wen N, Chu Z, Wang S (2003) Three types of defense-responsive genes are involved in resistance to bacterial blight and fungal blast diseases in rice. Molecular Genetics and Genomics 269:331-339
- Wendehenne D, Pugin A, Klessig DF, Durner J (2001) Nitric oxide: comparative synthesis and signaling in animal and plant cells. Trends in Plant Science 6:177-183
- Wing R, Kim H, Goicoechea J, Yu Y, Kudrna D, Zuccolo A, Ammiraju J, Luo M, Nelson W, Ma J, SanMiguel P, Hurwitz B, Ware D, Brar D, Mackill D, Soderlund C, Stein L, Jackson S (2007) The Oryza Map Alignment Project (OMAP): A New Resource for Comparative Genome Studies within Oryza. In: Rice Functional Genomics, p 395-409
- Woloshuk CP, Sisler HD, Vigil EL (1983) Action of the antipenetrant tricyclazole, on appressoria of *Pyricularia oryzae*. Physiological Plant Pathology 22:245-259
- Wu J-L, Wu C, Lei C, Baraoidan M, Bordeos A, Madamba M, Ramos-Pamplona M, Mauleon R, Portugal A, Ulat V, Bruskiewich R, Wang G, Leach J, Khush G, Leung H (2005) Chemical-and irradiation-induced mutants of indica rice IR64 for forward and reverse genetics. Plant Molecular Biology 59:85-97

X-Y

- Xiao S, Emerson B, Ratanasut K, Patrick E, O'Neill C, Bancroft I, Turner JG (2004) Origin and maintenance of a broad-spectrum disease resistance locus in Arabidopsis. Molecular Biology and Evolution 21:1661-1672
- Xiao SY, Ellwood S, Calis O, Patrick E, Li TX, Coleman M, Turner JG (2001) Broad-spectrum mildew resistance in *Arabidopsis thaliana* mediated by RPW8. Science 291:118-120
- Xiong L, Lee MW, Qi M, Yang Y (2001) Identification of defense-related rice genes by suppression subtractive hybridization and differential screening. Molecular plant-microbe interactions 1463:685-692

- Xiong L, Yang Y (2003) Disease resistance and abiotic stress tolerance in rice are inversely modulated by an Abscisic Acid-inducible Mitogen-Activated Protein Kinase. Plant Cell 15:745-759
- Xu Y, Chang P, Liu D, Narasimhan ML, Raghothama KG, Hasegawa PM, Bressan RA (1994) Plant defense genes are synergistically induced by Ethylene and Methyl Jasmonate. Plant Cell 6:1077-1085
- Xu YB, McCouch SR, Zhang QF (2005) How can we use genomics to improve cereals with rice as a reference genome? Plant Molecular Biology 59:7-26
- Yahiaoui N, Brunner S, Keller B (2006) Rapid generation of new powdery mildew resistance genes after wheat domestication. The Plant Journal 47:85-98
- Yahiaoui N, Srichumpa P, Dudler R, Keller B (2004) Genome analysis at different ploidy levels allows cloning of the powdery mildew resistance gene *Pm3b* from hexaploid wheat. Plant Journal 37:528-538
- Yamanouchi U, Yano M, Lin H, Ashikari M, Yamada K (2002) A rice spotted leaf gene, Spl7, encodes a heat stress transcription factor protein. Proceedings of the National Academy of Sciences 99:7530-7535
- Yang D, Parco A, Nandi S, Subudhi P, Zhu Y, Wang G, Huang N (1997) Construction of a bacterial artificial chromosome (BAC) library and identification of overlapping BAC clones with chromosome 4-specific RFLP markers in rice. Theoretical and Applied Genetics 95:1147-1154
- Yin Z, Chen J, Zeng L, Goh M, Leung H, Khush GS, Wang GL (2000) Characterizing rice lesion mimic mutants and identifying a mutant with broad-spectrum resistance to rice blast and bacterial blight. Molecular Plant-Microbe Interactions 13:869-876
- Yu J, Hu S, Wang J, Wong GK-S, Li S, Liu B, Deng Y, Dai L, Zhou Y, Zhang X, Cao M, Liu J, Sun J, Tang J, Chen Y, Huang X, Lin W, Ye C, Tong W, Cong L, Geng J, Han Y, Li L, Li W, Hu G, Huang X, Li W, Li J, Liu Z, Li L, Liu J, Qi Q, Liu J, Li L, Li T, Wang X, Lu H, Wu T, Zhu M, Ni P, Han H, Dong W, Ren X, Feng X, Cui P, Li X, Wang H, Xu X, Zhai W, Xu Z, Zhang J, He S, Zhang J, Xu J, Zhang K, Zheng X, Dong J, Zeng W, Tao L, Ye J, Tan J, Ren X, Chen X, He J, Liu D, Tian W, Tian C, Xia H, Bao Q, Li G, Gao H, Cao T, Wang J, Zhao W, Li P, Chen W, Wang X, Zhang Y, Hu J, Wang J, Liu S, Yang J, Zhang G, Xiong Y, Li Z, Mao L, Zhou C, Zhu Z, Chen R, Hao B, Zheng W, Chen S, Guo W, Li G, Liu S, Tao M, Wang J, Zhu L, Yuan L, Yang H (2002) A Draft Sequence of the Rice Genome (Oryza sativa L. ssp. indica). Science 296:79-92

- Zeigler RS, Leong SA, Teng PS (1994) Rice blast disease, Vol. IRRI, Manilles, Philippines
- Zeng LR, Qu S, Bordeos A, Yang C, Baraoidan M, Yan H, Xie Q, Nahm BH, Leung H, Wang GL (2004) Spotted leaf11, a negative regulator of plant cell death and defense, encodes a U-box/armadillo repeat protein endowed with E3 ubiquitin ligase activity. The Plant Cell 1665:2795-2808
- Zeng L-R, Qu S, Bordeos A, Yang C, Baraoidan M, Yan H, Xie Q, Nahm BH, Leung H, Wang G-L (2004) Spotted leaf11, a Negative Regulator of Plant Cell Death and Defense, Encodes a U-Box/Armadillo Repeat Protein Endowed with E3 Ubiquitin Ligase Activity. Plant Cell 16:2795-2808
- Zhang S, Klessig DF (2001) MAPK cascades in plant defense signaling. Trends in Plant Science 6:520-527
- Zhao W, Wang J, He X, Huang X, Jiao Y, Dai M, Wei S, Fu J, Chen Y, Ren X, Zhang Y, Ni P, Zhang J, Li S, Wang J, Wong GK-S, Zhao H, Yu J, Yang H, Wang J (2004) BGI-RIS: an integrated information resource and comparative analysis workbench for rice genomics. Nucleic Acids Research 32:D377-382
- Zhou B, Dolan M, Sakai H, Wang GL (2007) The genomic dynamics and evolutionary mechanism of the *Pi2/9* locus in rice. Molecular Plant-Microbe Interactions 20:63-71
- Zhou B, Peng KM, Chu ZH, Wang SP, Zhang QF (2002) The defense-responsive genes showing enhanced and repressed expression after pathogen infection in rice (*Oryza sativa* L.). Science in China Series C-Life Sciences 45:449-467
- Zhou B, Qu SH, Liu GF, Dolan M, Sakai H, Lu GD, Bellizzi M, Wang GL (2006) The eight amino-acid differences within three leucine-rich repeats between *Pi2* and *Piz-t* resistance proteins determine the resistance specificity to Magnaporthe grisea. Molecular Plant-Microbe Interactions 19:1216-1228
- Zhou JM, Loh YT, Bressan RA, Martin GB (1995) The tomato gene Pti1 encodes a serine/threonine kinase that is phosphorylated by Pto and is involved in the hypersensitive response. Cell 83:925-935
- Zhou T, Wang Y, Chen J-Q, Araki H, Jing Z, Jiang K, Shen J, Tian D (2004) Genome-wide identification of NBS genes in japonica rice reveals significant expansion of divergent non-TIR NBS-LRR genes. Molecular Genetics and Genomics 271:402-415

- Zhu LH, Chen Y, Xu YB, Cai HW, Ling ZZ (1993) Construction of a molecular map of rice and gene mapping using a double haploid population of a cross between Indica and Japonica varieties. Rice Genetics Newsletter 10:132-134
- Zhu QH, Ge S (2005) Phylogenetic relationships among A-genome species of the genus *Oryza* revealed by intron sequences of four nuclear genes. New Phytologist 167:249-265
- Zhu Y, Chen H, Fan J, Wang Y, Li Y, Chen J, Fan J, Yang S, Hu L, Leung H, Mew TW, Teng PS, Wang Z, Mundt CC (2000) Genetic diversity and disease control in rice. Nature 406:718-722
- Zipfel C, Kunze G, Chinchilla D, Caniard A, Jones JDG, Boller T, Felix G (2006) Perception of the bacterial PAMP EF-Tu by the receptor EFR restricts Agrobacterium-mediated transformation. Cell 125:749-760
- Zipfel C, Robatzek S, Navarro L, Oakeley EJ, Jones JDG, Felix G, Boller T (2004) Bacterial disease resistance in Arabidopsis through flagellin perception. Nature 428:764-767

VII Annexes

VII.1 Annexe 1 : préparation d'inoculum et inoculation avec Magnaporthe oryzae

VII.1.1 Culture de *M. oryzae*

Les souches de *M. oryzae* sont cultivées 10 jours sur milieu farine de riz (Agar 15 g/L, Farine de riz 20 g/L, Extrait de levure 1,5 g/L), à 28°C, avec une alternance de lumière et d'obscurité de 12h/12h. Afin de limiter l'évaporation, les boîtes sont scellées avec du ruban adhésif (Tesa[©] 5280).

VII.1.2 Préparation de l'inoculum et inoculation

La culture est mise en suspension dans 5 ml d'H₂O stérile puis la suspension est filtrée à travers une gaze. La concentration en spore est quantifiée à l'aide d'une cellule de Malassez. L'inoculation se fait 20 à 30 jours après semis, soit au stade 3-4 feuilles. Elle se fait par pulvérisation, à l'aide d'un pistolet à air comprimé, d'une suspension à 50 000 spores/mL dans une solution à 1% de gélatine. La gélatine permet aux spores d'adhérer à la surface des feuilles. Les plantes sont ensuite maintenues dans une cellule à 25°C à 100% d'humidité pendant 12 à 24h. Pour les expériences nécessitant le prélèvement d'ARN, un témoin considéré comme non inoculé, est inoculé avec de la gélatine seule à 1%.

La lecture des symptômes se fait 7 à 10 jours après l'inoculation. Des notes sont attribuées aux symptômes à l'aide d'une échelle dérivée de celle de Notteghem (1981) (cf. Figure 2.17 Chapitre 1).

VII.2 Annexe 2 : Culture du riz en serre

VII.2.1 Semis

Les semis sont réalisés dans des terrines de semis de 30 x 50 x 7 cm. On sème 320 graines par terrine environ (16 rangs de 20) dans un substrat à base de terreau (7/8èmes de Terreau (Neuhaus n°9), 1/8ème de Pouzzolane).

VII.2.2 Condition de culture

Fertilisation:

Les semis sont arrosés une fois par semaine avec 1 L d'une solution nutritive (Algospeed 1,76g/L et de Ferveg 0,125 g/L).

Arrosage:

Les plantes sont arrosées de manière à maintenir le terreau toujours très humide mais pas détrempé.

Conditions de culture :

L'hygrométrie varie de 65% à 70%. La température moyenne est de 26° le jour et de 21°C la nuit. L'éclairage est de 400- $600~\rm W/m^2$ maximum sur 12 heures.

VII.3 Annexe 3 : Phénotypes des variétés de riz cultivés O. sativa

Varieté	N°	Sous-espèce	Туре	Pi33
	IRGC	o copece		
5213		/ In di	ND	absent
1641 xuan		Indica	ND ND	absent
420 Zhong-4		Indica	ND ND	absent
620 Zao Jian 6		Indica Indica	ND ND	absent absent
820 zhong-8 86-76		indica ?	ND ND	
93-11			Traditionnelle	Présent
Aichi Asahi	40252	Indica Japonica	Croisement	absent absent
Arang	43322	Indica	Traditionnelle	absent
	42469		ND	
ARC 13829	42469	Basmati	Traditionnelle	absent
Azucena Badkalamkati	45011	Japonica Indica	Traditionnelle	absent absent
	43011			
Bala	27700	Indica	Croisement	Présent
Basmati 1	27798	Aus	Traditionnelle	absent
Benong	13530	Japonica	Traditionnelle	absent
Binulawan	26872	Japonica ?	Traditionnelle	absent
Black Gora	40275	Aus	Traditionnelle	absent
Bluebonnet	79023	Japonica	Croisement	absent
Bo qi zhan xuan		Indica	ND	absent
Bobai B		Indica	ND	absent
BPI-121-407	15762	Indica	Croisement	absent
BPI76	39	Indica	Croisement	absent
BW100	50657	Indica	Croisement	Présent
C039	51231	Indica	Croisement	absent
C101A51		Indica	Croisement	absent
C101LAC		Indica	Croisement	Présent
C101PKT		Indica	Croisement	absent
C101TTP-4L23		Indica	Croisement	absent
C101TTP-6		Indica	Croisement	absent
C102TTP		Indica	Croisement	absent
C103TTP		Indica	Croisement	absent
C104LAC		Indica	Croisement	absent
C104PKT		Indica	Croisement	absent
C105TTP-1		Indica	Croisement	absent
C4-63	11352	Indica	Croisement	absent
Caloro	32564	Indica	Traditionnelle	absent
Carreon		Indica	Traditionnelle	Présent
Ce 64-7		Indica	Croisement	absent
Chahora 144	27869	basmati ?	Traditionnelle	absent
Champa Tong 54	30238	Aus	Traditionnelle	absent
Chang Wan Jing	20220	Japonica	ND	absent
Chao liu zhan 1		Indica	ND	absent
Chau	56036	Indica	Traditionnelle	absent
Chitraj (DA23)	6208	Indica	Croisement	absent
Chokoto	32567	Indica	Traditionnelle	absent
Chow-Sung	2171	Japonica	Traditionnelle	absent
Chun Jiang 683	17052	Aus	Traditionnelle	absent
Chun Jiang 683	2070	Japonica	ND Continuous	absent
CI 5173	3970	?	Croisement	absent
Cina		Indica	Traditionnelle	absent
CO18		Indica	Croisement	absent
CO25		Indica	Croisement	absent
CO39		Indica	Croisement	absent
CPSLO17		Indica	Croisement	absent
DA 1	45624	Indica	Traditionnelle	absent

	N°			
Varieté	IRGC	Sous-espèce	Type	Pi33
Kalukantha	7755	Indica?	Traditionnelle	absent
Kanto 51	484	Japonica	Croisement	absent
Kasalath		Aus	Croisement	absent
Kaw Luyoeng	27716	Indica	Traditionnelle	Présent
Keriting Tingii	19972	?	Traditionnelle	absent
Khao Gaew	24224	Basmati	Traditionnelle	Présent
Kiang-Chou-Chiu	8180	Indica?	Traditionnelle	absent
Koshihikari		Japonica	Croisement	absent
Kusabue		Japonica Croisemen		absent
Lal Aman	46202	Indica	Traditionnelle	absent
Latisail		Indica	Traditionnelle	absent
Latnonail		Indica	ND	absent
Lijiangheigu		Indica	ND	absent
Lu yuan zhan		Indica	ND	absent
Macan Binundok	8245	Indica	Traditionnelle	absent
Magu Taiyin No.1		Indica	ND	absent
Maratelli		Japonica	Traditionnelle	absent
Mehr	12883	Basmati	Traditionnelle	absent
Mianhui 501		Indica	ND	absent
Minghui 77		Indica	Traditionnelle	Présent
Miyang 46		Indica	Croisement	Présent
MTU9	7919	Indica	Traditionnelle	absent
Mudgo	6663	Indica	Traditionnelle	absent
N 12	6298	Basmati	Croisement?	absent
Nipponbare		Japonica	Traditionnelle	absent
NP125	32559	Indica	Traditionnelle	absent
NPE 253	38690	Japonica	Traditionnelle	absent
Padi Boenor	9147	Japonica?	Traditionnelle	absent
Pai-Kan-Tao		Japonica	Traditionnelle	absent
Pappaku	8268	Indica	Traditionnelle	absent
Patnai 23	46531	Indica	Traditionnelle	absent
Peta	35	Indica	Croisement	absent
Phudugey	32399	Basmati ?	Traditionnelle	absent
Pi n°4		Japonica	Croisement	absent
Pin 378		Japonica	ND	absent
Pin 9695		?	ND	Présent
Pin Kaeo	5803	Indica	Traditionnelle	Présent
Pin Tawng	40673	Indica	Traditionnelle	Présent
Pratao	7937	?	Traditionnelle	absent
Qing jing 11		Indica	ND	Présent
Qing zhen 8		Indica	Croisement	absent
R 446		Indica	ND	absent
R 494		Indica	ND	absent
R 530		Indica	ND	absent
Reïho	40025	Japonica	Croisement	absent
Rexoro	1715	Japonica	Traditionnelle	absent
RTS14	8178	Indica	Traditionnelle	absent
RTS4	8177	Indica	Traditionnelle	absent
\$624 (AC 209)	9906	Indian	Craisament	obcont

Varieté	N° IRGC	Sous-espèce	Type	Pi33	Varieté	N° IRGC	Sous-espèce	Type	Pi33
Kalukantha	7755	Indica?	Traditionnelle	absent	Seratoes Hari	8260	Indica	Traditionnelle	absent
Kanto 51	484	Japonica	Croisement	absent	Seraup Besar 15		Indica	Traditionnelle	absent
Kasalath		Aus	Croisement	absent	Shin 2		Japonica	Croisement	absent
Kaw Luyoeng	27716	Indica	Traditionnelle	Présent	Short Grain	5075	Aus	Traditionnelle	Présen
Keriting Tingii	19972	?	Traditionnelle	absent	Shuangdounonghu		Japonica	ND	absent
Khao Gaew	24224	Basmati	Traditionnelle	Présent	Sigadis	611	Indica	Croisement	absent
Kiang-Chou-Chiu	8180	Indica?	Traditionnelle	absent	Sinampaga Selection		Japonica	Traditionnelle	absent
Koshihikari		Japonica	Croisement	absent	SLO 17		Indica	Croisement	absent
Kusabue		Japonica	Croisement	absent	Som Cau 70A	8227	Indica?	Traditionnelle	absent
Lal Aman	46202	Indica	Traditionnelle	absent	ST1	30329	Japonica	Croisement	absent
Latisail		Indica	Traditionnelle	absent	T461		Japonica	Croisement	absent
Latnonail		Indica	ND	absent	Ta Mao Tao	8194	Japonica	Traditionnelle	absent
Lijiangheigu		Indica	ND	absent	Tadukan	9804	Indica	Traditionnelle	absent
Lu yuan zhan		Indica	ND	absent	Taichung Native 1	105	Indica	Croisement	Présent
Macan Binundok	8245	Indica	Traditionnelle	absent	Tam Cau-9A	8228	Indica	Traditionnelle	absent
Magu Taiyin No.1		Indica	ND	absent	Teging		Indica	Traditionnelle	absent
Maratelli		Japonica	Traditionnelle	absent	Tetep	32576	Indica	Traditionnelle	absent
Mehr	12883	Basmati	Traditionnelle	absent	Texas Patna		Japonica	Croisement	absent
Mianhui 501	12000	Indica	ND	absent	Tian hong tian		Indica	ND	absent
Minghui 77		Indica	Traditionnelle	Présent	TKM 6	237	Indica	Traditionnelle	absent
Miyang 46		Indica	Croisement	Présent	Toride 1	40260	Japonica	Croisement	absent
MTU9	7919	Indica	Traditionnelle	absent	Trembese	43675	Japonica	Traditionnelle	absent
Mudgo	6663	Indica	Traditionnelle	absent	Tsai-Yuan-Chon	126	Indica	Traditionnelle	Présen
N 12	6298	Basmati	Croisement ?	absent	Tsipala 421	10989	?	Traditionnelle	absent
Nipponbare	0290	Japonica	Traditionnelle	absent	Tsuyuake	40262	Japonica	Croisement	absent
NP125	32559	Indica	Traditionnelle	absent	Xiang zao xian 13	40202	Indica	Croisement	absent
NPE 253	38690	Japonica	Traditionnelle	absent	Xiang zao xian 19		Indica	Croisement	absent
Padi Boenor	9147	Japonica ?	Traditionnelle	absent	Xiang zao xian 24		Indica	Croisement	absent
Pai-Kan-Tao	9147	Japonica :	Traditionnelle	absent	Xianghui 280		Indica	ND	absent
Pappaku	8268	Indica	Traditionnelle	absent	Xiangnui 200 Xieqingzao B		Indica	Croisement	absent
гарраки Patnai 23	46531	Indica	Traditionnelle	absent	Yue xin zhan 4		Indica	ND	absent
Patnai 23 Peta	35	Indica	Croisement				Indica	ND ND	
				absent	Yue ye zhan 6			ND ND	absent
Phudugey	32399	Basmati ?	Traditionnelle	absent	Yue yin xuan 29	22550	Indica		absent
Pi n°4		Japonica	Croisement	absent	Zenith	32558	Indica	Traditionnelle	absent
Pin 378		Japonica	ND	absent	Zhaitang	00024	Indica	ND	absent
Pin 9695	5002	?	ND III	Présent	Zhe 733	80824	Indica	Croisement	Présen
Pin Kaeo	5803	Indica	Traditionnelle	Présent	Zhenguiai		Indica	ND	absent
Pin Tawng	40673	Indica	Traditionnelle	Présent	Zhenshan 97B		Indica	Traditionnelle	absent
Pratao	7937	?	Traditionnelle	absent	Zhong 11		Indica	ND	absent
Qing jing 11		Indica	ND	Présent	Zhong 156		Indica	Croisement	absent
Qing zhen 8		Indica	Croisement	absent	Zhong 20 Zao 55		Indica	ND	absent
R 446		Indica	ND	absent	Zhong 20 Zao 8		Indica	ND	Présen
R 494		Indica	ND	absent	Zhong 5		Indica	ND	Présen
R 530		Indica	ND	absent	Zhong 6		Indica	ND	Présen
Reïho	40025	Japonica	Croisement	absent	Zhong 98-18		Indica	ND	absent
Rexoro	1715	Japonica	Traditionnelle	absent	Zhong 98-19		Indica	ND	absent
RTS14	8178	Indica	Traditionnelle	absent	Zhong 98-4		Indica	ND	Présen
RTS4	8177	Indica	Traditionnelle	absent	Zhong Za0 16		Indica	ND	Présen
S624 (AC 398)	8896	Indica	Croisement	absent	ZYQ8		Indica	Croisement	Présen

VII.4 Annexe 4 : Phénotypes des accessions de riz sauvages

N°	IRGC	espèce	Origine	genome	Présence de Pi33	
AmL1		O. latifolia	Costa Rica	CCDD	nd	
AmL4		O. latifolia	Paraguay	CCDD	nd	
B5		O. barthii	Tchad	AA	Absent	
B7		O. barthii	Cameroun	AA	nd	
BOKARIVO-538		O. glaberrima	Mali	AA	Absent	
BOUGATEBO BALEO A-515		O. glaberrima	Mali	AA	Absent	
CASAMANCE V 3-1124		O. glaberrima	Sénégal	AA	Absent	
CG 67-8483		O. glaberrima	Côte d'Ivoire	AA	nd	
CG1		O. glaberrima	Sénégal	AA	nd	
Ch83-3		O. latifolia	Chine	CCDD	Présent	
DIAKAO RIMO-499		O. glaberrima	Mali	AA	Absent	
DJINGA-514	404005	O. glaberrima	Mali	AA	Absent	
DN10	104685	O. rufipogon	Inde	AA	Absent	
G12		O. glaberrima	0.01	AA	Absent	
G8		O. glaberrima	Côte d'Ivoire	AA	Absent	
GRISON GARDE-7736		O. glaberrima	Haïti	AA	nd	
HT.74-19-4580	100000	O. glaberrima	Côte d'Ivoire	AA	Absent	
IRGC 100820	100820	O. ridleyi	IRRI	HHJJ	Absent	
IRGC 100821	100821	O. ridleyi	Thailande Australie	HHJJ	Absent	
IRGC 100882	100882	O. australiensis		EE	Absent	
IRGC 100896	100896 101141	O. officinalis	Thailande	CC BBCC	Absent	
IRGC 101141		O. minuta	Philippine		Absent	
IRGC 102118	102118	O. granulata O. collina	Thailande Sri Lanka	AA CC	Absent	
IRGC 103410 IRGC 103865	103410			BBCC	nd	
	103865	O. minuta	Philippine	AA	nd Absent	
IRGC 105491	105491	O. rufipogon O. punctata (2x)	Malaysie	BB		
IRGC 105690 IRGC 96717	105690 96717	O. glaberrima	Kenya	AA	Absent Absent	
ISENOUFO-8028	30717	O. glaberrima O. glaberrima	Burkina Faso	AA	Absent	
KPECEKRE N-236		O. glaberrima O. glaberrima	Côte d'Ivoire	AA	Absent	
LIB 210 A-3978		O. glaberrima	Liberia	AA	nd	
LIB 223-3994		O. glaberrima	Liberia	AA	nd	
LIB 2-3775		O. glaberrima	Liberia	AA	nd	
LIB 93-3863		O. glaberrima	Liberia	AA	nd	
MAMAVO-489		O. glaberrima	Mali	AA	Absent	
MDG 1392-5640		O. glaberrima	Madagascar?	AA	Absent	
MDG 1395-5642		O. glaberrima	Madagascar ?	AA	Absent	
NB2		O. barthii	Niger	AA	nd	
NIORI-8029		O. glaberrima	Burkina Faso	AA	Absent	
NIOURO-8023		O. glaberrima	Burkina Faso	AA	Absent	
OA36		O. australiensis	Australie	EE	Absent	
OA4		O. australiensis	Australie	EE	Absent	
OR10	105282	O. meridionalis	Australie	AA	nd	
OR39	105291	O. rufipogon	Australie	AA	Absent	
OR54	105306	O. rufipogon	Australie	AA	Absent	
OR7	105281	O. rufipogon	Australie	AA	Absent	
PAPA CHEF-5295		O. glaberrima	Guinée Conakry	AA	nd	
PasNum.		O. longistaminata	Madagascar	AA	Absent	
S38	no	O. sativa		AA	Présent ?	
S41		O. sativa		AA	nd	
SANGARE-225		O. glaberrima	Côte d'Ivoire	AA	Absent	
SASSOREL-508		O. glaberrima	Mali	AA	Absent	
SIM SIMO-505		O. glaberrima	Mali	AA	Absent	
TELE 1-504		O. glaberrima	Mali	AA	Absent	
TIERIBLE-7988		O. glaberrima	Burkina Faso	AA	Absent	
UL58		O. longistaminata	Cameroun	AA	Absent	
W0006		O. officinalis	Sri Lanka	CC	nd	
W0015		O. punctata (4X) ?		BBCC	nd	
W0017		O. alta	Inde	CCDD	nd	
W0021		O. officinalis		CC	nd	
W0043		O. punctata (4X)	_	BBCC	nd	
W0046		O. latifolia	Paraguay	CCDD	nd	
W0048		O. latifolia	Paraguay	CCDD	nd	

N°	IRGC	espèce	Origine	genome	Présence de Pi33
W0065		O. officinalis		CC	nd
W0510		Rhyncoryza. subulata	Paraguay		Absent
W0542	100914	O. latifolia	Mexique	CCDD	Présent
W0553		O. latifolia	Chine	CCDD	Absent
W0566	101010	O. officinalis		CC	Absent
W0593	101942	O. rufipogon	Malaysie	AA	Absent
W0610	100923	O. rufipogon O. brachyantha	Myanmar Guinée	AA FF	Absent
W0656 W0B01		O. brachyantha O. barthii	Botswana	AA	nd nd
W1023		O. punctata (4X)	DOISWAIIA	BBCC	nd
W1023 W1144		O. latifolia	Paraguay	CCDD	nd
W1145		O. punctata (4X)	raraguay	BBCC	nd
W1159		O. malampuzaensis	Inde	2200	nd
W1168		O. latifolia	Costa Rica	CCDD	nd
W1177		O. latifolia		CCDD	nd
W1179		O. latifolia	Costa Rica	CCDD	Absent
W1184	100967	O. latifolia	Surinam	CCDD	Présent
W1185		O. glumaepatula	Surinam	AA	Absent
W1186		O. glumaepatula	Amérique du Nord	AA	Absent
W1191		O. glumaepatula		AA	nd
W1195		O. grandiglumis		CCDD	nd
W1196		O. glumaepatula	Amérique du Nord	AA	Absent
W1252		O. officinalis		CC	nd
W1271		O. officinalis	Brunei	CC	nd
W1308		O. officinalis		CC	nd
W1315		O. officinalis		CC	Absent
W1318		O. minuta	D	BBCC	nd
W1323		O. minuta	Philippines	BBCC	nd
W1330		O. minuta		BBCC	Absent
W1342		O. minuta	Ciarra Lagna	BBCC	Absent
W1403 W1408		O. brachyantha	Sierra Leone	FF BBCC	nd nd
W1467		O. punctata (4X) O. barthii	Nigeria	AA	nd
W1515		O. punctata (2X)		BB	Absent
W1526		O. eichingeri	Ouganda	BBCC	nd
W1529		L. perrieri	Madagascar	2200	nd
W1539		O. latifolia		CCDD	Présent
W1543	101508	O. rufipogon	Inde	AA	Présent
W1551	105601	O. rufipogon	Thailande	AA	Absent
W1574	104061	O. barthii	Nigeria	AA	Présent
W1583		O. barthii		AA	nd
W1586		O. punctata (2X)	Tchad	BB	nd
W1590		O. punctata (2X)	Cameroun	BB	nd
W1631		O. meridionalis		AA	Absent
W1638		O. meridionalis		AA	Absent
W1654	105616	O. rufipogon	Inconnu	AA	Absent
W1690	no	O. rufipogon	Thailande	AA	Présent
W1699	105628	O. rufipogon	Thailande	AA	Présent
W2077	105282	O. meridionalis O. meridionalis	Australie Australie	AA AA	nd Absort
W2080 W2100	105285 105287	O. meridionalis	Australie	AA	Absent Absent
W2105	no	O. meridionalis	Australie	AA	Absent
W2116	105300	O. meridionalis	Australie	AA	nd
W2117	105300	O. meridionalis	Australie	AA	Présent
W2136	100001	O. glumaepatula	Amérique du Sud	AA	Absent
W2140		O. glumaepatula	onquo uu ouu	AA	nd
W2149		O. glumaepatula		AA	nd
W2173		O. glumaepatula		AA	Absent
W2176		O. glumaepatula		AA	Absent
YELE-542		O. glaberrima	Mali	AA	nd
YL244		O. longistaminata	Guinée	AA	Absent
YL354		O. longistaminata	Guinée	AA	Absent
ZAKPALE MAN-230		O. glaberrima	Côte d'Ivoire	AA	Absent
ZAKPALE-151		O. glaberrima	Côte d'Ivoire	AA	Absent
ZIGA-8475		O. glaberrima	Burkina	AA	Absent

VII.5 Annexe 5 : Génotypage de l'introgression au locus Pi33

Polymorphisme Oryza rufipogon		Yes	Yes	Yes	No	No	Yes	Yes	Yes	No	No	No	No	No	No	No	No	No	No	No	No	No	No	No	No	No	No	No	No	Yes	Yes	Yes	Yes	Yes	Yes	Yes	Yes
Number of alleles		4	5	4	4	5	5	4	5	3	4	9	4	3	- 2	3	3	5	8	5	6	5	- 2	6	2	4	3	5	- 2	4	5	- 2	7	3	9	3	8
Cina	Sensible	3	е.	-	4	4	5	3	4	3	2	5	-	က	2	3	+	2	3	3	ļ	1	5	4	1	4	2	5	က	3	2	5	4	2	+	ļ	7
Mudgo	Sensible		2	+	4	2	4	3	4		3	9	4	-			3	3	2	2	2	1	- 2	9		4	2	4	0	3	1	- 2	3	က	4	2	7
Geb24	Sensible	3	3	-	4	2	4	Q	4		0	9	2	-		1	1	3		2		- 2	- 2	- 2		4	3	4	9	3	4	- 2	Q		- 2	1	7
Latisail	Sensible	3		9	4	4	4	N	4		0	4	4	-		3	ND	3	8	3		3	5	4	1	4	N	4	2	3	9	5	2			2	80
Peta	Sensible	3			4	4	4	3	4		0	4	4	-			ON	3	7	3		3	5		1	4	3	4	2	3	Q	5	9				80
82	Sensible	8		4	4	4	2	3	4	ON	Ļ	3	က	-	4		2	3	9	4	5	3	3	2	ND	3		+	5	4	9	2	5				3
C104LAC	Sensible	-		+	3	33	3	3	4	3	2	5	+	-	2	ļ	1	- 2	2	3	9	4		3	2	4	2	4	4	2	1	4	- 8	-			7
0039	Sensible	-		+	3	က		3	4				+	+		3	+			2	9	2		3		4	2	4	က		1	4	9	-	3		5
C101LAC	Résistant	-		+	3	3		3	4				3	2			1	2	4	3	2	4		4		3	3	1	4	3	1	2	9	3	- 5		4
M	Résistant	3		3	2	-		4	4					2			2	- 2	2	3						3		+		3	+	5	4				3
IRAT7	Résistant F	~			2	-	N		4				-	1			+			3		3			ND	4		+	2	3	0	2	5		ON.		2
Bala	Résistant	3			2	-	3		4				9	2			2			3		4			2	3		3	4	3	2		9		5		2
IR1529	Résistant R	-		2	2	2	2		5				4	-						3		2		2	ND	4			0	2	9		- 2				3
ZY08	Résistant R	2		2	2		2	2	2	2	ļ	3		2	3					4		4		4	N	4	1	+	en		60		7				9
J.L	Résistant R	3		3	2		3	4	4	3	2	2		2	2					3					2	3	3	3	4		Q.		4				9
Oryza rufipogon RGC 101508	Résistant	4	4	1	2	-	1	2	4	2	0	4	-	2	+	2	1	4	- 8	3	4	2	4	3	1	3	2	1	3	1	3	3	3	-	1	3	+
R64	Résistant	4	8	2	2	+	+	2	4	2	0	4	-	2	+	2	+	4	- 5	3	4	2	4	3	1	3	2	+	က	2	0	2	9	က	- 2	2	0
R36	Sensible Rés	8		2	2	-	2	3	3	2	0	4	-	2	-	2	+	4	9	3	4	2	4	3	1	3	2	+	9	1	9	3	9	-	2		2
Azucena	Sensible S	2	2	-	-	-	1	2	2	2	-	1	2	-	- 2	-	-	1	2	- 2	3	-	2	-	N	2	2	2	2	2	2	R	60	2	4	2	0
Nipponbare Azucena	Sensible	-	1	-	1	-	1	1	1	1	1	2	1	-	2	1	1	2	1	1	3	1	1	1	1	1	1	1	1	-	1	1	5	-	9	1	-
SSR Primer		RM5647	RM3819	RM1376	RM3231	RM3572	RM25	RM4085	RM5556	RM3374	RM1111	RM310	RM547	RM6208	RM7057	RMSPi33-41	RMSPi33-53	RMSPi33-43	RMSPi33-44	RM3507	RM3644	RM72	RMSPi33-6	RMSPi33-17	RMSPi33-30	RM6429	RM8243	RM6027	RM3481	RM3395	RM5514	RM44	RM483	RM331	RM404	RM433	RM4154

Les allèles microsatellites sont codés par un chiffre de 1 à 8. Pour un marqueur donné un allèle de même taille a le même chiffre. En vert allèles Nipponbare, en rouge allèles *O. rufipogon* IRGC101508, en bleu froncé allèles TYC, en bleu clair allèles C101LAC.

VII.6 Annexe 6 : Annotation des gènes du Cluster

VII.6.1 Annotation du cluster chez Nipponbare¹

Nom du locus	Synonyme	Debut Locus	Fin Locus	Taille (bp)	CloneBAC	Protéine	cDNA	Orthologue
japonica Os08g10244		(bp sur chr) 5 943 843	(bp sur chr) 5 948 383	4 540	AP004157	Rétrotransposon	AK109601	(Arabidopsis)
-	NI DEA					LRR-kinase	AK109001	
Os08g10250	Nip-LRK4	5 948 559	5 952 418	3 859	AP004157		A 17.0505.60	
Os08g10260	Nip-NB5	5 958 066	5 961 799	3 733	AP004157	NBS-LRR	AK070769	
Os08G10270		5 964 086	5 967 450	3 364	AP004157	Protéine hypothétique	AK108353	
Os08G10280		5 969 645	5 969 950	305	AP004157	Protéine hypothétique		
Os08g10290	Nip-LRK6	5 974 584	5 982 619	8 035	AP004157	LRR-kinase		
Os08g10300	Nip-LRK7	5 991 677	5 998 876	7 199	AP004157	LRR-kinase	AK065548	
Os08g10310	Nip-LRK8	6 009 401	6 016 936	7 535	AP003858	LRR-kinase	AK068816	
Os08g10320	Nip-LRK9a	6 025 829	6 032 813	6 984	AP003858	LRR-kinase		
Os08g10330	Nip-LRK9b	6 034 184	6 042 274	8 090	AP003858	LRR-kinase	AK100532	At1g56130
Os08g10340		6 049 485	6 052 675	3 190	AP003858	Protéine à Domaine F-Box	AK106289	
Os08g10350		6 056 430	6 059 051	2 621	AP003858	Transporteur GOLGI		At5g19980
Os08g10360		6 065 206	6 072 519	7 313	AP003858	Rétrotransposon		
Os08g10370		6 072 815	6 073 918	1 103	AP003858	Rétrotransposon		
Os08g10380		6 079 093	6 079 839	746	AP003858	Protéine hypothétique		
Os08g10390		6 092 034	6 094 474	2 440	AP003858	Rétrotransposon		
Os08g10400		6 096 633	6 099 056	2 423	AP003858	Protéine hypothétique	AK242966	
Os08g10410		6 106 033	6 109 322	3 289	AP004565	Protéine hypothétique	AK064331	AT2G32980
Os08g10420		6 115 476	6 117 299	1 823	AP004565	Hydroxycinnamoyltransferase		
Os08g10430	Nip-NB10	6 122 011	6 125 048	3 037	AP004565	NBS-LRR	AK119306	
Os08g10440	Nip-NB11	6 131 714	6 135 163	3 449	AP004565	NBS-LRR		
Os08g10450	_	6 135 784	6 138 076	2 292	AP004565	Transporteur de nucleoside	AK059439	AT1G70330
Os08g10460		6 139 415	6 144 842	5 427	AP004565	Rétrotransposon		
Os08g10470		6 148 820	6 151 471	2 651	AP004565	Protéine à domaine SET	AK103876	AT2G19640

VII.6.2 Annotation du cluster chez 93-11²

Nom du locus indica	Synonyme	Debut Locus (bp sur chr)	Fin Locus (bp sur chr)	Taille (bp)	Protéine	Homologue (Nipponbare)
OsIFCC025522	93-LRK4	6 316 607	6 321 717	5 110	LRR-kinase	Os08g10250
OsIFCC025523		6 324 419	6 325 792	1 373	NBS-LRR	
		6 338 792	6 343 000	4 208	Rétrotransposon TY1	
0 sIFC C 0 2 5 5 2 4	93-NB5	6 344 528	6 347 963	3 435	NBS-LRR	Os08g10260
0 sIFC C 0 2 5 5 2 5		6 351 480	6 352 097	617	Protéine hypothétique	Os08G10270
OsIFCC025526		6 355 125	6 355 824	699	Protéine hypothétique	Os08G10280
OsIFCC025527	93-LRK6	6 357 091	6 365 253	8 162	LRR-kinase	Os08g10290
OsIFCC025528	93-LRK6b	6 374 793	6 382 243	7 450	LRR-kinase	
OsIFCC025529	93-LRK7	6 390 854	6 398 567	7 713	LRR-kinase	
OsIFCC025530	93-LRK7b	6 407 061	6 414 453	7 392	LRR-kinase	Os08g10300
OsIFCC025531	93-LRK8	6 425 163	6 433 372	8 209	LRR-kinase	Os08g10310
OsIFCC025532	93-LRK8b	6 441 463	6 446 079	4 616	LRR-kinase	
OsIFCC025533	93-LRK9a	6 454 571	6 461 604	7 033	LRR-kinase	Os08g10320
OsIFCC025534	93-LRK9b	6 463 403	6 471 212	7 809	LRR-kinase	Os08g10330
OsIFCC025535		6 481 471	6 482 808	1 337	Protéine à Domaine F-Box	Os08g10340
OsIFCC042901		6 488 944	6 489 972	1 028	Transporteur GOLGI	Os08g10350
OsIFCC025536		6 502 662	6 504 576	1 914	Protéine hypothétique	
OsIFCC025537		6 517 117	6 518 480	1 363	Protéine hypothétique	
OsIFCC025538		6 529 848	6 532 961	3 113	Protéine hypothétique	Os08g10400
OsIFCC025539		6 540 413	6 541 823	1 410	Protéine hypothétique	Os08g10380
OsIFCC025540		6 551 621	6 554 130	2 5 0 9	Protéine hypothétique	Os08g10410
OsIFCC042902		6 567 407	6 567 907	500	Hydroxycinnamoyltransferase	Os08g10420
OsIFCC025541	93-NB10	6 575 073	6 582 997	7 924	NBS-LRR	Os08g10430
OsIFCC025542	93-NB11	6 587 033	6 590 350	3 317	NBS-LRR	Os08g10440
OsIFCC042904		6 591 102	6 591 906	804	Transporteur de nucleoside	Os08g10450
		6 600 993	6 612 163	11 170	Rétrotransposon gypsy	
		6 626 304	6 638 586	12 282	Rétrotransposon gypsy	
		6 645 211	6 647 234	2 023	Protéine hypothétique	
OsIFCC025543		6 648 686	6 649 820	1 134	Transporteur de nucleoside	Os08g10450
		6 658 088	6 658 592	504	Protéine à domaine SET	Os08g10470
OsIFCC025544		6 659 903	6 662 121	2 218	Protéine chaperone	Os08g10480
		6 663 554	6 664 281	727	Protéine de lien aux ions métaux	Os08G10490
OsIFCC042905		6 674 228	6 676 827	2 599	Protéine à domaine SET	Os08g10470
OsIFCC025545		6 678 338	6 680 676	2 338	Protéine de lienaux ions métaux	Os08g10480

 $^{^{1}}$ Les annotations ont été prédites automatiquement par TIGR

² Les annotations ont été prédites par FgeneSH

VII.6.3 Annotation du cluster chez IR64

Gène	Synonyme	Contig	Debut Locus (bp)	Fin Locus (bp)	Taille (bp)	gene fonction	Homologue (Nipponbare)
1		03M23-2	9	170	161	Rétrotransposon	Os08g10180
2		03M23-2	1303	1714	411	Rétrotransposon	
3		03M23-2	3067	6101	3034	Rétrotransposon	
4		03M23-2	8314	11829	3515	ABC transporteur	
5		03M23-2	13566	13732	166	Protéine hypothétique	
6		03M23-2	14046	15130	1084	Protéine hypothétique	Os08g10210
7		03M23-3	5343	6794	1451	Protéine cytochrome P450	Os08g10240
8		03M23-3	8412	8885	473	LRR-kinase	
9		03M23-3	9645	10090	445	Protéine hypothétique	
10		03M23-3	10679	22819	12140	Rétrotransposon	
11	64-LRK4		19256	26854	7598	LRR-kinase	Os08g10250
12		03M23-3	27605	28243	638	Protein similaire à un précurseur gag-pol	
13		03M23-3	29440	30161	721	Protéine hypothétique	
14	64-NB5	03M23-3	31915	34869	2954	NBS-LRR	Os08g10260
15		03M23-3	37517	39093	1576	Rétrotransposon	Os08g10270
16		03M23-3	41507	43630	2123	Fibroine	Os08g10280
17		03M23-3	44325	45019	694	Protéine hypothétique	
18	64-LRK6	03M23-3	48112	51506	3394	LRR-kinase	Os08g10290
19		03M23-4	650	3246	2596	Protéine hypothétique	
20	64-NB10-2	36	7999	9085	1086	NBS-LRR	Os08g10430
21		47	8	141	133	NBS-LRR	C
22		47	150	3351	3201	Transposon CACTA	
23	64-NB11-X	52	132	174	42	NBS-LRR	
24		222	36757	36824	67	NBS-LRR	
25	64-NB11-4,5	222	29098	33544	4446	NBS-LRR	
26		222	27970	28278	308	Transporteur de nucleoside	
27		222	26125	27763	1638	Shb	
28	64-NB11-tps	222	23898	24755	857	NBS-LRR	
29	-	222	13096	23850	10754	Transposon CACTA	
30	64-NB11-tps	222	10597	12643	2046	NBS-LRR	
31	•	222	8604	10631	2027	Protéine hypothétique	
32	64-NB11-3,5	222	1073	4516	3443	NBS-LRR	Os08g10440
33	ŕ	199	20796	22580	1784	Transporteur de nucleoside	Os08g10450
34		199	15779	18852	3073	Rétrotransposon	_
35		199	11845	14574	2729	Protéine à domaine SET	Os08g10470
36		199	8276	10606	2330	Protéine chaperone	Os08g10480
37		199	6479	7717	1238	Protéine de lien aux ions métaux	Os08g10490
38		199	2076	5066	2990	Protéine hypothétique	2
39		199	947	1890	943	Protéine hypothétique	Os08g10500

Les annotations ont été prédites par RiceGAAS et manuellement par alignement avec les séquences de références chez Nipponbare.

VII.7 Annexe 7 : Bilan de l'assemblage des clones BAC IR64

Nom contig	Clone BAC	Chromosome	nb contig	Debut Locus (bp sur chr)	Fin Locus (bp sur chr)		Taille Total Seq. (bp)	Nb Seq.	Taux de Couverture
A	44H23	1	6	195 562	245 069	6 957	13 205	17	1.90
В	44H23	2	2	11 949 336	11 951 562	1 574	1 574	2	1.00
C	44H23	5	9	24 401 354	24 448 443	34 584	109 569	140	3.17
199+222	44H23	8	2	6 123 391	6 163 855	72 831	1 223 975	1041	18.26
D	44H23	?	2			183	318	3	1.74
10	33B02	?	1			2 773	7 021	12	2.53
15	33B02	8	1	6 665 964	6 667 875	2 636	8 234	15	3.12
19	33B02	8	1	6 133 720	6 133 430	7 487	44 365	75	5.93
23	33B02	?	1			797	797	1	1.00
24	33B02	?	1			408	408	1	1.00
25	33B02	?	1			691	691	1	1.00
26	33B02	?	1			170	170	1	1.00
36	33B02	8	1	5 927 048	6 122 721	9 130	49 063	80	5.37
37	33B02	8	1	5 927 048	6 122 603	5 505	31 314	50	5.69
42	33B02	8	1	5 963 272	5 963 355	1 313	5 496	8	4.19
44	33B02	8	1	6 124 342	6 133 891	1 821	19 235	29	10.56
47	33B02	8	1	5 923 558	6 132 554	3 351	15 463	23	4.61
49	33B02	8	1	5 926 216	5 927 049	2 208	6 149	14	2.78
50	33B02	8	1	6 122 101	6 133 908	1 734	5 897	13	3.40
51	33B02	8	1	6 122 792	6 136 036	18 195	193 613	315	10.64
52	33B02	8	1			890	2 418	5	2.72
54	33B02	8	1			1 554	2 825	5	1.82
03M23-2	03M23	8	1	5 897 477	5 916 878	15 205	Nd	Nd	Nd
03M23-3	03M23	8	1	5 921 582	5 978 867	52 349	Nd	Nd	Nd
03M23-4	03M23	?	1			3 308	Nd	Nd	Nd

	,
١	7

Г	<u> </u>							Г	8			1
64-LRK9b		100.000						TIDEA NID	3 IKO4 INDU	76.52%	89.60%	
64-LRK9a		100.00% 83.59%						Nia-Ndri () Ndri 194 Ndri 1954 Ndri 4 Nia-Ndri () Ndri 1954 Ndri 1954 Ndri 1954 Ndri 1954 Ndri 1954 Ndri 1954 Ndri 1955 Ndri 1	1K04 IND 11 3	74.69%	86.06% 87.97%	10 H 2 V C
64-LRK8		100.00% 86.39% 82.31%						200 1 1 3 1 1 3 5 1 1	IK04 IND I 1 4.3	74.72%	88.54%	%80'96
64-LRK7		78.83% 78.83% 82.83% 82.11%						O. M. D. L.	3-in bilipsa	80.10% 74.73%	93.69% 92.20% 0.00%	93.71%
64-L RK6		85.48% 85.48% 81.67% 81.55% 82.82%						10N	s osdillan-	74.80% 76.86%	84.23% 88.50% 100.00%	0.00% 90.50% 89.44%
	% 0	83.22% 78.70% 79.31% 78.15% 81.25%						03 NID 11 0	93-IND I I a 93	76.97% 74.51%	84.76% 84.59% 87.96%	89.38% 94.70% 94.89%
93-LRK9b 64-LRK4	00 000 79.80%	83.13% 81.18% 81.09% 81.74%						alva Silva S	74.49%	73.79%	85.07% 84.95% 84.89% 87.96%	96.86% 90.19% 92.75% 95.50%
		80.96% 83.07% 85.73% 81.93%						E CALINDIA	IKOH INDIO 2	76.23%		89.92%
Nip-LRK6 Nip-LRK7 Nip-LRK8 Nip-LRK9a Nip-LRK9b 93-LRK4 93-LRK6 93-LRK6b 93-LRK7 93-LRK7b 93-LRK8 93-LRK8b 93-LRK9a	100.00% 86.09% 79.49%		او				I	PK4 NIBIO	KOH INDIO I	73.08%	88.50%	88.54% 86.06%
93-LRK8	100.00% 99.158% 86.52% 80.61%	80.59% 80.67% 87.75% 81.71%	Chr4LRK6		82.55%	77.27%	78.38% 78.33% 79.77%	ordin so	03-INDIO	75.55% 75.76%	99.59% 88.91%	84.76% 84.23% 93.69% 85.69% 85.40%
93-LRK7b	100 00% 80.64% 80.63% 82.03% 96.29%	81.8 81.8 81.9								75.80%	99.49% 99.74% 89.90%	85.07% 84.61% 84.67% 94.01% 85.76% 85.48%
93-LRK7	100.00% 97.54% 80.74% 81.42% 81.25% 81.25%	83.46% 80.00% 81.96% 81.96%	Chr4LRK5	83.76%	78.28%	77.62%	79.39% 79.41%	SGIN FOUL SGIN EO SOUN EN	CON FONT C	200	% 73.08% % 76.23%	% % % 74.72% % 74.69%
93-LRK6b	100,00% 82.18% 82.24% 79.87% 79.73% 80.78% 81.94%	85.81 82.82 79.43 81.07		. 0 .0	0 <0 <	o		div co saix	dul-66 cdv	9% 8.58	75.32% 76.13% 75.55% 73.63% 73.63% 75.15% 77.25%	74.49% 75.10% 76.97% 75.87% 74.80% 75.00% 80.10% 75.26% 78.18% 75.24% 74.49%
93-L RK6	100,00% 88,42% 88,52% 88,52% 88,97% 89,17% 89,11,72%	95.49% 84.30% 82.14% 83.16%	Chr4LRK4	85.44% 84.64%	78.20%	78.52%	78.98% 79.69%		1	98.69% 98.75%		
93-LRK4	100 00% 81.88% 81.88% 6 78.76% 80.39% 6 0.00% 0.00% 7 78.15% 7 76.35%	81.70 79.74 0.00 76.35 0.00		% % %	2 % %	2 % %	% % %	Doction	Ch8:5 958 0665 961 799	Ch8:6 337 9716 349 614	Ch8:6 121 076.6 125 048 Ch8:6 566 820.6 592 993	Ch8: 6 131 714 6 135 163 Ch8: 6 566 820 6 59 2 993 ChUnK: 55 608 822 55 612 796 ChUnK: 45 350 073 45 354 804
Nip-LRK9	76.35% 81.20% 81.16% 81.19% 81.19% 77.449% 81.18% 81.19% 81.19% 81.19% 81.19% 81.19%	83.08% 81.09% 80.88% 81.28% 99.07%	Chr4LRK3	85.33% 83.24% 84.63%	79.56%	78.52%	79.54% 79.54% 79.30%		Ch8:5 958	Ch8:6 337	Ch8:6 121 Ch8:6 566	Ch8:6 131 Ch8:6 566 hUnK:55 66 hUnK:45 35
Nip-LRK9	100.00% 81.05% 81.17% 81.17% 81.17% 88.14% 88.54% 88.54% 88.54% 98.30%		ILRK2	7% 7% 7%	%%	3%3	2% 2%	P1-38-0-0	AP005442	10292 03M23	AP004565 4897 sequençage 33B02	AP004565 4897 17304 C 16744 C 44H23 44H23
Nip-LRK8	100001 8663% 8863% 8163% 81163% 8015% 8062% 8062% 8062% 8062% 8062%	80.2 80.7 87.7 81.7	Chr4L	85.47% 87.44% 84.97%	77.3	79.5	80.3 80.4					3449 A 9762 2414 4732
Nip-LRK7	100,00% 81,18% 80,38% 80,38% 81,94% 91,27% 80,96% 80,96% 81,94% 81,94% 81,94% 81,94% 81,94% 81,94% 81,94% 81,54% 81,54% 81,64%	83.84% 98.11% 80.16% 81.88% 81.73%	.K	%% %% %% %% %%	%2%	% % %	8 4 % % % % %		3 3	01		
Nip-LRK6	28.19% % 80.46% % 81.172% % 81.172% % 81.91% % 80.23% % 82.98% % 81.51% % 82.98% % 81.51% % 82.98% % 82.98% % 82.98% % 82.98% % 82.98% % 82.98% % 82.98% % 82.99% % 82.90% % 8		Chr4LRK	82.80% 81.99% 81.48% 81.83%	78.87%	78.07%	77.03% 80.04% 79.23%	S. C.	Kemardue		sequence incomplète sequence incomplète	sequence incomplète
Nip-L RK4		84.48% 79.35% 79.81% 81.47% 81.25%		Chr4LRK2 Chr4LRK3 Chr4LRK4 Chr4LRK5 Chr4LRK6	Chr8-LRK4	Chr8-LRK7	Chr8-LRK9a Chr8-LRK9a Chr8-LRK9b					
Gène	Nip-LRK4 Nip-LRK6 Nip-LRK7 Nip-LRK9 Nip-LRK90	64-LRK6 64-LRK7 64-LRK8 64-LRK9a 64-LRK9b		Chr4 Chr4 Chr4 Chr4	Chr8	Chr8	Chræ Chræ L	С	Nip-NB5	93-NB5 IR64 NB5	Nip-NB10 93-NB10 IR64 NB10 1 IR64 NB10 2	Nip-NB11 93-NB11a 93-NB11tpsb 93-NB11tpsa IR64 NB11 4.5 IR64 NB11 3.5

Pourcentage d'homologie de séquence entre les LRR-Kinase (A et B) et entre les NBS-LRR (C). Les comparaisons sont effectuées entre les paralogues au sein d'une variété et entre deux variétés par BLAST. A et C = Comparaison des LRR-Kinase au locus Pi33, B = Comparaison chez Nipponbare du cluster situé sur le chromosome 4 avec le cluster Pi33. Comparaison chez Nipponbare du cluster situé sur le chromosome 4 avec le cluster Pi33.

VII.9 Annexe 9 : Liste des amorces utilisées

VII.9.1 Amorces pour le génotypage de variétés sur l'ensemble du génome et au locus *Pi33*

Nom	Chromosome	Position (pb)	Forward	Reverse	Reference
RM495	1	213775	AATCCAAGGTGCAGAGATGG	CAACGATGACGAACACAACC	Temnykh et al., 2001
RM237	1	26795136	CAAATCCCGACTGCTGTCC	TGGGAAGAGAGCACTACAGC	Chen et al., 1997
RM507	5	71397	CTTAAGCTCCAGCCGAAATG	CTCACCCTCATCATCGCC	Temnykh et al., 2001
RM7057	8	5849947	TACGTCGTTGATCGATCGAG	GAGATCAGCAGGAATCATGC	McCouch et al., 2002
RMSPi33-41	8	5915858	ATGCATGAGAGCAAACTAGCAA	CATCAGCCCATGTGTGTGTATT	Ballini et al., 2007
RMSPi33-53	8	5945971	ACAGGATCTTTACCGGCATTTA	ACGCAAGGAGATTGTTGAGATT	Ballini et al., 2007
RMSPi33-43	8	5967323	AATTGGTCGAGTTTTAACTGTG	GTCTTTAACCATAACTTACCCAAA	Ballini et al., 2007
RMSPi33-44	8	6001276	CCTAGGGGTTCCTTGAGAGAAT	TTTCAAATTCAACCTACGCATTT	Ballini et al., 2007
RM3507	8	6152888	ACCCCTATCGATCAACCCTC	TTCGTTTGGTGTTAGGGGC	McCouch et al., 2002
RM3644	8	6199552	GAAGAGAGTGGGAGGATGGG	AATTTGTGTGCTCCTCCACC	McCouch et al., 2002
RM316	9	1022575	CTAGTTGGGCATACGATGGC	ACGCTTATATGTTACGTCAAC	Temnykh et al., 2000
RM474	10	1798783	AAGATGTACGGGTGGCATTC	TATGAGCTGGTGAGCAATGG	Temnykh et al., 2001
RM536	11	8963471	TCTCTCCTCTTGTTTGGCTC	ACACACCAACACGACCACAC	Temnykh et al., 2001
RM277	12	18286114	CGGTCAAATCATCACCTGAC	CAAGGCTTGCAAGGGAAG	Temnykh et al., 2000

VII.9.2 Amorces pour le génotypage de variétés sur l'ensemble du chromosome 8

Marqueur	Start	Stop	Forward	Reverse	Motif	Référence
RM5647	2886526	2886629	ACTCCGACTGCAGTTTTTGC	AACTTGGTCGTGGACAGTGC	(AAG)16	McCouch et al. 2002
RM3819	3009712	3009919	ACCTCACCTGTGGATCTTGG	CAATCCCCTTCTCTCCTTCC	(GA)20	McCouch et al. 2002
RM1376	3162526	3162725	CATGTGTGATGACTGACAGG	GGTGCTGTGATGATTCTTTC	(AG)31	McCouch et al. 2002
RM3231	3832787	3832935	AACACGAAGACCGGCCTC	CAGGTAGGAGCATGAGAGCC	(CT)12	McCouch et al. 2002
RM3572	3921984	3922127	AGTGCTGTCTGGTTTTTGGC	CCCCTCCCTTTCTTTCTTTG	(GA)12	McCouch et al. 2002
RM25	4372113	4372250	GGAAAGAATGATCTTTTCATGG	CTACCATCAAAACCAATGTTC	(GA)18	Temnykh et al.,2001
RM4085	4443929	4444061	ACGAAACTACTCATGTGTAA	CGAGTCTAGAATCCATATAA	(TA)13	McCouch et al. 2002
RM5556	4583162	4583263	ATCTCCCTCCCTCTCCTCAC	TCCACACCTTCACAGTTGAC	(TG)15	McCouch et al. 2002
RM3374	4725702	4725793	ATGAACTAGTGAACCCCCCC	GTAGCGGTAGCTGCAAAAGC	(CT)16	McCouch et al. 2002
RM1111	4767427	4767499	CCTCCTGTCGGATCTGGTAG	CTTATCCACTTGCCCTCTCG	(AG)12	McCouch et al. 2002
RM310	5110427	5110498	CCAAAACATTTAAAATATCATG	GCTTGTTGGTCATTACCATTC	(GT)19	Temnykh et al.,2000
RM547	5586078	5586272	TAGGTTGGCAGACCTTTTCG	GTCAAGATCATCCTCGTAGCG	(ATT)19	Temnykh et al.,2001
RM6208	5782678	5782820	TCGAGCAGTACGTGGATCTG	CACACGTACATCTGCAAGGG	(CGG)8	McCouch et al. 2002
RM7057	5849947	5850085	TACGTCGTTGATCGATCGAG	GAGATCAGCAGGAATCATGC	(AATT)11	McCouch et al. 2002
RMSPi33-41	5915858	5916016	ATGCATGAGAGCAAACTAGCAA	CATCAGCCCATGTGTGTGTATT		
RMSPi33-53	5945971	5946219	ACAGGATCTTTACCGGCATTTA	ACGCAAGGAGATTGTTGAGATT		
RMSPi33-43	5967323	5967561	AATTGGTCGAGTTTTAACTGTG	GTCTTTAACCATAACTTACCCAAA		
RMSPi33-44	6001276	6001511	CCTAGGGGTTCCTTGAGAGAAT	TTTCAAATTCAACCTACGCATTT		
RM3507	6152888	6152991	ACCCCTATCGATCAACCCTC	TTCGTTTGGTGTTAGGGGC	(CT)26	McCouch et al. 2002
RM3644	6199552	6199705	GAAGAGAGTGGGAGGATGGG	AATTTGTGTGCTCCTCCACC	(GA)14	McCouch et al. 2002
RM72	6757379	6757529	CCGGCGATAAAACAATGAG	GCATCGGTCCTAACTAAGGG	(TAT)5C(ATT)15	Temnykh et al.,2000
RMSPi33-6	7611627	7611946	GGCGTCTGTGGTACTTTGCT	CAGCAGCTCCGATTGTGTTA		
RMSPi33-17	7629498	7629705	ACTCCATAACAAATAAACGAAAGAA	TTTGATACCACAAATCAGCATCTT		
RMSPi33-30	7751951	7752563	ATGAACTTAACCCCATTCAGAAAAG	ATAAGGAAACAGCGATACAGAACAG		
RM6429	8379052	8379150	ACGACATGTCGATCAGCATG	ACCCTCTACGTACGTTCCCC	(GAG)9	McCouch et al. 2002
RM8243	8930096	8930264	CTCGTGCAACCATTATATTC	ACCTTAGCTGTCCTGAATTG	(CA)11	McCouch et al. 2002
RM6027	9105142	9105239	AAGCTCAACAGCTACCTCGG	CCCGTACACCACCGGAAAC	(CCG)8	McCouch et al. 2002
RM3481	9129811	9129998	CTCGTCGCGTTCGTCAAC	CATCTCATCACCTCACGTCG	(CT)22	McCouch et al. 2002
RM3395	10288488	10288546	ACCTCATGTCCAGGTGGAAG	AGATTAGTGCCATGGCAAGG	(CT)17	McCouch et al. 2002
RM5514	10401961	10402042	CTTCGAGCCCATACTCCATG	ACTCCGAACGTTACTCTCGC	(TG)12	McCouch et al. 2002
RM44	11752192	11752348	ACGGGCAATCCGAACAACC	TCGGGAAAACCTACCCTACC	(GA)16	Temnykh et al.,2001
RM483	11914878	11915195	CTTCCACCATAAAACCGGAG	ACACCGGTGATCTTGTAGCC	(AT)26	Temnykh et al.,2001
RM331	12288863	12289080	GAACCAGAGGACAAAAATGC	CATCATACATTTGCAGCCAG	[(CTT)4GTT]2(CTT)11	Temnykh et al.,2000
RM404	15307956	15308192	CCAATCATTAACCCCTGAGC	GCCTTCATGCTTCAGAAGAC	(GA)33	Temnykh et al.,2001
RM433	25691233	25691769	TGCGCTGAACTAAACACAGC	AGACAAACCTGGCCATTCAC	(AG)13	Temnykh et al.,2001
RM4154	28113079	28113230	AGAAGATCGATCGAAGAAAC	ATCATGAAACACAATAAGGC	(TA)14	McCouch et al. 2002

VII.9.3 Amorces pour le séquençage des gènes candidats

Primer	gène	position début	position fin	taille	Primer F	Primer R
LRK4-F1	Os08g10250	6559	7630	1071	GCCATAGGGTCCTCCAAGAT	GCATTGATTCCCACCAAACT
LRK4-F2	Os08g10250	7467	8461	994	GACGGCATTGCAGTATCTGT	GGTTTCGCCATTGTTGAAGT
LRK4-F3	Os08g10250	8097	9113	1016	GGAGCTACCATCAGCCTTGT	TCAGGCCACCATACAGAACA
LRK4-F	Os08g10250	8612	9697	1085	GCCAACTTTGTTTTACGGTTTC	GAGGCTGTTGTTTCCAAGAAAT
LRK4-F4	Os08g10250	9582	10644	1062	GGAAACAACAGCCTCTCTGG GCCAGAACGTCATCCTCTTC	GTCCATGTCGTGTTGTCTGG
LRK4-F5 LRK4-F6	Os08g10250 Os08g10250	10532 11321	11550 12379	1018 1058	ATGGCCGTGTTTAGTTCCAA	GAAGACATCTGGCCTTCCAA CCAGCGATTAATCACCGTCT
LRK4-F0 LRK4-F7	Os08g10250	12248	13294	1036	CGAAAATGTGTCACGGCTTA	GGACGGCCACCTACTGACTA
LRK4-F8	Os08g10250	13102	14137	1035	TGCGTTGTATGGACTTGATGA	GCTGGTTTTGATGTCCCTGT
LRK4-F9	Os08g10250	13962	15023	1061	TATGCACCACCAGCAAATTC	AAGGGCACAATGTTTGAAGG
LRK4-F10	Os08g10250	14923	15842	919	GTGAGTTTGCTGAGGGAAGG	TCACTTTGTGCGGTATCCAA
LRK4-F11	Os08g10250	15601	16502	901	CACGACATTTGCAACTACAACA	ACGTCGAGTAGGAGCGGAGT
NB5-F2	Os08g10260	31	952	921	AAACATTGCTGCAGCTTGAA	AGAGAGATTGATGCGCTGGT
NB5-F3	Os08g10260	727	1719	992	CAAGAACGAGGAAGCAGAGG	GGGGGAGTTCAGAGGAAGTT
NB5-F	Os08g10260	1329	2235	906	GGTCTGTTTTTCCAGAAAATGG	CCGGTTTTTCCCAAGTGTAATA
NB5-F4	Os08g10260	2065	2967	902	CTTCCGAGCCAAATATCCTG	CAATTGTTGGCTTTGGAGGT
NB5-F5	Os08g10260	2661	3654	993	TTGAAACCATATGAACCCTTGA	AGGAGAGCCGGTGAGCTAAG
LRK6-F1 LRK6-F3	Os08g10290	71 977	1118	1047 911	GACGACGCAGCAGAGAT TTTTGAAACGGAGGGAGTAA	TGCGCTTTAACTACCCCAAA GGTCGAAGCAAGAGGTTCAG
LRK6-F3	Os08g10290 Os08g10290	1684	1888 2671	987	GGGAGATGGGGAACGAAT	TCGAAGATCCGTGAGATTCC
LRK6-F5	Os08g10290	2476	3549	1073	TTGGGAAGCTTACTTTCATGC	ACATATTGCCCATGCAGATG
LRK6-F2	Os08g10290	3317	3549	232	GCAGGTGGGCATCAGATAAT	ACATATTGCCCATGCAGATG
LRK6-F6	Os08g10290	3366	4279	913	AGGGACCTTGACAAAGTTGG	CATCAGGGGGAAAATGTCAC
LRK6-F7	Os08g10290	4163	5156	993	TTGTAGGAGGTTCCAAGGAAAT	AACGCGTGTAACTTGTCAGG
LRK6-F8	Os08g10290	5019	6022	1003	ACAATCAACTCACGGGAAGC	CAAGGAAGTTTTTCGACACGA
LRK6-F9	Os08g10290	5803	6781	978	AGGAAGGCGAATTTTTGACA	CGATGTTGCACAGCTGAAAT
LRK6k-F	Os08g10290	6678	7659	981	CCTGATGGAAGAGTCATAGCTG	CAGATGACTCTCAAGGCTTCCT
LRK6-F10	Os08g10290	7426	8370	944	CACCGACAACTCTCGTGAAG	CGCGAGATCAAATGAGGATT
LRK7-F1	Os08g10300	57	1042	985	TCAGAGCGAGATAACGTGACA	TTTAACGGTCACCAACCACA
LRK7-F3	Os08g10300	767	2010	1243	CCTTTCTTGGCCGTTTACTG	TTCCGTCATCAAGACAGAGG
LRK7-F	Os08g10300	1784	2646	862	GTGACGATGAATTGAATTTGGA	TCAGGCTGATACCTCTGAAACA
LRK7-F4	Os08g10300	2464	3673	1209	ATCCCTTCCACGATTTCTCA	CGGATATCTTGCAGTTCCTCA
LRK7-F5	Os08g10300	3404	4489	1085	GCCACATTTGTCCCTTGACT	CCGAGGAAACAAGGAGTGTC
LRK7-F6 LRK7-F2	Os08g10300 Os08g10300	4382 4836	5411 5728	1029 892	TTTTGACGTCACCTTCCTCA GTCACCATCGTCCCTGAGAT	CCCAGCAATTACACCAGCTT GACGACTTGTGGGAACCACT
LRK7-F2 LRK7-F7	Os08g10300	5360	6647	1287	TGTGAGAAATGGAGTTCCAAAA	TTGGATGCAAAGACCATTGA
LRK7-F8	Os08g10300	6459	7079	620	CTTTTGAAGCGGCTATCTGG	TTTGCATTCACCTTCCATCA
LRK8-F1	Os08g10310	75	1165	1090	TACAGAGCCTCCCTTTGCAT	TTTTTAAACTGCCCGTGGTC
LRK8-F2	Os08g10310	1012	1931	919	CTCTTTGGCAGGGTTTACCA	CCCAAGGCAAATCAACAAGT
LRK8-F3	Os08g10310	1704	2778	1074	CCTCCCCTAGTGCACGATAA	CGAGCCTTTTGATCCACAAT
LRK8-F4	Os08g10310	2293	3474	1181	TGTTTGAAATTCATCGCTGCT	TGCAATTCCACTTGTCTTGTG
LRK8-F	Os08g10310	2924	3776	852	CCAATTTTTCTGGTCAACTTCC	CCAATGAAGAGCTCCCATTTAC
LRK8-F5	Os08g10310	3378	4558	1180	TTGGGAGCTTGTCTAATTTGG	TTTTTCCCTTGGAAACACAAA
LRK8-F6	Os08g10310	4359	5392	1033	GGGATAAGCCCTTCGCTAAC	TTTTCCACCAGCCATCTTTC
LRK8-F7	Os08g10310	5216	6215	999	TTGGCAAAGCTTAGGAAGGA	CGATGTTGCACAGCAGAAAT
LRK8-F8	Os08g10310	6101	7193	1092	AGGGTGTGCTACCTGATGGA	ACCTCTGCCACCTCAACATC
LRK8-F9 LRK9a-F1	Os08g10310	6819	7734	915	CGGGGTGGTAGCACTAGAGA	GGCCATCCAAAATCGCTTA
LRK9a-F1	Os08g10320 Os08g10320	13 952	1212 1864	1199 912	CGCATAGTACGATGAATCAACAA GACATGGACATGCTTGTTGG	CAGCATCTAGGCAGAGCTGA CTGAGAAAACGGGCATTGTT
	Os08g10320	1685	2970	1285	AACTTACATATATAGGCACCTCAGTG	CTGCTCCAAGGTCTCCAGAT
	Os08g10320	2651	3566	915	CGATTCCGGAAAGTTTGTCT	GTTGTTTGCCACCAAATTCC
	Os08g10320	3448	4504	1056	GGCTACCCAGAACAACTTGC	TATTGCCCGTGCATTGTAAC
	Os08g10320	4272	5370	1098	GGTGGTGGTTCTGCTAC	CATACCCTGCCAAAGGAAGA
	Os08g10320	5190	6141	951	TCTTGGGGAAGGTGGATATG	TTGCTTTCCTCGATGGAGTT
LRK9a-F7		6018	6959	941	TGGCTCCTGAGTATGCAATG	TTCCTTTCGGAGGCTTAAAA
LRK9-F1	Os08g10330	-13	945	958	TGAGGTTTCTCTTGCCTTTTC	GGAATTGGTGTCCATGGTTT
LRK9-F2	Os08g10330	831	1921	1090	GCAGCTTAGAGATGGGTTGC	AAGGAGCAGTCGCACTTGAT
LRK9-F3	Os08g10330	1778	2828	1050	GAACACGATCCTGGGGAGAT	TGGAGAACAGGGTATGGTGA
LRK9-F4	Os08g10330	2624	3661	1037	TTGACTGTGATTTGGCTTCAA	TTTTCCAAATTGCCCAGTTC
LRK9-F5 LRK9-F	Os08g10330	3523	4440	917	TCTTACAGAGGCGAATTTATGC AGGTCCAATTCCAGCAAGTCTA	CGAGGAGCTCCCATTTAGAA CAGTTGCAAATTGTTCCCAGTA
LRK9-F LRK9-F6	Os08g10330 Os08g10330	4276 5002	5143 5992	867 990	CATGGCCACATGTTACTCCT	AGCTCACCCTATGCAAAACG
LRK9-F0 LRK9-F7	Os08g10330	5880	6834	954	GGGCGGAGAGTTTTTGACAT	TCCGATGTTGCACAGAAGAG
LRK9-F8	Os08g10330	6733	7830	1097	ATGGAAGGGTGGTAGCTGTG	ACCACATCACTCACCGGAAT
LRK9-F9	Os08g10330	7730	8191	461	CGTATGTCGTTCCTTTGCAC	TTCAATCGTGCGAATTCATC
	Os08g10430	140	1126	986	GATTTGGGGGTCTTGGTAAAAC	CCATCCTTGGATCGAATTACTC
	Os08g10430	1005	2008	1003	CGTGTTGAAGATGTGGCTTG	ATTTCCAGCGTCTCCAAATG
	Os08g10430	1899	2990	1091	GCCATCAGACATCTGGTTCA	TTTGCTGTCGCAGAAATCAC
	Os08g10430	2817	3228	411	GAGCATGTTCTCAGGGAAGC	AGACCGGTGGAGTCAGTACG
	Os08g10440	59	1140	1081	TGGAATTCCTTTCATCCAAA	GCCAAGTATTGCACCTGACA
	Os08g10440	1035	2079	1044	TCAAGGAGTTCACTGGATTTG	CGTCACCTCCCGATCATAGT
	Os08g10440	1899	2884	985	CGGCAATTATCCAGAGGACTAC	TGCGAGGAAATCTAGACAGTGA
NBLR11-F3	Os08g10440	2776	3628	852	CTGGGGTCTTCTGTTGGAAA	CAGTACGGTGCCACAGCTT

VII.9.4 Amorces utilisées pour les PCR long-range encadrant les gène NB11-3,5 et NB11-4,5

Amorce	Séquence	Position par rapport au gène NB11-3,5 (bp)
LPCR1F	AAATTCTTCCTACCAGACAGGTTCT	-415
LPCR2F	AGAATTTCTGTAAGTTTTTGGTTGG	-194
IR64-NB11F	CGCAGATGCTTAATTGCTTG	-174
LPCR2R	GCTTTAATGAAGGAAATCATACACG	117
IR64-NB11R	CAGTACGGTGCCACAGCTT	138
LPCR1R	AACAAGGGTATGTATTCTTTGTTGC	491

VII.9.5 Amorces pour l'analyse d'expression par Q-PCR au locus Pi33

Gène	Nom Amorce	Amorce F	Amorce R	Commentaire	Taille (bp)
LRK4	LRK4CDSF	ATCATTGGCATCCTTACC	CAGAATCATTGGCATATCC	Pas spécifique	278
NB5	NB5CDSF	ATCTTCCTCGTCATCTTAG	AATAACTCTTAGCAACTTCC	ok	155
LRK6	LRK6CDSF	GCCATCAATGTCCAGAGTC	CACCTTCCTTCGTCAATGC	ok	230
LRK7	LRK7CDSF	ATTGAGATGACTGAGATGG	GGTTATCGTTGGAGAAGG	Pas spécifique	164
LRK8	LRK8CDSF	GAGATGTTGAGGTGGCAGAGGTAG	GTGATTGTTGGTGATTGAGTGAGAGG	ok	162
LRK9a	LRK9aCDSF	CGAACACTAATAACTCCATC	GTCACCATCTCAACTACC	ok	243
NB10	NBLR10CDSF	GAGGTATCTTATCGTAGTTG	TCTGTGAATGTATTGATGG	ok	159
NB11	NBLR11CDSF	ATGGATGATGATGGTGAG	TCTGGTTGGCAATCTGATGG	Pas spécifique	198
LRK9b	LRK9bCDSF	ATGGCTTCTTGTGGCTGATGC	GCTCGCCGCTGATGTTCC	Pas spécifique	155
LRK4	LRK4F2	CGAATTTAGGAGAGGCATCATAC	CGTTCTGGCTGTCTGGAATAG	Pas spécifique	160
LRK7	LRK7F2	GGTCCTGGCAATTCTTACTGG	GCTGGTGTTCCCTCCTCTG	Echec optimisation	96
LRK9b	LRK9bF2	GCGAAGCCGAACTACATCATTG	TGTCTCCCTCTGCCCACTG	Pas spécifique	110
NB5	NB5F2	TGGCATTGAGCACCTACTG	CTATGAGGCTACCACTTCGG	ok	181
NB11	NBLR11F2	TCTGGTGACAGCCTGATGG	TCTGGGAACTCGGGAGAGG	ok	92
LRK7	QLRK7F	TAGAGAGCAGAGGGAGACTTC	AGGATGACTTGGTTATGAGTATGG	Pas spécifique	199
LRK9b	QLRK9bF	AATAGCAGCCATGTCACCAC	GCAACTTCGCATTCATCTTCC	Pas spécifique	137
NB10	QNB10F	CGTAATTGATTGATCCTCTGTCTG	GCTGGCTATGATAATGTATTGTCC	ok	159
NB11	QNB11F	ACAGCAGCAATAAGGTTCGC	TGAGCCAAGTGAGCAGGAG	Pas spécifique	102
LRK4	QLRK4F	ACCTGCTTCTCCAGATGATTCCTC	GATGCCTCTCCTAAATTCGTGTCG	Pas spécifique	113

VII.9.6 Amorce pour criblage par Tilling sur les mutants IR64

Gène	Nom Amorce	Séquence F	Séquence R	Taille (bp)
64-NB11-4,5	Pi33_1	ATGATAAGATCGGGCAGCAA	GCAAATCCATGAATGCCATA	561
Nip-NB11	Pi33_2	TGGTAAAACAACACTTGCCAAA	AAGTAATGCGGTGCCAAAAA	501
64-NB11-3,5	Pi33 3	CATGTCAAGTCCCCTGATGA	GTGGCAAACCTCCACACTTT	533

VII.9.7 Amorces pour séquençage des mutants C101LAC

Name	Sequence	Taille
Pi33_1_F	CTGGGGTCTTCTGTTGGAAA	852
Pi33_2_F	GCGAGCAGACCAATCTAAGG	542
Pi33_3_F	CGGCAAATATCCAGAGGACTAC	985
Pi33_4_F	TGTGGAAACAAGAAGCATGG	740
Pi33_5_F	TGGAGTTCACTGGATTTGTTA	1044
Pi33_6_F	CATGTCAAGTCCCCTGATGA	533
Pi33_7_F	ATGATAAGATTGGACAACAA	561
Pi33_8_F	ATCCAAACAGGCTCCATCTG	1081
Pi33_1_R	CAGTACGGTGCCACAGCTT	852
Pi33_2_R	TATCGATGCCCAACTCACAA	542
Pi33_3_R	TGCGAGGAAATCTAGACAGTGA	985
Pi33_4_R	GCCCAGCGATGGACACGTAG	740
Pi33_5_R	CGTCACCTCCCAATAACGGT	1044
Pi33_6_R	GCGGCAAACCTCCACACTTT	533
Pi33_7_R	GCAAATCCATGAATGCCATA	561
Pi33_8_R	GCCAAGTATTGCACTGGACA	1081

VII.9.8 Amorce pour la validation par RT-PCR Quantitative des gènes de puces

N° TIGR Amore	e Sequence F	Sequence R	Annotation TIGR
Os02g48210 qq3838	ACCATCCTGCAGATCCTGAC	CCTGGTAGTTCTGGGTCCAA	Protéine kinase
Os06g09260 qq3128	66 GCCATATGCCGAGTTCCTC	CGAATGCAACACTCAAGAACA	Protéine hypothétique
Os12g30580 qq3266	69 CCTCGTCTTCACACCACCTC	CGGCCAACCTACTCCAGATA	Protéine hypothétique
Os12g36850 qq2949	1 CATGTTACTGTGGCGTGGTC	CATGTTACTGTGGCGTGGTC	Protéine PR
Os06g21110 q1220	TCGTCGTGGCGGCGTCTC	GGTGTTTGGGCTTGGTGTTTATGG	Protéine hypothétique
Os08g31860 qq2423	3 TCCCACGTCAACAAGATCAA	CGCATGCATACAACATAATCA	Protéine hypothétique
Os09g23550 q1676	1 CGGCGAGCACGGCATCAC	CGACACAAGCAAGCAAGC	Sinapyl alcohol dehydrogénase
Os08g42210 qq3408	34 GCATCAGCAAGGAAGGAGAA	GAGAGGCAAATCCCATACCA	Transporteur de cation
Os02g10600 qq3809	94 GGACGGTTTGCTACGTTGAT	GAGGATTGCACAACTGCTGA	Protéine à domaine F box
Os05g06500 qq2084	1 CAGCCGATGGTTGATCCTAT	TCAGGCTCAGAGAGTGCAAG	Protéine de stress (USP)
Os05g15770 qq0210	00 CTGGATTCATGCACGAGCTA	CCGTCCTGATCACCTCACTT	Inhibiteur de xylanase
Os06g09560 qq2614	3 GATCAGCCGAAGCAACGTA	ACACCGTGTGTTCAACCAAA	Domaine DnaJ
Os11g02369 qq5839	1 ACATCGCAGGCCGTACAT	ATGCATCGATCTAGCAGCAA	Transporteur de lipide
Os12g19394 q2074	CACCTCCGTTGCTCCCTTC	ATCCTTCCACCGTTGCTGAC	Ribulose bisphosphate carboxylase
Os01g62890 qq0911	4 ATTGCATCATTGTGGAGCTG	CATGTGGTGGGGGACTAGAA	Protéine de type PRA1
Os02g42450 q594	GCGACGGCAAGTTCCACAAG	TTGGCGAGCACGGACCTG	Protéine hypothétique
Os04g01330 qq2577	77 TTTTCCTGGGATGATTTTCG	CCTGTCATCAGATGGAATGGA	Protéine hypothétique
Os04g08630 qq2616	66 CCGGAGATGAAGAAGATGGA	TGCAATGCAACATCAAATCA	Protéine hypothétique
Os07g01960 q3961	1 GGCTTGTGGCTGCGTATG	TCCCTGTGACTGCGAACC	Protéine hypothétique
Os10g14870 q1579	2 GCGTATAAGCAGGACAGAAGGTC	G CGGCGGTAGCGGGTATGG	Domaine heavy metal-associated
Os11g40674 qq2619	3 GGTCGGTTGAGTTTTGGTTG	GCTAGGCTCTTGGGTGTCTG	Protéine hypothétique

VII.10 Annexe 10 : Amplification par PCR

PCR Long-range

Le mélange contient $100~\rm ng~d'ADN~$, $100\rm mM~d'Amorce, Tampon, MgCl2~1mM, dNTP~$ 0,1 mM, Taq polymerase.

Le cycle est :

PCR classique

Le mélange est le même mais pour 4ng d'ADN.

Le cycle est :

VII.11 Annexe 11 : Criblage des banques BAC

VII.11.1 Banques BAC disponibles

N° IRGC	Espèce	Genome	Code Banque BAC	Taille du génome (Mbp)	Taille moyenne insert (Kb)	Nb de clones	Origine	Source ADN	Commentaires
105491	O. rufipogon	AA	OR_CBa	439	133	64512	Malaysie	S. Mc Couch	Variété pérenne
100897	O. nivara	AA	OR_BBa	448	161	55296	Inde	N. Kurata	Variété annuelle
96717	O. glaberrima	AA	OG_BBa	354	130	55296	Afrique	IRRI	Variété Cg14
105690	O. punctata	BB	OP_Ba	423	141	36864	Afrique	IRRI	
105143	O. alta	CCDD	OA_BBa	1000	132	92160	Amérique du sud	IRRI	
101232	O. brachyantha	FF	OB_Ba	338	130	36864	Afrique	IRRI	
104502	O. coarctata	HHKK	OC_Ba	1283	122	147456	Bangladesh	IRRI	

VII.11.2 Clones BAC séquencés ou en cours de séquençage

Clone BAC	Espèce	Variété	Génome	Taille	Banque BAC	Références
03M23	O. sativa indica	IR64	AA	100 kb	OSIIBb, IRRI	Yang et al., 1997
33B02	O. sativa indica	IR64	AA	60 kb	OSIIBb, IRRI	Yang et al., 1997
44H23	O. sativa indica	IR64	AA	100 kb	OSIIBb, IRRI	Yang et al., 1997
30F11	O. sativa indica	IR64	AA	100 kb	OSIIBb, IRRI	Yang et al., 1997
31M18	O. sativa indica	IR64	AA	80 kb	OSIIBb, IRRI	Yang et al., 1997
48F02	O. sativa indica	IR64	AA	80 kb	OSIIBb, IRRI	Yang et al., 1997
K0402B02	O. sativa indica	Kasalath	AA	110 kb	Kasalath BAC library, NIAS DNA Bank	Katagiri et al., 2004
K0090G08	O. sativa indica	Kasalath	AA	150 kb	Kasalath BAC library, NIAS DNA Bank	Katagiri et al., 2004
OG 05D12	O. glaberrima	IRGC 96717	AA	70 kb	OG_Bba, OMAP	Ammiraju et al., 2006
OR 73D01	O. rufipogon	IRGC	AA	140 kb	OR_Cba, OMAP	Ammiraju et al., 2006
OP 72E21	O. punctata	IRGC	BB	150 kb	OP_Ba, OMAP	Ammiraju et al., 2006
OB 74I24	O. brachyanta	IRGC	FF	190 kb	OB_Ba, OMAP	Ammiraju et al., 2006

VII.11.3 Criblage par hybridation

a Préparation de la sonde

La sonde est préparée à partir du kit « prime-a-gene labelling system » de PROMEGA. Une PCR est faite à partir de l'ADN d'IR64 selon le protocole normal (Annexe 10). 25 à 50 ng de cette PCR est dénaturé dans 15µL d'H2O à 95°c pendant 5 à 10 min. Puis, on ajoute 8µL de mix d'hybridation : dNTP (0.5 mM absence de dCTP, sera radioactif, ajouté en salle radiocompétente), Tampon (5X), BSA (10X), DNA polI largeklenow fragment.

En salle de radioactivité, prélever 2 µL de solution radioactive P32 et ajouter à la préparation. Mélanger par inversion 3-4 fois. La sonde est incubée 1h00 à température ambiante.

b Pré-hybridation et hybridation des membranes

La membrane est imbibée de solution Church à 65°c puis est enroulée dans un tube à hybridation. 10 ml de Church 65°c sont alors ajoutés. Les différents tubes sont installés de manière équilibrée dans le four pendant 30 min à 1h00.

Après incubation de la sonde, ajouter 25 μ l H_2O pour faciliter le transfert. Puis dénaturer 5 min à 95°c, puis laisser sur glace 2 min. Sortir les tubes du four et ajouter les 50 μ L de sonde. Replacer les tubes au four à 65°c pour la nuit.

c Lavage des membranes

Sortir les tubes du four, verser le contenu liquide dans la poubelle adéquate. Ajouter 30 ml de tampon de lavage 1 puis replacer les tubes 10 min au four à 65°c. Jeter le tampon de lavage dans la poubelle adéquate. Ajouter 30 ml du tampon de lavage 2 puis replacer les tubes 10 min au four à 65°c. Jeter le tampon de lavage. Sortir la membrane du tube. Entourer la membrane de film plastique Saran, puis placer rapidement la membrane dans une cassette avec écran. Sous lumière rouge placer un film dans la cassette. La cassette est laissée à –80°c pendant 1 à 3 jours avant de révéler le film.

d Composition des Tampons

Tampon Church, composition pour 500 mL pH 7.4:

 SDS 20%
 175 mL
 7%

 Sodium Phosphate
 22.25 g
 0.25M

 EDTA
 2 mL
 2mM

Première solution de lavage :

SSC 1 + SDS 0,1 %

Seconde solution de lavage : SSC 0,4 + SDS 0,08 %

VII.11.4 Criblage par PCR

Une PCR est pratiquée sur un Pool de 24 colonies (Taq polymerase maison 0.1, Tampon 10X, MgCl2 2,5 nM , dNTP 0,5 nM, Primer 0,5 nM, colorant 0.5 μL). Le mix est préparé pour une plaque de 384 puits plus 8 puits de témoin IR64. La révélation se fait sur un gel d'agarose 3% TAE avec une migration 1h30 à 130V. Pour les Pool qui donnent un résultat positif une deuxième PCR sur colonie isolée permet d'identifier laquelle des 24 colonies a été amplifiée.

Le cycle est un cycle en Touchdown:

```
94°C
              4 min
94°C
                      10 cycles avec -1°C pour chaque cycle
60°C
              30s
72°C
              40s
90°C
              30s
50°C
              30s
                      30 cycles
72°C
              40s
72°C
              15 min
10°C
              10 min
```

VII.11.5 Amorces pour criblage de la banque BAC IR64

Gène ou clone BAC	Amorce	Séquence Amorce forward	Séquence Amorce reverse	Commentaire
44H23	N1F	CCCTCTCCAAATTGAGTAGCA	GGATGTCAAAAGGTGGGAGA	PCR
44H23	N2F	AGGCGCACTTGCATCAAT	ATGCCCCTATGAACACCTTG	PCR
44H23	N3F	TGCTTATCCCATCATTCAATTTT	GCATTTTCAGGGATTTTAGCC	PCR
Os08g10260	NB5	GGTCTGTTTTTCCAGAAAATGG	CCGGTTTTTCCCAAGTGTAATA	PCR + Sonde
Os08g10300	LRK7	GTGACGATGAATTGAATTTGGA	TCAGGCTGATACCTCTGAAACA	PCR + Sonde
Os08g10310	LRK8	CCAATTTTCTGGTCAACTTCC	CCAATGAAGAGCTCCCATTTAC	PCR + Sonde
Os08g10330	LRK9	AGGTCCAATTCCAGCAAGTCTA	CAGTTGCAAATTGTTCCCAGTA	PCR
Os08g10430	NB10	GATTTGGGGGTCTTGGTAAAAC	CCATCCTTGGATCGAATTACTC	PCR + Sonde
Os08g10440	NB11	CGGCAATTATCCAGAGGACTAC	TGCGAGGAAATCTAGACAGTGA	PCR + Sonde

VII.12 Annexe 12 : Transformation des bactéries

VII.12.1 Transformation bactérienne par choc thermique

Les tubes contenant $50\mu L$ de cellules compétentes DH5 α ou DH10b sont décongelés dans la glace et $2\mu L$ d'ADN sont ajoutés par tube. Après une incubation de 30 min dans la glace, les cellules sont soumises à un choc thermique : 45 secondes à 42°C, puis refroidis rapidement deux minutes dans la glace.

Les bactéries sont alors mises 1h à 37°C sous agitation dans 1 mL de milieu SOC afin de permettre l'expression phénotypique des plasmides au sein des bactéries transformées. 200 µL de bactéries sont ensuite étalés sur milieu solide LB + antibiotique adapté + X-Gal (16µg/mL) si nécessaire. Avec l'utilisation du X-Gal, les colonies transformées génèrent des colonies blanches après 24h d'incubation à 37°C.

VII.12.2 Transformation bactérienne par électroporation

Les tubes contenant $20\mu L$ de cellules compétentes EHA105 sont mis à décongeler sur la glace et 1 μL d'ADN (20 à 60 ng) est ajouté. La préparation est déposée entre les électrodes. Les conditions de l'électroporation sont : 330 μF , Fast, 400V, 4 $k\Omega$.

Après le tir ajouter 1 mL de LB puis laisser à l'agitation à 28°C pendant 1 à 2h. Ensuite, la suspension est étalée sur boite avec l'antibiotique adapté et mise en culture 3 jours.

VII.13 Annexe 13: Extraction d'ADN plasmidique

VII.13.1 Milieu de culture

Les cellules sont mises en culture à 37°C dans un milieu LB (Bactotryptone 10 g/L, Extrait de levure 5 g/L, NaCl 10 g/L, Agar 20 g/L seulement pour LB solide). Pour les clones BAC l'antibiotique ajouté est le Chloramphénicol (12,5 µg/mL), pour les vecteurs pTAC37 et pCAMBIA l'antibiotique ajouté est la Kanamycine (25 µg/mL).

VII.13.2 Extraction d'ADN plasmidique des clones BAC

Les ADN sont extraits suivant le protocole fourni avec le kit d'extraction Nucleobond[®] AX de Macherey-Nagel. Préparer 30 ml de culture BAC dans du milieu LB chloramphénicol (125 µg/ml). Laisser toute la nuit à 37°C. Centrifuger la culture à 3 000 rpm, 20°C, 20 minutes. Jeter le surnageant, resuspendre le culot dans 400 µL de tampon S1.

Ajouter 400 μ L de S2 et mélanger par inversion. Incuber 2-3 minutes à température ambiante. Ce mélange lyse les bactéries. Ajouter 400 μ L de tampon S3 et incuber sur glace pendant 5 minutes. Centrifuger à 4°C, 15 minutes à 13 000 rpm. Récupérer le surnageant et le transférer sur une colonne (écoulement par gravité). Nettoyer la colonne deux fois avec 1,5 mL de tampon N3 en jetant la solution du tube collecteur. Eluer l'ADN plasmidique avec 1 mL de tampon N5. Ajouter 750 μ L d'isopropanol et centrifuger à 4°C, 30 minutes à 13 000 rpm. Ajouter 500 μ L d'éthanol à 70% et centrifuger à 4°C, 10 minutes à 13 000 rpm. Eliminer le surnageant et laisser les tubes sécher sous la sorbonne. Resuspendre le culot dans 30 μ L d'H₂O ultra pure.

Composition des tampons:

S1: 50 mM Tris/HCl, 10 mM EDTA, 100 μg RNase A/ml, pH 8.0

S2: 200 mM NaOH, 1% SDS

S3: 2.80 M KAc, pH 5.1

N1: 100 mM Tris/H₃PO₄, 15% ethanol, 400 mM KCl, pH 6.3

N3: 100 mM Tris/H₃PO₄, 15% ethanol, 1150 mM KCl, pH 6.3

N5: 100 mM Tris/H₃PO₄, 15% ethanol, 1000 mM KCl, pH 8.5

VII.13.3 Extraction d'ADN de vecteur

Les ADN sont extraits suivant le protocole fourni avec le kit d'extraction Wizard[®] Plus SV Miniprep de Promega. A partir d'un stock à -80°C, préparer une culture de clone BAC de 2 mL de milieu LB et kanamycine. Incuber toute la nuit à 37°C. Transvaser dans des tubes de 1,5 mL

et centrifuger à 21°C, 10 minutes à 13 000 rpm. Eliminer le surnageant et resuspendre le culot dans 250 μ L de Tampon de resuspension. Ajouter 250 μ L de tampon de lyse et incuber sur paillasse pendant 5 minutes. Ajouter 10 μ L de Protéase Alkaline et mélanger avec la pipette. Incuber pendant 5 minutes sur paillasse. Ajouter 350 μ L de tampon de neutralisation et centrifuger à 21°C, 10 minutes à 13 000 rpm.

Transférer le surnageant sur une colonne avec son tube collecteur. Centrifuger 1 minute à $13\,000$ rpm. Pré-laver la colonne avec $750\,\mu\text{L}$ de solution de lavage et centrifuger 1 minute à $13\,000$ rpm. Laver la colonne avec $250\,\mu\text{L}$ Solution de lavage et centrifuger 2 minutes à $13\,000$ rpm.

Transférer la colonne sur un tube propre de 1,5 mL. Déposer $50~\mu L$ d'H $_2$ O pure et laisser agir 15 minutes. Centrifuger 1 minute à 13 000 rpm. Jeter la colonne.

VII.14 Annexe 14 : Clonage

VII.14.1 Digestion

ADN 2 μ L Enzyme 2 μ L Tampon de digestion 2 μ L BSA 1 μ L H₂O q.s.p 20 μ L

Incubation deux heures à 24°C pour SmaI et 37°C pour XmaI, NotI, BamHI.

Pour le vecteur, $1\mu L$ d'APexTM Heat-labile Alkaline Phosphatase d'Epicentre est rajouté 10 minutes avant la fin de la digestion.

L'enzyme est inactivé à 65°C (60°C pour SmaI) pendant 15 minutes.

VII.14.2 Purification Phénol / Chloroforme

Ajouter 1 volume de phénol (pipeter dans le fond de la bouteille). Vortexer. Centrifuger 5 minutes à 13 000 rpm. Récupérer la partie haute du surnageant sans toucher celle en dessous et la mettre dans un nouveau tube. Sous sorbonne, ajouter 1 volume de chloroforme. Vortexer. Centrifuger 5 minutes à 13 000 rpm. Récupérer la partie haute du surnageant sans toucher celle en dessous et la mettre dans un nouveau tube. Répéter cette opération une fois. Ajouter 1/10ème de volume d'acétate de sodium 3M pH 5.2. Ajouter 2 volumes d'Ethanol absolu froid. Vortexer. Centrifuger 20 minutes à 13 000 rpm. Enlever tout le surnageant (quitte à recentrifuger). Ajouter 500 μL d'Ethanol à 70%. Vortexer. Centrifuger 20 minutes à 13 000 rpm. Enlever tout le surnageant. Laisser le tube sécher. Resuspendre le culot dans 100 μL d'eau.

VII.14.3 Ligation

La ligation est réalisée dans le mélange réactionnel suivant qui est incubé une nuit à 17°C : ADN (30 à 100 ng), Vecteur pCAMBIA 5300 (100 ng/ μ L), Tampon de ligation (2X), Ligase phage T4 (3Unité).

VII.14.4 Vérification des clones

Trois méthodes ont été utilisées pour confirmer la présence d'un insert dans le plasmide recombinant.

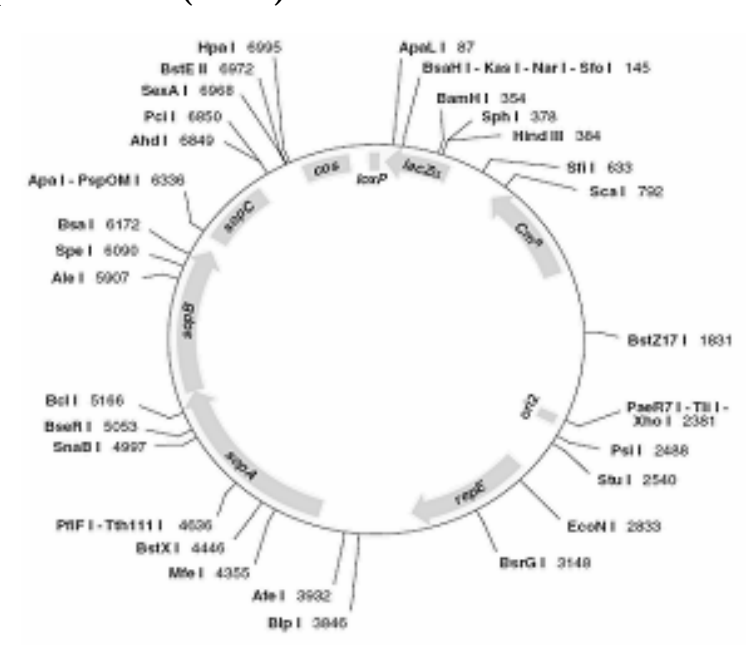
- (1) Libération de l'insert par l'enzyme utilisée lors de la digestion. Deux bandes sont attendues : l'insert et le vecteur. Mais le site de coupure de l'enzyme a pu être dégradé lors de la ligation donc la digestion peut ne pas fonctionner.
- (2) Libération de l'insert par une autre enzyme présente dans le site multiple de clonage du vecteur. Nous avons utilisé l'enzyme EcoRI pour pCAMBIA 5300. L'insert pouvant être coupé à différents endroits, les profils de digestion sont plus complexes et, donc, potentiellement plus difficile à interpréter.
- (3) Une PCR avec des couples d'amorces amplifiant différentes zones des clones BAC étudiés a été effectué pour vérifier quelle zone des clones BAC a été clonée.
- (4) Une fois toutes ces étapes réalisées, les extrémités de l'insert sont séquencées par la société GATC Biotech après amplification par des amorces placées de part et d'autre du site d'insertion (amorces universelles M13, Annexe 4). Ces séquences peuvent être comparées aux séquences des clones BAC 33B02 et 44H23 dont nous disposons.

VII.14.5 Amorces pour vérification du clonage

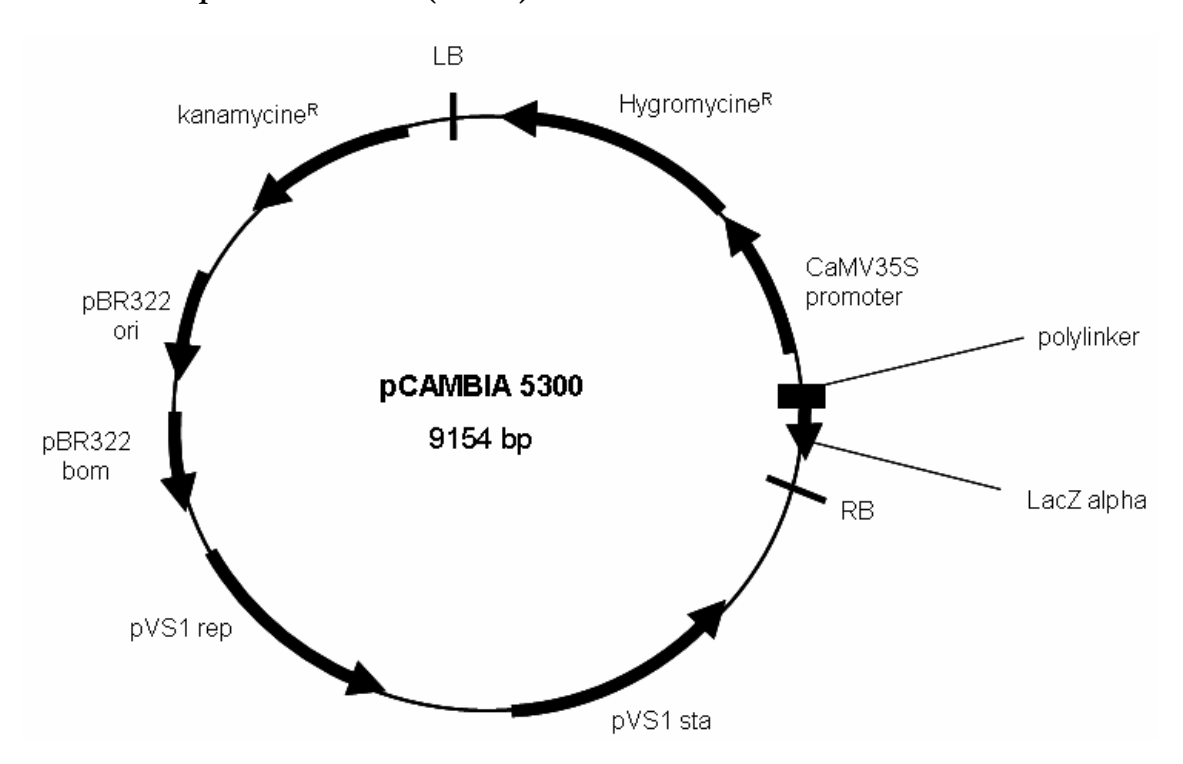
Gène ciblé	Nom des amorces	séquences forward	séquences reverses	Taille des fragments attendues
DAC 000000 et	IR64N1	CCCTCTCCAAATTGAGTAGCA	GGATGTCAAAAGGTGGGAGA	270 pb
BAC 33B02 et 44H23	IR64N2	AGGCGCACTTGCATCAAT	ATGCCCCTATGAACACCTTG	290 pb
	IR64N3	TGCTTATCCCATCATTTCAATT	GCATTTTCAGGGATTTTAGCC	124 pb
BAC 33B02	IR64N4	CCCGTTTCGATCAAACAACT	TCATTGGAGGAAGGAACGAG	194 pb
BAC 44H23	IR64N5	GATCCTCTCCCCTTCCAGTC	GCCACACTCAAAAACAAGCA	183 pb
BAC 44H23	IR64N6	GACACGTGAACCCAGAACCT	TAATGCATGTCGAGCTTTCG	201 pb
BAC 33B02	IR64N7	AATAATTGCAAGCGGCAAAC	CTGGGCATGTAGGAACCATC	175 pb

VII.15 Annexe 15 : Carte de restrictions des vecteurs

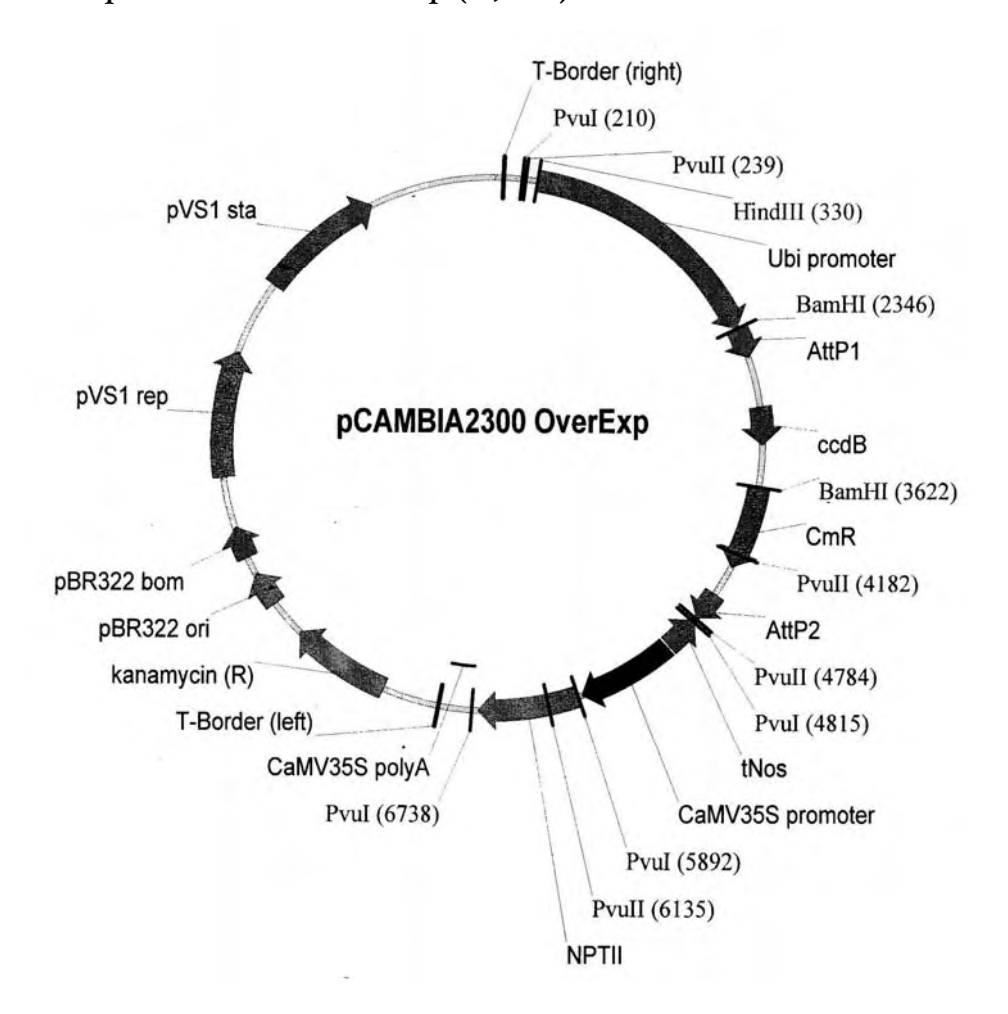
VII.15.1 pBeloBAC 11 (7.5 kb)



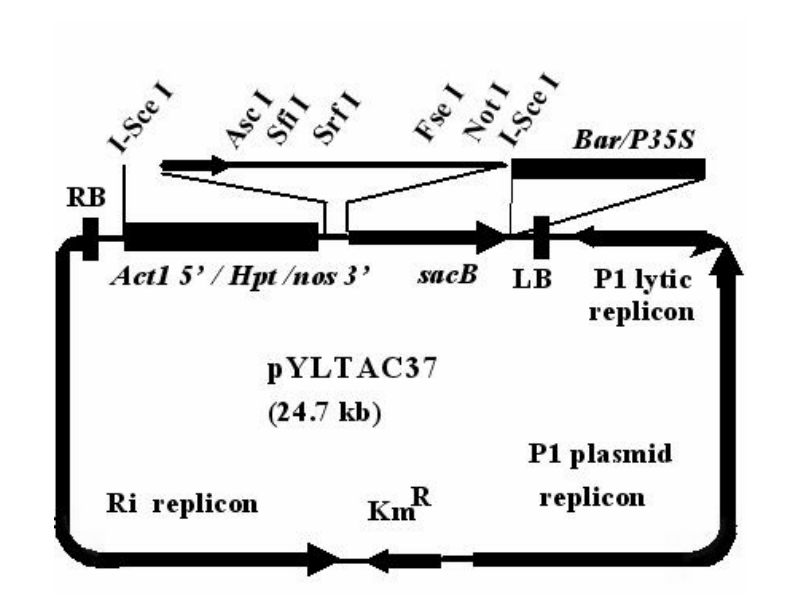
VII.15.2 pCAMBIA 5300 (9.8 kb)



VII.15.3 pCAMBIA2300 OverExp (11,2 kb)



VII.15.4 pTAC37 (24,7 kb)



Résumé:

La résistance des plantes aux agents pathogènes peut être décomposée en plusieurs étapes : reconnaissance, régulation, réaction de défense. La reconnaissance spécifique d'un agent pathogène suit souvent la théorie gène-pourgène, où un gène de résistance dominant permet à la plante de détecter les souches de l'agent pathogène portant le gène d'avirulence correspondant. En l'absence de l'un des deux interactants, la maladie se développe. Au cours de cette thèse, une revue de la littérature à permis de mettre en évidence que 85 gènes et 347 QTLs de résistance à *Magnaporthe oryzae* ont d'ores et déjà été cartographiés, dont certains finement. Le produit du gène d'avirulence *ACE1* de *M. oryzae* présente l'originalité de ne pas être sécrété. En conséquence, il se peut que le gène de résistance correspondant, *Pi33*, révèle un mécanisme de résistance différent de ceux déjà connus.

Au cours de cette thèse, la présence du gène de résistance *Pi33*, a été mise en évidence à une fréquence élevée dans les riz cultivés de type indica. L'utilisation de couples de souches isogéniques a également permis de mettre en évidence *Pi33* chez des espèces de riz sauvages (*Oryza rufipogon* et *O. latifolia*) relativement éloignées génétiquement du riz cultivé. Ces résultats sont en faveur d'une origine ancienne de *Pi33*. Par ailleurs, l'introgression de *Pi33* dans la variété IR64 à partir d'une accession de l'espèce sauvage *O. rufipogon* a été caractérisée.

D'autre part, une cartographie physique du locus de *Pi33* a été réalisée dans une variété résistante (IR64). Une séquence partielle de cette zone a été obtenue et comparée aux séquences disponibles pour les deux variétés sensibles déjà séquencées (Nipponbare et 93-11). L'étude comparée des séquences de ce locus a mis en évidence des ruptures de la micro-synténie et confirme ainsi une évolution complexe du cluster. Ainsi, trois gènes candidats de type Nucleotide-Binding Site/Leucine Rich Repeat (NBS-LRR) ont été identifiés chez la variété sensible Nipponbare contre sept chez la variété résistante IR64. Le polymorphisme et l'expression des différents gènes candidats ont été caractérisés chez différentes variétés résistantes et sensibles. Cette approche a permis de cibler trois des NBS-LRR comme les candidats possibles pour *Pi33*. Différentes stratégies de clonage ont également été initiées (recherche de mutants, complémentation), ce qui a permis entre autre l'identification de 20 lignées mutées dans *Pi33* pour lesquelles une caractérisation fonctionnelle de *Pi33* est envisagée.

Enfin, l'originalité de l'interaction *ACE1/Pi33* pourrait se traduire par une originalité des voies de régulation et des réactions de défense. Des analyses d'expression de gènes marqueurs des réactions de défense ont été réalisées sur des échantillons de feuilles infectés par *M. oryzae*. L'expression de ces gènes a ainsi été comparée entre différentes interactions incompatibles et compatibles faisant intervenir ou non *Pi33*. Ces résultats semblent indiquer que même au sein de fonds génétiques différents, *Pi33* entraînerait un profil d'expression conservé des gènes de défense.

Mots-clefs : riz, Pyriculariose, *Pi33*, *ACE1*, résistance, cartographie physique, NBS-LRR, clonage, gènes de défense.

Rice-Magnaporthe oryzae interactions. Origin, characterization and evolution of Pi33 cluster of rice blast resistance genes.

Summary:

The interaction between plants and pathogens can be summarized in three steps: recognition, regulation, defence response. The specific recognition of the pathogen follows the gene-for-gene theory, where a resistance gene of the plant can detect strains of the pathogen with the corresponding avirulence gene. During this PhD, a review of the literature allowed to show that 85 genes and 347 QTLs of resistance to *Magnaporthe oryzae* have already been mapped. The product of the avirulence gene *ACE1* of *M. oryzae* is original because it is not secreted. Consequently, the resistance gene corresponding to *ACE1*, *Pi33*, could reveal a resistance mechanism different from those already known.

During this work, the presence of the resistance gene *Pi33* was detected at a high frequency in the domesticated rice subspecies indica. Using couples of isogenic strains, *Pi33* was also identified in some accessions of wild rice species (*Oryza rufipogon* and *O. latifolia*). These results suggest an ancient origin of *Pi33*. Moreover, we characterized the introgression of *Pi33* from an accession of the wild species *O. rufipogon* in the variety IR64.

In addition, we constructed a physical map of the *Pi33* locus in the resistant variety IR64. A partial sequence of the locus in this resistant variety was obtained and compared with the sequence of two susceptible varieties (Nipponbare and 93-11). The comparative study of these sequences revealed a poor conservation of the micro-synteny and confirmed a complex evolution of the locus. Three Nucleotide-Binding Site/Leucine Rich Repeat like (NBS-LRR) candidate genes were identified in the susceptible variety Nipponbare and seven in the resistant variety IR64. Sequence polymorphism and level of expression of various candidate genes was characterized in different resistant and susceptible varieties. Although this approach did not allow identifying *Pi33*, the identification of 20 mutant lines for *Pi33* will allow a functional analysis of the gene. Cloning *Pi33* was attempted by different approaches (mutants, complementation). This work is still in progress.

Finally, because the originality of the interaction *ACE1/Pi33* could result in an original regulation pathway, we performed transcription analyses on samples of leaves infected by *M. oryzae*. The expression of marker genes was compared between different incompatible and compatible interactions involving *Pi33* or not. These results suggest that even within different genetic backgrounds, *Pi33* contributes to a conserved defence pathway.

Key Words: rice, *Magnaporthe oryzae*, *Pi33*, *ACE1*, resistance gene, physical mapping, cloning, defence gene.